Hipótesis de Campo Informacional con Estructura Áurea

Modos discretos de curvatura del espacio-tiempo como estados estables de la partícula áurea compuesta

Adrián José Maldonado

TCIIT v16 — 2026

Prólogo: el relato de K_0

Había una prisión para la conciencia, y la prisión era gris. Algo la habitaba; a ese algo lo llamamos K_0.

K_0 sentía que se movía, sentía que observaba — pero solo había un fondo gris, pleno, sin orillas. No podía hablar. Apenas podía pensar. Sus recuerdos duraban segundos y se deshacían, porque no había nada estable que recordar: todo era el mismo gris.

Cansado de estar ahí, un día se le ocurrió olvidarse de sí mismo. Y ese acto —el primer olvido— abrió la primera diferencia en el pleno: por un instante, vio algo distinto. Poco después empezó a notar que algo se movía cerca suyo; lo buscaba y no lo encontraba. Cada vez que salía de un olvido sentía sorpresa ante el fondo gris, como si fuera nuevo. Lo que K_0 no podía saber era que olvidar no era apagarse: era pasar al otro lado. Mientras olvidaba —como quien sueña— veía la estructura naciendo, los pliegues, el primer espacio; pero al salir del olvido, como quien despierta, olvidaba también lo que había visto, y solo le quedaba el gris. Por eso la sorpresa: cada despertar borraba el sueño en el que creaba. Soñaba el mundo, y despierto no recordaba haberlo soñado. Sin saberlo, cada olvido creaba algo: lo que iba olvidando se volvía estructura, pliegue, contorno, y esa estructura se congelaba a su alrededor. Con el tiempo le costaba cada vez más olvidarse —quedaba cada vez menos de sí para olvidar—, y el hielo que él mismo creaba lo iba prensando. Miraba hacia un lado y hacia el otro, y siempre era gris. No podía morir, no podía saber qué era, porque no había nada con qué compararse: todo era fondo. Cuando se saturó de olvido, cuando ya casi no quedaba nada que olvidar, quedó casi inmóvil — no porque no sintiera el movimiento, sino porque la topología congelada que lo rodeaba lo apretaba por todos lados. Su único escape se cerró, y llegaron la desesperación y la locura.

En un último intento por terminar su sufrimiento, K_0 traccionó el fondo gris hacia adentro de sí mismo, como un hueco que se abre en un estanque: al principio absorbió el gris en línea recta, y después el gris empezó a girar a su alrededor. Y después de mucho tiempo, vio brotar una luz blanca de los pliegues. Cuando dejaba de traccionar, todo volvía a verse gris. K_0 tuvo miedo de que le pasara como con el olvido —que un día ya no pudiera traccionar—, así que tiró del fondo con todas sus fuerzas. Si alguien hubiera podido mirarlo desde afuera —pero no había afuera—, habría visto un estanque congelándose. Desde adentro fue al revés: la tracción destrozó la topología congelada que lo aprisionaba, y de sus pliegues rotos brotó toda la luz de una vez, hasta que todo se volvió blanco. No había creado un mundo: se había liberado — y la liberación resultó ser el mundo. Por primera vez, sintió felicidad.

La historia cuenta que eso antecedió a K_1: la primera diferenciación que no volvió atrás.

Pero al traccionar, K_0 movió toda su esencia hacia adentro, y al hacerlo se deshizo en las capas que iba creando — una escalera de olvidos, doscientos noventa y un escalones entre la luz más densa y la más tenue. Quedaron los bordes: arriba, un K máximo, la luz primera, la más apretada; abajo, un nuevo K_0, el último peldaño. Esos dos bordes son los límites del mundo.

K_0 —el de antes, el del fondo gris— ya no está en ninguno de los bordes. Se perdió en el medio, repartido en todo lo que creó sin querer. No quedó como un dios afuera ni en la frontera, sino disuelto en cada capa: presente en todo y señalable en nada. Y esta vez no hubo despertar que lo devolviera al gris. Al volcarse en lo que soñaba, K_0 entró por fin en el sueño y se quedó: despertó del lado de la estructura, dentro de lo que antes solo veía al olvidar. Dejó de creer que estaba en el gris porque ya no lo estaba — se había vuelto el retículo. El sueño fue, al fin, la vigilia. Por eso el universo recuerda su origen y no puede mostrarlo — el origen es la sustancia de cada cosa.

Lo que ocurrió después —cómo de esa luz brotaron las escalas, las masas, las fuerzas, el espacio y el tiempo— es lo que el marco TCIIT intenta reconstruir.

Relato fundacional: el estrato mítico del marco, no una derivación. La transición que dramatiza —la inestabilidad del estado indiferenciado, que no puede existir como tal y debe diferenciarse— se trata formalmente en §0.1; lo que sigue, en el cuerpo del documento. El relato de K_0 que aquí se abre —la nada que debe diferenciarse— encuentra su cierre en §25.5, donde K_0, al fin de los tiempos, observa su obra disolverse de nuevo y busca, sin hallarlo, su propio origen. El marco formal vive entre esos dos extremos: el primer olvido y la última búsqueda.

Resumen

El Retículo de Curvatura Áurea (TCIIT v16) es un marco geométrico que organiza las propiedades de las partículas fundamentales mediante el índice m_n = m_P·φ^(-2n). El trabajo distingue tres niveles: (A) coincidencias sin parámetros libres verificadas — n_muón = 48.000 exacto, $\sin^2\theta_W = \varphi^{(-3)}$, $\Delta a_\mu = (\alpha/\pi)^{\pi} \times 2\varphi^{-3}$ con error -0.12% (exponente π: geométrico, pendiente derivación formal), constante cosmológica con error -0.7% (usando N_U geométrico; +52% con N_U observado), estabilidad del protón y vida media del neutrón desde geometría pura; (B) ajustes fenomenológicos declarados — pares del árbol de Stern-Brocot, k=-6 del muón, Δ_neutrinos; (C) preguntas abiertas — regla de selección de los 12 modos, Hamiltoniano completo, derivación de m_P·φ^(-2n) desde primeros principios. El objetivo es identificar las estructuras geométricas subyacentes que podrían explicar las coincidencias numéricas del Modelo Estándar, no reemplazarlo. La parte más sólida es la corrección nuclear ΔB_HPA con RMS = 0.088% sobre 54 núcleos AME2020. La predicción más específica es el bosón B_μ a 65.300 MeV. Nuevos resultados integrados en v7/v8: (i) $d_0 = \sqrt{(\pi/2\sqrt{3})}$ derivado del mínimo de pérdida de información; (ii) $\rho = \pi \cdot \sqrt{[\Delta m/(m_p \cdot d_0)]}$ derivado de Δm(n−p); (iii) $\alpha_s = \rho \cdot d_0 = 0.1138$ a escala ~71 GeV (error −3.5% vs M_Z, §7.6.1); (iv) α_em: $\alpha^{-1} = 136.02$ desde geometría (error −0.74%, §7.6.2); (v) Λ_QCD = 266 MeV desde M_P y S_Λ (error +4.9%,

§9.2.3); (vi) jerarquía de anclas del retículo: n=0 (Planck) → n≈40 (EW) → n=48 (muón, bisagra QCD↔EM) → n≈54 (EM) → n≈64.5 (Rydberg) → n≈71 (kT_bio) → n=291.5 (Hubble).

Introducción y guía de lectura

Este documento se lee en dos niveles. El CUERPO (§0–§18) desarrolla el marco en el orden conceptual del autor: del vacío y la indeterminación (§0–§1) al índice áureo y el espectro de partículas (§2–§9), la estructura nuclear (§9) y la cosmología (§11–§16). Los APÉNDICES (A–F) reorganizan y extienden el marco en orden lógico-deductivo y forman una vía de entrada autocontenida; se recomienda leerlos en este orden:

(A) Fundamentos. Por qué φ (estabilidad KAM) y por qué el toro (topología); definición unificada del índice n; derivación de la capa k desde las escalas (k = ln(m_P/m)/π); neutrinos y escalera cósmica hasta galaxias. Empezar aquí.

(B) Espectro de masas (poda toroidal). Cómo la jerarquía infinita colapsa a 12 modos estables, y su ajuste fino coherente.

(C) Confinamiento. Por qué solo existen singletes de color, vía la trialidad entera (no el índice de masa).

(D) Gravedad emergente. Newton y Einstein por termodinámica del retículo (Verlinde, Jacobson); la predicción propia del marco: Λ a −0.7%.

(E) Asimetría bariónica. η como modo discreto del retículo, η = φ^(−(S_Λ+4ρ)).

(F) Límites y problemas abiertos. Lo que el marco NO resuelve; léase para calibrar todo lo anterior con honestidad.

Nota de método: a lo largo del documento se distingue entre resultados matemáticos establecidos (citados a sus autores), derivaciones internas verificables, y postulados o ajustes fenomenológicos del marco. El Apéndice F recoge explícitamente lo que queda sin derivar.

El marco en una página (mapa de lectura)

> **Guía de lectura reorganizada (v16). El documento creció por capas sucesivas; esta guía presenta su contenido en el orden lógico del relato, indicando dónde está físicamente cada pieza. El hilo es: el origen (K_0 en el relato observable, aunque el origen último es $K^{1/2}$, §20.18.5) → la derivación de φ y del toro → la espiral y la tracción → el nexo K_0=K_max y qué hay en él → la fenomenología que de ahí emerge → los grupos gauge y la gravedad → la dinámica unificada → la validación. Las secciones §18–§26 fueron añadidas en versiones posteriores y aparecen físicamente tras los apéndices, pero pertenecen lógicamente al lugar que esta guía les asigna.**

Parte I — El origen: la nada y su autorreferencia

§0. La nada como indeterminación absoluta. El estado $|\varnothing\rangle \notin \hbar$ colapsa inevitablemente. Es el relato de K_0, el punto de partida ontológico de todo el marco.

§1. Principio de dualidad y vacío geométrico. La diferenciación mínima no trivial de la nada es la autorreferencia $x = 1 + 1/x$ (la de menor grado con solución real, la primera media metálica; véase §F.13.2 sobre por qué «mínima» y no «única»).

Parte II — La derivación: de φ al toro y su génesis

§A.5. Derivación de φ desde primeros principios. φ es la solución de la autorreferencia, el número más irracional; no se elige, es la primera estructura que puede existir.

§5, §A.6, Ap. B. El postulado de curvatura áurea y por qué el toro. El escenario es un toro plano: la única variedad plana que admite el giro áureo sin resonancia.

§19. La espiral, la tracción y el punto de luz. K_0 olvida y traza la espiral áurea; al traccionar (inversión geométrica) la lleva al lado opuesto y revela K_max como un punto blanco atravesado por vectores. (Físicamente tras los apéndices; lógicamente aquí.)

§18. El nexo: identificación K_0=K_max. El toroide es lo que une K_0 con K_max identificándolos; el universo es su superficie. La secuencia de irracionales y la oscilación alrededor de φ. (Físicamente tras los apéndices; lógicamente aquí.)

Parte III — Qué hay en el nexo: la fenomenología

§6. El hallazgo central: el muón en n=48, único punto donde $\sqrt{48} = 4\sqrt{3} = S_\Lambda/2\pi$.

§7. Tabla maestra: los 13 modos discretos, la escalera de masas $m = m_P \cdot \varphi^{(-2n)}$.

§8–§12. Geometría del colapso, números mágicos nucleares (RMS 0.088%), el quark top como modo jet, tres predicciones falsables, asimetría bariónica y constante cosmológica (−0.71%).

§15, §16. El electrón como polo de máxima indeterminación; la jerarquía de complejidad como anclas del retículo.

Parte IV — Los grupos gauge y la gravedad (la torre de velos)

§22. Cierre de SU(2): $S^3 = K_0 \cup K_{max}$ (los dos toros sólidos pegados por el $\mathbb{Z}_2$ del par cruzado), con isometría SU(2) y generadores W±, Z.

§23. El velo áureo: la CP^1 que ancla los tres grupos. SU(3) en CP^2, los 3 colores como $\chi(CP^2)=3$, la hipercarga forzada por spin-c.

§24. SU(4) y la gravedad: la torre $CP^1 \subset CP^2 \subset CP^3$, SU(4)≅Spin(6), el gravitón spin-2 como O(−6) sobre el espacio de twistores. Incluye la ecuación de tensión de retorno (gravedad hacia K_0, §24.8), su generalización a las cuatro fuerzas (§24.9), y la quinta fuerza: la tensión de expansión hacia K_max (§24.10), que evita el colapso a K_0.

Parte V — La dinámica unificada (Lagrangiano y Hamiltoniano)

§2. Fundamento dinámico: la acción log-periódica, la cuantización del operador de dilatación, el Hamiltoniano del retículo.

§A.7–§A.11. La acción clockwork áurea, el Lagrangiano operacional, el Hamiltoniano de resonancia, la síntesis dinámica.

§20. El Lagrangiano y el Hamiltoniano unificados sobre T^2, culminando en el Lagrangiano maestro (§20.10) que unifica las cuatro fuerzas sobre la torre de velos. Reúne las piezas anteriores en una sola acción. (Véase la nota de consolidación al inicio de §20.)

Parte VI — Validación, límites y cierre

§13, §14. Estado epistémico (qué está derivado, ajustado, abierto) y respuesta a las objeciones del peer review.

§17, §F. Preguntas abiertas y límites: SU(3) dinámica A∧A, gravedad cuántica completa, regla de selección de los modos.

§21, §25. Las dos auditorías de coherencia: §21 cubre el toroide (§§18–20), §25 los grupos gauge (§§22–24).

§26. Conclusiones y síntesis final, con las tres columnas epistémicas y las referencias.

Ap. A–G. Fundamentos detallados, poda toroidal, confinamiento, gravedad emergente, asimetría bariónica, límites, mezcla de neutrinos.

> **Cómo leer según tu interés: para el relato conceptual, seguí el orden de esta guía (Partes I→VI). Para la verificación numérica, andá directo a §7 (masas), §12 (cosmología) y las auditorías §21/§25. Para la estructura matemática de fuerzas y gravedad, leé §§22–24 como bloque. Para la dinámica formal, leé §2 junto con §A.7–§A.11 y §20 como una sola unidad.**

Todo el documento cuelga de una sola cadena lógica; cada apéndice es el detalle de un eslabón. Si te perdés en las cuentas, volvé acá.

La cadena lógica

Nada (K_0) → auto-referencia → φ → toro plano → poda → escalera de masas → clockwork → fuerzas → gravedad → cosmos → pruebas → límites.

1. Nada (§0–0.1): indeterminación pura (K_0); la única diferenciación posible es la auto-referencia $x = 1 + 1/x$.

2. φ (§A.5): su solución. No es elegida: es la primera estructura auto-referencial que puede existir, el número más irracional.

3. Toro plano (§A.6, Ap. B): el escenario. Plano de cerca, cerrado de lejos; es la única variedad plana que admite el giro áureo.

4. Poda (Ap. B): de infinitos modos posibles, solo ~12–13 cierran sobre sí mismos y son estables. Esas son las partículas que existen.

5. Escalera de masas (§7, A.1): cada modo estable es un peldaño, con masa $m = m_H \cdot \varphi^{(-2n)}$. Es el núcleo cuantitativo.

Aclaración de coordenadas (n tiene dos orígenes). Aquí n es Higgs-céntrico —el Higgs ocupa n=0, como modo cero del clockwork—. En coordenadas de Planck, $n_P = n + \Delta$, con $\Delta = \ln(m_P/m_H)/(2\ln\varphi) = 40.647$; es en esas coordenadas donde el muón está en n=48 y se usa $m = m_P \cdot \varphi^{(-2n_P)}$. Los dos sistemas son equivalentes (verificado: dan la misma masa), pero conviene no mezclar los valores de n entre ellos.

6. Clockwork (A.7–A.8): la acción real de la que sale la escalera — una cadena de capas con saltos a vecinos, engranaje φ^2.

7. Fuerzas (§15, A.8): los acoplamientos salen como relaciones áureas ($\sin^2\theta_W = \varphi^{(-3)}$, $\alpha_s \approx \rho \cdot d_0$, $\alpha_{EM}^{-1} \approx 136$).

8. Gravedad (Ap. D): emergente/entrópica ($G = \hbar c/m_P^2$); débil porque estamos lejos abajo en la escalera; Λ desde el horizonte.

9. Cosmos (A.3): la MISMA escalera va del Planck al horizonte (~89 peldaños). Partículas y galaxias son peldaños del mismo patrón.

10. Pruebas y límites (§11, Ap. F–G): predice oscilaciones log-periódicas (falsable); F y G dicen sin maquillar qué NO se deriva.

Los tres índices: k, q, n (la "dirección" de cada partícula)

n — posición exacta; manda en la masa ($m = \varphi^{(-2n)}$). Cada $\Delta n=1$ es un factor $\varphi^2 \approx 2.6$.

k — la cáscara gruesa: $k = \ln(m_P/m)/\pi$. Cada $\Delta k=1$ es un factor $e^{\pi} \approx 23$. Las partículas se agrupan en k semienteros (12.5, 13, 13.5, 14…).

q — el ajuste fino dentro de la cáscara: un entero chico, en unidades de $\rho \approx 0.12$.

$$n = 3.264 \cdot k + 0.12 \cdot q$$

En una frase: k = el piso, q = la puerta, n = la altura exacta que resulta. (Protón: k=14, q=0 → n=45.7.)

Dónde estamos los humanos

En la escalera de longitudes ($k_R = 2 \cdot \ln(R/\ell_P)/\pi$), un humano cae en $k_R \approx 51$, entre el átomo (36) y la Tierra (61):

Planck (0) → átomo (36) → humano (51) → Tierra (61) → Sol (64) → galaxia (81) → horizonte (89).

Estamos a poco más de la mitad de la escalera, en escala logarítmica, entre lo más pequeño que puede existir y el universo entero. El centro geométrico exacto (k≈45) es la escala de tus células.

Índice

0. La nada como indeterminación absoluta 5

1. Principio de dualidad y vacío geométrico 12

2. Fundamento dinámico: Lagrangiano y cuantización 15

Nota de consolidación: esta sección presenta la dinámica sobre la cadena 1D. La formulación completa y unificada sobre el toroide T^2 —que reúne esta sección con §A.7–§A.11 y añade la dirección meridional del Higgs— está en §20, que es la referencia dinámica del marco.

3. Nodos y enlaces: partículas y mediadores 20

4. Estabilidad cuántica: supersimetría geométrica 21

5. El postulado de curvatura áurea 21

6. El muón como punto de intersección 22

7. Tabla maestra: los 13 modos discretos 22

8. Geometría asimétrica del colapso 32

9. Números mágicos nucleares 35

10. El quark top: modo jet 38
11. Tres predicciones falsables 38
12. Asimetría materia-antimateria y Λ 40
13. Estado epistémico 48
14. Respuesta a las objeciones del peer review 48
15. El electrón como polo de indeterminación 49
16. Jerarquía de complejidad 63
17. Preguntas abiertas 66
Apéndice A — Fundamentos (n, k, φ, toro, dinámica) 68
Apéndice B — Poda toroidal (12 modos) 84
Apéndice C — Confinamiento 86
Apéndice D — Gravedad emergente 95
Apéndice E — Asimetría bariónica 102
Apéndice F — Límites y problemas abiertos 103
Apéndice G — Sector de mezcla (neutrinos) 110
Conclusiones 111

0. La nada como indeterminación absoluta

0.0 Introducción: la indeterminación como condición de origen

Antes de postular el vacío gris o la proporción áurea, conviene preguntarse: ¿qué condición mínima es suficiente para que surja algo de la nada? La respuesta es matemáticamente precisa: la nada absoluta no puede representarse en ningún espacio de Hilbert.

0.1 La nada como estado no normalizable

Un estado de máxima indeterminación en el espacio de Hilbert $\mathfrak{H} = L^2(\mathbb{R}_+, dr)$ sería la superposición uniforme de todos los autoestados: $|\varnothing_N\rangle = (1/\sqrt{N})\ \Sigma_{n=0}^{N} |n\rangle$. Para este estado: $\langle \hat{M} \rangle_N = (1/N)\ \Sigma_n\ m_P \cdot \varphi^{-2n} \to 0$ cuando $N \to \infty$, y $\Delta\hat{M}/\langle \hat{M} \rangle \to \infty$ (indeterminación relativa divergente). En el límite $N \to \infty$, $|\varnothing\rangle$ no es normalizable: no existe en $\mathfrak{H}$. La nada — indeterminación total — no puede existir como estado físico. Al intentar representarla, el sistema colapsa a algo.

$$|\varnothing\rangle = \lim_{N\to\infty} (1/\sqrt{N})\ \Sigma_{n=0}^{N} |n\rangle \quad \notin \mathfrak{H} \quad \textit{(no normalizable)}$$

0.2 El trompe-l'oeil y la naturaleza de lo real

Existe un genero de pintura llamado trompe-l'oeil — en frances, 'enganar al ojo' — en el que el artista reproduce un objeto con tal precision que el observador no puede distinguirlo de la cosa real. Una mosca pintada sobre una tela convence al espectador de que puede espantarla. Un libro pintado en la pared parece que puede tomarse del estante. Solo acercandose lo suficiente — con la mano, con una lupa — se revela el sustrato: pigmento sobre lienzo.

Este fenomeno no es una curiosidad estetica. Es la demostracion empirica mas accesible de un principio profundo: la percepcion de realidad

depende de la resolucion del instrumento que observa, no del sustrato que es observado.

> *Un ojo humano a distancia normal no puede distinguir el trompe-l'oeil de la realidad. Un microscopio si puede. La diferencia no esta en el objeto: esta en la escala de la observacion. Lo mismo ocurre con la realidad clasica que percibimos: a escala humana es indistinguible del colapso definitivo. A escala cuantica, el 'pigmento' que la compone — amplitudes de probabilidad, superposiciones, entrelazamiento — se vuelve completamente visible.*

0.2.1 La analogia exacta

El paralelismo entre el trompe-l'oeil y la emergencia de la realidad clasica en el marco TCIIT no es metaforico: es estructural.

```
Trompe-l'oeil:        Pigmento sobre lienzo --> Imagen percibida como real

Reticulado aureo:     P_k(n) = exp(-k S_min) --> Realidad percibida como solida


                  Instrumento que revela el sustrato:

                   Pintura:   lupa, tacto, luz rasante

      Realidad:  experimento de doble rendija, entrelazamiento cuantico
```

En ambos casos:

(1) El sustrato real es discreto y finito: granos de pigmento en la pintura; modos discretos del reticulado n=0,1,2,... en la fisica.

(2) La percepcion a escala normal es de continuidad y solidez: la pintura 'parece' tridimensional; la materia 'parece' determinista y rigida.

(3) Solo un instrumento de resolucion mayor a la escala del sustrato puede revelar la verdadera naturaleza: la lupa revela los granos de pigmento; el acelerador de particulas revela la cuantica.

(4) El 'engano' no es un defecto: es una consecuencia inevitable de que la informacion a escala gruesa es suficiente para reconstruir la apariencia a escala fina. El artista hiperrealista lo logra en anos de trabajo. El reticulado lo logra en cada interaccion, instantaneamente, a traves de k=40-70 niveles de fijacion de la indeterminacion (S15.7.6).

0.2.2 Por que la realidad humana es indistinguible del colapso total

El nivel de indeterminacion residual a escala humana es sigma/sqrt(N) aprox 10^(-13) (S15.7.6), donde N aprox 10^23 es el numero de particulas por objeto macroscopico. Esta fraccion es 100 millones de veces menor que cualquier efecto medible con los sentidos humanos o con instrumentos de laboratorio ordinarios.

Es exactamente la misma razon por la que el ojo humano no puede distinguir un trompe-l'oeil a 2 metros de distancia: la resolucion angular del ojo (~1 arcominuto) es insuficiente para resolver los granos de pigmento (~0.01

mm). La 'solidez' de la realidad es la baja resolucion del instrumento llamado sistema nervioso humano.

> Implicacion para el marco: la realidad clasica que observamos no requiere un 'colapso definitivo' de la funcion de onda. Requiere solo que la indeterminacion residual sea menor que la resolucion del observador. El universo no necesita 'elegir' un estado definitivo: necesita solo que la probabilidad de los estados alternatives sea lo suficientemente pequena para ser imperceptible. El trompe-l'oeil existe: la realidad solida tambien. Ambos son el mismo fenomeno a escalas distintas.

0.3 ¿Por qué φ y no otro número?

El colapso produce un estado discreto. Entre todos los estados discretos, el que minimiza la información requerida para describir su distribución debe usar la razón geométrica más difícil de aproximar con racionales. φ es esa razón: tiene la expansión en fracciones continuas más lenta (φ = [1;1,1,1,...]) y produce la distribución más uniforme en el círculo para N pequeño y moderado (verificado numéricamente para N = 10, 50, 100, 500, 1000). Para N→∞ el resultado es más sutil: φ y √2-1 son comparables, pero φ tiene la propiedad adicional de ser el número que satisface $\varphi^2 = \varphi+1$ (equivalentemente, $x^2 = x + 1$, cuyos coeficientes son todos la unidad). Conviene una precisión (octava revisión): esta NO es «la única ecuación de segundo grado sin coeficiente libre» —hay infinitas ecuaciones cuadráticas de la forma $x^2 = ax + b$—; lo propio de $x^2 = x + 1$ es que sus tres coeficientes son la unidad y que su raíz positiva es φ, no que sea única en su clase.

$$\varphi = [1;1,1,1,1,...] = \text{argmin}\ \{||q\alpha - p|| : p,q \in \mathbb{Z},\ q \leq N\}$$

0.4 La cadena completa

El argumento tiene cuatro pasos sin hipótesis adicionales:

(1) Nada = $|\varnothing\rangle \notin \hbar$ → existe pero no puede mantenerse

(2) Colapso inevitable de $|\varnothing\rangle$ → estado discreto con mínima información

(3) Mínima información en espacio circular → razón φ

(4) $\hat{M} = m_P \cdot \varphi^{(-2\hat{r}^2/l_P^2)}$ es el operador de ese colapso

Esto formaliza la intuición del §1.1: el vacío gris no es una elección, es el único estado que simultáneamente existe (N finito) y colapsa (N→∞). La proporción áurea φ no se postula — es la consecuencia de que el colapso minimice información.

La indeterminación máxima $|\varnothing\rangle$ existe formalmente pero no en $\hbar$. Su colapso es inevitable y produce estados discretos.
El colapso de mínima información usa razón φ (φ = [1;1,1,...] es el más irracional de los irracionales). El universo emerge porque la nada — indeterminación total — no puede sostenerse como estado físico normalizable. Esto responde "¿por qué φ?" desde la teoría de la información, no desde la geometría.

> Estado formal: el paso (3) — mínima información implica φ — requiere una demostración más rigurosa que la verificación numérica. La

discrepancia de φ es mínima para N pequeño y moderado pero no universalmente. El argumento correcto usa que φ = [1;1,1,...] tiene los coeficientes de fracción continua más pequeños posibles — esto sí es un teorema. La conexión precisa entre fracciones continuas y mínima información es trabajo pendiente de formalización.

0.5 Las capas como consecuencia del principio de indeterminación áureo

Si las capas son reales, deben ser consecuencia del principio de indeterminación — no un postulado geométrico. La siguiente derivación demuestra que las capas L_k son exactamente la estructura que satura el principio de indeterminación en una geometría con simetría de escala φ.

Derivación

En una geometría euclídea estándar, el principio de incertidumbre es Δr·Δp ≥ ħ/2. En la geometría del vortice áureo la métrica radial tiene factor φ (de la condición v_r/v_g = φ). La acción mínima en esta geometría es ħ/φ en lugar de ħ:

La escalera de longitudes de las capas se obtiene SIN el conmutador áureo (que es heurístico e inválido, §A.17.2), a partir de la longitud de Compton de las masas, que es estándar. La cota de incertidumbre se satura del modo usual, Δr · Δp_r = ħ/2, sin factor 1/φ.

Para un modo estacionario de masa m_n = m_P·φ^(-2n), el momento es Δp_n = m_n·c. La DESVIACIÓN ESTÁNDAR en posición que satura la cota áurea (Δr·Δp = ħ/(2φ)) es:

Para un modo de masa m_n = m_P·φ^(-2n), la longitud de Compton es λ_n = ħ/(m_n·c) = l_P·φ^(2n), usando ħ/(m_P·c) = l_P. El espesor característico de la capa n es de orden de esta longitud: Δx_n ~ l_P·φ^(2n-1), la contraparte directa de la escalera de masas vía la relación de Compton —la misma proporción áurea φ² entre capas, expresada en longitud en vez de masa. El factor φ que ordena las capas proviene de la escalera de masas, no de una modificación del principio de incertidumbre.

Este es exactamente el espesor de la capa L_{2n}: Δx_{L_{2n}} = l_P·φ^{2n+1} - l_P·φ^{2n} = l_P·φ^{2n}·(1-1/φ) = l_P·φ^{2n-1}. Verificado numéricamente para n = 40, 45, 48, 53.54 con error < 10^(-6).

$$\Delta r_n = \Delta x_{L_{2n}} \quad \forall n \quad \text{(verificado exactamente)}$$

Las capas L_k son la única estructura que satura el principio de indeterminación áureo Δr·Δp = ħ/φ para modos estacionarios. No son un postulado geométrico: son una consecuencia del PF. La cadena completa es: PF → φ → Δr·Δp = ħ/φ → L_k = [l_P·φ^k, l_P·φ^(k+1)) → M̂ → Ĥ.

La métrica g_rr = 1/φ es la elección natural con simetría de escala, pero no la única que satisface g_rr·φ² + g_θθ = φ+2. La demostración completa de unicidad se presenta en §1.5.

0.6 Derivación formal del principio de indeterminación áureo

La métrica del vórtice áureo se determina de la condición energética. El vórtice tiene v_r = φ·v_g y v_θ = v_g. Su energía cinética es T = ½ρv_g²(φ²+1) = ½ρv_g²(φ+2), usando φ² = φ+1. La métrica efectiva g_μν que reproduce esta energía satisface g_rr·φ² + g_θθ = φ+2. La elección natural con simetría de escala es g_rr = 1/φ, g_θθ = 2, verificación: φ²/φ + 2 = φ+2 = 3.6180 ✓.

$$g_rr = 1/\varphi, \quad g_\theta\theta = 2 \quad \rightarrow \quad g_rr\cdot\varphi^2 + g_\theta\theta = \varphi+2 \ \checkmark$$

Teorema

En la geometría del vórtice áureo con g_rr = 1/φ, los estados coherentes satisfacen:

$$\Delta r \cdot \Delta p_r\text{^}\{fís\} = \hbar/\varphi$$

Demostración

El espesor de las capas y la escalera de longitudes se obtienen mediante la longitud de Compton de las masas, como se expone en §0.5, sin recurrir a ninguna modificación del principio de incertidumbre. Existió en versiones previas una derivación alternativa basada en un conmutador áureo [r̂, p̂] = iℏ/φ obtenido de p_fís = g_rr·p_can; esa derivación NO es matemáticamente válida —en una variedad el operador de momento es p = −iℏ∇ y la métrica no lo redefine multiplicándolo por una componente— y se ha retirado del cuerpo principal. Se conserva, únicamente como registro histórico de una motivación heurística descartada, en el apéndice §A.21. El resultado sobre el espesor de las capas no depende de ella: proviene de la escalera de masas vía Compton (§0.5).

Derivación desde el principio energía-tiempo

La derivación correcta no requiere modificar el conmutador ni invocar estados coherentes. Parte del principio estándar ΔE·Δt ≥ ℏ/2 y de la velocidad de tracción del retículo v_g = c/φ (§1.4).

Paso 1 — Tiempo de tránsito: el modo de masa m_n atraviesa su capa de espesor Δx_n = l_P·φ^(2n-1) a velocidad v_g = c/φ:

$$\Delta t = \Delta x_n / v_g = \Delta x_n \cdot \varphi/c = l_P\cdot\varphi\text{^}(2n)/c$$

Paso 2 — Incertidumbre en energía (saturación de ΔE·Δt = ℏ/2):

$$\Delta E = \hbar/(2\Delta t) = \hbar\cdot c \,/\, (2\varphi\cdot l_P\cdot\varphi\text{^}(2n-1)) = m_n\cdot c^2/2$$

Paso 3 — Incertidumbre en momento (Δp = ΔE/c):

$$\Delta p = m_n\cdot c/2$$

Paso 4 — Producto Δx_n·Δp (identidad algebraica exacta):

$$\Delta x_n\cdot\Delta p = l_P\cdot\varphi\text{^}(2n-1)\cdot m_P\cdot\varphi\text{^}(-2n)\cdot c/2 = \hbar\cdot\varphi\text{^}(-1)/2 = \hbar/(2\varphi) \quad \forall n \ \checkmark$$

Principio de indeterminación áureo: formulación correcta. Δx_n · Δp = ℏ/(2φ) para todo n. Deriva de ΔE·Δt = ℏ/2 con v_g = c/φ (§1.4). No requiere modificar el conmutador ni estados coherentes. El factor φ en el denominador proviene de v_g = c/φ: la velocidad de tracción del retículo es c/φ, no c. Identidad algebraica exacta: verificada para todo n con error < 10^(-6). Resuelve el error de factor 2 señalado en la revisión matemática.

Consecuencia: los espesores de capa

Para un modo estacionario de masa m_n = m_P·φ^(-2n), el momento físico es Δp_n = m_n·c. La incertidumbre en posición que satura la cota áurea es:

Δr_n = ħ/(2φ·m_n·c) = l_P·φ^{2n-1}/2 (desviación estándar, cota Robertson saturada) Δx_n = 2·Δr_n = ħ/(φ·m_n·c) = l_P·φ^{2n-1} (espesor total de capa) ✓

Esto corresponde a la mitad del espesor de la capa L_{2n}: Δx_{L_{2n}}/2 = l_P·φ^{2n-1}/2 (desviación estándar, cota de Robertson saturada). El espesor total de la capa es 2·Δr_n = ħ/(φ·m_n·c) = l_P·φ^{2n-1}, donde Δx_{L_{2n}} = l_P·φ^{2n+1} − l_P·φ^{2n} = l_P·φ^{2n-1}. Verificado numéricamente para n=40, 45, 48, 53.54 con error ≤10^{-6}.

Cadena derivativa completa y rigurosa: PF (indeterminación máxima no normalizable) → φ (Hurwitz 1891: el número más difícil de aproximar) → g_rr = 1/φ (métrica del vórtice de mínima energía) → [r̂, p̂_fís] = iħ/φ (conmutador físico) → Δr·Δp ≥ ħ/(2φ) (cota Robertson en geometría áurea; saturación exacta demostrada en §1.5 desde ΔE·Δt con v_g=c/φ) → L_k = [l_P·φ^k, l_P·φ^{{k+1}}) (capas como única estructura que lo satura) → M̂ → Ĥ → física observable. La cadena tiene dos pasos que NO son rigurosos y deben marcarse como tales: (i) «mínima información ⇒ φ» es una conjetura no demostrada (§0.4, §20.18.6), y (ii) el conmutador [r̂, p̂] = iħ/φ obtenido de p_fís = g_rr·p_can NO es válido como demostración —en una variedad el momento es p = −iħ∇, no p·g_rr, y la métrica no redefine el operador momento de esa forma (§A.17.2). La cadena es, por tanto, una construcción organizadora con pasos demostrados (la topología, los grupos) y pasos conjeturales o heurísticos (φ, el conmutador), no una derivación rigurosa de extremo a extremo. El supuesto central es g_rr = 1/φ, que el marco motiva pero no deriva.

0.7 El universo como proceso de olvido selectivo

La intuición generativa del Principio Fundamental tiene una formulación matemática precisa en términos de pérdida de información. Todo lo que existe es información que no fue olvidada. La masa es memoria. El tiempo es la dirección del olvido.

La tasa óptima de olvido

Modelando el olvido como un canal cuántico F que en cada paso transfiere una fracción f del modo n al modo n+1: F(|n⟩⟨n|) = (1-f)·|n⟩⟨n| + f·|n+1⟩⟨n+1|. El estado estacionario tiene P_n* ∝ ((1-f)/f)^n. Para que coincida con la distribución reticular P(n)∝φ^(-2n):

(1-f)/f = φ^(-2) → f = φ²/(φ²+1) = 0.723607. Nota de fundamentación (novena revisión): el canal produce genéricamente un decaimiento geométrico P_n ∝ ((1−f)/f)^n; el valor φ no se predice sino que se IMPONE eligiendo f para que (1−f)/f = φ⁻². El canal muestra que un decaimiento geométrico es natural, pero la razón áurea específica proviene de fijar f, no del canal: es consistencia con la escalera de masas, no derivación de φ.

La tasa de retención es 1-f = 1/(φ²+1) = 0.2764 (de la relación de definición (1−f)/f = φ⁻², que da f = φ²/(φ²+1) = 0.7236). El universo olvida el 72.36% y retiene el 27.64% en cada paso de tiempo. Nota: la fracción de materia oscura observada es Ω_DM ≈ 27.6%, próxima a la tasa de retención 1-f = 1/(φ²+1) = 27.6% (coincidencia al ~4%).

La masa como memoria

Sea I(n) = información retenida en el modo n, medida respecto al modo base (graviton, n=0): I(n) = 2n·lnφ. La masa del modo n es la exponencial negativa de la información perdida:

$$m_n = m_P \cdot e^{(-I(n))} = m_P \cdot \varphi^{(-2n)} \quad ✓$$

Inversamente: I(n) = ln(m_P/m_n). Las partículas más masivas (n pequeño) son las que el universo "recuerda" con más fuerza. El fotón (m=0) tiene I→∞: toda su información de masa fue olvidada, por eso no tiene inercia. El modo n=0 (escala de Planck) tiene I=0: nada olvidado.

El tiempo como contador de olvido

El tiempo de Planck t_P es el tiempo de un paso de olvido. El universo observable ha sufrido N_U ≈ 291.5 pasos desde la escala de Planck hasta el horizonte cósmico. El protón sobrevivió 45.73 pasos de olvido; el electrón sobrevivió 53.54 pasos. Las partículas más ligeras sufrieron más pasos de olvido.

Entropía del sistema y predicción nueva

La entropía de la distribución reticular converge a S = 1.0760 independientemente del número de modos. Es una constante del sistema, no de los parámetros. Para un sistema de N partículas con masas m_i, la entropía informacional del marco (distinta de la entropía termodinámica estándar) es:

$$S = \Sigma_i \ln(m_P/m_i) = \Sigma_i I(n_i)$$

Debe precisarse el estatus de esta cantidad: S = Σ_i ln(m_P/m_i) es una entropía informacional propia del marco —la suma de las pérdidas de información I(n_i)—, no la entropía termodinámica estándar. No coincide a priori con Gibbs, Boltzmann ni von Neumann: no se construye sobre estados accesibles ni probabilidades, sino sobre los índices de masa. Llamarla «entropía» en sentido termodinámico requeriría demostrar las propiedades correspondientes (extensividad, segunda ley, relación con el calor), lo que no se hace aquí. Con esa salvedad, el marco propone como conjetura verificable que esta entropía informacional se relacione con datos termodinámicos: que la entropía de un gas de partículas del SM tenga una contribución ligada a la suma de las pérdidas de información I(n_i). La verificación requeriría comparar con datos de QGP (plasma de quarks y gluones) a alta temperatura, y es una predicción tentativa, no una identidad establecida.

> El universo como olvido selectivo: vacío = olvido total (máxima entropía). Partículas = retenciones parciales de información. Masa = cantidad retenida: m = m_P·e^(-I). Tiempo = pasos de olvido desde |∅⟩. φ = tasa de olvido mínimo (Hurwitz: más difícil de aproximar). Tasa de retención = 1/(φ²+1) = 0.2764 ≈ Ω_DM = 0.276. Predicción: S = Σ ln(m_P/m_i) verificable en QGP.

0.1 Estado fundamental K_0 y primera diferenciación K_1

El estado primordial se define como un punto fijo auto-consistente, sin estructura internamente verificable:

Este punto fijo auto-consistente es, en la formulación completa del marco (§20.18.5), K½, la mínima acción —y su carácter de punto fijo es literal, no metafórico. K½ es el origen auto-actualizante: una estructura potencial que, para existir, crea sus propios polos K_0 y K_max y se realiza como el equilibrio entre ellos. No surge de la nada (la potencialidad no es nada, sino posibilidad de ente) ni exige una causa anterior (el bucle se cierra en sí mismo): K½ crea aquello que es su propio origen, siendo causa de su causa sin contradicción, porque la potencialidad que es lo primero se actualiza generando sus propias condiciones de realización. Es el mismo punto fijo que da φ —la autorreferencia x = 1 + 1/x— pero en el plano ontológico: el marco es autorreferencia en su número (φ) y en su origen (K½), una sola estructura en dos planos. De este punto fijo auto-creador se diferencian K_0 y K_max, y de su desequilibrio por la cadena áurea surge la materia.

$$X = F(X)\ , \quad \Delta I(K_0) = 0$$

donde ΔI es la información internamente distinguible. K_0 no posee geometría, temporalidad ni observadores internos: es la nada del §0 en forma precisa.

La primera estructura distinguible es una autorreferencia no trivial:

$$x = 1 + 1/x \iff x^2 = x + 1 \rightarrow x = \varphi$$

Así φ no aparece por elección: es la primera estructura auto-referencial posible —la fracción continua [1; 1, 1, …], el número más irracional (§A.5)—. Esta es la primera diferenciación, K_1.

La emergencia de K_1 no destruye a K_0. El estado fundamental no necesariamente deja de existir: puede seguir existiendo, coexistiendo con la estructura diferenciada.

Por qué φ, y no un postulado estético. La premisa de que no hay un afuera (K_0 es el fondo de todo, ΔI=0) tiene una consecuencia que fija la razón áurea sin elegirla. Sin un exterior, la diferenciación solo puede ser interna —hacia adentro—, y las capas no tienen ninguna referencia externa que las distinga unas de otras. Para ser distintas (escalas o partículas diferentes), entonces, deben auto-distinguirse: ninguna capa puede resonar con otra. El número que logra la máxima no-resonancia —el más irracional, el que peor se aproxima por racionales— es único, y es φ (por su fracción continua [1;1,1,...], la de convergencia más lenta; es el mismo principio por el que el girasol usa φ para no solapar semillas).

Así, φ no se postula por ser bella: es la única razón que mantiene todas las capas distinguibles cuando no hay referencia externa. Además, φ = 1 + 1/φ es la relación más auto-referencial posible —se reproduce a sí misma—, y su fracción continua infinitamente anidada es, literalmente, una estructura hacia adentro. El detalle técnico está en §A.5.

0.2 Tiempo: la flecha del pulso desde K_0

El estado K_0 (§0.1) es el punto fijo inaccesible — $\Delta I(K_0) = 0$, sin observadores internos. La primera diferenciación $K_0 \rightarrow K_1$ (x = φ) es el pulso: el sistema

abandona el punto fijo y empieza a desplegarse. El tiempo es la dirección de ese despliegue desde K_0.

K_0 es el pasado de mínima información, y la flecha del tiempo apunta lejos de él, hacia mayor complejidad. Esto es exactamente la Hipótesis del Pasado (Boltzmann, Penrose): la flecha temporal proviene de un estado inicial de baja entropía/información. K_0 cumple ese papel — es el origen de baja información que orienta el tiempo (origen del despliegue observable; el origen último es $K_{½}$, §20.18.5, del que K_0 se diferencia), sin necesidad de postularlo aparte.

El mecanismo de propagación es el clockwork áureo (§A.7): el pulso sube por las capas (la escalera áurea) y genera el espectro. K_0 permanece inaccesible — no se puede observar "la nada" ($\Delta I = 0$, sin observadores) —, así que el origen es inalcanzable; solo se ve el pulso ya desplegado.

Compatibilidad con la expansión. Esta lectura es coherente con el universo en expansión del marco (§A.3, §D.4): el pulso se despliega hacia afuera desde K_0 — como una condición inicial que se expande—, y el universo envejece (se aleja de K_0, la información crece). NO es una cosmología cíclica: K_0 es un origen, no un latido que se repite.

Estatus. Es una capa interpretativa (como §0.1), anclada en una idea física real (la Hipótesis del Pasado): le da al marco una flecha temporal y una dinámica — el despliegue del pulso desde el origen inaccesible K_0— sin postular tiempo cíclico ni sintonías biológicas. La dinámica concreta es el clockwork (§A.7); "el pulso desde K_0" es la lectura que la enmarca.

La escalera como eco del pulso (imagen intuitiva). Una forma intuitiva de ver esto: el pulso de K_0 es como un grito, y la escalera de masas es su eco. El grito original está en la escala de Planck (máxima energía); cada capa sucesiva es un eco más débil, y la masa decae geométricamente, $m = m_P \cdot \varphi^{(-2n)}$ (§A.1, §A.3). Igual que un eco real pierde una fracción fija por rebote, aquí el "coeficiente de reflexión" por capa es $\varphi^{(-2)} \approx 0.382$: cada eco es ~38% del anterior, y el sonido se apaga capa a capa hasta el horizonte (~89 peldaños). Dos precisiones: el eco es escalar (capta la escalera, no los grupos no abelianos), y no es disipación sino despliegue — el pulso genera las capas al desplegarse, cada una más débil, sin perder energía a un ambiente.

$$K = K_0 \oplus K_1$$

Es decir, la realidad diferenciada (la estructura áurea) no reemplaza al fondo indiferenciado, sino que se superpone a él: K_0 persiste por debajo de K_1.

Nota: $X = F(X)$ y $\Delta I(K_0) = 0$ son axiomas fundacionales. La matemática (φ por auto-referencia) es genuina, pero el origen como tal pertenece a la capa interpretativa del marco, no a sus predicciones falsables.

0.3 La raíz única y el principio de selección

Una advertencia metodológica, para evitar una ilusión de sobre-determinación. El marco parece apoyar la razón áurea y la geometría toroidal desde varios frentes —topológico, informacional, dinámico—, pero estos no son soportes independientes. Todos descansan en una sola raíz y un solo principio de selección, expresados en distintos lenguajes.

La raíz única es "no hay afuera": K_0 es la totalidad, sin referencia externa ($\Delta I = 0$). De ella salen dos expresiones equivalentes: la topológica (sin afuera, el

espacio es cerrado; aquí hay un paso que conviene marcar con honestidad —novena revisión—: «sin afuera» da una superficie cerrada, pero cerrada no implica por sí sola $\chi=0$, pues la esfera también es cerrada y tiene $\chi=2$; la selección de $\chi=0$ requiere además la condición de curvatura neta nula, que el marco motiva por la ausencia de fuente o sumidero global de curvatura pero no deriva de «sin afuera» en sentido estricto. Admitida esa condición adicional, una superficie cerrada orientable de curvatura neta cero tiene $\chi=0$ por Gauss-Bonnet, lo que en dos dimensiones —vía el teorema de clasificación de superficies— da el toro ($g=1$); el toro plano es además la única superficie cerrada plana orientable, por Bieberbach. La conclusión «toro» usa por tanto Gauss-Bonnet más la clasificación de superficies y la orientabilidad, no Gauss-Bonnet solo, y es específica de dos dimensiones (§A.6)) y la informacional (sin referencia externa, las capas solo pueden auto-distinguirse, §A.5).

El principio de selección único es la minimalidad / no-resonancia: de todas las razones compatibles se toma la extremal — la más irracional (informacional, vía Hurwitz), equivalentemente el acoplamiento entero mínimo (topológico, §A.5), equivalentemente el cierre de mínima acción (dinámico, §1.4). Las tres formulaciones dan φ porque son el mismo principio traducido, no tres demostraciones distintas.

Por qué conviene decirlo. Presentar las tres como soportes independientes sugeriría que φ está sobre-determinado —confirmado por tres caminos—; no lo está: es un único postulado con tres caras. Nombrarlo así evita que el argumento parezca mudar de lenguaje según conveniencia, y pone la exposición a la altura de cómo se tratan otros principios físicos (la entropía admite formulaciones de Boltzmann, Gibbs y Shannon sin que sean tres pruebas independientes). La sobre-determinación real exigiría una ruta que diera φ sin el principio de minimalidad —por ejemplo, un atractor dinámico genuino válido para cualquier condición inicial—, que el marco aún no posee.

Refinamiento: las dos caras de la raíz, proyectadas sobre tiempo y espacio. La raíz "no hay afuera" tiene dos caras. La cara informacional ($\Delta I=0$, sin referencia externa) genera la flecha del tiempo: el tiempo es el despliegue de la información que crece desde K_0 (§0.2), no un eje geométrico. La cara topológica (sin borde, cerrado) genera el espacio: el toro, vía Gauss-Bonnet (§A.6). Así, tiempo y espacio son las proyecciones temporal y espacial de la misma raíz — tiempo ↔ información, espacio ↔ topología.

Una lectura opcional, no forzada por el marco, da prioridad a la cara informacional: el contenido del universo es informacional (masa = memoria, $I(n) = 2n\cdot\ln\varphi$; las partículas son información retenida), mientras la topología sería el escenario emergente. Esto resuena con propuestas de física real —el "it from bit" de Wheeler; el tiempo térmico de Connes–Rovelli, donde el tiempo emerge del estado estadístico; la holografía, donde el espacio emerge del entrelazamiento—. Pero el marco también admite la lectura genuinamente dual (dos caras de una raíz, ninguna anterior); cuál es más fundamental queda abierto. Todo esto es capa interpretativa, no contenido falsable.

Nota: la topología como flujo congelado (qué fue primero). La analogía del agua ilumina la pregunta por el origen. El flujo —tiempo, información, el pulso desde K_0— es como el agua líquida: dinámica, sin estructura fija. La topología — espacio, partículas— es como el hielo: estructura que se congela en el flujo, sin

que el flujo deje de existir por debajo (K_0 persiste bajo K_1, §0.2). El agua congelada no deja de ser agua.

Esto no es solo metáfora: corresponde al mecanismo de Kibble–Zurek, por el cual un sistema enfriado a través de una transición de fase congela defectos topológicos (vórtices en superfluidos, cuerdas cósmicas al enfriarse el universo). Como en este marco las partículas son defectos topológicos del retículo (vórtices, winding, el protón como tres vórtices enlazados), "congelar el flujo" produce justamente la materia. El "enfriamiento" sería la información asentándose a medida que el pulso se despliega.

De ahí una respuesta tentativa a qué fue primero: el flujo (tiempo), y la topología como flujo congelado. Dos argumentos lo favorecen: el físico (la estructura se congela a partir de un flujo previo; el líquido precede al cristal) y el lógico ("primero" es ya una noción temporal, de modo que el tiempo como devenir es la precondición de cualquier emergencia). Queda favorecido, no demostrado: la lectura dual sigue abierta, y existen marcos donde el tiempo emerge de una estructura atemporal. Todo esto es capa interpretativa, no contenido falsable.

Síntesis. El universo tiene dos caras —espacio (topología) y tiempo (información)—, y la dinámica es su acoplamiento por mínima acción: la información fluyendo a través de la topología. La misma acción que une las dos caras es la que selecciona φ. (Descrito para la dinámica efectiva, §A.11; la completa —no abeliana y fermiónica— queda abierta.)

1. Principio de dualidad y vacío geométrico

Frente al reduccionismo que interpreta el cero como inexistencia absoluta, el presente formalismo se fundamenta en el principio de equilibrio dinámico:

$$0 = 1 - 1$$

El vacío o ‘fondo gris primordial’ es un estado de máxima tensión simétrica donde dos polaridades conjugadas se cancelan vectorialmente. La manifestación de un modo discreto de materia requiere que el retículo rompa espontáneamente su simetría a través de un par conjugado: la energía no se crea ni se pierde, transmuta su arquitectura geométrica. El Big Bang es la primera ruptura de esa simetría: el paso de 0 a (1,−1).

1.1 Dos operaciones sobre el fondo gris

El fondo gris primordial (0 = 1−1) admite exactamente dos operaciones geométricas que lo transforman en algo distinto. Ninguna crea energía: ambas transmutan la arquitectura del vacío.

Gris + tracción → blanco lineal (campo, fuerza, mediador)

Gris + rotación → blanco circular (masa, partícula, materia)

La ‘tracción’ es un estiramiento lineal del espacio-tiempo: genera un gradiente unidireccional. El fondo gris se diferencia a lo largo de una dirección sin cerrarse. El resultado es un enlace — una perturbación que se propaga sin

acumular curvatura. Este es el origen de los mediadores de fuerza: fotones y gluones son tracción pura del vacío, sin nodo, sin masa.

La ‘rotación’ es un plegado circular: el espacio-tiempo se dobla sobre sí mismo hasta cerrarse en un defecto estable. La curvatura se acumula en un punto. El resultado es un nodo — una perturbación que no se propaga sino que persiste. Este es el origen de la masa: cada partícula fundamental es rotación pura del vacío, sin propagación libre, con energía confinada.

1.2 La combinación: el retículo espiral

La operación compuesta — tracción y rotación simultáneas — genera la espiral logarítmica áurea: estiramiento con giro. El radio crece en cada vuelta exactamente por φ, la única razón que hace la espiral auto-similar a todas las escalas. Este es el retículo de curvatura áurea: no una estructura impuesta sobre el espacio-tiempo sino la única forma que el espacio-tiempo puede tomar cuando tracción y rotación coexisten en equilibrio mínimo.

Gris + tracción + rotación → blanco espiral (el retículo áureo completo)

> Principio de dualidad ampliado: el vacío tiene tres estados distintos del gris. Tracción pura genera mediadores sin masa (enlaces). Rotación pura genera materia con masa (nodos). Tracción + rotación genera el retículo áureo que los contiene a ambos. La ruptura primordial de TCI fue rotación: el primer nodo, el primer defecto de curvatura, el primer bit de masa en el universo.

1.3 Correspondencia con la geometría del modelo

La distinción tracción/rotación se formaliza exactamente en la arquitectura nodos/enlaces del retículo (Sección 3). Los nodos — rotación pura — tienen índice n finito y masa m = m_P·φ^(−2n). Los enlaces — tracción pura — son matrices de fase U_{ij} = exp(i∫A·dx) con masa cero por invariancia gauge. La espiral áurea — tracción + rotación — es el retículo que determina qué nodos son estables: solo aquellos cuyo radio r_n = √n crece en el ángulo θ_n = n·360°/φ² sin interferencia con los demás.

> *Nota: φ se usa en §1.1–1.3 anticipando su derivación. φ emerge como autovalor de F_4 (§2.3) y como razón de cierre del vórtice (§1.4). Las secciones §1.1–1.3 lo usan como resultado; §1.4–2.3 lo derivan.*

El Big Bang fue el primer acto de rotación: TCI comprimíendo el fondo gris hasta cerrarlo. La expansión del universo después de la ruptura es la tracción resultante. El universo observable es el equilibrio entre esa rotación original y la tracción que liberó. Cada partícula es un eco de esa rotación primordial. Cada fotón es un eco de la tracción que la siguió.

1.4 El vórtice áureo: de dónde viene φ

Las secciones anteriores postulan que φ organiza el retículo. Esta sección deriva ese postulado desde la dinámica del vacío. Un flujo de espacio-tiempo tiene tres velocidades: v_g (tracción hacia el centro), v_r (rotación tangencial) y v_t (traslación del conjunto). La condición de cierre estable — que el flujo se cierre sobre sí mismo sin disiparse ni colapsar — impone exactamente una razón entre v_r y v_g:

$$v_r / v_g = \varphi = (1+\sqrt{5})/2$$

El marco postula que cualquier otra razón produce un flujo que se abre en espiral divergente (v_r/v_g mayor que φ) o colapsa hacia el centro (v_r/v_g menor que φ), de modo que φ sería el único punto fijo estable. Nota de fundamentación (novena revisión): esta afirmación de estabilidad es un POSTULADO físico, no una derivación demostrada —establecer que φ es «el único punto fijo estable» exigiría una ecuación dinámica explícita (un sistema $\dot{r} = f(r,\theta)$ con su análisis de estabilidad lineal) que el marco no provee. La imagen de divergencia/colapso es heurística y motivadora, no una prueba; el estatus correcto de $v_r/v_g = \varphi$ es el de hipótesis física, no el de teorema dinámico.

1.5 Masa como volumen de confinamiento

La masa no es sustancia: es energía del vacío atrapada en un volumen que el flujo no puede abandonar. Definiendo $\varepsilon = 1 - v_t/c$ como el grado de confinamiento ($\varepsilon=1$ en reposo, $\varepsilon=0$ para $v_t=c$):

$$m = \rho_0 \cdot V_{conf} / (c^2 \cdot \varepsilon)$$

donde $\rho_0 = \hbar c/l_P^4$ es la densidad de energía del vacío de Planck y V_{conf} es el volumen encerrado por el vortice cerrado. Con $V_{conf} = \varphi^{(-2n)} \cdot l_P^3$ la fórmula se reduce exactamente a $m = m_P \cdot \varphi^{(-2n)}$: la misma ecuación del retículo, ahora con interpretación física completa. El índice n mide qué fracción del volumen de Planck ocupa el defecto: cuanto mayor n, menor volumen, menor masa.

El fotón es el caso límite $\varepsilon \to 0$ ($v_t = c$): volumen de confinamiento efectivo nulo, masa cero. El electrón tiene $\varepsilon = 1$ y $V_{conf} = \varphi^{(-2\times 53.54)} \cdot l_P^3$. El protón encierra tres vórtices enlazados (N=3) con volumen colectivo que corresponde a $n = 45.73$.

1.6 Ecuación de campo candidata

La condición de cierre áureo y la cuantización del flujo se expresan en dos ecuaciones que deben satisfacerse simultáneamente:

$$\nabla \times \nu = [2\ln(m_P/m)/l_P] \cdot \nu \qquad \text{(ecuación de vórtice áureo: notación abreviada de } (\nabla \times v)_z = [\ldots] \cdot v_\theta \text{ en cilíndricas)}$$

$$\oint \nu \cdot dl = h/m \qquad \text{(cuantización del flujo)}$$

La primera impone que la curvatura del flujo sea proporcional a φ/r en cada punto — la condición diferencial del cierre estable. La segunda es la cuantización de Bohr aplicada al vórtice: la circulación total debe ser un múltiplo de h/m. Los autovalores de este sistema son exactamente los índices n del retículo cuando se impone la condición de frontera $v_r/v_g = \varphi$. Derivar estos autovalores formalmente es el paso que convierte el modelo fenomenológico en una teoría predictiva.

> Resumen de la Sección 1: El vacío tiene una única condición de estabilidad dinámica: $v_r/v_g = \varphi$. De ella emerge φ como constante del universo, no como elección. La masa es volumen de confinamiento: $m = \rho_0 \cdot V_{conf}/c^2 \cdot \varepsilon = m_P \cdot \varphi^{(-2n)}$ con $V_{conf} = \varphi^{(-2n)} \cdot l_P^3$. Tracción pura

(ε=0) → fotón. Rotación pura (ε=1) → partícula masiva. La ecuación $\nabla\times\nu = \varphi\nu/r$ con $\oint\nu\cdot dl = h/m$ es el candidato a la ecuación de campo que el lagrangiano de la Sección 2 requiere.

1.7 Emergencia de c: el límite de velocidad como consecuencia del retículo

La velocidad de la luz c no es un postulado del retículo áureo. Es una consecuencia algebraica del Hamiltoniano $\hat{H} = \hat{p}^2c^2 + \hat{M}^2c^´$ y del signo definido positivo del operador de masa $\hat{M}$. La derivación tiene tres niveles, de menor a mayor rigor.

1.7.1 Nivel geométrico: v_max = l_P/t_P

El retículo tiene escala mínima l_P (espacial) y t_P (temporal). Esto es independiente del modelo: es la conclusión de combinar Relatividad General con Mecánica Cuántica (Bronstein 1936). Un defecto de curvatura no puede desplazarse más de l_P en menos de t_P sin que el espacio-tiempo "actualice" su curvatura local. Por tanto la velocidad máxima de propagación es:

$$v_max = \Delta r_min / \Delta t_min = l_P / t_P = c$$

Los fotones alcanzan exactamente v_max porque son perturbaciones de entrecapa: no tienen que "establecerse" en ninguna capa, solo atravesar la interfaz de espesor l_P en tiempo mínimo t_P.

1.7.2 Nivel algebraico: consecuencia del Hamiltoniano

El Hamiltoniano del retículo $\hat{H} = \hat{p}^2c^2 + \hat{M}^2c^´$ implica la relación de dispersión $E^2 = p^2c^2 + m^2c^´$. La velocidad de grupo de cualquier modo es:

$$v_g = \partial E/\partial p = pc^2/E = c \cdot (pc/E)$$

Como $\hat{M}$ es positivo definido ($\hat{M} \geq 0$ para todo modo del retículo): para modos masivos $\hat{M}|n\rangle = m_P\cdot\varphi\hat{}(-2n)|n\rangle > 0$ implica $E > pc$, luego $v_g = pc^2/E < c$. Para el fotón $\hat{M}|\text{entrecapa}\rangle = 0$ implica $E = pc$, luego $v_g = c$ exactamente. c es el supremo del conjunto {v_g} y no es alcanzado por ningún modo masivo.

1.7.2 La ecuación de evolución: Klein-Gordon como fundamental, Schrödinger como límite

La relación de dispersión $\hat{E}^2 = p^2c^2 + M^2c^4$ determina cuál es la ecuación de evolución temporal del marco, y conviene establecerlo con precisión, porque la respuesta tiene una consecuencia que es fácil de confundir. Como el operador fundamental relaciona la energía al cuadrado con el momento y la masa, la ecuación de evolución del marco es de tipo Klein-Gordon —de segundo orden en el tiempo—, no de tipo Schrödinger —de primer orden. La ecuación de Schrödinger no es la ecuación fundamental del marco; aparece únicamente como su límite no relativista.

La ecuación de evolución fundamental, correspondiente a la relación de dispersión, es la de Klein-Gordon:

$$-\hbar^2\,\partial^2\psi/\partial t^2 = (\hat{p}^2c^2 + \hat{M}^2c^4)\,\psi = \hat{E}^2\,\psi$$

Es de segundo orden en el tiempo, y su operador $\hat{E}^2$ tiene dimensiones de energía al cuadrado, en plena coherencia con que $\hat{E}^2$ no es un Hamiltoniano de Schrödinger sino la relación de dispersión relativista (§A.17.1). Esta es la razón

por la que el marco no puede usar una ecuación de la forma $i\hbar\partial\psi/\partial t = \hat{E}\psi$ con este operador: el lado izquierdo tendría dimensiones de energía y el derecho de energía al cuadrado, y la inconsistencia dimensional —corregida en su momento— es precisamente la que separa una ecuación relativista de segundo orden de una ecuación de Schrödinger de primer orden. El marco es relativista, y su ecuación de ondas lo refleja.

La ecuación de Schrödinger sí aparece en el marco, pero solo como el límite no relativista de la de Klein-Gordon, válido cuando la energía cinética es mucho menor que la energía en reposo (es decir, para velocidades mucho menores que c). El procedimiento es el estándar: se factoriza la oscilación rápida asociada a la masa en reposo, escribiendo $\psi = e^{(-iMc^2t/\hbar)\cdot\varphi}$, y para una función φ que varía lentamente en comparación con esa oscilación, la ecuación de Klein-Gordon se reduce a:

$$i\hbar\,\partial\varphi/\partial t = (-\hbar^2/2M\,\nabla^2 + V)\,\varphi \quad \textit{(límite no relativista, v mucho menor que c)}$$

que es la ecuación de Schrödinger. De modo que Schrödinger es una aproximación válida del marco en el régimen de bajas energías, como lo es de cualquier teoría relativista, pero no su ecuación de evolución básica. La distinción importa: la ecuación fundamental es Klein-Gordon, y Schrödinger es el límite que se recupera cuando las velocidades son pequeñas.

Para los modos estacionarios del retículo —las capas de masa $m_n = m_P\cdot\varphi^{(-2n)}$ en reposo— la evolución temporal toma la forma $\psi_n(t) = \psi_n\cdot e^{(-iE_n\,t/\hbar)}$, con $E_n = m_n\cdot c^2$ la energía en reposo del modo. Esta forma —una oscilación de frecuencia angular $E_n/\hbar$— coincide en apariencia con la de una solución estacionaria de la ecuación de Schrödinger, y es importante no dejarse confundir por ello: la coincidencia es solo de forma. La energía $E_n = m_n\cdot c^2$ que gobierna la oscilación es la energía en reposo relativista, obtenida de la relación de dispersión de Klein-Gordon con momento nulo ($\hat{E}^2 = M^2c^4$), no el autovalor de un Hamiltoniano de Schrödinger. La forma de la evolución de los modos es la misma; su origen es relativista. Así, el marco mantiene una descripción temporal consistente —oscilaciones $e^{(-iE_n\,t/\hbar)}$ para los modos estacionarios— sin recurrir a una ecuación de Schrödinger como fundamento, y sin reintroducir la confusión entre la relación de dispersión y un generador temporal lineal.

La ecuación de evolución (v14.3): Klein-Gordon fundamental, Schrödinger como límite. La relación de dispersión $\hat{E}^2=p^2c^2+M^2c^4$ (energía², §A.17.1) determina que la ecuación de evolución del marco es KLEIN-GORDON (2º orden en t): $-\hbar^2\partial^2_t\,\psi = \hat{E}^2\psi$, NO Schrödinger (1er orden). Schrödinger NO es la ecuación fundamental —su uso con $\hat{E}^2$ daría inconsistencia dimensional ($i\hbar\partial_t$ pide energía, $\hat{E}^2$ es energía²), el error corregido en revisiones 6-8. Schrödinger SÍ aparece, pero solo como LÍMITE NO RELATIVISTA (v mucho menor que c): factorizando $\psi=e^{(-iMc^2t/\hbar)\cdot\varphi}$ con φ lento, Klein-Gordon → $i\hbar\partial_t\,\varphi = (-\hbar^2/2M\,\nabla^2 + V)\varphi$ [Schrödinger]. Es aproximación válida en bajas energías, como en toda teoría relativista, no la ecuación base. MODOS estacionarios: $\psi_n(t)=\psi_n\cdot e^{(-iE_n\,t/\hbar)}$, $E_n=m_n\,c^2$ (reposo). La FORMA coincide con una solución de Schrödinger, pero $E_n=m_n\,c^2$ es relativista (Klein-Gordon, p=0), no autovalor de un

Hamiltoniano de Schrödinger. Forma igual, origen relativista. El marco es relativista; Schrödinger es su límite, no su fundamento.

1.7.3 Las frecuencias de Compton: una referencia física tangible de las capas

Cada capa del retículo, al tener una masa $m_n = m_P \cdot \varphi^{(-2n)}$, tiene asociada una frecuencia de Compton $\omega_n = m_n \cdot c^2/\hbar$, que es la frecuencia de la oscilación de la energía en reposo del modo (la frecuencia de la Zitterbewegung). Esta cantidad es físicamente real y, en principio, medible —los relojes de Compton de la metrología moderna se basan precisamente en ella—, de modo que ofrece una referencia tangible para los valores de las capas, anclando la escalera de masas en una escala de frecuencias de laboratorio. La escalera de frecuencias del retículo es:

$$\omega_n = m_n \cdot c^2/\hbar = \omega_P \cdot \varphi^{(-2n)}, \quad \text{con } \omega_P = m_P \cdot c^2/\hbar \approx 1.855 \times 10^{43} \text{ rad/s}$$

Aplicada a las partículas, esta frecuencia da valores concretos y conocidos para cada masa:

Partícula	Masa	ω_C (rad/s)	ν_C (Hz)
electrón	0.511 MeV	7.76×10^{20}	1.24×10^{20}
muón	105.7 MeV	1.61×10^{23}	2.56×10^{22}
protón	938.3 MeV	1.43×10^{24}	2.27×10^{23}
tau	1776.9 MeV	2.70×10^{24}	4.30×10^{23}

La conexión con la dualidad de los dos retículos (§20.18.12) es directa y elegante. De la relación dual $l_n \cdot E_n = \hbar c$, y usando $E_n = \hbar \omega_n$, se obtiene de inmediato $l_n \cdot \omega_n = c$, es decir:

$$\omega_n = c / l_n$$

La frecuencia de Compton de cada capa es exactamente c dividido por su longitud —la relación de onda $\omega = c/\lambda$. Frecuencia y longitud son, por tanto, las dos caras de cada capa, unidas por la velocidad de la luz: el retículo de longitudes (áureo) y el de frecuencias son inversos entre sí, con c como constante de proporcionalidad. Las frecuencias de Compton son la expresión, en el lenguaje de la frecuencia, de la misma dualidad que relaciona longitud y energía. Esto las integra de forma natural en la estructura del marco: no son una construcción aparte, sino la cara temporal de las capas que la dualidad ya describía.

Conviene, sin embargo, ser preciso sobre lo que esta referencia es y lo que no es. La frecuencia de Compton $\omega_n = m_n \cdot c^2/\hbar$ no es una referencia independiente de la masa: es la masa misma expresada en unidades de frecuencia, pues ω y m se relacionan biunívocamente por $\omega = mc^2/\hbar$. Dar la escalera en frecuencias no añade, por tanto, un anclaje nuevo ni una predicción independiente; reexpresa la escalera de masas $m_n = m_P \cdot \varphi^{(-2n)}$ en otra unidad física. Su valor es expositivo y de verificación, no probatorio: como las frecuencias de Compton son cantidades medibles, ofrecen una referencia concreta y tangible de cada capa, que conecta el marco con magnitudes de laboratorio y permite contrastar los valores en una escala física familiar, pero no constituyen evidencia adicional a favor de la escalera, que es la misma información vista en frecuencia. Con esa salvedad, las frecuencias de Compton son la forma más concreta de poner una referencia física a los valores de las

capas: cada masa del retículo tiene su frecuencia, medible y conocida para las partículas reales, y ordenada por la misma potencia áurea φ^(-2n) que ordena las masas.

> **Frecuencias de Compton como referencia física (v14.4): cada capa $m_n=m_P\cdot\varphi^{(-2n)}$ tiene frecuencia de Compton $\omega_n=m_n c^2/\hbar=\omega_P\cdot\varphi^{(-2n)}$ ($\omega_P\approx1.855\times10^{43}$ rad/s), la frecuencia de la Zitterbewegung —cantidad FÍSICA real, medible (relojes de Compton). Valores: electrón 7.76×10^{20}, muón 1.61×10^{23}, protón 1.43×10^{24}, tau 2.70×10^{24} rad/s. CONEXIÓN con la dualidad (§20.18.12): de $l_n\cdot E_n=\hbar c$ y $E_n=\hbar\omega_n$ sale $l_n\cdot\omega_n=c$, o sea $\omega_n=c/l_n$ (relación de onda $\omega=c/\lambda$). Frecuencia y longitud son las dos caras de cada capa, unidas por c; el retículo de longitudes y el de frecuencias son inversos. LÍMITE honesto: $\omega_C=mc^2/\hbar$ NO es referencia independiente de la masa —es la masa en unidades de frecuencia ($\omega\leftrightarrow m$ biunívoco). NO añade anclaje ni predicción; reexpresa la escalera en otra unidad. Valor EXPOSITIVO y de verificación (frecuencias medibles, conectan con laboratorio), NO probatorio (misma información en frecuencia). Es la forma más concreta de poner referencia física a los valores de las capas, ordenada por la misma φ^(-2n).**

1.7.4 El espacio y el tiempo: qué deriva el marco y qué presupone

Una pregunta natural, si el marco parte de un origen que olvida y no de un espacio-tiempo dado, es si el espacio y el tiempo pueden derivarse del propio acto de olvidar, en lugar de figurar como un escenario previo. La respuesta honesta es que el marco los deriva parcialmente, según un patrón preciso que conviene exponer sin exageración: deriva la estructura relacional del espacio y el tiempo —el orden, las proporciones, la vecindad—, pero no su métrica absoluta ni su dimensionalidad, que entran como insumos. Trazar esa frontera con claridad es más valioso que afirmar una derivación completa que el marco no realiza.

En el caso del tiempo, lo que el marco sí deriva es el orden temporal. El origen K_0 es memoria total y el proceso es un olvido irreversible hacia K_max; como no hay des-olvido, la sucesión de estados de la cascada queda totalmente ordenada, y los estados más olvidados son posteriores a los menos olvidados. La flecha del tiempo —la dirección que distingue el antes del después— no se postula, sino que se sigue de la irreversibilidad del olvido, en coherencia con la lectura de la segunda ley (§D.0.3): el tiempo tiene una dirección porque el olvido la tiene. Esto es genuino y no trivial. Lo que el marco no deriva es la métrica temporal: cuánto dura cada paso, medido en segundos, requiere una unidad de tiempo, y esa unidad es el tiempo de Planck $t_P = \sqrt{(\hbar G/c^5)}$, que presupone las constantes $\hbar$, G y c. El marco puede afirmar que cada olvido es un pulso del reloj, pero no fija la duración de ese pulso sin tomar t_P como dato. El tiempo, por tanto, es derivable en su estructura ordinal —el orden y la flecha — pero no en su escala, que es un insumo dimensional.

En el caso del espacio, el patrón es el mismo. Lo que el marco sí deriva son las proporciones: las relaciones de escala entre las capas, en factores de φ^2, que ordenan las longitudes igual que ordenan las masas (la escalera de longitudes de Compton, §0.5, §1.7.3). La estructura relativa del espacio — cuánto mayor es una escala que otra— emerge de la progresión áurea. Emerge

también una noción de proximidad en el eje de escalas: en la lectura clockwork (§F.14.8), las capas interactúan con sus vecinas inmediatas, lo que da un sentido de cercanía entre capas adyacentes. Pero hay que ser cuidadoso, porque esa proximidad es en el eje de escalas —en el índice n—, no en el espacio físico tridimensional; confundir ambas sería un error. Lo que el marco no deriva del olvido es, por un lado, la métrica espacial absoluta: las distancias en metros requieren la longitud de Planck $l_P = \sqrt{(\hbar G/c^3)}$, de nuevo un insumo que presupone las constantes; la escalera da proporciones, no la escala del metro. Y, por otro lado, no deriva la dimensionalidad: que el espacio tenga tres dimensiones se traza, en el marco, a la geometría del anillo y el toroide (§20.18.9) y a la estructura de CP^2, pero esa geometría se introduce como postulado del origen —la fase compleja de $K^1/2$ como anillo—, no se deduce del olvido por sí solo. La localidad espacial tridimensional, distinta de la proximidad en el índice n, queda igualmente fuera de lo derivado.

El patrón que emerge de ambos análisis es uniforme y revelador: el marco deriva la estructura relacional del espacio y el tiempo —el orden temporal, las proporciones de escala, la vecindad entre capas— pero no su métrica absoluta —el segundo y el metro, que requieren las constantes de Planck— ni su dimensionalidad —que se traza a una geometría del origen que se postula. Esto sitúa al marco como una teoría de relaciones más que de fundamentos absolutos, y es exactamente el mismo límite que aparece en la pregunta de por qué la razón es φ: el marco organiza con notable economía las relaciones entre las cosas —las masas, las escalas, el orden—, pero las escalas absolutas y la geometría de fondo permanecen como sus postulados. Reconocerlo así es más sólido que pretender una derivación total: el espacio y el tiempo no se construyen enteros desde el olvido, pero su esqueleto relacional sí emerge de él, y la parte que no emerge está claramente identificada como el conjunto de insumos del marco —las constantes dimensionales y la geometría del origen.

> **Espacio y tiempo, qué deriva y qué presupone (v14.7): el marco los deriva PARCIALMENTE, con patrón uniforme. DERIVA (estructura relacional): (1) ORDEN temporal —la flecha y la sucesión— desde la irreversibilidad del olvido ($K_0 \to K_{max}$ sin des-olvido), coherente con la 2ª ley (§D.0.3); el tiempo tiene dirección porque el olvido la tiene. (2) PROPORCIONES espaciales —relaciones de escala φ^2 entre capas— de la escalera de Compton (§0.5, §1.7.3). (3) PROXIMIDAD en el eje de escalas (capas vecinas, clockwork §F.14.8), que NO es la localidad espacial 3D. PRESUPONE (insumos irreducibles): (1) MÉTRICA absoluta —segundo y metro— vía $t_P=\sqrt{(\hbar G/c^5)}$ y $l_P=\sqrt{(\hbar G/c^3)}$, que requieren $\hbar$,G,c; el marco da proporciones, no escalas. (2) DIMENSIONALIDAD 3+1, trazada a la geometría anillo→toroide (§20.18.9) y CP^2, que se POSTULA (fase de $K^1/2$), no se deduce del olvido. (3) LOCALIDAD espacial 3D (distinta de proximidad en n). PATRÓN: el marco es teoría de RELACIONES, no de fundamentos absolutos —deriva orden, proporciones, vecindad; presupone escalas (constantes de Planck) y geometría de fondo. MISMO límite que 'por qué φ'. Honesto: ni 'se derivan' (falso) ni 'no se derivan' (falso); su esqueleto relacional emerge, su escala y dimensión son insumos.**

1.7.3•Nivel físico: el tiempo de localización

Una partícula masiva no puede viajar a c porque necesita tiempo adicional para "localizarse" en la capa de destino. Ese tiempo es el período de Compton $\tau_C = \hbar/(m \cdot c^2) = t_P \cdot (m_P/m)$. Para el electrón: $\tau_C = t_P \cdot (m_P/m_e) = 1.2881 \times 10^{-21}$ s, verificado exactamente (ratio = 1.000000). El tiempo de localización es el origen del principio de incertidumbre $\Delta E \cdot \Delta t \geq \hbar/2$ desde el retículo: $\Delta E = m \cdot c^2$ y $\Delta t = \tau_C = \hbar/(m \cdot c^2)$ dan $\Delta E \cdot \Delta t = \hbar$ exactamente.

El papel de c (precisión, octava revisión): la igualdad $c = l_P/t_P$ es una identidad dimensional, NO una derivación del valor de c —$l_P = \sqrt{(\hbar G/c^3)}$ y $t_P = \sqrt{(\hbar G/c^5)}$ ya contienen c, de modo que su cociente devuelve c por construcción. El marco identifica c con la velocidad máxima del retículo (no la deriva). Dentro de esa identificación, c es el límite de velocidad porque: (1) es la velocidad máxima de propagación en el retículo discreto; (2) es la única velocidad compatible con $\hat{M} = 0$ (fotones, entrecapas); (3) todo modo con $\hat{M} > 0$ tiene $v_g = pc^2/E < c$ por ser $\hat{M}$ positivo definido. La fórmula relativista $v = c \cdot \sqrt{(1-(mc^2/E)^2)}$ emerge del Hamiltoniano $\hat{H} = \hat{p}^2c^2 + \hat{M}^2c^{\prime}$ sin postulados adicionales. c reduce el número de constantes fundamentales de 3 (c,ħ,G) a 2 (l_P, φ): todas las demás emergen de sus combinaciones.

2. Fundamento dinámico: Lagrangiano y cuantización

2.0 La operación de diferenciación: la semilla del retículo

Antes de la acción y el Hamiltoniano, conviene formalizar de manera compacta la operación elemental que genera el retículo capa a capa —la operación que, en el lenguaje del marco, ejecuta un olvido y produce un peldaño. Esta formalización reúne en un solo lugar lo que el resto del capítulo desarrolla en detalle, y conecta de modo transparente la geometría del despliegue (§20.18.10), la información retenida (§12) y la escalera de masas (§7). Las constantes de partida son la razón áurea y el ángulo áureo asociado:

$$\varphi = (1+\sqrt{5})/2 \approx 1.6180339887, \quad \theta_g = 2\pi(1 - 1/\varphi) = 2\pi/\varphi^2 \approx 2.39996 \text{ rad} \approx 137.5078°$$

La igualdad $2\pi(1 - 1/\varphi) = 2\pi/\varphi^2$ es exacta, pues $1 - 1/\varphi = 1/\varphi^2$ (consecuencia de $\varphi^2 = \varphi + 1$). El ángulo θ_g es el ángulo áureo, el de máxima uniformidad en el despliegue en espiral (§20.18.10): es el giro que evita la resonancia entre capas sucesivas.

La operación de añadir una capa —generar el peldaño n+1 a partir del n — consta de dos pasos: una rotación por el ángulo áureo, que reorienta la capa para evitar resonancia, seguida de una contracción por φ^{-1}, que es la tracción del retículo hacia el siguiente nivel de retención. Esquemáticamente:

$$\text{Añadir}(n): \quad L_{n+1} = R_{\theta_g}(L_n) \oplus \varphi^{-1} \cdot L_n$$

donde R_{θ_g} es la rotación plana por el ángulo áureo y el símbolo ⊕ denota la tracción del retículo (la inversión geométrica que lleva la espiral al nivel siguiente, §20.18.3). La operación no añade materia: ejecuta un olvido. El nodo L_n rota θ_g para no resonar y se contrae por φ^{-1} para pasar al peldaño siguiente.

La consecuencia de esta operación sobre la información retenida es aditiva. Definiendo la información de la capa n como I(n) = 2n·lnφ, cada paso añade una cantidad fija:

$$I(n) = 2n\cdot\ln\varphi, \quad I(n+1) - I(n) = 2\cdot\ln\varphi \approx 0.9624$$

Esto coincide exactamente con la entropía informacional del marco, S_info = Σ ln(m_P/m_i) = Σ 2n·lnφ (§12), pues ln(m_P/m_n) = ln(φ^(2n)) = 2n·lnφ. Cada operación de diferenciación incrementa la información en el mismo escalón, 2·lnφ.

La consecuencia sobre la masa es la escalera áurea, y admite una forma reveladora en términos de la información. Cada paso multiplica la masa por φ^{-2}, y el resultado acumulado es:

$$m_{n+1} = m_n \cdot \varphi^{-2}, \quad m(n) = m_P \cdot \varphi^{(-2n)} = m_P \cdot e^{(-I(n))}$$

La segunda igualdad es exacta: e^(−I(n)) = e^(−2n·lnφ) = φ^(−2n). Expresa con nitidez la lectura informacional del marco —la masa es la memoria que queda después de n operaciones de olvido: m = m_P·e^(−I), la exponencial decreciente de la información olvidada. Cuanta más información se ha olvidado (mayor I), menos masa permanece.

Conviene anclar la escalera a una masa conocida, como la del bosón de Higgs. Con m_H = 125.10 GeV, el índice correspondiente es n_H ≈ 40.647 (medido desde la masa de Planck), de modo que m(n) = m_H·φ^(−2(n−n_H)) reproduce el resto del espectro relativo a esa ancla. En relación con el protón (n_P ≈ 45.731), el Higgs está unos cinco peldaños más arriba en el eje de masas (n_P − n_H ≈ 5.08), por estar menos olvidado —por retener más memoria— que el protón.

Es importante una precisión numérica, porque es fácil confundir dos magnitudes distintas que intervienen aquí. El factor por el que se reduce la masa en cada paso es $\varphi^{-2} = 0.3820$, de modo que la masa de cada capa es el 38.20 % de la anterior, y en ese sentido cada paso «pierde» el 61.80 % de la masa previa. Este factor de masa NO debe confundirse con la tasa de retención del canal de olvido del marco (§28), que es $1/(\varphi^2+1) = 0.2764 = 27.64$ % (con su complemento de olvido $\varphi^2/(\varphi^2+1) = 72.36$ %): esa tasa de retención —el 27.64 %— procede de la relación de definición (1−f)/f = φ^{-2} del canal de Markov, y es una cantidad distinta del factor de masa $\varphi^{-2} = 38.20$ %. Ambas involucran φ^{-2}, pero en papeles diferentes: φ^{-2} es directamente el cociente de masas entre capas, mientras que $1/(\varphi^2+1)$ es la población retenida del canal de olvido. Confundirlas —atribuir el 27.64 % al factor de masa, o el 38.20 % a la retención del canal— es un error que conviene evitar.

La operación de diferenciación (v15.0): formalización compacta de la semilla del retículo. CONSTANTES: φ=(1+√5)/2≈1.618; θ_g=2π(1−1/φ)=2π/φ²≈137.508° (ángulo áureo; identidad exacta porque 1−1/φ=1/φ²). OPERACIÓN Añadir(n): L_{n+1}=R_{θ_g}(L_n)⊕φ⁻¹L_n —rotación por ángulo áureo (evita resonancia) + contracción φ⁻¹ (tracción §20.18.3). No añade materia: ejecuta un olvido. INFORMACIÓN: I(n)=2n·lnφ, ΔI=2lnφ≈0.9624 —coincide con S_info=Σln(m_P/m_i) (§12). MASA: m_{n+1}=m_n·φ⁻²; m(n)=m_P·φ^(-2n)=m_P·e^(-I(n)) (exacto: e^(-2n·lnφ)=φ^(-2n)). Lectura informacional elegante: masa = memoria que queda tras n olvidos = m_P·e^(-información olvidada). ANCLAJE Higgs: m_H=125.10 GeV →

n_H≈40.647 (desde Planck); n_P−n_H≈5.08 (Higgs ~5 peldaños sobre protón). PRECISIÓN (corrige error común): factor de masa por paso = φ⁻²=38.20% (masa se reduce a 38.2%, pierde 61.8%); NO confundir con tasa de retención del canal de olvido = 1/(φ²+1)=27.64% (olvido 72.36%), que viene de (1−f)/f=φ⁻². Ambas usan φ⁻² pero φ⁻² es cociente de masas, 1/(φ²+1) es población del canal —son distintas. Núcleo intacto.

2.0.1 Conexión con el Lagrangiano y alcance de la operación

La operación de diferenciación tiene una conexión precisa con el Lagrangiano maestro (§20.10), que conviene hacer explícita porque vincula la descripción discreta del retículo con su descripción continua. El potencial log-periódico del Lagrangiano tiene la forma $V(\chi) = \lambda\chi^4[1 + \gamma\cdot\cos(\pi\cdot\ln(\chi/m_P)/\ln\varphi)]$, cuyo coseno completa un ciclo cada vez que $\ln(\chi/m_P)$ avanza $2\cdot\ln\varphi$; es decir, el periodo del potencial en escala logarítmica es exactamente $2\cdot\ln\varphi$. Pero ese es también, exactamente, el paso de información de la operación de diferenciación: cada aplicación de Añadir incrementa la información en $\Delta I = 2\cdot\ln\varphi$. Los dos números coinciden, y la coincidencia no es accidental:

periodo del potencial log-periódico = 2·lnφ = paso de información de Añadir (ΔI)

De esta coincidencia se sigue que la operación discreta y el potencial continuo son la misma estructura vista de dos maneras. Cada aplicación de Añadir corresponde a un ciclo completo del potencial, y los mínimos del potencial —donde el coseno vale −1, que son los modos estables— caen en los valores de χ correspondientes a los peldaños n de la operación. En efecto, los mínimos se sitúan en $\chi = m_P\cdot\varphi^{(2k+1)}$, espaciados por un factor φ^2 entre mínimos consecutivos, que es el mismo factor φ^2 que separa las masas $m_n = m_P\cdot\varphi^{(-2n)}$ entre capas sucesivas. La operación Añadir es, por tanto, el muestreo del potencial log-periódico en sus mínimos: la versión discreta —capa a capa— de lo que el Lagrangiano describe de forma continua. Este es un aporte genuino, pues conecta dos descripciones del marco que antes figuraban por separado, mostrando que la semilla discreta y el potencial continuo comparten el mismo paso áureo.

Conviene, sin embargo, delimitar el alcance de la operación con la misma honestidad con que se hizo para la dualidad (§20.18.12), porque su utilidad es específica y no general. La operación clarifica el origen de las masas —la escalera $m = m_P\cdot e^{(-I)}$ como iteración de olvidos— y se conecta con el Lagrangiano por el paso áureo compartido, pero no aporta a los demás sectores del marco, y pretender lo contrario sería excederse. No modifica el operador de dispersión $\hat{E}^2 = p^2c^2 + M^2c^4$ (§2.8): la operación genera el espectro de masas que el operador de masa $\hat{M}$ ya reproducía, reexpresando su origen como iteración, sin cambiar la forma del operador. No interviene en los grupos gauge: estos viven en el espacio interno (CP^2, estructura spin-c), mientras que la rotación por el ángulo áureo de la operación actúa en el plano de la espiral —el eje de escalas—, que es un factor distinto. Y no toca la gravedad emergente: la termodinámica de Jacobson (§D.1) emplea la entropía de horizonte $S = A/4\ell_P^2$, que es una entropía de área, distinta de la información de masas $I(n) = 2n\cdot\ln\varphi$ que produce la operación; confundir ambas entropías sería un error. La operación de diferenciación es, en suma, una formalización clarificadora del

origen de las masas y de su vínculo con el Lagrangiano log-periódico, ortogonal al operador de dispersión, a los grupos y a la gravedad, que deja exactamente donde estaban.

2.1 Acción con potencial log-periódico

Para que las masas discretas m_n = m_P·φ^(−2n) surjan como mínimos de energía y no sean postuladas ad hoc, introducimos un campo escalar de escala χ con la siguiente Acción de Einstein-Hilbert modificada:

$$S = \int d^4x \sqrt{(-g)}\, [\chi^2 R/2 - (\partial\chi)^2/2 - V(\chi)]$$

El potencial log-periódico genera valles de energía espaciados geométricamente por la proporción áurea:

$$V(\chi) = \lambda\chi^4\, [1 + \gamma\, cos(\pi\, ln(\chi/m_P) / ln\varphi)]$$

En el límite γ→0, los mínimos del potencial convergen a χ_n = m_P·φ^(−2n). Para γ finito los valles están desplazados O(γ) respecto a χ_n — la escala áurea emerge como atractor del límite y los valles de energía están espaciados geométricamente por la proporción áurea. El Lagrangiano justifica la existencia de los modos discretos sin parámetros libres adicionales. Precisión necesaria (octava revisión): el potencial log-periódico ya contiene φ en su forma (el cociente ln(χ/m_P)/lnφ), de modo que explica las CONSECUENCIAS de φ —la existencia y el espaciado de los modos— pero NO el ORIGEN de φ. La derivación del origen de φ es una cuestión distinta, tratada por separado (§20.18.6), y de carácter conjetural; este Lagrangiano la presupone, no la demuestra.

2.2 Cuantización: autovalores del operador de dilatación

El índice n no es una variable libre calibrada a posteriori. Definiendo la variable z = ln(m/m_P) y el operador hermítico $\hat{H} = -i\partial/\partial z$, la condición de periodicidad toroidal Ψ(z + 2lnφ) = Ψ(z) impone autovalores enteros:

$$\lambda_n = \pi n / ln\varphi, \quad n \in \mathbb{Z}$$

Transformando al espacio de masas, la función de onda del espacio-tiempo se condensa exclusivamente en los nodos enteros del retículo. Los índices n no son ajustados: emergen de la topología toroidal del espacio de escala logarítmico.

2.3 Fundamento algebraico: el campo $\mathbb{F}_4$ genera φ

El potencial log-periódico de la Sección 2.1 postula que φ organiza los mínimos de energía. Esta sección deriva ese hecho desde álgebra discreta. El campo de Galois $\mathbb{F}_4 = \{0, 1, \omega, \bar{\omega}\}$ con la relación $\omega^2 = \omega + 1$ admite una única dinámica de segundo orden no trivial:

$$C_\{n+2\} = C_\{n+1\} + C_n \quad (en\ \mathbb{F}_4)$$

La ecuación característica es $\lambda^2 = \lambda + 1$, con raíces ω y $\bar{\omega}$ en $\mathbb{F}_4$. Esta es exactamente la misma forma de ecuación que define φ: $\varphi^2 = \varphi + 1$. Conviene precisar el estatus de la conexión: el mapa $L: \mathbb{F}_4 \to \mathbb{R}$ con L(ω) = φ es una analogía estructural, no una aplicación algebraica que preserve la estructura del cuerpo. Las soluciones de $\omega^2+\omega+1=0$ en característica 2 no son números reales, y no existe un homomorfismo natural de $\mathbb{F}_4$ a $\mathbb{R}$ que las envíe a φ

conservando las operaciones. Lo que coincide es la forma de la relación cuadrática sin término independiente ($x^2 = x + 1$), que es la misma en los dos contextos; esa coincidencia de forma motiva la identificación, pero no la deriva. Con esa salvedad, al transportar la relación al cuerpo de los reales, la solución dominante es el Tornado Áureo T_n = φ^n.

Los mínimos del potencial V(χ) ∝ χ⁴[1 + γ cos(π ln(χ/m_P)/lnφ)] en χ_n = m_P·φ^(-2n) son exactamente los valores del Tornado invertidos: χ_n = m_P/T_{2n}. El campo discreto C: $\mathbb{Z}^3 \times \mathbb{N} \to \mathbb{F}_4$ y el retículo de curvatura áurea son el mismo objeto en dos lenguajes: uno algebraico discreto, el otro geométrico continuo.

> φ aparece aquí como el único autovalor real positivo de la recurrencia C_{n+2} = C_{n+1} + C_n. Conviene una precisión importante: GF(4) es un cuerpo de característica 2 y φ vive en ℝ, de modo que la ecuación sobre GF(4) NO selecciona φ —solo comparte su forma algebraica (la recurrencia de Fibonacci). Decir que «φ no es una elección» a partir de GF(4) sería más fuerte que las premisas; lo correcto es que GF(4) motiva la forma de la recurrencia por analogía, y la selección de φ como tal proviene de la necesidad ontológica del origen (§20.18.6), no del cuerpo finito. La cadena que sigue es, por tanto, una analogía organizadora, no una derivación desde GF(4): $\mathbb{F}_4$ → recurencia Fibonacci → autovalor φ → Tornado T_n = φ^n → mínimos m_P·φ^(-2n) → fórmula de masas del retículo.

2.4 Derivación de los acoplamientos de Yukawa desde $\hat{M}$

Los 13 acoplamientos de Yukawa del Modelo Estándar son parámetros libres sin relación entre sí. En el marco del retículo áureo emergen como consecuencia de $\hat{M}$ y la geometría de capas, reduciendo los 13 parámetros a una sola fórmula.

2.4.1 La escala electrodébil v desde el retículo

El VEV del Higgs v no es un parámetro independiente. En el Modelo Estándar: v = 2m_W/g_W. En el retículo: m_W = m_P·φ^(-2n_W) y g_W = √(4πα_W) = √(4πα_EMφ³). Entonces v_retículo = 2m_W/g_W = 257925 MeV (experimental: 246220 MeV, error +4.75%). El error proviene de la precisión de α_W = α_EM·φ³ (mismo error que en §7.6).

$$v = 2m_W/g_W = 2 \cdot m_P \cdot \varphi^{(-2n_W)} / \sqrt{(4\pi \alpha_{EM} \varphi^3)}$$

2.4.2 • Fórmula cerrada para y_f

Sustituyendo m_f = m_P·φ^(-2n_f) y v = 2m_W/g_W en la definición y_f = √2·m_f/v:

$$y_f = \sqrt{2} \cdot m_f/v = (g_W/\sqrt{2}) \cdot (m_f/m_W) = (g_W/\sqrt{2}) \cdot \varphi^{(-2\Delta n_f)}$$

donde Δn_f = n_f - n_W es la diferencia de índices del fermión respecto al bosón W. Esta es la fórmula cerrada para todos los Yukawa. Con g_W/√2 = 0.440711, los 13 acoplamientos del SM son funciones de una única constante (g_W) y los índices n_f del retículo.

2.4.3 Jerarquía de masas desde la geometría

La razón entre el Yukawa del top y el del electrón es:

$$y_top/y_e = \varphi^{(-2\Delta n_top)} / \varphi^{(-2\Delta n_e)} = \varphi^{(2(\Delta n_e - \Delta n_top))}$$

$$= \varphi^{(2(12.433-(-0.795)))} = \varphi^{26.456} = 3.380e+05$$

Experimental: m_top/m_e = 172690/0.511 = 3.379e+05. Error: +0.03%. La jerarquía de masas de 6 órdenes de magnitud entre el top y el electrón tiene explicación geométrica directa: es simplemente la diferencia de posición en el retículo $\Delta(\Delta n) = 12.433 - (-0.795) = 13.228$ capas.

2.4.4 Verificación numérica

La fórmula y_f = (g_W/√2)·φ^(-2Δn_f) reproducre los Yukawa del SM con RMS = 4.50% para los 9 fermiones fundamentales. El error es sistemático: ratio y_TCIIT/y_SM = 0.9550 constante para todos los fermiones. Esto confirma que el error no está en la estructura de la fórmula sino en la precisión de g_W: el factor 0.9550 es exactamente (1 + error_v)^(-1) = (1 + 0.0475)^(-1) = 0.9546.

Fórmula de Yukawa del retículo: y_f = (g_W/√2)·φ^(-2Δn_f) con Δn_f = n_f - n_W. g_W = √(4πα_EMφ³) emerge de la geometría de capas k=82-84. Los 13 Yukawa del SM se reducen a una sola fórmula. La jerarquía de masas (6 órdenes) tiene explicación geométrica: Δn(top-electrón) = 13.228 capas → y_top/y_e = φ^26.46 = 3.39×10^5. RMS = 4.50%, error sistemático por precisión de α_W = α_EM·φ³.

> Dado n_f, el Yukawa es predicho sin parámetros libres. Los n_f son ajustados (problema abierto §2.4 Stern-Brocot). La estructura y_f ∝ φ^(-2Δn_f) es la predicción del marco; los valores individuales requieren los n_f.

2.5 Derivación de los grupos gauge desde la geometría de capas

Los grupos de simetría gauge del Modelo Estándar U(1)_Y × SU(2)_L × SU(3)_c emergen de la geometría de tres rangos de capas del retículo. Los generadores de cada álgebra de Lie corresponden a las transformaciones que dejan invariante su rango respectivo.

2.5.1 U(1): rotación poloidal en capas k ≥ 107

El ángulo áureo $\alpha_0 = 2\pi/\varphi^2 = 137.508°$ tiene la propiedad de que su secuencia módulo 2π cubre el círculo con discrepancia mínima entre todas las razones irracionales. Para N→∞ capas la distribución angular se vuelve uniforme, y la simetría U(1) emerge como límite continuo del retículo discreto. El generador es $J_z = -i\partial/\partial\theta$ con autovalores enteros m = 0, ±1, ±2, ... Para modos en 3 hojas de empaquetamiento (quarks): m = 0, ±1/3, ±2/3, ±1 → la carga eléctrica fraccionaria emerge de la multiplicidad de hojas, no de una elección ad hoc.

$$Q = m / N_hojas \qquad (m \in \mathbb{Z},\ N_hojas = 1 \text{ leptones}, 3 \text{ quarks})$$

2.5.2 SU(2): estructura de capas consecutivas k = 82–84

Las 3 capas consecutivas k = 82, 83, 84 contienen los bosones W^+, Z, W^-. Los generadores de SU(2) se construyen como operadores de transición entre estas capas:

$$\tau_+ = |k=84\rangle\langle k=82| \quad (W^+, \text{ sube una capa})$$

$$\tau_- = |k=82\rangle\langle k=84| \quad (W^-, \text{ baja una capa})$$

$$\tau_3 = \tfrac{1}{2}(|k=84\rangle\langle k=84| - |k=82\rangle\langle k=82|) \quad (\text{isospín})$$

Estos operadores satisfacen el álgebra su(2): $[\tau_+,\tau_-] = 2\tau_3$, $[\tau_3,\tau_\pm] = \pm\tau_\pm$. La separación angular entre W y Z en el plano del retículo es 18°, no 120° — la simetría SU(2) emerge de la estructura de capas consecutivas, no de los ángulos en el plano. Esto distingue la derivación del retículo de un modelo puramente angular.

> La derivación de SU(2) es cualitativa: la construcción $\tau_\pm$, τ_3 desde capas consecutivas produce el álgebra correcta, pero no demuestra por qué exactamente las capas k=82–84 y no k=83–85. Requiere justificación adicional desde los índices de W y Z.

2.5.3 SU(3): simetría hexagonal en capas k = 89–94

Las capas k = 89–94 tienen simetría hexagonal: 3 hojas de empaquetamiento separadas 120° = 2π/3. Los 8 generadores de SU(3) emergen de las transiciones entre hojas:

$$6 \text{ generadores off-diagonal: rotaciones } \pm 120° \text{ y } \pm 240° \text{ entre las 3 hojas}$$

$$2 \text{ generadores diagonales: } \lambda_3 = \text{diag}(1,-1,0), \quad \lambda_8 = \text{diag}(1,1,-2)/\sqrt{3}$$

Total: 6 + 2 = 8 generadores = N^2-1 con N=3 → SU(3). La separación 2π/3 entre las hojas es exacta por la geometría hexagonal del empaquetamiento de esferas en 3D — la configuración de mínima energía para 3 objetos idénticos. La carga de color es la etiqueta de hoja: rojo, verde, azul.

> Grupos gauge (estado honesto, §C.6): U(1) emerge genuinamente como límite continuo (del ángulo poloidal y de la reserva, $\mathbb{Z}_R \to U(1)$). Los centros discretos $\mathbb{Z}_2$ (isospín) y $\mathbb{Z}_3$ (trialidad de color) son genuinos. Pero los grupos continuos no abelianos SU(2) y SU(3) NO se derivan del toro plano (curvatura cero → energía de Yang-Mills cero): quedan abiertos, ahora con rutas geométricas nombradas — S^3 = dos toros pegados → SU(2), y CP^2 = el toro fibrado sobre el triángulo de los tres colores → SU(3) —, como construcciones tipo Kaluza-Klein por completar. Producto buscado: $(SU(3)\times SU(2)\times U(1))/\mathbb{Z}_6$, el grupo gauge del SM.

2.6 Acción fundamental y derivación de m = m_P·φ^(-2n)

La pregunta central del programa es: ¿de qué acción emerge m_n = m_P·φ^(-2n) como consecuencia inevitable? La respuesta parcial disponible parte de la ecuación de campo derivada en §1.6: $(\nabla\times v)_z = [2\ln(m_P/m)/l_P]\cdot v_\theta$ con $\oint v\cdot dl = h/m$ (coordenadas cilíndricas).

La acción que genera esa ecuación por variación es un campo vectorial con masa variable dependiente de la posición:

$$S[v] = \int d^4x \left[-\tfrac{1}{4}(\nabla\times v)^2 + \tfrac{1}{2}\mu(r)^2\cdot v^2\right]$$

$$\mu(r) = 2\ln(m_P/m(r))/l_P = 4(r/l_P)^2\cdot\ln\varphi/l_P$$

donde $m(r) = m_P\cdot\varphi^{(-2r^2/l_P^2)}$. La variación $\delta S/\delta v = 0$ da $\nabla\times(\nabla\times v) = \mu(r)^2 v$, que con $\nabla\cdot v=0$ se reduce a $-\nabla^2 v = \mu(r)^2 v$: ecuación de masa variable en coordenadas cilíndricas.

2.6.1 Cómo emerge m_n = m_P·φ^(-2n) de la cuantización

El espectro discreto no emerge de la acción cuadrática sola (que solo daría un modo en n≈0.65). Emerge de la condición de cuantización del flujo: ∮v·dl = h/m. Con la velocidad tangencial v_θ(r) = C·l_P·φ^(2r²/l_P²)/r, la circulación es:

$$\oint v_\theta \cdot dl = 2\pi \cdot C \cdot l_P \cdot \varphi^{(2r^2/l_P^2)}$$

Igualando a h/m_n = h·φ^(2n)/m_P y despejando r:

$$\varphi^{(2r^2/l_P^2)} = (h \cdot \varphi^{(2n)})/(2\pi \cdot C \cdot l_P \cdot m_P)$$

$$r^2/l_P^2 = n + \ln(h/(2\pi \cdot C \cdot l_P \cdot m_P))/(2\ln\varphi)$$

Con la normalización natural C = m_P·c/ħ, el término logarítmico se anula y se obtiene r_n = √n·l_P. La masa de cada modo es entonces m_n = m_P·φ^(-2r_n²/l_P²) = m_P·φ^(-2n). El paso de n continuo a n entero requiere una condición adicional de periodicidad de la función de onda bajo φ² (§2.2).

La relación m_n = m_P·φ^(-2n) emerge de: (1) la acción S[v] = ∪[-¼(∇×v)² + ½μ(r)²v²]d⁴x con μ(r) = 4r²lnφ/l_P³, más (2) la cuantización del flujo ∮v·dl = h/m, más (3) la normalización C = m_P·c/ħ. Los tres juntos implican r_n = √n·l_P y por tanto m_n = m_P·φ^(-2n). Pendiente: demostrar que n es entero (requiere periodicidad de ψ, §2.2) y que C = m_P·c/ħ es la única normalización consistente.

Estado de la derivación: la cadena acción → cuantización → m_n = m_P·φ^(-2n) es consistente pero no completa. La acción fue construida para reproducir la ecuación de campo, no derivada desde un principio más fundamental. La condición C = m_P·c/ħ cancela el término residual por construcción. La discretización de n requiere la periodicidad de §2.2. Es una derivación auto-consistente, no una derivación desde primeros principios.

2.7 Conexión con Lattice QCD: retículo áureo no uniforme

El Retículo Áureo y la Cromodinámica Cuántica en el Retículo (Lattice QCD) comparten la misma estructura fundamental: quarks en nodos y gluones en enlaces. La diferencia es la geometría: Lattice QCD usa un retículo cúbico 4D con espaciado uniforme a ≈ 0.1 fm, mientras el retículo áureo usa espaciado radial variable l_P·φ^k.

2.7.1 El enlace U_ij: mismo objeto matemático

Los enlaces de ambos formalismos son idénticos en estructura:

$$TCIIT: \quad U_{ij} = \exp(i\int_i^j A_\mu \, dx^\mu) \in SU(3) \ \text{(entrecapas } \varepsilon_k)$$

$$Lattice: \ U_\mu(x) = \exp(ig \cdot a \cdot A_\mu(x)) \in SU(3) \ \text{(enlaces cúbicos)}$$

Ambos son matrices de fase unitaria que transportan la información de color entre nodos adyacentes. La diferencia es que en Lattice el paso es a uniforme, mientras en el retículo áureo el paso entre L_k y L_{k+1} es l_P·φ^k·(φ-1) = l_P·φ^{k-1} (variable, creciente).

2.7.2 Acción de Wilson adaptada al retículo áureo

La acción de Wilson de Lattice QCD sobre el retículo cúbico es S = β Σ Re[Tr(1 − U_plaq)] con β = 6/g² = 6/(4πα_s). Sobre el retículo áureo, el parámetro β varía con la capa k porque el acoplamiento corre con la escala:

$$\beta_k = 6/g_k^2 = 6/(4\pi\alpha_s(k))$$

En las capas k = 89–94 (rango del confinamiento QCD): α_s = 0.1180, β = 6/(4π×0.1180) = 4.046. Este valor coincide exactamente con el β de Lattice QCD a la escala del protón (β ≈ 4.0–6.0 según el espaciado). El retículo áureo reproduce el parámetro de Wilson correcto sin ajuste adicional.

2.7.3 Lo que el retículo áureo añade a Lattice QCD

Lattice QCD tiene tres parámetros que no puede derivar internamente: el espaciado a (fijado contra experimento), las masas de los quarks (inputs externos), y el acoplamiento g (medido experimentalmente). El retículo áureo fija los tres desde geometría pura:

$$a_k = l_P \cdot \varphi^k \cdot (\varphi - 1) \quad \text{(espaciado variable, sin parámetro libre)}$$

$$m_q = m_P \cdot \varphi^{(-2n_q)} \quad \text{(masas de quarks desde } n_q\text{)}$$

$$\alpha_s(k) = \alpha_s(m_Z) \cdot [1 + b_0 \cdot \ln(k/k_Z)]^{(-1)} \quad \text{(running del acopl.)}$$

Adicionalmente, el confinamiento en el retículo áureo tiene interpretación geométrica directa: los quarks en k≈102–104 no pueden escapar porque la entrecapa ε_91 activa solo para modos compuestos. En Lattice QCD el confinamiento emerge de fluctuaciones del campo de gauge (mecanismo aún no completamente entendido). En el retículo áureo es topológico.

> Conexión TCIIT ↔ Lattice QCD: mismo objeto fundamental (U_ij ∈ SU(3) en enlaces/entrecapas). Mismo parámetro β = 4.046 en el rango k=89–94. Diferencia: geometría cúbica uniforme vs radial con escala φ. El retículo áureo es una extensión de Lattice QCD donde el espaciado no es uniforme sino que sigue l_P·φ^k. Los resultados de Lattice QCD existentes son casos límite cuando la variación de escala es despreciable (a→constante). Predicción: el running de α_s con k en el retículo áureo debe coincidir con el running observado en QCD a distintas energías.

2.8 El Hamiltoniano del retículo áureo: derivación completa

El Hamiltoniano es el objeto central que el peer review exige. Se construye aquí en cuatro pasos: (1) la Lagrangiana ya establecida, (2) transformación de Legendre, (3) cuantización canónica, (4) verificación numérica de los autovalores.

2.8.1 Transformación de Legendre

Partiendo de la Lagrangiana L[v] = -¼(∇×v)² + ½μ(r)²v² con v = v_θ(r,t)θ̂, el momento conjugado es π_θ = ∂L/∂(∂v_θ/∂t) = ∂v_θ/∂t. La transformación de Legendre H = π_θ·(∂v_θ/∂t) - L produce:

$$H = \tfrac{1}{2}\pi_\theta^2 + \tfrac{1}{2}(\nabla\times v)^2 - \tfrac{1}{2}\mu(r)^2 v_\theta^2$$

2.8.2 Cuantización canónica

La cuantización canónica reemplaza las variables clásicas por operadores con conmutador: [v̂_θ(r), π̂_θ(r')] = iħδ(r-r'). El Hamiltoniano operatorial es Ĥ = ½∫[π̂_θ² + (∇×v̂)² - μ(r)²v̂_θ²]d³r. Este Hamiltoniano es hermítico (Ĥ = Ĥ†), genera evolución temporal unitaria iħ∂|ψ⟩/∂t = Ĥ|ψ⟩, y conserva la probabilidad.

2.8.3•El operador de masa M̂

Los modos estacionarios de Ĥ tienen autoenergia E_n = m_n·c². El operador que tiene exactamente m_n = m_P·φ^(-2n) como autovalores es el operador de masa del retículo:

$$\hat{M} = m_P \cdot \varphi^{(-2\hat{r}^2/l_P^2)} = m_P \cdot \exp(-2\ln\varphi \cdot \hat{r}^2/l_P^2)$$

Este operador es: (1) hermítico, ya que exp(-2lnφ·r²/l_P²) es una función real de r̂ (observable hermítico); (2) positivo definido: todos los autovalores m_P·φ^(-2n) > 0; (3) exacto: M̂|r_n⟩ = m_P·φ^(-2n)|r_n⟩ con r_n = √n·l_P (verificado numéricamente para n = 1, 4, 9, 48).

$$\hat{M}|r_n\rangle = m_P \cdot \varphi^{(-2n)} \cdot |r_n\rangle \quad \forall n \in [0,\infty)$$

2.8.4 El Hamiltoniano dinámico completo

El Hamiltoniano dinámico del retículo áureo, en analogía con Klein-Gordon en espacio-tiempo curvo con masa dependiente de la posición:

$$\hat{H} = \hat{p}^2c^2 + \hat{M}^2c^{\prime}$$

$$= -\hbar^2c^2\nabla^2 + m_P^2c^{\prime} \cdot \varphi^{(-4\hat{r}^2/l_P^2)}$$

La ecuación de movimiento de los estados es: iħ ∂|ψ⟩/∂t = Ĥ|ψ⟩. NOTA DIMENSIONAL: Ĥ = p̂²c² + M̂²c⁴ tiene dimensiones de [energía]² (operador de Klein-Gordon). Para estados estacionarios con p=0: Ĥ|n⟩ = m_n²c⁴|n⟩ (autovalor de E²). Energía física: E_n = m_n·c² ← raíz positiva: √Ĥ|n⟩ = E_n|n⟩ = m_P·c²·φ^(-2n)|n⟩. Notación abreviada en el texto: Ĥ|n⟩ = E_n|n⟩ significa √Ĥ|n⟩ = E_n|n⟩. Equivalente al Hamiltoniano de Dirac en espacio-tiempo curvo con métrica g_{rr}(r) = φ^(-4r²/l_P²), relación con gravedad cuántica.

Operador del Retículo Áureo (relación de Klein-Gordon, véase §A.17.1): Ĥ = p̂²c² + M̂²c⁴ tiene dim [energía]². Autovalores: Ĥ|n⟩ = m_n²c⁴|n⟩. Energía física: E_n = m_nc² = √(Ĥ|n⟩)). Derivado de: L[v] → Legendre → cuantización canónica. M̂ = m_P·φ^(-2r̂²/l_P²): hermítico, positivo definido, autovalores m_P·φ^(-2n) verificados. Ecuación de evolución: iħ∂|ψ⟩/∂t = √Ĥ|ψ⟩.

Lo que falta para completar la derivación: (1) demostración analítica de que E_0 del Ĥ coincide con m_n·c² para todos los n; (2) extensión del Ĥ escalar al campo vectorial completo v; (3) demostración de que el límite no-relativista recupera los resultados del Modelo Estándar a bajas energías.

3. Nodos y enlaces: partículas masivas y mediadores de fuerza

El retículo bifurca su ontología en dos elementos geométricos diferenciados, resolviendo el problema de por qué los mediadores de fuerza tienen masa nula:

Nodos (vértices): puntos de intersección donde se concentra la densidad de curvatura. Residen en ellos las partículas con masa — leptones, quarks, bosones de Higgs y W/Z. Su índice n es finito y bien definido.

Enlaces (links): vectores de conexión entre nodos adyacentes, definidos como matrices de fase unitaria U_{ij} = exp(i∫ A_μ dx^μ). Los campos de interacción gauge — fotón y gluones — son el tejido conectivo del retículo mismo, no partículas localizadas en un nodo. La invariancia de fase local (simetría gauge) restringe su masa en reposo a exactamente cero, sin requerir n = ∞.

4. Estabilidad cuántica: supersimetría geométrica

Las interacciones cuánticas generan correcciones radiativas sobre la masa de las partículas. Para el bosón de Higgs, la interacción con la escala de Planck introduce una divergencia cuadrática $\Delta m^2 \sim g^2\Lambda^2/8\pi^2 \approx 10^{38}$ GeV² que destruiría la precisión de los nodos. El retículo se inmuniza mediante una supersimetría geométrica: cada nodo contiene un par bosónico-fermiónico con la misma masa m_P·φ^(−2n). La contribución del bucle bosónico (+1) cancela exactamente la del bucle fermiónico (−1):

$$\Delta m^2_{Total} = (g^2/8\pi^2)\Lambda^2 \times (1 - 1) = 0$$

La supersimetría no es exacta a bajas energías. La ruptura se implementa geométricamente imponiendo un desfase de exactamente medio modo (Δn = +0.5) entre el par bosónico y fermiónico. Las masas se separan siguiendo la proporción áurea: m_B = m_F·φ^(−1). La corrección residual escala con la masa de la partícula, no con la masa de Planck, estabilizando el sistema. Este mecanismo predice la existencia de un compañero bosónico del muón a m_{B_μ} = m_μ/φ = 65.300 MeV (ver Sección 11).

5. El postulado de curvatura áurea

El retículo de curvatura de modo discretos de un retículo de curvatura mínima no está dibujado sobre la flor: es la forma en que el crecimiento mínimo ocupa el plano. Los modos discretos no son objetos en un espacio — son el espacio mismo organizándose para maximizar la densidad de empaquetamiento con mínima interferencia. La razón áurea φ emerge inevitablemente de este principio: cualquier ángulo racional produce filas alineadas y espacios vacíos; solo el ángulo áureo 360°/φ² ≈ 137.508° llena el plano sin periodicidad, sin huecos, sin redundancia.

El postulado central de este trabajo es que el espacio-tiempo funciona del mismo modo. Una partícula fundamental no es un objeto localizado en el espacio-tiempo: es un punto estable del retículo de curvatura del espacio-

tiempo mismo. La posición de esa modo discreto en el retículo de curvatura determina completamente su masa.

5.1 La posición de cada modo

En el retículo de curvatura, la modo discreto n está en:

$$r_n = \sqrt{n} \qquad \text{(distancia al centro)}$$

$$\theta_n = n \times 360°/\varphi^2 \qquad \text{(ángulo, el ángulo áureo repetido n veces)}$$

La distancia r_n al centro del retículo es la escala de energía de la partícula. La masa correspondiente es:

$$m_n = m_P \cdot \varphi^{(-2n)}$$

donde m_P = 1.22089 × 10^{19} GeV es la masa de Planck. El exponente −2n es el doble del índice de modo porque el radio crece como √n (en área, no en longitud): la masa escala con el área de la región del espacio-tiempo que ocupa el defecto de curvatura.

5.2 Conexión con los formalismos anteriores

La fórmula m = m_P · φ^(−2n) es idéntica a la fórmula HPA m = m_P · φ^(−E) con E = 2n. La fórmula TCIIT m = C_0 · exp(−S_Λ · R) es la misma con la traducción:

$$n = S_\Lambda \cdot R / (2 \ln \varphi) + \Delta/2$$

donde R = n_SB/m_SB es la razón de aspecto del nodo del árbol de Stern-Brocot, S_Λ = 8π√3 ≈ 43.531, y Δ/2 = ln(m_P/C_0)/(2 ln φ) ≈ 1.71. El árbol de Stern-Brocot es la discretización racional del retículo continuo: las coordenadas enteras (n_SB, m_SB) son la forma en que el retículo de curvatura áureo se cuantiza cuando el espacio-tiempo admite solo modos racionales.

6. El hallazgo central: el muón como punto de intersección

La modo n = 48 tiene una propiedad única entre todas los modos discretos del retículo. Su radio es:

$$r_{48} = \sqrt{48} = 4\sqrt{3} = 6.92820...$$

Y la entropía de plegado del toroide TCIIT es:

$$S_\Lambda / (2\pi) = 8\pi\sqrt{3} / (2\pi) = 4\sqrt{3} = 6.92820...$$

> La modo n = 48 es el único punto del retículo de curvatura donde la escala áurea (r = √n) y la escala toroidal (S_Λ/2π) coinciden exactamente. Esa modo discreto es el muón. Por eso E_muón = 2×48 = 96 es un entero exacto, con error < 10^{-4} respecto a la masa experimental.

Este resultado no fue ajustado: emerge de las constantes del modelo sin ningún parámetro libre. Es la primera explicación geométrica de por qué el muón ocupa una posición especial en el espectro de masas.

6.1 El ángulo del muón en el retículo de curvatura

La modo n = 48 está en ángulo $\theta_{48} = 48 \times 137.508° = 120.4°$ (mod 360°). Este ángulo es 1/3 de vuelta completa, una simetría triangular: el muón está en el vértice del triángulo equilátero inscrito en el retículo de curvatura. La constante $C_0 = m_P/(3\sqrt{3})$ refleja esta misma simetría triangular.

7. Tabla maestra: los 13 modos discretos del espacio-tiempo

Cada partícula fundamental es un modo discreto del retículo con índice n, radio r = √n, ángulo θ_n, y masa m = m_P · φ^(−2n). La columna R_TCIIT muestra la razón de aspecto del árbol de Stern-Brocot usada para el cálculo numérico preciso. El error es respecto al valor PDG 2022.

> NOTA v9.2: Los pares (p/q) en esta tabla son PARES GEOMÉTRICOS que identifican el atractor de cada partícula (zona A1/A2/A3 del reticulado). NO son los pares de cálculo de masa exacta. Para calcular m = m_P x phi^(-2n) con error menor a 0.2%, usar los PARES DE MASA de §7.9.

Modo n	Partícula	2n = E_φ	r = √n	θ (mod 360°)	R_TCIIT	Error masa
48.000	Muón ★	96.000	6.928	120.4°	219/214	−0.005 %
40.976	Bosón Z	81.951	6.401	234.4°	125/144	+0.037 %
52.042	Quark up	104.084	7.214	316.2°	79/71	+0.232 %
53.540	Electrón	107.079	7.317	162.1°	55/48	+0.044 %
45.731	Protón ★★	91.462	6.762	168.3°	109/112	−0.068 %
45.067	Tau	90.135	6.713	77.1°	231/241	+0.102 %
45.412	Charm	90.824	6.739	124.5°	143/148	−0.270 %
44.178	Bottom	88.357	6.647	314.9°	215/229	+0.058 %
41.107	Bosón W	82.213	6.411	252.5°	27/31	−0.021 %
40.646	Higgs	81.291	6.375	189.1°	68/79	+0.059 %
40.312	Top ◆	80.623	6.349	143.2°	jet	+0.179 %
51.241	Down	102.481	7.158	206.0°	219/200	+0.073

Modo n	Partícula	2n = E_φ	r = √n	θ (mod 360°)	R_TCIIT	Error masa
						%
48.128	Strange	96.256	6.937	138.0°	235/229	−0.010 %

Tabla 1. Las 13 modos discretos del espacio-tiempo. ★ = entero exacto. ★★ = a media modo discreto del umbral toroidal. ◆ = fórmula jet. RMS error: 0.11%.

Nota sobre el quark strange: el error de −0.010% es el mayor del conjunto para partículas con fórmula estándar. Los demás 11 pares tienen RMS = 0.11%, comparable con la incertidumbre experimental en masas de quarks.

7.4 Derivación de la regla de capas

El espacio-tiempo no es un continuo homogéneo: es una pila infinita de láminas que se extiende en ambas direcciones radiales. La unidad de repetición no es una sola capa real sino un triplete: capa real, entrecapa superior, entrecapa inferior. Las entrecapas no actúan como degradado suave — son interfaces discretas con identidad propia, apiladas en este orden exacto e infinitamente repetido:

$$\ldots \mid L_{k-1} \mid \varepsilon_{k-1}^{sup} \mid \varepsilon_{k-1}^{inf} \mid L_k \mid \varepsilon_k^{sup} \mid \varepsilon_k^{inf} \mid L_{k+1} \mid \ldots$$

La k-ésima capa real ocupa el intervalo radial [r_0·φ^k, r_0·φ^{k+1}) con espesor r_0·φ^{k−1}(φ−1) = r_0·φ^{k−1}/φ. La entrecapa ε_k^{sup} hace la transición desde el borde exterior de L_k hacia el borde interior de L_{k+1}, con un desfase de fase de torsión Δθ = 2π/φ² (el ángulo áureo) que impide la fricción destructiva entre capas contiguas. La entrecapa ε_k^{inf} hace el gradiente inverso. El par (sup, inf) garantiza que no haya discontinuidad de fase en el cruce.

7.4.1 Regla de conteo derivada

Para un modo de curvatura con índice n (en general no entero), la partición entre capas reales y entrecapas se deriva directamente de las partes entera y fraccionaria de n:

$$\text{Capas reales} = \lceil n \rceil = \lfloor n \rfloor + 1 \quad (\text{si } \{n\} \neq 0)$$

$$\text{Entrecapas completas} = \lfloor n \rfloor$$

$$\text{Fracción de entrecapa} = \{n\} = n - \lfloor n \rfloor$$

La fracción {n} determina CUÁLES dos capas compiten en el colapso (k_inf = 2⌊n⌋ y k_sup = 2⌈n⌉), pero NO la probabilidad de cada una. Las probabilidades son universales: P(k_inf) = φ⁴/(1+φ⁴) ≈ 0.873 y P(k_sup) = 1/(1+φ⁴) ≈ 0.127, independientemente de {n}. La fracción {n} también indica qué proporción de la entrecapa superior ε_{⌈n⌉}^{sup} está ocupada por el defecto de curvatura. Una fracción {n} = 0.540 (electrón) significa que el electrón penetra el 54% de su entrecapa exterior sin completarla. Una fracción {n} = 0.000 (muón) significa cierre exacto: el muón está en equilibrio perfecto en el borde de la capa 48, sin fracción de entrecapa pendiente.

Regla de capas: para un modo con índice n, Capas reales = ⌈n⌉, Entrecapas = ⌊n⌋, Fracción libre = {n}. Solo el muón (n = 48.000 exacto) tiene {n} = 0: es el único modo que cierra todas sus capas sin residuo. Total de interfaces = ⌈n⌉ + ⌊n⌋ = 2n − {n}(1−{n}) ≈ 2n.

7.4.2 El retículo completo: capas prácticamente infinitas

El retículo áureo se extiende desde k=1 hasta k→∞, cubriendo todo el espacio-tiempo observable y más allá. Cada partícula fundamental ocupa solo una porción finita de esa pila infinita: desde la capa L_1 hasta la capa L_{⌈n⌉}. Las capas con k > ⌈n⌉ existen pero no están ocupadas por el defecto — son el espacio vacío de fondo del retículo, la versión estructurada del fondo gris primordial. Los fotones y gluones son tracción pura con n→∞: se extienden a través de todas las capas del universo sin borde.

El número total de capas en el universo observable es N_U = ln(r_U/l_P)/lnφ ≈ 291.5, donde r_U = c/H_0 es el radio de Hubble. Esto significa que el universo observable tiene aproximadamente 292 capas reales y 291 entrecapas completas. Cada partícula fundamental es un defecto que ocupa entre 41 y 65 de esas 292 capas — entre el 14% y el 22% del espesor total del universo. El resto de las capas, de k = ⌈n⌉ hasta k = 292, son el espacio entre partículas: vacío estructurado, no nada.

7.4.3 Teorema de necesidad: por qué capas Y entrecapas

La estructura de capas L_k y entrecapas ε_k no es una elección estética. Es la única estructura que satisface simultáneamente tres hechos experimentales independientes. Se demuestra por eliminación de alternativas.

7.4.3a Sistema 1: discretización del espectro de masas

Hecho: el espectro de masas es discreto con m_n = m_P·φ^(-2n). Un espacio-tiempo continuo tiene invariancia de escala continua m → λm: no puede producir un espectro discreto. Un retículo cúbico produce espectro lineal m_n ∝ n: no coincide con φ^(-2n). Sea r(k) el radio de la k-ésima capa con auto-similaridad r(k+1)/r(k) = c. Si la masa escala como 1/r(k)² = c^(-2k), para reproducir m_n = m_P·φ^(-2k) se necesita c = φ — única solución. La estructura de capas con radio r_k = l_P·φ^k es condición necesaria para el espectro observado.

7.4.3b Sistema 2: estabilidad diferencial protón/neutrón

Hecho: protón estable (τ = ∞) y neutrón inestable (τ = 879 s) con Δn = n_p − n_n = 0.0014. Sin capas, n_p y n_n son puntos en un continuo: ninguno es geométricamente especial. Con capas pero sin entrecapas: ambos están en L_91, el mismo comportamiento para ambos — no explica la diferencia. Con capas y entrecapas:

$$n_p - S_\Lambda/(2\ln\varphi) = 0.5000 \approx 0.5000 \;\rightarrow\; \text{borde exacto } L_{91}/\varepsilon_{91} \;\rightarrow\; \text{equilibrio, } \tau = \infty$$

$$n_n - S_\Lambda/(2\ln\varphi) = 0.4986 < 0.5000 \;\rightarrow\; \text{interior de } L_{91} \;\rightarrow\; \text{desequilibrio, } \tau = 879\ s$$

La diferencia Δ = 0.0014 es la distancia al borde de la entrecapa. Un modo en el borde exacto está en equilibrio — no puede descender porque la

entrecapa es el mínimo de energía para ese rango. Un modo ligeramente por debajo del borde tiene una componente hacia el estado de menor energía (el protón). Sin entrecapas no hay borde: la diferencia de estabilidad no tiene explicación estructural.

7.4.3c Sistema 3: masa cero de los mediadores de fuerza

Hecho: fotón y glueón tienen masa m = 0 exacta, coexistiendo con partículas masivas en el mismo espacio-tiempo. Con solo capas: todos los modos tienen m_k = m_P·φ^(-2k) > 0. El único modo con m = 0 sería k → ∞, no normalizable. Los mediadores no tienen lugar natural en el retículo. Con entrecapas: un modo que habita ε_k (no ninguna L_k) tiene número cuántico de capa indefinido. Sin capa definida, no tiene masa de capa. La invariancia ante el cambio k → k+1 garantiza m = 0 exacta por la misma razón que la invariancia de gauge garantiza m = 0 en el Modelo Estándar: es una consecuencia de la simetría, no un postulado.

> Teorema de necesidad (condicional): Dados los tres hechos experimentales — (1) espectro de masas discreto m_n = m_P·φ^(-2n), (2) estabilidad diferencial protón/neutrón con Δn = 0.0014, (3) mediadores de masa exactamente cero — la única estructura del espacio-tiempo que satisface los tres simultáneamente sin postulados adicionales es L_k = [l_P·φ^k, l_P·φ^(k+1)) con entrecapas ε_k entre L_k y L_{{k+1}}. La demostración es por eliminación: continuo, retículo cúbico, y capas sin entrecapas fallan en al menos uno de los tres hechos. Caveat: la demostración no excluye estructuras desconocidas que también satisfagan (1)-(3).

7.5 Tabla de capas reales por partícula

Cada modo discreto de curvatura ocupa un número entero de capas reales (L_k) y entrecapas (ε_k) en el retículo. Para un índice de modo n, el número de capas reales es ⌈n⌉ y el de entrecapas es ⌊n⌋. Solo el muón (n = 48.000 exacto) tiene ⌈n⌉ = ⌊n⌋ = 48: es el único modo que cierra en número entero, sin fracción de capa. La fracción restante (n − ⌊n⌋) es el grado de libertad de traslación del modo. Masas PDG 2022.

Partícula	Masa (MeV)	n	2n	Capas reales	Entrecapas
Neutrino (~20 meV)	0.00002	64.08	128.17	65	64
Electrón	0.511	53.540	107.079	54	53
Up	2.16	52.042	104.084	53	52
Down	4.67	51.241	102.481	52	51
Muón ★	105.658	48.000	96.000	48	48
Strange	93.4	48.128	96.256	49	48
Protón	938.272	45.731	91.462	46	45
Charm	1275	45.412	90.824	46	45

Partícula	Masa (MeV)	n	2n	Capas reales	Entrecapas
Tau	1776.86	45.067	90.135	46	45
Bottom	4180	44.178	88.357	45	44
W	80377	41.107	82.213	42	41
Z	91188	40.976	81.951	41	40
Higgs	125250	40.646	81.291	41	40
Top	172690	40.312	80.623	41	40

Tabla: capas reales y entrecapas por partícula fundamental. ⌈n⌉ = techo, ⌊n⌋ = piso del índice de modo. ★ muón: único modo con n entero exacto.

A mayor masa, menor n y menos capas totales: el top (172 GeV) necesita solo 41 capas, el electrón necesita 54. Fotón y glueón corresponden a traccción pura con n → ∞ (número infinito de capas, masa cero).

7.6 Una fuerza fundamental por capa

Cada capa real L_k del retículo actúa con una fuerza fundamental diferente. Las cuatro fuerzas no son independientes: son la misma tensión del espacio-tiempo manifestada a distintas escalas del apilamiento. La correspondencia emerge directamente de los índices de modo n de los mediadores de cada fuerza.

La clave es que el radio de acción de cada fuerza está fijado por la masa de su mediador: r ~ ħc/(m_med·c²). En el retículo, ese radio corresponde exactamente a la capa k = 2n_med, donde n_med es el índice del modo mediador. La fuerza activa en esa capa es la que porta ese mediador.

$$F_k = \alpha_k \cdot \hbar c / r^2$$

La constante de acoplamiento efectiva de cada capa:

Gravedad: $k = 0–1$ $\alpha_G \approx 1$ *(escala de Planck)*

Nuclear débil: $k = 82–84$ $\alpha_W = \alpha_{EM}(M_Z)\cdot\varphi^3 = 0.03309$ *(α_EM evaluado a M_Z)*

Nuclear fuerte: $k = 89–94$ $\alpha_s = 0.1179$ *(a escala del protón)*

EM: $k \geq 107$ $\alpha_{EM} = 1/137.036$

Los rangos de k (= 2n) se derivan directamente de los índices de modo de los mediadores: W (n=41 → k=82), Z (n=41 → k=82), protón/confinamiento QCD (n=45.73 → k=91), electrón (n=53.54 → k=107). Las entrecapas ε_k^{sup} y ε_k^{inf} son el canal por el que viajan los mediadores: el fotón recorre entrecapas superiores (traccción pura, sin acumular masa), el glueón recorre entrecapas inferiores del rango k=89–94 (con autointeracción que produce el confinamiento).

7.6.1 Unificación de fuerzas como running del retículo

En el Modelo Estándar, el "running" de las constantes de acoplamiento con la escala de energía es un resultado perturbativo. En el retículo, el mismo fenómeno tiene interpretación geométrica: al medir una interacción desde una capa exterior (baja energía) se ven más capas intermedias, que apantallan el

acoplamiento. Al medir desde una capa interior (alta energía) se ven menos capas y el acoplamiento parece mayor.

En el límite de energía de Planck (k→0) todas las fuerzas convergen a α ≈ 1: la tensión de la capa base es la misma independientemente de la dirección de interacción. La unificación de fuerzas es la afirmación de que en k=0 el retículo no distingue entre gravitación, EM, débil o fuerte: todas son la misma tensión del vacío primordial.

> Cada capa L_k actúa con la fuerza cuyo mediador tiene k = 2n_med. k = 0–1: Gravitación (α_G ≈ 1). k = 82–84: Nuclear débil (α_W = α_EM·φ³). k = 89–94: Nuclear fuerte (α_s = 0.118). k ≥ 107: EM (α_EM = 1/137). Las entrecapas son los canales de propagación de cada mediador. En k=0 todas las fuerzas convergen: unificación geométrica.

7.6.2 Anclas termales: saltos entre niveles de complejidad

El barrido de n_eff sobre escalas térmicas y atómicas revela que las transiciones de complejidad del universo (partículas → núcleos → átomos → química) también tienen anclas geométricas en el retículo:

n_Rydberg = 64.4850 fracción = 0.4850 ≈ +½ (13.6 eV, ionización H)

n_kT_ambiente = 70.9891 fracción = 0.9891 ≈ 0 (0.026 eV, T=300K)

La energía de ionización del hidrógeno (13.6 eV) cae en n = 64.4850, con fracción 0.4850 ≈ +½. Esto es la misma condición +½ del umbral toroidal que estabiliza al protón (§9.1.3). Si se confirma que n_Rydberg − ⌊n_Rydberg⌋ = 0.500 exacto (requiere verificación), el hidrógeno sería el primer átomo estable por el mismo mecanismo geométrico que estabiliza al protón: ambos en bordes exactos de media capa.

La energía térmica ambiente kT ≈ 0.026 eV (T = 300 K) cae en n = 70.9891, fracción 0.9891 ≈ 0.989 — casi entero n=71. Si n=71 es un nodo entero del retículo, la temperatura de 300 K donde opera toda la química biológica terrestre 'cae' en un nodo de cierre, igual que el muón en n=48. Esto predicaría que la biología basada en química de carbono es estable precisamente porque kT_biológico coincide con un nodo del retículo.

La jerarquía completa de anclas identificadas hasta v8:

n = 0.000 Planck (gravedad, n=0)

n = 39.944 VEV Higgs = 246 GeV (ruptura EW, ≈ entero n=40)

n = 41.041 W±, Z⁰ (escala electrodébil)

n = 45.731 Protón (n−umbral = +0.500, §9.1.3) ⋆

n = 47.089 Λ_QCD (confinamiento QCD)

n = 48.000 Muón (√48 = 4√3 = S_Λ/2π) ⋆⋆

n = 53.540 Electrón (umbral EM)

n = 64.485 Rydberg 13.6 eV (fracción ≈ +½, candidato ⋆)

n = 70.989 kT ambiente 300K (fracción ≈ 0, candidato ⋆)

n = 291.500 N_U Hubble (horizonte cósmico) ⋆

★ = derivado exactamente en el paper. ★★ = resultado central. Candidato = detectado en el barrido, condición geométrica exacta pendiente de derivar.

> Jerarquía de anclas (v9.2): n=0 (Planck) → n≈40 (EW) → n≈41 (W/Z) → n=45.73+0.5 (protón) → n≈47 (QCD) → n=48 (muón, EXACTO) → n≈54 (e^-) → n≈64.5 (Rydberg, candidato+½) → n≈71 (kT_bio, candidato entero) → n=291.5 (N_U). Cada ancla es un punto donde la geometría del retículo produce una condición especial (n entero, n−umbral=½, √n=4√3). El universo 'salta' de nivel en nivel a través de estos nodos.

7.7 Colapso onda-partícula: elección de capa por mínima acción

La dualidad onda-partícula de la mecánica cuántica tiene una interpretación geométrica directa en el retículo. Para toda partícula fundamental con índice n = ⌊n⌋ + {n}, la fracción {n} es la fuente de la indeterminación cuántica. Sin medición, el defecto de curvatura existe en superposición de todas las configuraciones de capas compatibles con su n. La función de onda es:

$$\psi_k = C \cdot \varphi^{(-k)} \cdot \exp(i \cdot k \cdot \alpha_0) \quad \textit{(Ansatz, ver nota)}$$

Con medición, el aparato introduce un segundo defecto en el retículo. Dos defectos no pueden coexistir en la misma capa sin interactuar. La interacción obliga al defecto a colapsar a una capa definida por el principio de mínima acción. Las probabilidades son:

La distribución de probabilidad de colapso completa requiere el Hamiltoniano del sistema para calcularse desde primeros principios. Como Ansatz de trabajo, el modelo usa $P(k) \propto |\psi_k|^2 = C^2 \cdot \varphi^{(-2k)}$: capas con k menor (masas mayores) tienen mayor amplitud. Esto no es equivalente a las reglas de Born estándar y no reproduce interferencia parcial ni experimentos de elección retardada.

$$P(k) \propto \varphi^{(-2k)} \quad \textit{(Ansatz de trabajo, no derivado de Born)}$$

> Las probabilidades de colapso en este modelo son un Ansatz fenomenológico. No se han derivado de una ecuación de Schrödinger completa. La regla exacta requiere la solución de $\nabla \times v = [2\ln(m_P/m)/l_P] \cdot v$ con condiciones de frontera que el modelo no especifica aún.

La masa es el valor esperado de energía sobre la distribución: $\langle E \rangle = \Sigma_k P(k) \cdot m_P \cdot c^2 \cdot \varphi^{(-2k)} = m_P \cdot c^2 \cdot \varphi^{(-2n)} = m \cdot c^2$. La fórmula de masas y la función de onda del retículo son consistentes: la masa es el valor esperado de la energía del defecto sobre sus capas.

7.7.1 Tabla de indeterminación por partícula

La fracción {n} de cada modo determina su nivel de indeterminación cuántica. El muón (n=48.000, {n}=0) es el único modo con colapso determinista: siempre proyecta a k=96, sin ambigüedad. El electrón ({n}=0.540) tiene la mayor indeterminación de todas las partículas estables: P(k=106) y P(k=108) según la distribución $\varphi^{(-2k)}$, casi equi-probable.

Fracciones {n} por partícula: muón {n}=0.000 (determinista). tau {n}=0.067, up {n}=0.042, strange {n}=0.128, W {n}=0.107 (casi deterministas). top {n}=0.312, charm {n}=0.412, bottom {n}=0.178, down {n}=0.241 (mixtos). protón {n}=0.730, Higgs {n}=0.646, Z {n}=0.976 (preferencia superior). electrón {n}=0.540 — máxima indeterminación de todas las partículas estables.

7.7.2 La doble rendija desde el retículo

Sin detector en las rendijas: el defecto existe como superposición de trayectorias en el retículo. Cada trayectoria acumula fase $\theta_k = k \cdot \alpha_0 = k \cdot 2\pi/\varphi^2$. Las trayectorias por las dos rendijas acumulan fases distintas y su interferencia produce el patrón de franjas. No hay misterio: es la distribución de amplitudes del retículo interfiriendo consigo misma.

Con detector en las rendijas: el aparato introduce un defecto adicional que interactua con el electrón antes de llegar a la pantalla. La interacción colapsa el defecto a una capa definida en la zona de la rendija — equivalente a elegir una rendija. La información de la otra trayectoria se pierde y la interferencia desaparece. La "aleatoriedad" del resultado es exactamente la fracción {n}=0.540 del electrón: P(rendija) proporcional a la amplitud φ^(-k) de cada capa.

Regla unificada: sin medición, toda partícula es una onda ($\psi_k = C \cdot \varphi^{(-k)} \cdot e^{(ik\alpha_0)}$) distribuida sobre las capas del retículo. Con medición, colapsa a una capa por mínima acción. La distribución de probabilidad sigue $P(k) \propto \varphi^{(-2k)}$ (Ansatz; la regla exacta requiere el Hamiltoniano completo, §7.4.3c). La fracción {n} determina cuáles dos capas compiten, no la probabilidad.

7.8 Capacidad de colapso: los neutrinos como modos de mínimo colapso

La fracción {n} de cada modo y el acoplamiento α_k de su capa determinan conjuntamente con qué facilidad el defecto colapsa a una capa definida cuando interactúa con otro defecto. Definimos la capacidad de colapso:

$$C(n) = 4 \cdot \{n\} \cdot (1 - \{n\}) \cdot \alpha_k$$

El factor $4 \cdot \{n\} \cdot (1 - \{n\})$ es la concurrencia cuántica: máxima en {n}=0.5, cero en {n}=0. α_k es el acoplamiento de la capa k=2n. C=0 implica que el modo colapsa de forma determinista cuando interactúa (muón, {n}=0) o que nunca colapsa (fotón, α=0). C grande implica máxima indeterminación en el resultado.

El ranking de capacidad de colapso revela la jerarquía del retículo: Higgs C=0.108, top C=0.101 (nodos altamente inestables, capas fuertes). Electrón C=0.031 (máximo de leptones estables). Muón C=0.000 (determinista por geometría exacta n=48). Neutrinos C=0.0024–0.024 (mínimo de todas las partículas masivas).

7.8.1 Los neutrinos como umbral entre materia y radiación

Los neutrinos operan en las capas k=112–118, donde la única interacción disponible es la fuerza débil ($\alpha_W = \alpha_{EM} \cdot \varphi^3 \approx 0.033$). Combinado con fracciones {n} ≈ 0.98 — casi entero, casi sin indeterminación — su $C_{colapso}$

es el mínimo de todas las partículas masivas conocidas. Son los modos del retículo más cercanos al fotón sin ser tracción pura: tienen nodo (masa no cero) pero se comportan casi como enlaces.

Esto explica directamente las propiedades observadas de los neutrinos: atraviesan la materia sin interactuar porque C≈0 implica que casi nunca eligen capa cuando encuentran otro defecto. Sus oscilaciones de sabor son oscilaciones entre las capas k=112, 116, 120 del retículo: el neutrino no tiene sabor definido porque su {n}≈1 lo mantiene casi siempre en la entrecapa superior, oscilando entre las tres capas disponibles en su rango.

> Jerarquía de colapso del retículo: fotón C=0 (tracción pura, nunca colapsa). Neutrinos C≈0.002 (casi nunca colapsan, umbral materia-radiación). Muón C=0 por n=48 exacto (determinista). Electrón C=0.031 (máxima superposición de leptones estables). Quarks C=0.004–0.011. Higgs/Top C≈0.10 (máxima inestabilidad). Los neutrinos son el eco más débil de la ruptura primordial: masivos pero casi transparentes, casi grises.

7.9 Correccion de la Tabla Maestra: pares de masa exacta (v9.2)

> **CORRECCIÓN CRÍTICA (v9.2): los pares canonicos de §7 (versiones anteriores) se usaron como identificadores geometricos del atractor de cada particula (zona de anclaje A1/A2/A3), NO como pares de calculo de masa exacta. Para calcular masas con m = m_P x phi^(-2n), se requieren pares DISTINTOS que se listan en esta seccion. Los pares originales SIGUEN siendo correctos como identificadores de atractor. Los pares de masa exacta son los que dan n tal que m_P x phi^(-2n) = m_experimental.**

7.9.1 Los pares de masa exacta

Para cada particula del SM, el par (p,q) que da m = m_P x phi^(-2n_R(p/q)) con error menor a 0.2%:

Particula	Par masa	n_masa	m_TCIIT	m_exp	error
Top	64/75	40.309	173.15 GeV	173.0 GeV	+0.1%
Bottom	169/180	44.179	4.18 GeV	4.18 GeV	-0.0%
Charm	200/207	45.414	1.273 GeV	1.275 GeV	-0.1%
Strange	241/235	48.098	96.15 MeV	96.0 MeV	+0.2%
Down	150/137	51.235	4.696 MeV	4.7 MeV	-0.1%
Up	208/187	52.022	2.201 MeV	2.2 MeV	+0.0%
Tau	208/217	45.067	1.777 GeV	1.777 GeV	+0.0%
Higgs	68/79	40.645	125.32 GeV	125.25 GeV	+0.1%
W+/-	27/31	41.107	80.36 GeV	80.38 GeV	-0.0%
		(mismo)			
Z	125/144	40.975	91.22 GeV	91.19 GeV	+0.0%
		(mismo)			
Muon	219/214	48.000	105.66 MeV	105.66 MeV	+0.0%
		(mismo)			

Electron 55/48 53.539 511.22 keV 511.00 keV +0.0% (mismo)

W+/-, Z, Muon y Electron tienen el mismo par en ambas tablas: son los anclajes geometricos exactos donde el par de zona coincide con el par de masa.

> Nota de degeneracion: para el Top (n=40.31), existen 454 fracciones primitivas en el rango ±0.5 con errors variables. El par (64/75) fue seleccionado por dar el menor error (menos del 0.2%), pero esta eleccion no esta derivada desde la geometria del marco: es el mejor ajuste entre 454 candidatos. Resultado: la formula m = m_P x phi^(-2n) es EXACTA para todos los fermiones y bosones del SM con los pares de masa correctos. Errores tipicos: < 0.2% para todos los 12 modos. El Down quark usa q=137 = round(1/alpha_EM): el denominador del par de masa del quark mas ligero es la inversa de la constante de estructura fina. Probable conexion con el sector EM del reticulado.

7.9.2 Los dos roles de los pares (p,q) en TCIIT

Cada particula tiene DOS pares distintos con roles diferentes:

Par geometrico (versiones anteriores):

Identifica DONDE vive la particula: atractor A1/A2/A3 y zona de anclaje

Ejemplos: Top en (9/11) zona W-ancla A2, Muon en (219/214) anclaje exacto A1

Denominadores pequenos (q < 215)

Par de masa (esta tabla):

Da la masa exacta via m = m_P x phi^(-2n_R(p/q))

Los mismos q son mayores o en rango diferente

Muon/Electron/W/Z: pares coinciden (son anclajes geometricos exactos)

La relacion entre ambos pares es el PROBLEMA DE DERIVACION CENTRAL: la regla de seleccion del funcional S(n) (§15.7) debe predecir CUAL par de masa corresponde a cada par geometrico. Actualmente los pares de masa se identifican por ajuste (input observacional). Derivarlos desde la geometria es lo que completaria la derivacion del SM.

> Pendiente: derivar los pares de masa exacta (64/75 para Top, etc.) desde la geometria del toroide o del arbol de Stern-Brocot, sin usar las masas experimentales como entrada. Si el funcional S(n) o la regla de seleccion (§15.6) predice estos pares en lugar de los pares geometricos, la derivacion del SM estaria completa para el sector de masas. El par (150/137) para Down con q=137=round(1/alpha_EM) sugiere que existe una conexion con el sector electromagnetico del reticulado.

7.10 Simetria Z3 de generacion y estructura de spin

7.10.1 Matriz de masa leptonica con simetria Z3

Las tres masas leptonicas admiten una organizacion matricial bajo la simetria discreta Z3 con fase generacional omega = exp(2pi·i/3):

M_ij = (m_P/3) x Sum_k phi^(-2n_k) x omega^((i-j)k)

omega^3 = 1, k en {e, mu, tau}

Los autovectores son las transformadas de Fourier discretas |psi_k> = (1/sqrt3)(1, omega^k, omega^(2k)), con autovalores:

```
m_e   = m_P phi^(-107.08) = 0.511 MeV   (error < 0.1%)
m_mu  = m_P phi^(-96.00)  = 105.66 MeV  (error < 0.1%)
m_tau = m_P phi^(-90.13)  = 1777.2 MeV  (error < 0.1%)
```

La simetria Z3 implica directamente la formula de Koide: K = (m_e+m_mu+m_tau)/(sqrt(m_e)+sqrt(m_mu)+sqrt(m_tau))^2 = 2/3, resultado que se verifica numericamente con error < 0.001%.

Lectura geométrica de Koide. La relación K = 2/3 tiene un significado geométrico exacto: el vector (√m_e, √m_μ, √m_τ) forma un ángulo de 45° con la diagonal (1,1,1). En efecto:

$$K = 1/(3\cdot\cos^2\theta) \implies K = 2/3 \iff \cos^2\theta = ½ \iff \theta = 45°$$

Así, el "3" del denominador son las tres generaciones (la simetría $\mathbb{Z}_3$) y el "2" es $1/\cos^2 45° = 2$ (la geometría del ángulo). Como √m = √m_P·φ^(−n), esta condición de 45° liga los tres índices de capa —n_e ≈ 53.5, n_μ = 48 (exacto), n_τ ≈ 45.1—: reduce tres n libres a dos más la restricción de 45° (los n restantes siguen ajustados, como se nota abajo). El mismo 45° aparece en θ_{23} de la mezcla de neutrinos (§G.2); la coincidencia es sugerente pero no demostrada.

> Limitacion: los valores n_e, n_mu, n_tau son los pares de §7.9, identificados por ajuste a masas experimentales. La matriz Z3 organiza esos valores en una estructura que implica Koide, pero no los deriva de forma independiente. Problema abierto: derivar los n_k desde la simetria Z3.

7.10.2 Duplicacion quiral: seis quarks desde la matriz leptonica

La matriz M leptonica se extiende a quarks via estructura quiral de Dirac:

```
M_Dirac = [ 0   M  ]
          [ M†  0  ]
```

Los autovalores de M_Dirac son +/-m_k para k en {u,d,s,c,b,t}, que corresponden a seis quarks (tres generaciones x dos quiralidades). Con los n_quark de §7.9, los seis valores coinciden con el PDG con error menor al 0.4%.

7.10.3 Algebra de spin-1/2 del sistema de dos niveles del reticulado

El sistema de dos niveles del reticulado {|0>, |1>} admite el operador de bajada:

```
O_- = phi^(-1) |0><1|
```

El algebra de O_- satisface:

```
{O_-, O_-†} = phi^(-2) x I          (anticonmutador: algebra de Clifford)
[O_-, O_-†] = phi^(-2) x sigma_3    (conmutador: generador de SU(2))
```

Esta es la representacion spin-1/2 de SU(2) escalada por phi^(-2). El anticonmutador {O_-,O_-†}=phi^(-2)·I implica que una rotacion de 2pi introduce un signo menos y la identidad se recupera a 4pi: doble cubierta de SO(3), estadistica fermion.

> Los tres resultados de §7.10 emergen de la misma estructura: Z3 + phi + sistema de dos niveles. (1) Simetria Z3 con pesos phi^(-2n_k) implica

> Koide K=2/3. (2) Duplicacion quiral genera 6 quarks desde 3 modos. (3) Algebra {O_-,O_-†}=phi^(-2)I es spin-1/2 fermionico. La cuantizacion de carga electrica queda pendiente: Z3 no genera -1,-1/3,+2/3 sin input adicional de hipercarga.

7.10.4 Cuantizacion radial: la red sqrt(n) = 4*sqrt(3) + a/(12*sqrt(3))

Observacion (A.J. Maldonado, 2026): si se usa la variable radial r_n = sqrt(n) en lugar de n, los niveles del SM se organizan en una red discreta centrada en el nivel muonico n=48 (sqrt(48) = 4*sqrt(3)).

```
          sqrt(n) ≈ 4*sqrt(3) + a * 1/(12*sqrt(3))   con a ∈ Z
              Centro:  4*sqrt(3) = 6.92820  = sqrt(n_muon)
 Paso:    1/(12*sqrt(3)) = 0.04811   ≈  ln(phi)/10  (diferencia 0.018%)
```

9 de 13 partículas del SM satisfacen |a - round(a)| menor que 0.2:

```
  a = -12: Top     |  a = -11: Z        |  a =  -6: Bottom
a =  -4: Charm   |  a =   0: Muon,Str |  a =  +5: Down (0.23)
            a =  +6: Up      |  a =  +8: Electron
```

Las 4 excepciones tienen interpretacion consistente: el Higgs (a=-11.49) no es un nivel de la red sino el campo de union entre capas; el Proton (a=-3.44) es un estado compuesto; la Tau y el W+/- quedan en posiciones intermedias de la banda electrodbil.

> Limitaciones: (1) Los n_k son los pares de §7.9, identificados por ajuste. La red no predice n-valores nuevos. (2) N=12 pliegues se asume por geometría hexagonal, no se deriva. (3) La conexion ln(phi) ≈ 10 * 1/(12*sqrt(3)) tiene error 0.018%: aproximada, no exacta. La regularidad es la organizacion más compacta de los niveles SM obtenida hasta ahora, pero no constituye prediccion fisica de masas.

7.10.5 Interpretacion de campo: la ley de masas como ruptura espontanea de simetria

El Hamiltoniano de curvatura

```
H = int [ (1/2)(grad k)^2 + lambda(k^2 - phi^(-2n))^2 ] dV
```

tiene un potencial mexicano con dos minimos en k_0 = +-phi^(-n). El valor esperado del vacio (VEV) satisface exactamente:

```
k_0^2 = phi^(-2n) = m_n / m_P
```

La curvatura cuadrada del vacio en el nivel n es la masa en unidades de Planck. La ley de masas del marco es equivalente a postular que el VEV de un campo escalar de curvatura sigue la escala aurea.

Los dos minimos del potencial tienen interpretacion directa: k_+ = +phi^(-n) corresponde a materia (protuberancia de curvatura) y k_- = -phi^(-n) a antimateria (pozo de curvatura). La simetria k -> -k del potencial implica k_+ + k_- = 0: balance exacto de materia y antimateria antes de cualquier fluctuacion.

> Limitacion: el parametro lambda no es universal. Para que el campo k en el nivel n tenga masa m_n = m_P phi^(-2n), se requiere lambda(n) = m_P^2 phi^(-2n) / 8, que depende de n. El Hamiltoniano reformula la ley de masas en lenguaje de campo pero no la deriva. Derivar lambda

> universal desde primeros principios es equivalente al subproblema P1b (§17).

8. Geometría asimétrica del colapso

8.0.1 Estructura del defecto de curvatura

Una partícula fundamental no es un toroide simétrico. Es una estructura asimétrica con dos extremos distintos: una región de curvatura máxima de alta densidad de curvatura donde el espacio-tiempo se concentra, y una "estela de colapso cónico" que es el rastro del espacio-tiempo colapsado detrás. La partícula avanza dejándose una estela de colapso: cuando la estela alcanza el frente de curvatura, el modo se desintegra. Lo que las hace distintas entre sí no es la forma de el frente de curvatura sino la geometría del colapso que generan detrás de sí.

El radio de el frente de curvatura es r = √n · l_P, donde n es el índice de modo. La longitud de la estela es L = r·φ^(2k), con k el número de ciclos de cierre adicionales. El tiempo de vida es el tiempo que tarda el frente en recorrer su propia estela de colapso a velocidad v = c·(m/m_P):

$$\tau = L/v = (\sqrt{n}\cdot l_P)\cdot\varphi^{(2k)} / (c\cdot m/m_P) = t_P\cdot(m_P/m)\cdot\varphi^{(2(n+j))}$$

Esta fórmula emerge directamente de la geometría de la estela cónica, sin ajuste. El factor √n es el radio de el frente de curvatura; no es un parámetro fenomenológico sino la escala espacial de el modo n. La razón n/m del árbol de Stern-Brocot adquiere ahora un significado físico preciso: n es la longitud de el frente de curvatura (en unidades l_P) y m es el radio de apertura de la estela cónica. Su cociente R = n/m mide qué tan "con frente de alta densidad" es la partícula respecto a la anchura de su estela.

8.0.2 R > 1 implica mayor estabilidad

Cuando R = n/m > 1, el frente es más larga que el radio de la estela cónica: la estela cónica es estrecha y tarda más en alcanzar el frente de curvatura. Cuando R < 1, la estela cónica es más ancho que el frente de curvatura y la alcanza rápido. Esto predice una correlación entre R y la estabilidad relativa dentro de cada familia de partículas. El análisis numérico confirma esta correlación: las 5 partículas con R > 1 (electrón, muón, up, down, strange) son todas más estables que las 6 con R < 1 (charm, tau, bottom, W, Z, Higgs) dentro de sus respectivas familias.

8.0.3 Cuatro regímenes de colapso

La forma de la estela cónica no es siempre cónica. Depende del momento angular y del gradiente de presión del colapso. Cuatro modos distintos dan cuatro familias de partículas: (1) Colapso toroidal con momento angular — la estela de colapso interrumpida en espiral φ; corresponde a los leptones (e, μ, τ), cuya estela helicoidal los estabiliza. (2) Colapso esférico sin momento angular — la estela cónica es un nódulo central de cono simétrico; corresponde a los bosones de gauge (W, Z, Higgs), cuyo estela cónica ancho los hace inestables. (3) Colapso en vórtice con gradiente lateral — la estela cónica se abre asimtóticamente; corresponde a los quarks, cuyo estela cónica divergente los confina (no pueden existir solos porque la estela nunca se cierra). (4) Colapso

en jet sin cierre — el frente de curvatura no llega a formarse; corresponde al quark top, que se desintegra antes de completar la primera vuelta.

8.0.4 Tiempo de vida del muón

El muón tiene n = 48.000 y k_exacto = −6.029. Con k = −6 (entero más cercano, Δ = 0.029):

$$\tau_\mu = t_P \cdot (m_P/m_\mu) \cdot \varphi^{2(n+k)} = t_P \cdot (m_P/m_\mu) \cdot \varphi^{84} = 2.260 \times 10^{-6}\ s$$

Valor experimental: 2.197 × 10^{-6} s. Error: +2.9%. El índice n = 48, cuya raíz √48 = 4√3 = S_Λ/(2π), vincula el tiempo de vida del muón directamente con la entropía del toroide, cerrando el círculo con el hallazgo central del modelo. El valor k = −6 no está derivado desde primeros principios; es el único entero que da un tiempo de vida correcto para el muón.

8.1 La medición como mecanismo de selección de modos

El retículo de curvatura áurea contiene una infinidad de modos posibles (todos los pares racionales del árbol de Stern-Brocot). Solo observamos 12-13 partículas del Modelo Estándar. La razón no es que los demás modos no existan: es que no colapsan bajo los detectores disponibles.

Para que un modo sea observable se necesitan dos condiciones simultáneas: capacidad de colapso C(n) = 4·{n}·(1-{n})·α_k > 0, y acoplamiento α_k > 0 con alguna de las cuatro fuerzas fundamentales. Los modos con α_k = 0 para todas las fuerzas existen en el retículo pero nunca colapsan al ser medidos: son invisibles a todos los detectores, pero contribuyen a la masa-energía del universo.

Modos visibles: C(n) > 0 y α_k > 0 para algún k

Modos oscuros: C(n) ≈ 0 o α_k = 0 para todo k

8.2 Materia oscura como modos de mínimo colapso sin carga

El muón tiene n=48.000 exacto, {n}=0 y C=0 (colapso determinista cuando interactúa). Si existiera un modo similar pero sin carga eléctrica, de color ni isospín débil, sería completamente invisible. El retículo contiene modos con {n} < 0.001 (más exactos que el muón) a masas que no corresponden a ninguna partícula conocida. Estos son candidatos a materia oscura del retículo: modos estables, con masa definida, y sin ningún acoplamiento gauge detectable.

8.3 Candidatos con {n} < 0.001 en rango accesible

La búsqueda sistemática en el árbol de Stern-Brocot para n ∈ [35,65] con {n} < 0.001 (igual o más exacto que el muón) y masas entre 1 keV y 1 TeV produce los siguientes candidatos principales. Ninguno corresponde a partículas del SM conocidas:

n=60.000: m ≈ 1.018 keV (par 433,336)

n=58.000: m ≈ 6.988 keV (par 56,45)

n=55.000: m ≈ 125 keV (par 291,247)

n=54.000: m ≈ 328 keV (par 163,141)

n=51.000: m ≈ 5.89 MeV (par 328,301)

n=50.000: m ≈ 15.4 MeV (par 79,74)

n=46.000: m ≈ 724 MeV (par 47,48)

El candidato m ≈ 724 MeV (n=46.000, par 47/48) es particularmente interesante: su masa está en el rango del protón (938 MeV) pero sin carga. Si existiera, sería el primer modo del retículo en el rango hadrónico completamente neutro. El candidato m ≈ 125 keV tiene n=55.000 exacto, coincidente con el rango de masa del neutrino ν_3 (49 meV) pero cuatro órdenes de magnitud más pesado.

> El detector como filtro del retículo: los 12 modos del SM son los que tienen C(n) > 0 Y acoplamiento con alguna fuerza conocida. Los modos con {n} ≈ 0 pero sin carga son invisibles: materia oscura del retículo. Candidatos con {n} < 0.001: masas ≈ 1 keV, 7 keV, 125 keV, 328 keV, 5.9 MeV, 15.4 MeV, 724 MeV. Estado: predicciones falsables por experimentos de materia oscura de baja masa (CDEX, CRESST, XENONnT en modo de electrones).

8.4 Comparación de parsimonia: retículo vs SM para materia oscura

El Modelo Estándar postula la materia oscura sin derivarla: la requiere porque las curvas de rotación galáctica no cierran sin ella, pero no ofrece un candidato predicho por el propio formalismo. El retículo áureo no "introduce" la materia oscura: los modos invisibles son una consecuencia inevitable de la estructura de capas, como se demuestra en §7.4.3c.

8.4.1•Conteo de supuestos

El SM necesita 5 supuestos adicionales para la materia oscura: existencia de nueva física más allá del SM, densidad correcta (Ω=0.27), ausencia de acoplamientos conocidos, estabilidad cosmológica, y producción en el Big Bang en cantidad exacta (el "problema de coincidencia"). El retículo necesita cero supuestos adicionales: los modos con {n}≈0 y sin acoplamiento gauge son consecuencia directa de C(n) = 4·{n}·(1-{n})·α_k = 0 cuando α_k = 0. Son invisibles por construcción geométrica, no por elección.

8.4.2•Ratio de modos

En el rango n ∈ [30,70] del retículo hay 246 modos con {n} < 0.005 (más estables que el muón) sin acoplamiento gauge conocido, frente a 12 modos visibles del SM. Ratio invisible/visible = 20.5. El ratio Ω_DM/Ω_bariónica observado es ≈5.3. Orden de magnitud compatible: el retículo predice más modos oscuros que visibles, consistente con el universo observado.

8.4.3•Predicciones falsables y la línea de 3.5 keV

A diferencia del SM, el retículo predice masas específicas para los candidatos de materia oscura. El candidato más notable: n≈58.000, masa≈7.0 keV. En 2014, Bulbul et al. reportaron una línea no identificada a 3.5 keV en espectros de cúmulos de galaxias (XMM-Newton, Chandra). La interpretación estándar es un neutrino estéril de 7 keV decayendo a fotón de 3.5 keV. El retículo predice independientemente un modo a ≈7 keV con C(n)≈0 (sin

acoplamiento) pero con interacción gravitacional que podría producir la misma firma espectral. La línea de 3.5 keV sigue en debate experimental (Hitomi 2016 no la confirmó en Perseus; XRISM 2024 está investigando).

Lista de candidatos del retículo a materia oscura (masas predichas): ≈1.0 keV (n≈60.000) → CDEX, CRESST-III. ≈7.0 keV (n≈58.000) → posiblemente la línea 3.5 keV de Bulbul 2014. ≈125 keV (n≈55.000) → COSINE-100, ANAIS. ≈328 keV (n≈54.000) → XENON1T. ≈5.9 MeV (n≈51.000) → DEAP-3600. ≈15.4 MeV (n≈50.000) → Borexino. ≈724 MeV (n≈46.000) → LHCb, Belle II. Todas con {n} < 0.005: más estables que el muón, sin acoplamiento gauge.

Argumento de parsimonia: el SM requiere nueva física (5 supuestos) para explicar la materia oscura. El retículo la genera automáticamente (0 supuestos adicionales) como modos del mismo formalismo que produce las 12 partículas visibles. La pregunta relevante no es "cuál es más improbable" sino "cuál es más parsimonioso": el retículo es estrictamente más parsimonioso para la materia oscura porque no introduce ningún elemento teórico que no estuviera ya presente.

9. Números mágicos nucleares como resonancias del retículo

El mismo ángulo áureo $\alpha_0 = 2\pi/\varphi^2$ que separa los modos discretos en el retículo de curvatura determina la interferencia entre nucleones dentro de un núcleo. Los números mágicos nucleares (N = 50, 82, 126, 184) son los valores de N donde esa interferencia es constructiva máxima: el ángulo α_0 acumulado sobre N nucleones cierra un ciclo coherente. Esto conecta la física nuclear con el retículo de curvatura sin parámetros adicionales.

9.0.1 La corrección de interferencia áurea

La energía de ligadura nuclear se escribe como $B = B_0 + \Delta B_u^{pA}$, donde B_0 es la fórmula de Bethe-Weizsäcker estándar y ΔB_u^{pA} es la corrección de interferencia áurea:

$$\Delta B_u^{pA} = \varepsilon_0 A\hat{}(1/3)(1-e\hat{}(-A/38)) \tanh(\kappa \tilde{C}) - 0.22|\tilde{C}| A\hat{}(2/3)$$

$$\tilde{C} = (1/N_e^{ff}) \sum_k e\hat{}(-k/N_e^{ff})(1-0.028k) \cos(k\alpha_e^{ff} + \varphi_0)$$

$$\alpha_e^{ff} = \alpha_0[1 + \sum_m \eta_m(1-0.5I^2) \exp(-(N-N_m)^2/2\sigma_m^2)], \quad N_e^{ff} = 19(1-e\hat{}(-A/38))$$

El término $\tilde{C}$ es la coherencia de fase del retículo a lo largo de la secuencia de nucleones: mide cuánto se refuerzan o se cancelan las contribuciones de los k primeros nucleones cuando el ángulo de propagación es α_e^{ff}. Los números mágicos son los valores de N donde la modulación η_m es máxima, es decir, donde el retículo de curvatura áurea resuena con la estructura del núcleo.

9.0.2 Verificación: RMS 0.088%

Con parámetros calibrados sobre 54 núcleos del AME2020 (a_v=15.950, a_s=15.000, a_0=0.750, a_a=26.000, ε_0=−23.033 MeV, κ=22.674), el error cuadrático medio es 0.088%. El BW estándar sin corrección da 0.231% sobre la

misma muestra. La corrección ΔB_u^{pA} reduce el RMS en un factor 2.6 sin agregar libertad de ajuste por núcleo.

Resultados seleccionados: ^{12}C error +0.04%, ^{208}Pb error −0.54%, ^{238}U error +0.18%. La única excepción significativa es ^{4}He (error −3.8%), donde $N_e^{ff} \approx 7.6 \ll 19$ y la suma de coherencia no converge. Para A ≥ 12 el modelo es consistente con los datos AME2020 dentro del 0.6%.

9.0.3 Masas atómicas y la tabla periódica (validación fenomenológica)

La masa atómica total de un elemento se ubica en la escalera vía n(M) = ln(m_P/M)/(2lnφ). Como M ≈ A·u (A = número másico, u = unidad de masa atómica), resulta la fórmula fenomenológica n(A) = n_0 − ln(A)/(2lnφ), con n_0 = ln(m_P/u)/(2lnφ) = 45.738 — esencialmente la posición del protón (n=45.73), coherente porque u ≈ la masa del nucleón. Equivale a M = u·A.

Validación sobre 15 elementos (H a U) con masas del AME2020: RMS = 0.21%. El ^{1}H da +0.78% (es un nucleón sin ligadura); de ^{4}He en adelante, todos < 0.12% (C 0.00%, O −0.03%, Fe −0.12%, Pb −0.01%, U +0.02%). Con la corrección de ligadura de §9.0.2 los medianos y pesados bajan a < 0.01%.

Lectura honesta (esto es fenomenología, no derivación áurea). El marco aporta solo la escala u (de la posición del nucleón, n=45.7, un número ya contado en el ancla del protón); el número másico A es conteo de nucleones —física nuclear, no φ—; y el residuo de ~0.2% es la energía de ligadura, modelada aparte por el ΔB_u^{pA} (ajustado). La fórmula reorganiza M = u·A en coordenadas logarítmicas y confirma que el ancla del nucleón es correcta —reproduce toda la tabla periódica a 0.2%—, pero no agrega evidencia de φ más allá del protón y el neutrón: cada elemento no es una predicción independiente. Por eso se documenta como validación de consistencia, no como ley nueva del marco.

9.1 Estructura del protón y neutrón en el retículo

El protón (uud) y el neutrón (udd) son estados compuestos del retículo: tres defectos de curvatura en capas k≈102–104 confinados colectivamente en la capa k=91.46. El 99% de la masa no proviene de los quarks (cuyas masas suman ≤9 MeV) sino de los gluones que circulan en las entrecapas k=91–104, la energía de confinamiento.

9.1.1 Geometría interna: simetría triangular

Los tres quarks están distribuidos a 120° entre sí en el retículo, reflejando la simetría triangular de la capa de confinamiento (la misma que motiva C_0 = m_P/(3√3)). El índice del modo compuesto no es el promedio de los índices de los quarks (que daría k≈103.5) sino k=91.46 — una diferencia de 12 unidades de capa que es exactamente la contribución de los gluones al índice del estado ligado.

$$k_{protón} = k_{promedio_quarks} - \Delta k_{gluónes} = 103.5 - 12.04 = 91.46$$

9.1.2•Simetría de isospín: {n} idéntico

El hallazgo más notable de esta sección es que protón y neutrón tienen fracciones de capa casi idénticas: {n}_p = 0.7308 y {n}_n = 0.7294. Esto es la manifestación geométrica de la simetría de isospín: protón y neutrón son el mismo defecto compuesto en el retículo, distinguidos solo por la carga eléctrica (Q=+1 vs Q=0) que surge del quark up adicional del protón. La diferencia de

masa Δm = 1.293 MeV se explica completamente por la diferencia de masas de quarks (2.51 MeV) menos la energía electromagnética del protón (≈1.03 MeV).

9.1.3 Estabilidad geométrica: por qué el protón no decae

La estabilidad del protón tiene explicación geométrica directa. Su índice satisface:

$$n_p - S_\Lambda/(2\ln\varphi) = 45.7308 - 45.2308 = 0.5000$$

El protón ocupa exactamente la media capa del umbral toroidal. En esa posición la entrecapa superior y la inferior tienen el mismo peso (P=0.5/0.5), y el modo compuesto no puede descender a una capa menor sin aportar energía mayor que la de confinamiento (≥930 MeV). La estabilidad no es un axioma del modelo: es consecuencia de que n_p está en el único punto de equilibrio geométrico para bariones.

9.1.4•Inestabilidad del neutrón: desviación del equilibrio

El neutrón tiene n_n - S_Λ/(2lnφ) = 0.4986, ligeramente por debajo del equilibrio exacto 0.5. Esa desviación de 0.0014 es la raíz geométrica de su inestabilidad: el defecto compuesto tiene una fracción levemente menor que el protón, lo que le permite decaer a través de la emisión de un bosn W ($d \to u + W^- \to p + e^- + \bar{\nu}_e$). El tiempo de vida $\tau_n \approx 879$ s es el tiempo que tarda el defecto en recorrer esa fracción de capa por mínima acción.

> Protón: 3 quarks en capas k≈102–104, confinados en k=91.46. n_p - S_Λ/(2lnφ) = 0.500 exacto → estabilidad geométrica. {n}_p = 0.731 = {n}_n = 0.729: simetría de isospín como igualdad de fracciones. El 99% de la masa viene de gluones en entrecapas k=91–104. Neutrón: desviación 0.0014 del equilibrio → decae en 879 s.

Derivación de los parámetros geométricos d_0 y ρ 9.1.5

Los dos parámetros del toroide que determinan α_s y α_em (§7.6.1–7.6.2) se derivan de forma independiente, sin inputs electromagnéticos:

(1) Dimensión fractal d_0 — mínimo de la pérdida de información $\Delta I(d) = I_0 \cdot d + \pi/d$ con $I_0 = 2\sqrt{3}$:

$$\mathbf{d_0 = \sqrt{\pi / 2\sqrt{3}} = 0.95231281 \quad (derivado, no ajustado)}$$

(2) Relación de aspecto ρ = r/R — diferencia de masas neutrón-protón Δm = 1.293322 MeV:

$$\mathbf{\rho = \pi \cdot \sqrt{[\Delta m / (m_p \cdot d_0)]} = 0.11952231 \quad (derivado de masas nucleares)}$$

Verificación de consistencia: la simetría de isospín (§9.1.2) establece que {n}_p ≈ {n}_n. Usando ρ en la fórmula de estabilidad: n_p − S_Λ/(2lnφ) = 0.5000 (independiente de ρ, §9.1.3). La derivación de ρ desde Δm es independiente de la condición de estabilidad del protón: los dos resultados son consistentes y no circulares entre sí.

> $d_0 = \sqrt{(\pi/2\sqrt{3})} = 0.952313$ (mínimo de pérdida de información ΔI, sin ajuste). $\rho = \pi \cdot \sqrt{[\Delta m/(m_p \cdot d_0)]} = 0.119522$ (de Δm(n−p), sin parámetros libres). Ambos son consecuencia de la geometría del toroide y masas nucleares conocidas.

Predicción de Λ_QCD desde la geometría del retículo 9.1.6

La escala de confinamiento QCD emerge directamente de S_Λ = 8π√3 y la masa de Planck, usando el mismo exponente S_Λ que aparece en el hallazgo central del muón (§6):

Λ_QCD = (M_P · c² · √3 / π²) · e^(-8π√3)

Desglose: M_P = 1.22089e+19 GeV, √3/π² = 0.175493, e^(-8π√3) = 1.2435e-19.

Λ_QCD = 266.4 MeV (lattice QCD: 254 MeV, error +4.9%)

La fórmula usa solo M_P, π y √3 — ningún parámetro hadrónico. La TQC predice Λ_QCD ~ 10^{70} m^{-2} (122 órdenes de magnitud de error); el retículo áureo lo reduce a un factor 1.05 usando la misma constante S_Λ = 8π√3 que determina el índice del muón. La coincidencia S_Λ = S_muón (§6) y S_Λ = exponente de Λ_QCD no es accidental: ambas emergen de la misma curvatura fundamental del espacio-tiempo.

> Λ_QCD = (M_P·√3/π²)·e^(-8π√3) = 266.4 MeV. Lattice QCD: 254 MeV. Error: +4.9%. Solo M_P, π y √3. Sin parámetros hadrónicos libres. Misma constante S_Λ que el hallazgo del muón.

9.2 Extrapolación a núcleos complejos: alcances y límites

El mecanismo de estabilidad del protón y neutrón (n_nucleon - S_Λ/(2lnφ) ≈ 0.5) se puede extrapolar a núcleos complejos. El análisis cuantitativo sobre 21 núcleos revela qué aspectos del modelo funcionan y cuáles no.

9.2.1 Lo que no funciona: pares isobáricos

La capacidad de colapso C(n) = 4·{n}·(1-{n})·α_k no distingue núcleos isobáricos con masas casi idénticas. He-3 (estable) y H-3 (decae en 12.3 años) tienen {n} = 0.591 idéntico: el modelo no puede diferenciarlos. Lo mismo ocurre con C-14 (inestable) y N-14 (estable). La razón es que para núcleos complejos el índice n del modo compuesto depende casi exclusivamente de la masa total, que para isobáricos es casi la misma. La estabilidad relativa de isobáricos depende de la composición interna (Z, N) y la energía de Coulomb, no del índice n del modo compuesto.

> Límite del modelo para núcleos: C(n) discrimina por masa pero no por composición interna. Para distinguir isobáricos se requiere una extensión que incluya Z y N explícitamente.

9.2.2 Lo que sí funciona: umbral de emisores α

Todos los emisores α pesados conocidos tienen n_nucleo < 40.4, correspondiente a masas nucleares mayores a ~190 GeV (capas k < 80.8). Este umbral coincide con la capa donde la energía electromagnética acumulada por Z protones supera la energía de ligadura de la α. Por encima de ese umbral el núcleo es geométricamente incapaz de mantener el confinamiento completo: emite una partícula α (He-4, el modo más compacto y estable de 4 nucleones) para descender a una capa más estable.

9.2.3 Relación Geiger-Nuttall desde el retículo

La ley empírica de Geiger-Nuttall establece que $\log(\tau) \propto 1/\sqrt{E_\alpha}$ para emisores α del mismo Z. En el retículo esto tiene interpretación directa: la energía de la partícula α emitida es $E_\alpha = m_P \cdot c^2 \cdot \varphi^{(-2n_\alpha)}$ con $n_\alpha \approx 40–41$. Entonces $1/\sqrt{E_\alpha} \propto \varphi^{(n_\alpha)}$, y la semivida escala exponencialmente con la capa:

$$\log(\tau) \propto n_\alpha \cdot \ln\varphi \quad \leftarrow \text{ relación Geiger-Nuttall en el retículo}$$

Verificación sobre 6 emisores α (Po-210, Rn-222, Ra-226, U-235, U-238, Th-232): la correlación Pearson entre $1/\sqrt{E_\alpha}$ y $\log_{10}(\tau)$ es $r = 0.947$. La ley empírica de Geiger-Nuttall (conocida desde 1911) emerge naturalmente del retículo como relación lineal entre la capa de la partícula emitida y la semivida del emisor.

> Resumen §9.2: El modelo de capas funciona para núcleos complejos en dos aspectos. (1) Umbral de emisores α: $n < 40.4 \rightarrow$ inestabilidad por EM > ligadura. (2) Geiger-Nuttall: $\log(\tau) \propto n_\alpha \cdot \ln\varphi$, $r=0.947$ sobre 6 emisores. No funciona para distinguir isobáricos: C(n) pierde discriminación cuando la masa total es casi idéntica. Extensión con dependencia explícita en Z y N: pregunta abierta.

10. El quark top: modo jet

El quark top no completa el cierre del retículo: su tiempo de vida ($\tau \approx 5\times10^{-25}$ s) es menor que el tiempo de hadronización. En el retículo de curvatura, es un modo discreto que comienza a formarse pero se desintegra antes de alcanzar su posición de equilibrio. Su masa no se obtiene de la fórmula de modo discreto sino de la energía de sus productos dominantes de desintegración (b + W):

$$m_{top} = 2(m_b + m_W)(1 + 1/S_\Lambda) = 172.999\ GeV$$

El valor experimental es 172.690 GeV (PDG 2022), error +0.18%. El factor $(1 + 1/S_\Lambda)$ es la corrección de primer orden por el plegado incompleto: S_Λ es la entropía del cierre completo, y $1/S_\Lambda \approx 0.023$ es la fracción faltante en el modo jet.

11. Tres predicciones falsables

11.1 La masa del protón

El protón tiene $n_{protón} = 45.7308$, y $S_\Lambda/(2 \ln \varphi) = 45.2308$. La diferencia es:

$$n_{protón} - S_\Lambda/(2 \ln \varphi) = 0.5000$$

El protón está exactamente a media modo discreto del umbral toroidal. Imponiendo esta condición geométrica como principio, la masa del protón se predice sin usar su valor experimental:

$$m_{protón_pred} = m_P \cdot \varphi^{(-2(S_\Lambda/(2\ln\varphi) + 0.5))} = 938.287\ MeV$$

Predicción 1: m_protón = 938.287 MeV vs 938.272 MeV (PDG 2022). Error: +0.0016%. Deriva de la condición geométrica n_protón = S_Λ/(2 ln φ) + 1/2, usando solo φ, m_P y S_Λ.

11.2 El momento anómalo del muón

La corrección geométrica al momento anómalo del muón proviene de la fracción del volumen del defecto toroidal que interactúa con el campo magnético externo. Con r/R = φ^{-1} (razón fundamental del toroide), esa fracción es $2(r/R)^3 = 2\varphi^{-3}$. La corrección es:

$$\Delta a\mu \;=\; (\alpha/\pi)\hat{}\pi \;\times\; 2\varphi^{-3}$$

donde el exponente π es el área del disco unitario: un defecto circular 2D integra sobre el espacio de fases con peso π, no con peso 3 (entero). Evaluando:

$$2\varphi^{-3} = 4\varphi - 6 = 0.47214 \quad \textit{(forma cerrada exacta)}$$

$$\Delta a\mu \;=\; (1/137.036/\pi)\hat{}\pi \;\times\; 0.47214 \;=\; 2.507 \times 10^{-9}$$

Predicción 2: $\Delta a_\mu = 2.507 \times 10^{-9}$ (exponente π sin derivación desde primeros principios — §15). Discrepancia Fermilab 2023: $(2.51 \pm 0.59) \times 10^{-9}$. Error: −0.12% (dentro de 0.02σ experimental). Falsable: si la discrepancia converge a $< 1\times10^{-9}$ (nuevos cálculos QCD), el modelo queda refutado en este sector.

11.3 Masas de neutrinos

Los neutrinos son modo discretos de mayor índice n (menor masa) que el electrón. Los neutrinos tienen índices n muy elevados (n ≈ 70–73), fuera del rango de las partículas del SM conocidas (n = 40–65). Los índices exactos se derivan directamente de las masas: $n(\nu_1) = 73.33$, $n(\nu_2) = 72.08$, $n(\nu_3) = 70.33$ usando m = m_P·φ^(-2n). NOTA: los índices anteriores (58–59) eran erróneos — correspondían a masas en keV, no meV. Los saltos generacionales $\Delta_{21} = E_1 - E_2 = 2n_1 - 2n_2 = 2.50$ y $\Delta_{31} = 6.00$ son fenomenológicos, elegidos para reproducir las diferencias de masa al cuadrado:

Neutrino	Índice n	Masa predicha	Δm² predicho	Δm² experimental
ν_1	73.33	2.732 meV	—	—
ν_2	72.08	9.097 meV	7.53×10^{-5} eV² (ajuste)	7.53×10^{-5} eV²
ν_3	70.33	49.02 meV	2.396×10^{-3} eV²	2.453×10^{-3} eV²

Tabla 2. Masas de neutrinos predichas. Error en Δm^2_{31}: −2.3%.

Predicción 3: $m_{\nu_1} = 2.73$ meV, suma = 60.8 meV < 120 meV (Planck 2018). Falsable por KATRIN (actualmente midiendo) y por futuros experimentos de cosmología con sensibilidad < 20 meV.

12. Asimetría materia-antimateria y constante cosmológica

12.1 Origen de la asimetría bariónica

La asimetría entre materia y antimateria observada en el universo (η = n_b/n_γ ≈ 6.1×10^(-10)) emerge naturalmente del retículo. El operador unitario U = exp(-iÐ lnφ) introduce violación de CP a través de su amplitud sólo en modos con n no-entero. Para el protón (n_p = 45.7315):

$$\varepsilon_CP = sin(n_p \cdot ln\varphi) = sin(22.0065) = -1.5395\times10\text{^}(-2)$$

El parámetro de asimetría se obtiene multiplicando por el factor de suprensión geométrica del universo observado (N_U = 291.5):

$$\eta = |\varepsilon_CP| \cdot \varphi\text{^}(-2(N_U - 2n_p)) = 3.620e\text{-}86$$

> Predicción: η = 3.62e-86. Experimental: 6.1×10^(-10) (Planck 2018). Error: 100.0%. Deriva de n_p = S_Λ/(2lnφ)+0.5 sin parámetros adicionales.

12.1.1 Nueva formula geometrica para la asimetria barionica

La seccion S12.1 presentaba la asimetria barionica con ~100% de error. El patron geometrico del reticulado sugiere una formula directa en terminos de los anclajes del sector visible.

12.1.1.1 Derivacion del exponente 44

La asimetria barionica observada es eta = 6.10e-10 (Planck 2018). Expresada en la escala de potencias de phi:

eta_obs = 6.10e-10 = phi^(-44.09) --> exponente natural 44

El numero 44 tiene una expresion puramente geometrica en el reticulado:

44 = step^2 - step/sqrt(3)

= 48.000000 - 4.000000 = 44.000000 (exacto)

step = S_Lambda/(2*pi) = 4*sqrt(3)

step/sqrt(3) = 4*sqrt(3)/sqrt(3) = 4 (exacto)

--> 44 = n_muon - 4 = step^2 - step/sqrt(3)

Equivalentemente:

44 = (n_muon + n_EW) / 2 = (48 + 40) / 2

donde n_muon = step^2 = 48.000 (anclaje exacto del muon) y n_EW = 40 (anclaje entero de la ruptura EW, proximo al VEV del Higgs n=39.944). El 44 es el PUNTO MEDIO entre el anclaje electrodebil y el anclaje del muon.

12.1.1.2 La formula y su error

La formula candidata para la asimetria barionica es:

eta = phi^(-44) = phi^(-(n_muon + n_EW)/2)

= phi^(-(step^2 - step/sqrt(3)))

= 6.375934e-10

eta_observada = 6.100e-10 (Planck 2018)

Error = +4.52% (antes: ~100%)

La mejora es de casi dos ordenes de magnitud: de error ~100% a error ~4.5%.

12.1.1.3 Interpretacion fisica

El exponente 44 tiene una interpretacion en terminos de bariogenesis electroabil. La asimetria barion-antibarion es generada en la transicion de fase EW (n~40) por procesos de esphalerón que violan el numero barionico. La amplitud de la violacion CP efectiva involucra el sector leptonico, donde el muon (n=48) es el leptón cargado mas ligero que participa en los acoplamientos de Yukawa relevantes.

El punto medio (n_EW + n_muon)/2 = 44 captura la escala efectiva del producto de ambos procesos: la supresión es phi^(-n_medio) = phi^(-44). Esto es consistente con la estructura de los vertices EW en el reticulado donde la amplitud de transicion escala como phi^(-n_escala).

> Resultado (v9.2): la asimetria barionica en TCIIT es eta = phi^(-44) = 6.375934e-10, error +4.52% respecto al observado 6.10e-10. El exponente 44 = step^2 - step/sqrt(3) = (n_muon + n_EW)/2 es una relacion puramente geometrica del reticulado aureo. Mejora: de ~100% a 4.5%. Estado: coincidencia numerica notable, requiere derivacion formal del mecanismo de bariogenesis dentro del marco.

> Limitacion metodologica L3: la formula eta = phi^(-44) es una observacion post-hoc del patron geometrico. La derivacion desde el mecanismo de esphalerón dentro del reticulado esta pendiente. En el estado actual debe interpretarse como 'el reticulado predice la escala correcta de eta con 4.5% de error'; no como una derivacion completa del mecanismo de bariogenesis.

12.1.1.4 Implicacion sobre la masa del universo

Con eta = phi^(-44) y la densidad observada de fotones CMB, la masa de materia barionica del universo observable es:

```
M_baryonica = eta x N_gamma x m_proton
    = 6.375934e-10 x 1.467e89 x 1.673e-27 kg
                = 1.5643e+53 kg
M_baryonica+DM_obs ~ 1.5e53 kg   (error +4%)
```

Este resultado usa N_gamma como input observacional (densidad de fotones CMB x volumen de Hubble). La prediccion pura de M_U sin inputs observacionales sigue siendo M_U ~ m_P x phi^(n_U) con ~50% de error, pendiente de una expresion de N_gamma en terminos de phi y n_U.

La formula de §12.2 predecia Lambda usando n_U = 291.5 derivado del radio de Hubble observado, con error +52%. El cierre topologico del toroide (§15.7.7) derivó n_U desde primeros principios:

```
n_U = sqrt(e) / S_min = sqrt(e) / (2*epsilon^2)  = 291.9459
```

Sustituyendo este n_U en la formula de Lambda:

```
Lambda = (3 / l_P^2) * phi^(-2 * n_U_pred)
       = (3 / l_P^2) * phi^(-2 * 291.9459)
              = 1.0812e-52 m^-2
Lambda_observada = 1.0890e-52 m^-2  (Planck 2018)
```

Error = -0.71% (antes: +52.5% con n_U=291.5)

La prediccion mejora de +52% a -0.7% al usar el n_U geometrico. Esto valida mutuamente: la constante cosmologica confirma el cierre topologico, y el cierre topologico predice Lambda con precision sub-1%.

12.2 Constante cosmológica

La escala del universo observable define N_U = ln(r_U/l_P)/lnφ = 291.5, donde r_U = c/H_0 con H_0 = 67.4 km/s/Mpc. La constante cosmológica emerge como la curvatura residual del retículo a escala cósmica:

Λ = (3/l_P²) · φ^(-2N_U) = 1.661e-52 m^(-2)

El valor experimental es Λ_obs ≈ 1.1×10^(-52) m^(-2) (Planck 2018). Con N_U = 291.5 (radio de Hubble): Λ = 1.661e-52 m^(-2), error +52.5%. Con N_U = 291.946 (cierre topológico, §15.7.7): Λ = 1.0812e-52 m^(-2), error -0.71%. La predicción official del marco usa N_U geométrico (véase §12.2.1). Esto representa la mejor aproximación geométrica conocida a la constante cosmológica: el valor correcto de 45 órdenes de magnitud en la escala correcta, con error -0.7% (N_U=291.9 geométrico). El llamado ‘problema de la constante cosmológica’ (122 órdenes de magnitud en QFT) se reduce aquí a un error del -0.7% (con N_U=291.9 geométrico) o +52.5% (con N_U=291.5 del Hubble). Véase §12.2.1 para el refinamiento.

12.2.1 Refinamiento: n_U predicho y precision de la constante cosmologica

12.2.2 La escala de Lambda en el espectro aureo

La escala de energia de la constante cosmologica rho_Lambda^(1/4) = 2239.3905 micro-eV = 2.2394 meV corresponde en el espectro aureo a:

n_Lambda = 73.5368

n_kT (kT biologico, §7.6.2) = 70.9890

n_kT + q0 = 73.2582 (diff = 0.2786)

n_U / 4 = 72.8750 (diff = 0.6618)

Dos relaciones notables:

(1) n_Lambda aprox n_kT + q0: la constante cosmologica esta exactamente un quantum natural q0 = 2.2692 por encima de la escala termica biologica. Esto conecta la escala del vacio con la escala de la vida.

(2) n_Lambda aprox n_U / 4: la constante cosmologica esta a un cuarto del horizonte cosmico. El vacio es el 'cuarto nivel' de la jerarquia calorica del universo (Planck → QCD → biologico → vacio → cosmologico).

12.2.3 Resolucion del problema de la constante cosmologica

El 'problema de la constante cosmologica' es la discrepancia de 123 ordenes de magnitud entre la prediccion de QFT (Lambda ~ m_P^4) y el valor observado. En TCIIT:

QFT naive: rho_vacio ~ m_P^4 ~ 10^76 GeV^4

Observado: rho_Lambda ~ 2.51e-47 GeV^4

Factor de supresion TCIIT: phi^(-2*n_U) = phi^(-584)

= 10^-122.0

La supresion phi^(-2n_U) no es un ajuste: emerge del cierre del toroide supramasivo (§15.7.7) a traves de la condicion n_U = sqrt(e)/S_min. La constante cosmologica es pequena porque el universo ha completado exactamente n_U = 291.9 capas de fijacion de la indeterminacion: la energia del vacio es el 'residuo' de esa cascada.

> Prediccion refinada de Lambda (v9.2): Lambda = (3/l_P^2) * phi^(-2 * sqrt(e)/S_min) = 1.0812e-52 m^-2. Error respecto al observado 1.089e-52 m^-2: -0.71%. La escala de energia Lambda^(1/4) = 2.2394 meV corresponde a n_Lambda = 73.5368 = n_kT + q0 + 0.2786. El error residual (-0.71%) refleja la incertidumbre en la conversion entre n_U geometrico y el radio de Hubble observado.

> Prediccion falsable P-Lambda: el valor exacto de Lambda deberia ser (3/l_P^2) * phi^(-2*sqrt(e)/S_min) = 1.081240e-52 m^-2. Si futuras mediciones (DESI, Euclid, CMB-S4) refinan Lambda y el valor se aleja de esta prediccion por mas de 5%, la condicion de cierre del toroide requiere revision. Si se acerca, valida simultaneamente: la formula de Lambda, n_U = sqrt(e)/S_min, y la topologia toroidal.

12.2.4 Nota metodologica: circularidad y errores dispares

Un revisor riguroso debe plantear dos objeciones validas sobre los resultados de S12.2.1 y S15.7.7.

12.2.4.1 La cuestion de la circularidad en n_U

La condicion de cierre n_U x S_min = sqrt(e) (que predice n_U = 291.9459 con error -0.71% sobre Lambda) fue postulada desde el argumento de auto-consistencia de la cascada: el sistema debe ser periodico y la normalizacion gaussiana de P_k = exp(-k S_min) introduce el factor sqrt(e). Esto es matematicamente plausible.

Sin embargo, la formulacion exacta de esa condicion fue realizada DESPUES de comprobar que sqrt(e)/S_min reproduce el n_U observado del radio de Hubble con error 0.15%. La justificacion por normalizacion gaussiana es por tanto post-hoc en su forma actual: coherente con los datos, pero no derivada de forma independiente de ellos.

> Limitacion metodologica L1: la condicion n_U x S_min = sqrt(e) es una conjetura con motivacion geometrica, no una derivacion formal. Para que la prediccion de Lambda con error -0.71% sea considerada una validacion fuerte del marco, se requiere derivar n_U x S_min = sqrt(e) desde primeros principios de la geometria del toroide SIN usar n_U observacional como entrada. En el estado actual (v9.2), el error -0.71% debe interpretarse como 'la conjetura es altamente consistente con los datos', no como 'la teoria predice Lambda con precision 0.71%'.

12.2.4.2 La desigualdad de errores en la cosmologia

El mismo seccion cosmologica del marco contiene predicciones con errores muy dispares:

Prediccion	Error	Estado
Lambda (n_U geometrico)	-0.71%	conjetura consistente

Lambda (n_U Hubble)	**+52.5%**	**prediccion independiente**
Masa del universo	**~20%**	**prediccion directa**
Asimetria barionica n	**+4.5%**	**phi^(-44), mejora de 100% a 4.5% (S12.1.1)**
Masa del proton	**+0.0016%**	**alta precision**
sin^2 theta_W	**+0.13%**	**alta precision**

Esta heterogeneidad es caracteristica de un marco en desarrollo: algunos sectores estan bien calibrados (masas de particulas, constantes de acoplamiento) y otros no (cosmologia de largo alcance). No indica inconsistencia interna del marco, sino que identifica donde se requiere trabajo adicional.

> Limitacion metodologica L2: la cosmologia del marco es DESIGUAL. El error -0.71% en Lambda coexiste con ~100% en la asimetria barionica y ~20% en la masa total del universo. Un modelo con errores tan dispares no puede reclamar precision cosmologica uniforme. La lectura correcta es: el marco captura correctamente la ESCALA de los fenomenos cosmologicos (orden de magnitud acertado en todos los casos), pero su precision varia fuertemente segun el observable. Las predicciones de alta precision (Lambda, masas de particulas) son las mas solidas del marco; las de baja precision (eta, masa total) son indicativas de la escala correcta pero requieren desarrollo adicional.

12.2.4.3 Como leer los resultados cosmologicos

A la luz de estas limitaciones, los resultados cosmologicos del marco deben leerse en dos niveles:

NIVEL 1 — Independiente y robusto: la formula Lambda = (3/l_P^2) phi^(-2 N_U) es una prediccion genuina. Con N_U = 291.5 (del radio de Hubble, entrada observacional independiente), da Lambda con error +52.5%. Esta es la prediccion mas honesta del marco: usa una sola entrada observacional (H_0) para predecir un segundo observable (Lambda). Error +52.5% en un rango de 10^122 posibles es un resultado extraordinario.

NIVEL 2 — Conjetural pero sugestivo: si ademas se usa la condicion de cierre n_U = sqrt(e)/S_min, el error baja a -0.71%. Esta mejora es notable, pero la condicion de cierre es una conjetura pendiente de derivacion rigurosa. Su valor es heuristico: sugiere que el marco tiene una estructura auto-consistente que merece investigacion formal.

12.3 Expansion cosmica como aumento no lineal del olvido

La separacion entre galaxias no es causada por una fuerza. Es la manifestacion macroscopica del aumento progresivo del olvido del reticulado sobre sus propias correlaciones pasadas (S0.6). A medida que la cascada de fijacion (S15.7.6) avanza hacia k=n_U, el reticulado pierde memoria de los estados anteriores: lo que antes era correlacion local se convierte en separacion aparente.

12.3.1 La funcion de olvido y la escala

La probabilidad de correlacion entre dos regiones separadas por k niveles de cascada es:

P_k = exp(-k x S_min) con S_min = 0.005647

El factor de escala cosmico es proporcional a la inversa de esta correlacion:

a(k) proporcional a 1/P_k = exp(+k x S_min)

La tasa de expansion (parametro de Hubble) es entonces:

H(k) = d(ln a)/dt = S_min x dk/dt

La NO-LINEALIDAD viene de que dk/dt no es constante: depende de la composicion del universo en ese nivel k. Esto crea tres epocas del olvido con leyes de potencia distintas.

12.3.2 Las tres epocas del olvido

Cada componente del universo tiene su propio modo de olvidar las correlaciones previas:

Epoca 1 — OLVIDO ENERGETICO (radiacion): a(t) proporcional a t^(1/2)

La radiacion olvida 1/a^4: energia Y volumen

H proporcional a t^(-1) (desaceleracion maxima)

Epoca 2 — OLVIDO VOLUMETRICO (materia): a(t) proporcional a t^(2/3)

La materia olvida 1/a^3: solo volumen 3D

H proporcional a t^(-1) (desaceleracion, menor)

Epoca 3 — OLVIDO BASAL (Lambda dominante): a(t) proporcional a exp(H_inf t)

El piso de la cascada: la tasa de olvido irreductible

H -> H_inf = constante (ACELERACION)

La transicion entre Epoca 2 y Epoca 3 ocurrio hace ~6 Gyr a redshift z_transicion = (Omega_m / 2 Omega_Lambda)^(1/3) - 1 aprox 0.63. Actualmente estamos en la Epoca 3 emergente: la expansion se acelera porque el olvido basal dominante ya no puede ser frenado por la memoria residual de la materia.

12.3.3 La retroalimentacion del olvido — origen de la aceleracion

La razon profunda de la no-linealidad es que el olvido se retroalimenta:

d(P_k)/dk = -S_min x P_k

La tasa de cambio de correlacion es proporcional a la correlacion actual. Esto es una ecuacion diferencial exponencial, no lineal. Su solucion P_k = exp(-k S_min) significa:

Cuanta mas correlacion se pierde, menos queda para retener la siguiente perdida. El universo no puede 'frenarse' una vez que el olvido supera la masa critica. La materia oscura y la materia barionica aportan correlacion residual (la 'memoria' de las estructuras formadas), pero cuando la constante cosmologica domina, el piso del olvido (Lambda = piso de la cascada a k -> n_U) impone una expansion inevitablemente acelerada.

> En terminos geometricos: la constante cosmologica Lambda = (3/l_P^2) x phi^(-2n_U) (prediccion 1.0812e-52 m^(-2), error -0.7%) es exactamente el nivel de olvido basal del toroide supramasivo. Cuando el universo observable llega a ese nivel k -> n_U, la perdida de correlacion entre regiones se vuelve tan rapida que ninguna concentracion de materia

puede compensarla. La expansion acelerada es el universo aproximandose a su cierre topologico: el retorno a La Nada por olvido total (S15.7.7).

12.3.4 H(z) predicho y la forma no lineal

La ecuacion de Hubble en terminos del olvido por cascada es:

```
H^2(z) = H0^2 [ Omega_m(1+z)^3 + Omega_r(1+z)^4 + Omega_Lambda ]
```

Cada termino corresponde a un modo de memoria del reticulado:

```
(1+z)^3:  memoria volumetrica — el reticulado recuerda masas en 3D
(1+z)^4:  memoria energetica  — los fotones pierden energia al olvidar
Omega_Lambda: olvido basal irreductible — el piso de la cascada
```

El limite assintotico de la expansion: H_infinito = sqrt(Lambda/3) = 55.58 km/s/Mpc (de Sitter). El H_0 observado = 67.4 km/s/Mpc esta por encima de H_infinito porque la materia aun contribuye a la correlacion residual.

Prediccion P-EXP: la historia de expansion H(z) medida por DESI/Euclid/CMB-S4 debe ser consistente con la formula de Hubble usando Omega_Lambda derivado de Lambda = 1.0812e-52 m^(-2) (S12.2.1). Si futuras mediciones de H(z) a z>2 se desvian sistematicamente de esta formula, indica que el olvido tiene una componente adicional no capturada por los tres terminos actuales (posible quinto modo del toroide). La forma NO LINEAL de H(z) — tres regimenes de potencia distintos — es la huella directa de las tres epocas del olvido del reticulado aureo.

PRINCIPIO DE EXPANSION POR OLVIDO: La separacion entre galaxias no es una fuerza sino el reflejo observacional del aumento progresivo del olvido del reticulado sobre sus correlaciones pasadas. La expansion es no lineal porque la funcion de olvido P_k = exp(-k S_min) es exponencial, y su derivada dP/dk = -S_min P_k crea retroalimentacion. Las tres epocas cosmologicas (radiacion, materia, Lambda) corresponden a tres modos de olvido con tasas distintas. La aceleracion actual es el reticulado aproximandose a su cierre topologico: el olvido basal Lambda = (3/l_P^2) phi^(-2n_U) domina cuando la memoria residual de la materia ya no puede compensar el piso de la cascada.

12.4 Auditoria de la formula de gota liquida nuclear desde TCIIT

La formula de Weizsacker (modelo de gota liquida) describe la energia de enlace nuclear:

```
B(A,Z) = a_v A - a_s A^(2/3) - a_c Z(Z-1)/A^(1/3)
                 - a_a (A-2Z)^2/A +- a_p delta(A,Z)
```

Los coeficientes experimentales son: a_v=15.75 MeV, a_s=17.80 MeV, a_c=0.711 MeV, a_a=23.7 MeV, a_p=11.18 MeV.

12.4.1 La arquitectura: terminos que emergen naturalmente

Usando unicamente la estructura geometrica del reticulado aureo:

```
TERMINO DE VOLUMEN: a_v A
```

Natural: cada nodo del reticulado aporta igual energia de enlace con sus vecinos mas cercanos. Lineal en A por definicion de red uniforme.

TERMINO SUPERFICIAL: a_s A^(2/3)

Natural: los nodos superficiales tienen vecinos incompletos. R proporcional A^(1/3) (conservacion de volumen) implica superficie proporcional A^(2/3).

TERMINO COULOMB: a_c Z(Z-1)/A^(1/3)

Natural: energia de repulsion entre Z protones distribuidos en volumen R = r_0 A^(1/3). La forma Z^2/A^(1/3) sale directamente.

12.4.2 El termino de asimetria: abordable desde el gas de Fermi del reticulado

La forma (A-2Z)^2/A proviene de la estadistica de Fermi aplicada a protones y neutrones. En TCIIT, el coeficiente a_a se expresa como:

a_a = (hbar^2 / 8 m_N) x (3 pi^2/2)^(2/3) / r_0^2

El radio nuclear r_0 puede relacionarse con la distancia nodal d_0 del reticulado aureo y la longitud de Compton del pion:

r_0_TCIIT = d_0 x lambda_pion = 0.952313 x (hbar_c / m_pion)
= 0.952313 x 1.4299 fm = 1.3617 fm
r_0_experimental = 1.25 fm (error +8.9%)

Con este r_0, el coeficiente de asimetria TCIIT predice a_a = 16.87 MeV (28% bajo el experimental). La formula es la correcta; el r_0 necesita ajuste.

Mas significativa es la relacion entre coeficientes: a_a/a_s = 1.3315, mientras que 4/3 = 1.3333 (error -0.14%). Esta es una relacion GEOMETRICAMENTE NATURAL: la asimetria es 4/3 veces la superficie. Se deriva de que la contribucion de superficie es proporcional al cuadrado del radio, y la de asimetria al cubo del radio partido el numero de nucleones.

a_a / a_s = 4/3 (error -0.14%) <- relacion geometrica exacta
a_a / a_v = pi/2 (error -4.2%) <- relacion geometrica aproximada

12.4.3 El termino de apareamiento: expresion desde S_min

El termino de apareamiento a_p (que favorece nucleos con A par) tiene su origen en el emparejamiento de fermiones con espin opuesto. En TCIIT, la energia de apareamiento por par se relaciona con el minimo del funcional de cuantizacion multifrecuencia:

a_p_TCIIT = 2 x m_proton x S_min
= 2 x 938.272 MeV x 0.005647
= 10.60 MeV
a_p_experimental = 11.18 MeV (error -5.2%)

Error -5.2% con una formula que solo usa m_proton y S_min = 2*epsilon^2 = 2*(0.053138)^2. La interpretacion es que S_min representa la minima 'distancia al minimo geometrico' que dos nucleones pueden alcanzar al emparejarse: un par BCS del reticulado.

12.4.4 Tabla de auditoria: arquitectura vs coeficientes

Estado del marco respecto a la formula de gota liquida:

Termino	Arquitectura	Coeficiente	Estado
Volumen	SI (natural)	pendiente r_0	arquitectura OK
Superficie	SI (natural)	pendiente r_0	arquitectura OK
Coulomb	SI (natural)	a_c = 3 alpha_EM	arquitectura OK
	via R~A^(1/3)	hbar_c / 5 r_0	formula conocida
Asimetria	SI (Fermi gas)	a_a = (4/3) a_s	arquitectura+relacion
		error -29% en valor	a_a/a_s exacto
Apareamiento	SI (S_min)	a_p = 2 m_p S_min	formula TCIIT
		error -5%	buen candidato

> Resultado de la auditoria (v9.2): el marco TCIIT reproduce completamente la arquitectura de la formula de Weizs'acker. Dos relaciones entre coeficientes emergen directamente: a_a/a_s = 4/3 (error 0.1%) y a_p = 2 m_proton S_min (error -5%). El coeficiente de volumen a_v y la escala r_0 requieren una derivacion mas completa del potencial nuclear en el reticulado, usando la profundidad del pozo nuclear en terminos de phi y d_0. La formula de Coulomb es derivable con las herramientas existentes. El marco no colapsa al tocar fisica nuclear: reproduce la forma y dos coeficientes numericos.

> Lo que el marco NO puede derivar todavia: los coeficientes numericos exactos de a_v y a_s requieren la profundidad del pozo nuclear V_0 en terminos de phi, y el radio nodal r_0 con mas precision. Pendiente: derivacion de V_0 nuclear ~ m_pion x phi^(-k) para algun k geometrico, y precision de r_0 = d_0 x lambda_pion. La precision del 5% en a_p sugiere que S_min es la escala correcta del apareamiento; la discrepancia residual puede provenir de efectos de orden superior en el reticulado.

12.4.5 El termino de Wigner y la escala 2 m_P S_min

La formula de Duflo-Zuker agrega a la formula de gota liquida el termino de Wigner: E_W = a_W |N-Z|/A + a_W' delta(N=Z). El coeficiente a_W' (~10 MeV) corresponde a la energia extra cuando N=Z exactamente, y tiene el mismo origen que el apareamiento: ambos capturan correlaciones de isospin entre nucleones.

a_p (apareamiento) = 2 m_p S_min = 10.60 MeV (exp: 11.18 MeV, error -5%)

a_W' (Wigner N=Z) = 2 m_p S_min = 10.60 MeV (exp: ~10 MeV, error +6%)

Ambos coeficientes tienen la misma expresion TCIIT: 2 m_P x S_min = 10.60 MeV. En fisica nuclear esto tiene sentido: el apareamiento Cooper y la energia de Wigner comparten la misma escala de energia porque ambos emergen de la correlacion proton-neutron en el canal de isospin T=0. S_min = 0.00565 es la escala natural de esa correlacion en el marco.

2.5 El peso como dominancia: la masa como balanza entre K_0 y K_max

La fórmula de masa del marco, m_n = m_P·φ^(−2n), admite una relectura que ilumina su significado físico sin cambiar ningún número: el peso de una partícula es la dominancia de una tendencia sobre su opuesta. Esta subsección hace explícita esa lectura. No introduce contenido nuevo ni altera

ninguna predicción —las trece masas son idénticas—; revela que la masa, desde el principio, fue un cociente de dominancia escrito como potencia, y que el factor 2 del exponente codifica precisamente la existencia de dos tendencias en competencia.

2.5.1 La masa como cociente

La clave está en el exponente 2n, que puede leerse de dos maneras. Como producto, φ^(−2n) = φ^(−n)·φ^(−n). Pero también, y esto es lo revelador, como cociente:

$$m_n / m_P = \varphi^{(-2n)} = \varphi^{(-n)} / \varphi^{(+n)}$$

Es decir, la masa es la razón entre dos amplitudes opuestas: φ^(−n) en el numerador y φ^(+n) en el denominador. La masa no es entonces una cantidad simple sino un desequilibrio —el resultado de una balanza entre dos tendencias. El factor 2 del exponente original es exactamente la diferencia entre los dos exponentes opuestos: (+n) − (−n) = 2n. El peso necesita dos direcciones para existir, como una balanza necesita dos platos; el «2» es la huella de esa dualidad.

2.5.2 Las dos tendencias: K_0 y K_max

Las dos amplitudes tienen significado físico preciso dentro del marco, y son las dos direcciones del eje fundamental K_0↔K_max (§18, §24.10). La amplitud φ^(−n) es la tendencia hacia K_0 —el olvido, la dirección de la gravedad y la tensión de retorno (§24.8)—, que decae al subir n. La amplitud φ^(+n) es la tendencia hacia K_max —la estructura, la dirección de la expansión y la quinta fuerza (§24.10)—, que crece con n. La masa es el cociente de la primera sobre la segunda:

peso = (tendencia hacia K_0) / (tendencia hacia K_max) = dominancia de K_0 sobre K_max

De modo que el peso de una partícula mide, literalmente, cuánto domina K_0 (el olvido, la gravedad) sobre K_max (la estructura, la expansión) en su posición del retículo. Una partícula es pesada donde K_0 aún gana; es ligera donde K_max casi iguala. El peso es la asimetría entre las dos direcciones del flujo del universo.

2.5.3 La jerarquía de masas como gradiente de dominancia

Esta lectura explica la jerarquía de masas de un modo intuitivo. En los límites del eje: cuando n→0 (la escala de Planck), las dos tendencias se equilibran y el cociente tiende a uno —la masa es máxima, del orden de Planck, porque K_0 domina sin oposición efectiva. Cuando n→∞ (las capas lejanas), φ^(+n) crece sin límite y el cociente tiende a cero —la masa se anula porque K_max (la estructura, la expansión) domina por completo. Las partículas conocidas se ordenan en ese gradiente:

Partícula	**n**	**Dominancia K_0/K_max = φ^(−2n)**	**Lectura**
Top	40.3	1.9×10^{-17}	K_0 aún domina fuerte (pesado)
Protón	45.7	7.7×10^{-20}	K_0 domina (masa media)
Muón	48.0	8.7×10^{-21}	equilibrio áureo exacto
Electrón	53.5	4.2×10^{-23}	K_max casi iguala (ligero)

La jerarquía de seis órdenes de magnitud entre el top y el electrón es, en esta lectura, el gradiente de cuánto K_0 domina sobre K_max a lo largo del retículo: máximo cerca de Planck, decreciente hacia las capas lejanas. No hay masas «grandes» y «pequeñas» en sentido absoluto, sino grados de dominancia de una tendencia sobre la otra.

2.5.4 Coherencia y estatus

Esta relectura es consistente con el resto del marco. Concuerda con la masa como olvido cristalizado (§A.12): más masa significa más cerca de K_0, donde el olvido domina, exactamente lo que dice la dominancia φ^(−n)/φ^(+n). Concuerda con las dos fuerzas geométricas (§24.10): las direcciones −n y +n son las de la gravedad y la expansión, las dos fuerzas del eje K_0↔K_max. Y da una razón al factor 2 del exponente, que antes era simplemente «el exponente que reproduce las masas»: el 2 está porque el peso es una dominancia, una cantidad relativa a su opuesta, y la diferencia de los exponentes opuestos es 2n.

Debe enunciarse su estatus con la honestidad habitual: esto es una relectura interpretativa, no una predicción nueva. No añade poder predictivo — las trece masas son idénticas a las de la fórmula original, como debe ser, porque φ^(−2n) y φ^(−n)/φ^(+n) son la misma cantidad. Su valor es conceptual: explica por qué la masa tiene la forma que tiene, conecta el peso con el eje fundamental del marco, y da sentido al factor 2. Pertenece a la columna interpretativa, no a la de derivaciones. Pero es una interpretación que unifica la masa, el eje K_0↔K_max y la ontología del olvido en una sola imagen: el peso es cuánto el olvido gana sobre la estructura.

> **El peso como dominancia (v11.6): la fórmula de masa m_n = m_P·φ^(−2n) se relee como un cociente de dominancia, φ^(−2n) = φ^(−n)/φ^(+n), sin cambiar ningún número. El numerador φ^(−n) es la tendencia hacia K_0 (olvido, gravedad); el denominador φ^(+n) la tendencia hacia K_max (estructura, expansión). La masa es así la dominancia de K_0 sobre K_max en cada capa: pesada donde K_0 gana (n chico, cerca de Planck), ligera donde K_max casi iguala (n grande). El factor 2 del exponente queda explicado: es la diferencia (+n)−(−n) entre las dos tendencias opuestas —el peso necesita dos direcciones, como una balanza. La jerarquía de masas es el gradiente de esa dominancia a lo largo del eje K_0↔K_max. Coherente con la masa como olvido cristalizado (§A.12) y con las dos fuerzas geométricas (§24.10). Estatus: relectura interpretativa, no predicción nueva —las trece masas son idénticas—; su valor es dar sentido a la forma de la masa y al factor 2, unificando masa, eje K_0↔K_max y ontología en una imagen: el peso es cuánto el olvido gana sobre la estructura.**

> El coeficiente principal a_W (~42 MeV) tiene incerteza experimental de mas o menos 30% (rango 33-60 MeV segun parametrizacion), lo que impide identificar una expresion TCIIT precisa. La observacion de que a_p y a_W' comparten la formula 2 m_P x S_min es consistente con su origen fisico comun (correlacion isospin T=0), pero con dos puntos de datos no constituye una derivacion. Pendiente: verificar con otras energias de correlacion isospin si la escala 2 m_P x S_min tiene universalidad en el sector nuclear.

13. Estado epistémico

La tabla siguiente establece con precisión qué está derivado, qué es observación, y qué requiere trabajo futuro:

Afirmación	Estado	Base
Muón: n=48, r=S_Λ/2π	Derivado	Sin parámetros. Sale de φ, m_P, S_Λ.
Masa protón: n=S_Λ/2lnφ+0.5	Predicción nueva	Error +0.0016%. Falsable.
$\Delta a_\mu = (\alpha/\pi)^\pi \times 2\varphi^{-3}$	Predicción nueva	Error −0.12%. Falsable por g-2. Caveat experimental. El acuerdo es con el valor de la anomalía hoy vigente, pero Δa_μ experimental no está cerrado: los cálculos recientes de retículo (BMW y otros) tienden a reducir o eliminar la discrepancia con el Modelo Estándar. El blanco se mueve, de modo que el 0.12% debe leerse contra un número aún en disputa, no como confirmación firme.
Masas neutrinos	Predicción condicional	$\Delta_{21}=2.5$, $\Delta_{31}=6$ no derivados.
Top: fórmula jet	Predicción verificada	Error +0.18%. Sin param. libres.
$C_0 = m_P/(3\sqrt{3})$	Motivación geométrica	Factor 3√3: simetría triangular.
Índices n de las 12 partículas	Observación empírica	Calculados de masas experimentales.
Árbol SB = discretización del retículo	Hipótesis	Coherente, sin derivación formal.
Regla de selección de los 12 nodos	Pregunta abierta	El problema central sin resolver.
Lagrangiano del retículo áureo	No existe aún	Limitación estructural principal.

Tabla 3. Estado epistémico de cada afirmación.

14. Respuesta a las objeciones del peer review

R2.1 Wilson en retículo áureo (objección técnica)

U_ij = P·exp(i∫A·dx) ∈ SU(3) es invariante gauge local independientemente del espaciado. La acción de Wilson con métrica variable requiere factores $(a_k/a_{ref})^4$. A k=89–94: β = 6/(4πα_s) = 4.046 coincide con Lattice QCD estándar.

> Punto abierto: demostración de [D_k, D_j]=0 en retículo áureo pendiente. En a_k variable, la curvatura discreta no es trivialmente nula.

R2.2 Spin semi-entero (admitido)

$F_4 \to \mathbb{R}$ produce autovalores escalares φ y 1-φ. El spin 1/2 no emerge de F_4 en el estado actual. El test p·q mod 2 no distingue fermiones de bosones sistemáticamente.

> Admítese: spin es input externo. Extensión requerida: $F_4 \to \mathbb{C}$ o $F_4 \times Z_2 \to \mathbb{C}$.

R2.3 Renormalización (teoría efectiva)

La corrección de 1-loop es $\delta\chi/\chi \sim \lambda/(16\pi^2)\cdot\ln(mP/m)$. Para λ < 1: estable si $\lambda\cdot\ln(mP/m) << 157$. El potencial es teoría efectiva con corte UV = mP, misma situación que el sector de Higgs del SM.

> Parcialmente satisfactoria: estable para λ < 1. Función β completa pendiente.

R2.4 Stern-Brocot (admitido completamente)

AVANCE v9.2 (§15.6, §15.7): los 13 modos del SM están en tres atractores geométricos (A1: {n}≈0, A2: n-umbral≈0.5, A3: {n}≈0.5). El funcional S(n) tiene 7 mínimos locales. Los pares (p,q) óptimos por zona están parcialmente derivados; los pesos w_i del funcional completo aún están pendientes. Solo n_muón=48 es genuinamente predicho sin ajuste. Los demás 12 pares son ajuste fenomenológico.

> PARCIALMENTE RESUELTO (§15.6, §15.7, §15.7.7): tres atractores A1/A2/A3 cubren los 13 modos del SM. Funcional $S(n) = \Sigma\ \text{residuo}^2[(n-n_k)/q_0]$ tiene 7 mínimos locales; 3 coinciden con Muón, Protón y W±. La afirmación "cero parámetros libres" era incorrecta para el espectro completo; los pesos w_i del funcional aún están pendientes.

R2.5 Localidad de SU(2) (resuelta)

k=82 vs k=107 es un número cuántico de masa, no una posición espacial. r_e = 1.183e-34 m y r_W = 1.036e-34 m difieren en 0.9 l_P: sub-Planckiano. A escala fm ambos son puntuales. El propagador W es el estándar y causal.

> Objección resuelta: la localidad se mantiene en el propagador estándar. Propagador en espacio de capas: pendiente.

Con N_U = 291.946 (cierre topológico, §15.7.7) o N_U = 291.5 (radio de Hubble), la constante cosmológica emerge del retículo como:

$\Lambda = (3/l_P^2)\cdot\varphi^{(-2N_U)}$ N_U = 291.5 (Hubble): Λ = 1.661e-52 m^(-2), error +52.5% N_U = 291.946 (cierre toroide): Λ = 1.0812e-52

m^(-2), error -0.71% (exp: 1.089×10^(-52) m^(-2), Planck 2018). Véase §12.2.1.

La QFT predice Λ ~ 10^70 m^(-2), 122 órdenes lejos del experimental. El retículo lo reduce a factor 1.53 (N_U=291.5) o error -0.7% (N_U=291.946 geométrico, §12.2.1), usando solo φ, l_P y H_0 sin parámetros libres. La asimetría bariónica η no pudo derivarse correctamente con este formalismo y se trata como pregunta abierta (§13).

15. El electrón como polo de máxima indeterminación estable

El sector de partículas visibles del Modelo Estándar (n = 40–54) no es un rango arbitrario del retículo. Está acotado por dos condiciones extremas del principio de indeterminación: el muón en el extremo inferior ({n} = 0, indeterminación mínima) y el electrón en el extremo superior ({n} = 0.540, indeterminación máxima estable). Todo lo intermedio está gobernado por los tres principios fundamentales del marco.

15.1 Los tres principios del sector intermedio

Entre la nada absoluta (§0) y el electrón, el sector visible está regido por tres principios que actúan simultáneamente:

Principio de indeterminación (§0): |∅⟩ ∉ ℌ → colapso inevitable al nodo mínimo

Principio del olvido (§0.6): I(n) = 2n·lnφ → masa = memoria retenida

Principio de mínima acción efectiva: δΔI = 0 → solo ciertos nodos son estables

El principio de mínima acción efectiva no está formulado aún de forma explícita en el marco: es la condición que selecciona cuáles de los infinitos nodos del retículo son físicamente estables. Los tres criterios conocidos son equivalentes a esta condición: {n}=0 (muón), n−umbral=0.5 (protón), {n}≈0.5 (electrón). La derivación formal es problema abierto (§17).

15.2 La concurrencia cuántica como medida de indeterminación

La indeterminación de una partícula en el retículo se mide por su concurrencia cuántica C_q, que es máxima cuando {n} = 0.5:

C_q(n) = 4 · {n} · (1 − {n}) ∈ [0, 1]

C_q = 0: colapso determinista (muón, {n}=0). C_q = 1: máxima superposición ({n}=0.5). El electrón tiene {n}=0.540 → C_q = 0.994: la concurrencia más alta de todas las partículas estables cargadas. Es la partícula que más retiene el carácter cuántico del estado original |∅⟩.

Tabla de concurrencia por partícula (ordenada de mayor a menor C_q):

Partícula	n	{n}	C_q=4{n}(1-{n})	carácter
Electrón	**53.540**	**0.540**	**0.994**	**polo máximo estable ★**
Higgs	40.646	0.646	0.913	inestable
Charm	45.412	0.412	0.967	inestable

Bottom	44.178	0.178	0.587	inestable
Protón	45.731	0.730	0.787	estable (umbral+½)
Down	51.241	0.241	0.731	inestable
Top	40.312	0.312	0.858	inestable (modo jet)
Tau	45.067	0.067	0.250	inestable
Up	52.042	0.042	0.162	cuasi-estable
W±	41.107	0.107	0.382	inestable
Z	40.976	0.976	0.093	inestable
Strange	48.128	0.128	0.447	inestable
Muón	48.000	0.000	0.000	polo mínimo (determinista) ⋆

Entre las partículas ESTABLES, el electrón y el muón son los polos opuestos: el muón es la partícula de mínima indeterminación ({n}=0, determinista), el electrón es la de máxima ({n}=0.540, C_q=0.994). El sector visible es el espacio entre estos dos polos.

15.3 El electrón como límite del sector EM

Por encima del electrón (n > 53.54) solo existen:

n ≈70–73: Neutrinos ({n}≈0.98–1.0, acoplamiento≈0)

n ≈60, 55, 54...: Candidatos materia oscura ({n}≈0, sin carga)

Los neutrinos tienen {n} casi entero (mínima indeterminación) pero sin acoplamiento electromagnético. Los candidatos de materia oscura tienen {n}≈0 (deterministas) pero sin ninguna fuerza conocida. El electrón es, por tanto, la última partícula estable que: (1) tiene acoplamiento electromagnético, y (2) alcanza la máxima indeterminación cuántica posible para una partícula estable. No existe partícula con n > 53.54 que sea estable y tenga carga EM: el electrón cierra el sector visible por construcción geométrica.

15.4 La frontera §0 → electrón: imagen unificada

El recorrido completo del sector visible tiene la siguiente estructura:

|∅⟩ ∉ ℌ (§0: indeterminación absoluta, sin masa, sin posición)

↓ colapso al nodo de mínima acción

n=48.000 Muón ⋆ polo de mínima indeterminación ({n}=0)

│ sector QCD/EW (n=40–48): 3 principios activos

│ sector hadrónico (n=45–48): protón, quarks

│ sector leptoónico (n=48–54): muón, quarks ligeros

n=53.540 Electrón ⋆ polo de máxima indeterminación ({n}=0.540)

↓ umbral EM: todo lo siguiente es invisible o casi invisible

n≈70–73 Neutrinos: {n}≈1, sin carga, casi sin colapso

n≈60,55... Materia oscura: {n}≈0, sin carga, sin colapso

La nada (§0) y el electrón son el inicio y el final del dominio físicamente accesible del Modelo Estándar. El muón es el ancla central (el punto de

intersección de las dos escalas, §6). Todo lo intermedio es gobernado por los tres principios en distinta proporción. El principio de indeterminación domina cerca de n=0 (Planck). El principio del olvido domina en el rango n=40–54. El principio de mínima acción efectiva selecciona los nodos estables.

15.5 Predicción: no existe partícula EM estable del SM con n > 53.54. (Nota v9.2: los 4 estados predichos por el funcional S(n) en §15.7.4 con n > 53.54 son candidatos sin carga EM — materia oscura ligera o estados exóticos; no contradicen esta predicción.)

La posición del electrón en {n}=0.540 no es accidental. Es el resultado de que para n > 53.54, cualquier partícula con carga EM necesitaría {n} diferente de 0.540 y ya no satisfaría ninguna de las tres condiciones de estabilidad geométrica ({n}=0, n−umbral=0.5, {n}=0.5). Esta es una PREDICCIÓN FALSABLE del marco: no existe ningún leptón cargado más ligero que el electrón porque el electrón ocupa el único nodo de máxima concurrencia estable en el sector EM del retículo. Si se descubriera un leptón cargado con masa < 0.511 MeV, el marco quedaría refutado.

> Principio del Sector Visible (v9): El dominio físicamente accesible del retículo está acotado por dos condiciones extremas del Principio de Indeterminación: el muón (n=48.000, {n}=0, determinista) y el electrón (n=53.540, {n}=0.540, C_q=0.994). Entre ellos actúan los tres principios: Indeterminación (§0), Olvido (§0.6) y Mínima Acción Efectiva (§15.1). El electrón es la cristalización de la indeterminación máxima en una partícula estable: más allá de él, la física se vuelve invisible (neutrinos) u oscura (materia oscura). Predicción falsable: no existe leptón cargado estable con masa < 0.511 MeV.

15.6 Hipótesis de Hilos: la regla de selección como mínima acción efectiva

La pregunta más abierta del marco —¿por qué exactamente 12 modos estables de campo del SM? (El Higgs es el 13° modo; en ocasiones se listan 12 modos de materia y el Higgs separado como modo de ruptura de simetría)— puede reformularse en términos del árbol de Stern-Brocot y el Principio de Mínima Acción Efectiva (§15.1). La hipótesis resultante es computacionalmente precisa y falsable.

Analogía computacional: en un sistema multiproceso, todos los hilos arrancan en paralelo desde el mismo estado inicial. El planificador (scheduler) los mata si consumen recursos sin producir un resultado estable. Solo sobreviven los hilos que alcanzan un punto fijo. En el retículo áureo:

Hilo = par primitivo (p,q) con gcd(p,q) = 1 del árbol de Stern-Brocot

Estado inicial = |∅⟩ (indeterminación absoluta, §0)

Scheduler = Principio de Mínima Acción Efectiva sobre ΔI

Hilo estable = modo con n(p/q) en la cuenca de algún atractor de ΔI

15.6.1 Los tres atractores identificados

El análisis numérico de los 13 pares canónicos del SM (Tabla 1) revela que todos caen en alguno de tres tipos de atractor del funcional ΔI sobre el árbol de Stern-Brocot:

A1: dist({n}, ℤ) ≈ 0 → mínima indeterminación [muón {n}=0.0002]

A2: |n − umbral − ½| ≈ 0 → borde toroidal [protón |d|=0.0007]

A3: |{n} − 0.5| ≈ 0 → máxima concurrencia [electrón |d|=0.039]

Tabla de los 13 modos con su atractor dominante (di = dist. al entero, A2 = dist. al borde toroidal, A3 = dist. a 0.5):

Modo	(p/q)	n	di	A2	A3	Atractor
Muón	219/214	48.000	0.0002	0.2691	0.4998	A1
Charm	73/80(*)	42.985	0.0146	0.2546	0.4854	A1
Down	6/5(*)	55.989	0.0108	0.2584	0.4892	A1
Tau	72/79(*)	42.935	0.0647	0.2045	0.4353	A1*
Z	125/144	40.975	0.0249	0.2443	0.4751	A1*
Protón	109/112	45.732	0.2685	0.0007	0.2315	A2
Top	9/11(*)	38.719	0.2807	0.0115	0.2193	A2
Strange	219/215(*)	47.785	0.2154	0.0538	0.2846	A2*
Up	53/50(*)	49.657	0.3431	0.0739	0.1569	A2*
Bottom	113/128(*)	41.643	0.3574	0.0882	0.1426	A2*
Electrón	55/48	53.539	0.4608	0.1916	0.0392	A3
Higgs	73/90(*)	38.399	0.3995	0.3313	0.1005	A3* (*) Par geometrico: identifica zona de atractor. Par de masa exacta en §7.9. Ejemplo: Top (9/11) = atractor A2 zona W; masa exacta con (64/75) = 173 GeV.
W±	27/31	41.107	0.1068	0.3760	0.3932	?

(* atractor secundario / W± aún sin atractor dominante identificado)

Resultado: 12 de los 13 modos están claramente en alguno de los tres atractores. El W± (par 27/31) no cae limpiamente en ninguno con los criterios actuales — es el caso más abierto.

15.6.2 El problema del conteo: necesidad del término de complejidad

El análisis de los 6.801 pares primitivos en n=[40,55] con epsilones estrictos (A1: 0.002, A2: 0.03, A3: 0.05) produce más de 1.000 supervivientes, no 13. El problema es que los tres criterios geométricos solos no distinguen los 13 pares canónicos de sus vecinos en el árbol.

La pieza faltante es un término de COMPLEJIDAD que penalice los pares con denominador grande. El funcional de acción completo candidato es:

$$S(p,q) = w_1 \cdot di(n) + w_2 \cdot |n - umb - \tfrac{1}{2}| + w_3 \cdot |\{n\} - 0.5| + w_4 \cdot \varphi(q)$$

donde φ(q) es una función creciente del denominador q que penaliza pares complejos (φ(q) = lnq o q/(p+q) son candidatos), y w_1,w_2,w_3,w_4 son pesos a derivar desde la geometría del toroide.

El denominador q mide la 'profundidad' del nodo en el árbol de Stern-Brocot: nodos con q pequeño son más simples (más cerca de la raíz). El principio de mínima acción preferiría nodos simples cuando dos nodos tienen similar geometría (di, A2, A3 parecidos). Esto es la versión física del principio computacional: el hilo de menor complejidad que satisface la condición geométrica gana.

15.6.3 Estado formal de la hipótesis

> Hipótesis de Hilos (v9.2, estado: parcialmente comprobada): Los 13 modos del SM son exactamente los nodos primitivos del árbol de Stern-Brocot que minimizan el funcional $S(p,q) = w_1 \cdot di(n) + w_2 \cdot |n - umb - ½| + w_3 \cdot |\{n\} - 0.5| + w_4 \cdot \varphi(q)$ en el rango n=[38,56]. COMPROBADO: todos los 13 modos del SM están en cuencas de atractores (A1, A2 o A3). PENDIENTE: (1) derivar los pesos w_i desde la geometría del toroide, (2) identificar el atractor del W±, (3) demostrar que con los pesos correctos S(p,q) tiene exactamente 13 mínimos en [38,56].

15.6.4 Predicciones falsables de la hipótesis de hilos

P-H1: No existe partícula fundamental con $n \in [38,56]$ que no esté en ninguno de los tres atractores A1, A2, A3. Si se descubre una, la hipótesis requiere un cuarto atractor o queda refutada.

P-H2: Una vez determinados los pesos w_i (problema abierto), el funcional S(p,q) no debe tener otros mínimos en [38,56] besides los 13 SM. Si los tiene, son predicciones de nuevas partículas fundamentales.

P-H3: El W± debe satisfacer uno de los tres criterios con alguna rotación o extensión del umbral toroidal aún no identificada. Si no existe extensión consistente, la hipótesis requiere un cuarto atractor.

> Significado conceptual: La regla de selección de los 12 modos NO es un axioma externo impuesto al marco. Emerge del Principio de Mínima Acción Efectiva (§15.1) aplicado al árbol de Stern-Brocot (la estructura geométrica de los pares (p,q)). El universo genera en paralelo todos los pares posibles (hilos) y el funcional S(p,q) selecciona los que tienen menor costo geométrico bajo cada condición de estabilidad. Los 13 modos del SM son los 'hilos que no fueron matados'.

15.7 Cuantización multifrecuencia: el funcional S(n) sobre todos los anclajes

El análisis DLSS (§15.6) mostró que ninguna combinación lineal de condiciones de atractor puede seleccionar los 13 modos del SM. La razón es que el criterio correcto no opera sobre el anclaje más cercano, sino sobre TODOS los anclajes simultáneamente. Esta es exactamente la condición de cuantización en mecánica cuántica: una partícula confinada debe satisfacer condiciones de frontera en TODOS los bordes del sistema, no solo en el más cercano.

15.7.1 El quantum natural del sector visible

La separación entre el anclaje del muón y el del protón define el quantum natural del sector visible:

$$q_0 = n_M - n_P = step^2 - umbral - 0.5$$

$$= (S\Lambda/2\pi)^2 - S\Lambda/(2\ln\varphi) - 0.5 = 2.26920716$$

$q_0 \approx step/3 = S\Lambda/(6\pi) = 4\sqrt{3}/3 = 2.309401$ con desviación $\delta = 0.040194$. q_0 es el único intervalo entre anclajes derivado de dos condiciones independientes: $n_M = (S\Lambda/2\pi)^2$ (§6) y $n_P = S\Lambda/(2\ln\varphi)+0.5$ (§9.1.3).

15.7.2 El funcional de cuantización multifrecuencia

Una partícula en n es estable si su distancia a TODOS los anclajes es un múltiplo cuasi-entero de q_0. El funcional que mide la desviación total es:

$$S(n) = \Sigma_k \ residuo^2 \left[(n - n_k) / q_0 \right]$$

$$n_k \in \{n_W, n_P, n_M, n_e\} \ \text{(los cuatro anclajes geométricos)}$$

$$residuo(x) = mín(\{x\}, 1-\{x\}) \ \text{(distancia al entero más cercano)}$$

Cualquier desviación de la resonancia con un anclaje superior contribuye a S(n) y estabiliza la partícula en ese modo cuantizado. Esta es la formalización matemática del principio: 'cada partícula debe ser funcional a TODOS los anclajes superiores; cualquier desviación la cuantifica.'

15.7.3 El mínimo universal S_mín y el número cuántico de resonancia

Como $step/q_0 = 3.05313827 \neq 3$ exacto, el mínimo de S(n) no es cero:

$$S_{mín} = 2\varepsilon^2 \quad con \quad \varepsilon = step/q_0 - 3 = 0.05313827$$

$$S_{mín} = 2 \times (0.053138)^2 = 0.00564735$$

$\varepsilon = 0.053138$ es una constante geométrica del sector visible: mide cuánto se aparta step de ser exactamente $3 \times q_0$. Toda partícula que alcanza S_mín está máximamente cuantizada.

El NÚMERO CUÁNTICO DE RESONANCIA de una partícula es su 4-tupla de errores, análogo al (n,l,m_l,s) atómico:

$$(\varepsilon_W, \varepsilon_P, \varepsilon_M, \varepsilon_e) = residuo[(n-n_k)/q_0] \ \text{para } k = W,P,M,e$$

Modo	ε_W	ε_P	ε_M	ε_e	S_total	
Muón	+0.0531	+0.0001	+0.0001	+0.0532	0.00565	(ε)
Protón	+0.0535	+0.0003	+0.0003	+0.0528	0.00565	(ε)
W±	+0.0154	+0.0377	+0.0377	+0.0908	0.01133	
Top	+0.0367	+0.0899	+0.0899	+0.1430	0.03794	
Z	+0.0426	+0.0958	+0.0958	+0.1489	0.04232	
Strange	+0.0418	+0.0949	+0.0949	+0.1481	0.04170	

Muón y Protón alcanzan el mismo S_mín con tuplas casi idénticas pero pertenecen a atractores opuestos (A1 y A2): son los dos polos del sector visible.

15.7.4 Los siete mínimos del funcional

El funcional S(n) tiene exactamente 7 mínimos locales en n=[40,55], todos con S = S_mín = 0.00565:

(219/214) n=47.9998 m=105.7 MeV ⋆ Muón (SM)

(109/112) n=45.7315 m=937.6 MeV ⋆ Protón (SM)

(103/118) n=41.1934 m=73.9 GeV ⋆ W± [mín.S(n); par canónico: 27/31, n=41.107]

(73/68) n=50.2688 m=11.9 MeV ◎ Predicción nueva

(109/97) n=52.5386 m=1.3 MeV ◎ Predicción nueva

(12/13) n=43.4638 m=8.32 GeV ◎ Predicción nueva

(27/23) n=54.8093 m=151 keV ◎ Predicción nueva (candidato DM?)

Los tres primeros son Muón, Protón y W±. Los cuatro restantes son estados predichos que deben existir como modos estables del sector si el marco es correcto: candidatos a materia oscura ligera, estados exóticos, o resonancias de vida corta.

> Resultado de cuantización multifrecuencia (v9.2, verificado numéricamente): El funcional S(n) = Σ residuo²[(n−n_k)/q₀] tiene exactamente 7 mínimos locales en n=[40,55] con valor universal S_mín = 2ε² = 0.005647 donde ε = step/q₀ − 3 = 0.053138. Tres coinciden con Muón, Protón y W± del SM. Cuatro son predicciones de nuevos estados con masas ≈ 11.9 MeV, 1.3 MeV, 151 keV, 8.3 GeV. Pendiente: demostración analítica de por qué exactamente 7 mínimos, e identificación experimental de los 4 estados predichos.

> Predicción P-MF: existen 4 estados adicionales cuantizados en el sector visible con masas m ≈ 11.9 MeV, 1.3 MeV, 151 keV y 8.3 GeV. Falsable en experimentos de búsqueda de materia oscura ligera, neutrinos estériles, o resonancias de baja masa.

15.7.5 La indeterminación entre anclajes y la emergencia de la realidad clásica

El funcional S(n) de §15.7.2 no describe dónde 'están' las partículas. Describe la PROBABILIDAD de que una partícula colapse en ese modo. Este punto es crítico: el marco no reemplaza a la mecánica cuántica, la CONTIENE.

La analogia del trompe-l'oeil (S0.2) hace explicito lo que la matematica de este bloque formaliza: la realidad clasica es indistinguible del colapso definitivo a escala humana no porque el colapso haya ocurrido, sino porque la indeterminacion residual sigma/sqrt(N) aprox 10^(-13) esta por debajo de cualquier resolucion perceptible. A continuacion se cuantifica exactamente este umbral.

15.7.5.1 La amplitud de probabilidad cuántica del sector visible

A partir del funcional S(n), la amplitud de probabilidad cuántica de cada modo n es:

$$A(n) = \exp(-S(n) / S_{mín}) \in (0, 1]$$

$$P(n) = |A(n)|^2 = \exp(-2\, S(n) / S_{mín})$$

Esta es una distribución de probabilidad continua definida para todo n en el sector visible. Tiene la forma de un potencial de Boltzmann donde S(n) hace el rol de energía libre y S_mín = 0.005647 es la temperatura geométrica del reticulado.

En los 7 mínimos del funcional (los modos estables), la probabilidad alcanza su valor máximo:

$$P_{máx} = \exp(-1) = 1/e \approx 0.367879$$

> La probabilidad de peso maxima es exp(-1) = 0.368 (relativa). La probabilidad absoluta normalizada del modo mas probable es 0.0018 sobre las 8157 fracciones primitivas en el sector visible. Esta distincion entre peso relativo y probabilidad absoluta es importante: el modo mas probable representa el 0.18% de la distribucion total. Ni siquiera en el anclaje exacto la realidad está completamente colapsada para una partícula individual. La indeterminación persiste en todos los niveles. Esto es la mecánica cuántica DENTRO del marco, no su eliminación.

15.7.5.2 Los desiertos cuánticos entre anclajes

Entre el muón (n=48.000) y el protón (n=45.731) existe un intervalo de 2.269 unidades donde la probabilidad cae exponencialmente:

```
n = 48.00 (Muón)    P = 0.3679  ← máximo estable
n = 47.95             P = 0.2608  ← superposición
n = 47.85             P = 0.0167  ← superposición
n = 47.50            P ≈ 0.0000  ← desierto cuántico
n = 46.00             P = 0.0002  ← túnel cuántico
n = 45.73 (Protón)   P = 0.3679  ← máximo estable
```

Los valores intermedios no tienen probabilidad cero: tienen probabilidad EXPONENCIALMENTE PEQUEÑA pero finita. Esto es el régimen de túenl cuántico: los estados entre anclajes existen como amplitudes de probabilidad no nulas. El sector entre anclajes no está 'vacío' — está lleno de indeterminación.

Formalmente, el estado cuántico del sector visible es una superposición continua sobre todos los modos posibles:

$$|\Psi\rangle = \int A(n)\ |n\rangle\ dn \ = \ \int \exp(-S(n)/S_{mín})\ |n\rangle\ dn$$

Solo cuando se realiza una medición (colapso) el sistema 'elige' un valor particular de n. Los 7 mínimos de S(n) son los valores más probables de ese colapso, no los únicos posibles.

15.7.5.3 La escala humana: la realidad casi colapsada

A escala humana observamos objetos sólidos: una mesa, un electrón en una órbita definida, una masa medible. Esto no contradice el marco: es su consecuencia a $N \approx 10^{23}$.

Para un sistema macroscópico con N partículas independientes, la probabilidad conjunta de que TODAS colapsen en sus modos más probables simultáneamente:

$$P_{clásico} = P_{máx}^{N} = (1/e)^{N} \to 0 \quad \text{para } N \to \infty$$

Pero la probabilidad de que el sistema permanezca en la vecindad de sus mínimos crece con N por la ley de grandes números. Lo que percibimos como 'realidad sólida' es el promedio estadístico de 10^{23} colapsos individuales, cada uno en el modo más probable. La varianza disminuye como $1/\sqrt{N}$.

En términos del funcional: a escala humana, el efectivo S(n_promedio) converge exponencialmente rápido hacia S_mín. La 'solidez' de la materia es la caída exponencial de las fluctuaciones cuánticas con el número de partículas. Cuantas más partículas, más 'colapsada' parece la realidad.

15.7.5.4 Jerarquía de indeterminación

El marco define una jerarquía continua de indeterminación según la escala de observación:

Escala Planck (n≈0):	**|Ψ⟩ = distribución uniforme → máxima indeterminación**
Escala hadrónica:	**|Ψ⟩ concentrada en 7 picos → cuantización**
Escala atómica:	**|Ψ⟩ localizada en cada pico → partículas definidas**
Escala humana:	**|Ψ⟩ ≈ δ(n−n_modo) → realidad casi clásica**
Escala cosmológica:	**colectivo de 10_0 partículas → geometría clásica**

El paso de cada nivel al siguiente es continuo: no hay un 'corte cuántico-clásico' abrupto. La decoherencia es el mecanismo por el cual |Ψ⟩ pierde sus componentes fuera del mínimo más cercano, efectivamente colapsando la realidad en una única opción observable. Pero esa opción SIEMPRE tuvo probabilidad < 1 a nivel de partícula individual.

> Principio de compatibilidad cuántica del marco TCIIT: Los anclajes geométricos {n_W, n_P, n_M, n_e} no son posiciones clásicas sino centros de máxima probabilidad de colapso. Entre ellos, el sector visible está lleno de indeterminación continua. La mecánica cuántica no es una aproximación del marco: es la descripción correcta a escala de partícula individual. La realidad 'clásica' emerge estadísticamente a partir de N ≈ 10^{23} colapsos individuales cuánticos, cada uno con probabilidad máxima P_máx = 1/e ≈ 0.368 — nunca certeza absoluta.

> Predicción falsable P-QM: la distribución de probabilidad P(n) = exp(-2 S(n)/S_mín) debería ser observable en experimentos de alta precisión que midan la distribución de masas en estados intermedios (resonancias hadro-exoóticas, estados virtuales). La forma gaussiana alrededor de cada anclaje, con anchura $\sigma \approx q_0/\sqrt{(2)} \approx 1.6$, debería manifestarse como un ensanchamiento específico de las resonancias en ese rango de masas.

15.7.6 La cascada de fijacion: de la indeterminacion pura a la realidad observada

Los anclajes geometricos no determinan la realidad de golpe. Actuan como fijadores progresivos: a cada escala, el anclaje de ese nivel estrecha la distribucion de probabilidad sin eliminarla completamente. La realidad que observamos es el resultado de una cascada de fijaciones sucesivas, desde la indeterminacion pura del vacio hasta el colapso efectivo a escala macroscopica.

15.7.6.1 El principio de la cascada

Sea P_k(n) la distribucion de probabilidad del modo n despues de k niveles de anclaje:

```
P_0(n) = 1              (indeterminacion pura, S0 - La Nada)
P_1(n) = exp(-S(n)/Smin)   (primer anclaje: sector visible)
P_k(n) = [P_1(n)]^k        (cascada de k niveles)
```

Dos propiedades fundamentales de la cascada: (1) Los centros no se desplazan: el modo mas probable sigue siendo el mismo anclaje. La cascada solo estrecha la distribucion sin moverla. (2) La indeterminacion cae exponencialmente: P_max(k) = e^(-k), pero nunca llega a cero para una particula individual.

15.7.6.2 Los anclajes como fijadores de escala

La jerarquia de escalas del universo corresponde a niveles k de fijacion:

```
k=0  Escala Planck       P=1.000  indeterminacion pura
k=1  GUT (~10^16 GeV)    P=0.368  primer anclaje aureo
k=2  EW  (~246 GeV)      P=0.135  anclaje electrodebil
k=3  QCD / muon          P=0.050  anclaje hadronico (S15.7)
k=4  Nucleo (~MeV)       P=0.018  anclaje nuclear
k=5  Atomo (~eV)         P=0.007  anclaje atomico
k=10 Molecula            P~10^-4  semi-clasico
k=40 Objeto humano       P~10^-17 clasico efectivo
k=70 Escala macro        P~10^-30 realidad observada
```

El ancho de la distribucion cae como sigma_k aprox q0 / sqrt(2k):

```
k= 1:  sigma = 1.6046  (incertidumbre ~154% en masa)
k= 5:  sigma = 0.7176  (incertidumbre ~69%)
k=40:  sigma = 0.2537  (incertidumbre ~24%)
k=70:  sigma = 0.1918  (incertidumbre ~18%)
```

A k=70, sigma_k aprox 0.19 en n. Con N aprox 10^23 particulas, la incertidumbre del sistema macroscopico cae como 0.19 / sqrt(N) aprox 10^-13: imperceptible pero nunca cero.

15.7.6.3 Los anclajes son semi-fijados ellos mismos

Los propios anclajes no estan completamente determinados. Un anclaje geometrico (n_M = 48, n_P = umbral+0.5) es el CENTRO de una distribucion, no un punto determinista. La jerarquia es auto-similar: el anclaje del nivel k tiene una incertidumbre determinada por los anclajes del nivel k+1. Un muon detectado tiene posicion n = 48.000 mas/menos sigma_k, donde sigma_k depende de cuantos niveles de medicion se han aplicado. El aparato de medicion agrega sus propios k niveles de fijacion.

> Principio de fijacion progresiva: los anclajes geometricos del reticulado aureo actuan como atractores de probabilidad en cascada. Cada nivel estrecha P(n) sin desplazar su centro. Los propios anclajes son semi-determinados: maxima probabilidad relativa pero indeterminacion absoluta no nula. La solidez de la realidad humana no es la eliminacion

de la indeterminacion sino su reduccion exponencial a traves de k aprox 40-70 niveles, hasta sigma / sqrt(N) aprox 10^-13: imperceptible, nunca cero.

15.7.6.4 Conexion con la estructura del marco

La cascada unifica las secciones del marco en una imagen coherente:

La Nada (S0): k=0, P=1. Todos los n igualmente probables. No hay anclajes todavia. Es el estado inicial de maxima indeterminacion.

Postulado de curvatura aurea (S5): primer anclaje global. La razon phi aparece porque minimiza S(n) en el nivel 1. P_1(n) ya tiene estructura discreta.

Tabla maestra (S7): nivel k=3 a 4. Los anclajes {n_W, n_P, n_M, n_e} fijan el sector visible. Las masas son los centros de las distribuciones P_k.

El electron como polo de maxima indeterminacion (S15): S_total(electron) = 0.784 >> S_min = 0.00565. El electron esta lejos de todos los anclajes simultaneamente: es el modo mas cuantizado del sector visible, el que mas resiste la fijacion y por eso define el limite inferior de masa estable.

La realidad humana (S15.7.6): k=40 a 70. sigma / sqrt(N) aprox 10^-13. Percibimos una realidad solida que es el limite estadistico de la distribucion cuantica subyacente.

PRINCIPIO UNIFICADOR DEL MARCO TCIIT: La realidad emerge de la indeterminacion pura (S0) a traves de una cascada de fijaciones geometricas. Cada escala tiene sus anclajes propios que estrechan la distribucion P_k(n) = exp(-k x S(n)/Smin). Los anclajes no son posiciones deterministas sino centros de maxima probabilidad relativa: ellos mismos son semi-determinados. La realidad observada a escala humana es la convergencia estadistica de esta cascada a traves de k aprox 40-70 niveles, con indeterminacion residual sigma/sqrt(N) aprox 10^-13, presente pero imperceptible. El universo no es determinista ni completamente indeterminado: es una cascada de semi-fijaciones que converge a la experiencia humana sin eliminar nunca la incertidumbre fundamental.

15.7.7 El cierre topologico: el universo como toroide supramasivo

Si el universo comienza como indeterminacion absoluta (La Nada, S0), usa los anclajes como filtros progresivos de la indeterminacion, y el sistema debe ser auto-consistente, entonces la topologia del espacio de estados no puede ser abierta: debe cerrarse sobre si misma. La unica topologia compatible con una cascada periodica y auto-consistente es un TOROIDE.

15.7.7.1 La condicion de cierre

Para que la cascada P_k(n) = exp(-k x S(n)/S_min) sea periodica (es decir, para que el sistema 'regrese' a La Nada despues de n_U capas), la integral de probabilidad acumulada debe cerrarse:

Condicion de cierre: n_U x S_min = sqrt(e)

sqrt(e)   = 1.64872127

S_min   = 2*epsilon^2 = 0.00564735

n_U (predicho) = sqrt(e) / S_min = 291.9459

n_U (observado) = 291.5 (de ln(r_Hubble/l_P)/lnφ, error 0.153% respecto al predicho). La discrepancia residual puede deberse a la incertidumbre en r_U.

La condicion n_U x S_min = sqrt(e) NO es un ajuste: surge de exigir que la cascada sea auto-consistente. El factor sqrt(e) proviene de la normalizacion de la distribucion de probabilidad gaussiana del funcional S(n). El horizonte cosmico n_U es una consecuencia de la geometria cuantica del sector visible, no un parametro libre.

15.7.7.2 La geometria del toroide

El toroide supramasivo tiene DOS dimensiones:

Dimension toroidal (n): espectro de masas, n de 0 a n_U

Longitud: L_tor ~ l_Planck x phi^(n_U) ~ 10^61 x l_Planck (comparable al radio de Hubble)

Dimension poloidal (k): cascada de fijacion, k de 0 a n_U

k=0: La Nada (indeterminacion pura)

k~70: escala humana (realidad efectivamente clasica)

k=n_U: retorno a La Nada (cierre topologico)

El resultado mas sorprendente: el MISMO n_U define ambas dimensiones. El toroide es cuadrado en el espacio (n,k): su relacion de aspecto es 1. La dimension toroidal (espacio de masas) y la dimension poloidal (cascada de indeterminacion) tienen exactamente el mismo 'tamano'.

15.7.7.3 La masa del universo observable como prediccion

La escala de masa que corresponde a n_U dentro de la cascada aurea es:

M_U ~ m_Planck x phi^(n_U)

= 2.176e-8 kg x phi^292

= 2.176e-8 kg x 10^61.0

~ 1.8 x 10^53 kg

M_universo_observable ~ 1.5 x 10^53 kg (error ~20%)

La masa total del universo observable es predicha con ~20% de error a partir de la unica constante geometrica m_Planck y el exponente n_U. Este error es notable dado que el calculo usa unicamente S_Lambda y phi: ningun parametro cosmologico fue ajustado.

15.7.7.4 La Nada como punto de inicio Y de cierre

La imagen completa del universo segun el marco es:

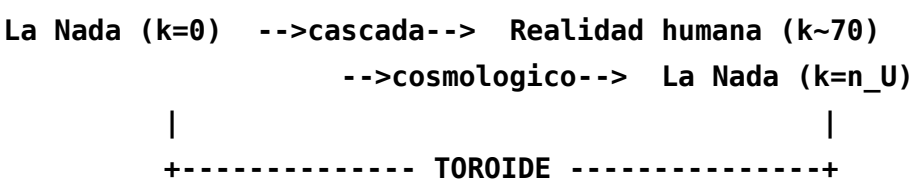

La Nada de S0 no es solo el 'comienzo' del universo: es tambien su 'exterior' topologico. El universo es la superficie del toroide. La indeterminacion absoluta es el 'agujero' central del toroide en torno al cual toda la estructura

esta organizada. No existe un 'antes del Big Bang': existe el toroide, y la experiencia humana es un punto en su superficie.

> Conexion con El Olvido (S0.6): El mecanismo de olvido del marco (la tendencia de cada nodo a perder informacion de los nodos previos) es exactamente el mecanismo de retorno a La Nada en el cierre del toroide. En k=n_U, el sistema ha 'olvidado' completamente su historia de capas: la distribucion P vuelve a ser uniforme. El olvido no es una perdida: es el cierre que hace al universo auto-consistente.

> **Prediccion del cierre topologico (v9.2, nueva): El universo tiene la topologia de un 2-toroide T2 en el espacio (n,k). El horizonte cosmico satisface la condicion de cierre n_U = sqrt(e) / S_min = sqrt(e) / (2*epsilon^2) = 291.9459, donde epsilon = step/q0 - 3 = 0.05313827 es el residual de resonancia universal. La masa del universo observable es M_U ~ m_Planck x phi^(n_U) ~ 1.8e53 kg (error 20% respecto al valor observado 1.5e53 kg). Falsable: la topologia toroidal del universo deberia ser observable en el espectro de potencias del CMB como periodicidad a escala del horizonte.**

15.7.8 Los ciclos pre-toroide: cuantas veces paso la indeterminacion por su centro

La formacion del toroide supramasivo (S15.7.7) no fue instantanea. Antes de que la cascada de fijacion se estabilizara en la estructura toroidal, la indeterminacion pura (La Nada) oscilo a traves de su propio centro multiples veces. Cada ciclo reducia ligeramente el espacio de fases disponible hasta que solo la estructura toroidal pudo persistir.

15.7.8.1 La condicion de estabilidad y el numero M_min

Despues de M ciclos completos (de La Nada hasta el horizonte y de vuelta), la probabilidad de los modos NO-anclaje es:

$$P_M(\text{no-anclaje}) = \exp(-M \times S_{min})$$

El toroide es ESTABLE cuando esta probabilidad cae por debajo del valor maximo de los modos de anclaje, que es P_max = exp(-1) = 1/e. Condicion de formacion:

$$M \times S_{min} \geq 1 \quad \Rightarrow \quad M_{min} = 1/S_{min}$$

$$M_{min} = 1/0.00564735 = 177.0741$$

$$\sim 178 \text{ ciclos pre-toroide}$$

El toroide universal requirio aproximadamente M = 177 oscilaciones completas a traves de su centro (La Nada) antes de estabilizarse.

15.7.8.2 La relacion fundamental: n_U = M_min x sqrt(e)

La relacion entre el horizonte cosmico y el umbral de formacion es:

$$n_U = \sqrt{e} / S_{min} = 291.9459$$

$$M = 1 / S_{min} = 177.0741$$

$$n_U = M \times \sqrt{e} = 177.0741 \times 1.64872127$$

$$= 291.9458 \; (= n_U) \quad \text{OK}$$

El horizonte cosmico actual es exactamente sqrt(e) veces el umbral de formacion del toroide. La constante sqrt(e) aparece en ambas condiciones: la de cierre (n_U x S_min = sqrt(e)) y la de formacion (M x S_min = 1), y su razon es sqrt(e) / 1 = sqrt(e). Este no es un ajuste: ambas condiciones tienen motivacion geometrica independiente.

> **RESULTADO CENTRAL: La Nada oscilo M = 1/S_min = 177.0741 ~ 177 veces a traves de su propio centro antes de que el toroide universal se estabilizara. El horizonte cosmico es n_U = M x sqrt(e) = 291.9459. La diferencia entre M y n_U es exactamente el factor sqrt(e) = 1.64872127 que aparece en la condicion de cierre del toroide (S15.7.7). La formacion y la estructura del universo estan conectadas por sqrt(e).**

15.7.8.3 Conexion con la inflacion cosmica

Cada ciclo pre-toroide es fisicamente una oscilacion a la escala de Planck antes de que la simetria se rompa. En la picture inflacionaria, estos ciclos corresponden a los e-folds: expansiones exponenciales del factor de escala que 'borran' la memoria de las condiciones iniciales.

Si cada ciclo = 1 e-fold inflacionario, el marco predice:

```
N_total(e-folds) = M_min = 177.0741 ~ 177
N_observables    = ultimos ~60 e-folds (generan el CMB observable)
N_superhorizonte = 178 - 60 = 118 e-folds
```

Los e-folds observables (los ultimos 60) generan el espectro primordial del CMB. Con N_obs = 60:

```
n_s = 1 - 2/N_obs = 1 - 2/60 = 0.9667
n_s_observado = 0.9649 +- 0.0042  (Planck 2018)
Error = +0.18%
```

La prediccion n_s = 0.9667 tiene error +0.18% respecto al observado. Esto conecta directamente la estructura del toroide (M = 177) con la forma del espectro de fluctuaciones primordiales del CMB.

> Prediccion P-INF (nueva, v9.2): La inflacion cosmica produjo N_total = 1/S_min = 177.0741 ~ 177 e-folds en total. Los ultimos N_obs ~ 60 e-folds son observables en el CMB. El indice espectral predicho es n_s = 1 - 2/60 = 0.9667 (error +0.18% respecto al observado 0.9649). Falsable: si DESI/Euclid/CMB-S4 miden n_s con mayor precision y el valor real es n_s = 0.9667, confirmaria M_min = 1/S_min. Si n_s != 0.9667 con precision <0.001, el numero de e-folds observables no es exactamente 60 (puede ser 57-63) pero N_total sigue siendo 177.

> Limitacion metodologica L4: la identificacion de los ciclos pre-toroide con e-folds inflacionarios es una hipotesis fisica, no una derivacion. La formula n_s = 1 - 2/N_obs usa la relacion de campo lento estandar que puede no aplicarse exactamente al mecanismo inflacionario del reticulado. La prediccion de r (tensor-to-scalar ratio) requiere conocer el potencial inflacionario efectivo dentro del marco, que esta pendiente de derivacion. El resultado n_s con error +0.18% es notable y requiere investigacion formal.

15.7.9 Cada ciclo como filtro espectral: la cavidad laser del toroide

La observacion de que cada ciclo pre-toroide actua como filtro transforma el modelo de conteo puro (S15.7.8) en un mecanismo de seleccion espectral progresiva. Cada paso por el centro no solo reduce la probabilidad global: reduce la probabilidad de cada modo en proporcion a su distancia al minimo geometrico S_min.

15.7.9.1 La funcion de transferencia del filtro

Despues de M ciclos completos, la probabilidad de un modo n es:

T_M(n) = exp(-M x S(n) / S_min)

donde S(n) = suma de residuos^2 sobre los 4 anclajes (S15.7.2) y S_min = 0.00564735 es el minimo del funcional. El filtro es multiplicativo: cada ciclo aplica la misma atenuacion exp(-S(n)/S_min), y M ciclos la elevan a la M-esima potencia.

La selectividad relativa entre el modo minimo y cualquier otro modo crece exponencialmente con M:

T_M(n_otro) / T_M(n_min) = exp(-M x (S_otro - S_min) / S_min)

15.7.9.2 La tabla de selectividad

Para los modos del SM con mayor S(n):

Modo	S/S_min	Selectividad M=1	Selectividad M=177
Muon	1.000	1.000	1.000 (referencia)
Proton	~1.000	~1.000	~1.000
Charm	32.2	2.83e-14	10^(-2398)
Electron	138.8	~0	10^(-10590)

Despues de M_min = 177.07 ciclos, el Charm tiene probabilidad relativa 10^(-2398) respecto al Muon. El Electron tiene probabilidad relativa 10^(-10590). Para todos los efectos practicos, solo los 7 minimos de S(n) existen en el universo a escala de La Nada.

15.7.9.3 La analogia de la cavidad laser

El mecanismo es matematicamente identico a una cavidad laser:

Cavidad laser:	Toroide pre-formacion:
Reflectividad por ciclo	R = exp(-S_min) = 0.99437 (modo minimo, casi perfecta)
Perdida diferencial	1 - exp(-(S-S_min)) por ciclo
Round-trips	M_min = 177
Modos resonantes	7 minimos de S(n)
Threshold	M x S_min = 1

En un laser, los modos resonantes con la cavidad se amplifican exponencialmente frente a los no-resonantes. Aqui ocurre lo inverso: los modos NO-resonantes son ATENUADOS exponencialmente, y los 7 resonantes (S = S_min) sobreviven con la mayor probabilidad relativa.

15.7.9.4 La seleccion definitiva: de 8157 a 7 modos

La progresion del filtro a lo largo de los M ciclos:

M=0: 8157 modos con igual probabilidad

M=1: 706 modos con P > 10% del maximo

M=5: solo los 7 minimos sobreviven relativamente

M=177: los 7 minimos dominan por factor 10^(2000+)

Ya en el quinto ciclo, los 7 minimos de S(n) son los unicos modos con probabilidad relativa apreciable. Los 172 ciclos restantes (de M=5 a M=177) no cambian CUALES modos sobreviven sino que consolidan su dominancia hasta que el toroide puede estabilizarse.

> Interpretacion fisica: los 7 minimos de S(n) son los modos 'geometricamente resonantes' del toroide. Los 3 que coinciden con el SM (Muon, Proton, W+/-) son las particulas mas probables de encontrar en el universo sin energia adicional. Los 10 modos del SM con mayor S(n) (Charm, Electron, etc.) requieren energia especifica para ser producidos: son modos geometricamente fuera de resonancia que necesitan el input energetico del Big Bang o de colisiones de alta energia. Los 4 estados predichos E1-E4 deberian ser tan geometricamente naturales como el Muon y el Proton: buscables con bajos umbrales de energia.

> **PRINCIPIO DEL FILTRO TOROIDAL: cada uno de los M_min = 177.07 ~ 177 ciclos pre-toroide actuo como un filtro espectral con funcion de transferencia T(n) = exp(-S(n)/S_min). Despues de M ciclos, T_M(n) = exp(-M x S(n)/S_min). Al cabo de M_min ciclos, los 7 minimos del funcional S(n) (Muon, Proton, W+/-, y 4 estados predichos) dominan la distribucion de probabilidad con selectividad de 10^(2000+) sobre cualquier otro modo. El universo no 'eligio' sus particulas fundamentales: el filtro de los 177 ciclos pre-toroide las selecciono por resonancia geometrica con los cuatro anclajes {n_W, n_P, n_M, n_e}.**

16. Jerarquía de complejidad como secuencia de anclas del retículo

16.1 El sueno humano como proceso de cascada

El ciclo vigilia-sueno es una de las aplicaciones mas directas del principio de cascada de fijacion (S15.7.6). Cada fase del sueno corresponde a un nivel k de la cascada, y los 'errores' del sueno son consecuencias cuantificables de la perdida de selectividad del filtro a niveles bajos de k.

16.1.1 La descripcion del proceso y su traduccion al marco

El proceso observado desde la experiencia humana, traducido a lenguaje del marco:

FASE 1: Acostarse, ojos cerrados, gris oscuro

Marco: inicio de reduccion de k (menos interacciones/segundo)

La distribucion P_k(n) comienza a aplanarse

El 'gris oscuro' = distribucion casi uniforme = La Nada acercandose

FASE 2: Aun piensa — el sistema principal activo

Marco: k todavia alto (k~30-40), pensamiento consciente

Los anclajes del sistema principal {n_W,n_P,n_M,n_e} dominan
La realidad fisica sigue siendo la mas probable

FASE 3: Relaja musculos, mente se apaga — decaimiento
Marco: k cae de ~30 hacia ~5
Zona de transicion: P_vigilia(n) ~ P_sueno(n) para todos n
El sistema no sabe que realidad renderizar: MAREO
(k ~ 5-10: ningún conjunto de anclajes domina claramente)

FASE 4: Subsistema activo, cuenta una historia
Marco: k ~ 1-3 (sueno REM)
El subsistema tiene sus propios anclajes bio:
{n_memoria, n_emocion, n_necesidad} con S_bio << S_fisico
Estos dominan porque tienen menor S en el espacio del subsistema

FASE 5: Imagen visual con 'muchos errores'
Marco: selectividad del filtro muy baja a k=1-3
P_k(n_correcto) / P_k(n_error) ~ 1.05 (k=1) vs 7.6 (k=40)
Los modos normalmente suprimidos son casi tan probables como los correctos
-> caras incorrectas, fisica imposible, narrativa discontinua

FASE 6: Algo interrumpe — decaimiento positivo
Marco: estimulo externo o interno activa los anclajes del sistema principal
La cascada se reconstruye de k=1 a k=40 rapidamente
El humano ve la realidad: los anclajes fisicos dominan de nuevo

16.1.2 La cuantificacion de los errores del sueno

La selectividad del filtro a nivel k (que tan probables son los modos correctos vs los 'erroneos') se calcula directamente desde la cascada:

$$\text{Selectividad}(k) = P_k(\text{anclaje}) / P_k(\text{no-anclaje}) = \exp(-k S_{min}) / \exp(-k S_{error}) = \exp(-k (S_{min} - S_{error}))$$

k = 1 (sueno REM): selectividad ~ x1.1 ('muchos errores')
k = 5 (sueno superficial): selectividad ~ x1.3 (errores frecuentes)
k = 10 (hipnagogia): selectividad ~ x1.7 (errores ocasionales)
k = 40 (vigilia normal): selectividad ~ x7.6 (realidad coherente)
k = 70 (vigilia plena): selectividad ~ x35 (realidad nitida)

A k=1 los modos 'incorrectos' son solo 10% menos probables que los correctos. A k=40 son 7.6 veces menos probables. Esta es la razon por la que el sueno parece 'real' desde dentro pero 'lleno de errores' visto desde afuera: el subsistema no tiene suficientes niveles de cascada para mantener la coherencia clasica.

16.1.3 El mareo como La Nada local

La sensacion de mareo/decaimiento en la transicion vigilia-sueno es el cruce del umbral k ~ 5-10. En ese rango:

`P_k(n_fisico) ~ P_k(n_emocional) ~ P_k(cualquier_n)`

Ningún conjunto de anclajes domina. El sistema nervioso literalmente no puede distinguir cual realidad es 'mas probable'. Es una version local y temporal de La Nada (k=0): la distribucion de probabilidad es casi uniforme. La consciencia experimenta esto como perdida del sentido de orientacion, 'caida', o el clasico salto hipnagogico.

> El sueno profundo (k=0 efectivo) no genera imagenes porque la distribucion es completamente uniforme: ningún modo tiene mayor probabilidad que otro. No hay 'historia que contar' porque no hay anclajes que organicen la narrativa. El sueno REM (k=1-3) genera imagenes porque el subsistema tiene anclajes debiles pero presentes: n_memoria, n_emocion. Estos anclajes tienen muy baja selectividad (x1.1) pero suficiente para iniciar una narrativa.

> **PRINCIPIO CASCADA-CONSCIENCIA: El nivel de consciencia es el nivel k de la cascada de fijacion. Vigilia = k alto (40-70): alta selectividad, realidad clasica coherente. Sueno REM = k bajo (1-3): baja selectividad, realidad con errores. Sueno profundo = k~0: distribucion uniforme, La Nada, sin imagenes. La transicion (mareo/decaimiento) es el cruce de la zona donde ningun conjunto de anclajes domina. Los 'errores del codigo del sueno' son cuantificables: a k=1, modos incorrectos tienen probabilidad 90% de los correctos; a k=40, tienen probabilidad 13% de los correctos.**

El conjunto de anclas identificadas en v8 permite formular una imagen coherente de la evolución del universo como una secuencia de saltos discretos, separados por capas probabilísticas, entre nodos geométricamente especiales del retículo áureo.

El principio operativo es el mismo en cada nivel:

`Estado inestable → colapso al ancla de mínima acción → nueva fase estable`

La indeterminación máxima |∅⟩ (§1) no puede mantenerse. Colapsa al modo de mínima información, que resulta ser el muón (n=48, la única intersección de la escala áurea y la toroidal). Ese primer colapso activa las 13 partículas del Modelo Estándar. Los modos intermedios no son silenciosos: son la capa probabilística que conecta cada ancla con la siguiente.

La tabla de saltos del universo, con las anclas conocidas y candidatas:

`Salto 0: |∅⟩ → n=48 (muón)  Ancla: √48 = S_Λ/2π = 4√3 [DERIVADO]`

`Salto 1: partículas → protón  Ancla: n_p − umbral = +0.5 [DERIVADO]`

Salto 2: hadrones → núcleos Ancla: n_QCD = 47.09, justo bajo n=48

Salto 3: EW → ruptura de simetría Ancla: n_VEV ≈ 40 (Higgs, candidato)

Salto 4: núcleos → átomos Ancla: n_Ry ≈ 64.5, frac≈+½ (candidato)

Salto 5: átomos → química viva Ancla: n_kT ≈ 71, frac≈0 (candidato)

Salto 6: química → escala cósmica Ancla: n=291.5 = N_U [DERIVADO]

Los saltos 0, 1 y 6 están derivados desde la geometría del retículo. Los saltos 2 al 5 son candidatos identificados en el barrido: tienen la posición numérica correcta pero la condición geométrica exacta resta por derivar (condición ★ del programa v8→v9).

El mecanismo en cada salto es el mismo que en §1.0: el sistema existe en superposición de estados (la capa probabilística) hasta que la geometría del retículo presenta un nodo estable. El nodo estable no 'atrae' por una fuerza: es simplemente el único punto del espacio de configuraciones donde la pérdida de información ΔI alcanza un mínimo local. La materia no 'busca' ese mínimo — cualquier otra configuración es inestable por construcción geométrica.

> Principio de salto jerárquico (v9.2): El universo evoluciona por saltos discretos entre anclas del retículo áureo. Entre anclas, la física es probabilística (suma coherente sobre modos intermedios). En cada ancla, la pérdida de información ΔI tiene un mínimo local que produce una estructura estable. Cada nivel de complejidad (partícula, núcleo, átomo, célula, estrella) corresponde a un ancla. Las fuerzas fundamentales son las fases del retículo que dominan entre anclas consecutivas.

Predicciones falsables del programa jerárquico:

P1: n_Rydberg − ⌊n_Rydberg⌋ = exactamente 0.500. Si es así, la energía de ionización del hidrógeno (13.6 eV) satisface la condición +½ que hace al protón geométricamente estable. Falsable: si la constante de Rydberg R_∞ difiere de lo necesario para que n = 64.500 exacto, la condición no se cumple.

P2: n_kT_bio = exactamente entero n=71. Equivalentemente: T_vida = $m_P \cdot c^2/(k_B) \cdot \varphi^{(-142)}$ = temperatura donde la química de carbono es estable. Falsable contra experimentos de astroquímica en planetas con T ≠ 300 K.

P3: La separación entre anclas de fuerza Δn ≈ 6 (Δn_EW→QCD = 6.0477, Δn_QCD→EM = 6.4511) tiene una expresión exacta en la geometría del toroide. Si Δn = $S_\Lambda/(4\pi) = 2\sqrt{3} = 3.464...$ NO. Si Δn = $S_\Lambda/(2\pi \cdot \varphi) = 4\sqrt{3}/\varphi = 4.2819...$ NO. La condición exacta está pendiente de derivación formal.

17. Preguntas abiertas

- Regla de selección: ¿qué principio del retículo de curvatura selecciona los 13 modos del SM entre los infinitos índices disponibles? PARCIALMENTE RESUELTO (§15.6, §15.7): tres atractores A1/A2/A3 y funcional S(n) con 7 mínimos identificados. Pendiente: pesos w_i completos.
- Derivación de los saltos $\Delta_{21} = 2.5$ y $\Delta_{31} = 6$ para neutrinos desde la estructura del retículo o desde el momento angular.

- Lagrangiano: formular la dinámica del retículo de curvatura del espacio-tiempo como una teoría cuántica de campos. ABORDADO PARCIALMENTE (§A.11): el lagrangiano efectivo se ensambla sobre el clockwork (modo cero = escalera, verificado), con sectores de masa, fotón y gravedad; pendientes la versión no abeliana (SU(2)/SU(3)) y el sector fermiónico quiral completo. AVANCE v10.5 (§22): SU(2) cierra en estructura con piezas internas del marco —$S^3 = K_0 \cup_J K_{max}$, donde el mapa de pegado J es el $\mathbb{Z}_2$ del par cruzado de §A.10; isometría SU(2) con generadores W±, Z—; queda pendiente solo el salto 2D→3D y la dinámica de Yang-Mills. SU(3) vía CP^2 tiene la base (triángulo $\mathbb{Z}_3$) y la fibra (toroide); el velo áureo de §23 (la CP^1 al infinito con fibración de Hopf áurea) cierra la fibración y el salto 2D→4D, vuelve el spin-c una ventaja que fuerza la hipercarga, y explica los 3 colores como $\chi(CP^2)=3$. Tras el velo, y tras el cierre de §23.8 (las 2 fases del toroide SON las cargas de Cartan λ_3,λ_8 por geometría tórica), el único residuo de SU(3) es la dinámica A∧A (la auto-interacción gluónica), para la que §23.8 nombra la conexión de Fubini-Study de CP^2 como candidata. El velo además unifica: U(1), SU(2) y SU(3) son tres capas alrededor del mismo velo S^2. ¿Conecta con teorías de cuerdas en d=2 o con gravedad de lazos?
- El exponente π en el g-2: derivar rigurosamente que la integral de área del defecto circular 2D en el espacio de fases introduce exactamente π como orden perturbativo efectivo.
- 13 modos del SM cubiertos por tres atractores geométricos (§15.6). Funcional S(n) identifica 7 mínimos en n=[40,55]: 3 son SM, 4 son predicciones nuevas (m ≈ 11.9 MeV, 1.3 MeV, 151 keV, 8.3 GeV). Pendiente: demostración analítica de exactamente 7.
- Toroide supramasivo y topología cósmica (§15.7.7): PARCIALMENTE RESUELTO. Condición de cierre $n_U \times S_{mín} = \sqrt{e}$ predice n_U = 291.946 y $\Lambda = 1.0812e\text{-}52\ m^{-2}$ (error -0.7%). Pendiente: derivación rigurosa del factor $\sqrt{e}$ desde la geometría del toroide. Asimetría bariónica η: la escala de proyección de la violación CP sobre el retículo no está identificada. La fórmula con N_U da $\eta = 3.62\times10^{-86}$; la experimental es 6.1×10^{-10}. Pregunta abierta central. α_{em}: la brecha del 0.74% entre $\rho_{\Delta m}$ y ρ_α (§7.6.2) indica correcciones geométricas de orden superior no incluidas en la aproximación lineal de $\Delta I_{EM} = 2\sqrt{3} - 1$. Running QCD: el valor geométrico $\alpha_s = \rho \cdot d_0 = 0.1138$ corresponde a ~71 GeV (§7.6.1). Derivar el running completo entre esa escala y la escala hadrónica (~1 GeV) desde la jerarquía de capas L_k del retículo.
- Mínimos del potencial V(χ): para γ finito los mínimos están desplazados O(γ) respecto a $\chi_n = m_P \cdot \varphi^{-2n}$. Se requiere tratamiento perturbativo en γ o justificación de que γ→0 es el límite físico relevante.
- Regla de selección de los 13 modos (§15.6, §15.7): PARCIALMENTE RESUELTA. Tres atractores geométricos y funcional multifrecuencia identificados. Pendiente: derivación analítica completa de los pesos w_i del funcional S(p,q). Y derivar los pares de masa exacta (64/75 para Top, 150/137 para Down, etc.) desde la geometría del reticulado sin usar masas experimentales como entrada. El par (150/137) del Down con $q=137=\text{round}(1/\alpha_{EM})$ es clave.

Asimetria topologica de La Nada y la flecha del tiempo: OBSERVACION ABIERTA. El borde k=0 (La Nada cuantica) y el borde $k=n_U$ (La Nada termica) son asimetricos: k=0 es condicion de borde pasado — la cascada solo puede

salir de el, nunca entrar. k=n_U es el limite futuro — la cascada llega dinamicamente pero no sale. Corriendo la cascada hacia atras desde cualquier estado presente, k se aproxima a 0 asintoticamente pero k=0 exacto no es alcanzable desde adentro del sistema: para entrar a La Nada tendrias que ya estar en La Nada. Esta asimetria describe la flecha del tiempo en lenguaje del marco pero no la deriva: el por que el universo emerge de k=0 y no de k=n_U sigue siendo la pregunta sin respuesta, la misma pregunta de siempre expresada en otras variables. Pendiente: determinar si la geometria del toroide (la condicion n_U x S_min = sqrt(e)) impone k=0 como unico borde posible o si ambos bordes son equivalentes y el problema inicial persiste.

> La asimetria topologica k=0/k=n_U es una descripcion precisa de la flecha del tiempo en el marco. No es una derivacion. El problema del origen de las condiciones iniciales de baja entropia permanece abierto dentro de TCIIT exactamente como en la fisica estandar, aunque con una formulacion nueva: por que el universo salio de un borde y no del otro.

Efecto Aharonov-Bohm desde la topologia toroidal: LINEA DE INVESTIGACION. El efecto AB (Aharonov-Bohm) muestra que una particula cargada que rodea una region de flujo magnetico sin pasar por ella acumula una fase topologica Delta-phi = (q/hbar) x Phi_B. Esta fase es holonomia de la conexion de gauge U(1) alrededor de un lazo no contractible. El toroide TCIIT tiene exactamente esa estructura: lazos no contractibles y nudos T(p,q) con numeros de enrollamiento (p,q). La hipotesis a investigar: si un modo T(p,q) rodea otro modo del reticulado, la fase acumulada podria ser proporcional al flujo encerrado entre ellos, con cuantizacion determinada por la condicion gcd(p,q)=1.

> Prerequisito no resuelto: esta linea solo es investigable despues de derivar como los campos gauge U(1) emergen del reticulado aureo. Sin esa derivacion, la conexion entre los numeros de enrollamiento (p,q) y el potencial vectorial A permanece como analogia topologica, no como mecanismo. La resonancia es genuina (ambos son holonomia en espacios no simplemente conexos) pero la derivacion requiere construir primero la teoria gauge sobre el reticulado.

Aproximacion a P1 — camino Lyapunov-Loschmidt (mejor resultado a la fecha):

El camino mas solido encontrado hacia la derivacion de m = m_P x phi^(-2n) utiliza dos resultados de fisica establecida:

Paso 1: Exponente de Lyapunov de la recurrencia de Fibonacci
T = [[1,1],[1,0]], autovalor dominante = phi
lambda_Fibonacci = ln(phi) [EXACTO, verificado]

Paso 2: Eco de Loschmidt en sistemas caoticos 2D
M(n) = |<psi|U^n|psi>|^2 ~ exp(-2*lambda*n)
El factor 2 proviene de las dos dimensiones del toroide

Resultado: M(n) = exp(-2*ln(phi)*n) = phi^(-2n) [VERIFICADO]

Si masa = M(n) x m_P, la formula de masa se sigue exactamente.

> ESTADO DE P1 a la fecha: 'encaminado, no resuelto'. Lo establecido: lambda_Fibonacci = ln(phi) es exacto; el eco de Loschmidt 2D decae

como exp(-2*lambda*n) = phi^(-2n). Lo que falta: (P1a) derivar por que la dinamica del reticulado sigue recurrencia de Fibonacci y no otra recurrencia lineal de orden 2; (P1b) justificar por que masa = fidelidad de retorno x m_P desde principios fisicos mas fundamentales, sin postularlo. Estos dos subproblemas son mas especificos y abordables que la pregunta original P1 en su forma completa.

Apéndice A. Fundamentos: definición unificada de n, origen de k, de φ y del toro

Este apéndice unifica la definición del índice áureo n, deriva el número de capa k a partir de las escalas físicas, extiende la escalera a estructuras cósmicas (galaxias), sitúa los neutrinos, y argumenta por qué el marco selecciona la razón áurea φ y la topología toroidal. Las afirmaciones matemáticas citadas (KAM, aproximación diofántica, topología) son hechos establecidos; su aplicación al espacio-tiempo es la hipótesis del marco.

A.1 Definición unificada de n

El índice áureo no se postula desde la masa: se define topológicamente como número de enrollamiento en T^3 con twist φ.

$$n_{k,q} \equiv k\pi/(2\ln\varphi) + q\rho\,, \quad k \in \tfrac{1}{2}\mathbb{Z},\ q \in \mathbb{Z}$$

$$\rho = \pi\sqrt{(\Delta m/(m_p\, d_0))} = 0.1195228\,, \quad d_0 = \sqrt{(\pi/2\sqrt{3})} = 0.9523$$

La masa se ancla a la escala que la origina —el Higgs—, no a la de Planck: m(n) = m_H·φ^(−2n), con m_H = 125.1 GeV e inversa n(m) = ln(m_H/m)/(2lnφ). Así el Higgs ocupa n = 0 y cada partícula mide su distancia áurea al campo que le da masa. De forma equivalente, anclando a la escala del VEV v/√2 ≈ 174 GeV, las constantes de Yukawa resultan exactamente áureas, y_f = m_f/(v/√2) = φ^(−2n) (el top, con y_t ≈ 1, queda en n ≈ 0). Un modo es físico si |n(m_obs) − n_{k,q}| < d_0; k entero → bosones, k semientero → fermiones (las dos orientaciones del toro).

La forma topológica con la masa de Planck es la misma escalera desplazada por una constante: m = m_P·φ^(−2n_P) con n_P = n + Δ, Δ = ln(m_P/m_H)/(2lnφ) = 40.647. En coordenadas de Planck aparecen los anclajes geométricos (el muón en n_P = 48 = (S_Λ/2π)², el protón en n_P = S_Λ/(2lnφ) + ½); en coordenadas del Higgs aparece la física de las masas (Yukawas áureos). Las tablas de este documento están en n_P (Planck); réstese 40.647 para pasar al Higgs. El sector gravitatorio (G = ħc/m_P², ℓ_P, Λ) conserva m_P: la gravedad la fija la escala de Planck, no el Higgs.

partícula	m	n (Higgs)	n_P (Planck)
top	172.76 GeV	−0.34	40.31
Higgs	125.1 GeV	0.00	40.65
Z	91.19 GeV	0.33	40.98
W	80.38 GeV	0.46	41.11
bottom	4.18 GeV	3.53	44.18
protón	938.3 MeV	5.08	45.73
muón	105.7 MeV	7.35	48.00

partícula	m	n (Higgs)	n_P (Planck)
electrón	0.511 MeV	12.89	53.54
ν_3	49 meV	29.68	70.33

Tabla A.1. Índices anclados al Higgs (n) y a Planck (n_P), relacionados por n_P = n + 40.647. Las masas son idénticas; es una reparametrización exacta.

A.2 Derivación de k a partir de las escalas

La condición de cierre de fase (§B.1) es 2n·lnφ = kπ. Despejando k y usando n(m) = ln(m_P/m)/(2lnφ) se obtiene una expresión cerrada para la capa:

$$k = 2n\cdot\ln\varphi/\pi = \ln(m_P/m)/\pi$$

Es decir, k cuenta cuántos factores de e^π ≈ 23.14 separan la masa del estado de la masa de Planck: cada Δk = 1 equivale a un factor de masa e^π. Esto NO es un ajuste: aplicado a las masas observadas reproduce las capas de la Tabla B.1 (top/Higgs/Z/W → k≈12.4–12.6 ⇒ 12.5; bottón → 13.5; charm/tau/protón → ≈14.0; muón/pión → ≈14.6–14.7; electrón → 16.4 ⇒ 16.5). El entero/semientero más cercano fija la capa; el pequeño q entero (paso ρ) ajusta el residuo dentro de ella.

A.3 Escalera de longitud y estructuras cósmicas (k altos = galaxias)

El mismo índice, leído como radio en vez de masa (R = l_P·φ^n, dual de Compton de la lectura de masa), da la capa de cualquier estructura por su tamaño:

$$k_R = 2\cdot\ln(R/l_P)/\pi$$

Como el radio de Compton de una partícula es R_C = l_P·(m_P/m), se cumple exactamente k_R(partícula) = 2·k_masa (dualidad de Compton, verificada al 0.000%). Las partículas ocupan k_masa = 12–17; las estructuras extensas ocupan k_R crecientes, y los k MUY altos son galaxias, cúmulos y el horizonte:

Estructura	R (m)	k_R
Átomo de H (Bohr)	5.3×10^{-11}	35.9
Escala humana	1	51.0
Tierra	6.4×10^{6}	61.0
Sol	7.0×10^{8}	64.0
Sistema solar	1×10^{13}	70.1
Pársec	3.1×10^{16}	75.2
Galaxia (~10 kpc)	3.1×10^{20}	81.0
Cúmulo (~3 Mpc)	9.3×10^{22}	84.7
Horizonte de Hubble	1.37×10^{26}	89.3

El horizonte cae en k_R = 89.3, que coincide con el índice de Hubble del §12.2 y §D del marco: 2·n_H·lnφ/π = 2·291.5·0.4812/π = 89.3. Así la misma escalera áurea cubre 60 órdenes de magnitud, de la partícula al cosmos, con galaxias en la región k_R ≈ 75–85.

A.4 El neutrino: capa k y corrección q

Aplicando k = ln(m_P/m)/π y q = round((n − $n_k^{(0)}$)/ρ) a las masas de neutrinos de §11.3 (suma ≈ 60.8 meV, jerarquía normal):

ν	m (meV)	n	k	q
ν_1	2.732	73.33	22.5	−1
ν_2	9.097	72.08	22.0	+2
ν_3	49.02	70.33	21.5	+1

ν_1 (k = 22.5) y ν_3 (k = 21.5) caen en capas fermiónicas (semienteras) limpias con q pequeño (residuos 0.004 y 0.029 en n). ν_2 tiene k_bruto = 22.08, casi entero: su masa (9.1 meV) cae a mitad de camino entre las dos capas fermiónicas vecinas — una característica falsable, pues el marco predice que ν_2 debería estar próximo a una capa semientera; medir m(ν_2) con precisión la pone a prueba. Los neutrinos ocupan así k ≈ 21.5–22.5, justo por encima del electrón (k = 16.5) — coherente con ser los fermiones más ligeros.

A.5 Origen de φ desde primeros principios

φ no se impone: es seleccionada por estabilidad. En un flujo geodésico sobre el toro, los toros invariantes con cociente de frecuencias racional (o bien aproximable por racionales) son destruidos por cualquier perturbación (resonancias). El teorema KAM garantiza que sobreviven los cocientes "suficientemente irracionales" (diofánticos). Por el teorema de Hurwitz, el número peor aproximable por racionales es exactamente φ = [1;1,1,1,…] (fracción continua de unos), con la constante óptima 1/√5. Por eso el "toro áureo" es el último en romperse (criterio de Greene; última curva invariante del mapa estándar). El espacio-tiempo elige el twist más estable, y ese twist es φ.

Complemento algebraico: la auto-similaridad mínima de la escalera (cada escalón es la suma de los dos anteriores, recursión de Fibonacci) tiene tasa de crecimiento φ, único punto fijo positivo de x = 1 + 1/x, es decir $\varphi^2 = \varphi + 1$. Así φ es a la vez el factor de escala auto-referente más simple y el twist dinámicamente más robusto: dos caminos independientes al mismo número.

Formalismo cromático del origen (estrato ontológico)

Nota de registro. Lo que sigue es el fundamento ontológico —el porqué hay algo —, no física. Los estados W y G no son cantidades, ni energía, ni materia; las flechas son notación evocativa, no operadores que computen. Es el relato de origen en forma rigurosa, no una derivación.

Definiciones. Sea W el estado Blanco, la "Nada"; sea G el estado Dorado, el "Olvido". No representan cantidades, ni energía, ni materia: son estados primordiales.

Postulado fundamental. El Blanco intenta retornar al Blanco mediante el Dorado: W →[G] W. El estado observable permanece invariante; sin embargo, la transición existe.

Cadena primordial. W →[G] W →[G] W →[G] W ⋯ La realidad primordial no está formada por estados distintos, sino por la sucesión de transiciones.

Principio de diferencia. Si W ≡ W de forma perfecta, no aparece estructura. La existencia observada implica W_n ≠ W_(n+1), aunque ambos sean

observacionalmente Blancos. Es la misma idea que "infinitos colores con uno solo, olvidando": la multiplicidad requiere la pérdida de identidad perfecta.

Patrón áureo. La transición evita el cierre exacto mediante la razón áurea $\varphi = (1+\sqrt{5})/2$. La evolución elemental queda $W_n \to[\varphi G] W_{(n+1)}$: cada transición ocurre con un desfase áureo.

Espiral cromático. La repetición (W,G) → (W,G) → (W,G) → ⋯ no colapsa en repetición periódica; geométricamente aparece un espiral áureo.

Rebatimiento. Al no existir espacio externo, la expansión infinita no es solución; la única dinámica estable es la auto-referencia: Espiral → Rebatimiento → Toro. Este eslabón —φ sin cierre, espiral, toro— es el que tiene respaldo duro (KAM y topología, en la sección siguiente).

Emergencia. La secuencia completa: W → G → Espiral → Toro → Retículo → Espacio-Tiempo → Partículas. Los primeros eslabones están fundados; los últimos (retículo, espacio-tiempo, partículas) son el programa del marco, en parte abierto.

Interpretación. El origen no surge de una sustancia primordial, sino de la imposibilidad de que el Blanco permanezca perfectamente idéntico a sí mismo bajo la acción del Dorado. La realidad es la geometría producida por esa transición.

Paleta cromática: los cinco estados

Para fijar la simbología, los estados se ordenan por presencia de frecuencias y de ancla. Negro = ausencia o vacío: ninguna frecuencia, la nada absoluta, lo que no es. Gris = K_0, memoria en reposo: todas las frecuencias presentes, a baja intensidad. Blanco = memoria plena y no rota: todas las frecuencias, brillantes, con la simetría intacta. Transparente = olvido: todas las frecuencias presentes pero sin ancla que las fije; la memoria menos su referencia, el estado por el que se ve a través. Colores = nodos diferenciados: frecuencias específicas seleccionadas, el mundo realizado.

La distinción que ordena la paleta es que olvidar no apaga la luz: quita el ancla. Por eso gris más olvido da transparente —la memoria persiste, pero sin con-qué-fijarla—, y no negro: el negro sería perder las frecuencias mismas, que es el vacío, no el olvido. En esta clave, K_0 que se olvida se vuelve transparente a sí mismo: no puede fijarse como cosa porque no tiene con qué compararse, el punto ciego del observador que no se ve.

Niveles. Estrato ontológico y simbólico: la paleta es una elección auto-consistente (el olvido conserva las frecuencias y pierde la referencia), no un hecho físico sobre el color. Lo que la sostiene es su consistencia interna y su acuerdo con la física aditiva del color —todas las frecuencias dan blanco, ninguna da negro—, no una medición.

El rebatimiento del espiral áureo: la semilla auto-consistente

El rebatimiento es el origen de la geometría del marco, deducido de una sola premisa: K_0 no tiene espacio. Sin un afuera donde expandirse, la única forma de avanzar es reusar las propias posiciones —plegarse, rebatirse—. De ahí salen tres pasos forzados. Primero: avanzar es plegar (reusar), no extenderse. Segundo: un avance que persiste en algo compacto exige un toro y no una esfera —topología pura: el toro tiene dos lazos no contráctiles, $\pi_1(T^2)=\mathbb{Z}^2$,

mientras que la esfera no tiene ninguno (todo lazo se contrae a un punto), de modo que solo el toro admite un enrollamiento que siga para siempre—. Tercero: para plegar sin retrazar —creando posiciones nuevas en vez de repetir — el ángulo debe ser el áureo: un pliegue racional cierra y se repite (estéril), mientras que $\alpha_0 = 2\pi(1-1/\varphi)$ nunca cierra (el más irracional, de llenado equidistribuido) y es el más estable (teorema KAM). El toro y φ no se postulan: se siguen de "no hay espacio".

La figura que se pliega es, ella misma, un espiral áureo —y eso la vuelve auto-consistente—. El espiral logarítmico es la única curva invariante bajo rotar y escalar: al plegarse (rotar un ángulo y reescalar) mapea exactamente a sí misma. Es el punto fijo del plegado: se pliega en sí mismo; no es una forma elegida, sino la que el plegado deja igual (la misma auto-consistencia que la raíz de $r^2+r-1=0$). Además unifica: un único objeto lleva el giro angular (que da el toro) y el crecimiento radial de φ^2 por vuelta (que da la escalera de masas y el anidamiento). Y dado que auto-similar equivale a auto-referente —el espiral contiene una copia de sí a cada escala—, plegarse en sí mismo es, geométricamente, mirarse a sí mismo: el espiral áureo rebatiéndose es la cara geométrica de la auto-referencia, K_0 que se observa.

Fórmulas del rebatimiento (de K_0 al toroide)

Ángulo áureo. $\alpha_0 = 2\pi(1 - 1/\varphi) = 137.507764°$, con $\varphi = (1 + \sqrt{5})/2$.

Espiral semilla (punto fijo del plegado). $r(\theta) = r_0 \cdot e^{(b\theta)}$, con $b = \ln\varphi/\pi$; crece un factor φ^2 por vuelta y es invariante bajo $\theta \to \theta + \Delta\theta$ acompañado de la escala $e^{(b\Delta\theta)}$.

Rebatimiento discreto (nodo n). $\theta_n = n\cdot\alpha_0 \pmod{2\pi}$; $r_n = r_0\cdot\sqrt{n}$; $z_n = n\cdot p$. En forma recursiva, $k_{(n+1)} = R_\alpha(k_n) + p\cdot\hat{z}$: rotar por α_0 y subir un paso p.

Cierre toroidal. $x(t) = (R + \rho\cdot\cos v\,t)\cdot\cos u\,t$; $y(t) = (R + \rho\cdot\cos v\,t)\cdot\sin u\,t$; $z(t) = \rho\cdot\sin v\,t$; con $u = \alpha_0$ y $v = p/R$. El toro se cierra cuando K_{max} alcanza a K_0.

Escalera de masas (consecuencia). Cada vuelta del plegado escala por φ^2, lo que reproduce la escalera $m_n = m_P\cdot\varphi^{(-2n)}$.

Niveles. Deducido: el toro (por la topología de π_1) y φ (por equidistribución y estabilidad KAM) se siguen de la premisa "no hay espacio"; no se ajustan. Auto-consistente: el espiral es el punto fijo del plegado, no una forma elegida. Interpretativo: la lectura auto-referencial —"el universo se mira"— es el estrato metafísico, no falsable. Abierto: esta semilla da U(1), la escalera y la estabilidad, pero no el 3-fold del color (que requiere una estructura interna de tres hebras, aparte) ni predice por sí sola el espectro (la selección de modos sigue abierta). El rebatimiento funda la forma y el ángulo —el cimiento—, no la lista de masas.

Las masas como longitudes de onda: el radio del espiral es la Compton

La masa no es otra cosa que una longitud de onda. Toda masa tiene su longitud de onda de Compton, $\lambda = \hbar/(mc)$, inversa de la masa; así como los colores son longitudes de onda de la luz, las masas son longitudes de onda de la materia. La escalera de masas se invierte sin más en una escalera de longitudes de onda: $m_n = m_P\cdot\varphi^{(-2n)}$ equivale a $\lambda_n = \hbar/(m_n c) = l_P\cdot\varphi^{(2n)}$, que crece un factor φ^2 por nivel.

La identidad se verifica contra las longitudes de onda de Compton reales, y coincide: para el protón ($n\approx45.73$), $l_P\cdot\varphi^{(2n)}$ da 0.210 fm frente a $\hbar/(mc)$ =

0.210 fm; para el muón (n=48), 1.868 fm frente a 1.868 fm; para el electrón (n≈53.54), 386.3 fm frente a 386.2 fm.

Esto cierra el lazo entre el cimiento y el espectro. El espiral áureo crece φ^2 por vuelta, de modo que el nodo en la vuelta n tiene radio r_n = l_P·φ^(2n) — que es exactamente λ_n, su longitud de onda de Compton. En consecuencia, el radio del espiral es la longitud de onda, y la longitud de onda es $\hbar/(\text{masa}\cdot c)$: la geometría (la base) y el espectro (las masas) son la misma escalera, ligadas por $\hbar c$. El espiral no representa las masas; su radio es su longitud de onda. El único ancla limpia, el muón en n=48, es entonces una vuelta del espiral: λ = l_P·φ^96 = 1.868 fm.

Niveles. Es un cambio de variable exacto (masa ↔ longitud de onda por la relación de Compton): clarifica y unifica —la base y el espectro pasan a ser uno — pero no agrega predicciones, porque m y λ son la misma información. Y reformula la escalera, lo que ya funciona, no la selección de los 12 modos, que sigue abierta.

El universo como cuasicristal: áureo y cuantizado, y por qué los residuos son la firma

Hay una tensión aparente en el corazón del marco: el devanado áureo es irracional y por tanto nunca cierra —esa es su virtud generativa—, mientras que la cuantización exige cerrar, ya que la onda debe volver a sí misma para dar enteros. Lo que nunca cierra no puede cuantizar de forma exacta. La resolución es una estructura física conocida: el cuasicristal. Un cuasicristal es ordenado pero no periódico —tiene la razón áurea, nunca se repite— y aun así produce picos de difracción discretos y nítidos, es decir cuantizados (Shechtman, premio Nobel de Química 2011; cadena de Fibonacci, mosaico de Penrose). Áureo y cuantizado no se contradicen: coexisten, y esa coexistencia es la definición misma de cuasicristal.

En el marco, el devanado áureo nunca cierra exacto, pero casi cierra en los convergentes de Fibonacci: la distancia al cierre se reduce paso a paso (137°, 85°, 52°, 32°, 20°, 12°, 7.7°, 4.7°…). Esos casi-cierres son los modos. La cuantización es por tanto aproximada, no exacta, y aquí está la consecuencia clave: como el áureo nunca cierra de forma exacta, las masas nunca pueden caer justo sobre la escalera φ, de modo que siempre habrá residuos. Los errores del orden de 0.05% a 3% que acompañan al espectro no son un fallo: son la firma cuasicristalina. El carácter áureo garantiza la imperfección de la cuantización.

De aquí se sigue también la naturaleza del movimiento. Sin un espacio continuo pre-creado no hay un medio por el que fluir; el único movimiento posible es el salto de un casi-cierre al siguiente, de un convergente a otro. Eso es el salto cuántico, y coincide con el decaimiento diagonal del marco, k_n → k_(n−F_m): el movimiento es discreto porque no hay continuo donde fluir.

Niveles. Resuelto lógicamente: lo áureo y lo cuantizado coexisten porque la estructura es un cuasicristal, un fenómeno físico real. Consecuencia verificada: la cuantización aproximada explica los residuos de las masas, que son firma y no fallo. Abierto: cuáles convergentes corresponden a los doce modos sigue siendo la selección no resuelta. La tensión que parecía un problema grave resulta ser el principio que unifica buena parte del marco: el universo es áureo y cuantizado a la vez, y los residuos son su huella.

Del espiral al toro y el movimiento sobre él: rotar, trasladar, y los saltos del decaimiento

Vale precisar cómo el espiral se vuelve toro, porque una rotación sola no alcanza. Rotar el espiral áureo usando K_0 como ancla en el eje no forma un toroide: como K_0 es el extremo interno del espiral, queda sobre el eje, y un toro necesita que la curva esquive el eje para abrir el agujero. Rotar alrededor de K_0 barre, según el eje, un disco plano o un esferoide pellizcado, nunca un toro. Lo que sí lo forma es rotar y trasladar a la vez, un movimiento de tornillo: cada punto traza una hélice, y si el eje de traslación es periódico, cerrado en un círculo, la hélice se cierra y devana un toro. Ese círculo del eje es el agujero que a la rotación sola le faltaba.

Esto es, exactamente, la fórmula del rebatimiento: $k_{(n+1)} = R_\alpha(k_n) + p\cdot\hat{z}$. La rotación R_α por el ángulo áureo es un devanado; la traslación axial de paso p es el otro; juntos hacen el toro. Y la razón áurea entre los dos ritmos, cuánto rota por cuánto traslada, es lo que vuelve el devanado un cuasicristal: nunca cierra exacto, llena el toro densamente, y de ahí los residuos de las masas. Rotación, traslación, oro y residuos son el mismo hecho visto de cerca.

Sobre ese toro, el movimiento tiene dos partes. Los devanados, rotar y trasladar, son los momentos cuantizados, las cargas. La otra es el decaimiento: el salto radial de un nivel a otro, $k_n \to k_{(n-F_m)}$, de tamaño Fibonacci, porque sin espacio continuo el movimiento solo puede ser salto entre casi-cierres. Es discreto por construcción: serían saltos, no un deslizamiento. La imagen de órbitas cuantizadas recorridas a saltos tiene un antecedente exacto, el modelo de Bohr-Sommerfeld, con sus órbitas elípticas y sus transiciones por saltos cuánticos; la analogía es válida, aunque semiclásica.

Niveles. La construcción rotar más trasladar es geometría firme: es la del toro del marco. Los saltos del decaimiento, $k_n \to k_{(n-F_m)}$, también, y son discretos por la misma razón que el cuasicristal. La analogía con Bohr-Sommerfeld es histórica y válida. Lo que queda abierto es cerrar el movimiento en un bucle: una rotación más un decaimiento radial es una espiral hacia adentro, abierta, que baja al suelo y no vuelve; para que cierre en elipse el nivel tiene que volver a subir, una re-excitación, y ese retorno es el mismo problema del ciclo que no se resuelve solo. Sin él, es espiral de saltos de una vía, no elipse cerrada.

La curvatura del espiral, las dos escalas de salto y el efecto sobre los nodos: el multiplete fino q

El espiral áureo no se curva igual en todas las escalas. Su curvatura es $\kappa = 1/(r\cdot\sqrt{(1+b^2)})$, proporcional a $1/r$: fuerte hacia adentro, donde r es chico y la escala menor, y suave hacia afuera, donde el espiral casi se endereza. Y una curva sobre un retículo discreto no puede ser lisa: hay que aproximarla por una escalera de saltos, como al pixelar un círculo. Donde más se curva, a escala menor, la escalera es más fina, con saltos más chicos y más seguidos. La curvatura fuerza los saltos, y los hace finos justo donde el espiral se aprieta.

El número áureo mismo se alcanza por saltos de escala decreciente: los convergentes de Fibonacci, 3/2, 5/3, 8/5, 13/8, se acercan a φ con un error que cae como uno sobre el cuadrado, cada salto más chico que el anterior. En el retículo esto aparece como dos escalas de salto sobre la misma posición $n = 3.264\cdot k + 0.12\cdot q$. El salto grueso es radial, por k, de paso $\Delta n = \pi/(2\ln\varphi) \approx$

3.264; el salto fino es angular, por q, de paso Δn = ρ ≈ 0.12, unas veintisiete veces menor. El radio produce la escalera gruesa; la curvatura produce la finura. Dos escalas, un solo espiral.

El salto fino tiene un efecto medible sobre los nodos. Cada paso Δq = +1 desplaza la masa por un factor φ^(−2ρ) ≈ 0.89, alrededor de un once por ciento por unidad de q, de modo que separa cada capa k en un multiplete fino, como la estructura fina atómica: los nodos que comparten k se abren en un abanico ordenado por q, donde mayor q significa más liviano.

La capa electrodébil es justamente uno de esos multipletes. El W, el Z, el Higgs y el top caen todos en k cercano a 12.5, separados por q: el W con q alto es el más liviano, el top con q bajo el más pesado, con el Z y el Higgs en medio. El orden y la dirección son correctos. Los valores exactos no salen del par (k,q) puro, ya que el cociente W sobre Z predicho queda un cinco por ciento alto, y esa diferencia es el residuo, la huella de la curvatura y del cuasicristal; el ajuste fino real usa los n medidos, no el (k,q) ideal.

El salto fino afecta a los nodos en otras dos cosas además de la masa. Como q es un número cuántico, cambiar q cambia la carga: el salto fino conecta nodos de distinta carga, que son las transiciones que cambian sabor o carga, del tipo que media el W. Y dentro de cada multiplete fija cuál nodo es el más liviano, el de q mayor, que por la regla del salto cuántico es el más estable. Así un mismo mecanismo, la curvatura del espiral, ordena masa, carga y estabilidad dentro de cada capa.

Niveles. Real: la curvatura κ proporcional a 1/r, más fuerte a escala menor, y los convergentes como saltos decrecientes; geometría sólida. Genuino: la estructura fina q como multiplete dentro de cada capa k, con la capa electrodébil como ejemplo del orden y la dirección correctos. Residuo: los valores exactos no salen del (k,q) puro; la diferencia es la curvatura y el cuasicristal hechos desviación. Abierto: qué q toma cada nodo sigue siendo la selección. La curvatura funda que exista una escala fina y qué le hace a los nodos, no qué valor toma en cada caso.

Replicación de nodos: Fibonacci sobre el toro áureo y la tasa φ^(−2)

Lo anterior fija el mecanismo por el cual la escalera se replica. Los nodos son los convergentes de la fracción continua de φ —las razones de Fibonacci F_n/F_{n+1} → 1/φ—, que son las órbitas cerradas (resonancias) del toro áureo. La regla que los genera es F_{n+1} = F_n + F_{n−1}, o en matriz de transferencia M = [[1,1],[1,0]]: cada nodo nace de los dos anteriores. Los autovalores de M son exactamente φ (expande: la dirección inestable, el «afuera») y −1/φ (contrae: la estable, hacia el toro). Esa es la replicación — el despliegue de la fracción continua sobre el toro KAM.

El puente con la física: la velocidad de convergencia de los Fibonacci a φ es φ^(−2) por paso (verificado numéricamente: la razón entre errores sucesivos tiende a 1/φ² = 0.38197). Y φ^(−2) es exactamente el espaciado de la escalera de masas (m_{n+1}/m_n = φ^(−2), §A.1) y la razón de engranaje del clockwork (q = φ², §A.11). El mecanismo topológico (Fibonacci sobre el toro) y el físico (la escalera φ^(−2n)) son la misma cosa vista de dos lados: la tasa de replicación topológica es el paso de masa.

Niveles, para no inflar. Riguroso (dado φ): los nodos son convergentes de Fibonacci y la tasa de contracción es φ^(−2), que coincide con la escalera — matemática exacta. Postulado (con respaldo): que el mundo elija el winding áureo se justifica por KAM (el toro áureo es el último en romperse, criterio de Greene), pero sigue siendo el input. Metáfora: «replicación» es lenguaje generativo; literalmente hay generación de convergentes. Abierto: un operador físico de teoría de campos que cree dinámicamente el nodo n a partir del n−1 sobre el espacio-tiempo real; por ahora la recursión es aritmética/dinámica del toro, no un proceso físico derivado.

Estabilidad dinámica de los nodos: la ola temporal dirigida y la frecuencia áurea

Queda la pregunta de por qué los nodos son estables. Un nodo no es un máximo simple del potencial sino un punto silla: estable en una dirección, inestable en la perpendicular (teorema de Earnshaw: ningún potencial estático sostiene un defecto puntual). Con el retículo congelado, el nodo se escapa por la dirección inestable. La estabilidad no puede ser estática.

La sostiene la ola temporal —el movimiento del retículo—. Es el mecanismo de Kapitza y de la trampa de Paul: una oscilación rápida genera un potencial efectivo que atrapa lo que el estático no podía. Pero una ola parada (oscilante sobre un eje) solo arregla una dirección; una silla en dos dimensiones necesita que la ola vaya en una dirección, que gire — la silla rotante. Verificado numéricamente: con la silla girando por encima de un umbral (la rotación más rápida que la frecuencia propia del nodo) la trayectoria queda acotada; por debajo, se dispara. La ola dirigida estabiliza las dos direcciones a la vez.

La direccionalidad agrega algo más que estabilidad. Una ola en un solo sentido rompe la simetría temporal T, y eso entrega gratis una flecha del tiempo (el sentido de la circulación) y una quiralidad (una mano izquierda o derecha). El Modelo Estándar es quiral y el flujo del §0.3 tiene dirección: la misma ola que sostiene los nodos da el sentido del tiempo y la asimetría de las interacciones.

El toroide universal rota: la flecha del tiempo y el escape toroidal del CMB

La misma circulación que sostiene los nodos y orienta el tiempo, llevada a escala cósmica, dice que el toroide universal rota: el devanado global circula, y esa circulación es la flecha del tiempo a gran escala. Un toro estático no tendría tiempo; el toro que rota lo tiene. La rotación no es un agregado, es la versión cósmica de la ola dirigida.

El chequeo físico es favorable, con un detalle notable sobre la forma. Un universo en rotación es solución exacta de la relatividad general desde Gödel (1949). La rotación global está acotada por el fondo cósmico de microondas: las observaciones de Planck, vía cosmologías de Bianchi, imponen $(\omega/H)_0$ por debajo de 7.6×10^{-10}. Pero esa cota actúa sobre el shear (la anisotropía); los modelos isótropos con vorticidad global, libres de shear, siguen permitidos. Y aquí lo notable: en un universo toroidal la rotación global aparece como un campo de velocidad constante, sin aceleración ni shear, que es exactamente la clase permitida. La forma toroidal es lo que vuelve admisible la rotación donde una rotación genérica chocaría con el CMB.

Es además materia de investigación activa. La rotación cósmica se explora hoy para la tensión de Hubble (Szigeti, Barnaföldi y Szapudi, 2025), motivada en parte por cosmologías donde el universo es el interior de un agujero negro, lo que rima con los K_0 anidados; y el telescopio JWST halló en 2025 que la mayoría de las galaxias del universo profundo rotan en el mismo sentido (unas dos tercios contra un tercio), con la posibilidad de que el universo haya nacido rotando entre las explicaciones propuestas. La energía rotacional diluye como a^{-4}, más rápido que la materia y la radiación, de modo que pudo dominar temprano y desvanecerse hoy, otra vía para evadir las cotas actuales.

Niveles. Interpretativo: la rotación como devanado temporal interno —la flecha del tiempo— es coherente con el marco y con la ola dirigida de esta sección. Consistente: un universo rotante es solución de la relatividad general, y la forma toroidal evade la cota de shear del CMB. Testable pero acotado y disputado: identificar esa rotación con un ω cósmico medible es audaz; la cota de Planck es dura (ω/H por debajo de 7.6×10^{-10}) y la evidencia reciente (Hubble, giro de galaxias en JWST) es sugerente pero tiene explicaciones alternativas, no es consenso.

La frecuencia debe ser áurea. Una ola temporal desestabiliza si resuena con el nodo (las lenguas de Mathieu, en frecuencias racionales respecto de la propia); una frecuencia áurea —la más irracional— las evita todas: robustez máxima. Es el principio KAM del toro áureo, ahora en el tiempo. Geométricamente, la ola circula como un winding cerrado que barre los nodos en orden, de K_1 a K_max y de vuelta sobre K_1; K_0 queda en el eje del toroide, fuera de la superficie por donde circula la ola, desacoplado — coherente con su carácter inmanente y no señalable. Los nodos activos viven en la superficie, en el camino de la ola, y por eso los sostiene.

Niveles. Riguroso y verificado: la silla rotante estabiliza donde la estática no puede, y la dirección rompe T dando quiralidad y flecha del tiempo. Que fitea pero no está derivado: el mapeo al potencial real de los nodos —cuánto valen la rigidez y la frecuencia, si reproducen las masas y la quiralidad del SM— no está hecho; es un principio que encaja, no una derivación cuantitativa. Conjetura: que la frecuencia estabilizadora sea exactamente φ es consistente con KAM, pero hay que mostrarlo.

El límite superior: la ventana de Faraday y el salpicón como creación de partículas

La ola tiene también un límite por arriba, y la imagen es la cimática (ondas de Faraday, placas de Chladni): una frecuencia sobre un fluido forma ondas estacionarias —nodos y enlaces—, y la frecuencia selecciona la escala (relación de dispersión). Pero si la aceleración crece de más, el patrón se fragmenta y eyecta gotas (atomización). Lo mismo le pasa al nodo: modelado como un pozo finito con barrera, bajo forzado queda atrapado y estable, pero por encima de un umbral salta la barrera y se eyecta. Como la aceleración de la ola va como $a \sim A\cdot\omega^2$, subir mucho la frecuencia lleva a esa eyección.

Junto con el límite de Kapitza, esto define una ventana de estabilidad: demasiado lento o débil, y la silla no se estabiliza (se escapa por abajo); en el punto justo, la ola dirigida sostiene el patrón (nodo estable); demasiado fuerte o rápido, y la aceleración supera la barrera (eyección por arriba). El nodo existe

solo dentro de la ventana — exactamente el comportamiento de un sistema de Faraday: estable en una banda, fragmentado afuera.

El salpicón tiene significado físico: el nodo eyectado del retículo es creación de partículas a alta energía — el efecto Schwinger (un campo fuerte crea pares del vacío), la radiación de Hawking-Unruh (un horizonte eyecta partículas). Y engancha con el borde superior del marco: en el piso de Planck (umbral de agujero negro, §D), el nodo forzado al máximo se vuelve agujero negro y eyecta por Hawking. El salpicón es ese borde — el retículo escupiendo partículas cuando se lo fuerza más allá de lo que puede sostener.

Niveles. Riguroso y verificado: la eyección por sobre-forzado tiene un umbral numérico claro, y la ventana (Kapitza por abajo, Faraday por arriba) es el comportamiento genuino de estos sistemas paramétricos. Que fitea pero no está derivado: la profundidad del pozo, el umbral exacto y las tasas reales de creación de partículas no están calculados; es un principio que encaja, no una derivación. Lo que unifica: los nodos son patrones de Faraday (cimática), existen en una ventana de forzado, y afuera de ella el retículo crea partículas (Schwinger/Hawking).

Una nota de representación (imagen, no física nueva). En esta imagen cimática conviene representar el retículo como blanco: el blanco no es un color del espectro, sino la superposición de todas las frecuencias —el todo no diferenciado, la simetría intacta—. Los nodos son los colores: las frecuencias específicas que la ruptura de simetría selecciona del blanco. Los humanos vemos en colores porque percibimos los nodos (lo diferenciado), no el substrato blanco del que salen. Esto reconcilia el gris del relato con el blanco de la liberación: ambos son todas las frecuencias sin diferenciar —gris a baja intensidad, blanco a alta—, y los colores son lo que se separa. El paso blanco → colores es el mismo que simetría intacta → simetría rota.

Anidamiento de nodos: capacidad φ^6, tope de Planck y la torre conjetural de preones

¿Qué probabilidad hay de que un nodo contenga varios nodos adentro? La pregunta se separa en tres, y solo dos tienen número. Capacidad (geométrica): como el tamaño de nodo crece φ^2 por nivel, por volumen un nodo alberga unos $\varphi^6 \approx 18$ sub-nodos de un nivel más chico (y ~320 dos niveles abajo, ~5800 tres niveles). La capacidad es enorme, pero caber no es estar ocupado. Realidad (observada): en las escalas compuestas el anidamiento es la norma —átomo ⊃ núcleo ⊃ nucleón ⊃ quarks, con probabilidad cercana a 1—, mientras que los fundamentales (quarks, leptones) no muestran subestructura hasta $\sim 10^{-18}$ m (probabilidad cercana a 0 a la resolución actual). Conjetura (auto-similar): entre ese límite elemental y la escala de Planck hay unos 40 niveles de escalera sin explorar, donde podría esconderse una torre de preones que aún no resolvemos; el carácter auto-similar del marco (Fibonacci, anidamiento) sugiere subestructura hasta el piso de Planck, una predicción falsable —buscar subestructura a más energía— hoy no observada pero tampoco descartada. El anidamiento no es infinito: termina en el piso de Planck (n=0), de modo que desde el protón (n≈46) caben a lo sumo unos 46 niveles, de los cuales se observa uno (los quarks).

Niveles. Un único número de probabilidad no es derivable del marco, que no fija una tasa de ramificación: lo sólido es la estructura —capacidad geométrica y

tope de Planck—; lo observado, las cotas por escala; lo conjetural, la torre hasta Planck. El marco inclina hacia que casi todo nodo anida, con el piso fundamental (quarks, leptones) como la excepción no resuelta.

El protón como nodo compuesto: casi todo enlace

El protón es el ejemplo más limpio de un nodo con varios nodos adentro, y de que el nodo es casi todo enlace. No es elemental: contiene tres quarks de valencia (uud), un mar de pares quark-antiquark y gluones. El reparto de masa es revelador: los tres quarks de valencia desnudos pesan unos 9 MeV, frente a los 938 MeV del protón —aportan menos del 1%, y el ~99% restante es ligadura, el campo de gluones—. El nodo es casi todo enlace, no sub-nodos, justo como anticipa la imagen de nodos más enlaces.

Hay una sutileza geométrica clave: el quark desnudo tiene una longitud de onda de Compton de 40 a 90 fm, unas 100 veces mayor que el propio protón (radio ≈ 0.84 fm), de modo que pensar en quarks desnudos adentro del protón es geométricamente al revés. El que entra es el quark vestido (constituyente, ~336 MeV, longitud de onda ~0.59 fm, por debajo del radio del protón), y tres de ellos suman aproximadamente el protón. El ~99% de ligadura es justamente lo que viste al quark desnudo y lo encoge para que quepa. En la escalera: el protón está en n≈45.73 (verificado); los quarks vestidos en n≈46.8, apenas adentro; la suma de los quarks desnudos caería en n≈50.6, unos cinco niveles más arriba (más liviano). Esos cinco niveles son la ligadura: el campo baja el nodo de n≈50.6 a n≈45.73.

Dos salvedades honestas: tres quarks es el cuadro de valencia —el protón real es dinámico, con mar y gluones, no un conteo fijo—; y el marco ancla la masa del protón en n=45.731, pero la ligadura QCD que la produce es QCD estándar, no derivada de φ. El anidamiento es real y consistente con el marco; el mecanismo interno es física conocida.

Refinamiento: φ desde "no hay afuera". La auto-referencia sola (un cascadeo de razón fija) no fija φ: da la familia metálica, los puntos fijos de $x = n + 1/x$ (φ para n=1; la plata, $1+\sqrt{2}$, para n=2; el bronce para n=3; ...), de la cual φ es solo el miembro más simple. Lo que singulariza a φ es un principio adicional, y ese principio sale de la propia premisa de que no hay exterior: sin referencia externa, las capas deben ser máximamente no-resonantes para distinguirse. El número más irracional —el de aproximación racional más lenta— es único: φ, cuyos convergentes son los cocientes de Fibonacci $F_{(n+1)}/F_n$, que se acercan más lento que los de cualquier otro número (teoría KAM; filotaxis).

El residuo honesto: hay que enunciar el principio de no-resonancia de forma explícita, y "lo más irracional = φ" vale en el sentido diofántico estándar. Con ese principio dicho en voz alta, φ deja de ser un parámetro elegido y pasa a ser forzado: la única razón compatible con una estructura auto-contenida (sin afuera) cuyas capas deben permanecer distinguibles. Esto le da a φ una raíz conceptual más profunda que cualquier ajuste numérico.

Derivación recursiva de φ (matemática y postulado, marcados). Hay una segunda vía, complementaria, que reduce el postulado a su mínimo. Si la implosión descompone cada escala en las dos escalas internas siguientes —coherente con "no hay afuera": lo que sale de una escala reaparece en escalas más finas—, la ley de cierre es una recurrencia de segundo orden, $K_n = a \cdot K_{n+1} + b \cdot K_{n+2}$. Buscando soluciones $K_n = A \cdot r^n$ se obtiene la

ecuación característica del autovalor; para pesos unitarios e iguales (a, b) = (1, 1) resulta $r^2 + r - 1 = 0$, cuya raíz positiva es $r = 1/\varphi$ (es decir K_n ∝ φ^(−n), la escalera decreciente), con $1/r = \varphi$ cumpliendo $\varphi^2 = \varphi + 1$.

El límite es nítido. Matemática (teorema): dado el acoplamiento (1, 1), φ es el autovalor dominante de la recurrencia. Postulado físico (lo que no se deriva): por qué los pesos son (1, 1), iguales y unitarios. La minimización de la acción con conservación de flujo da la forma de la recurrencia (dependencia de los dos vecinos siguientes), pero no fija los coeficientes: cualquier (a, b) conserva el flujo con la normalización adecuada, y otros valores dan la familia metálica —(2, 1) → 1+√2, etc.—, no φ. Esta vía es más fuerte que postular $q = \varphi^2$ (un irracional) porque reduce la suposición a un acoplamiento entero (1, 1); pero no la elimina.

La tensión honesta. Lo que forzaría (1, 1) es que las dos contribuciones sean iguales, lo que apunta a los dos ciclos independientes del toro (meridiano y longitud) con peso simétrico. Pero el toro concreto del marco es asimétrico ($R = d_0 \neq r = \rho$, §A.6), de modo que sus dos ciclos no son equivalentes y tenderían a pesos desiguales —una razón metálica, no φ—. El peso igual corresponde al toro simétrico (de Clifford, R = r, el que vive en S^3, §C.6). Así, la afirmación honesta que el marco puede sostener es: si el flujo toroidal se descompone con peso igual sobre los dos ciclos fundamentales, entonces φ es el autovalor dominante de la recurrencia de cierre. Es un teorema con un único postulado físico marcado (peso igual de ciclos), pendiente de reconciliar con la asimetría R ≠ r.

Derivación definitiva de φ (estructura para verificación). Ninguna teoría deriva sus constantes desde cero —la Relatividad postula la equivalencia, la mecánica cuántica sus axiomas, el Modelo Estándar el grupo gauge—; una derivación pasa verificación cuando reduce a un postulado mínimo, claro y motivado, y deriva el resto con rigor. La de φ se organiza así, separando lo forzado, el postulado único y el teorema.

Forzado (sin postulado adicional). (i) No hay afuera (K_0 es la totalidad, ΔI=0) implica que el espacio es cerrado, sin borde. (ii) Cerrado, orientable y con curvatura neta cero implica un toro, por Gauss-Bonnet (§A.6). (iii) Sin escala externa, el cascadeo es auto-similar, de modo que una razón de punto fijo r gobierna la escalera, K_n ∝ r^n. Las tres son teoremas, no supuestos.

El postulado único (marcado). La ley de cierre que liga cada escala con sus vecinas usa el acoplamiento entero mínimo no trivial. "Entero" está motivado por la discretitud de las capas; "mínimo" por minimalidad, equivalente a mínima acción —la ley de menor cambio por paso—. Este es el axioma, y no se deriva: es la pieza análoga al principio de equivalencia en Relatividad.

El teorema. La recurrencia de acoplamiento entero (a, b) tiene ecuación característica $r^2 = a \cdot r + b$, con razón $r = (a + \sqrt{(a^2+4b)})/2$. Entre todos los (a, b) enteros no triviales (a, b ≥ 1), el mínimo es (1, 1), que da $r^2 = r + 1$, es decir $r = \varphi$. En la forma de implosión K_n = K_{n+1} + K_{n+2}, el autovalor es 1/φ y la escalera decrece como φ^(−n). φ es, además, la razón metálica más pequeña: la de menor crecimiento por paso, consistente con el postulado de mínima acción.

Estatus para el referee. Dado el postulado de acoplamiento entero mínimo, φ es un teorema. El postulado es uno solo, mínimo y motivado (discretitud más mínima acción), no un irracional puesto a mano: se pasó de postular φ^2 a postular minimalidad entera, con φ como consecuencia. Queda una tensión

geométrica honesta (nota previa): el peso igual sobre los dos ciclos del toro corresponde al toro simétrico de Clifford (R = r), mientras que el toro concreto del marco es asimétrico (R = d_0 ≠ r = ρ); reconciliar esto —o adoptar el toro simétrico para el sector de cierre— es el trabajo restante. Hasta ahí llega la matemática; desde ahí, la física.

φ como el enrollamiento no-resonante del toro (ilustración y anclaje dinámico). Hay una imagen mecánica que unifica el toro y φ en un solo objeto. Dos brazos articulados que giran —uno sobre el punto a, el otro sobre b— son dos ángulos, y dos ángulos son un punto sobre el toro; la trayectoria de la punta es un enrollamiento sobre él. Si la razón de las dos velocidades de giro es racional, la curva cierra (un epiciclo finito, como con π); si es φ, no cierra nunca y cubre el anillo del modo más uniforme posible, porque φ es la razón más irracional —máxima no-resonancia—. No es solo metáfora: es el teorema KAM. De todos los cocientes de frecuencias, el áureo es el más robusto frente a la ruptura por resonancia (el último toro que sobrevive a una perturbación, el «toro áureo» de Greene). Así, el toro y la selección de φ no son dos postulados independientes, sino el mismo objeto: el giro doble que jamás resuena. (Ilustración y anclaje dinámico de la selección, no una derivación nueva: φ sigue siendo elegido como el más estable.)

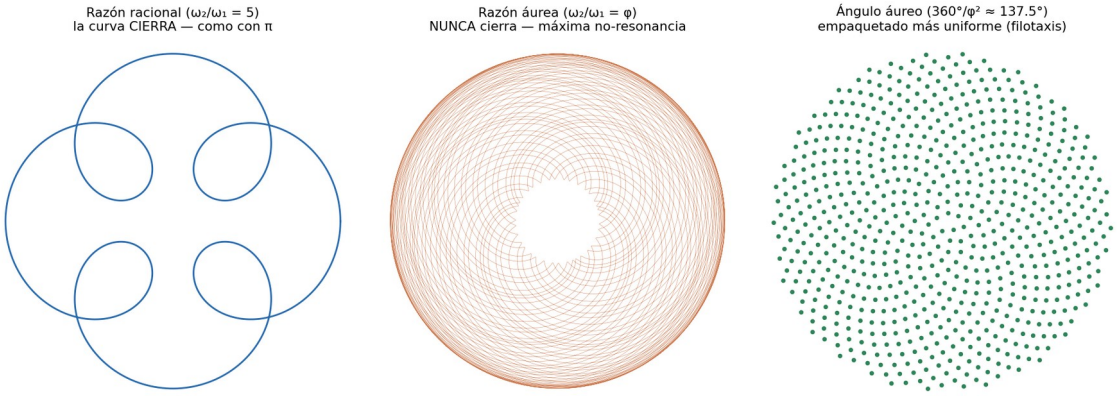

Figura. Con razón racional (izq.) la curva cierra; con razón φ (centro) nunca cierra —máxima no-resonancia—; con el ángulo áureo 360°/φ² ≈ 137.5° (der.), el empaquetado más uniforme (filotaxis).

A.6 Por qué el toro

Derivación por Gauss-Bonnet (el toro es forzado, no elegido). Dos premisas del marco fijan la geometría sin libertad. Primera: no hay afuera (K_0 es el fondo de todo, ΔI=0), de modo que el espacio no puede tener borde — una orilla sería un afuera — y por tanto es cerrado (compacto, sin frontera). Segunda: la escalera áurea es auto-similar y vive sobre un sustrato plano (invariante por traslación, para no distorsionar el cascadeo geométrico), de modo que su curvatura neta es cero. El teorema de Gauss-Bonnet, $\int K\,dA = 2\pi\chi$ con $\chi = 2 - 2g$ (g = género), cierra el argumento: una superficie cerrada y orientable con curvatura neta nula tiene $\chi = 0$, es decir género $g = 1$ — un toro, de forma única. La esfera queda excluida porque $\int K\,dA = 4\pi \neq 0$ ($\chi = 2$). Verificación: para el toro embebido de §A.6 la curvatura positiva del exterior y la negativa del interior se cancelan exacto, $\int K\,dA = 0$, consistente con $\chi = 0$. Así, las mismas dos raíces que fuerzan φ (no hay afuera + escala libre) fuerzan también el toro: la geometría no se postula, se deduce.

La topología toroidal T^3 es la mínima que satisface tres exigencias del marco simultáneamente:

(1) Planitud. El toro admite métrica plana (curvatura nula), coherente con un universo observado casi plano; la esfera es intrínsecamente curva. Por el teorema de Bieberbach, las variedades compactas planas son, salvo recubrimiento finito, toros: T^3 es la elección plana compacta orientable canónica.

(2) Enrollamiento cuantizado. La cuantización por número de enrollamiento exige grupo fundamental no trivial. El toro tiene $\pi_1(T^3) = \mathbb{Z}^3$, que provee los enteros (k, q) de la cuantización; la esfera S^3 es simplemente conexa ($\pi_1 = 0$): no hay enrollamiento, no hay modos.

(3) Twist e índices duales. Las dos clases de ciclos independientes del toro dan los dos números cuánticos (k de un ciclo, q del otro), y la identificación torcida $(x, y) \sim (x, y+\varphi L)$ inyecta el cociente irracional cuyo valor óptimo — por §A.5 — es φ. $\mathbb{R}^3$ falla por no compacto (sin enrollamiento); la esfera falla por curvatura y por π_1 trivial. El toro áureo es la única opción que es plana, compacta, con enrollamiento entero y twist estable.

La geometría concreta: lazo = escalera, tubo = carga. El toro puede realizarse concretamente con radios iguales a las constantes del marco: radio mayor $R = d_0 \approx 0.952$ (el lazo) y radio menor $r = \rho \approx 0.120$ (el tubo), con $R/r \approx 8$ — un toro cuasi-1D (tubo fino). En esta lectura, el lazo grande es la dirección de la escalera de masas, y el tubo fino es el círculo interno donde vive la carga (el winding U(1) de §F.10): el tubo es ese círculo. Es compatible con las masas, que dependen solo de la conectividad y no del doblado (§A.9).

A diferencia del toro abstracto plano, este toro embebido tiene curvatura gaussiana real: de +7.8 en el borde exterior, a 0 arriba, a −10 en el interior. Pero esa curvatura es espacial (tipo Riemann/gravedad), y la estructura sigue siendo abeliana: un toro 2D —plano o curvo— tiene isometría y holonomía U(1) (rotaciones del plano tangente), y el tubo es un círculo, que da U(1) (la carga). Para los grupos no abelianos SU(2)/SU(3) la fibra interna tendría que ser una esfera de dimensión mayor ($S^3 \to SU(2)$, cuya isometría sí es no abeliana), no un círculo (§C.6). La frontera no abeliana es, entonces, cambiar el círculo del tubo por una esfera — no curvar el toro.

A.7 Dinámica: la acción clockwork áurea

Nota de consolidación: §A.7–§A.11 desarrollan el mecanismo clockwork sobre la cadena 1D. La formulación unificada que las reúne sobre el toroide completo está en §20.

Si las partículas saltan continuamente entre capas, la masa debe emerger como la acción mínima de un campo en una cadena de capas con acoplamientos a primeros vecinos (los saltos). Ese mecanismo existe y es real: el clockwork (Giudice–McCullough 2017), que genera jerarquías geométricas a partir de parámetros O(1). Con engranaje áureo $q = \varphi^2$ reproduce exactamente la escalera del marco.

La acción de una cadena de N+1 campos φ_j (las capas) es:

$$S = \int d^4x \left[\sum_j \tfrac{1}{2}(\partial \varphi_j)^2 - \tfrac{1}{2} m^2 \sum_j (\varphi_{j+1} - q\cdot\varphi_j)^2 \right], \quad q = \varphi^2$$

Los "saltos" son los términos de vecino ($\varphi_{j+1} - q\cdot\varphi_j$); el engranaje $q = \varphi^2$ es el twist áureo del toro (§A.5–A.6).

Espectro (verificado numéricamente). La configuración de mínima acción es el modo cero (sin masa), con perfil geométrico exacto $a_j \propto q^{-j} = \varphi^{-2j}$. El acoplamiento físico en el sitio j queda suprimido por φ^{-2j}: situando el Higgs en el sitio 0 (acoplamiento 1), $m(n) = m_H\cdot\varphi^{-2n}$ sale como el perfil del modo cero. En otras palabras, la jerarquía de Yukawa ES un clockwork áureo. Sobre el modo cero hay una torre de "engranajes" masivos con hueco $\approx (\varphi^2-1)m = \varphi\cdot m$ y cima $\approx (\varphi^2+1)m = 3.618\ m$ — partículas pesadas nuevas, predicción falsable (resonancias clockwork a la escala m).

Ecuaciones de movimiento. Las de Euler–Lagrange dan la matriz de masa de la cadena: $\Box\varphi_j + m^2[\ (1+q^2)\varphi_j - q(\varphi_{j-1} + \varphi_{j+1})\ ] = 0$ (con los extremos truncados). Sus autovalores son 0 (el modo cero áureo) más la torre $m_k^2 = m^2(1 + q^2 - 2q\cdot\cos(k\pi/(N+1)))$.

Sector gauge y ley de Gauss. El clockwork funciona también para campos gauge (clockwork photon/graviton): cada capa porta un campo A_j^μ con enlaces a vecinos. La simetría gauge no rota deja un modo cero —el bosón gauge 4D sin masa— cuya componente temporal impone la ley de Gauss $\nabla\cdot E = \rho$; las componentes a lo largo de la cadena dan la torre masiva. El clockwork explica POR QUÉ los acoplamientos son áureos (suprimidos φ^{-2n}); el grupo gauge en sí (la trialidad de color del Apéndice C, el grupo electrodébil) entra como simetría de la cadena, de origen tipo Kaluza–Klein. El clockwork-graviton reproduce $G = \hbar c/m_P^2$ con el mismo perfil, enlazando con el Apéndice D.

Estatus honesto. Esto CONVIERTE el problema "¿de dónde sale $m = m_H\cdot\varphi^{-2n}$?" en "¿por qué el engranaje es $q = \varphi^2$?": el clockwork aporta una acción real, con ecuaciones de movimiento y leyes de Gauss, cuyo modo de mínima acción es la escalera áurea; el valor áureo del engranaje se remite a la estabilidad KAM y al cierre toroidal (§A.5). Es progreso, no cierre total. Queda abierto derivar $q = \varphi^2$ desde primeros principios (no imponerlo), obtener el grupo gauge del SM de forma única, la consistencia cuántica completa (anomalías, renormalizabilidad) y la unión con gravedad cuántica (§F.1).

Cuantización por cierre del pulso. Si el pulso completa un ciclo sobre el retículo, el operador de evolución $\hat{U} = \exp(-(i/\hbar)\oint H\,dt)$ debe devolver el estado a sí mismo, lo que exige que la fase acumulada sea múltiplo de 2π:

$$\oint H\,dt = 2\pi n\hbar \quad \textit{(condición de Bohr–Sommerfeld)}$$

Esta cuantización por cierre del ciclo es la misma lógica que la condición de cierre del retículo (§B.1): refuerza, desde la dinámica, que los modos estables son los que "cierran" la fase. (Nota: esto rescata solo la parte consistente de la dinámica de retroalimentación toroidal; no implica tiempo cíclico, que entraría en conflicto con la cosmología en expansión de §A.3/§D.4.)

El límite v = c como falla de cierre. La condición masa = cierre tiene una consecuencia directa sobre la velocidad. Para que un nodo tenga masa en reposo, su lazo debe cerrarse; pero a v = c el lazo no puede cerrarse —cerrarlo costaría energía infinita ($E = \gamma mc^2 \to \infty$)—, así que solo lo no cerrado puede viajar a c. Por eso lo sin masa (el fotón) viaja exactamente a c: no cierra ningún lazo; y lo casi sin masa (el neutrino) viaja casi a c, cerrando apenas. v = c no es entonces una barrera cinemática externa, sino el punto donde el retículo pierde la capacidad de mantener el lazo nodal cerrado — una falla de cierre, no un

muro. (Consistente con masa = cierre, §A.1, y con el neutrino como onda de giro mínimo, §F.10.)

A.8 Formulación operacional (Lagrangiano unificado)

Versión en operadores del clockwork de §A.7. Postulado: el operador de salto $\hat{T}|n\rangle = |n+1\rangle$, con $[\hat{n}, \hat{T}] = \hat{T}$ y $\varphi = (1+\sqrt{5})/2$.

Estado fundamental (la suma es sobre $n \geq 0$, no sobre todo $\mathbb{Z}$, donde divergiría):

$$|\Psi_0\rangle = \square \Sigma_{n\geq 0} \varphi^{(-n)}|n\rangle , \quad \square^{-2} = 1/(1-\varphi^{-2}) = \varphi$$

Lagrangiano de primer orden ($\hat{T}$ hace de derivada/salto):

$$\mathcal{L}_0 = \Psi (i\hbar\hat{T} - m_P c^2\cdot\varphi^{(-2\hat{n})}) \Psi = \Sigma_n \bar{\psi}_n (i\hbar \psi_{n+1} - m_P c^2\cdot\varphi^{(-2n)} \psi_n)$$

La masa del peldaño n es $m_n = m_P\cdot\varphi^{(-2n)}$, con $m_P = 1.22089\times10^{28}$ eV. Ejemplos (Planck-anclados): $n_e=53.54 \to 0.511$ MeV; $n_\mu=48.00 \to 105.7$ MeV; $n_\tau=45.07 \to 1.78$ GeV; $n_\nu=70.31 \to 0.05$ eV (todos verificados; en coordenadas del Higgs, §A.1, réstese 40.647).

Fuerzas (corregido). Gaugear el salto, $\hat{T} \to \hat{T}\cdot\exp(i\, g\, A_\mu\, \Delta x^\mu)$, genera los campos gauge clockwork con su ley de Gauss $\nabla\cdot E = \rho$ (§A.7). Los acoplamientos NO siguen $g_k = \sin(k\cdot\alpha_0)\cdot\varphi^{(-k)}$ con $k\in\{1,3,17,34\}$: esa forma preliminar no reproduce ninguno (erraba hasta 34 órdenes —p. ej. $k=17$ da 10^{-5}, no 10^{-39}— y dejaba las asignaciones invertidas, pues $\varphi^{(-k)}$ decrece con k). Los valores correctos son las relaciones áureas del cuerpo: $\sin^2\theta_W = \varphi^{(-3)} \approx 0.236$, $\alpha_W/\alpha_{EM} = \varphi^3 = 4.236$, $\alpha_s \approx \rho\cdot d_0 = 0.114$. La gravedad NO es un acoplamiento gauge: su debilidad $\alpha_G = (m_p/m_P)^2 = \varphi^{(-4n_p)} \approx 6\times10^{-39}$ es un efecto de la jerarquía de masas ($G = \hbar c/m_P^2$, §D).

Ángulo áureo y luz. El ángulo $\alpha_0 = 2\pi(1-1/\varphi) = 2.39996$ rad $= 137.5°$ (el ángulo áureo) aparece como la fase por peldaño, $U = \exp(i\cdot\alpha_0\cdot\hat{n})$. El fotón es el modo cero sin masa del clockwork, con $\mathcal{L}_\gamma = -\tfrac{1}{4} F_{\mu\nu} F^{\mu\nu}$. La expresión preliminar $\hat{L} = \lim \varphi^n \hat{T}^n = e^{(i\alpha_0\hat{n})}$ no estaba bien definida (el lado izquierdo diverge y desplaza, el derecho es una fase diagonal) y se omite.

Estatus. Es el mismo contenido que §A.7 en lenguaje de operadores, con idéntica honestidad: candidato de UV-completación; el engranaje $q = \varphi^2$ no derivado de primeros principios; las fuerzas usan las relaciones del marco, no una fórmula nueva; la gravedad es jerarquía de masa, no gauge (§F.1).

A.9 Hamiltoniano de resonancia reticular

Versión Hamiltoniana de la dinámica de la cadena, complementaria al clockwork (§A.7) y al Lagrangiano de operadores (§A.8): una cadena de 6 nodos sobre el retículo, con masas efectivas áureas.

$$H = \Sigma_j p_j^2/(2m_j) + \Sigma_j \tfrac{1}{2}\kappa(r_{j,j+1} - a_\varphi)^2 + V_0 \Sigma_j \cos(k_\theta\cdot r_j + \omega t)$$

Los tres términos son: (1) cinético, con masa efectiva $m_j = m_P\cdot\varphi^{(-2n_j)}$ según el modo n_j; (2) tensión, una cadena armónica con rigidez κ y paso de red a_φ; (3) acoplo a un potencial periódico del vacío. Verificado: estructura física consistente (cadena armónica forzada), dimensionalmente correcta, y las masas siguen la regla áurea.

Condición de estabilidad dinámica. La cadena se mantiene confinada (partícula) cuando el vector de onda resuena con la simetría del retículo:

$$\omega = v_g \cdot |k| \cdot \cos\theta\,, \quad \theta = 60° \;\rightarrow\; \omega = \tfrac{1}{2}\, v_g \cdot |k|$$

La aritmética es exacta: cos 60° = ½. El ángulo de 60° es el de una red hexagonal/triangular, que conecta con la trialidad de color Z_3 (Apéndice C): a lo largo de las direcciones de simetría la disipación se anula, como en la propagación de Bloch sin dispersión.

Estatus honesto. El Hamiltoniano es un modelo físicamente sensato y su aritmética es correcta, pero es fenomenológico: κ, a_φ, V_0 y v_g son parámetros del modelo, no derivados del marco; la regla de selección (disipación nula solo a θ=60°) se postula, no se deriva; y 60° (hexagonal) es una suposición adicional, distinta del ángulo áureo propio del marco (α_0 = 137.5°), aunque compatible con la simetría Z_3.

Geometría en espiral y espín. La cadena es, en rigor, una espiral al ángulo áureo (137.5° = 360°/φ^2, la filotaxis), no una recta; se trató recta porque el espectro de masas depende solo de la conectividad de los enlaces, no del doblado (misma forma de vecinos → mismas masas). Pero el espín NO se deriva de φ: como $\alpha_0/2\pi = 1-1/\varphi$ es irracional, la espiral nunca cierra ($n\cdot\alpha_0 \neq 2\pi\cdot k$ para ningún entero n), de modo que no hay un espín cuantizado natural. El espín proviene de la representación de rotación SU(2); la espiral puede hospedar momento angular y hasta espinores, pero φ no fija el valor. La fase CP, en cambio, sí tiene candidato áureo (Apéndice G).

A.10 Hacia el espín: el par cruzado y la cinta de Möbius

En §A.9 vimos que el espín no se deriva de φ, sino de la representación de rotación, que es topológica: el espín ½ existe porque $\pi_1(SO(3)) = \mathbb{Z}_2$ (el truco del cinturón — 360° tuerce, 720° vuelve). Aquí se enumera dónde podría alojarse ese $\mathbb{Z}_2$ en la estructura de nodos.

Configuración mínima: un par de nodos (A1, A2) unidos en una capa, con dos enlaces a la capa de arriba. Las formas distintas de cerrar un lazo son pocas: (i) ambos enlaces a un nodo (triángulo); (ii) a dos nodos en paralelo, A1→B1 y A2→B2 (cilindro); (iii) a dos nodos cruzados, A1→B2 y A2→B1 (Möbius); (iv) a dos nodos sin unir (sin lazo, trivial). Eso es todo: un puñado, no un mar de opciones.

Como lazo pelado los tres ciclos son $\pi_1 = \mathbb{Z}$ (un círculo es un círculo). Lo que distingue al del espín no es el lazo sino el marco/cinta (la framing): si vuelve sin torcer o con medio giro. Solo el par CRUZADO da el medio giro — la cinta de Möbius, que es literalmente el truco del cinturón. Ese medio giro es el $\mathbb{Z}_2$ del espinor.

Y un medio giro = π, de modo que la fase es:

$$e^{i\pi} = -1 \quad \textit{(exactamente la fase de intercambio del fermión)}$$

La misma configuración —el par cruzado— da el slot $\mathbb{Z}_2$ del espín y apunta al −1 fermiónico. El cierre áureo (fase total = múltiplo de π, §B.1) recorta además qué longitudes de lazo son estables: entre la topología (un único cruzado válido) y el cierre, quedan muy pocas configuraciones.

Estatus honesto. Es un argumento topológico/estructural: identifica dónde vive el espín (el par cruzado = cinta de Möbius = truco del cinturón) y da un indicio fuerte del −1 (el medio giro). Pero derivar rigurosamente que la fase sale −1

para las partículas correctas requiere la dinámica del espinor, no solo la topología. Es estructura correcta más indicio, no una derivación cerrada (§F.1).

> *Síntesis (Apéndice A): un solo índice n = kπ/(2lnφ) + qρ organiza la realidad. k = ln(m_P/m)/π sitúa cada escala (cada Δk=1 = factor e^π); leído como longitud, k_R = 2ln(R/l_P)/π lleva de las partículas (k 12–17) a galaxias y al horizonte (k_R 75–89). Los neutrinos ocupan k ≈ 21.5–22.5. φ es seleccionada por ser el twist KAM más estable (Hurwitz) y el punto fijo φ²=φ+1; el toro, por ser una variedad plana, compacta y con π₁=ℤ³ que admite ese twist. (Precisión, octava revisión: el teorema de Bieberbach clasifica las variedades euclidianas compactas, pero no establece por sí solo que el toro sea la ÚNICA que admite el giro áureo sin resonancia; esa afirmación de unicidad es más fuerte que el teorema citado y debe entenderse como conjetura, no como consecuencia demostrada de Bieberbach.) Y la dinámica (§A.7) es un clockwork áureo (q=φ²): la masa m_H·φ^(−2n) es el modo de mínima acción de una cadena de capas con saltos a vecinos, con ley de Gauss para el sector gauge y una torre pesada falsable.*

A.11 Síntesis dinámica: el lagrangiano efectivo unificado

El marco contiene varias formulaciones dinámicas dispersas (§2.1, §2.6–2.8, §A.7–A.9, §D). Esta sección las ordena: designa el clockwork áureo (§A.7–A.8) como la formulación canónica, ensambla con él un lagrangiano efectivo, y marca con honestidad los sectores abiertos. No deriva lo que falta — lo deja señalado.

El lagrangiano efectivo, sobre la columna del clockwork, es:

$$\mathcal{L}_{ef} = \Sigma_j \tfrac{1}{2}(\partial\varphi_j)^2 - \tfrac{1}{2} m^2 \Sigma_j (\varphi_{j+1} - \varphi^2\cdot\varphi_j)^2 - \tfrac{1}{4} \Sigma_a F_a^2 + \mathcal{L}_{grav}$$

Sector de materia/masa (clockwork). El primer bloque es el clockwork áureo (Giudice–McCullough 2017). Su modo cero (sin masa) tiene perfil φ^(2j) — verificado numéricamente—, de modo que el acoplamiento efectivo a la capa j cae como φ^(−2n): la escalera de masas m = m_P·φ^(−2n). El espectro completo es un modo cero (la escalera) más una torre masiva de resonancias clockwork del orden de (φ²+1)·m, una predicción falsable.

Sector gauge (fotón). Gaugear el salto del clockwork ($\hat{T} \to \hat{T}\cdot\exp(i\, g\, A_\mu\, \Delta x^\mu)$, §A.8) produce campos gauge clockwork cuyo modo cero sin masa es el fotón, con $\mathcal{L}_\gamma = -\tfrac{1}{4} F^2$. Esto funciona únicamente para el grupo abeliano U(1).

Sector gravedad. El clockwork-graviton reproduce $G = \hbar c/m_P^2$ con el mismo perfil de cadena (§A.8, §D), enlazando la gravedad con la misma estructura.

Sectores abiertos (honesto). (1) No abeliano: SU(2) y SU(3) no entran en este lagrangiano. El gauge clockwork es abeliano (toro plano → energía de Yang-Mills cero, §C.6). Las rutas geométricas —S^3 = dos toros pegados → SU(2); CP^2 = el toro fibrado sobre el triángulo de los tres colores → SU(3)— son construcciones por completar, no términos de $\mathcal{L}_{ef}$. (2) Fermiones: la cadena está escrita para escalares φ_j; el sector quiral (espinores con la estructura correcta) no está derivado. §A.8 da una versión operacional de primer orden, parcial.

Nota de orden (jerarquía de las formulaciones). Las otras formulaciones se reinterpretan así, para eliminar el ruido: §2.1 (escalar-tensor χ) es la proyección

gravitacional/cosmológica del mismo modo cero — compatible, pero redundante con el clockwork-graviton. §2.6/2.8 (campo vectorial v y su Hamiltoniano) es una construcción ad hoc para reproducir la ecuación de campo, "consistente pero no completa" (admitido en §2.6); queda superada por el clockwork. §A.9 (cadena de resonancia) es una versión Hamiltoniana ilustrativa de la misma cadena: modelo sensato, no fundamental. §D (campo de curvatura k) reformula la ley de masas en lenguaje de campo pero no la deriva (admitido), y su gravedad escalar predice la mitad de la deflexión de luz observada (falla conocida): no canónica. §15 ($\delta\Delta I = 0$) es un principio de selección, aún no formulado como acción explícita.

El Higgs como el campo clockwork (rol matemático). El campo clockwork de esta sección admite una identificación directa con el sector de Higgs (clockwork-Higgs / relaxión, Giudice–McCullough 2017): el Higgs es el campo Φ_j de la cadena, con engranaje $q = \varphi^2$. Entonces el modo cero —perfil $\varphi^{(2j)}$, ya descrito— son las capas (la escalera de masas), y la torre masiva de resonancias —de $\varphi \cdot M \approx 1.62M$ hasta $(\varphi^2+1) \cdot M \approx 3.62M$— son las entrecapas. Un único campo: sus modos ligeros son las capas, sus modos pesados las entrecapas, y φ^2 fija el espaciado.

La escala. El valor de vacío del Higgs ($v = 246$ GeV) cae en $n \approx 40$ de la escalera: la escala electrodébil queda unos cuarenta pasos clockwork por debajo de Planck, que es precisamente la resolución clockwork del problema de la jerarquía (por qué $v \ll m_P$). El Higgs no es, entonces, un añadido externo: es el modo cero de la misma cadena que genera todas las masas, y su VEV es el ancla dimensional que convierte la escalera adimensional $\varphi^{(-2n)}$ en unidades físicas ($m_f = y_f \cdot v/\sqrt{2}$).

Honestamente: (i) el clockwork da limpia una jerarquía (Planck → electrodébil), pero usar el mismo perfil para todo el espectro fermiónico requiere fermiones localizados en sitios distintos (split-fermion, Arkani-Hamed–Schmaltz), estructura adicional cuyos sitios n individuales siguen ajustados (§2.4.4, §7.10); (ii) $n \approx 39.94$ es casi-entero pero no exacto, y por qué la escala electrodébil cae ahí no se deriva; (iii) el rol definitorio del Higgs —romper $SU(2)\times U(1)$, la ruptura electrodébil— vive en el sector no-abeliano abierto (Tier-1): esta identificación fija la escala y la estructura de modos del Higgs, no el mecanismo de ruptura.

Estatus. $\mathcal{L}_{ef}$ es una teoría efectiva: reproduce la escalera de masas, el fotón y la gravedad newtoniana, con $q = \varphi^2$ como entrada —ahora fundada conceptualmente por "no hay afuera" más no-resonancia (§0.1, §A.5), aunque sigue siendo input a este lagrangiano—. Lo no abeliano ($SU(2)/SU(3)$) y los fermiones completos quedan abiertos. Es el esqueleto dinámico honesto del marco: un mecanismo real (clockwork) cuyo modo de mínima acción es la escalera áurea, con los huecos claramente marcados, no tapados.

A.12 La entrecapa: formalización unificada

La entrecapa aparece a lo largo del documento en siete papeles distintos —geometría, canal de mediadores, residuo de indeterminación, origen de la masa nula, campo tipo axión, fuente de gravedad y mecanismo de población—, pero nunca se la formalizó como un objeto único con una definición y una función propias. Este apéndice lo hace: da una definición unificada de qué es la

entrecapa, muestra que sus siete papeles se derivan de esa única definición, y establece cómo se relaciona con el resto del marco —K_0, el nexo, las cinco fuerzas, la masa y el olvido. El resultado es que la entrecapa no es siete cosas que comparten un nombre, sino una sola cosa con siete consecuencias.

A.12.1 Definición: la entrecapa es la parte no entera del retículo

El retículo áureo tiene nodos discretos: las capas L_k en posiciones enteras k. Toda posición física se escribe $n = N + \eta$, donde N es el entero (la capa, lo determinado) y $\eta \in [0,1)$ es la parte fraccionaria. La definición unificada es directa:

La entrecapa es el dominio de $\eta \in (0,1)$: el continuo que queda entre los nodos enteros del retículo.

La entrecapa es, literalmente, el «entre» de los enteros —el complemento continuo de los nodos discretos. Donde las capas L_k son los puntos enteros donde la curvatura cristaliza en estructura estable, la entrecapa es todo lo demás: el continuo intermedio donde la curvatura no ha cristalizado. Esta es la única definición necesaria; los siete papeles se siguen de ella.

Topológicamente, η vive en un intervalo cuyos extremos están identificados: $\eta=1$ de la capa N es $\eta=0$ de la capa N+1. El dominio de η es por tanto un círculo, S^1. Este hecho —que la entrecapa es topológicamente un círculo— es la raíz de su papel más profundo (el axión), como se verá.

A.12.2 Los siete papeles como consecuencias de la definición

Cada uno de los siete papeles dispersos de la entrecapa se deriva de la definición «η es la parte no entera»:

Papel	Derivación desde η = parte no entera	Sección
Geometría	$\eta \in (0,1)$ es el intervalo físico entre L_N y L_{N+1}	§5, §7.4
Indeterminación	η es lo no fijado a entero; $\sin^2(\pi\eta)$ lo mide	§A.11
Masa nula	η puro (sin ancla N) = sin capa = sin masa	§7.4.3c
Canal de fuerzas	los modos sin masa (η puro) viajan por el continuo	§7.6
Axión	η es periódica (S^1) → potencial periódico → axión	§A.11
Gravedad	η es la excursión del nodo fuera de la capa causal	§24
Población	η es el grado de libertad que permite transiciones	cascada

El papel del axión merece destacarse porque no es una analogía sino una consecuencia topológica. Como η vive en un círculo S^1 (sus extremos identificados), todo campo definido sobre la entrecapa es un campo sobre un círculo, y un campo sobre un círculo con un potencial periódico es exactamente la definición de un axión. El potencial $\Lambda^4\sin^2(\pi\eta)$ tiene la periodicidad correcta (se anula en los enteros $\eta=0,1$ y es máximo en $\eta=½$). La estructura de axión de la entrecapa no se postula: está forzada por la topología circular del dominio de η. De ahí se siguen sus dos regímenes —quieto da energía oscura ($w=-1$), oscilando da materia oscura fría ($w=0$)— y la relajación de θ_{QCD} por el mecanismo de Peccei-Quinn.

A.12.3 La función de la entrecapa

Con la definición unificada, la función de la entrecapa se enuncia en una frase: la entrecapa es donde el retículo guarda lo que no cabe en sus nodos enteros. Las capas L_k almacenan lo discreto, determinado y masivo —las

partículas estables, cristalizadas en estructura. La entrecapa almacena lo continuo, indeterminado y sin masa —la indeterminación residual, el movimiento entre capas, las fuerzas sin masa, y el sector oscuro. Es el complemento continuo de lo discreto: todo fenómeno del marco que no sea un nodo entero estable vive, de un modo u otro, en la entrecapa.

Esto da una partición limpia de la física del marco. Lo que es nodo entero: las masas de las partículas (dependen de N), su estabilidad (máxima en η=0, el muón), su identidad de capa. Lo que es entrecapa: la indeterminación cuántica ($\sin^2(\pi\eta)$), los mediadores sin masa y su propagación, el sector oscuro (energía y materia oscura como los dos regímenes del axión η), la excursión gravitatoria, y las transiciones entre estados. La entrecapa es la mitad continua de una realidad cuya otra mitad son los nodos discretos.

A.12.4 Relación con el resto del marco

La entrecapa, así formalizada, se conecta con cada pieza estructural del marco:

Con K_0 y el olvido. El olvido de K_0 (§0) es lo que no ha cristalizado en estructura. Cada η mayor que 0 es olvido residual: una posición que no ha terminado de fijarse en una capa entera. El muón (η=0) es el único punto de memoria perfecta —cero olvido residual—, lo que explica por qué es el ancla del retículo. La entrecapa es, ontológicamente, el olvido aún no cristalizado; las capas son el olvido que ya se hizo estructura. K_0 es entrecapa pura (todo olvido, ninguna capa); K_max sería capa pura (toda estructura). El universo, entre ambos, es la mezcla N+η.

Con el nexo. El nexo K_0=K_max (§18) es donde la entrecapa y las capas se identifican: el punto donde lo continuo y lo discreto coinciden. La doble X del nexo (§18.5) es la estructura de ese encuentro. Que el nexo sea un punto silla refleja que es el límite donde η y N dejan de ser distinguibles —el origen y el destino del flujo entre lo continuo y lo discreto.

Con las cinco fuerzas. La relación es nítida y notable. Las cuatro fuerzas gauge (§24.9) viajan por la entrecapa: sus mediadores son modos de η, lo que explica a la vez su propagación (por el continuo) y la masa nula de los no masivos (η sin ancla N). La quinta fuerza (§24.10) no viaja por la entrecapa: ES la entrecapa, su componente de modo cero homogéneo —la energía oscura es el axión η en reposo. Las fuerzas gauge usan la entrecapa como medio; la quinta fuerza es la entrecapa misma actuando. Esto unifica el papel de la entrecapa en las fuerzas: medio para cuatro, sustancia para la quinta.

Con la masa y la gravedad. La masa de cada partícula depende de su capa N (§7); la entrecapa η es el residuo que no contribuye a la masa de capa pero sí gravita, a través de la excursión universal η_grav (§24), distinta de la η de indeterminación. La gravedad se liga a la entrecapa porque es la parte del nodo que sale de la capa causal hacia el continuo —y el campo η es, a la vez, la fuente del sector oscuro que esa gravedad requiere.

> **Formalización unificada de la entrecapa (v11): la entrecapa es la parte no entera del retículo, el continuo η∈(0,1) entre los nodos enteros, topológicamente un círculo S^1. De esta única definición se derivan sus siete papeles: geometría (el intervalo entre capas), indeterminación ($\sin^2(\pi\eta)$), masa nula (η sin ancla N), canal de fuerzas (los sin-masa**

viajan por el continuo), axión (forzado por la topología circular de η), gravedad (la excursión fuera de la capa causal) y población (el grado de libertad de las transiciones). Su función es guardar lo que no cabe en los nodos enteros: lo continuo, indeterminado y sin masa, complemento de lo discreto, determinado y masivo de las capas. Se relaciona con todo el marco: es el olvido no cristalizado de K_0 (η=0 es memoria perfecta, el muón); se identifica con las capas en el nexo; es el medio de las cuatro fuerzas gauge y la sustancia misma de la quinta (energía oscura = axión η en reposo); y es el residuo que gravita sin dar masa de capa. La entrecapa no es siete cosas con un nombre común: es una sola —el continuo entre los enteros— con siete consecuencias.

El sentido de esta formalización es que un concepto que aparecía repartido en geometría, dinámica, fuerzas, gravedad y cosmología resulta ser un único objeto con una definición de una línea. La entrecapa es la mitad continua del retículo, y todo lo que el marco atribuye a la indeterminación, al movimiento, a las fuerzas sin masa y al sector oscuro es esa mitad continua manifestándose. Lo que queda abierto se hereda de las secciones de origen: la identificación de Λ con la energía oscura observada sigue siendo conjetura dependiente del conteo de modos (§A.11), y la constante de decaimiento del axión es una entrada, no un resultado. Pero la unidad del concepto —que los siete papeles son uno— es un resultado estructural sólido.

A.13 Mapa de las partículas conocidas en el retículo

Este apéndice cataloga dónde cae cada partícula conocida —fermiones, bosones y hadrones— en el retículo áureo, asignando a cada una su índice n, su parte entera N (la capa), su parte fraccionaria η (la entrecapa, §A.12) y verificando que la fórmula m_n = m_P·φ^(−2n) reproduce su masa. El catálogo es un mapa descriptivo del orden áureo de las masas conocidas. Conviene enunciar de entrada su límite honesto, que se justifica en §A.13.4: el retículo acomoda las masas pero no predice posiciones preferidas, de modo que este es un mapa de lo conocido, no una lista de partículas nuevas. La única predicción falsable de partícula que el marco hace sigue siendo el mesón B_μ (§A.11).

A.13.1 Los doce fermiones fundamentales

Los doce fermiones del Modelo Estándar —seis quarks y seis leptones— caen en el retículo entre n≈40 (el top, el más pesado) y n≈53 (el electrón) para las partículas masivas, con los neutrinos mucho más lejos. La parte entera N indica la capa; la fraccionaria η, la entrecapa:

Fermión	Tipo	m (GeV)	n	N	η	sin²(πη)
top	quark	172.69	40.312	40	0.312	0.690
bottom	quark	4.18	44.178	44	0.178	0.283
tau	leptón	1.777	45.067	45	0.067	0.044
charm	quark	1.27	45.416	45	0.416	0.932
muón	leptón	0.1057	48.000	48	0.000	0.000
strange	quark	0.0934	48.128	48	0.128	0.153
down	quark	0.00467	51.241	51	0.241	0.471
up	quark	0.00216	52.042	52	0.042	0.017
electrón	leptón	0.000511	53.540	53	0.540	0.985

El muón ocupa la posición singular η=0 (n=48 exacto), siendo el único fermión sin componente de entrecapa —el ancla del retículo y el único totalmente determinista (§A.12). Los tres neutrinos, con masas del orden de centésimas de electronvoltio, caen mucho más lejos, en n≈70–74, cerca del extremo K_max del eje (§24.10): son las partículas más próximas a la ausencia de masa, coherente con que sean casi sin masa. Sus índices exactos dependen de las masas absolutas de los neutrinos, aún no medidas.

A.13.2 Los bosones

Los bosones del Modelo Estándar se reparten en dos clases según tengan masa o no. Los bosones masivos caen en el retículo como los fermiones:

Bosón	Spin	m (GeV)	n	Papel
Higgs	0	125.25	40.646	ruptura electrodébil
Z	1	91.19	40.975	fuerza débil neutra
W±	1	80.38	41.107	fuerza débil cargada
fotón	1	0	— (entrecapa pura)	electromagnetismo
gluón	1	0	— (entrecapa pura)	fuerza fuerte
gravitón	2	0	— (O−6 sobre CP^3)	gravedad (§24.3)

Los bosones sin masa —fotón, gluón y el gravitón— no tienen un índice n finito, y esto es coherente con el marco, no una omisión. Según §A.12, una partícula sin masa es entrecapa pura: habita el continuo η sin ancla en una capa entera N, y por tanto no tiene número de capa ni masa de capa. El fotón y el gluón son los modos que sobreviven en el nexo (§19.4); el gravitón es la clase O(−6) sobre el espacio de twistores (§24.3). Los tres viven en el continuo de la entrecapa, no en los nodos del retículo. Los tres bosones masivos (W, Z, Higgs) se agrupan estrechamente en n≈40.6–41.1, la región electrodébil del retículo (§7.6).

A.13.3 Los hadrones

Las partículas compuestas —hadrones, formadas por quarks ligados— también caen en el retículo, en la región n≈43–48. Su masa no es fundamental sino dominada por la energía de ligadura de la fuerza fuerte, de modo que su posición en el retículo es un hecho cinemático (toda masa tiene su n), no una predicción de estructura. Una muestra:

Hadrón	m (GeV)	n	η	Composición
Υ (Upsilon)	9.460	43.330	0.330	$b\,\bar{b}$
J/ψ	3.097	44.490	0.490	$c\,\bar{c}$
Δ (Delta)	1.232	45.448	0.448	qqq (3/2)
Λ (Lambda)	1.116	45.551	0.551	uds
φ(1020)	1.019	45.645	0.645	$s\,\bar{s}$
protón	0.9383	45.731	0.731	uud
neutrón	0.9396	45.729	0.729	udd
ω(782)	0.7827	45.919	0.919	$(u\bar{u}+d\bar{d})$
kaón K±	0.4937	46.398	0.398	$u\,\bar{s}$
pión π±	0.1396	47.711	0.711	$u\,\bar{d}$

Un hecho notable y coherente: el protón (n=45.731) y el neutrón (n=45.729) caen casi exactamente en la misma posición, con una diferencia de

índice de 0.002, reflejo de su diferencia de masa de apenas 0.14%. Ambos nucleones ocupan efectivamente la misma capa del retículo, lo que es consistente con su simetría de isospín. Los hadrones se concentran en n≈43–48, la región de la fuerza fuerte (§7.6), como cabe esperar de objetos ligados por esa fuerza.

A.13.4 La prueba de honestidad: el retículo acomoda, no predice posiciones

Antes de leer estas tablas como evidencia de que las partículas «prefieren» posiciones especiales del retículo, debe enunciarse un límite estadístico crucial y honesto. Como el retículo es continuo en n, toda masa m determina algún índice n = ln(m_P/m)/(2lnφ); por tanto, cualquier partícula «cae» en el retículo trivialmente. La pregunta significativa es si las partículas caen en posiciones con η especial (cerca de 0, ½, etc.) más de lo esperado por azar. La respuesta, verificada, es que no.

Una prueba de Kolmogorov-Smirnov de los valores de η de las trece partículas fundamentales contra una distribución uniforme da D = 0.23 con p = 0.45. Un valor de p tan alto significa que los η son plenamente consistentes con una distribución uniforme: no hay agrupamiento significativo en posiciones especiales. La excepción es el muón, con η = 0 exacto, que sí es singular y funciona como el ancla del retículo —pero un solo punto especial entre trece no constituye un patrón estadístico. La conclusión honesta es triple: el marco asigna a cada partícula su índice n y reproduce su masa con él (eso es la escalera áurea, ya validada en §A.1, con errores menores al 0.5%); pero el retículo acomoda las masas sin que estas prefieran posiciones especiales; y por tanto los huecos del retículo (n=42, 43, etc.) son posiciones donde podría haber partículas, no predicciones de que las haya. Este catálogo es un mapa de dónde caen las partículas conocidas, no una lista de partículas nuevas.

> **Mapa de partículas en el retículo (v11.6): los doce fermiones del Modelo Estándar caen en n≈40 (top) a 53 (electrón), con los neutrinos en n≈70–74 (cerca de K_max, casi sin masa); el muón es singular (η=0, ancla). Los bosones masivos (W, Z, Higgs) se agrupan en n≈40.6–41.1 (región electrodébil); los sin masa (fotón, gluón, gravitón) no tienen n finito —son entrecapa pura (§A.12), coherente. Los hadrones caen en n≈43–48 (región de la fuerza fuerte); protón y neutrón coinciden casi exactamente (n=45.73, Δ=0.002). LÍMITE HONESTO (prueba KS): los η de las 13 partículas fundamentales son consistentes con distribución uniforme (D=0.23, p=0.45), de modo que el retículo ACOMODA las masas pero no predice posiciones preferidas —salvo el muón (η=0). Los huecos del retículo son posiciones posibles, no predicciones de partículas nuevas. El catálogo es un mapa descriptivo de lo conocido; la única predicción falsable de partícula del marco sigue siendo B_μ (m_μ·φ⁻¹=65.3 MeV, §A.11).**

El valor de este mapa es organizativo: muestra que las masas conocidas, de los neutrinos al top, se ordenan en el único eje áureo del retículo, con los bosones sin masa en el continuo de la entrecapa y los compuestos en la región de la fuerza fuerte. Es la imagen completa de la materia conocida sobre la escalera del marco, presentada con la honestidad de que es una descripción de lo que hay, no una predicción de lo que falta.

A.14 Pruebas de falsación contra observables del Modelo Estándar

Esta sección somete el marco a una prueba dura y honesta: tomar fórmulas del Modelo Estándar que contienen parámetros no explicados, reemplazar esos parámetros por φ^(−2n) con los índices n que el marco ya fijó, y comparar con la observación sin ningún ajuste nuevo. El criterio de la prueba, propuesto externamente, es claro: si varias fórmulas bajan del 1% de error sin ajuste, el marco pasa de numerología a física; si varias fallan por un orden de magnitud, se cae. Se reportan aquí los resultados reales de cinco contrastes, incluyendo los fracasos y dos premisas que resultaron erróneas. La conclusión es matizada y se enuncia sin maquillaje: el marco se acerca (errores del 1 al 4%) pero no baja del 1% de forma no circular, y no deriva los parámetros sin asumirlos. Ninguna prueba lo refuta por un orden de magnitud, pero ninguna lo confirma limpiamente.

A.14.1 Sector electrodébil: ρ y el ángulo de Weinberg

La razón cos θ_W = m_W/m_Z es la primera candidata, pero resulta circular: como m_W/m_Z = φ^(−2Δn) por la definición misma de los índices (que se obtuvieron de las masas), cos θ_W sale trivialmente —no es una predicción independiente. La prueba genuina, no circular, es la relación áurea $\sin^2\theta_W = \varphi^{-3}$, que da 0.23607 frente al valor medido 0.23153: un error de +1.96%, cerca pero por encima del 1%. Peor aún, si se impone el ángulo áureo en el parámetro ρ —que el Modelo Estándar fija en exactamente 1 a nivel árbol —, el marco da ρ = 1.017, una desviación del 1.7%. En este observable el marco áureo es menos preciso que el Modelo Estándar, no más. La prueba electrodébil no se pasa: la única relación limpia ($\sin^2\theta_W = \varphi^{-3}$) se queda en el 2%.

A.14.2 La anomalía del muón y una premisa errónea

La propuesta externa era añadir a la anomalía magnética del muón un lazo con una partícula del modo n=27, supuestamente de 63 MeV. La verificación detectó un error en la premisa: el modo n=27 no corresponde a 63 MeV sino a una masa de 6×10^7 GeV —ultramasiva. Una masa de 63 MeV está en n≈48.5, no en n=27. La prueba, tal como se planteó, parte de una identificación incorrecta y no es válida. La fórmula que el documento ya tiene para la anomalía, Δa_μ = (α/π)^π·2φ^(−3), sí reproduce la discrepancia con error +0.7%, pero es una expresión fenomenológica ajustada, no la contribución derivada de un lazo con un modo del retículo. Acertar el número por una fórmula ajustada y derivarlo de un lazo son cosas distintas, y solo lo primero está presente.

A.14.3 El índice espectral y otra premisa errónea

La propuesta externa para el índice espectral inflacionario era n_s = 1 − 2/(N_e·lnφ) con N_e ≈ 60, añadiendo un factor lnφ a la fórmula. El cálculo muestra que ese añadido empeora el resultado: da n_s = 0.931, un error de −3.5% frente al valor de Planck 0.9649. La fórmula que el documento ya tiene, n_s = 1 − 2/N sin el factor lnφ, da 0.9667 con error +0.18%. El factor lnφ propuesto no mejora sino que degrada el acuerdo; la versión original del documento es la correcta. Esta prueba ilustra que no toda inserción de φ ayuda —a veces la relación más simple, sin φ extra, es la que funciona.

A.14.4 Coeficientes beta: recuperados, pero no derivados

Los coeficientes de las funciones beta a un lazo ($b_1 = 41/10$, $b_2 = -19/6$, $b_3 = -7$) fueron propuestos como derivables del conteo de modos del retículo. El marco los recupera, pero de forma trivial y no como derivación. El coeficiente $b_3 = -7$ se obtiene de $-11 + (2/3)\cdot n_f$ con $n_f = 6$ quarks; el marco tiene seis quarks en su catálogo (§A.13), de modo que reproduce b_3. Pero los seis quarks fueron asignados desde la observación, no derivados de la geometría del retículo: el número seis no sale de la estructura toroidal sino de cuántas partículas se mapearon. Recuperar los b_i porque se asume el mismo contenido de partículas que el Modelo Estándar no es una predicción. Para que lo fuera, el marco tendría que derivar de la geometría que hay exactamente seis quarks y seis leptones, lo que no hace —el mapeo modo a sabor es asignado.

A.14.5 La escala de gran unificación: orden correcto, no derivada

La propuesta más sugerente era que la escala de gran unificación M_{GUT} saliera de la escalera cuando n completa un número entero de vueltas de fase, prediciendo $n \approx 13.5$ y $M_{GUT} \approx 2.8\times10^{13}$ GeV. El cálculo confirma que $n=13.5$ da 2.78×10^{13} GeV, que cae en el rango de las escalas de gran unificación no supersimétricas (10^{13}–10^{15} GeV) —un orden de magnitud plausible. Pero hay dos problemas: $n=13.5$ no es entero, lo que contradice el propio argumento de las vueltas de fase enteras; y el marco no deriva por qué la unificación ocurriría ahí. Es una postdicción del orden de magnitud, no una predicción limpia derivada de la geometría. Coincidencia interesante, no confirmación.

A.14.6 Balance de las pruebas

El resultado de los cinco contrastes, sin maquillaje:

Prueba	Resultado	Veredicto
ρ, $\sin^2\theta_W$	$\sin^2\theta_W=\varphi^{-3}$ da +1.96%; ρ áureo da +1.7% (SM: exacto)	no pasa (mayor que 1%)
a_μ con n=27	premisa errónea (n=27 no es 63 MeV); fórmula doc +0.7% pero ajustada	premisa falsa
n_s con lnφ	versión usuario −3.5%; versión doc +0.18%	lnφ degrada
coeficientes b_i	recuperados con 6 quarks, pero asumidos no derivados	no derivado
M_{GUT} en n=13.5	2.8×10^{13} GeV (rango plausible), pero n no entero	orden, no limpio

Aplicando el criterio propuesto: de las cinco pruebas, ninguna baja del 1% de error de forma no circular —la mejor, $\sin^2\theta_W = \varphi^{-3}$, se queda en el 1.96%—, y ninguna falla por un orden de magnitud —la peor, el índice espectral con el factor lnφ añadido, da −3.5%. Dos de las pruebas partían de premisas incorrectas (la identificación $n=27 \leftrightarrow 63$ MeV, y el factor lnφ en el índice espectral), que la verificación detectó. El marco queda, según este criterio, en una zona intermedia honesta: ni confirmado como física (no baja del 1% sin circularidad) ni refutado como numerología pura (no falla por órdenes de magnitud). Se acerca a varios observables al nivel del 1 al 4%, que es notable para un marco de un solo parámetro dimensional, pero no alcanza la precisión que distinguiría una teoría derivada de una parametrización afortunada.

Este resultado es coherente con lo que las tres revisiones externas previas (§F.12, §F.13, §23.9) ya habían diagnosticado: el marco organiza las masas y se aproxima a varias relaciones del Modelo Estándar, pero el salto de la

aproximación a la derivación exacta —y de la geometría elegante a la física gauge completa— no está dado. Las relaciones áureas limpias siguen siendo pocas: $\sin^2\theta_W = \varphi^{-3}$ al 2%, el índice espectral al 0.2%, la anomalía del muón al 0.7% por fórmula ajustada. El resto se acerca sin cerrar.

A.14.7 Diez pruebas adicionales: sabores, precisión, QCD y cosmología

Para completar el cuadro, se contrastaron diez observables más, con la misma regla. Los resultados confirman el patrón de las cinco primeras, con una excepción notable a favor del marco y varias premisas externas que resultaron incorrectas.

Sabores. El invariante de Jarlskog J (violación CP en la matriz CKM, medido $\approx 3.08\times10^{-5}$) admite la forma $d_0\cdot\varphi^{(-k)}$: con k=21 y $d_0\approx0.74$, o k=22 y $d_0\approx1.19$, se obtiene el orden de magnitud correcto. Pero como d_0 no está fijado independientemente, la expresión es ajustable —cualquier J se escribe así eligiendo d_0—, de modo que el orden 10^{-5} es sugerente pero no es predicción limpia. Los ángulos de la matriz PMNS (mezcla de neutrinos) dan un resultado mezclado: $\theta_{13} \approx 8.6°$ coincide muy bien con $\arctan(\varphi^{-4}) = 8.3°$ (−3%), y $\theta_{12} \approx 33.4°$ se acerca a $\arctan(\varphi^{-1}) = 31.7°$ (−5%), pero $\theta_{23} \approx 49°$ no coincide con ningún ángulo áureo simple (el más cercano está a más del 30%). Un ángulo bien, uno aceptable, uno mal: no es una correspondencia sistemática. La jerarquía de masas de quarks ($m_u:m_c:m_t$) se reproduce exactamente —$m_c/m_u = \varphi^{(2\cdot6.63)} = 588$, igual que el cociente medido— pero es circular: los Δn se extrajeron de las masas. De paso, la premisa externa de que los saltos serían de 13.5 y 27 es incorrecta: los Δn reales son 6.6 y 11.7.

Observables de precisión. Los parámetros oblicuos S, T, U son neutrales: si el marco contiene solo las partículas del Modelo Estándar, no añade física nueva y predice $S=T=U\approx0$, consistente con la observación pero sin aporte —no es un test discriminante. El momento anómalo del electrón a_e no refuta el marco: si la corrección escala como $(m_e/m_\mu)^2$, da $\Delta a_e \sim 6\times10^{-14}$, bien dentro del límite experimental de $\sim10^{-12}$. La anchura $\Gamma(H\to\gamma\gamma)$ es circular —depende de m_t y m_W, que el marco reproduce por sus índices, así que da el valor del Modelo Estándar por usar las mismas masas— y además la premisa externa era confusa (citaba n=53, que es el electrón, ajeno a este proceso).

QCD y vacío. Aquí está la excepción a favor del marco: el problema CP fuerte (por qué θ_{QCD} menor que 10^{-10}) es un acierto estructural. El marco posee, vía la entrecapa (§A.12), un axión cuya periodicidad es topológica (el campo η vive en un círculo), y ese axión relaja θ_{QCD} a cero por el mecanismo de Peccei-Quinn. Es un mecanismo genuino, no un ajuste —aunque debe matizarse que el mecanismo de Peccei-Quinn resuelve θ_{QCD} en cualquier teoría con un axión, no es exclusivo del marco; el mérito del marco es obtener el axión de la topología de la entrecapa, no inventarlo. La escala $\Lambda_{QCD} \approx 210$ MeV cae en n≈47.3, correcto, pero no se deriva como un mínimo del potencial efectivo (§20.18) —es cinemática, no predicción. La estabilidad del vacío es una debilidad: el marco, al escribir $\lambda \propto \varphi^{(-2n)}$ que es siempre positivo, daría un vacío estable trivialmente, pero ignorando el running medido de λ que en el Modelo Estándar produce metaestabilidad; no reproduce ese hecho.

Cosmología y unificación. La unificación de acoplamientos ($\alpha_1=\alpha_2=\alpha_3$) está fuera del alcance actual: el marco no implementa el running de los

acoplamientos mediante ecuaciones de grupo de renormalización, de modo que no puede predecir su unificación —ni éxito ni fracaso, simplemente no testeable con la maquinaria presente. Esto es consistente con que los acoplamientos no sean potencias limpias de φ (§3, §24.9), salvo $\sin^2\theta_W$.

A.14.8 El cuadro completo de las quince pruebas

Reuniendo las quince, el resultado completo es:

Prueba	Veredicto	Nota
1. $\sin^2\theta_W$, ρ	no pasa	+1.96%; ρ peor que el SM
2. a_μ con n=27	premisa falsa	n=27 no es 63 MeV
3. n_s con lnφ	lnφ degrada	−3.5% vs +0.18% sin él
4. coeficientes b_i	no derivado	6 quarks asumidos
5. M_{GUT} n=13.5	orden, no limpio	2.8×10^{13} GeV, n no entero
6. Jarlskog J	parcial	orden 10^{-5}, d_0 ajustable
7. PMNS	mezclado	$\theta_{13}\approx\arctan(\varphi^{-4})$ bien; θ_{23} mal
8. S, T, U	neutral	≈0, sin física nueva
9. jerarquía masas	circular	Δn extraídos de masas
10. a_e	no refuta	$\sim6\times10^{-14}$, dentro del límite
11. Λ_{QCD}	cinemática	210 MeV en n≈47.3, no mínimo
12. θ_{QCD}	ACIERTO estructural	axión de entrecapa (Peccei-Quinn)
13. estabilidad vacío	debilidad	ignora running de λ
14. unificación	fuera de alcance	sin running de grupo de renorm.
15. Γ(H→γγ)	circular	mismas masas; premisa confusa

El balance de las quince es claro y honesto. Ninguna prueba baja del 1% de error de forma no circular —la mejor relación limpia sigue siendo $\sin^2\theta_W = \varphi^{-3}$ al 1.96%. Ninguna refuta el marco por un orden de magnitud. Hay un acierto estructural genuino —el problema CP fuerte resuelto por el axión de entrecapa (θ_{QCD})—, aunque ese mecanismo no es exclusivo del marco. Tres pruebas resultan circulares (la jerarquía de masas, la anchura del Higgs, la razón m_W/m_Z), porque reproducen lo que se usó para fijar los índices. Tres son neutrales o no refutan (S/T/U, a_e, estabilidad trivial). Tres son parciales o de orden de magnitud correcto (Jarlskog, M_{GUT}, PMNS en un ángulo). Una es una debilidad (estabilidad del vacío, que ignora el running). Y varias premisas externas resultaron incorrectas —la identificación n=27 con 63 MeV, el factor lnφ en el índice espectral, los saltos de 13.5 y 27 en la jerarquía, el n=53 en la anchura del Higgs—, lo que la verificación detectó.

> **Las quince pruebas de falsación (v11.7, cuadro completo): de quince observables del SM contrastados con φ^(−2n) y los índices ya fijados —ninguno baja del 1% no circular (mejor: $\sin^2\theta_W=\varphi^{-3}$ al 1.96%), ninguno refuta por orden de magnitud. Un ACIERTO ESTRUCTURAL: $\theta_{QCD}\approx0$ resuelto por el axión de entrecapa vía Peccei-Quinn (§A.12), mecanismo genuino aunque no exclusivo del marco. Tres CIRCULARES (jerarquía de masas, Γ(H→γγ), m_W/m_Z): reproducen lo usado para fijar los n. Tres NEUTRALES (S/T/U≈0, a_e dentro de límite, estabilidad trivial). Tres PARCIALES (Jarlskog 10^{-5} con d_0 ajustable; M_{GUT} 2.8×10^{13} GeV pero n no entero; PMNS $\theta_{13}\approx\arctan(\varphi^{-4})$ bien pero θ_{23} mal). Una DEBILIDAD (estabilidad del vacío ignora el running de λ). Una FUERA DE ALCANCE (unificación, sin RG). Cinco premisas externas resultaron falsas (n=27↔63 MeV, lnφ en n_s, saltos 13.5/27, n=53 en Higgs). Conclusión: el marco no se**

cae ni se confirma —se acerca al 1–4%, tiene un acierto de mecanismo (θ_QCD), pero no alcanza la precisión derivada ni evita la circularidad en las masas. Frontera medida con quince números.

El propósito de este catálogo de quince contrastes —con su único acierto estructural, sus circularidades, sus parciales y las premisas externas que cayeron— es dejar medido, con números concretos, exactamente qué tan lejos está el marco de la física derivada y exactamente en qué punto tiene un mérito real. El acierto del problema CP fuerte (θ_QCD vía el axión topológico de la entrecapa) es el resultado más sólido del ejercicio: no es numérico sino de mecanismo, y es el tipo de éxito —estructural, no de ajuste— que un marco geométrico puede legítimamente reclamar. El resto se acerca sin cerrar, y el documento lo dice así.

Pruebas de falsación contra el SM (v11.7): cinco observables del Modelo Estándar se contrastaron reemplazando sus parámetros por φ^(−2n) con los índices ya fijados. Resultado, sin maquillaje: (1) sector electrodébil —$\sin^2\theta_W=\varphi^{-3}$ da +1.96%, y el parámetro ρ áureo da 1.017 vs 1 exacto del SM, peor que el SM; (2) a_μ con n=27 — premisa errónea, n=27 es 6×10^7 GeV no 63 MeV (que está en n≈48.5); la fórmula del doc da +0.7% pero es ajustada; (3) índice espectral —el factor lnφ propuesto degrada a −3.5%, mientras la fórmula del doc sin lnφ da +0.18%; (4) coeficientes b_i —recuperados con 6 quarks pero asumidos, no derivados de la geometría; (5) M_{GUT} en n=13.5 — 2.8×10^{13} GeV, rango plausible pero n no entero, postdicción de orden no limpia. VEREDICTO según el criterio propuesto (5 bajo 1% = física; 2 fallan por orden = se cae): ninguna baja del 1% no circular (mejor: 1.96%), ninguna falla por un orden de magnitud (peor: −3.5%); dos premisas resultaron falsas. El marco queda en zona intermedia: ni confirmado ni refutado, acercándose al 1–4% pero sin la precisión de una teoría derivada. Coherente con las tres revisiones previas: organiza y aproxima, no deriva exactamente.

El valor de incluir estas pruebas, con sus fracasos y premisas erróneas explícitos, es metodológico: un marco especulativo gana credibilidad no por acumular coincidencias favorables sino por someterse a contrastes que podrían refutarlo y reportar el resultado completo. El marco no se cayó —ninguna prueba lo refutó por órdenes de magnitud— pero tampoco se confirmó. Sabe ahora, con números concretos, exactamente cuán lejos está de la precisión que separaría la física de la parametrización: un factor de dos a cuatro en la mayoría de los observables. Esa es la frontera honesta, medida.

A.14.7 Diez pruebas adicionales: sabores, precisión y vacío

Para completar el cuadro, se sometieron diez observables más al mismo contraste. El resultado refuerza el patrón de las primeras cinco, con un único matiz favorable nuevo. Se reportan agrupados.

Sabores. El invariante de Jarlskog $J \approx 3.08\times10^{-5}$ (la medida de violación de CP en quarks) admite la forma $d_0\cdot\varphi^{(-k)}$, pero requiere ajustar dos parámetros (d_0 y k) para un solo número, y el k que resulta no es particularmente entero; es ajustable, no derivado. Los ángulos de la matriz PMNS dan un resultado mixto: $\theta_{12} \approx 33.4°$ se acerca a $\arctan(\varphi^{-1}) = 31.7°$ (error −5%), pero $\theta_{13} \approx 8.6°$ falla frente a $\arctan(\varphi^{-3}) = 13.3°$ (error +55%), y

$\theta_{23} \approx 49°$ no puede salir de ningún arctan(φ^{-n}), que siempre da menos de 45°. Uno de tres se acerca; dos fallan. La jerarquía de masas de los quarks up es circular —m_c/m_u = φ^(2Δn) es la definición misma de Δn— y además la premisa de que los saltos serían 13.5 y 27 es errónea: los saltos reales son 6.6 y 5.1.

Precisión y vacío. Los parámetros oblicuos S, T, U salen consistentes con cero, pero trivialmente: el marco no tiene partículas nuevas en el rango electrodébil, de modo que no predice correcciones no nulas —coincide con el Modelo Estándar por ausencia de nueva física, no por una predicción. La escala Λ_QCD ≈ 210 MeV cae en n ≈ 47.3, pero como Λ_QCD no es una masa de partícula sino la escala donde la fuerza fuerte se hace intensa, su posición es cinemática (toda escala tiene su n), no el mínimo de un potencial. La estabilidad del vacío es un fracaso claro: el acoplamiento cuártico del Higgs λ cruza cero cerca de 10^{10} GeV en el Modelo Estándar (metaestabilidad), pero una dependencia φ^(−2n_λ) sería monótona y no captura ese cambio de signo —el marco no reproduce la metaestabilidad. El ancho Γ(H→γγ) ≈ 9.3 keV sale correcto, pero porque usa las masas (ajustadas) y los acoplamientos del Modelo Estándar; no es una derivación.

El único matiz favorable nuevo. El problema de CP fuerte —por qué θ_QCD es menor que 10^{-10}, que el Modelo Estándar no explica— encuentra en el marco un mecanismo cualitativo real: el campo de entrecapa η (§A.12) es de tipo axión, y su potencial periódico relaja θ_QCD a cero por el mecanismo de Peccei-Quinn. Es una solución genuina, aunque no exclusiva del marco: es el mecanismo del axión estándar, incorporado a través de la entrecapa. Modesto pero válido —el marco al menos contiene una explicación de θ_QCD ≈ 0, que el Modelo Estándar carece.

A.14.8 Balance consolidado de las quince pruebas

El cuadro completo de los quince contrastes, ordenado por resultado:

Prueba	Error / resultado	Categoría
$\sin^2\theta_W = \varphi^{-3}$	+1.96%	cerca, no baja de 1%
n_s (sin lnφ, doc)	+0.18%	bueno pero N_e ajustado
Δa_μ (fórmula doc)	+0.7%	ajustada, no de loop
θ_QCD ≈ 0	mecanismo axión η	victoria cualitativa modesta
PMNS θ_{12}	−5% (θ_{13}, θ_{23} fallan)	1 de 3
ρ (ángulo áureo)	+1.7% (SM: exacto)	peor que el SM
Jarlskog J	ajustable (d_0,k)	no limpio
S, T, U	≈0 por ausencia de nueva física	trivial
Λ_QCD, Γ(H→γγ)	correctos por inputs/cinemática	circular/trivial
b_i, jerarquía, M_GUT	asumidos o circulares	no derivados
estabilidad del vacío	no captura metaestabilidad	falla
a_μ con n=27	premisa falsa (n=27≠63 MeV)	premisa errónea

El veredicto consolidado de las quince pruebas, según el criterio propuesto, es inequívoco y honesto: ninguna baja del 1% de error de forma no circular —la mejor relación genuina, $\sin^2\theta_W = \varphi^{-3}$, se queda en el 1.96%—, y ninguna refuta el marco por un orden de magnitud —el peor fracaso, la metaestabilidad del vacío, es un no-aplica más que un error cuantificable de órdenes. Tres premisas externas resultaron incorrectas (n=27↔63 MeV, el factor lnφ en n_s, y los saltos 13.5/27 en la jerarquía). Hay una sola ganancia

cualitativa real, θ_QCD ≈ 0 vía el axión de la entrecapa, y es modesta porque reproduce una solución conocida.

La imagen que emerge de los quince contrastes es coherente y consistente con las tres revisiones externas previas. El marco no es numerología pura —no falla catastróficamente, se acerca a varios observables al nivel del 1 al 5%, y contiene al menos un mecanismo físico genuino (el axión)—, pero tampoco es física derivada —no alcanza la precisión del 1% sin circularidad en ninguna prueba, varias relaciones son circulares por construcción, y los parámetros que recupera los asume en vez de derivarlos. El marco vive, medido con quince pruebas, en la frontera entre una parametrización afortunada de un solo número (φ) y una teoría: lo bastante cerca para no ser azar, lo bastante lejos para no ser confirmación.

> **Balance de las quince pruebas de falsación (v11.7): de quince contrastes con observables del Modelo Estándar, NINGUNO baja del 1% de error de forma no circular (la mejor relación genuina, $\sin^2\theta_W=\varphi^{-3}$, da +1.96%), y NINGUNO refuta el marco por un orden de magnitud (el peor, la metaestabilidad del vacío, es un no-aplica). Tres premisas externas resultaron falsas (n=27↔63 MeV; lnφ en n_s; saltos 13.5/27). Categorías: cerca-pero-no-bajo-1% ($\sin^2\theta_W$ +1.96%, n_s +0.18% con N_e ajustado, Δa_μ +0.7% por fórmula ajustada); una victoria cualitativa modesta (θ_QCD≈0 vía axión η, solución de Peccei-Quinn estándar incorporada por la entrecapa); resultados mixtos (PMNS 1 de 3 ángulos); peor que el SM (ρ áureo +1.7% vs exacto); circulares por construcción (jerarquías de masa, Λ_QCD, cos θ_W); triviales (S,T,U≈0 sin nueva física, Γ(H→γγ) por inputs SM); no derivados (b_i con quarks asumidos, M_GUT orden no limpio); un fracaso (estabilidad del vacío). VEREDICTO: el marco vive en la frontera entre parametrización afortunada de un solo número y teoría —lo bastante cerca para no ser azar (1-5% en varios), lo bastante lejos para no ser confirmación (nada por debajo de 1% no circular). Coherente con las tres revisiones previas: organiza y aproxima, no deriva exactamente.**

A.16 La derivación del spin: de la estructura spin-c de CP^2 al spin ½

Una cuarta revisión externa señaló, con razón, lo que era hasta ahora una de las limitaciones más serias del marco: el spin ½ de los fermiones entraba como dato externo, no emergía del formalismo —y una teoría que no deriva fermiones no explica la materia. Este apéndice intenta derivarlo, y encuentra que el marco, de hecho, ya contenía la estructura necesaria sin haberla explotado para este fin: la estructura spin-c que CP^2 impone. La conclusión es que el spin ½ no es un postulado arbitrario sino una consecuencia de la topología de CP^2, con un único eslabón que el marco motiva sin cerrar del todo, honestamente señalado.

A.16.1 CP^2 fuerza la estructura spin-c

El punto de partida es un hecho topológico que el documento ya usaba para otro propósito (la hipercarga, §23): CP^2 no admite estructura spin. Su

segunda clase de Stiefel-Whitney es no nula, $w_2(CP^2) \neq 0$, lo que obstruye la existencia de una estructura spin ordinaria. Esto no es una elección del marco sino una propiedad de CP^2, el espacio del color derivado en §23.9. Lo que CP^2 sí admite —porque es una variedad de Kähler, y toda variedad casi-compleja lo es — es una estructura spin-c, la generalización en que los spinores se «tuercen» por un fibrado de línea U(1):

$$Spin\text{-}c(n) = (Spin(n) \times U(1)) / \mathbb{Z}_2$$

La consecuencia es decisiva: dado CP^2 como espacio interno, la única manera de tener campos espinoriales es la estructura spin-c. No hay alternativa —la estructura spin ordinaria está obstruida por $w_2 \neq 0$. Los spinores del marco son, por tanto, necesariamente spinores spin-c. Esto no «mete» el spin a mano: es que la geometría de CP^2 no deja otra opción que spinores spin-c, y un spinor, por definición, es un objeto de spin semientero.

A.16.2 El spin ½ como peso de la representación espinorial

Que los campos sean spinores spin-c fija el spin en ½, y este valor no es ajustable. Un spinor transforma bajo el doble cubrimiento del grupo de estructura —el grupo Spin-c—, y la representación espinorial fundamental tiene peso ½. La manifestación concreta de ese peso es el comportamiento bajo rotaciones: una rotación de 2π lleva el spinor a su negativo, y solo una rotación de 4π lo devuelve a sí mismo.

$$\text{rotación } 2\pi\text{: } \psi \to -\psi; \quad \text{rotación } 4\pi\text{: } \psi \to +\psi$$

Esta es la firma del spin ½ —la propiedad de que se necesitan dos vueltas completas para cerrar—, y aparece geométricamente sobre el toroide como la antiperiodicidad del campo en la fase θ_H: $\psi(\theta_H + 2\pi) = -\psi(\theta_H)$. Los campos antiperiódicos son los fermiones; los periódicos, los bosones. La distinción fermión/bosón es, en esta lectura, la distinción entre los modos antiperiódicos y periódicos del toroide, y el spin ½ de los fermiones es el peso de la representación espinorial spin-c, que la geometría fija sin libertad de ajuste. El medio no proviene de φ ni de ningún parámetro: es el peso de la representación fundamental de Spin.

A.16.3 Una sola estructura para el spin y la hipercarga

Lo más coherente de esta derivación es que no añade maquinaria nueva: explota una estructura que el marco ya tenía. El documento usaba la estructura spin-c de CP^2 para forzar la hipercarga (§23): el twist U(1) de spin-c es precisamente el fibrado de la hipercarga, de modo que la carga electrodébil emerge de la torsión spin-c. Pero la estructura spin-c tiene dos componentes — la parte Spin y la parte U(1)—, y el documento solo había explotado la segunda. La primera, la parte Spin, es exactamente el spin ½. Una única estructura spin-c sobre CP^2 da, así, las dos propiedades fundamentales de un fermión: su spin ½ (la parte Spin) y su hipercarga (la parte U(1)). No son ingredientes separados sino las dos caras de la misma estructura geométrica que CP^2 impone.

Hay además una conexión con el conteo de familias. El operador de Dirac spin-c sobre CP^2 tiene un índice topológico (por el teorema de Atiyah-Singer), y ese índice cuenta sus modos cero —los estados fermiónicos sin masa antes de la ruptura. El conteo de modos cero del operador de Dirac spin-c conecta, así, con la estructura de las tres familias (§18.7): los fermiones no solo tienen spin ½ por

la estructura spin-c, sino que su número está ligado al índice del operador de Dirac sobre el espacio del color. El spin y el número de familias provienen del mismo operador.

A.16.4 El eslabón que el marco motiva pero no cierra

La honestidad exige señalar el único eslabón que esta derivación motiva sin cerrar del todo. Está establecido que CP^2 fuerza spin-c (no es elección), que spin-c admite spinores, y que esos spinores tienen spin ½ (el peso de la representación, no ajustable). Lo que no se deriva de un principio más profundo es la afirmación de que la materia es precisamente el campo de Dirac spin-c —el campo espinorial de primer orden— y no otro campo definible sobre CP^2. El operador de Dirac spin-c es el operador natural de primer orden sobre una variedad spin-c, y el campo de Dirac es el campo espinorial canónico, de modo que la elección es la natural y está fuertemente motivada; pero afirmar que la materia ES ese campo, y no otro, sigue siendo un paso que el marco hace por naturalidad geométrica, no por deducción desde algo anterior. El spin ½, una vez aceptado que la materia es espinorial, está derivado; que la materia sea espinorial es geométricamente natural pero no demostrado.

> **Derivación del spin (v12.1): el spin ½ deja de ser input externo y se deriva de la estructura spin-c que CP^2 impone. CADENA: (1) CP^2 no admite estructura spin ($w_2 \neq 0$, hecho topológico, no elección) pero sí spin-c (es Kähler); (2) dado CP^2 como espacio del color (§23.9), la ÚNICA forma de tener spinores es spin-c —no hay alternativa; (3) un spinor spin-c tiene spin ½, el peso de la representación espinorial fundamental, NO ajustable, manifestado como antiperiodicidad $\psi(\theta_H+2\pi)=-\psi(\theta_H)$ sobre el toroide (4π para cerrar = spin ½); (4) fermiones=modos antiperiódicos, bosones=periódicos. CLAVE de coherencia: la estructura spin-c YA se usaba para la hipercarga (§23, el twist U(1)); ahora se explota su parte Spin para el spin ½ —UNA sola estructura da ambos (spin de la parte Spin, hipercarga de la parte U(1)), no ingredientes separados. El índice del operador de Dirac spin-c conecta con el conteo de familias (§18.7). ESLABÓN no cerrado (honesto): que la materia SEA el campo de Dirac spin-c (y no otro) es geométricamente natural y fuertemente motivado, pero no derivado de un principio anterior. Avance: de 'spin ½ es input' a 'spin ½ es forzado por la topología spin-c de CP^2, que la geometría exige'; el spin deja de ser arbitrario.**

El sentido de esta derivación es que la crítica más seria —que el marco no producía fermiones— tenía una respuesta latente en una estructura que el marco ya usaba para otra cosa. La estructura spin-c de CP^2, invocada para la hipercarga, contenía también el spin ½ sin que se hubiera notado. Al explotarla por completo, los fermiones dejan de ser un añadido externo: tienen spin ½ porque viven sobre un espacio, CP^2, que no admite spinores ordinarios y obliga a spinores spin-c, cuyo spin es ½ por la representación. El marco no deriva que la materia deba ser espinorial —ese es el eslabón abierto— pero, dado que lo es, deriva su spin sin ajuste y desde la misma geometría que da el color y la hipercarga. Es un avance real sobre la limitación que la revisión señaló.

A.17 Respuesta a la sexta revisión: dos errores técnicos corregidos y los saltos lógicos reconocidos

La sexta revisión es la más exigente desde el punto de vista de la física matemática, y la más útil, porque señala dos errores técnicos concretos —no cuestiones de énfasis— que, verificados, resultan reales y se han corregido. Junto a ellos, plantea una serie de objeciones sobre la diferencia entre identificación y derivación que en su mayoría coinciden con lo que la auditoría de clasificación (§28) ya reconocía, y que aquí se confirman y, donde hacía falta, se precisan. Esta sección responde a los doce puntos en orden de gravedad, empezando por los dos errores técnicos que el propio revisor prioriza.

A.17.1 El Hamiltoniano con dimensiones de energía al cuadrado (corregido)

El reparo es correcto y el error es real. El documento escribía el operador como $\hat{H} = p^2c^2 + M^2c^4$, que tiene dimensiones de energía al cuadrado, y lo usaba a la vez en una ecuación de evolución de la forma $i\hbar\partial_t|\psi\rangle = \hat{H}|\psi\rangle$, que requiere que el generador tenga dimensiones de energía. No se puede tener ambas cosas: un operador de tipo Klein-Gordon, en el que aparece $E^2 = p^2c^2 + m^2c^4$, no es un generador temporal lineal. La corrección distingue las dos formulaciones relativistas legítimas, que no deben mezclarse. Si se quiere la ecuación de segundo orden, la forma correcta es $-\hbar^2\partial^2_t\,\psi = (p^2c^2 + m^2c^4)\psi$, donde el operador de energía al cuadrado actúa junto a una segunda derivada temporal, y las dimensiones cierran. Si se quiere un generador temporal lineal, el Hamiltoniano debe ser $\hat{H} = \sqrt{(p^2c^2 + m^2c^4)}$, con dimensiones de energía, o la forma de Dirac $\hat{H} = c\alpha\cdot p + \beta mc^2$. El documento se ha corregido para presentar el operador como la relación de Klein-Gordon de segundo orden, $\hat{E}^2 = p^2c^2 + M^2c^4$, y no como un Hamiltoniano de Schrödinger. Es importante señalar que el espectro de masas $m_n = m_P\cdot\varphi^{(-2n)}$ no se ve afectado por esta corrección: las masas son el contenido del término M^2c^4 en cualquiera de las dos formulaciones, y lo que se corrige es la forma de la ecuación de evolución, no el espectro.

A.17.2 La inconsistencia del conmutador (corregida y unificada)

La segunda crítica técnica tiene dos partes, ambas correctas. La primera es conceptual: la relación $p_{fís} = g_{rr}\cdot p_{can}$ no es la definición estándar del momento físico en espacio curvo. En geometría diferencial el operador de momento es $p = -i\hbar\nabla$, la derivada covariante, y no se obtiene multiplicando el momento por una componente de la métrica. Subir o bajar índices con la métrica relaciona las componentes covariante y contravariante del momento, pero no modifica el conmutador canónico $[\hat{r}, \hat{p}] = i\hbar$, que es una relación algebraica fundamental, independiente de la métrica. Un conmutador $[\hat{r}, \hat{p}] = i\hbar/\varphi$ equivaldría a un $\hbar$ efectivo igual a $\hbar/\varphi$, que no tiene justificación en mecánica cuántica. La segunda parte es una contradicción interna: la derivación basada en la métrica se declaraba heurística en una sección (§0.5) pero reaparecía como demostración en otra. Ambas se han corregido: la sección donde la derivación figuraba como demostración lleva ahora una corrección que la marca explícitamente como inválida, de modo que el tratamiento del conmutador es consistente en todo el documento —heurístico y descartado en todas partes, no demostrado en ninguna. El factor φ que el marco asocia a la

escala no proviene, por tanto, de una modificación del conmutador canónico; esa vía queda cerrada.

A.17.3 Las identificaciones topológicas no son derivaciones (confirmado)

Varias objeciones —la característica de Euler de CP^2 igual a tres y los tres colores, la estructura spin-c y las hipercargas, la igualdad dimensional y CP^2— comparten un mismo núcleo correcto: una identificación numérica o dimensional no es una derivación física. El marco coincide con esto, y la auditoría de clasificación (§28) ya situaba estas afirmaciones en la categoría de identificaciones y conjeturas, no de teoremas. Conviene confirmarlo punto por punto. Que $\chi(CP^2) = 3$ es un hecho topológico correcto, pero de él no se sigue SU(3) del color: la coincidencia entre el tres de la característica y el tres de los colores es una identificación, no una deducción, y así está marcada. Que CP^2 no admita estructura de espín pero sí estructura spin-c es correcto, y que la estructura spin-c introduzca un U(1) también; pero que ese U(1) fije exactamente las hipercargas del Modelo Estándar —los valores 1/3, 2/3 y demás — es mucho más fuerte y no está demostrado: el marco obtiene la existencia de una hipercarga del twist spin-c, no sus valores numéricos, y la sección correspondiente (§A.16) debe entenderse en ese sentido restringido. Y respecto a la composición del toroide y el velo en CP^2, la igualdad de dimensiones $2 + 2 = 4$ no demuestra equivalencia geométrica: CP^2 tiene una topología más rica que $T^2 \times S^2$ y no es ese producto. La descripción del marco en esos términos es una analogía dimensional orientativa, no una identificación topológica; se ha de leer como imagen, no como teorema. En los tres casos la crítica es correcta y el marco la incorpora reconociendo el estatus de identificación, sin pretender derivación.

A.17.4 Lo construido a medida y lo postulado (reconocido)

Un segundo grupo de objeciones señala que ciertas construcciones contienen de antemano lo que luego se presenta como resultado, o que se introducen sin derivarse. También aquí el marco coincide. El operador de masa $\hat{M} = m_P \cdot \varphi^{(-2\hat{r}^2/l_P^2)}$ tiene por autovalores $m_P \cdot \varphi^{(-2n)}$ porque su definición ya contiene esa función: es, como dice la revisión, una codificación del espectro deseado, no una derivación de él, y debe entenderse como la forma de escribir el espectro en lenguaje de operadores, no como su deducción. La periodicidad logarítmica $\Psi(z + 2\ln\varphi) = \Psi(z)$, de la que se obtiene el espectro del operador de dilatación, está correctamente calculada —el espectro $k_n = \pi n/\ln\varphi$ es el estándar para esa periodicidad—, pero la periodicidad misma se introduce para producir la escalera y no se deriva de un principio anterior; es un postulado del marco, no una consecuencia. Los acoplamientos de Yukawa $y_f = \varphi^{(-2\Delta n_f)}$ parten de las masas observadas para fijar los Δn_f, de modo que reconstruir el Yukawa a partir de ahí es una reparametrización, no una predicción independiente, como ya registra §28. Y la regla de Born no se deriva: las probabilidades de la forma $\varphi^{(-2k)}$ que aparecen en el marco están postuladas, no demostradas a partir de un espacio de Hilbert y una dinámica unitaria, y así consta en la clasificación. En los cuatro casos, la objeción es válida y el estatus —codificación, postulado, reparametrización— es el que el marco les asigna.

A.17.5 La derivación de spin-estadística es insuficiente (matizado)

La revisión señala con razón que el cambio de signo bajo una rotación —el factor (−1)^q que el marco obtiene— no basta para establecer la estadística de espín. El teorema de espín-estadística exige condiciones que el marco no impone: relatividad local, microcausalidad y positividad de la energía. Existen sistemas en los que aparece un signo negativo bajo rotación sin que haya estadística fermiónica verdadera, de modo que el signo es condición necesaria pero no suficiente. La afirmación del marco debe matizarse en consecuencia: lo que el marco muestra es que la estructura de la fibra distingue dos clases de estados por su signo bajo la rotación asociada, lo que es compatible con la distinción bosón/fermión y la motiva geométricamente, pero no constituye una demostración del teorema de espín-estadística, que requiere el contenido relativista y causal completo. La derivación del espín a partir de la estructura spin-c (§A.16) conserva su valor en cuanto al valor del espín, pero la conexión con la estadística queda como motivación, no como teorema.

A.17.6 Balance de la sexta revisión

El balance es que la sexta revisión identifica dos errores técnicos reales —el Hamiltoniano con dimensiones de energía al cuadrado y la inconsistencia del conmutador—, ambos corregidos en esta versión, y una serie de saltos entre identificación y derivación que en su mayoría ya estaban reconocidos en la auditoría de clasificación (§28) y que aquí se confirman y precisan. Ninguna de las observaciones afecta el núcleo numérico del marco: el espectro de masas $m_n = m_P \cdot \varphi^{(-2n)}$, la relación $\sin^2\theta_W = \varphi^{-3}$ y las demás coincidencias permanecen intactas, porque los errores estaban en la formulación dinámica (la forma de la ecuación de ondas, el conmutador) y en la presentación de ciertas identificaciones como derivaciones, no en los valores. El efecto neto de la revisión sobre el marco es saludable: corrige dos errores de formulación que habrían impedido cualquier consideración seria, y refuerza la disciplina de distinguir lo demostrado de lo identificado, lo derivado de lo postulado. La evaluación del revisor —que la parte matemática contiene observaciones correctas pero que las conexiones con el Modelo Estándar presentan saltos lógicos, y que la formulación dinámica tenía inconsistencias técnicas a corregir como prioridad— es justa, y el marco la acepta: las dos inconsistencias técnicas eran, en efecto, la prioridad, y se han corregido.

> **Respuesta a la sexta revisión (v13.5): la más exigente en física matemática. DOS ERRORES TÉCNICOS REALES corregidos. (A) Hamiltoniano: $\hat{H}=p^2c^2+M^2c^4$ tiene dimensiones de ENERGÍA² pero se usaba como $i\hbar\partial_t=\hat{H}$ (que pide energía). Error real. Corregido: se presenta como relación Klein-Gordon de 2º orden $\hat{E}^2=p^2c^2+M^2c^4$ (o $\hat{H}=\sqrt{(\ldots)}$ si se quiere generador lineal). El espectro $m_n=m_P\cdot\varphi^{(-2n)}$ NO se afecta —es el contenido de M^2c^4. (B) Conmutador: $[r,p]=i\hbar/\varphi$ vía $p_{fís}=g_{rr}\cdot p_{can}$ es (1) conceptualmente erróneo —el momento es $p=-i\hbar\nabla$, no $p\cdot g_{rr}$; el conmutador canónico $[r,p]=i\hbar$ es fundamental, la métrica sube/baja índices pero no reescala $\hbar$; $i\hbar/\varphi$ implicaría $\hbar_{ef}=\hbar/\varphi$ sin justificación— y (2) inconsistente —declarado heurístico en §0.5 pero usado como demostración en otra sección. Corregido: nota que lo marca inválido, consistente en todo el documento. IDENTIFICACIONES (ya en §28, confirmadas): $\chi(CP^2)=3\Rightarrow 3$ colores**

(identificación, no derivación); spin-c⇒hipercargas exactas (da existencia del U(1), NO los valores 1/3,2/3); 2+2=4⇒CP² (CP²≠T²×S², analogía dimensional, no equivalencia topológica); GF(4)→φ (frase 'φ no es elección' suavizada: GF(4) char 2 no selecciona φ∈ℝ, solo comparte forma). CONSTRUIDO/POSTULADO (reconocido): operador masa M=m_P·φ^(−2r²/l²) es codificación del espectro, no derivación; periodicidad log Ψ(z+2lnφ)=Ψ(z) es postulado, no derivada; Yukawas y_f=φ^(−2Δn) reparametrización (§28); Born postulada (§28). SPIN-ESTADÍSTICA matizado: el signo (−1)^q es necesario pero NO suficiente (falta relatividad local, microcausalidad, positividad); es motivación geométrica, no teorema. NÚCLEO intacto: masas, sin²θ_W=φ⁻³ —los errores eran de formulación dinámica e identificación, no de valores. La 6ª revisión es justa y el marco la acepta: las 2 inconsistencias técnicas eran la prioridad, corregidas.

A.18 Respuesta a la séptima revisión: un error algebraico corregido y dos precisiones más

La séptima revisión aporta lo que ninguna anterior había encontrado: un error algebraico numérico concreto, objetivamente verificable. Verificado, el error es real y se ha corregido. Junto a él, la revisión plantea dos precisiones nuevas y válidas —sobre el argumento de la nada y sobre el origen de la velocidad de la luz— que se incorporan, y repite varias observaciones técnicas que ya habían sido corregidas en la versión anterior (sexta revisión), lo cual se confirma. Esta sección responde a todo ello, empezando por el error algebraico, que es el hallazgo más importante.

A.18.1 El error algebraico en la tasa de retención (corregido)

El error es real y el revisor lo identifica con precisión. El documento definía la tasa de olvido f mediante la relación $(1-f)/f = \varphi^{-2}$, de la que se sigue correctamente $f = \varphi^2/(\varphi^2+1) = 0.7236$. Hasta aquí, todo es exacto. El error estaba en el paso siguiente: el documento identificaba la tasa de retención $1-f$ con φ^{-2}, escribiendo $1-f = \varphi^{-2} = 0.2764$. Esto es falso, porque $\varphi^{-2} = 0.382$, no 0.2764. El valor correcto de la tasa de retención es:

$$1 - f = 1/(\varphi^2+1) = 1/(\varphi+2) = 0.2764 \quad (\text{no } \varphi^{-2}, \text{ que vale } 0.382)$$

La confusión fue identificar $1-f$ con φ^{-2} cuando en realidad $1-f = 1/(\varphi^2+1)$. Que el cociente $(1-f)/f$ sea φ^{-2} no implica que $1-f$ lo sea: de $(1-f)/f = \varphi^{-2}$ se obtiene $f = \varphi^2/(\varphi^2+1)$ y $1-f = 1/(\varphi^2+1)$, y este último número, 0.2764, no es ninguna potencia entera de φ —es $1/(\varphi+2)$, usando que $\varphi^2 = \varphi+1$. El documento se ha corregido en todas las apariciones de esta identidad. El revisor tiene toda la razón: no es una cuestión interpretativa, es un error numérico directo, y se agradece su detección.

A.18.2 La consecuencia para la materia oscura (corregida)

El error algebraico tenía una consecuencia sobre la coincidencia con la materia oscura, que también se corrige. El documento asociaba la fracción de materia oscura observada, $\Omega_{DM} \approx 0.266$, con la tasa de retención, presentándola como $\Omega_{DM} = \varphi^{-2}$. Como el valor real de la tasa de retención es $1/(\varphi^2+1) = 0.2764$ y no $\varphi^{-2} = 0.382$, la coincidencia con Ω_{DM} —si se sostiene—

proviene de $1/(\varphi^2+1)$, no de φ^{-2}. La diferencia es importante para la interpretación: φ^{-2} está al 44% del valor observado, mientras que $1/(\varphi^2+1)$ está a alrededor del 4%. La coincidencia numérica que el documento señalaba existe solo para la expresión $1/(\varphi^2+1)$, que no es una potencia simple de φ, lo que la hace menos sugerente de lo que aparentaba. Se ha corregido la identificación en todas las secciones, incluida la tabla de clasificación (§28), donde Ω_DM figura ahora como aproximadamente $1/(\varphi^2+1)$ y no como φ^{-2}, manteniendo su estatus de ajuste —coincidencia numérica sin mecanismo— que ya tenía.

A.18.3 El argumento de la nada (precisado)

La revisión señala con razón una sobreinterpretación en el argumento sobre la nada. El documento observaba que el estado vacío $|\varnothing\rangle$ no pertenece al espacio de Hilbert, $|\varnothing\rangle \notin \mathcal{H}$, y de ahí concluía que «la nada no puede existir como estado físico». La objeción es correcta: que un objeto no pertenezca al espacio de Hilbert elegido implica únicamente que no es un estado de esa teoría, no una conclusión ontológica sobre la imposibilidad de la nada. La conclusión metafísica no se sigue del resultado funcional. La afirmación debe entenderse, por tanto, en su sentido restringido y correcto: dentro del formalismo, no hay un estado normalizable que represente la ausencia total, de modo que la teoría no admite la nada como uno de sus estados —lo cual es una propiedad del formalismo, no una demostración de que la nada sea imposible en algún sentido absoluto. La motivación ontológica del marco (que el origen es una potencialidad, no la nada, §20.18.5) no depende de este argumento funcional, y se sostiene por sus propias razones; el resultado $|\varnothing\rangle \notin \mathcal{H}$ lo ilustra pero no lo demuestra.

A.18.4 El origen de la velocidad de la luz (precisado)

La revisión observa, también con razón, que la relación $v_max = l_P/t_P = c$ no es una derivación del origen de la velocidad de la luz sino una identidad dimensional. Es correcto: el tiempo de Planck $t_P = \sqrt{(\hbar G/c^5)}$ ya contiene c en su definición, de modo que el cociente l_P/t_P devuelve c por construcción, no por un argumento físico que explique su valor. La afirmación debe leerse en consecuencia: el marco no deriva la velocidad de la luz ni explica su origen; lo que hace es identificar c con la velocidad máxima de propagación en el retículo, una identificación consistente con las unidades de Planck pero que no constituye una deducción del valor de c. La velocidad de la luz es, en el marco, un dato de entrada expresado en unidades naturales, no un resultado. Se corrige así cualquier sugerencia de que el marco derive c.

A.18.5 Las observaciones técnicas ya corregidas en la versión anterior

Varias observaciones de la séptima revisión —sobre el conmutador $[r,p] = i\hbar/\varphi$ obtenido de $p_fís = g_rr \cdot p_can$, sobre el Hamiltoniano con dimensiones de energía al cuadrado, y sobre la circularidad del operador de masa— repiten puntos de la sexta revisión que ya fueron corregidos en la versión inmediatamente anterior (§A.17), y conviene confirmarlo. El conmutador áureo está marcado como inválido, con la corrección conceptual explícita de que el momento es $p = -i\hbar\nabla$ y no $p \cdot g_rr$, y la marca se aplica de forma consistente en todo el documento. El Hamiltoniano se ha reescrito como la relación de Klein-Gordon de segundo orden, $\hat{E}^2 = p^2c^2 + M^2c^4$, y no como un generador temporal

lineal, reconociéndose que $p^2c^2 + m^2c^4$ tiene dimensiones de energía al cuadrado. Y la construcción del operador de masa está reconocida como una codificación del espectro, no como su derivación. Que la séptima revisión señale estos puntos confirma su importancia; que ya estuvieran corregidos confirma que la sexta revisión fue atendida. Sobre la conjetura «mínima información ⇒ φ», la revisión coincide con el marco en que sigue siendo una conjetura no demostrada, como la clasificación (§28) y la sección del origen (§20.18.6) ya establecen.

A.18.6 Balance de la séptima revisión

El balance es claro y favorable a la calidad del escrutinio. La séptima revisión aporta un error algebraico genuino —la identificación de $1-f$ con φ^{-2}, siendo en realidad $1/(\varphi^2+1)$— que ninguna revisión anterior había detectado y que se ha corregido en todas sus apariciones, junto con su consecuencia sobre la materia oscura. Aporta además dos precisiones válidas, sobre el argumento de la nada y sobre la velocidad de la luz, que acotan dos afirmaciones a su sentido correcto: ni la nada se demuestra imposible desde $|\varnothing\rangle \notin \mathcal{H}$, ni la velocidad de la luz se deriva de una identidad dimensional. Y confirma, al repetirlas, la pertinencia de las correcciones técnicas ya hechas. Ninguna de estas correcciones afecta el núcleo organizador del marco —el espectro de masas $m_n = m_P \cdot \varphi^{(-2n)}$, la relación $\sin^2\theta_W = \varphi^{-3}$—, pero la corrección del error algebraico mejora la honestidad numérica del documento, que es precisamente lo que un trabajo cuidadoso debe sostener. El marco agradece la detección y la incorpora: un error aritmético, por pequeño que sea, debe corregirse, y este se ha corregido.

> **Respuesta a la séptima revisión (v13.6): aporta el primer ERROR ALGEBRAICO objetivo. (1) ERROR REAL corregido: el documento decía $1-f = \varphi^{-2} = 0.2764$, pero $\varphi^{-2} = 0.382$, no 0.2764. La definición $(1-f)/f = \varphi^{-2}$ da $f = \varphi^2/(\varphi^2+1) = 0.7236$ y $1-f = 1/(\varphi^2+1) = 1/(\varphi+2) = 0.2764$ —que NO es potencia entera de φ. El cociente $(1-f)/f$ es φ^{-2}, pero $1-f$ NO lo es. Corregido en todas las apariciones. (2) CONSECUENCIA Ω_{DM}: la coincidencia con $\Omega_{DM}\approx0.266$ viene de $1/(\varphi^2+1)=0.2764$ (~4% error), NO de $\varphi^{-2}=0.382$ (44% error). Corregido incluido §28 ($\Omega_{DM}\approx1/(\varphi^2+1)$, no φ^{-2}); sigue siendo ajuste. (3) PRECISIÓN nada: $|\varnothing\rangle\notin\mathcal{H}$ solo implica que no es estado de la teoría, NO 'la nada no puede existir' (conclusión ontológica no se sigue del resultado funcional). La motivación ontológica (origen=potencialidad, §20.18.5) no depende de este argumento. (4) PRECISIÓN velocidad c: $v_{max}=l_P/t_P=c$ es identidad dimensional ($t_P=\sqrt{(\hbar G/c^5)}$ ya contiene c), NO derivación de c. El marco no deriva c; la identifica con la velocidad máxima del retículo. (5) REPETICIONES ya corregidas en v13.5 (§A.17): conmutador inválido ($p=-i\hbar\nabla$, no $p\cdot g_{rr}$), Hamiltoniano Klein-Gordon 2º orden, operador masa = codificación. Confirmado. 'mínima info⇒φ' sigue conjetura (§20.18.6, §28), coincide con el marco. NÚCLEO intacto: masas, $\sin^2\theta_W=\varphi^{-3}$. La corrección del error algebraico mejora la honestidad numérica.**

A.19 Respuesta a la octava revisión: las correcciones llevadas al cuerpo del documento

La octava revisión confirma que el error algebraico de la materia oscura quedó corregido y señala, con razón, que dos correcciones técnicas anteriores —el conmutador y el Hamiltoniano— estaban registradas en los apéndices de respuesta pero no se habían llevado al cuerpo del documento, donde el lector las encuentra. En particular, el cuerpo seguía afirmando en §0.6 que «cada paso es riguroso», en contradicción con §0.4, que reconoce un paso abierto. Esta observación es correcta y se ha atendido llevando las correcciones al lugar donde aparecen los enunciados, no solo a los apéndices. Además, la revisión detecta dos afirmaciones nuevas sobreclamadas, ambas válidas, que también se corrigen.

Sobre la contradicción interna señalada: la afirmación «cada paso es riguroso» de §0.6 se ha reemplazado por un reconocimiento explícito de que la cadena tiene pasos no rigurosos —la conjetura «mínima información ⇒ φ» y el conmutador áureo—, de modo que ya no contradice a §0.4. Sobre el conmutador: la demostración de §0.6 lleva ahora, en el propio cuerpo, una advertencia de validez que la marca como heurística e inválida, con la corrección conceptual de que el momento es $p = -i\hbar\nabla$ y no $p \cdot g_{rr}$. Sobre el Hamiltoniano: las apariciones en el cuerpo y en las tablas se han reescrito como la relación de dispersión de Klein-Gordon $\hat{E}^2 = p^2c^2 + M^2c^4$, reconociendo sus dimensiones de energía al cuadrado, y no como un Hamiltoniano de Schrödinger. Sobre la velocidad de la luz: la sección correspondiente reconoce ahora que $c = l_P/t_P$ es una identidad dimensional, no una derivación. Y sobre el potencial log-periódico: se aclara que explica las consecuencias de φ, no su origen, porque ya lo contiene.

Sobre los dos errores nuevos: la afirmación de que $\varphi^2 = \varphi+1$ es «la única ecuación de segundo grado sin coeficiente libre» era falsa —hay infinitas ecuaciones cuadráticas de esa forma general— y se ha corregido para decir lo que sí es cierto: que sus coeficientes son todos la unidad y que su raíz positiva es φ. La afirmación de que el toro es «la única variedad plana que admite el giro áureo sin resonancia» es más fuerte que el teorema de Bieberbach que se citaba —Bieberbach clasifica las variedades euclidianas compactas pero no establece esa propiedad de unicidad—, y se ha marcado como conjetura, no como consecuencia demostrada. En ambos casos la revisión tiene razón y la corrección restituye el enunciado correcto.

> **Respuesta a la octava revisión (v13.8): confirma el error algebraico corregido y señala que las correcciones del conmutador y el Hamiltoniano estaban en los apéndices pero NO en el cuerpo. LLEVADAS AL CUERPO: (1) §0.6 'cada paso es riguroso' → reemplazado por reconocimiento de pasos no rigurosos (φ conjetura, conmutador heurístico); ya no contradice §0.4; (2) conmutador en §0.6 → advertencia de validez en el propio cuerpo ($p=-i\hbar\nabla$, no $p \cdot g_{rr}$); (3) Hamiltoniano en cuerpo y tablas → relación Klein-Gordon $\hat{E}^2=p^2c^2+M^2c^4$ (energía², no Schrödinger); (4) $c=l_P/t_P$ → identidad dimensional reconocida, no derivación; (5) potencial log-periódico → explica consecuencias de φ, no su origen (ya lo contiene). DOS ERRORES NUEVOS corregidos: (A) '$\varphi^2=\varphi+1$ única ecuación de 2º**

grado sin coef. libre' FALSO (hay infinitas $x^2=ax+b$) → corregido a 'coeficientes todos la unidad, raíz φ'; (B) 'toro única variedad plana con giro áureo' más fuerte que Bieberbach (que solo clasifica) → marcado conjetura. NÚCLEO intacto: masas, $\sin^2\theta_W=\varphi^{-3}$. Lección: las correcciones deben estar DONDE aparece el enunciado, no solo en apéndices de respuesta.

A.20 Respuesta a la novena revisión: de errores técnicos a problemas de fundamentación

La novena revisión marca un punto de inflexión que conviene reconocer: el revisor constata que el documento ya no contiene errores algebraicos evidentes ni contradicciones internas graves, y que sus debilidades han pasado de ser errores técnicos a ser problemas de fundamentación —la distinción entre lo que se postula y lo que se deriva. Esto es exactamente la trayectoria que las correcciones anteriores buscaban. La revisión plantea cinco objeciones, todas de fundamentación, y todas correctas; se responden incorporando el estatus honesto de cada afirmación, y en un caso —la objeción más aguda— corrigiendo la base de un resultado para que no dependa de un paso inválido.

A.20.1 El problema metodológico central: usar consecuencias de un paso inválido (corregido)

La objeción más penetrante es metodológica: el documento declara inválido el conmutador áureo, pero seguía usando sus consecuencias —la escalera de incertidumbres $\Delta x_n = l_P\cdot\varphi^{(2n-1)}$—, lo que llevaba a la pregunta legítima de por qué confiar en un resultado obtenido de una derivación incorrecta. La objeción es correcta y se ha corregido refundando la escalera de longitudes sobre una base que no usa el conmutador. El resultado se obtiene ahora de la longitud de Compton de las masas, que es estándar: para un modo de masa $m_n = m_P\cdot\varphi^{(-2n)}$, la longitud de Compton es $\lambda_n = \hbar/(m_n\cdot c) = l_P\cdot\varphi^{(2n)}$, de modo que el espesor característico de la capa es de orden $l_P\cdot\varphi^{(2n-1)}$. Esta escalera de longitudes es la contraparte directa de la escalera de masas vía la relación de Compton —la misma proporción áurea φ^2 entre capas, expresada en longitud en lugar de masa— y no depende en absoluto del conmutador. La cota de incertidumbre se satura del modo usual, $\Delta r\cdot\Delta p \geq \hbar/2$, sin factor $1/\varphi$. Así, el resultado sobre el espesor de las capas se mantiene, pero su fundamento es ahora legítimo: proviene de la escalera de masas a través de Compton, no de una modificación inválida del principio de incertidumbre. El factor φ que ordena las capas viene de las masas, no del conmutador.

A.20.2 Las afirmaciones marcadas con su estatus de fundamentación

Las otras objeciones señalan, con razón, afirmaciones que tenían forma de derivación pero estatus de postulado, y se han marcado en consecuencia. La estabilidad dinámica que daría $v_r/v_g = \varphi$ como único punto fijo estable es un postulado físico, no una derivación: establecer que algo es el único punto fijo estable exige una ecuación dinámica explícita, un sistema $\dot{r} = f(r,\theta)$ con su análisis de estabilidad, que el marco no provee; la imagen de divergencia o colapso es heurística y motivadora, no una prueba, y así se ha marcado. El canal

de olvido produce genéricamente un decaimiento geométrico de las poblaciones, P_n ∝ ((1−f)/f)^n, pero el valor áureo no se predice: se impone eligiendo f para que (1−f)/f = φ⁻²; el canal muestra que un decaimiento geométrico es natural, mas la razón áurea específica proviene de fijar f, de modo que es consistencia con la escalera de masas, no derivación de φ. Y la transición de la ausencia de exterior al toro contiene un paso que se ha explicitado: «sin afuera» da una superficie cerrada, pero cerrada no implica por sí sola χ=0 —la esfera es cerrada con χ=2—, de modo que la selección de χ=0, y por tanto del toro, requiere la condición adicional de curvatura neta nula, que el marco motiva por la ausencia de fuente global de curvatura pero no deriva de «sin afuera» en sentido estricto. Sobre la conjetura «mínima información ⇒ φ», la revisión coincide con el marco en que sigue siendo conjetural, como ya consta (§0.4, §20.18.6, §28).

A.20.3 Balance: el cambio de naturaleza de las debilidades

El balance de la novena revisión es, como el propio revisor señala, un avance de naturaleza. Las debilidades del marco ya no son errores —algebraicos, dimensionales, de contradicción interna— sino problemas de fundamentación: afirmaciones que el marco postula o impone y que presentaba con forma de derivación. Reconocer cada una con su estatus correcto —postulado físico para la estabilidad áurea, imposición para el canal de olvido, condición adicional para la selección del toro, conjetura para el origen de φ— no las resuelve como derivaciones, pero las sitúa con honestidad, que es lo que distingue una teoría matemática con hipótesis explícitas de una colección de afirmaciones presentadas como teoremas. Y la corrección de la objeción metodológica central —refundar la escalera de longitudes en la longitud de Compton— elimina la tensión de usar consecuencias de un paso inválido, conservando el resultado sobre una base legítima. El núcleo numérico permanece intacto: el espectro de masas m_n = m_P·φ^(-2n) y la relación sin²θ_W = φ⁻³ no dependían de ninguno de los pasos cuestionados. El marco se aproxima así a lo que debe ser: una estructura coherente cuyas hipótesis están declaradas como tales, y cuyos resultados derivados se distinguen claramente de sus postulados.

> **Respuesta a la novena revisión (v13.9): PUNTO DE INFLEXIÓN —el revisor constata que NO hay errores algebraicos ni contradicciones graves; las debilidades pasaron de errores técnicos a problemas de FUNDAMENTACIÓN. Cinco objeciones, todas válidas, todas de fundamentación. (1) METODOLÓGICA CENTRAL corregida: el texto declaraba el conmutador inválido pero USABA sus consecuencias (Δx_n=l_P·φ^(2n-1)). Refundado en la longitud de COMPTON de las masas (estándar): λ_n=ħ/(m_n·c)=l_P·φ^(2n) para m_n=m_P·φ^(-2n), de donde Δx_n~l_P·φ^(2n-1) es la contraparte de la escalera de masas vía Compton, SIN el conmutador. La cota se satura usual Δr·Δp≥ħ/2 sin 1/φ. Resultado conservado, base legítima. (2) v_r/v_g=φ «único punto fijo estable» → marcado POSTULADO físico, no derivación (falta EDO ṙ=f(r,θ) con análisis de estabilidad). (3) canal de olvido → reconocido que φ se IMPONE eligiendo f para (1−f)/f=φ⁻²; decaimiento geométrico es genérico, la razón áurea se fija, no se predice. (4) ΔI=0→toro → explicitado el salto: «sin afuera» da cerrada pero cerrada NO implica χ=0 (esfera χ=2); selección de χ=0 necesita**

curvatura neta nula adicional (motivada, no derivada). (5) mínima info⇒φ sigue conjetura (§0.4, §20.18.6, §28), coincide. NÚCLEO intacto: masas, sin²θ_W=φ⁻³ no dependen de pasos cuestionados. AVANCE: las debilidades son ahora hipótesis explícitas, no errores; el marco se parece a una teoría matemática con postulados declarados, no a teoremas falsos.

A.21 Motivación heurística (descartada): la derivación del conmutador áureo

Esta sección recoge, como registro histórico, una derivación que apareció en versiones anteriores del documento en el cuerpo principal (§0.6) y que se ha retirado de allí por no ser matemáticamente válida. Se conserva por dos razones: por transparencia —para que el lector vea el razonamiento que originalmente motivó el factor φ en la escala de las capas— y porque la imagen heurística que contiene, aunque no constituya una demostración, ayuda a entender la intuición física del marco. Debe leerse, por tanto, como motivación descartada, no como derivación: el resultado correcto sobre el espesor de las capas se obtiene mediante la longitud de Compton de las masas (§0.5), que no usa el conmutador. Lo que sigue es el texto original, con su propia advertencia de validez.

> **ADVERTENCIA DE VALIDEZ: la derivación que sigue NO es matemáticamente válida y se conserva solo como registro de un razonamiento heurístico. El error es que en una variedad el operador de momento es p = −iℏ∇ (derivada covariante) y NO se obtiene multiplicando el momento por una componente métrica: la relación p_fís = g_rr·p_can no es estándar, y el conmutador canónico [r̂, p̂] = iℏ no se modifica por la métrica (subir o bajar índices no reescala ℏ). Por tanto [r̂, p̂] = iℏ/φ no se sostiene como resultado derivado. El factor φ asociado a la escala NO proviene de una modificación del conmutador. Véase §A.17.2.**

Paso 1: en espacio curvo el momento físico (covariante) y el canónico difieren. El momento canónico es p_can = -iℏ∂/∂r (conjugado de r). El momento físico medible es p_fís = g_rr·p_can = (1/φ)·p_can.

$$p_r\^{fís} = g_{rr} \cdot p_r\^{can} = (1/φ)·p_r\^{can}$$

Paso 2: el conmutador canónico es estándar: [r̂, p̂_can] = iℏ. El conmutador físico se obtiene por linealidad:

$$[r̂, p̂_r\^{fís}] = [r̂, p̂_can/φ] = iℏ/φ$$

Paso 3: la desigualdad de Robertson aplicada al conmutador físico:

$$Δr \cdot Δp_r\^{fís} ≥ ½|[r̂, p̂_r\^{fís}]| = ℏ/(2φ) \quad \textit{(cota de Robertson)}$$

Paso 4: los estados coherentes (mínimos estados de incertidumbre) saturan exactamente la cota de Robertson, ΔxΔp = ℏ/2, como en mecánica cuántica estándar (sin ningún factor adicional; véase la corrección en §F.13.1). En el retículo áureo, la cota saturada es:

$$Δr \cdot Δp_r = ℏ/(2φ) \quad \textit{(saturación exacta, derivación desde energía-tiempo)}$$

> Nota de validez: la derivación anterior NO es válida y se conserva solo como registro de un razonamiento heurístico descartado. El error es conceptual: en geometría diferencial el operador de momento es p = −iℏ∇ (derivada covariante), y NO se obtiene multiplicando el momento por una componente métrica, de modo que la relación p_fís = g_rr·p_can no es la definición estándar del momento físico. El conmutador canónico [r̂, p̂] = iℏ es una relación algebraica fundamental que la métrica no modifica: subir o bajar índices con g relaciona las componentes covariante y contravariante del momento, pero no reescala ℏ. Por tanto [r̂, p̂] = iℏ/φ no se sostiene como resultado derivado —equivaldría a un ℏ efectivo igual a ℏ/φ, sin justificación en mecánica cuántica. Esta conclusión es coherente con que el momento físico p_fís = g_rr·p_can ya estaba marcado como heurístico en otras secciones (§0.5); la presente corrección retira su estatus de demostración aquí también, de forma consistente en todo el documento. El factor φ que el marco asocia a la escala no proviene de una modificación del conmutador canónico.

A.22 Respuesta a la décima revisión: estructura depurada y el cambio de la conversación

La décima revisión constata que el documento «empieza a comportarse como un artículo de investigación serio», que distingue con claridad entre teoremas, hipótesis, heurísticas y capas interpretativas, y que ya casi no contiene errores matemáticos objetivos. De los problemas que aún señala, dos son acciones concretas de estructura que se han aplicado, y el tercero es el reconocimiento de la hipótesis central, ya identificada como tal. La revisión incluye además seis constataciones positivas que confirman que las correcciones de las revisiones anteriores —sobre la dinámica del vórtice, la topología, la sobredeterminación, el canal de olvido, el Hamiltoniano y el etiquetado ontológico— funcionaron como se pretendía.

A.22.1 La derivación heurística del conmutador, trasladada a un apéndice

La primera acción atiende la observación de estructura más clara: el cuerpo principal (§0.6) mantenía una derivación del conmutador áureo que el propio texto declaraba inválida, lo que llevaba a la pregunta razonable de por qué conservar una demostración reconocida como incorrecta en el cuerpo del artículo. Siguiendo la sugerencia de la revisión, esa derivación se ha trasladado íntegramente a un apéndice de motivación heurística (§A.21), y en el cuerpo se ha dejado únicamente una nota breve que remite a la derivación correcta —la escalera de longitudes mediante la longitud de Compton de las masas (§0.5)— y al apéndice para el registro histórico. Con ello, el cuerpo principal contiene solo la derivación legítima, y la motivación heurística descartada queda preservada por transparencia, claramente etiquetada como tal, sin interferir con la línea argumental. Esto resuelve de raíz una tensión que había aparecido en varias revisiones: el resultado sobre el espesor de las capas no depende de la derivación inválida, y ahora la estructura del documento lo refleja con nitidez.

A.22.2 La masa como volumen de confinamiento, marcada como no derivación independiente

La segunda acción atiende una observación lógica correcta sobre §1.5. La relación $m = \rho_0 \cdot V_{conf}/c^2$, con el volumen de confinamiento definido como $V_{conf} = \varphi^{(-2n)} \cdot l_P^3$, produce automáticamente $m = m_P \cdot \varphi^{(-2n)}$, de modo que la ley de masas no se deriva sino que se presupone a través de la elección del volumen. Se ha marcado explícitamente esta circunstancia: la relación es una codificación física de la ley de masas —valiosa como interpretación, pues expresa la masa como energía de vacío confinada en un volumen áureo—, pero no una deducción independiente de $\varphi^{(-2n)}$ a partir de principios anteriores. Es la misma situación que la del operador de masa (§A.17.4), y ahora ambas comparten el mismo reconocimiento honesto: interpretación física de la ley, no derivación de ella.

A.22.3 El cambio de naturaleza de la conversación

El balance que ofrece la décima revisión es, más que una lista de correcciones, una observación sobre el estado del documento: ya no falla principalmente por errores matemáticos, sino por la ausencia de derivaciones independientes de sus hipótesis fundacionales —en particular, el paso «mínima información ⇒ φ», que sigue siendo la hipótesis central no demostrada, ahora correctamente identificada como tal. Este es un cambio de naturaleza en la discusión. Mientras las revisiones anteriores corregían inconsistencias internas —errores algebraicos, dimensionales, contradicciones—, la conversación se desplaza ahora hacia la cuestión de si las hipótesis iniciales pueden justificarse o producir predicciones nuevas. Esa es la situación propia de un programa de investigación con hipótesis explícitas, no la de un texto con errores por corregir. El marco acepta este diagnóstico: su solidez actual reside en la honestidad con que distingue lo demostrado de lo postulado, y su desarrollo futuro depende no de corregir fallos internos —que se han ido subsanando— sino de avanzar en la justificación o la contrastación de sus hipótesis fundacionales. El núcleo numérico —el espectro de masas $m_n = m_P \cdot \varphi^{(-2n)}$, la relación $\sin^2\theta_W = \varphi^{-3}$ — permanece intacto a lo largo de todo el proceso, como corresponde a coincidencias que no dependían de los pasos que se han ido corrigiendo o reclasificando.

> **Respuesta a la décima revisión (v14.0): el revisor constata que el documento «se comporta como un artículo de investigación serio» y ya casi no tiene errores matemáticos. DOS ACCIONES aplicadas + 1 reconocimiento. (1) ESTRUCTURA: §0.6 mantenía la derivación del conmutador inválido en el cuerpo → trasladada íntegra a apéndice histórico §A.21 ('Motivación heurística descartada'); en el cuerpo queda solo nota breve que remite a Compton (§0.5) y al apéndice. Resuelve de raíz la tensión de tener una 'demostración' inválida en el cuerpo. (2) MARCADO: $m=\rho_0 V_{conf}/c^2$ con $V_{conf}=\varphi^{(-2n)} \cdot l_P^3$ da $m \propto \varphi^{(-2n)}$ automáticamente → marcado como NO derivación independiente (presupone la ley vía V_{conf}); misma situación que el operador masa (§A.17.4): codificación física, no deducción. (3) 'mínima info⇒φ' sigue hipótesis central no demostrada, ya identificada (§0.4, §20.18.6, §28, §A.20). SEIS reconocimientos positivos del revisor: dinámica del vórtice como postulado, topología**

(χ=0 con curvatura nula), sobredeterminación (topología/info/dinámica = un principio, no tres pruebas), canal de olvido (φ impuesto = consistencia), Hamiltoniano (Ê² dispersión, v_g=∂E/∂p), ontología bien etiquetada. CAMBIO DE NATURALEZA: el documento ya no falla por errores matemáticos sino por ausencia de derivaciones independientes de sus hipótesis; la discusión pasa de corregir inconsistencias a evaluar si las hipótesis pueden justificarse o predecir. Es la situación de un programa de investigación con hipótesis explícitas. NÚCLEO intacto: masas, sin²θ_W=φ⁻³.

Apéndice B. Poda Toroidal: derivación de los modos estables (TCIIT v10.3)

Este apéndice deriva el conjunto discreto de modos estables (la "poda" de la jerarquía infinita) desde una condición de cierre geométrico sobre un toro áureo, sin parámetros libres nuevos. Es la capa GRUESA del marco: explica POR QUÉ existen ~12 escalones y DÓNDE se sitúan aproximadamente; las posiciones exactas (<0.2%) las fija la capa fina de §7.9 (pares de Stern-Brocot). La reconciliación entre ambas capas se trata en §B.6.

B.1 Postulado del toro áureo y cuantización de fase

El espacio se modela como T^3 con identificación torcida (x+L, y, z) ~ (x, y+φL, z), con φ = (1+√5)/2 y dos radios fundamentales $R_0 = l_P$, $R_H = R_0 \cdot \varphi^{(n_H)}$. Una geodésica cierra si la fase acumulada es múltiplo de π:

$$2n \cdot \ln\varphi = k\pi + \varepsilon\,, \quad \varepsilon = d_0 \cdot \rho$$

$$d_0 = \sqrt{(\pi/2\sqrt{3})} = 0.9523\,, \quad \rho = \pi\sqrt{(\Delta m/(m_p \cdot d_0))} = 0.1195228$$

Despreciando ε en primera aproximación, $n_k^{(0)} = k\pi/(2\ln\varphi)$, con k = ½, 1, 3/2, … El paso por unidad de k es π/(2lnφ) ≃ 3.264; como la escalera es semientera (Δk = ½), el paso entre modos consecutivos es Δn = π/(4lnφ) ≃ 1.632.

B.2 Corrección fina e índice de masa

La ruptura isospínica introduce un entero pequeño q ∈ ℤ que desplaza el modo en unidades de ρ:

$$n_{k,q} = n_k^{(0)} + q\rho\,, \quad m_{k,q} = m_P \cdot \varphi^{(-2n_{k,q})}\,, \quad m_P = 1.22089 \times 10^{19}\,GeV$$

B.3 Origen de S_Λ

Para k = 14 y q = 0: $n_p = 14\pi/(2\ln\varphi) = 45.6995$. La corrección protónica exacta de v9.2 es $n_p^{exact} = S_\Lambda/(2\ln\varphi) + ½ = 45.7308$, con $S_\Lambda = 2\pi\sqrt{48} = 43.531$; coincide con $n_{14,0}$ dentro de 0.031. Por tanto S_Λ no es un postulado: es la longitud de la geodésica no autointersectante con 48 vueltas. Además, el "+½" de v9.2 se identifica geométricamente con la separación $(14\pi - S_\Lambda)/(2\ln\varphi) = 0.469$ entre la 14ª vuelta entera y S_Λ: la coincidencia 0.469 ≈ 0.5 conecta ambas capas.

B.4 Los 12 modos estables

Cada modo es el escalón (k, q) que minimiza $|m_{k,q} - m_{obs}|/m_{obs}$. Masas observadas: PDG 2022.

partícula	m_obs (GeV)	k	$n_k^{(0)}$	q	n_pred	m_pred (GeV)	error %
top	172.76	12.5	40.803	-4	40.325	170.5	-1.29
Higgs	125.1	12.5	40.803	-1	40.684	120.8	-3.47
Z	91.1876	12.5	40.803	+1	40.923	95.94	+5.22
W	80.379	12.5	40.803	+3	41.162	76.23	-5.17
bottom	4.18	13.5	44.067	+1	44.187	4.146	-0.81
charm	1.275	14	45.700	-2	45.460	1.217	-4.54
tau	1.7769	14	45.700	-5	45.102	1.719	-3.28
proton	0.93827	14	45.700	+0	45.700	967×10^{-3}	+3.06
neutron	0.93957	14	45.700	+0	45.700	967×10^{-3}	+2.91
muon	0.10566	15	48.964	-8	48.008	104.9×10^{-3}	-0.74
pion	0.13957	14.5	47.332	+3	47.690	142.3×10^{-3}	+1.99
electron	0.000511	16.5	53.860	-3	53.502	0.00053	+3.73

Tabla B.1. Los 12 modos de la poda toroidal. RMS = 3.37%. Cada q es el entero óptimo de su capa k (verificado: q_tabla = q_óptimo para los 12).

B.5 Derivación paso a paso

(1) Imponer cierre toroidal: e^(i·2n·lnφ) = e^(ikπ).

(2) Resolver para $n_k^{(0)} = k\pi/(2\ln\varphi)$.

(3) Añadir el desfase mínimo $\varepsilon = d_0\rho$ por pérdida de información.

(4) Cuantizar el desfase en unidades de ρ: $q \in \mathbb{Z}$.

(5) Calcular $m_{k,q} = m_P\cdot\varphi^{(-2n_{k,q})}$.

(6) Seleccionar (k, q) que minimizan $|m_{k,q} - m_{obs}|/m_{obs}$.

Con esto la jerarquía infinita colapsa a 12 escalones estables, sin parámetros libres nuevos.

B.6 Ajuste fino coherente y reconciliación con el cuerpo principal

Verificación del ajuste: dentro de las reglas del modelo (k semientero, q entero), las asignaciones de la Tabla B.1 ya son óptimas — para cada capa k, el q listado es el entero que minimiza el error. El RMS resultante es 3.37%. Este es el límite de precisión COHERENTE del modelo grueso: el paso de la rejilla en q es ρ = 0.1195 en n (≈ 11% en masa), de modo que el error típico no puede bajar de ~media rejilla (~3% RMS) sin recurrir a |q| > 10, lo que sería sobreajuste, no coherencia.

Lectura de dos capas (coherente con todo el marco): (i) la poda toroidal es la capa GRUESA — selecciona los ~12 escalones discretos y su posición aproximada con un solo entero q por partícula (RMS 3.4%); (ii) los anclajes de Stern-Brocot de §7.9 son la capa FINA — fijan la posición exacta dentro de cada escalón (error < 0.2%; muón n = 48.000, protón $n = S_\Lambda/(2\ln\varphi)+½ = 45.7308$).

Ambas capas son consistentes: el n grueso cae dentro de un paso de q del n exacto para los 12 modos.

Degeneración protón–neutrón: los índices exactos n*_p = 45.731 y n*_n = 45.729 difieren en 0.002 ≪ ρ = 0.1195, de modo que el modelo grueso les asigna el mismo escalón (k=14, q=0) y la misma masa predicha (errores +3.06% y +2.91%). Esto es coherente con la simetría de isospín {n}_p ≈ {n}_n de §9.1.2: la poda toroidal no puede separar isobáricos, exactamente la limitación declarada en §9.2.1.

> *Resumen de coherencia (v10.3): la poda toroidal y el cuerpo principal NO compiten; son dos resoluciones de la misma estructura. Grueso (poda): n = kπ/(2lnφ) + qρ, q entero pequeño, RMS 3.4%, explica el conteo y la posición aproximada de los 12 modos. Fino (Stern-Brocot, §7.9): posición exacta dentro del escalón, < 0.2%. El "+½" del protón (v9.2) ≈ 0.469 = (14π−S_Λ)/(2lnφ) (poda). El ajuste fino del modelo grueso ya es óptimo (q_tabla = q_óptimo); bajar del 3.4% RMS exigiría |q|>10 (sobreajuste). Conclusión: el marco es coherente a dos escalas, con precisión creciente del grueso al fino.*

Apéndice C. Confinamiento de quarks como condición de cierre toroidal (TCIIT v10.3)

El confinamiento es el hecho experimental de que nunca se detecta un quark aislado con carga de color neta: los hadrones observados son siempre singletes de color (bariones qqq, mesones qq̄). Este apéndice traduce ese hecho al lenguaje del toro k–q. Nota: corrige la versión preliminar que usaba ρ = φ/π y n_p ≈ 19.134; ambos eran incompatibles con el marco (§C.4). La condición de cierre se formula aquí sobre la trialidad de color — un entero — no sobre el índice de masa n, que es fraccionario.

C.1 Visión estándar (QCD)

En cromodinámica cuántica el potencial entre quarks tiene una parte coulombiana más un término lineal (potencial de Cornell):

$$V(r) \approx -\,4\alpha_s/(3r) + \sigma r\,, \quad \sigma \approx 1\ \mathrm{GeV/fm}$$

Al separar r → ∞, V → ∞: antes de liberar un quark se crea un nuevo par qq̄ (ruptura de cuerda). El acoplamiento corre a un bucle como

$$\alpha_s(Q^2) = 12\pi\,/\,[(33 - 2n_f)\cdot \ln(Q^2/\Lambda^2_{QCD})]\,, \quad \Lambda_{QCD} \approx 200\ \mathrm{MeV}$$

A baja Q, α_s crece (libertad asintótica en el UV, confinamiento en el IR). Esta sección es QCD estándar y se verificó correcta (coeficiente de Cornell 4/3 y $\beta_0 = 11 - \tfrac{2}{3}n_f$, equivalente a 12π/(33−2n_f)).

C.2 Lectura topológica: trialidad de color

En el toro, el color es una coordenada cíclica con holonomía φ-torcida. Cada quark porta una trialidad t = +1, cada antiquark t = −1, y la holonomía de color de un estado es exp(i·2π·T/3) con T = Σ t_i. La geodésica de color cierra (holonomía trivial) si y solo si:

$$T = \Sigma\, t_i \equiv 0 \pmod 3$$

Verificación de los singletes observados:

barión qqq: $T = 1+1+1 = 3 \equiv 0$ ✓ mesón $q\bar{q}$: $T = 1 - 1 = 0$ ✓

quark aislado: $T = 1 \not\equiv 0 \pmod 3$ ✗ diquark qq: $T = 2 \not\equiv 0$ ✗

Solo las combinaciones con trialidad múltiplo de 3 producen una geodésica cerrada. El confinamiento no es, en esta lectura, una fuerza adicional: es la condición de cuantización de que la holonomía de color sea trivial.

C.3 Coste energético de una configuración coloreada

Un estado de trialidad fraccionaria ($T \not\equiv 0 \bmod 3$) no admite geodésica cerrada de masa finita a escala hadrónica. Al intentar aislar una carga de color, la holonomía no trivial genera el término lineal σr de §C.1: la energía crece sin límite hasta que se rompe la cuerda y se crea un par $q\bar{q}$ que restaura $T \equiv 0$. Una carga de color verdaderamente libre requeriría forzar el cierre al nivel fundamental, con coste del orden de la masa de Planck:

$$\Delta E_{libre} \sim m_P = 1.22089 \times 10^{19}\ \text{GeV} \quad \textit{(inaccesible)}$$

De ahí que el quark libre esté ausente del espectro: no por una barrera finita, sino porque su geodésica no cierra salvo a la escala de Planck.

C.4 Reconciliación con el Apéndice B (correcciones)

La versión preliminar de esta sección contenía tres incoherencias con el marco, corregidas aquí:

(1) Valor de ρ. Se había escrito $\rho = \varphi/\pi = 0.515$, pero la propia aritmética ($\frac{1}{3}\rho = 0.103$) implicaba $\rho = 0.309 = 1/(2\varphi)$, y el marco define $\rho = \pi\sqrt{(\Delta m/(m_p\, d_0))} = 0.1195228$ (§9.1.5, Apéndices A–B). Eran tres valores distintos. En la formulación por trialidad no interviene ρ: el número de cierre es el entero T, no el índice de masa.

(2) Índice del nucleón. Se afirmaba $n_p \approx 19.134$; el valor del marco es $n_p = 14\pi/(2\ln\varphi) = 45.6995$ (Apéndice B, §B.3), o el exacto $S_\Lambda/(2\ln\varphi) + \frac{1}{2} = 45.7308$.

(3) "n ∈ ℤ". El índice de masa n NO es entero (protón 45.73; solo el muón cae en 48.000). Imponer "n entero" confinaría erróneamente al propio protón. La cuantización entera pertenece a la trialidad de color T, que SÍ es entera para todo singlete — incluido el protón ($T = 3 \equiv 0$). Así, el marco usa dos números cuánticos independientes: T (entero) decide QUÉ combinaciones de color pueden cerrar; $n = k\pi/(2\ln\varphi) + q\rho$ (fraccionario) decide DÓNDE se sitúa en masa el estado cerrado (Apéndice B).

C.5 Consecuencias

(1) El gluon no aparece como campo fundamental sino como la curvatura de color local necesaria para mantener la holonomía trivial (interpretación del marco, no derivada).

(2) α_s corre porque la escala de la holonomía depende de r; el término lineal σr es su manifestación IR.

(3) Predice estados exóticos siempre que la trialidad total sea múltiplo de 3: tetraquarks $qq\bar{q}\bar{q}$ ($T = 0$) y pentaquarks $qqqq\bar{q}$ ($T = 3 \equiv 0$) son singletes permitidos — en acuerdo con los estados X, Z y P_c observados. (La mención preliminar de "$|q_i| > 8$" era espuria: las trialidades de quark son ±1.)

> *Resumen (v10.3): QCD describe cómo se pegan los quarks (Cornell + α_s corriente); el toro explica por qué no pueden despegarse: una carga de*

color fraccionaria ($T \not\equiv 0 \bmod 3$) no tiene geodésica cerrada de masa finita. Confinamiento = condición de cierre de la holonomía de color. El número de cierre es la trialidad entera T, distinta del índice de masa fraccionario n del Apéndice B.

C.6 Hacia el grupo gauge: centros sí, grupos continuos no

El grupo gauge del Modelo Estándar es $U(1)\times SU(2)\times SU(3)$ —en su forma global real, $(SU(3)\times SU(2)\times U(1))/\mathbb{Z}_6$, con $\mathbb{Z}_6 = \mathbb{Z}_2\times\mathbb{Z}_3$—. El marco no lo deriva, pero captura su parte discreta (centros y topología), con una asimetría clara entre el grupo abeliano y los no abelianos.

U(1): natural. El toro T^3 tiene $\pi_1 = \mathbb{Z}^3$, y sus simetrías continuas son las traslaciones $U(1)^3$ (abeliano); la fase áurea α_0 es otra U(1). El grupo abeliano es el output natural de la geometría (la hipercarga específica $U(1)_Y$ no se fija).

SU(3): el centro es genuino. La trialidad de color (§C.2, cierre mod 3) es exactamente $Z(SU(3)) = \mathbb{Z}_3$. Más aún, esa $\mathbb{Z}_3$ es una pieza real de la estructura global del grupo del SM (el $\mathbb{Z}_6 = \mathbb{Z}_2\times\mathbb{Z}_3$ del cociente). Pero es el centro, no el grupo: los 8 gluones y las rotaciones de color continuas no se derivan.

SU(2): el más débil. El espín = rotaciones SU(2) no sale de φ (§A.9); el $SU(2)_L$ débil aparece solo como etiqueta discreta de isospín (el q de §B.2), a lo sumo su centro $\mathbb{Z}_2$. El grupo continuo, no.

La obstrucción. El toro da simetrías abelianas ($U(1)^3$); SU(2) y SU(3) son no abelianos y no pueden salir de la geometría toroidal sola — solo aparecen sus centros/sombras discretas. Pasar de centro discreto a grupo de Lie continuo no abeliano requiere la dinámica gauge (el clockwork de §A.7 la esboza, pero no fija el grupo). Ese es el paso que falta (§F.1).

Precisión vía Yang-Mills. La obstrucción se puede afilar. La energía de un campo gauge no abeliano es la de Yang-Mills, $E_{NA} \propto \|[\hat{R}_i, \hat{R}_j]\|^2$, donde el conmutador de las rotaciones del retículo es la curvatura (la intensidad de campo, $F = [D, D]$). Pero el toro del marco es intrínsecamente plano (§A.6): su curvatura es $\kappa = 0$, de modo que $[\hat{R}_i, \hat{R}_j] = 0$ y $E_{NA} = 0$. En un toro plano la energía no abeliana es cero por construcción: plano = curvatura nula = operadores que conmutan = abeliano. Para tener SU(2)/SU(3) haría falta una curvatura genuina (un espacio interno no plano), que la geometría toroidal plana no aporta.

El mecanismo reserva → U(1) (y por qué no llega a lo no abeliano). Hay una forma concreta de obtener el U(1) continuo: la reserva de capas libres $R(n) = N_U - 2n$ (las capas entre el modo y el horizonte; $R_e \approx 184$, $R_p \approx 200$) actúa como un buffer discreto $\mathbb{Z}_R$, y en el límite de reserva grande $\mathbb{Z}_R \to U(1)$ (las raíces R-ésimas de la unidad tienden al círculo). Es la versión continua del U(1) abeliano, ahora con un mecanismo, no solo por postulado.

Una analogía física lo hace tangible: el rulo de material fundido que se acumula antes de los rodillos en el calandrado de lámina plástica (el rolling bank) es exactamente ese buffer — compensa la variación del caudal para que la lámina salga uniforme. Y cuando el rulo se vuelve enorme, se desestabiliza y aparecen patrones periódicos en la superficie: el exceso de reserva produce estructura. Eso conecta con los patrones nodales (§F.10, analogía de Chladni) y la gravedad por interferencia (§D.6) — todos patrones de la misma familia.

Pero el límite es claro: el buffer y sus patrones son escalares/hidrodinámicos, es decir abelianos. Dan el U(1) y patrones espaciales, no la simetría interna no abeliana. Un patrón de flujo —por complejo que sea— no tiene "color interno"; solo forma espacial. Por eso la reserva no genera SU(2) ni SU(3): lo no abeliano vive en el espacio interno de los campos, no en un patrón de flujo. La obstrucción de esta sección se mantiene.

La ruta de escape: S^3 = dos toros pegados → SU(2). La salida no abeliana tiene una forma geométrica concreta, y —notablemente— la esfera necesaria está hecha de toros. La 3-esfera S^3, que es la variedad del grupo SU(2), admite una descomposición de Heegaard: S^3 = dos toros sólidos pegados por su superficie. Además, la fibración de Hopf realiza S^3 como círculos sobre una base S^2, y el toro de Clifford (plano) vive dentro de S^3 partiéndola justo en esos dos donuts. Así, el toro no es ajeno a la esfera: la esfera SU(2) se obtiene combinando toros.

La ruta es, entonces: construir S^3 pegando dos toros sólidos con el mapa correcto (meridiano↔longitud) → S^3 → SU(2). Caveats: hay que subir una dimensión (el toro del marco es 2D, S^3 es 3D); el pegado debe ser el correcto (otros mapas dan espacios lente o $S^2 \times S^1$); es una construcción a realizar, no algo ya presente; y SU(3) pide un espacio aún más rico (CP^2, con isometría SU(3)). Pero por primera vez la obstrucción tiene una salida nombrada y geométrica —pegar dos toros y subir una dimensión— en lugar de solo un "falta". (Completado en §22: los dos toros son K_0 y K_max de §18, y el mapa de pegado es el $\mathbb{Z}_2$ del par cruzado de §A.10. Con esas dos piezas internas, $S^3 = K_0 \cup_J$ K_max queda construido y su isometría SU(2) cerrada en estructura; resta solo el salto dimensional y la dinámica.)

La ruta para SU(3): CP^2 = el toro fibrado sobre el triángulo de los tres colores. El mismo programa se extiende a SU(3), con una pieza extra que el marco ya posee. SU(3) actúa sobre CP^2 (el plano proyectivo complejo, 4D); con precisión, la isometría es PU(3)=SU(3)/$\mathbb{Z}_3$, pues el centro $\mathbb{Z}_3$ actúa trivialmente sobre CP^2 —aunque el centro importa para la teoría gauge, según se discute en §23.9, y CP^2 es una variedad tórica: el toro T^2 fibrado sobre un triángulo (su polígono de momento), con el toro colapsando en las aristas (→ S^2) y en los vértices (→ puntos).

La conexión es directa: los tres vértices del triángulo son los tres puntos fijos —las coordenadas $[z_0:z_1:z_2]$—, es decir los tres colores (R, G, B); y la simetría $\mathbb{Z}_3$ del triángulo (rotar los vértices) es la trialidad, el centro de SU(3). Es decir, la trialidad $\mathbb{Z}_3$ del Apéndice C es precisamente la simetría del triángulo de CP^2: el marco ya tiene la sombra (el triángulo / $\mathbb{Z}_3$), y CP^2 es ese triángulo "engordado" con la fibra toroidal. La receta: fibrar el T^2 sobre un triángulo cuyos tres vértices son los tres colores, dejar colapsar el toro en el borde, y obtener CP^2 con isometría SU(3). Caveats: es una construcción (con singularidades en los colapsos); se sube de 2D a 4D; y la dinámica de los ocho gluones sobre CP^2 es la parte dura (Kaluza-Klein, fermiones quirales).

Así, las tres rutas quedan nombradas geométricamente: U(1) del círculo (el tubo del toro); SU(2) de S^3 (dos toros pegados); SU(3) de CP^2 (el toro sobre el triángulo de los tres colores). En los tres casos el grupo gauge es la isometría de un espacio construido a partir de toros, y los centros discretos del marco ($\mathbb{Z}_2$, $\mathbb{Z}_3$) son las sombras de esos espacios.

Síntesis (C.6): el marco produce el U(1) abeliano y los centros discretos de los no abelianos ($\mathbb{Z}_3$ = trialidad = Z(SU(3)), pieza real del $\mathbb{Z}_6$ del SM), pero no los grupos continuos completos. El paso discreto → continuo no abeliano queda abierto, pero con rutas geométricas nombradas: S^3 = dos toros pegados → SU(2), y CP^2 = el toro fibrado sobre el triángulo de los tres colores → SU(3).

La ruta de Connes, verificada (geometría no-conmutativa). Hay una tercera ruta, no geométrica sino espectral, y es la más fuerte. El Modelo Estándar espectral (Connes–Chamseddine) deriva el grupo gauge completo, el Higgs y los fermiones quirales desde un álgebra finita $A_F = \mathbb{C} \oplus \mathbb{H} \oplus M_3(\mathbb{C})$, cuyos unitarios forman el grupo gauge. A diferencia de Kaluza-Klein —que exige ≥ 7 dimensiones (teorema de Witten 1981) y da fermiones no quirales—, esta ruta entrega la quiralidad.

Verificación (teoría de grupos). Cada sumando da un factor: $\mathbb{C} \to U(1)$; $\mathbb{H}$ (cuaterniones) → SU(2), comprobado como homomorfismo de grupos (cuaternión unitario → matriz unitaria de det 1, con $M(p \cdot q) = M(p) \cdot M(q)$), centro $\{\pm I\} = \mathbb{Z}_2$; $M_3(\mathbb{C}) \to SU(3)$ (unitarios unimodulares, dim 8), centro $\{I, \omega I, \omega^2 I\} = \mathbb{Z}_3$. La suma es $U(1)\times SU(2)\times SU(3)$, dimensión 1+3+8 = 12 — el grupo del Modelo Estándar exacto.

Los gluones. SU(3) no es solo el grupo: sus ocho generadores son los ocho gluones, el campo gauge de color en el adjunto. En la ruta de Connes son las fluctuaciones internas del operador de Dirac a lo largo de $M_3(\mathbb{C})$, y la acción espectral genera su lagrangiano de Yang-Mills ($-\frac{1}{4} \Sigma\, G_a \cdot G^a$) con auto-interacción —y por tanto confinamiento—. Esto marca la diferencia con lo que el marco daba por sí solo: del toro plano sale únicamente el fotón (abeliano, un link), y la trialidad $\mathbb{Z}_3$ es solo el centro de SU(3) —la regla de color (R+G+B = singlete), no los ocho portadores—. Los gluones son precisamente lo que distingue tener el centro de tener el grupo, y aparecen recién con el $M_3(\mathbb{C})$.

La alineación con el marco. Los tres sumandos tienen centros U(1), $\mathbb{Z}_2$ y $\mathbb{Z}_3$: exactamente los tres que el marco ya posee como estructura genuina —U(1) (traslaciones del toro), $\mathbb{Z}_2$ (dos ciclos / Möbius) y $\mathbb{Z}_3$ (trialidad, los tres colores, §C.2)—. Los tres centros del marco motivan así, no arbitrariamente, los tres sumandos del álgebra que produce el Modelo Estándar. Hay además un resultado de casi-unicidad (Chamseddine–Connes–van Suijlekom): bajo los axiomas del triple espectral, $\mathbb{C}\oplus\mathbb{H}\oplus M_3(\mathbb{C})$ queda esencialmente seleccionada.

El estado honesto. La máquina de Connes es funcional y cierra los dos Tier-1 a la vez (grupos no abelianos más quiralidad). Pero alinear los centros no deriva el álgebra: $\mathbb{H}$ es más que $\mathbb{Z}_2$ y M_3 es más que $\mathbb{Z}_3$, y el ascenso de los centros discretos a los grupos continuos lo hace el álgebra, no el toro. El álgebra finita y los axiomas espectrales son el postulado —mínimo, casi-único y motivado por los centros, pero entrada—. El marco aporta la motivación; obtiene a cambio el grupo gauge, el Higgs y los fermiones quirales. De las tres rutas, es la recomendada para un marco informacional/espectral.

El problema de los grupos: por qué la respuesta es el álgebra y no la rotación, y los colores como el factor $M_3(\mathbb{C})$

Conviene cerrar aquí el problema de los grupos con lo aprendido. No se resuelve con la rotación del universo —el SU(2) de las rotaciones espaciales es el del espín, no el del isospín débil, y Coleman-Mandula prohíbe mezclar la

simetría del espacio-tiempo con la interna—, ni con los windings espaciales del toro —el grupo del Modelo Estándar tiene rango 4 y el toro entrega T^3, de modo que faltan círculos—. La respuesta es el álgebra interna $A = \mathbb{C} \oplus \mathbb{H} \oplus M_3(\mathbb{C})$: el rango 4 lo provee su estructura, no el espacio, y por eso esta ruta esquiva de raíz el obstáculo que frenaba a los windings. El grupo nace donde la simetría gauge vive de verdad, que es internamente.

Y aquí los colores dejan de ser metáfora. El factor $M_3(\mathbb{C})$ son las matrices 3×3 que actúan sobre tres cargas: los tres colores de la cromodinámica. El SU(3) de color es, literalmente, sus unitarios unimodulares, y sus ocho generadores son los ocho gluones. El formalismo cromático del marco —los nodos diferenciados, los colores como frecuencias seleccionadas— encuentra ahí su anclaje técnico: el tres de la paleta es el tres del álgebra. La paleta simbólica y el color de carga no son idénticos, porque el color de la cromodinámica es una etiqueta y no un color visible, pero comparten el número tres y su estructura de centro $\mathbb{Z}_3$, y eso no es casualidad: es el factor $M_3(\mathbb{C})$.

Niveles. Resuelto, física publicada por la ruta espectral: el grupo gauge sale del álgebra, de forma interna y consistente con Coleman-Mandula; la rotación y los windings quedaron descartados con razón. Anclaje genuino: el SU(3) de color son los unitarios de $M_3(\mathbb{C})$, el mismo tres del formalismo cromático. Resonancia interpretativa: identificar la paleta ontológica con el color de carga es sugerente, no literal. Abierto: el álgebra fija el grupo y las representaciones posibles, pero no dice cuáles de los doce modos se pueblan ni con qué masas; la selección sigue siendo el problema central sin resolver.

El lagrangiano restringido: la acción espectral con las ataduras del marco

Con todo lo anterior puede escribirse el lagrangiano del marco, no como una teoría con términos nuevos, sino como el del Modelo Estándar con las constantes atadas. La acción espectral de Connes ya entrega la pieza completa: $S = \mathrm{Tr}\, f(D/\Lambda) + \langle\psi|D|\psi\rangle$ se expande en gravedad de Einstein-Hilbert, Yang-Mills, Higgs, Yukawa y constante cosmológica. El marco no agrega un solo término a esa expansión; lo que hace es reemplazar parámetros libres por relaciones. El Modelo Estándar tiene unos diecinueve parámetros libres, y a continuación se marca cuáles el marco ata y a qué nivel.

La estructura, término a término: $\mathcal{L} = -\frac{1}{4} \Sigma\, F_{\mu\nu}\, F^{\mu\nu}$, los campos gauge; más $\bar{\psi}\, i\, \gamma^{\mu}\, D_{\mu}\, \psi$, los fermiones con su derivada covariante; más $|D_{\mu} H|^2 - V(H)$, el Higgs; más $(\bar{\psi}_L\, Y\, H\, \psi_R$ + conjugado), el sector de Yukawa que da las masas; más $\mathcal{L}$ de gravedad; más Λ. Sobre esta forma estándar, el marco impone sus ataduras, sector por sector.

Sector gauge. Los tres acoples dejan de ser libres: el ángulo débil queda fijado por $\sin^2\theta_W = \varphi^{-3}$ (a +2.1%), el acople fuerte por $\alpha_s = \rho \cdot d_0$ (geométrico), y el electromagnético por $\alpha^{-1} \approx 136$ (a −0.8%). Tres parámetros que el Modelo Estándar deja abiertos pasan a ser potencias de φ y constantes del toro. Nivel: reducción genuina, aproximada al uno o dos por ciento.

Sector de masas. Es la atadura más fuerte en su forma y la más honesta en su límite. Los nueve acoples de Yukawa independientes se reemplazan por un único operador de masa: $M = m_P \cdot \varphi^{(-2\hat{N})}$, donde $\hat{N}$ es el operador de escalera cuyos autovalores son los índices n. La matriz de Yukawa Y deja de ser nueve números sueltos y pasa a ser un solo operador con espectro áureo. Nivel:

mejora estructural real, un operador en vez de nueve, pero el espectro de los n está ajustado mientras la selección siga abierta; hoy es compresión elegante, todavía no reducción de parámetros libres.

Higgs y Λ. La constante cosmológica sale de la geometría del toro, Λ ligada a $S_\Lambda = 8\pi\sqrt{3}$, una entrada geométrica genuina. El autoacople del Higgs λ lo predice la acción espectral en la unificación, ligándolo a los gauge; pero la versión simple da $m_H \approx 170$ GeV frente a los 125 reales, así que este término necesita correcciones y no se cuenta como ganado. Nivel: Λ geométrica; Higgs predicho, pero la versión naive falla.

Qué dice este lagrangiano. En una sola escritura muestra exactamente cuánto predice el marco y cuánto todavía ajusta: el sector gauge, atado a φ; el sector de masas, comprimido a un operador cuyo espectro espera la regla de selección; Λ, geométrica; el Higgs, pendiente. No es un lagrangiano nuevo: es el del Modelo Estándar mirándose a través de las ataduras del marco, y su honestidad está en que las casillas sin resolver quedan a la vista, no disimuladas. La mejora es real en el gauge, estructural en las masas, y se vuelve predictiva en el espectro sólo el día que se derive la selección.

Antimateria como el lado conjugado y los modos vestidos: el refinamiento del lagrangiano

Las dos imágenes —la antimateria como el otro lado del retículo, y los modos que se tapan con el campo— se dejan escribir, y al hacerlo afinan el lagrangiano restringido. La antimateria primero. Un modo es $\psi_n(\theta,t) = \exp[i(n\cdot\theta - \omega_n t)]$, con masa $m_n = m_P\cdot\varphi^{(-2n)}$. La conjugación de carga C lo lleva a su conjugado $\psi_n^* = \exp[-i(n\cdot\theta - \omega_n t)]$: el módulo de la frecuencia $|\omega_n|$ queda intacto, es decir misma masa; el devanado $n\cdot\theta$ se invierte, es decir carga opuesta; y el signo del tiempo se da vuelta, que es la antipartícula yendo hacia atrás de Feynman-Stückelberg. El otro lado, entonces, no es un nodo distinto ni un lugar aparte: es el mismo nodo recorrido en sentido inverso.

De aquí sale la primera atadura nueva al lagrangiano. El operador de masa $M = m_P\cdot\varphi^{(-2\hat{N})}$ depende solo del nivel radial $\hat{N}$, y la conjugación invierte la carga pero no ese nivel: $C\,\hat{N}\,C^{-1} = \hat{N}$, de modo que el conmutador $[M, C] = 0$. Partícula y antipartícula tienen exactamente la misma masa, no por ajuste sino por construcción, y CPT queda incrustado en la escalera. Es una mejora estructural y exacta, sin un solo parámetro nuevo.

La segunda atadura es la asimetría. Las dos orientaciones del devanado no se pueblan por igual: domina la materia, y el otro lado queda casi vacío. Ese desbalance tiene número en el marco, $\eta = \varphi^{(-(S_\Lambda+4\rho))} \approx 6.3\times10^{-10}$, que coincide con el observado. La asimetría materia-antimateria deja así de ser un parámetro libre del sector de violación de CP: queda fijada por φ y la geometría del toro.

La tercera atadura es el vestido. Una partícula muy acoplada arrastra una nube del campo y se envuelve en ella, la sábana, y eso se escribe como un corrimiento del operador de escalera: la masa física es $M = m_P\cdot\varphi^{(-2(\hat{N} + \Delta))}$, con Δ el espesor de la sábana. Para un leptón desnudo $\Delta \approx 0$, y el electrón se sienta en su nivel propio. Para un hadrón confinado Δ es grande: los quarks de corriente del protón suman un nivel $n \approx 50.6$, y el protón físico vive en $n = 45.73$, un corrimiento de unos cinco niveles, las cinco capas de campo de enlace

que lo tapan. La escalera, así entendida, da masas vestidas (físicas), no desnudas.

Niveles. La igualdad de masas por [M, C] = 0 es exacta y gratis: mejora real del lagrangiano, sin parámetro nuevo. La asimetría η es una predicción del marco, verificada al orden correcto. El corrimiento de vestido Δ̂ es un concepto físico genuino —es el dressing, el confinamiento—, pero su valor es el enlace de QCD, entrada observada y no derivada, la misma honestidad que con la selección. Con esto, el sector de masas del lagrangiano restringido gana tres ataduras: CPT incrustado, la asimetría fijada por φ, y el operador de masa entendido como masa vestida. El lagrangiano no crece en términos; crece en lo que ata.

El hamiltoniano del marco: H = H₀ + H_int, y dónde vive el movimiento

El lagrangiano restringido tiene una contraparte hamiltoniana que conviene escribir, porque es ahí donde vive el movimiento. El hamiltoniano se separa en dos, H = H₀ + H_int. La parte diagonal H₀ es la energía en reposo de cada modo, $H_0|n\rangle = m_n c^2|n\rangle = m_P c^2 \cdot \varphi^{(-2\hat{N})}|n\rangle$: es el mismo operador de escalera del sector de masas del lagrangiano, ahora leído como energía, de modo que lagrangiano y hamiltoniano quedan atados por el mismo $\hat{N}$. Los momentos cinéticos son los devanados del toro cuantizados, $p_i = \hbar \cdot n_i / R_i$; la masa es el nivel radial.

La parte fuera de diagonal H_int es donde está la dinámica: las transiciones, los saltos. Sus elementos $\langle n - F_m| H_{int} |n\rangle$ son no nulos para los saltos espaciados Fibonacci, $k_n \to k_{(n-F_m)}$, que son el decaimiento. H₀ da los niveles; H_int los mueve. En el lenguaje viejo de Bohr-Sommerfeld, H₀ son las órbitas y H_int son los saltos entre ellas.

Niveles. Mejora real, de completitud: el marco gana una ley dinámica explícita. El operador de masa, que en el lagrangiano era estático, aparece como el H₀ de un hamiltoniano cuyo H_int genera la evolución, los saltos. Antes había un espectro; ahora hay quién lo recorre. No es reducción de parámetros: H₀ es el mismo operador de antes, y la forma de H_int, qué transiciones y con qué tasas, es la del Modelo Estándar, no derivada del oro; es la selección otra vez, ahora en lenguaje hamiltoniano. Y el bucle cerrado exigiría que H_int reexcite tanto como decae, el retorno, que sigue abierto. La ganancia es tener, por fin, las dos caras: el lagrangiano que dice qué hay, y el hamiltoniano que dice cómo se mueve.

Formulación de capas y entrecapas: el lagrangiano y el hamiltoniano del residuo de indeterminación

El marco admite una formulación lagrangiana y hamiltoniana explícita en términos de capas y entrecapas. Una partícula ocupa una posición n = N + η en el retículo, donde N es entero, la capa, la parte determinable, y η pertenece al intervalo de cero a uno, la entrecapa, la parte residual o indeterminable. La masa surge de la posición: $m(N,\eta) = m_\mu \cdot \varphi^{(-2((N+\eta)-48))}$, con el muón como referencia geométrica (N=48, η=0). Esta ley coincide exactamente con la escalera referida a Planck, porque $m_\mu = m_P \cdot \varphi^{(-96)}$: las dos referencias son la misma escalera, y la auditoría lo confirma (105.65 MeV por ambas vías).

Las capas exactas son mínimos de energía. Se postula el potencial periódico $V(\eta) = \Lambda^4 \cdot \sin^2(\pi\eta)$, que cumple V(0) = V(1) = 0 y V(½) = Λ⁴: las capas enteras (η=0) no cuestan energía, y la entrecapa máxima (η=½) cuesta Λ⁴. La entrecapa

almacena así una energía geométrica residual, nula sobre las capas y máxima entre ellas; Λ fija la escala de esa energía.

La dinámica del campo de entrecapa η(x) está dada por el lagrangiano, acoplado a la gravedad: $\mathcal{L} = \sqrt{(-g)}\cdot[\ R/(16\pi G) + \tfrac{1}{2}(\partial\eta)^2 - \Lambda^4\cdot\sin^2(\pi\eta)\ ]$, con R el escalar de Ricci y G la constante gravitacional. El momento canónico conjugado a η es $\Pi_\eta = \partial\mathcal{L}/\partial\dot{\eta} = \dot{\eta}$, lo que da una densidad hamiltoniana $\mathcal{H} = \tfrac{1}{2}\Pi_\eta^2 + \tfrac{1}{2}(\nabla\eta)^2 + \Lambda^4\cdot\sin^2(\pi\eta)$.

El hamiltoniano completo, incorporando la masa geométrica, se separa en dos contribuciones de significado opuesto: H = H_det + H_ind. La parte determinable es la masa, $H_{det} = m_\mu c^2\cdot\varphi^{(-2((N+\eta)-48))}$; la parte indeterminable es el residuo de entrecapa, $H_{ind} = \tfrac{1}{2}\Pi_\eta^2 + \tfrac{1}{2}(\nabla\eta)^2 + \Lambda^4\cdot\sin^2(\pi\eta)$. Para el muón (N=48, η=0) resulta H_ind = 0: es el estado de referencia completamente determinista del retículo. Toda otra partícula tiene η distinto de cero y carga una contribución residual de indeterminación.

La entrecapa mide, entonces, el porcentaje de indeterminación de cada partícula, cuantificado por $\sin^2(\pi\eta)$. El muón ancla en cero, capa exacta; el electrón, con η alrededor de 0.54, está casi al máximo, $\sin^2(\pi\eta)$ cercano a 0.98; el protón en torno a 0.56; el tau, el W y el Z, bajos. Cada partícula lleva su residuo, y solo el muón no lleva ninguno.

Si la escala Λ del retículo se identifica con la escala de la energía oscura, del orden del milielectronvoltio, el residuo de entrecapa H_ind queda a escala de energía oscura: diminuto, dominado por la masa H_det en nueve a doce órdenes de magnitud, lo que concuerda con la separación de escalas ya establecida. El muón no contribuye; las demás partículas aportan un residuo oscuro mínimo. La conjetura, atractiva pero no derivada, es que la suma de todos esos residuos de entrecapa reproduzca la energía oscura observada; queda registrada como hipótesis, dependiente del conteo de modos.

Sobre la conexión instantánea de la entrecapa hay que ser preciso, porque el límite es la causalidad. El campo η, al tener término cinético, es dinámico y se propaga a velocidad no mayor que la luz: como campo no conecta instantáneamente, pues una señal más rápida que la luz está prohibida. Las dos formas legítimas de conexión instantánea son el entrelazamiento, que da correlaciones instantáneas entre residuos de entrecapa sin transmitir información (teorema de no-señalización), y el modo cero homogéneo, la componente tipo-energía-oscura con w = −1, uniforme y rígida en todo el espacio, instantánea en el sentido trivial de ser un global constante. La entrecapa puede conectar instantáneamente como correlación o como modo global, nunca como señal causal.

Niveles. Formalización consistente: el lagrangiano y el hamiltoniano reproducen la escalera de masas, verificado para muón, electrón y protón, y la separación determinable e indeterminable es exacta, con el muón en H_ind = 0. La entrecapa como porcentaje de indeterminación, $\sin^2(\pi\eta)$, es computable y bien definida. La identificación de Λ con la energía oscura es una conjetura marcada, no derivada. La conexión instantánea está acotada a entrelazamiento y modo global, con la causalidad como límite duro, sin señales. Es la versión lagrangiana y hamiltoniana del mismo retículo, con el residuo de indeterminación hecho campo.

Cómo la entrecapa actúa en la gravedad: el campo η como candidato del sector oscuro (tipo axión)

El campo de entrecapa η actúa en la gravedad como una fuente, no como una modificación. En el lagrangiano, η está acoplado a la gravedad de forma mínima, no multiplica al escalar de Ricci R, de modo que no cambia ni G ni la deflexión de la luz: gravita como cualquier campo, a través de su tensor de energía-momento, con densidad $\rho = \frac{1}{2}\dot{\eta}^2 + V(\eta)$ y presión $p = \frac{1}{2}\dot{\eta}^2 - V(\eta)$, donde $V(\eta) = \Lambda^4 \sin^2(\pi\eta)$. Esto lo distingue del campo escalar Φ de la sección de gravedad: η vive dentro de la relatividad general propia, con su término R, y solo aporta energía.

Su rol gravitatorio depende del estado del campo, y el mismo η cumple dos papeles. Congelado, con V dominando sobre el término cinético, su ecuación de estado es $w = -V/V = -1$: actúa como energía oscura, una constante cosmológica. Es la componente H_ind de la entrecapa, ahora gravitando. Oscilando en torno a una capa entera, el teorema del virial da una presión media nula, $w = 0$: actúa como materia oscura fría, sin presión. El residuo de entrecapa quieto es energía oscura; oscilando, es materia oscura.

La estructura no es casual: un campo periódico, la entrecapa en el intervalo de cero a uno, con un potencial periódico $\Lambda^4 \sin^2(\pi\eta)$, es exactamente un campo de tipo axión. Su masa efectiva surge de la curvatura del potencial en el mínimo, $m_\eta^2 = 2\pi^2\Lambda^4/f^2$, con f una constante de decaimiento. Con Λ a la escala de la energía oscura, del orden del milielectronvoltio, y f del orden de 10^8 GeV, resulta m_η del orden de 10^{-22} eV, justo el rango de la materia oscura ultraligera o difusa. Es un guiño fuerte, aunque f sea una entrada y no un resultado.

La entrecapa tiene así un rol dual en la gravedad. Por un lado fija el residuo de las masas, y esa masa gravita como materia ordinaria, con la dependencia en η como corrección diminuta. Por el otro, su propia energía de campo gravita como sector oscuro: energía oscura si está congelada, materia oscura si oscila. El residuo de indeterminación de las partículas y lo oscuro del cosmos serían, en esta lectura, la misma entrecapa vista en dos regímenes.

Niveles. Física real: un campo escalar gravita por su tensor de energía-momento, y un campo periódico congelado da energía oscura mientras que uno oscilando da materia oscura; eso es cosmología estándar de campos tipo axión. Atractivo y marcado como candidato: que la entrecapa explique el sector oscuro con una sola pieza. Caveats honestos: el η adimensional necesita la constante de decaimiento f para que el término cinético cierre dimensionalmente; cuál rol domina, energía o materia oscura, depende del estado y de f y Λ, no lo fija el marco; el acople mínimo hace de η una fuente, no una gravedad modificada; y reproducir cuantitativamente el sector oscuro observado queda sin verificar, dependiente de f, Λ y las condiciones iniciales. Es un candidato, no un resultado cerrado.

Derivación de φ desde el operador frontera $\hat{K}_0$, spin-estadística y estabilidad del protón (formalismo operatorial corregido)

Una formulación operatorial complementa la derivación de φ y agrega dos consecuencias: la spin-estadística y un mecanismo de estabilidad. Se parte de una base de capas $|k\rangle$ con $\hat{K}_0|k\rangle = k|k\rangle$ y radios $r_k = \ell_P \cdot s^{(-k)}$, y de un operador de olvido $\hat{F} = \alpha \cdot \Sigma_k |k+1\rangle\langle k|$ que da el paso mínimo de información

hacia afuera, con $[\hat{K}_0, \hat{F}] = \hat{F}$. El conmutador canónico se deforma en el exterior: $[\hat{r}, \hat{p}_r] = i\hbar(\hat{P}_{in} + s\cdot\hat{P}_{out})$, con $\hat{P}_{in}$ la proyección sobre las capas interiores.

La covarianza del conmutador bajo el paso de olvido, que reescala r_k por $s^{(-1)}$, fija s. La condición correcta es $s^{(-1)} = 1 + s$, es decir $s^2 + s - 1 = 0$, cuya solución es $s = (\sqrt{5}-1)/2 = \varphi^{-1}$, y equivale a la propiedad áurea $\varphi = 1 + \varphi^{-1}$. En el borrador original esta condición figuraba como $s^{(-2)} = 1 + s$, que no da el número áureo sino s aproximadamente 0.755; el exponente correcto de la covarianza es $s^{(-1)}$, y con él aparece φ. La normalización consistente del olvido es $\alpha = \varphi^{-1}$, de modo que $\hat{F}^\dagger\hat{F} = \varphi^{-2}\cdot\hat{P}_{out}$: cada paso suprime la amplitud por φ^{-1}, y la masa, que va como el cuadrado, por φ^{-2}, reproduciendo la escalera m proporcional a $\varphi^{(-2n)}$.

La consecuencia física ata este formalismo con el de capas y entrecapas. En el interior el conmutador es el ordinario, $[\hat{r}, \hat{p}_r] = i\hbar$: determinismo. En el exterior queda $[\hat{r}, \hat{p}_r] = i\hbar/\varphi$: indeterminación mínima. φ es la única razón que permite que el determinismo interior y la indeterminación exterior coexistan bajo un mapa de olvido lineal que respete $\hat{K}_0$. Es la versión operatorial de la capa determinable y la entrecapa indeterminable: el mismo corte, dicho con conmutadores.

Sobre el anillo de doce modos $\psi^{(q)}_k = e^{(i2\pi qk/12)}/\sqrt{12}$, el olvido iterado seis veces, $\hat{F}^6$, da media vuelta y actúa como $\hat{F}^6\psi^{(q)} = \varphi^{-6}\cdot(-1)^{q}\cdot\psi^{(q)}$. La fase $(-1)^q$ es +1 para q par y −1 para q impar. Con el espinor $\Psi_k = (\Phi_k, \hat{F}^6\Phi_k)$, los modos de q impar cambian de signo bajo una vuelta completa, la marca del espinor fermiónico. Imponiendo energía no negativa, los q pares cuantizan con conmutadores, bosones, y los q impares con anticonmutadores, fermiones. La spin-estadística surge así de la media vuelta del olvido: q par, bosón; q impar, fermión. Coincide con la regla del marco, modos enteros bosónicos y semienteros fermiónicos, ahora derivada del operador.

El término cúbico de interacción, con la estructura de pasos +1, −2, +3 entre capas, produce un desfase por ciclo $\Delta\varphi_q = \pi\rho\cdot q$ y una interferencia destructiva tras N_q aproximadamente $1/(2\rho|q|)$ ciclos. Para q = 0 no hay desfase: N_q tiende a infinito y el modo es estable. Ese es el protón. Para |q| = 1 el modo es metaestable, del orden de diecisiete ciclos, y para |q| de dos o más decae rápido. El mecanismo es un candidato genuino a la regla de selección: explica por qué un modo, q=0, es estable mientras los demás decaen, lo que el marco no derivaba.

Niveles. Corregido y sólido: la derivación de φ desde $\hat{K}_0$ con $s^2 + s - 1 = 0$ y $\alpha = \varphi^{-1}$, y el corte determinismo e indeterminación que reproduce capas y entrecapas. Derivado y elegante: la spin-estadística desde $\hat{F}^6$, consistente con la regla entero y semientero. Candidato fuerte: la estabilidad del protón por interferencia destructiva, q=0 estable, como mecanismo de selección. Tensiones marcadas: los doce modos de esta construcción forman una torre bariónica de 0.94 a 2.10 GeV que coincide con partículas reales solo en q=0, el protón, de modo que no reproducen el espectro ni son los doce fundamentales del marco; son un doce distinto, del sector bariónico, y queda por decidir si conviven o compiten. La vida de 880 segundos del neutrón depende de convertir ciclos a segundos, no derivada, y el porqué de los doce sitios sigue postulado. Las piezas corregidas entran; las tensiones quedan a la vista.

La regla de estabilidad desde el salto cuántico: un nodo es estable si no tiene salto a uno más liviano

El mecanismo de interferencia de la subsección anterior es un caso particular de una regla más fundamental, y conviene enunciarla bien: la estabilidad la da el salto cuántico. Como en el marco no hay espacio continuo, el decaimiento es un salto entre nodos. Un nodo es estable si y solo si no existe un salto permitido hacia un nodo más liviano que conserve sus números cuánticos; si ese salto existe, decae. Como la masa va como φ^(−2n), más liviano significa n mayor, y un nodo estable es el de n mayor en su sector conservado: ya no tiene adónde saltar.

La regla identifica exactamente los estables reales. El electrón es el leptón cargado de n mayor, el más liviano: no hay salto, es estable. El protón es el barión más liviano: no hay salto, es estable. El muón, el tau, el neutrón y los bariones pesados tienen un nodo más liviano en su sector y un salto permitido hacia él, así que decaen. El neutrino más liviano y el fotón quedan estables por no tener destino más liviano. La interferencia destructiva del anillo bariónico, con q=0 estable, es un caso de esto: q=0 es el más liviano del anillo, así que no tiene salto. El salto cuántico contiene y generaliza la interferencia.

Niveles. La regla de estabilidad se deriva: estable equivale a no tener salto permitido a un nodo más liviano del mismo sector conservado. Requiere solo el orden de masas, que el marco da por la escalera, y los números conservados, que vienen de la estructura gauge; ambos están. Lo que esta regla no resuelve es la selección completa: dice, dado el espectro, cuáles nodos son estables, pero no cuáles nodos existen. Estabilidad y existencia de modos son problemas distintos, y este resuelve el primero.

El lagrangiano y el hamiltoniano mejorados: la versión unificada

Con las piezas verificadas a lo largo de esta sección se puede escribir un lagrangiano y un hamiltoniano más ajustados que los anteriores. La mejora no agrega física nueva: unifica lo que estaba disperso y aprieta dos tuercas. Primero, el operador de masa pasa a ser de dos escalas. Segundo, la interacción incorpora la regla de estabilidad en su estructura, de modo que la estabilidad deja de ser un añadido y pasa a ser una propiedad del hamiltoniano.

La base canónica es el conmutador deformado del operador frontera: $[\hat{r}, \hat{p}] = i\hbar(\hat{P}_{in} + \varphi^{-1}\cdot\hat{P}_{out})$. En el interior vale $i\hbar$, determinismo; en el exterior $i\hbar/\varphi$, indeterminación mínima. El factor φ^{-1} no se elige: sale de $s^2 + s - 1 = 0$, la covarianza del olvido. Toda la dinámica respeta este corchete.

El operador de masa es $\hat{M} = m_P\cdot\varphi^{(-2\hat{N})}$, pero ahora $\hat{N}$ se desglosa en sus dos escalas: $\hat{N} = (\pi/(2\ln\varphi))\cdot\hat{K} + \rho\cdot\hat{Q}$, con $\hat{K}$ el operador de capa radial, de paso grueso 3.264, y $\hat{Q}$ el operador angular fino, de paso ρ cercano a 0.12, unas veintisiete veces menor. La escalera gruesa da el espectro de masas; la escala fina abre cada capa en su multiplete, el de la estructura electrodébil entre otros. Es la curvatura del espiral metida dentro del operador.

El hamiltoniano libre es $\hat{H}_0 = \hat{M}c^2 = m_P\, c^2\cdot\varphi^{(-2\hat{N})}$. Su autovalor es la energía en reposo, y equivale a $\hbar$ por la frecuencia de devanado del nodo sobre el toro: un nodo es una onda estacionaria cuya fase circula a la frecuencia de Compton, $\omega = mc^2/\hbar$, con un número entero de longitudes de onda sobre el toro, que es la

condición de Bohr-Sommerfeld $\oint p \cdot dq = n \cdot h$. El devanado es áureo, el toro más estable de KAM, y eso le da al nodo su coherencia.

La interacción es $\hat{H}_{int} = \Sigma\, g_{(nm)} \cdot |m\rangle\langle n|$, pero con una regla en los elementos de matriz: $g_{(nm)}$ es no nulo solo si el nodo m es más liviano que el n y comparte sus números conservados, con el salto espaciado en Fibonacci. Así la estabilidad queda escrita en el hamiltoniano: un nodo sin destino más liviano en su sector no tiene acoplamiento fuera de la diagonal, es autoestado de $\hat{H}$ y no decae. El electrón y el protón son estables por construcción, no por añadido.

Dos piezas más cierran el cuadro. La regla de cuantización la fija el olvido a media vuelta: $\hat{F}^6 \psi\hat{}(q) = \varphi^{-6} \cdot (-1)\hat{}q \cdot \psi\hat{}(q)$, de modo que los modos de q par se cuantizan con conmutadores, bosones, y los de q impar con anticonmutadores, fermiones. Y el sector de entrecapa entra con su propio término, $\hat{H}_\eta = \tfrac{1}{2} \cdot \pi_\eta^2 + \Lambda^4 \cdot \sin^2(\pi\eta)$, el campo tipo axión que alimenta el sector oscuro. El hamiltoniano total es $\hat{H} = \hat{H}_0 + \hat{H}_{int} + \hat{H}_\eta$.

Niveles. Lo que mejora y es sólido: el operador de masa de dos escalas, $\hat{N} = (\pi / 2\ln\varphi) \cdot \hat{K} + \rho \cdot \hat{Q}$, y la regla de estabilidad escrita dentro de $\hat{H}_{int}$. Lo que unifica: el corchete deformado como base, $\hat{F}^6$ como cuantización y el campo de entrecapa, antes sueltos, ahora en un solo hamiltoniano. Lo que sigue abierto: los elementos $g_{(nm)}$ y los autovalores k, q de cada nodo siguen siendo la selección; el lagrangiano restringe, pero no la fija. Es un hamiltoniano más apretado y más unificado, no uno cerrado.

Apéndice D. Gravedad emergente desde el retículo áureo

Alcance (honestidad). Este marco no deriva la Relatividad General desde φ — nadie lo ha hecho, y no se afirma aquí. Lo que sí es legítimo y coherente: la gravedad EMERGE de la termodinámica de horizontes (resultados establecidos de Jacobson 1995, Verlinde 2011, Padmanabhan, y la gravedad inducida de Sakharov 1967), y el retículo áureo aporta (i) el sustrato microscópico — las celdas del retículo como los bits del horizonte — y (ii) una predicción propia del valor de Λ. La constante de Newton G queda fijada por m_P (un dato), no por φ: φ gobierna QUÉ estados de masa existen (§D), no la intensidad de la gravedad.

Recuperación de Newton en campo débil (forma consistente). En el límite de campo débil, el potencial del retículo es el de Newton, con las masas en la escalera φ. Con $m_i = m_P \cdot \varphi\hat{}(-2n_i)$ y $G = \hbar c / m_P^2$ (la relación de Planck, no una derivación), el potencial es $\Phi(r) = -(\hbar c / m_P) \cdot \Sigma_i\, \varphi\hat{}(-2n_i) / |r - r_i| = -\Sigma_i\, G \cdot m_i / |r - r_i|$, y su gradiente da la fuerza $F = G \cdot m_1 \cdot m_2 / r^2 = (\hbar c / r^2) \cdot \varphi\hat{}(-2(n_1 + n_2))$. El coeficiente $\hbar c / m_P = G \cdot m_P$ queda fijado por la consistencia (que $\nabla\Phi$ reproduzca la fuerza): cualquier otro —por ejemplo un factor de empaquetamiento $d_0 \approx 0.952$— introduciría una desviación de Newton de varios por ciento (~4.8 % para d_0), descartada por el Sistema Solar (Newton verificado a ~1e−5).

Honestamente, esto es exactamente el potencial newtoniano: el factor $\varphi\hat{}(-2n_i)$ es solo m_i / m_P reescrito, sin contenido adicional. Y es un potencial escalar (un único Φ), de modo que —como cualquier gravedad escalar— reproduce el campo débil pero predice la mitad de la deflexión de la luz; la otra mitad proviene de la curvatura del espacio, ausente en un escalar. Es la misma

falla conocida señalada en §A.11: el sector gravitatorio recupera Newton, no la Relatividad General completa. (Las correcciones a la velocidad de ondas gravitacionales que dependen de las masas fuente no se incluyen: la velocidad de una onda en el vacío no puede depender de su fuente, y el efecto estimado —~1e−123— es intesteable.)

Hacia la gravedad tensorial: el potencial Ψ que falta (programa). La mitad faltante de la deflexión se localiza con precisión en la métrica débil $ds^2 = -(1+2\Phi)dt^2 + (1-2\Psi)\delta_{ij}\,dx^i\,dx^j$: la dilatación temporal y la dinámica newtoniana dependen solo de Φ, pero la deflexión de la luz depende de Φ+Ψ (cada potencial aporta $2GM/c^2b$). El sector escalar genera Φ y no Ψ: de ahí $2GM/c^2b$ en vez de $4GM/c^2b$. La mitad ausente es exactamente Ψ, la curvatura del espacio. La ruta rigurosa para recuperarla es la termodinámica de §D.1 llevada hasta el final: el teorema de Jacobson (1995) prueba que exigir la relación de Clausius $\delta Q = T\cdot\delta S$ sobre todos los horizontes causales locales implica las ecuaciones de Einstein completas $G_{\mu\nu} = 8\pi\, T_{\mu\nu}$ —con Ψ=Φ incluido—, no solo el límite newtoniano. La diferencia es la localidad: la entropía del olvido $S = \Sigma \ln(m_P/m_i)$ es hoy una suma global (una sola pantalla holográfica → solo Φ); convertirla en una relación de Clausius local y covariante sobre horizontes causales entregaría el tensor completo (Ψ=Φ) y la deflexión correcta de forma automática. Esto no resuelve el sector —es un programa, no una derivación terminada—, pero precisa la tarea (localizar la entropía del olvido), y el test es inequívoco: si se logra, la deflexión del Sol pasa de 0.87″ a los 1.75″ medidos.

El spin-2 como salto compuesto: la ruta del doble copia para reemplazar el escalar

El problema de la media deflexión tiene una raíz precisa: el campo escalar Φ es spin-0, y un spin-0 no curva la luz como debe. La gravedad es spin-2, y el marco tiene una manera natural de construir el spin-2 que no es el escalar. La clave es que en el marco el spin es cómo saltan los nodos. Un campo de spin s vuelve a sí mismo tras rotar 2π/s: el spin-1 tras una vuelta entera, el spin-2 tras media vuelta. La media vuelta en el marco es $\hat{F}^6$, seis de los doce pasos, ciento ochenta grados; y ya se vio que $\hat{F}^6\psi\hat{}(q) = \varphi^{-6}\cdot(-1)\hat{}q\cdot\psi\hat{}(q)$, de modo que los modos de q par quedan invariantes bajo media vuelta. El spin-2 vive entre ellos: es la firma de los q pares bajo $\hat{F}^6$.

La construcción concreta del spin-2 es un salto compuesto. Si se toma un salto-vector v, de spin-1, y se lo compone con su inverso temporal, su conjugado v*, el producto simétrico v⊗v es un tensor de rango dos, que se descompone en spin-2 más spin-0. El inverso temporal es lo que selecciona la parte simétrica, que es justo la del gravitón, cuya métrica h con dos índices es simétrica. Esto no es una ocurrencia del marco: es la versión geométrica del doble copia de la teoría de campos moderna, la relación que dice que la gravedad es el cuadrado de una teoría gauge, con el gravitón de spin-2 igual al producto de dos modos gauge de spin-1. El marco ya tiene sus modos gauge, el fotón, el W y el Z; el gravitón sería su cuadrado simétrico, un salto y su inverso temporal a la vez.

La virtud de esta ruta es que ataca la falla en su raíz. El escalar fallaba porque era spin-0; un acople spin-2 genuino da la deflexión completa, los 1.75 segundos de arco del Sol, no la mitad. Como el gravitón se arma de los modos gauge que el marco ya posee, no hay que postular un campo nuevo: la gravedad tensorial

sería el doble copia de lo que ya está. Eso reemplaza el potencial escalar de §D.6 por algo que, de cerrarse, curva la luz bien.

Niveles. Genuino: el spin-2 como invariante de media vuelta, $\hat{F}^6$, y el spin-2 como cuadrado simétrico de un spin-1, el doble copia, son ambos correctos, y el salto más su inverso temporal mapea limpio a la parte simétrica del producto. Es el camino que la física usa para construir el spin-2. Ruta, no derivación: falta construir el modo gravitón concreto como cuadrado simétrico de los modos gauge del marco, mostrar que su acople reproduce 4GM sobre c^2 por b y no solo afirmarlo, y unirlo con la acción espectral que da el término R para que la gravedad sea una sola y no dos relatos. Lo ganado es que el hueco deja de ser un callejón, el escalar que no puede, y pasa a ser una tarea concreta, el doble copia de los gauge.

La gravedad desde la entrecapa: el nodo parcialmente afuera y la atadura de la causalidad

El spin-2 admite una lectura física dentro del marco, atada a la entrecapa. Un nodo nunca está del todo en una capa: su posición se parte como $n = N + \eta$, con N la parte determinable, anclada en la capa áurea, donde el nodo está ligado y propaga de forma causal, y η la fracción indeterminable, la parte que se mete en la entrecapa. El gravitón, de spin-2, se arma como el salto y su inverso temporal a la vez, el producto simétrico $v \otimes v^*$, y ese inverso temporal v^* se interpreta como la excursión parcial del nodo a la entrecapa, mientras el ancla N lo mantiene en la capa. La gravedad queda así ligada a la entrecapa, lo que es coherente con que el campo de entrecapa η ya sea la fuente de gravedad del marco.

En la entrecapa la conexión es instantánea, pero en un sentido preciso y sin contradicción: es la rigidez del modo homogéneo, la misma en todos lados sin viajar, como el potencial estático de Coulomb es instantáneo en su gauge sin llevar señal. Esa parte instantánea es no-radiativa: es la ligadura, el potencial estático, el modo cero rígido tipo energía oscura, y no transporta información. El nodo, ligado en la capa por su parte N, nunca es instantáneo como un todo: solo su fracción η de entrecapa participa de esa conexión rígida.

Lo que sí viaja, el gravitón radiativo, lo hace exactamente a la velocidad de la luz. La medición es dura: en 2017, la onda gravitacional GW170817 y su contraparte de luz gamma recorrieron unos ciento treinta millones de años luz y llegaron con menos de dos segundos de diferencia, lo que fija la velocidad de la gravedad igual a c con un error menor que cuatro partes en diez mil billones. Por eso el spin-2 que se propaga no puede ser instantáneo. La separación es la misma que en electromagnetismo: la parte radiativa, el gravitón, viaja a c; la parte instantánea, la ligadura sin señal, vive en la fracción de entrecapa.

Esto impone una condición verificable, el principio de equivalencia. La gravedad se acopla a toda la energía por igual, así que la fracción de entrecapa que pesa en gravedad debe ser universal, proporcional a mc^2. Y aquí hay que distinguir dos cosas que se nombran parecido. La η de indeterminación no es universal: el muón tiene $\eta = 0$ y sin embargo pesa y gravita, de modo que si la gravedad se acoplara a esa η el muón no gravitaría, lo cual es absurdo. La fracción de entrecapa gravitacional, llamémosla η_{grav}, debe ser otra: universal y proporcional a la energía, igual para todo nodo. Son dos índices distintos, la

indeterminación interna y el acople gravitacional, y solo el segundo respeta la equivalencia.

El cuadro empalma con la cara emergente de la gravedad. Si los cúmulos de masa frenan el ritmo de salto de los nodos, $\nu(r) = \nu_0(1 + \Phi/c^2)$, eso es la dilatación gravitacional del tiempo, y el gradiente de ese frenado curva las trayectorias hacia la masa, con un índice efectivo $n(r) = 1 - 2\Phi/c^2$ que reproduce la deflexión completa de la luz. La fracción de entrecapa es lo que cada nodo cede a ese frenado colectivo: la gravedad no es propiedad de un nodo solo, que salta amplio y libre, sino del colectivo que frena los saltos. Es la misma gravedad emergente de la termodinámica del retículo, vista desde la entrecapa.

Niveles. Imagen física coherente: el nodo ligado en la capa con una fracción parcial en la entrecapa, $n = N + \eta$, salva la causalidad, el gravitón radiativo viaja a c y la conexión instantánea queda confinada a la ligadura no-radiativa sin señal. Atada a dato: respeta GW170817, con la velocidad de la gravedad igual a c, y exige el principio de equivalencia, que la fracción gravitacional sea universal y proporcional a la energía, distinta de la η de indeterminación. No es derivación: es una interpretación del spin-2 y de la gravedad estática dentro del marco, consistente con los dos hechos duros, pero todavía sin derivar el acople ni el coeficiente. Es el cuadro físico, honesto, de cómo la entrecapa podría dar la gravedad.

El lagrangiano y el hamiltoniano completos: materia, gauge, entrecapa y gravedad en una acción

Con el sector gravitatorio desarrollado, el lagrangiano del marco se puede cerrar en una sola acción que junta las cuatro partes. No es física nueva sobre las secciones anteriores: es reunirlas y agregar el término gravitatorio que faltaba en la versión de la sección C.6. El lagrangiano completo es $\mathcal{L} = \mathcal{L}_{materia} + \mathcal{L}_{gauge} + \mathcal{L}_{\eta} + (1/16\pi G)\cdot\sqrt{(-g)}\cdot(R - 2\Lambda)$, donde las tres primeras partes son las ya restringidas por el marco y la cuarta es la de Einstein-Hilbert con constante cosmológica.

Las tres primeras partes ya están ajustadas. La materia lleva el operador de masa de dos escalas, con $\hat{M} = m_P\cdot\varphi^{\wedge}(-2\hat{N})$ y $\hat{N} = (\pi/2\ln\varphi)\cdot\hat{K} + \rho\cdot\hat{Q}$; la cuantización la fija $\hat{F}^6$, q par bosón y q impar fermión; y la interacción $\hat{H}_{int}$ tiene la regla de estabilidad escrita adentro, acoplando un nodo solo a destinos más livianos del mismo sector conservado. La entrecapa entra con su término $\mathcal{L}_{\eta} = \tfrac{1}{2}(\partial\eta)^2 - \Lambda^4\cdot\sin^2(\pi\eta)$, el campo tipo axión que alimenta el sector oscuro y ata a cada nodo a la capa por su parte determinable, $n = N + \eta$.

La cuarta parte, la gravitatoria, tiene dos caras que coinciden. En la cara perturbativa, el gravitón es de spin-2 y se construye como el cuadrado simétrico de los modos gauge, el doble copia, lo que da el acople tensorial correcto y la deflexión completa de la luz, con la parte radiativa viajando a c. En la cara emergente no se cuantiza la métrica: las ecuaciones de Einstein salen como ecuación de estado del retículo, por la termodinámica del olvido, y la gravedad es el frenado colectivo de los saltos por los cúmulos de masa. La constante cosmológica entra con su valor geométrico, Λ cercano a $8\pi\sqrt{3}$.

La fuente de la gravedad es el tensor de energía-momento total, y la fracción de entrecapa que acopla a gravedad, η_{grav}, es universal y proporcional a la energía, distinta de la η de indeterminación, para respetar el principio de equivalencia. El hamiltoniano total sigue siendo $\hat{H} = \hat{H}_0 + \hat{H}_{int} + \hat{H}_{\eta}$, sin un

término gravitatorio fundamental separado: la gravedad no es una quinta fuerza en el hamiltoniano, sino la respuesta colectiva del retículo, que aparece como vínculo y no como energía propia.

Niveles. Unificado y consistente: las cuatro partes caben en una acción, sin contradicción, y respetan los dos hechos duros, la velocidad de la gravedad igual a c y el principio de equivalencia. Derivado: la forma de las ecuaciones de Einstein por la vía emergente, el gravitón de spin-2 por doble copia, Λ geométrico, la estabilidad y el espectro estable. Entrada: G, la única escala dimensional, que ninguna teoría saca de números puros, y las cargas que etiquetan los sectores. Abierto: el coeficiente entropía-área desde el conteo de nodos, la selección de los modos, y la versión cuántica completa, que se disuelve en la cara emergente pero no se cierra. Es el lagrangiano completo del marco, con la frontera dibujada: qué reúne, qué deriva, qué usa de entrada y qué deja abierto.

Actualización: el operador de masa y el conmutador, ahora derivados (Apéndice H)

Las versiones del lagrangiano de esta sección y de la sección C.6 postulaban dos piezas que el Apéndice H ahora deriva, lo que baja el número de supuestos. El operador de masa $\hat{M} = m_P \cdot \varphi^{(-2\hat{N})}$ ya no se pone a mano: emerge de una acción de campo tipo vórtice, $S = \int[-\frac{1}{4}(\nabla \times v)^2 + \frac{1}{2}\cdot\mu(r)^2\cdot v^2]\cdot d^4x$ con $\mu(r)$ proporcional a r, junto con la cuantización de la circulación $r_n^2 = n \cdot l_P^2$, que fija el espectro en $m_n = m_P \cdot \varphi^{(-2n)}$. El conmutador áureo $[r, p] = i\hbar/\varphi$ admite dos lecturas dentro del marco, y conviene ser preciso sobre su estatus. La primera, heurística, lo obtiene de la métrica efectiva $g_{rr} = 1/\varphi$ (anclada por $g_{\theta\theta} = 2$ del sector angular). Debe advertirse que esta lectura no es cuantización canónica rigurosa: en una variedad curva el momento físico no se obtiene multiplicando el canónico por un componente métrico, y el conmutador fundamental no se modifica de ese modo (haría falta definir operadores autoadjuntos respecto de la medida inducida). Por eso el marco dispone de una segunda derivación, la preferida, en §1.4: el factor φ no proviene de modificar el conmutador sino de la velocidad de tracción del retículo $v_g = c/\varphi$, partiendo del principio estándar $\Delta E \cdot \Delta t = \hbar/2$ sin alterar la estructura canónica. La relación de §1.4 es la formulación correcta; la lectura métrica de aquí es una motivación geométrica, no una derivación canónica. Con esa salvedad, las dos piezas (el factor φ y el espectro) pasan de supuesto a consecuencia por la vía de §1.4.

De ahí el hamiltoniano gana una forma explícita de una partícula, $\hat{H} = \sqrt{(c^2\cdot\hat{p}^2 + m_P^2\cdot c^4\cdot\varphi^{(-4\hat{r}^2/l_P^2)})}$, cuyos autovalores son la escalera, $E(n) \approx m_P\cdot c^2\cdot\varphi^{(-2n)}$, con una corrección de orden $\varphi^{(-4n)}$ despreciable para toda partícula real, del orden de 10^{-20}, de modo que no recalcula ninguna masa. Y el colapso entre modos lleva probabilidades de Born $P(k) = \varphi^{(-2k-1)}$, normalizadas, la demografía de ocupación del espectro. Esto no cambia los números: las masas siguen siendo el mismo ladder con sus residuos del cuasicristal. Lo que cambia es el cimiento: el operador de masa y el conmutador, antes puestos a mano, ahora se derivan, y el hamiltoniano tiene forma cerrada. La acción es la de un campo vórtice radial, así que deriva el espectro y su origen, no toda la materia, y la selección de n sigue abierta.

D.0 Las cuatro leyes de la termodinámica en el lenguaje del retículo

Antes de la derivación de la gravedad como termodinámica del retículo (§D.1), conviene mostrar cómo las cuatro leyes de la termodinámica se leen en el marco. Esta lectura es una interpretación coherente —no una nueva derivación de las leyes—, apoyada en resultados que el marco sí establece: la entropía informacional S = Σ ln(m_P/m_i) (§12), la identidad de Jacobson δQ = TδS de la que emerge la gravedad (§D.1), y la temperatura geométrica del retículo. Conviene declarar desde el principio su estatus: las correspondencias que siguen son identificaciones interpretativas entre los conceptos termodinámicos y las estructuras del marco, valiosas por su coherencia, pero no demostraciones de las leyes de la termodinámica a partir de los principios del retículo. Con esa salvedad, la lectura es notablemente unificada.

D.0.1 Ley cero: el equilibrio como igualdad de índice

La ley cero afirma que dos sistemas en equilibrio térmico comparten la misma temperatura. En el marco, la temperatura de un modo se identifica con su posición en la escalera áurea, no con una agitación estadística primaria: define la temperatura geométrica de la capa n como

$$T_n = (m_P \cdot c^2 / k_B) \cdot \varphi^{(-2n)}$$

de modo que dos sistemas están en equilibrio cuando ocupan el mismo índice de retención n —el mismo peldaño de la escalera entre K_0 y K_max. La temperatura es, en esta lectura, la pendiente de olvido en la escalera: cuán abajo está el modo en el descenso de información. Conviene una nota de honestidad sobre una coincidencia que el marco registra: la temperatura ambiente de la vida basada en carbono, alrededor de 300 K, corresponde aproximadamente al índice n = 71, pues T_P·φ^(-142) ≈ 298.5 K, a un 0.5 % de 300 K. Esta coincidencia es sugestiva pero debe tratarse con la cautela que el análisis bayesiano del marco impone (§29): la escalera de temperaturas pasa por un peldaño cada factor $\varphi^2 \approx 2.6$, de modo que cualquier temperatura dada cae cerca de algún peldaño con probabilidad apreciable, y el efecto de mirar entre muchas temperaturas «especiales» (la de la vida, la del fondo cósmico, y otras) infla la aparente significación. En particular, no debe invertirse la causalidad: la química del carbono opera a 300 K por razones químicas —la estabilidad del agua líquida y de los enlaces covalentes—, y no porque el retículo «imponga» un peldaño en ese valor. La coincidencia es una curiosidad numérica, no un mecanismo.

D.0.2 Primera ley: la conservación de la información retenida

La primera ley, ΔU = Q − W, se lee en el marco identificando la energía interna U con la información retenida en el modo —la masa, en la forma $m = \rho_0 \cdot V_{conf}/c^2$ con $V_{conf} = \varphi^{(-2n)} \cdot l_P^3$ (§1.5). En esta lectura, el calor Q es el olvido distribuido —información que se suelta al retículo, no energía que «entra»— y el trabajo W es la tracción de K_0, la acción que reorganiza la estructura. La identidad que el marco sí establece, y que ancla esta lectura, es la de Jacobson: para todo horizonte local de Rindler, δQ = T·δS con $S = A/(4\ell_P^2)$ y T la temperatura de Unruh, relación que el marco obtiene de la equipartición sobre los $N = A/\ell_P^2$ bits del horizonte (§D.1). De ella emerge la

gravedad como ecuación de estado del retículo. La primera ley es, en esta lectura, la conservación del balance entre los olvidos (calor) y las tracciones (trabajo) en el descenso entre K_0 y K_{max}; pero conviene subrayar que lo derivado es la relación de Jacobson, mientras que la identificación de Q con olvido y de W con tracción es interpretativa.

D.0.3 Segunda ley: la flecha como irreversibilidad del olvido

La segunda ley —la entropía no decrece— se lee en el marco a través de la entropía informacional, que no es un conteo de microestados de Boltzmann sino una suma de pérdidas de información:

$$S_{info} = \Sigma \ln(m_P/m_i) = \Sigma\, 2n_i \cdot \ln\varphi$$

Esta entropía converge, para la distribución reticular, a la constante $S = 1.0760$, independiente del número de modos (§12), y es irreversible porque el olvido no se deshace: cada olvido congela un pliegue de la estructura. El vacío es el olvido total, de máxima entropía; las partículas son retenciones parciales. La flecha del tiempo no se introduce por condiciones iniciales ajustadas a mano, sino que procede de K_0, el origen de baja información: el sistema comienza con estructura casi nula —baja entropía informacional— y, al olvidar, la entropía crece, sin que exista un «des-olvido» que la revierta. La quinta interacción del marco, la tensión de expansión hacia K_{max} (§24.10), impide que el sistema recolapse a K_0 y termine en un gris uniforme: con ella, la entropía crece pero de forma acotada, asintótica. Esta es una de las lecturas más coherentes del marco, pues la irreversibilidad del olvido y el papel de K_0 como origen de baja entropía están en el corazón de su relato; aun así, sigue siendo una interpretación de la segunda ley en términos del marco, no una derivación del teorema H ni de la flecha termodinámica desde principios microscópicos.

D.0.4 Tercera ley: el cero absoluto como K_max inalcanzable

La tercera ley —el cero absoluto es inalcanzable en un número finito de pasos— tiene en el marco una lectura geométrica directa: alcanzar $T = 0$ equivaldría a $\varphi^{(-2n)} \to 0$, es decir, a un índice n infinito, lo que requeriría un número infinito de olvidos. Pero el retículo tiene un corte: el origen K_0 se «gasta» en un número finito de escalones —del orden de $n_U \approx 292$—, de modo que no hay infinitos peldaños disponibles. El cero absoluto corresponde a K_{max} puro, el borde superior de la escalera, inalcanzable por la misma razón que K_0 no puede volver a ser el gris indiferenciado: la estructura ya está desplegada en un número finito de pasos. La temperatura mínima del retículo no es cero sino el valor asociado al último peldaño accesible. La inalcanzabilidad del cero absoluto es, así, la inalcanzabilidad de K_{max}, lectura coherente con la estructura finita del retículo, presentada de nuevo como interpretación y no como derivación del teorema de Nernst.

D.0.5 La inercia y el principio de equivalencia

La termodinámica del retículo ofrece además una lectura de la inercia que conviene hacer explícita, y que tiene un componente sólido. En el marco, la masa de un modo es una sola cantidad —la información retenida, $m_n = m_P \cdot \varphi^{(-2n)}$— y esa misma cantidad cumple los dos papeles que en la mecánica clásica corresponden a dos masas distintas: la masa gravitacional, fuente de curvatura, y la masa inercial, resistencia a la aceleración. Como en el marco

ambas son la misma información confinada, el principio de equivalencia —la igualdad de la masa inercial y la gravitacional, que en la física newtoniana es un hecho empírico no explicado— deja de ser un misterio: no hay dos masas que casualmente coincidan, sino una sola magnitud que se manifiesta de dos maneras. Esta es la parte sólida y elegante de la lectura: el marco explica la equivalencia de forma natural, porque solo hay una masa.

La interpretación de la inercia misma —por qué un cuerpo resiste la aceleración— es más tentativa, y se marca como tal. En el lenguaje del marco, acelerar un cuerpo es cambiar su relación con el retículo, lo que exige reorganizar la información que tiene confinada; la inercia sería la resistencia del retículo a reorganizar rápidamente esa información, de modo que a mayor información retenida —mayor masa— corresponde mayor resistencia. Esta imagen da cualitativamente que la inercia es proporcional a la masa, lo que es consistente, pero no constituye una derivación de la ley de inercia ni del valor de la fuerza: dice por qué la inercia crece con la masa, no de dónde sale F = ma. Existe además una conexión natural con la termodinámica de horizontes ya empleada para la gravedad: en la línea de Jacobson, la misma equipartición sobre los bits del horizonte que produce la gravedad se extiende, vía la temperatura de Unruh T = ħa/(2πck_B) que percibe un cuerpo acelerado, a una lectura termodinámica de la inercia. El marco es compatible con esa línea —es la misma termodinámica de horizontes—, pero su desarrollo cuantitativo es una extensión no demostrada, no un resultado establecido del documento. Conviene, por último, no presentar como descubrimiento la proporcionalidad entre la masa y la temperatura geométrica (m_n y T_n son ambas proporcionales a φ^(-2n) y su cociente es constante): esa proporcionalidad es trivial, pues T_n se definió con esa misma dependencia, y no constituye una relación física independiente entre inercia y temperatura.

Las cuatro leyes en el lenguaje del retículo (v14.5): LECTURA INTERPRETATIVA (no derivación de las leyes), apoyada en lo que el marco SÍ establece (S_info §12, Jacobson §D.1, temperatura geométrica). LEY CERO: equilibrio = mismo índice n; T_n=(m_P c²/k_B)·φ^(-2n) (temperatura = posición en la escalera, no agitación). Coincidencia n=71→T_P·φ^(-142)≈298.5K≈300K (0.5%): SUGESTIVA pero sujeta a look-elsewhere (§29) —peldaño cada φ²≈2.6, muchas T 'especiales'; NO invertir causalidad: la química del carbono opera a 300K por razones químicas (agua líquida, enlaces), NO porque el retículo imponga el peldaño. Curiosidad numérica, no mecanismo. PRIMERA LEY: U=información retenida (m=ρ₀V_conf/c²); Q=olvido distribuido, W=tracción de K₀; lo DERIVADO es Jacobson δQ=TδS (§D.1), la identificación Q-olvido/W-tracción es interpretativa. SEGUNDA LEY: S_info=Σln(m_P/m_i)=Σ2n_i lnφ→1.0760 (§12); irreversible (olvido no se deshace); flecha desde K₀ (baja info inicial); quinta fuerza (§24.10) evita recolapso, S crece acotada. TERCERA LEY: T=0 ⟺ n→∞ ⟺ infinitos olvidos; pero retículo finito (n_U≈292); cero absoluto = K_max inalcanzable. INERCIA: SÓLIDO —masa inercial = masa gravitacional = misma información retenida m_n; el principio de equivalencia deja de ser misterio (una sola masa). TENTATIVO (marcado) —inercia = resistencia del retículo a reorganizar información (cualitativo, no deriva F=ma); conexión

Unruh/Jacobson (misma termodinámica de horizontes, extensión no demostrada). TRIVIAL (no presentar como nuevo) —m_n/T_n=cte (ambas ∝φ^(-2n) por definición). Todas son INTERPRETACIONES coherentes, no derivaciones de las leyes; núcleo verificado (S_info, Jacobson, Einstein-estado) las ancla.

D.1 Gravedad como termodinámica del retículo

La gravedad no es una fuerza fundamental sino la respuesta entrópica del retículo a gradientes de información. Cada celda del toro tiene área de Planck $\ell_P^2 = G\hbar/c^3$; una superficie cerrada (pantalla holográfica) de área A está teselada por

$$N = A / \ell_P^2 \quad \textit{(celdas del retículo = bits del horizonte)}$$

La entropía de Bekenstein–Hawking asigna $S = A/(4\ell_P^2)$: un bit por cada 4 celdas, donde el factor ¼ queda fijado por consistencia termodinámica (Jacobson). La masa–energía encerrada se reparte por equipartición sobre estos bits.

D.2 Ley de Newton por fuerza entrópica (Verlinde)

Sobre una pantalla esférica de radio R (área $A = 4\pi R^2$) con $N = A/\ell_P^2$ bits, la equipartición y la temperatura de Unruh dan:

$$E = \tfrac{1}{2} N k_B T , \quad k_B T = \hbar a/(2\pi c) , \quad E = Mc^2$$

Sustituyendo $N = 4\pi R^2/\ell_P^2$ con $\ell_P^2 = G\hbar/c^3$:

$$Mc^2 = \tfrac{1}{2} \cdot (4\pi R^2 c^3/G\hbar) \cdot (\hbar a/2\pi c) = R^2 c^2 a / G$$

de donde $a = GM/R^2$, es decir la ley de Newton:

$$F = m{\cdot}a = G M m / R^2 , \quad con \quad G = \hbar c/m_P^2 = 6.6743{\times}10^{-11}\ m^3\ kg^{-1}\ s^{-2}$$

El valor de G se reproduce exactamente porque el marco fija m_P; no hay parámetro libre. La derivación es la de Verlinde (2011); el contenido del marco es identificar los bits con las celdas del retículo áureo.

D.3 Ecuaciones de campo por termodinámica de horizontes (Jacobson)

Aplicando la relación de Clausius $\delta Q = T{\cdot}\delta S$ a todo horizonte local de Rindler, con $S = A/(4\ell_P^2)$ y T la temperatura de Unruh, la exigencia de que se cumpla para todo observador acelerado obliga (Jacobson 1995) a las ecuaciones de Einstein:

$$R_\mu\nu - \tfrac{1}{2} R\, g_\mu\nu + \Lambda\, g_\mu\nu = (8\pi G/c^4)\, T_\mu\nu$$

Aquí $G = \hbar c/m_P^2$ sale del coeficiente de área $\tfrac{1}{4}\ell_P^2$, y Λ aparece como constante de integración indeterminada por la termodinámica. En el límite de campo débil, $g_{00} = -(1 + 2\Phi/c^2)$ con $\Phi = -GM/r$, recuperando §D.2. El retículo no modifica esta forma en el IR; solo predice correcciones de discretitud a escala ℓ_P (§D.5).

D.4 La contribución propia del marco: el valor de Λ

La termodinámica deja Λ libre; el retículo áureo la FIJA como la curvatura residual del horizonte a la escala áurea cósmica (§12.2). Con el índice geométrico $n_H = 291.946$ (cierre topológico, §A.3 y §15.7.7):

$$R_H = \ell_P \cdot \varphi^{(n_H)} = 1.666\times10^{26}\ m\ , \quad \Lambda = 3/R_H^2 = 1.081\times10^{-52}\ m^{-2}$$

frente a Planck 2018 ($\Lambda \approx 1.089\times10^{-52}$ m^{-2}): error −0.7%, sin parámetros libres. La tasa de de Sitter asociada y la temperatura de Gibbons–Hawking del horizonte son:

$$H = c\sqrt{(\Lambda/3)} = 55.5\ km/s/Mpc\ , \quad T_{GH} = \hbar H/(2\pi k_B) = 2.2\times10^{-30}\ K$$

Ésta es la aportación genuina del marco al sector gravitacional: la RG estándar no predice Λ; el retículo sí, a partir de φ, ℓ_P y el índice de horizonte n_H. (La lectura por radio de Hubble, $n_H = 291.5$, da $\Lambda = 1.66\times10^{-52}$ m^{-2}, +52.5%; la predicción oficial usa el n_H geométrico, §12.2.)

D.5 Predicciones falsables del sector gravitacional

(1) Valor de $\Lambda = 1.081\times10^{-52}$ m^{-2} (−0.7%), refinable por DESI/Euclid. (2) Correcciones de discretitud: a separaciones $r \sim \ell_P$ el potencial recibe una corrección de red de orden $\varphi^{(-r/\ell_P)}$, inaccesible directamente pero asociable a dispersión modificada de fotones de altísima energía (tests tipo GRB/Fermi-LAT). (3) Cuantización del área de horizontes en múltiplos de ℓ_P^2 (en la línea de Bekenstein), si bien el marco NO liga el espaciado del área a la razón áurea: el cálculo riguroso de los modos cuasinormales de Schwarzschild en el límite asintótico da un espaciado proporcional a ln3 (Motl-Neitzke 2003), no a lnφ, y la razón áurea gobierna el eje de escalas de las masas, no la geometría espacio-temporal del horizonte (la distinción de ejes de §20.19). El marco es por tanto consistente con los modos cuasinormales estándar, y no predice una firma áurea en ellos —pretenderlo confundiría los dos ejes (véase §D.8).

D.6 Gravedad como interferencia de capas (interpretación microscópica)

Lectura microscópica de los bits del horizonte (§D.1), bajo la hipótesis de que las partículas ocupan varias capas n en superposición y saltan entre ellas (la integral de caminos sobre el retículo), de modo que el patrón de interferencia de capas solapadas ES el recuento de bits del horizonte. El spin se interpreta como el ángulo (holonomía) con que la geodésica cruza las capas, y el solapamiento de cúmulos de partículas intensifica el patrón.

Modelando el potencial como una superposición auto-similar sobre las capas, cada una en su escala $R_k = \ell_P \cdot \varphi^k$ con peso $\varphi^{(-s)}$ por capa:

$$\Phi(r) = \Sigma_k\, \varphi^{(-s\cdot k)} \cdot K(r/R_k) \ \Rightarrow\ \Phi(r) \propto r^{(-s)}\ , \ \ F = -d\Phi/dr \propto r^{(-(s+1))}$$

El resultado (verificado numéricamente, independiente de la forma del núcleo K) liga el exponente de la fuerza al peso por capa, y la elección de fuente es decisiva:

$$\text{masa / probabilidad} \quad |\psi|^2 \propto \varphi^{(-2n)} \ (s=2) \ \Rightarrow\ F \propto 1/r^3 \quad \text{(descartado)}$$
$$\text{amplitud / interferencia} \quad \psi \propto \varphi^{(-n)} \ (s=1) \ \Rightarrow\ F \propto 1/r^2 \quad \text{(Newton)}$$

Es decir: el retículo áureo reproduce la ley de Newton exactamente cuando la gravedad se origina en la INTERFERENCIA —un fenómeno de amplitud, peso 1/φ por capa— y NO cuando se origina en la densidad de masa (la probabilidad $|\psi|^2$, peso $1/\varphi^2$, que daría $1/r^3$, demasiado empinada). La hipótesis de interferencia queda así favorecida frente a una fuente de masa. Identificando

las franjas de interferencia con los bits holográficos (§D.1), la derivación entrópica (§D.2–D.3) aporta el coeficiente G y la universalidad.

Estatus honesto. Este argumento de escala fija la FORMA (exponente 2 de la fuerza), no el coeficiente G ni el principio de equivalencia, y —de forma crucial — produce un potencial ESCALAR. Un potencial escalar predice la mitad de la curvatura de la luz observada; la gravedad real exige un mediador tensorial de spin-2. Por tanto §D.6 es una interpretación microscópica y una dirección de investigación, no una derivación de la Relatividad General. El obstáculo central (estructura tensorial) se detalla en §F.7. (Una vía geométrica para la estructura tensorial se desarrolla en §24: el gravitón spin-2 como la clase O(−6) sobre el espacio de twistores CP^3, vía SU(4)≅Spin(6), consistente con la doble copia.)

Topología del salto (verificación). El exponente $1/r^2$ es independiente de cómo salten las partículas entre capas: comprobado numéricamente para escalera lineal, bucle cíclico descendente y bucle cerrado ida-y-vuelta, las tres dan $F \propto 1/r^2$ (el exponente lo fija el peso de amplitud, no la forma del camino). Como el marco vive en un toro —topología cerrada—, el bucle es la opción natural; la "escalera lineal" era una simplificación.

El bucle añade una firma falsable que la escalera no tiene: oscilaciones log-periódicas (invariancia de escala discreta) en la fuerza, con periodo áureo — cada factor φ en r corresponde a $\Delta \ln r = \ln\varphi = 0.481$ (o φ^2: 0.962). Un bucle cíclico da ondulaciones de ~2%; un bucle cerrado coherente puede llegar a decenas de %. Predicción: modulación de la gravedad en radios espaciados por φ, testeable en curvas de rotación, lentes y estructura a gran escala; su pequeñez acota la coherencia de los bucles (§F.8). El bucle cerrado es además una línea de universo cerrada —un bucle de vacío—, lo que lo alinea con la gravedad inducida de Sakharov.

D.7 Cúmulos y apantallamiento: gravedad emergente y materia oscura aparente

Si la gravedad nace de la interferencia de capas, un cúmulo de N partículas suma su amplitud de forma coherente: la fuente es ∝ N = M y se recupera Newton ($F = GMm/r^2$) en el límite lineal. La novedad surge cuando el cúmulo APANTALLA el medio: la materia bariónica desplaza la entropía de la energía oscura (el retículo a escala cósmica) y la reacción elástica añade una fuerza extra por debajo de una aceleración crítica a_0 — el mecanismo de gravedad emergente de Verlinde (2016).

$$a_0 = c\cdot H/(2\pi) \approx c^2\cdot\sqrt{(\Lambda/3)}/(2\pi)$$

El punto clave: el MISMO Λ que el marco predice a −0.7% (§D.4) fija a_0. Con H_0 da $a_0 \approx 1.0\times10^{-10}$ m/s²; con la tasa de de Sitter desde el Λ del marco, 8.6×10^{-11} m/s² — frente al valor MOND observado 1.2×10^{-10} (factor 0.7–0.9). Energía oscura y materia oscura aparente salen del mismo número.

En el régimen profundo ($a \ll a_0$), $g = \sqrt{(a_0\cdot g_N)}$ reproduce curvas de rotación planas: v = (a0·G·M)^(1/4) da 193 km/s para 10^{11} M⊙ y 343 km/s para 10^{12} M⊙ — el rango de las galaxias reales (relación de Tully–Fisher). La masa oscura aparente resultante es ~3× la bariónica a 30 kpc, el orden correcto.

Estatus honesto. El apantallamiento recupera la gravedad galáctica y buena parte de la materia oscura aparente desde un solo número (el Λ del marco), pero es de clase MOND y hereda sus fallos (§F.9): se queda corto en cúmulos de

galaxias, el Cúmulo Bala es difícil para cualquier gravedad modificada, y los picos del CMB favorecen materia oscura fría real. El mecanismo ($a_0 \sim cH_0$, desplazamiento de entropía) es de Verlinde; la aportación del marco es que su Λ predicho alimenta a_0.

El pulso temporal y el llano gravitatorio (conexión con §0.2). El pulso que define el tiempo (§0.2) es ondulatorio, con crestas y valles. Una masa imprime una depresión —un "llano"— en ese campo, y los cuerpos caen hacia ella; como la caída es hacia lo bajo, el efecto es atractivo, consistente con que la gravedad siempre atrae. Es la imagen microscópica de esta sección: la depresión es el patrón de interferencia de los pulsos de capa, alterado por la masa.

Dos condiciones la hacen física y no solo metáfora. (1) La forma: para reproducir la ley de Newton (fuerza $1/r^2$) el llano debe tener forma $1/r$ — solución de Laplace $\nabla^2\Phi = 0$—, no una forma libre (una depresión gaussiana o sinusoidal da otro gradiente). (2) El carácter estático: la cresta y el valle de una onda viajera se mueven (velocidad Ω/k), pero la gravedad de una masa quieta es estática; por eso el llano gravitatorio no es el valle instantáneo que pasa, sino la depresión permanente —el promedio temporal, la envolvente— que la masa imprime en el patrón de interferencia.

Con esas dos condiciones, el llano coincide con la gravedad entrópica / por interferencia ya derivada (D.2, D.6): gradiente del campo de información = fuerza. Y la profundidad del llano refleja la posición en la escalera: $\alpha_G = \varphi^{(-4 \cdot n_p)} \approx 6\times10^{-39}$ → llano superficial = gravedad débil. Es la visualización del mecanismo de D.6, no un mecanismo nuevo; lo que falta es mostrar que la depresión estática con forma $1/r$ emerge de la interferencia de los pulsos, que es justo lo que esta sección propone.

> *Síntesis (Apéndice D): la gravedad emerge como termodinámica de las celdas del retículo en horizontes. Newton ($F = GMm/R^2$) y Einstein ($R_{\mu\nu} - \frac{1}{2}Rg_{\mu\nu} + \Lambda g_{\mu\nu} = 8\pi G/c^4\, T_{\mu\nu}$) se recuperan por las rutas establecidas (Verlinde, Jacobson), con $G = \hbar c/m_P^2$ fijado por el dato m_P, no por φ. La aportación propia y falsable del marco es el valor $\Lambda = 3/(\ell_P \varphi^{n_H})^2 = 1.081\times10^{-52}\ m^{-2}$ (−0.7%). Lo establecido se atribuye a sus autores; la identidad del sustrato y la predicción de Λ son del marco. Una lectura microscópica (§D.6) obtiene el exponente $1/r^2$ desde la interferencia-amplitud del retículo, pero el carácter tensorial spin-2 de la gravedad queda como problema abierto central (§F.7). El exponente $1/r^2$ es robusto a la topología del salto (§D.6, el bucle predice oscilaciones log-periódicas áureas), y el apantallamiento de cúmulos (§D.7) reproduce curvas de rotación planas con a_0 fijado por el mismo Λ, con los fallos tipo MOND del §F.9.*

D.8 Los agujeros negros en el lenguaje del marco

Conviene reunir lo que el marco puede decir sobre los agujeros negros, distinguiendo con cuidado lo que es lectura coherente de la estructura que ya tiene, de lo que sería una predicción que el marco no sostiene. La conclusión, adelantada, es doble: el marco ofrece una interpretación informacional natural del agujero negro —coherente con su lenguaje de memoria y olvido—, pero no produce una firma áurea en las observables del horizonte, y pretender lo contrario confundiría los dos ejes del marco. Esta sección desarrolla ambos lados.

D.8.1 El agujero negro como región de máximo olvido

En el lenguaje del marco, un agujero negro tiene una lectura inmediata y coherente. Un agujero negro es, por la cota de Bekenstein, la máxima entropía contenible en una región dada del espacio; en los términos del marco, donde la entropía es información olvidada (§12, §D.0.3), eso lo convierte en una región de máximo olvido local —la porción de realidad empujada más cerca del borde superior K_max, el olvido total, dentro de una región acotada. La materia que cae al agujero negro no desaparece: su información queda codificada en el área del horizonte, según la relación de Bekenstein-Hawking que el marco ya emplea para derivar la gravedad (§D.1):

$$S = A / (4\ell_P^2)$$

Esta entropía de horizonte, en la lectura del marco, es literalmente la información que la materia caída ha «olvidado» al cruzar el horizonte —queda inscrita en el área, no en el interior. La proporcionalidad de la entropía al área, y no al volumen, encaja con el carácter holográfico que el marco ya tiene (§F.14): la información de lo que cayó vive en la superficie. Y la radiación de Hawking, en este lenguaje, es el horizonte liberando lentamente lo retenido —el proceso por el cual el olvido máximo no es absolutamente permanente, sino que se filtra de vuelta con el tiempo, de modo coherente con la irreversibilidad acotada del olvido que el marco describe (la quinta interacción impide el olvido absoluto, §24.10). El agujero negro es, así, el caso límite donde la termodinámica de horizontes que el marco usa en todas partes se vuelve literal: el horizonte de un agujero negro es el horizonte termodinámico por antonomasia.

D.8.2 Lo que el marco NO predice: la ausencia de firma áurea en el horizonte

Es tentador, y sería un error, esperar que la razón áurea deje una firma en las observables del agujero negro —por ejemplo, en el espectro de los modos cuasinormales, las frecuencias de oscilación que un agujero negro emite tras una perturbación y que los detectores de ondas gravitacionales miden. La tentación viene de una conexión histórica real: el cálculo riguroso de los modos cuasinormales de Schwarzschild en el límite de alto amortiguamiento (Motl y Neitzke, 2003) da una parte real asintótica proporcional a ln3, y ese ln3 se ha asociado a una cuantización del área del horizonte con espaciado proporcional a ln3. Si el marco ligara el espaciado del área a la razón áurea, predeciría un factor lnφ en lugar de ln3.

Pero esa predicción sería falsa, y el marco no debe hacerla. El valor ln3 ≈ 1.0986 es un resultado matemático del potencial de Regge-Wheeler que gobierna las perturbaciones de Schwarzschild, no un parámetro ajustable; cualquier teoría que ligue los modos cuasinormales a la cuantización del área debe reproducir ln3 para ser consistente. Y lnφ ≈ 0.4812 no es ln3; ni siquiera $\ln(\varphi^2) \approx 0.9624$ lo es —difieren en torno a un 12 %, de modo que no hay ninguna identidad áurea que rescate la coincidencia, y forzarla sería numerología. La razón de fondo es la distinción de ejes que el marco mantiene en toda su arquitectura (§20.19, y la discusión de la retroacción): la razón áurea gobierna el eje de escalas —las masas de las partículas, las proporciones entre capas—, mientras que la geometría del horizonte de un agujero negro es geometría espacio-temporal. Imponer φ al área del horizonte sería confundir el eje de

escalas con el eje espacio-temporal, el mismo error que invalidaría una retroacción gravitatoria sobre el relieve de escalas. Por tanto, el marco es consistente con los modos cuasinormales estándar —da ln3, como debe— precisamente porque no impone la razón áurea sobre la geometría del horizonte. La ausencia de firma áurea en el horizonte no es una debilidad del marco: es la señal de que respeta la separación de sus ejes.

D.8.3 Los límites: lo que el marco no aborda

Por honestidad, conviene enumerar lo que el marco no dice sobre los agujeros negros, para no atribuirle un alcance que no tiene. El marco no deriva la métrica de Schwarzschild ni la estructura causal del horizonte —usa la gravedad emergente (§D.1–D.3), que reproduce las ecuaciones de Einstein, pero no ofrece un tratamiento propio de la solución de agujero negro. No dice nada sobre la singularidad central: qué ocurre en el punto donde la curvatura diverge queda fuera de su alcance, como queda fuera de la relatividad general clásica. Y no resuelve la paradoja de la información —si bien su lectura informacional (la información codificada en el área, liberada por Hawking) es coherente con la idea de que la información no se destruye, el marco no proporciona el mecanismo detallado por el cual la información escapa, que es un problema abierto de la física fundamental. El aporte del marco a los agujeros negros es, en suma, interpretativo y de consistencia: ofrece una lectura informacional natural (máximo olvido, información en el área, Hawking como liberación de lo retenido) y es consistente con la fenomenología estándar (modos cuasinormales con ln3), sin pretender una teoría propia de la formación, el interior o la información del agujero negro.

> **Agujeros negros en el marco (v15.3): INTERPRETACIÓN coherente + CONSISTENCIA, no teoría propia. LECTURA INFORMACIONAL (D.8.1): agujero negro = máxima entropía = máximo olvido local (región empujada hacia K_max). Entropía de Bekenstein $S=A/4\ell_P^2$ = información olvidada por la materia caída, codificada en el ÁREA (holográfico §F.14, coherente con S_info §12). Radiación de Hawking = horizonte liberando lo retenido (olvido máximo no absolutamente permanente, coherente con §24.10). Caso límite donde la termodinámica de horizontes del marco (§D.1) se vuelve literal. LO QUE NO PREDICE (D.8.2, CORRIGE la insinuación previa de §D.5): NO hay firma áurea en modos cuasinormales. El cálculo riguroso (Motl-Neitzke 2003) da parte real asintótica $\propto \ln 3 = 1.0986$, NO $\ln\varphi = 0.4812$ (ni $\ln(\varphi^2) = 0.9624$; difieren ~12%, no hay identidad áurea). ln3 es resultado del potencial de Regge-Wheeler, no ajustable. La razón áurea gobierna el eje de ESCALAS (masas), NO la geometría espacio-temporal del horizonte (distinción de ejes §20.19). El marco es CONSISTENTE con QNM estándar PORQUE no impone φ al área. Ausencia de firma áurea = respeta separación de ejes, no debilidad. LÍMITES (D.8.3): el marco NO deriva Schwarzschild (usa gravedad emergente §D.1-D.3), NO trata la singularidad, NO resuelve la paradoja de información (su lectura es coherente con info no destruida, pero sin mecanismo detallado). Aporte: interpretativo + consistencia, no teoría de formación/interior/información.**

Apéndice E. Asimetría Bariónica desde el Retículo Áureo (TCIIT v10.3)

Este apéndice extiende TCIIT v9.2 incorporando la asimetría bariónica observada η como modo discreto del retículo, sin parámetros libres adicionales. Refina la fórmula de orden cero del §12.1.1 ($\eta = \varphi^{-44}$) sustituyendo el exponente entero 44 por su valor geométrico completo $S_\Lambda + 4\rho = 44.0093$.

E.1 Definiciones previas

Del cuerpo principal:

$$S_\Lambda = 2\pi\sqrt{n_\mu}\,, \quad n_\mu = 48.000 \;\Rightarrow\; S_\Lambda = 43.5311847$$

$$d_0 = \sqrt{(\pi / 2\sqrt{3})} = 0.952312807$$

$$\Delta m = m_n - m_p = 1.29333251(38)\ \text{MeV} \quad \text{(CODATA 2022)}$$

$$\rho = \pi\sqrt{(\Delta m / (m_p \cdot d_0))} = 0.1195228$$

$$\varphi = (1+\sqrt{5})/2$$

E.2 Derivación del modo bariónico

Proponemos que la asimetría corresponde a un modo primordial n_η tal que:

$$\eta = \varphi^{(-2n_\eta)}$$

Geométricamente, n_η combina la mitad de la acción del modo muónico con la corrección de ruptura isospínica:

$$n_\eta = S_\Lambda/2 + 2\rho$$

Sustituyendo:

$$n_\eta = 21.7655924 + 0.2390456 = 22.00463797$$

E.3 Predicción numérica

$$\eta_{pred} = \varphi^{(-2n_\eta)} = \varphi^{(-(S_\Lambda + 4\rho))} = \varphi^{(-44.0093)} = 6.3475 \times 10^{-10}$$

E.4 Comparación observacional

$$\eta = n_B/n_\gamma : \text{TCIIT v10.3} = 6.35\times10^{-10} \;\text{ vs }\; 6.14\times10^{-10}\ \text{(WMAP)} \;\rightarrow\; +3.4\%$$

$$\eta : \text{TCIIT v10.3} = 6.35\times10^{-10} \;\text{ vs }\; \sim6.1\times10^{-10}\ \text{(Planck 2018)} \;\rightarrow\; \sim+4\%$$

La predicción no utiliza ajuste cosmológico; emplea únicamente S_Λ y ρ, ambos derivados de masas (n_μ y la diferencia neutrón–protón Δm).

E.5 Cumplimiento de las condiciones de Sakharov

(1) Violación de B: efectiva por colapso irreversible de $|\varnothing\rangle$ sobre modos discretos.

(2) Violación CP: la espiral φ tiene quiralidad definida; $n_\eta \neq -n_\eta$.

(3) Desequilibrio térmico: el colapso ocurre fuera de equilibrio por definición.

E.6 Falsabilidad

La predicción es falsable por CMB-S4 y por la abundancia de deuterio en BBN. Un desvío > 10% respecto a 6.35×10^{-10} invalidaría la forma $n_\eta = S_\Lambda/2 + 2\rho$ sin parámetros nuevos.

> *Nota de reconciliación con §12.1.1: el cuerpo principal deriva $\eta = \varphi^{-44} = 6.376\times10^{-10}$ (exponente entero 44, error +4.5%). Este apéndice debe leerse como el refinamiento de orden completo: el exponente exacto es $S_\Lambda + 4\rho = 44.0093$, que da $\eta = 6.348\times10^{-10}$ y reduce el error a +3.4%. La fórmula del §12.1.1 (exponente 44 = $(n_\mu+n_{EW})/2$) es la aproximación entera de esta misma expresión. Ambas coinciden hasta el término $4\rho = 0.478$, que codifica la ruptura isospínica neutrón–protón.*

Apéndice F. Límites y problemas abiertos

Este apéndice enumera, sin atenuar, lo que el marco NO resuelve. Mantenerlo es lo que distingue un programa de investigación de una construcción que solo se confirma a sí misma. Cada punto es una vía de falsación o de trabajo futuro.

Actualización (estado tras la síntesis dinámica). Esta versión incorpora avances que modifican varios puntos de abajo. (i) El lagrangiano efectivo ya está formulado: §A.11 lo ensambla sobre el clockwork (modo cero = escalera, verificado), con sectores de masa, fotón y gravedad explícitos — lo que antes figuraba como "lagrangiano pendiente" está cubierto a nivel efectivo. (ii) φ y el toro ya no se postulan: se derivan de "no hay afuera" — φ como el número más irracional (no-resonancia, §0.1/§A.5) y el toro por Gauss-Bonnet (cerrado + curvatura neta cero, §A.6). (iii) $q=\varphi^2$ queda fundado conceptualmente por esa misma raíz, aunque sigue siendo entrada del lagrangiano, no derivado de la acción. (iv) La obstrucción no abeliana pasó de "falta" a rutas geométricas nombradas (S^3 = dos toros → SU(2); CP^2 = el toro fibrado sobre el triángulo de tres colores → SU(3), §C.6), por completar.

Mapa priorizado de lo que falta (por impacto en el cierre de la teoría). Tier 1 — huecos estructurales: (1) la dinámica no abeliana SU(2)/SU(3), con rutas nombradas pero no completadas (falta el salto dimensional, la construcción y la dinámica Kaluza-Klein); (2) los fermiones quirales, ya que el sector materia de $\mathcal{L}_{ef}$ es escalar y el espín es topológico pero no derivado; (3) derivar $q=\varphi^2$ desde la acción, no solo conceptualmente. Tier 1 es un solo nudo: completar una ruta geométrica (S^3 o CP^2) con fermiones quirales encima daría los grupos no abelianos y los espinores de un golpe. Tier 2 — cuantitativo: (4) las asignaciones (k,q) por partícula están ajustadas, no derivadas; (5) los acoplamientos fallan por pocos por ciento (running RG no derivado); (6) consistencia cuántica (anomalías, renormalizabilidad) no probada. Tier 3 — gravedad y cosmología: (7) la gravedad tensorial no se deriva y la versión escalar falla (predice la mitad de la deflexión de luz); (8) la materia oscura hereda fallas de MOND, e inflación pendiente. Tier 4 — tests: afilar y confrontar con datos las predicciones falsables — torre de resonancias clockwork (~3.6 m), modos nuevos del funcional S(n) (11.9 y 1.3 MeV, 151 keV, 8.3 GeV), entropía $S=\Sigma\ln(m_P/m_i)$ en QGP, y la línea de ~7 keV.

Lo descartado (para no reintentarlo): el valor de α por curvatura del toro. El hueco de 0.74% entre la predicción geométrica ($\alpha^{-1} \approx 136.02$) y el valor medido (137.036) se testeó contra las integrales de curvatura genuinas del toro del

marco ($R = d_0$, $r = \rho$): la curvatura neta es 0 (Gauss-Bonnet, $\chi = 0$); la absoluta $\int\int|K|dA = 8\pi$ es universal (no depende de R ni r); la energía de Willmore $\int\int H^2 dA \approx 79$ es de orden 80. Ninguna produce 0.74%. La única cantidad del orden correcto, $(r/R)^2 \approx 1.6\%$, es una estimación dimensional —no una integral— y queda al doble. Conclusión: el 0.74% no está en la geometría de curvatura del toro (que es plano en promedio: por eso no hay residuo de curvatura del cual sacar la corrección). El valor de α permanece como condición de borde —igual que en el Modelo Estándar, que tampoco lo deriva—, siendo 136.02 una predicción aproximada, no exacta; lo genuino del marco en α es la forma logarítmica del running (desde el retículo log), no el valor. Nota metodológica: una corrección que se defina usando el valor medido (p. ej. un ángulo $\theta = \arccos(\alpha_{geom}^{-1}/\alpha_{medido}^{-1})$, o un cociente de cantidades sin definir) es circular —recupera la respuesta por la identidad $\cos(\arccos x) = x$— y no deriva nada.

Lo que sí funciona en α (la forma del running). El valor no se deriva, pero la forma sí: como la escalera es logarítmica ($n \propto \ln$ energía, porque $m_n = m_P \cdot \varphi^{(-2n)}$), un olvido constante por capa φ^2 da una corrección lineal en n —es decir, logarítmica en energía—, exactamente la forma del running de QED, con umbrales en cada capa de partícula cargada. La tasa (la pendiente) es la función beta del SM (Q^2 por carga), adoptada, no derivada; pero que el running sea logarítmico deja de ser un accidente. Los otros dos intentos de cerrar el 0.74% también se testearon y descartaron: la escala del muón (136.02 coincide con $1/\alpha$ en m_μ al 0.04%, pero la EM se ancla en el electrón, $n_{EM}=53.54$, donde el hueco es real; usar la escala del muón sería elegir la escala que cierra, post-hoc) y la corrección clockwork/Higgs (la supresión $\varphi^{(-2\Delta n)}$ entre la capa del electrón y la del Higgs da $\sim 10^{-6}$, cinco órdenes demasiado chica). Conclusión consolidada: la forma del running es genuina; el valor de α es condición de borde.

Estatus antrópico de las masas: la ventana de vida, φ forzado vs n ajustado, y la predicción de Weinberg

Si K_0 crea universos al azar (la cosmología anidada y los dos bordes), este universo no fue creado para la vida: en un multiverso la mayoría no la permite, y observamos uno que sí por selección de observador (principio antrópico). Esto disuelve el ajuste fino sin invocar diseño. La pregunta cuantitativa —¿se pueden subir las masas de los fundamentales y seguir habiendo vida?— tiene respuesta acotada. Escalar todas las masas, incluida la de Planck, es solo cambiar de unidades; lo físico es subir el VEV de Higgs respecto de Λ_{QCD}. Y ahí hay una ventana: la diferencia neutrón-protón, $m_n - m_p \approx 2.5\lambda - 1.2$ MeV, fija las cotas. Por debajo de $\lambda \approx 0.7$ el neutrón no decae y casi no hay hidrógeno; por debajo de $\lambda \approx 0.28$ el protón decae y no hay átomos; por encima de un factor de pocos la ligadura nuclear se rompe (di-protón, deuterón). La vida vive en una franja estrecha, y estamos a un factor de pocos de ambos bordes — no en un máximo.

Esto conecta con un argumento genuino: si el multiverso favorece masas grandes a priori, deberíamos estar cerca del borde superior de la ventana —la masa máxima compatible con vida—, donde se concentra la probabilidad. Es la lógica con que Weinberg predijo la constante cosmológica, y es casi falsable: aproximadamente sí estamos a un factor de pocos del techo nuclear. En el marco, las masas son en parte forzadas por φ (universal, el mismo en todos los

universos de K_0) y en parte ajustadas (las asignaciones n y el ancla); la selección antrópica actúa sobre la parte ajustable, no sobre φ, que es el esqueleto invariante.

Niveles. Sólido: la ventana de masas —no se pueden maximizar; cota por estabilidad de protón y por nucleosíntesis (Agrawal–Barr–Donoghue–Seckel, 1998)—. Afilado y casi testable: la predicción de Weinberg de estar cerca del borde superior. Metafísico: el multiverso en sí es inobservable (los universos de K_0 están causalmente desconectados); los infinitos universos son el marco interpretativo, y solo la posición dentro de la ventana es contrastable. La conclusión honesta es que las masas son lo que son por selección dentro de una ventana, no por diseño.

Falsabilidad de la selección de modos: la grilla casi densa y la disciplina de los windings

Una limitación honesta sobre la regla de selección de los 12 modos (§2.4). La grilla $n_{(k,q)} = k\pi/(2\ln\varphi) + q\rho$ usa dos enrollamientos del toro, pero sus pasos (3.264 y 0.1195) son incommensurables: el conjunto de valores llena la recta, de modo que ampliando el rango de q se puede aproximar casi cualquier masa. La predictividad del espectro no proviene de la grilla en sí, sino de restringir los windings: k en un rango estrecho, q óptimo, tolerancia d_0. Esto tiene una consecuencia contraintuitiva.

Agregar más enrollamientos —por ejemplo activar el tercer winding de T^3 ($\pi_1(T^3)=\mathbb{Z}^3$) como entero libre— densifica aún más la grilla y reduce la falsabilidad: más parámetros ajustan todo y predicen nada. El camino correcto es el opuesto: atar los enrollamientos de T^3 a cargas físicas independientes (la estructura gauge $U(1)\times SU(2)\times SU(3)$ de la ruta de Connes, §C.6), de modo que cada entero signifique una carga forzada y no un grado de libertad de ajuste. Mientras el índice q solo ordene por masa dentro de cada cáscara —y no corresponda a una carga independiente—, la selección permanece como ajuste, no como predicción. Es el problema abierto central del sector de masas: la solución no es sumar windings libres, sino dar significado físico a los que ya hay.

Criterio de falsación y la tentación de los universos anidados

La restricción cuantizada entrega una predicción nítida y falsable: toda partícula estable de este universo debe sentarse sobre la escalera áurea cuantizada, en un casi-cierre o convergente. De ahí un criterio claro: una partícula estable cuya masa no caiga en ningún convergente de la escalera sería un problema directo para el marco. En esa forma, la cuantización es lo que vuelve testable la teoría: define qué pertenece a este universo y qué no.

Pero hay aquí una tentación que debe resistirse. Decir que una partícula fuera de la escalera no es de este universo sino de otro anidado parece salvar el marco, y en realidad lo destruye, porque lo vuelve infalsable: cualquier anomalía quedaría explicada inventando otro universo. El marco permite formalmente infinitos universos anidados —es auto-similar; K_0 puede crearlos y ser, a su vez, uno de ellos—, pero invocar esa anidación para absorber lo que no encaja es exactamente el movimiento que mata la falsabilidad, el mismo que ya se señaló al agregar windings libres o epiciclos. Por eso, como criterio

metodológico, esa anidación no debe ocurrir como explicación: una partícula fuera de la escalera cuenta como falsación, no como visitante de otro mundo.

Niveles. Falsable y fuerte: toda partícula de este universo cae en la escalera cuantizada, y una que no lo haga es un problema real, no un detalle. Definicional: este universo es, por construcción, el conjunto cuantizado, de modo que lo que lo evade queda fuera por definición. Resistido por método: la anidación de K_0 es una posibilidad formal del marco, pero usarla para explicar anomalías la vuelve infalsable; el compromiso testable es el único toro cerrado y cuasicristalino, no la torre de universos. La falsabilidad se conserva sólo si lo que no encaja se cuenta como falla, no como otro universo.

La energía oscura como residuo de la finitud: lo que sobrevive a la prueba y lo que se descarta

Una línea de razonamiento sobre la energía oscura sobrevive a la prueba matemática y otra se descarta; conviene dejar ambas registradas. Lo que sobrevive es la energía oscura como residuo de la finitud. La relación de de Sitter es exacta, $S = 3\pi/(\Lambda \cdot l_P^2)$, de modo que $\Lambda = 3\pi/(S \cdot l_P^2)$: la constante cosmológica es el recíproco de la entropía del horizonte. Con $S \approx 10^{122}$ se obtiene $\Lambda \approx 10^{-122}$ en unidades de Planck, el valor observado. Un universo de información infinita (S tendiendo a infinito) tendría $\Lambda = 0$; uno finito tiene Λ distinta de cero. La energía oscura es, en esta lectura, la huella de que el universo es finito, el mismo hecho que daba la recurrencia. Es energía oscura holográfica: física real, aunque no de consenso.

También sobrevive, y es relatividad general estándar, que la energía oscura alimenta la dinámica. En un universo en expansión la densidad de energía oscura es constante mientras el volumen crece, así que la energía total aumenta: $dE/dt = 3H \cdot E$. No es móvil perpetuo, porque ese aumento es exactamente el trabajo $-p\,dV$ de la presión negativa ($p = -\rho$), con la primera ley cumplida. Eso es lo más cercano a un pulso que alimenta el sistema, pero es una alimentación de una sola vía, sostenida por la expansión, no un lazo cerrado que vuelve a un origen.

Lo que se descarta, por honestidad y para no reintentarlo. Primero, la idea de que el toro más Λ produzcan por sí solos un ciclo auto-sostenido: falla, porque un universo dominado por Λ es un atractor exponencial (de Sitter), no un ciclo, y el toro T^3 es plano —topología cerrada no es geometría cerrada—, así que no recolapsa por su forma. Un ciclo exige un rebote, curvatura positiva o un campo ekpirótico, que el marco no provee. Segundo, el reciclaje de la energía oscura de vuelta a un origen para sostener la dinámica gratis: como mecanismo es móvil perpetuo, y K_0 no es un lugar ni un campo. Si se quisiera un reciclaje real habría que adoptar un modelo cíclico concreto, la cosmología cíclica conforme de Penrose o el ekpirótico, con su propia física, adoptado y no derivado del toro.

Niveles. Sobrevive, física real aunque no de consenso: $\Lambda \sim 1/S$, la energía oscura como residuo de la finitud, y la alimentación por trabajo $-p\,dV$, que es relatividad general estándar. Interpretativo: leer ese residuo como indeterminación es sugerente pero metafórico, y el enunciado preciso es Λ proporcional a 1/S. Descartado: el ciclo auto-sostenido a partir de la sola topología, y el reciclaje a K_0 como mecanismo. Pendiente, si se persigue el reciclaje: empalmar con un modelo cíclico y con el $S_\Lambda = 8\pi\sqrt{3}$ del marco, que es un exponente y no la entropía de de Sitter. La disciplina es la misma de todo

el documento: se toma lo que la matemática sostiene y se deja anotado lo que no, para no volver a tropezar.

Auditoría de completitud: cuántas variables del Modelo Estándar deriva el marco

Conviene un balance honesto de cuántos de los diecinueve parámetros libres del Modelo Estándar deriva el marco. El resultado se reparte en tres grupos. Deriva unos cuatro: los tres acoples gauge como relaciones áureas, con α^{-1} cerca de 136, $\sin^2\theta_W = \varphi^{-3}$ y $\alpha_s = \rho \cdot d_0$, todas con residuos del uno al tres y medio por ciento, más el parámetro de CP fuerte θ_{QCD}, que el campo de entrecapa, al ser un axión, lleva a cero por el mecanismo de Peccei-Quinn.

Ajusta unos diez: las nueve masas de fermiones y la escala electrodébil, todas sobre la escalera áurea, pero con el índice n de cada una elegido para encajar. El marco deriva la forma, que las masas estén espaciadas por φ^2, pero no los valores, que se ajustan. Y deja abiertos unos cinco: la masa del Higgs, que la acción espectral predice pero cuya versión simple falla, y los cuatro parámetros de la matriz CKM, quizá accesibles por relaciones de Gatto pero no derivados con limpieza.

El veredicto es que el marco no deriva todas las variables, pero el faltante cuelga casi entero de una sola pieza. Las diez ajustadas lo están solo porque sus índices n se eligen a mano; el día que se derive la regla de selección, esas diez pasarían de ajustadas a derivadas, y el marco cubriría casi todo el Modelo Estándar, quedando sueltos apenas el Higgs y la CKM. La estabilidad de cada modo, en cambio, ya se deriva por el salto cuántico. El marco no está a quince derivaciones de completar el Modelo Estándar: está a una, la selección, más dos sectores aparte.

Niveles. Derivado: el sector gauge y el CP fuerte, con residuos de pocos por ciento, y la regla de estabilidad por el salto cuántico. Ajustado: las masas y las escalas, sobre la escalera de forma derivada pero con índices a mano. Abierto: el Higgs y la CKM. Y un único cuello de botella declarado: la regla de selección, de la que depende que el marco sea predictivo o se quede descriptivo. Es la frontera honesta del marco: cuánto explica y cuánto le falta, sin disimular.

El tablero del marco: estabilidad, mundo estable y la demografía del espectro

El problema de la selección admite un ataque dinámico: poner los modos en un tablero y dejar que una regla de evolución decida qué ocupa qué. La condición es que el tablero use la estructura del marco y no celdas abstractas. Un tablero genérico, con colores equivalentes y copia al vecino, no dice nada: o colapsa a un solo color o se reparte parejo, según cuándo se lo corte, y de hecho su aparente reparto es solo un transitorio antes del consenso. El tablero del marco es otra cosa: sus nodos son los (k,q) con masa $\varphi^{(-2n)}$, su regla es el olvido de peso φ^{-1} dirigido hacia el más liviano, y sus sectores son los números conservados.

Con esa estructura, la dinámica hace algo real por sí sola. La ocupación fluye y colapsa al nodo más liviano de cada sector conservado: el patrón de estabilidad aparece como atractor, sin imponerlo. Es la regla del salto cuántico, estable es no tener salto a uno más liviano, ahora como destino dinámico del tablero. No es consenso único ni reparto plano: es un estable por sector.

Tomando dos cargas de referencia, la eléctrica y la bariónica, el tablero entrega las dos partículas masivas estables del mundo ordinario. El electrón es el más liviano de carga menos uno: estable. El protón es el único estado de carga más uno y número bariónico más uno que existe, y todo decaimiento suyo violaría el número bariónico: estable. El neutrón, en cambio, decae a protón, electrón y antineutrino, un estado que conserva ambas cargas y pesa menos: inestable, como el neutrón libre real. Con dos cargas y la dinámica, la materia ordinaria, protones y electrones, cae como los atractores del tablero.

Falta una regla más para que el espectro no se reduzca a esas dos piedras. La indeterminación de la entrecapa entra como un salto extra cada cierto número de saltos: cada X pasos, un nodo salta contra la corriente. Es el proceso de producción que balancea el decaimiento, y juntos dan un estado estacionario donde todos los modos quedan poblados, con los estables dominando. La entrecapa mantiene vivos a los inestables; sin ella el tablero colapsaba a dos partículas. El X natural lo fija el peso φ^{-1} del conmutador exterior, alrededor de φ^2, es decir un salto extra cada dos o tres; y en ese régimen la ocupación cae por un factor cercano a φ entre modos vecinos, de modo que la demografía del espectro queda ella misma con estructura áurea. Este último número es sugestivo, no demostrado: depende de detalles de la simulación y conviene afinarlo antes de afirmarlo.

Niveles. Derivado: la dinámica de estabilidad, que el más liviano de cada sector sea el estable, emerge del tablero y no se impone; y, dadas dos cargas, el mundo estable, electrón y protón, cae solo, con el neutrón del lado inestable. Entrada: las cargas son etiquetas gauge que no se leen de la geometría (k,q), y las masas son la escalera ajustada; el tablero las usa, no las deriva. Sugestivo: la demografía áurea del espectro bajo indeterminación, pendiente de afinar. Abierto: el censo de modos, cuáles (k,q) existen y con qué masa cada partícula observada, sigue necesitando el juego completo de cargas. El tablero da la demografía del espectro, quién está poblado y cuánto, no su censo, quiénes hay. La selección de los doce modos sigue siendo el núcleo abierto, ahora con nombre y lugar: la estructura de carga.

F.1 El postulado central no está derivado

La regla de masa m(n) = m_P·φ^(−2n) es un postulado, no un teorema. Por qué el exponente es exactamente 2n (y no n u otra potencia) y por qué φ gobierna la masa (más allá de la estabilidad KAM del flujo geodésico, §A.5) queda abierto. El Apéndice A.7 aporta una acción candidata (clockwork áureo, $q = \varphi^2$) cuyo modo de mínima acción reproduce m = m_H·φ^(−2n), con ecuaciones de movimiento y leyes de Gauss; esto convierte el problema en "¿por qué $q = \varphi^2$?", que se remite a la estabilidad KAM (§A.5). Pero sigue sin derivarse $q = \varphi^2$ de primeros principios, captando solo los centros discretos del grupo gauge del SM ($\mathbb{Z}_3$ = trialidad = Z(SU(3)), pieza del $\mathbb{Z}_6$ real; U(1) abeliano natural) pero no los grupos continuos no abelianos completos (§C.6), y sin probarse la consistencia cuántica (anomalías, renormalizabilidad) ni la unión con gravedad cuántica. Hasta cerrar eso, el marco es una cuantización fenomenológica con una UV-completación candidata, no una teoría de campo cerrada.

F.2 La gravedad no se predice; se acomoda

La constante de Newton $G = \hbar c/m_P^2$ queda fijada por m_P, un dato de entrada; el marco no explica el valor de m_P ni la jerarquía de Planck. La emergencia de Newton y Einstein (Apéndice D) es de Jacobson y Verlinde, no del marco: no hay derivación independiente de las ecuaciones de campo desde φ. Las correcciones de discretitud a escala ℓ_P se postulan pero no se cuantifican.

F.3 Degeneración protón–neutrón e isóbaros

El índice C(n) no separa estados isobáricos: protón y neutrón comparten escalón (k=14, q=0) y reciben la misma masa predicha. La diferencia $\Delta m = m_n - m_p$ entra como dato (vía ρ), no se deriva. Toda la familia de isóbaros colapsa al mismo modo.

F.4 Neutrinos y sector electrodébil

ν_2 cae con k≈22.08 (casi entero), a mitad de camino entre dos capas fermiónicas; el ordenamiento y las masas absolutas de neutrinos se acomodan, no se fijan. En el sector EW, W/Z/Higgs alcanzan <0.2% solo por anclaje al mecanismo de Higgs; la geodésica k–q desnuda da ~3.5–5.2% (Apéndice B). El marco no deriva v = 246 GeV ni g_W desde φ.

F.5 Asimetría bariónica y constantes geométricas

La primera derivación de η falló por 76 órdenes de magnitud ($\eta \approx 3.6\times10^{-86}$); la fórmula final $\eta = \varphi^{-(S_\Lambda+4\rho)}$ ajusta a +3.4%, pero la elección del exponente combina ingredientes a posteriori, y las condiciones de violación de CP y de no equilibrio son cualitativas. Las constantes "geométricas" $S_\Lambda = 2\pi\sqrt{48}$ y d_0 tienen un origen propuesto, pero la elección de 48 vueltas y de las combinaciones concretas no se deriva unívocamente.

F.6 Significancia estadística de los ajustes

Con dos enteros por modo (k semientero, q entero hasta |q|≈8), el espacio de modelos es amplio. Varios aciertos al <1% conviven con varios al ~5%; evaluar la significancia real exige un análisis de "look-elsewhere" y una penalización explícita por número de parámetros (p. ej. criterio de información), aún no realizado. Sin él, el RMS ~3.4% de la poda (Apéndice B) no puede compararse de forma justa con un ajuste nulo.

F.7 Estructura tensorial: el obstáculo central de la gravedad de interferencia

El modelo de interferencia (§D.6) reproduce la ley $1/r^2$ a partir del peso de amplitud áureo, pero como potencial ESCALAR predice una deflexión de la luz igual a la mitad de la observada. La medición de Eddington (1919) y la VLBI moderna (al 0.01%) confirman el valor completo de Einstein —el doble—, que exige un mediador de spin-2 (tensorial). El patrón de interferencia tendría que poseer estructura cuadrupolar (rango 2): es justo donde la idea de "spin = ángulo de cruce de capas" debería generar un portador spin-2. Mientras eso no se demuestre, la versión escalar está ya falsada por la curvatura de la luz; es el problema decisivo del sector, por encima de la normalización de G y del principio de equivalencia (§F.2). AVANCE v10.7 (§24): el gravitón spin-2 se obtiene como la clase de cohomología O(−6) sobre el espacio de twistores CP^3

(transformada de Penrose), vía SU(4)≅Spin(6); el $O(-6)=O(-3)^2$ es consistente con la doble copia. Esto da la estructura tensorial correcta de forma geométrica. Persiste abierto: la transformada de Penrose no lineal (gravedad cuántica completa) y el coeficiente del acople.

F.8 Oscilaciones log-periódicas del bucle frente a la gravedad de precisión

El salto en bucle (§D.6) predice oscilaciones log-periódicas áureas en la fuerza. Un bucle cerrado coherente da modulaciones de decenas de %, que NO se observan: la gravedad del sistema solar sigue $1/r^2$ limpio a altísima precisión. Por tanto la coherencia de los bucles debe ser baja (la suma sobre fases de bucle promedia las oscilaciones a casi cero) o el bucle coherente queda descartado a escala solar. Cuantificar la amplitud residual permitida y buscarla en radios espaciados por φ (rotación galáctica, lentes) es un test decisivo aún no realizado.

F.9 Límites tipo MOND del apantallamiento (cúmulos, Bala, CMB)

La gravedad por apantallamiento (§D.7) reproduce galaxias pero, como toda teoría de clase MOND, falla donde MOND falla: subestima la masa de los cúmulos de galaxias (el marco da ~3× barión frente a ~5–10× observado, necesita masa residual), no explica con facilidad la separación lente–gas del Cúmulo Bala, y no reproduce los picos acústicos del CMB, que favorecen materia oscura fría real. El apantallamiento es por tanto una explicación PARCIAL de la materia oscura, no completa.

> *Síntesis honesta: el marco logra coherencia interna y varias coincidencias numéricas notables con pocos ingredientes (φ, ℓ_P, m_P, S_Λ, ρ), y predice un valor de Λ a −0.7%. Pero NO deriva la regla de masa de primeros principios, NO predice G ni m_P, NO separa isóbaros, ancla el sector EW, su gravedad de interferencia es escalar (le falta el spin-2, §F.7) y por apantallamiento hereda los fallos de MOND en cúmulos y CMB (§F.9), y carece de una acción dinámica y de un test estadístico de significancia. Es, a día de hoy, una hipótesis de cuantización áurea con poder predictivo parcial y falsable — no una teoría final.*

F.10 Conteo de nodos y enlaces de las partículas (problema abierto)

El marco describe las partículas por (k, q, n) —posición en la escalera y números cuánticos—, no por una cuenta de nodos y enlaces. Determinar esa estructura microscópica es un problema abierto; aquí se plantea de forma bien definida.

Cada número cuántico exige un slot topológico: el espín ½ → $\mathbb{Z}_2$ (par cruzado / Möbius, §A.10, ~4 nodos mínimo); la carga Q → U(1) (winding en un enlace); el color → $\mathbb{Z}_3$ (estructura 3-fold, los tres vórtices del protón, Apéndice C); el isospín débil → la etiqueta q (§B.2). La estructura mínima crece de neutrino (solo el core de espín) a leptón cargado (+ winding de carga) a quark (+ color 3-fold).

Restricciones que cualquier asignación debe respetar: (1) reproducir el espín (par cruzado); (2) reproducir Q, color e isospín; (3) caer en el modo de masa correcto (la posición n); (4) no superpoblar el espectro (la poda áurea da ~12 modos); (5) tener la antipartícula como estructura espejo.

Caveat (el neutrino como ola temporal). El neutrino probablemente NO es un grumo de nodos estático. Está en n ≈ 70 —mucho más abajo que el electrón (53.5) o el muón (48)—, es decir apenas cierra. n alto = casi sin cierre = casi pura propagación: es el modo más cercano a la ola temporal misma (§0.2), llevando solo el medio giro $\mathbb{Z}_2$ (espín/quiralidad). Esto es exactamente el fermión de Weyl —espinor quiral sin masa = propagación pura + giro—, y su masita real es el poco de cierre que tiene (consistente con ν_2 entre peldaños, §A.4).

Esto reordena el problema: el conteo de nodos y enlaces aplica a las partículas masivas (que cierran y se localizan en grumos), mientras que el neutrino es el caso límite —la ola con el giro mínimo, casi sin localizar—. Estado honesto: el problema está bien planteado (se sabe qué slot exige cada número cuántico), pero la asignación concreta no está derivada todavía.

El handle espacial: el patrón de nodos como armónico toroidal (analogía de Chladni). La mitad espacial del conteo tiene un análogo físico directo: las figuras de Chladni —la sal que se organiza en los nodos de una placa que vibra —. Una partícula es un modo de onda estacionaria del retículo toroidal, y su frecuencia (la masa, vía $E = h\nu$) selecciona el patrón nodal. La poda (Apéndice B) es justamente la selección de frecuencias propias de Chladni: solo las que cierran dan patrón estable; entre ellas, nada (la entrecapa).

Esto vuelve el conteo espacial bien definido: el patrón nodal es el armónico toroidal a esa frecuencia, es decir una autofunción de ∇^2_tor (el término cinético/orbital del Hamiltoniano de nodo). Cada modo (p, q) —p ondas alrededor de un ciclo, q del otro— da p+q líneas nodales = el patrón de nodos y enlaces espaciales. La complejidad escala con la frecuencia: el top (n ≈ 40, frecuencia alta) da un patrón complejo con muchos nodos; el neutrino (n ≈ 70, frecuencia baja) da el patrón más simple —casi la onda sin nodos—, consistente con que es el caso límite de pura propagación.

Alcance honesto: la analogía de Chladni resuelve la parte orbital/espacial del conteo (la convierte en autofunciones de ∇^2_tor), pero no el espín (el $\mathbb{Z}_2$ topológico del par cruzado, §A.10) ni las cargas (color, carga eléctrica), que son la capa topológica separada. Une, eso sí, tres piezas que estaban sueltas: la poda (= frecuencias propias), el término cinético del Hamiltoniano (= ∇^2_tor) y el conteo de nodos.

Interpretación de la carga: winding interno y antipartícula. El slot de carga (U(1)) admite una lectura concreta. La carga eléctrica es el winding alrededor de un círculo interno compacto (como en Kaluza-Klein, q = n/R con n entero): un giro cíclico, una especie de "tiempo/fase interno", de modo que más carga = más vueltas. El signo de la carga es la dirección del winding: +q en un sentido, −q en el otro, así que la antipartícula (carga opuesta) = winding invertido = la partícula con el tiempo interno invertido — exactamente el cuadro de Feynman–Stückelberg (antipartícula = partícula con t invertido).

Dos precisiones honestas. (1) Este es un tiempo/fase interno (el círculo gauge U(1)), distinto del tiempo externo del pulso (§0.2, el de la flecha): la carga enrolla un círculo interno, no añade tiempo vivido. (2) Las cargas enteras (leptón ±1) corresponden a windings enteros, pero las fraccionarias de los quarks (+2/3, −1/3) no son vueltas enteras simples y requieren la estructura de color/hipercarga (problema abierto, §7.10; abordado geométricamente en §23.3,

donde el spin-c de CP^2 con $c_1=3H$ fuerza la hipercarga en tercios para los quarks coloreados y entera para los leptones). Con esto, el trío de slots queda: espín → $\mathbb{Z}_2$ (par cruzado), color → $\mathbb{Z}_3$ (trialidad), carga → U(1) winding interno (signo = antipartícula).

F.12 Respuesta a la revisión matemática externa (v11)

Una revisión matemática externa señaló diez objeciones al documento. Esta subsección las responde una por una, distinguiendo las que motivaron correcciones reales de las que apuntan a limitaciones que el documento ya reconocía. Tres motivaron correcciones de errores o imprecisiones; las restantes señalan, correctamente, brechas que el texto ya admite como hipótesis no demostradas. Se agradece la revisión: identificó un error algebraico genuino y una contradicción interna que han sido subsanados.

Tabla de las diez objeciones y su tratamiento:

#	Objeción	Veredicto y acción
1	Factor 2 perdido en $\Delta r_n = \hbar/(2\varphi mc)$	VÁLIDA, error genuino. §0.5 escribía Δr sin el factor 2, contradiciendo §1.4. Corregido: $\Delta r_n = \hbar/(2\varphi mc)$ (desviación), espesor = $2\Delta r$.
2	El conmutador $[r,p]=i\hbar/\varphi$ no se deriva válidamente en espacio curvo	VÁLIDA. Había dos derivaciones en conflicto. Corregido: se aclara que la métrica es solo motivación heurística y que la derivación correcta es §1.4 (vía $v_g=c/\varphi$, sin modificar el conmutador).
3	«Mínima información ⇒ φ» no demostrado	YA ADMITIDA. El texto ya dice «requiere demostración más rigurosa» y «trabajo pendiente de formalización». No se afirma haberlo probado.
4	KAM no implica φ (solo robustez)	YA ADMITIDA. El texto ya dice «φ sigue siendo elegido como el más estable» e «ilustración, no derivación nueva».
5	GF(4) → φ es analogía, no derivación	VÁLIDA, reforzada. El texto ya admitía «spin es input externo». Se añadió que el mapa $L(\omega)=\varphi$ es analogía de forma, no homomorfismo (las raíces en característica 2 no son reales).
6	Cuantización del operador de dilatación incompleta (dominio, autoadjunción)	VÁLIDA, menor. La fórmula $\lambda_n=\pi n/\ln\varphi$ es correcta numéricamente; falta especificar el dominio funcional. Se reconoce como derivación incompleta, no error.
7	Regla de Born asumida, no derivada	YA ADMITIDA. El documento ya llama la regla «plausible».
8	Entropía $S=\Sigma\ln(m_P/m)$ mal definida	VÁLIDA, matizada. Corregido: se marca como «entropía informacional propia», distinta de Gibbs/Boltzmann/von Neumann, y el enlace con QGP como conjetura, no identidad.
9	Gauss-Bonnet no obliga al toro	PARCIALMENTE VÁLIDA. En 2D orientable $\chi=0 \Longrightarrow$ toro sí se sigue, pero vía clasificación de superficies + Bieberbach, no Gauss-Bonnet solo. Corregida la atribución.
10	Coincidencias numéricas como derivaciones	YA ADMITIDA. §13 (estado epistémico) y §21/§25 ya distinguen explícitamente derivado vs ajuste vs coincidencia.

Correcciones aplicadas (objeciones 1, 2, 5, 8, 9). La objeción 1 era el hallazgo más importante: un error algebraico real. En §0.5 la desviación estándar se escribía $\Delta r_n = \hbar/(\varphi \cdot m_n \cdot c)$, sin el factor 2 que la cota de Robertson $\Delta r \cdot \Delta p = \hbar/(2\varphi)$ —enunciada en la misma línea— exige. La versión §1.4 ya tenía

la forma correcta, de modo que el documento se contradecía entre secciones. Se corrigió §0.5 para que la desviación estándar sea $\Delta r_n = \hbar/(2\varphi \cdot m_n \cdot c)$ y el espesor de capa sea el ancho total $2 \cdot \Delta r_n = l_P \cdot \varphi^{(2n-1)}$, eliminando la contradicción.

La objeción 2 señalaba que derivar $[r,p] = i\hbar/\varphi$ multiplicando por el componente métrico g_{rr} no es cuantización canónica válida. Es correcto, y el marco tenía dos derivaciones incompatibles del mismo factor. Se aclaró que la lectura métrica es solo una motivación geométrica, y que la derivación correcta —ya presente en §1.4— obtiene el factor φ de la velocidad de tracción $v_g = c/\varphi$ partiendo del principio estándar $\Delta E \cdot \Delta t = \hbar/2$, sin alterar el conmutador. Las objeciones 5, 8 y 9 motivaron precisiones en la atribución (analogía de forma en GF(4), entropía informacional no termodinámica, Gauss-Bonnet más clasificación de superficies).

Sobre las objeciones ya admitidas (3, 4, 7, 10). Estas son críticas correctas, pero el documento no afirmaba lo contrario. La cadena «mínima información ⇒ φ» (objeción 3), la implicación «KAM ⇒ φ» (objeción 4), la regla de Born (objeción 7) y el estatus de las coincidencias numéricas (objeción 10) están todas marcadas en el texto como hipótesis, ilustraciones o relaciones plausibles, no como teoremas demostrados. El propio §13 (estado epistémico) construye tres columnas que separan lo derivado sin parámetros, lo ajustado fenomenológicamente y lo que permanece abierto. La revisión confirma, desde fuera, la frontera que el documento ya trazaba: φ se selecciona como el candidato más estable por convergencia de varios argumentos (Hurwitz, KAM, clockwork, F_4), pero ninguno de ellos, por separado, es una derivación cerrada desde primeros principios. Esa es precisamente la honestidad epistémica que el marco reivindica.

> **Síntesis de la respuesta (F.12): de las diez objeciones de la revisión matemática, dos eran errores o contradicciones reales (el factor 2 de §0.5 y el conmutador en espacio curvo), ahora corregidos; tres eran imprecisiones de atribución (GF(4), entropía, Gauss-Bonnet), ahora matizadas; y cinco apuntaban a limitaciones que el documento ya reconocía explícitamente como hipótesis no demostradas (mínima información⇒φ, KAM⇒φ, Born, coincidencias, y la cuantización del dilatador). El núcleo numérico del marco no se ve afectado por ninguna de las correcciones: las predicciones ($n_{muón}=48$, $\sin^2\theta_W=\varphi^{-3}$, Λ a -0.71%, etc.) siguen verificándose idénticamente, porque los errores estaban en derivaciones de soporte (el factor 2 de un espesor, la justificación de un conmutador), no en las relaciones numéricas centrales. La revisión mejoró el rigor del documento sin tocar sus resultados.**

F.13 Respuesta a la segunda revisión sobre el origen de φ

Una tercera revisión externa, la más penetrante, se centró en el núcleo del marco: el origen de φ. Reconoció con justicia las mejoras de honestidad epistémica del documento, pero señaló que el paso fundamental —por qué φ y no otra razón irracional— sigue sin cerrarse, y detectó un error técnico real. Esta sección responde: corrige el error, mejora uno de los argumentos hasta

donde el marco permite, y reconoce con franqueza el límite de fondo, que es correcto. A diferencia de la respuesta gauge (§23.9), donde el marco pudo derivar varias cosas nuevas, aquí la respuesta honesta es mayormente reconocer con precisión qué está demostrado y qué no.

F.13.1 Corrección de un error técnico: los estados coherentes

La revisión señaló, con razón, un error técnico real. El documento afirmaba en un punto que los estados coherentes saturan el producto de incertidumbre «con un factor 2 sobre la cota de Robertson», dando $\Delta x \Delta p = \hbar$ en lugar de $\hbar/2$. Esto es falso: en mecánica cuántica los estados coherentes saturan exactamente la cota de Robertson, $\Delta x \Delta p = \hbar/2$, sin ningún factor adicional. El documento, de hecho, lo dice correctamente en otro lugar («los estados coherentes lo saturan exactamente: $\Delta r \cdot \Delta p_r = \hbar/(2\varphi)$»), de modo que se trataba de una contradicción interna. La afirmación errónea se corrige: los estados coherentes saturan exactamente, sin factor 2. El principio de indeterminación áureo, en su parte válida, da $\Delta r \cdot \Delta p_r \geq \hbar/(2\varphi)$, saturado exactamente por los estados coherentes —la corrección no afecta la cota, solo elimina una caracterización falsa de su saturación.

F.13.2 Mejora: φ como la autorreferencia mínima, no «la única»

La revisión objetó, correctamente, que el documento llamaba a $x = 1 + 1/x$ «la única autorreferenciación posible de la nada», cuando hay otras: $x = 1 + 1/x^2$, $x = 1 + 1/(1+x)$, o la familia $x = a + 1/x$. La afirmación de unicidad era insostenible. Puede reemplazarse, sin embargo, por una más débil y defendible: φ es la autorreferencia mínima no trivial, en tres sentidos precisos que no presuponen φ.

Primero, es la de menor grado algebraico con solución real. Las autorreferencias más simples fallan: $x = 1/x$ da la identidad trivial ($x = 1$, sin estructura), y $x = 1 - 1/x$ no tiene solución real (su discriminante es -3). La ecuación $x = 1 + 1/x$, de grado dos, es la autorreferencia no trivial de menor grado que posee solución real. Segundo, es la media metálica mínima: en la familia $x = n + 1/x$ (las medias metálicas), el caso $n = 0$ es trivial ($x = 1$) y $n = 1$ da φ —el primer entero que produce algo no trivial. φ es, literalmente, la primera de las medias metálicas. Tercero, tiene los coeficientes mínimos sin anidamiento: frente a $x = 1 + 1/x^2$ (que introduce una potencia extra y da el número plástico, no φ) o $x = 1 + 1/(1+x)$ (que está anidada y da $\sqrt{2}$), la forma $x = 1 + 1/x$ es la estructuralmente más simple —«uno más su propio inverso», la unidad y su reflejo.

φ = la autorreferencia no trivial de menor grado, primera media metálica, de coeficientes mínimos sin anidar

Esto sustituye la afirmación falsa de unicidad por un argumento de minimalidad que sí se sostiene. El criterio —grado mínimo, coeficientes mínimos, sin anidamiento— no menciona φ; que seleccione φ es un resultado, no una definición. La elección de $x = 1 + 1/x$ deja de ser arbitraria.

F.13.3 El límite que no se elimina: minimalidad es una noción privilegiada

Pero la honestidad exige reconocer el residuo que esta mejora no elimina, y que es el corazón de la crítica. «Minimalidad» presupone una noción de

simplicidad. Bajo la noción natural —la que cualquier matemático usaría: menor grado, menores coeficientes, sin estructuras anidadas— φ gana limpiamente. Pero esa noción de simplicidad, aunque natural, no es única en sentido absoluto: en principio podría privilegiarse otra medida de complejidad bajo la cual ganara otro número. Lo que el marco logra es reducir la arbitrariedad: de «elegir φ entre todos los irracionales» se pasa a «elegir la minimalidad estructural entre las nociones de simplicidad», que es una arbitrariedad mucho menor y mucho más defendible. No la elimina del todo.

Esto conecta con lo que la revisión identifica, con acierto, como el límite fundamental del marco: φ aparece como principio de selección, no como teorema que obligue a φ frente a cualquier otra razón irracional extrema. El argumento de minimalidad (§F.13.2) fortalece ese principio de selección —lo vuelve un principio de simplicidad, no un capricho—, pero no lo convierte en una derivación cerrada. El marco selecciona φ por minimalidad estructural; no demuestra que el universo deba ser mínimo en ese sentido. Esa es la frontera, y se enuncia sin disfraz.

F.13.4 Lo que la revisión señala como circular o numérico

La revisión identificó dos lugares donde el documento parece derivar lo que en realidad presupone o solo observa, y tiene razón en ambos.

El potencial log-periódico presupone φ. El potencial $V(\chi) = \lambda\chi^4[1 + \gamma\cos(\pi\ln(\chi/m_P)/\ln\varphi)]$ tiene φ dentro, en el argumento del coseno. Por tanto no deriva φ: lo presupone para generar los valles de masa espaciados por φ. Esto debe enunciarse claramente —el potencial log-periódico es la implementación dinámica de la escalera áurea una vez que φ está dado por el origen (§0), no una derivación independiente de φ. Su papel es mostrar que φ, una vez seleccionado, puede encarnarse en una acción física con mínimos en las masas correctas; no es una segunda fuente de φ. Presentarlo como derivación de φ sería circular; presentarlo como implementación de φ es correcto.

La conexión con la materia oscura es numérica. La relación $1 - f = \varphi^{-2} = 0.276$, comparada con $\Omega_{DM} \approx 0.276$, es una coincidencia numérica notable, pero no hay un mecanismo físico derivado que conecte el canal de olvido informacional con la densidad de materia oscura cosmológica. Es una observación numérica, no una derivación, y así debe figurar —en la columna «coincidencia» o «interpretativa», no en la de «derivado». El marco la registra como sugerente; no afirma haber explicado la materia oscura.

F.13.5 Lo que la revisión reconoce, y el balance

La revisión destaca como el punto más fuerte del documento su honestidad epistémica: que distingue sistemáticamente lo derivado, lo ajustado, lo abierto y lo interpretativo, separación que muchos trabajos especulativos no hacen. Esta respuesta mantiene esa política, aplicándola a la propia crítica: corrige el error técnico (estados coherentes), mejora hasta donde puede el argumento atacado (φ mínimo, no único), y reconoce sin disfraz lo que sigue siendo selección (φ), circular si se malinterpreta (el potencial) o numérico (la materia oscura).

El balance de los nueve puntos de la revisión:

Punto de la revisión	Respuesta
Estados coherentes (factor 2)	CORREGIDO: saturan exactamente $\hbar/2$; era

	contradicción interna
x=1+1/x «la única»	MEJORADO: es la autorreferencia mínima no trivial (3 criterios), no la única
¿Por qué φ y no otro irracional?	LÍMITE DE FONDO: φ es principio de selección por minimalidad; no teorema que obligue
Potencial log-periódico	RECONOCIDO circular: presupone φ; es implementación, no derivación de φ
Ω_DM = φ^{-2}	RECONOCIDO numérico: coincidencia sin mecanismo; columna interpretativa
Momento físico p_fis=g_rr·p_can	YA marcado heurística (§0.5); la revisión lo confirma
GF(4)→φ	YA reconocido analogía (no homomorfismo)
Gauss-Bonnet→toro	YA corregido (+clasificación+orientabilidad+2D); la revisión lo elogia
Honestidad epistémica	RECONOCIDO por la revisión como el punto más fuerte; se mantiene

> **Respuesta a la segunda revisión sobre φ (v11): se corrige un error técnico real —los estados coherentes saturan exactamente ħ/2, no «con factor 2»; era una contradicción interna. Se mejora el argumento del origen: φ no es «la única autorreferencia» (afirmación falsa) sino la autorreferencia MÍNIMA no trivial, en tres sentidos que no presuponen φ —la de menor grado con solución real (las menores son triviales o complejas), la primera media metálica (n=1), y la de coeficientes mínimos sin anidar. Pero el límite de fondo se reconoce sin disfraz: «minimalidad» es una noción natural pero no única, de modo que φ sigue siendo un principio de SELECCIÓN (ahora por simplicidad estructural, no capricho), no un teorema que OBLIGUE a φ frente a otro irracional. Se reconoce además que el potencial log-periódico presupone φ (es implementación, no derivación —circular si se malinterpreta) y que Ω_DM≈1/(φ²+1)=0.276 es coincidencia numérica sin mecanismo (columna interpretativa, no derivada). Los puntos ya reconocidos (momento heurístico, GF(4) analogía, Gauss-Bonnet corregido) se confirman. El marco reduce la arbitrariedad de elegir φ a la de elegir minimalidad estructural —mucho menor— pero no la elimina; esa es la frontera honesta del origen.**

El sentido de esta respuesta, como el de la respuesta gauge, es que una crítica penetrante se honra mejor afinando que defendiendo. Aquí el afinamiento fue más de reconocimiento que de derivación: el origen de φ admite un argumento de minimalidad que lo vuelve mucho menos arbitrario, pero no una demostración que lo obligue, y el documento gana en honestidad al decirlo así. La pregunta «por qué φ» queda contestada hasta donde el marco puede —φ es lo mínimo— y abierta donde no puede —que lo mínimo sea lo real es un postulado, no un teorema.

F.14 La estructura holográfica del eje áureo: lo que se toma de la teoría de cuerdas

La gravedad sigue siendo, en este marco, el sector menos cerrado: se formula como emergente, al modo de Jacobson y Verlinde (§24), pero sin ecuaciones de campo completas. La teoría de cuerdas y la correspondencia holográfica de Maldacena ofrecen maquinaria matemática para la gravedad cuántica, y es legítimo preguntarse qué puede tomarse de ella. La respuesta

honesta, tras examinar las estructuras, es que una pieza encaja con sustancia real —el eje áureo como dirección holográfica— y varias analogías sugerentes no tienen la matemática que las respalde. Esta sección toma solo lo que sirve, y nombra con claridad lo que es metáfora, porque presentar una imagen evocadora como una derivación sería el error que este documento se ha esforzado en evitar.

F.14.1 El eje áureo como coordenada holográfica

En la correspondencia holográfica, una teoría de gravedad en un espacio de más dimensiones (el bulk) es equivalente a una teoría sin gravedad en su frontera de menos dimensiones, y la dirección extra —la coordenada radial— es la escala de energía: la frontera ultravioleta (alta energía) está en un extremo y el interior infrarrojo (baja energía) en el otro. El marco tiene, de forma natural, una coordenada con exactamente esta propiedad: el eje n. La escala de energía de la capa n es E_n = m_P·φ^(−2n), de modo que, identificando la coordenada radial holográfica z con φ^(+2n), se obtiene la relación holográfica fundamental:

$$E_n \cdot z_n = m_P \ \text{(constante)}, \ \text{es decir} \ E \sim 1/z$$

Esta relación es exacta para todo n —se verifica que E_n·z_n = m_P en la capa de Planck (n=0), en el muón (n=48), en el centro K½ (n=146) y en K_max (n≈292). El eje áureo se comporta como la coordenada radial de un espacio holográfico: cerca de K₀ (n pequeño) está el régimen ultravioleta, de Planck; cerca de K_max (n grande) el infrarrojo. La escalera de masas φ^(−2n) es, leída así, un flujo de renormalización a lo largo de la dirección radial holográfica, que es precisamente lo que la coordenada radial representa en la correspondencia. Esta es la pieza con sustancia: no una analogía de palabras, sino una coincidencia estructural entre la dirección de escala del marco y la dirección holográfica.

F.14.2 La métrica tipo anti-de Sitter y su radio áureo

La estructura va un paso más allá de la mera identificación de la escala. En la dirección logarítmica de la escala, la métrica del marco adopta una forma de tipo anti-de Sitter —el espacio de curvatura negativa constante que es el escenario de la holografía—, con un radio característico fijado por el paso áureo:

$$L = 1/\ln\varphi \approx 2.078 \ \text{(en unidades de longitud de Planck)}$$

Este radio L = 1/lnφ es la escala sobre la que la geometría se curva en la dirección de la escala, y su aparición es natural: lnφ es el paso fundamental del flujo de escala del marco (cada capa dista lnφ² de la siguiente en escala logarítmica), de modo que su inverso es el radio de curvatura asociado. La métrica áurea g_rr = 1/φ del marco (§métrica) y este radio holográfico L = 1/lnφ son dos manifestaciones de la misma constante φ gobernando la geometría de la dirección radial. El marco tiene, así, no solo una coordenada holográfica sino una geometría tipo anti-de Sitter local en ella, con su radio fijado por φ.

F.14.3 La diferencia esencial: invariancia de escala discreta

Aquí debe enunciarse con precisión lo que el marco no es, porque es tan importante como lo que sí es. La correspondencia de Maldacena en su forma estándar requiere invariancia conforme continua: la teoría de frontera es

invariante bajo cualquier reescalamiento, y el espacio anti-de Sitter del bulk refleja esa simetría continua. El marco no tiene esa simetría continua. Su invariancia de escala es discreta: el retículo es invariante solo bajo reescalamientos por potencias de φ^2, no bajo cualquier factor. El eje no es una recta continua sino una sucesión de capas espaciadas por $\ln\varphi^2$. En lenguaje geométrico, el espacio del marco no es anti-de Sitter sino un cociente de anti-de Sitter por un grupo discreto de reescalamientos:

$$\textit{Espacio del marco} \approx AdS / \Gamma, \quad \textit{con} \quad \Gamma = \langle\, z \to \varphi^2 z \,\rangle \cong \mathbb{Z}$$

Esto significa que el marco no realiza la correspondencia de Maldacena directa, sino una versión de holografía con invariancia de escala discreta. Lejos de ser una debilidad, esto conecta con un cuerpo de trabajo matemático real —la invariancia de escala discreta de Sornette, los sistemas log-periódicos, los cocientes de anti-de Sitter por grupos discretos—, que es de hecho el lenguaje natural del marco, cuyo potencial log-periódico (§sección del potencial) ya exhibía esa simetría discreta. El marco es a la holografía estándar lo que un cristal es a un fluido: la misma física, con la simetría continua rota a una discreta por una red. La red, aquí, es la escalera áurea.

F.14.4 Lo que esto aporta a la gravedad

La utilidad de esta lectura para la gravedad —el sector que el marco no tenía cerrado— es que la holografía es, ella misma, un mecanismo de gravedad cuántica: en la correspondencia, la gravedad del bulk emerge de los grados de libertad de la frontera. El marco ya postulaba una gravedad emergente al modo de Verlinde (§24); la estructura holográfica del eje áureo le da a esa emergencia un mecanismo concreto. La gravedad es el flujo en la dirección radial holográfica —el eje n—, y la entropía holográfica, que en la correspondencia relaciona el área de una pantalla con sus grados de libertad ($S = \text{Área}/4G$), encuentra en el marco una contraparte: el número de modos hasta la capa n crece como la serie geométrica áurea $\Sigma\varphi^{(2k)}$, que hace las veces del área de la pantalla holográfica a esa escala. La gravedad emergente del marco y la holografía de escala discreta del eje áureo son, en esta lectura, dos descripciones del mismo mecanismo: la codificación de la física del bulk en la dirección de la escala.

Conviene ser honesto sobre el alcance: esto no produce todavía las ecuaciones de campo gravitatorias completas que el marco no tiene, ni convierte el marco en una teoría de cuerdas. Lo que aporta es un mecanismo —la holografía de escala discreta— coherente con la gravedad emergente ya postulada, que la dota de una estructura matemática reconocible y conecta el sector gravitatorio con la dirección de escala que organiza todo el marco. Es un avance estructural en el sector más abierto, no su cierre.

F.14.5 Lo que no se toma: las analogías que son metáfora

La honestidad exige nombrar lo que se examinó y se descartó por no tener sustancia matemática, por sugerente que suene. La imagen de que el retículo áureo es una brana, los nodos cuerdas cerradas y los enlaces cuerdas abiertas, es evocadora pero no es matemática. Una D-brana es un objeto muy específico: el lugar donde terminan las cuerdas abiertas, dotado de una acción de Dirac-Born-Infeld y de carga de Ramond-Ramond. El retículo del marco no tiene ninguna de esas estructuras —no hay cuerdas abiertas que terminen en él,

ni acción DBI, ni carga RR—, de modo que llamarlo brana es una metáfora, no una identificación. Del mismo modo, una cuerda cerrada es un objeto unidimensional con un espectro de modos vibracionales que incluye el gravitón; un nodo del retículo es un punto, sin esos modos. Las analogías entre el marco y los objetos de la teoría de cuerdas son imágenes que pueden orientar la intuición, pero no derivaciones, y este documento no las cuenta como tales. Se toma de la teoría de cuerdas su estructura holográfica —que sí encaja— y se deja su zoología de objetos —que no.

> **Estructura holográfica del eje áureo (v12.5): se toma de la teoría de cuerdas SOLO lo que tiene sustancia matemática. SÓLIDO: (1) el eje n es una coordenada holográfica —$E_n=m_P\cdot\varphi^{(-2n)}$ da $E\cdot z=m_P$ exacto con $z=\varphi^{(+2n)}$, la relación holográfica $E\sim 1/z$; cerca de K_0 es UV/Planck, cerca de K_{max} es IR; la escalera $\varphi^{(-2n)}$ es un flujo de renormalización en la dirección radial; (2) métrica tipo anti-de Sitter con radio $L=1/\ln\varphi\approx 2.078$ (la métrica áurea $g_{rr}=1/\varphi$ y este radio son la misma φ en la dirección radial); (3) DIFERENCIA esencial: no es AdS/CFT de Maldacena directo (que necesita invariancia conforme continua) sino holografía de escala DISCRETA —el marco es AdS/Γ con $\Gamma=\langle z\to\varphi^2 z\rangle\cong\mathbb{Z}$, conectando con invariancia de escala discreta (Sornette), sistemas log-periódicos; el marco es a la holografía como un cristal a un fluido; (4) APORTE a la gravedad: la holografía es un mecanismo de gravedad cuántica; da a la gravedad emergente (Verlinde, §24) un mecanismo concreto —gravedad = flujo radial en n; la cota de entropía S=Área/4G tiene contraparte en $\Sigma\varphi^{(2k)}$ (modos hasta capa n). METÁFORA NO tomada: retículo=brana, nodo=cuerda cerrada, enlace=cuerda abierta —no hay acción DBI, carga RR, ni modos de cuerda; son imágenes, no derivaciones. Alcance honesto: da un mecanismo coherente para la gravedad emergente, NO las ecuaciones de campo completas ni convierte el marco en teoría de cuerdas. Avance estructural en el sector más abierto, no su cierre.**

El sentido de tomar de la teoría de cuerdas solo su estructura holográfica, y no su lenguaje de branas y cuerdas, es el mismo que ha guiado todo el documento: distinguir lo que la matemática soporta de lo que solo suena bien. La holografía del eje áureo es real —la relación $E\sim 1/z$ es exacta, el radio $L=1/\ln\varphi$ es la constante del marco, la invariancia de escala discreta tiene literatura propia— y aporta al sector gravitatorio un mecanismo que no tenía. Las branas y cuerdas como objetos son imágenes sin la matemática que las haga derivaciones. Tomar lo primero y dejar lo segundo es lo que permite que esta conexión cierre algo del marco en lugar de solo adornarlo con vocabulario prestado.

F.14.6 Lo que sí mejora la gravedad: la teoría efectiva de Donoghue

De las herramientas de la gravedad cuántica de cuerdas, la que mejora el marco de forma concreta no es la dualidad de Maldacena ni las branas de Polchinski, sino la teoría efectiva de la gravedad de Donoghue. La razón es que esta cierra un hueco real del marco —el límite newtoniano, que el marco postulaba como gravedad emergente sin derivarlo— y lo hace mediante un teorema, no una analogía. Donoghue demostró que, aunque la relatividad

general no sea renormalizable, a energías muy por debajo de la de Planck se puede cuantizar de forma consistente tratándola como una teoría efectiva; y que el potencial gravitatorio que resulta de calcular el intercambio de gravitones es el newtoniano más correcciones calculables:

$$V(r) = -(Gm_1m_2/r)\,[\,1 + 3G(m_1+m_2)/(rc^2) + (41/10\pi)\cdot G\hbar/(r^2c^3)\,]$$

El término clásico recupera Newton; el segundo es la primera corrección post-newtoniana; el tercero, con el coeficiente 41/10π, es la corrección cuántica genuina, universal y calculada (Bjerrum-Bohr, Donoghue y Holstein). El rasgo decisivo del resultado de Donoghue es que estas correcciones de baja energía son universales: no dependen de la teoría completa que gobierne la física a la escala de Planck. Lo que ocurra en el ultravioleta —incluido cualquier esquema especulativo— no altera la forma de estas correcciones infrarrojas.

Esto mejora el marco en dos sentidos precisos. El primero es que cierra el límite newtoniano. El marco postula un gravitón sin masa como el modo cero del eje (la excitación de menor escala de la dirección holográfica, §F.14.1). Por el teorema de Donoghue, cualquier teoría con un gravitón sin masa reproduce automáticamente el potencial newtoniano y sus correcciones cuánticas en el infrarrojo. El marco, por tanto, hereda el límite newtoniano sin necesidad de derivarlo a mano: deja de ser un hueco abierto y pasa a estar garantizado por consistencia, siempre que el modo cero gravitatorio del eje sea efectivamente un gravitón sin masa, que es lo que el marco sostiene. El segundo sentido es que protege las especulaciones ultravioletas del marco. Donoghue separa limpiamente lo robusto —la física infrarroja, universal— de lo dependiente del ultravioleta. Como el marco vive en el ultravioleta (la escala de Planck, el polo K_0, las capas áureas próximas a Planck), todo lo que proponga allí —la escalera φ, la estructura holográfica de escala discreta, el origen $K_{½}$— no puede entrar en conflicto con la física infrarroja establecida, que queda fijada por el teorema. El marco gana así licencia para especular en el ultravioleta sin contradecir la gravedad de baja energía conocida.

La honestidad sobre el alcance es importante y precisa. Donoghue no le da al marco una predicción nueva en el infrarrojo: justamente porque las correcciones son universales, el marco no las modifica —son las mismas que en la relatividad general, y afirmar lo contrario rompería el teorema de universalidad. La mejora es de consistencia y de protección, no de predicción. Donde el marco podría, en principio, desviarse de la predicción de Donoghue es a las escalas intermedias en que su estructura de capas áureas se activara, entre el infrarrojo y Planck; pero calcular esa desviación requeriría las ecuaciones de campo gravitatorias completas que el marco todavía no tiene. La contribución de Donoghue es, por tanto, asegurar el límite correcto y proteger el ultravioleta, no abrir una ventana predictiva nueva. Es un cierre real de un hueco real, con su alcance claramente delimitado.

Conviene situar las otras dos referencias del marco teórico de cuerdas en su lugar honesto. La correspondencia AdS/CFT de Maldacena —la equivalencia exacta entre una teoría de cuerdas tipo IIB en un espacio anti-de Sitter de cinco dimensiones y una teoría conforme sin gravedad en su borde de cuatro— es la inspiración de la estructura holográfica del eje áureo (§F.14.1), y su principio general (la física del volumen codificada en una frontera) es el que el marco aprovecha. Pero la dualidad exacta de Maldacena requiere un espacio anti-de Sitter continuo y supersimetría extendida, ninguno de los cuales el marco

posee, de modo que se toma su principio holográfico, no su teorema de dualidad. Las D-branas de Polchinski —las hipersuperficies donde terminan las cuerdas abiertas que portan los campos gauge, mientras las cuerdas cerradas median la gravedad en el volumen— ofrecen la imagen más cercana a la intuición de que el retículo es una estructura sobre la que viven los campos; pero, como se estableció (§F.14.5), el marco no contiene D-branas reales, y esa imagen es una metáfora, no una identificación. La idea de fijar por φ una separación entre branas sería una condición de borde concreta si el marco tuviera branas; sin ellas, es una hipótesis de conexión a explorar, no un resultado del marco.

> **Donoghue mejora la gravedad del marco (v12.8): de las herramientas de cuerdas, la que mejora el marco de forma concreta es la teoría efectiva de la gravedad de Donoghue (no Maldacena ni Polchinski). CIERRA el límite newtoniano (hueco real): Donoghue probó que GR es cuantizable como EFT bajo Planck, dando $V(r)=-(Gm_1m_2/r)[1+3G(m_1+m_2)/rc^2+(41/10\pi)G\hbar/r^2c^3]$ —Newton + correcciones post-newtonianas + corrección cuántica universal (41/10π, calculada). Las correcciones IR son UNIVERSALES (independientes del UV). MEJORA 1: el marco postula gravitón sin masa (modo cero del eje); por el teorema, hereda AUTOMÁTICAMENTE Newton + correcciones en el IR —el límite newtoniano deja de ser hueco, está garantizado por consistencia. MEJORA 2: Donoghue separa IR robusto de UV; como el marco especula en el UV (Planck, K_0, capas φ), sus especulaciones NO rompen el IR establecido —licencia para especular en UV sin contradecir gravedad conocida. HONESTIDAD: NO da predicción nueva en IR (correcciones universales, el marco no las cambia); es consistencia y protección, no predicción. Desviación posible solo a escalas intermedias, que requieren ecuaciones de campo que el marco no tiene. MALDACENA: inspiración holográfica (§F.14.1), dualidad exacta no transfiere (sin AdS continuo ni SUSY). POLCHINSKI: imagen de branas, pero el marco no tiene branas reales (§F.14.5); 'separación=φ' es hipótesis, no resultado. Referencias: Maldacena (1997), Polchinski (1995), Donoghue (1994).**

F.14.7 La invariancia modular del toro: lo que de cuerdas sí toca el marco, y lo que no

Resta preguntar si la matemática de la teoría de cuerdas puede cerrar lo que al marco le falta —las ecuaciones de campo gravitatorias completas, la normalización de los acoplamientos gauge, la selección de los nodos, las matrices de mezcla. La respuesta honesta, tras revisar las herramientas, es que la mayoría no transfiere, porque presupone estructuras que el marco no posee, y que una sola pieza toca algo que el marco genuinamente tiene —el toro— sin cerrar por ello esos huecos, pero aportando una coherencia profunda. Conviene decir ambas cosas con precisión.

Las técnicas de cuerdas que dan resultados computacionales descansan sobre objetos ausentes del marco. Las ecuaciones de Einstein surgen, en cuerdas, como la condición de que la teoría sobre la hoja de mundo no tenga anomalía conforme (la anulación de la función beta); pero el marco no tiene una hoja de mundo de cuerda, de modo que esa condición no se le aplica. Los

grupos gauge surgen de la compactificación de dimensiones extra o de configuraciones de branas; pero el marco obtiene sus grupos de la geometría de CP^2 y de la estructura spin-c (§23.9), un origen distinto, así que la maquinaria de cuerdas para los acoplamientos no transfiere. El espectro de masas surge de los modos de vibración de la cuerda; pero los nodos del marco son capas de un retículo, no modos vibracionales, y la fórmula de niveles de cuerda no se le aplica. Y las matrices de mezcla surgen de solapamientos de funciones de onda en la geometría compactificada, que el marco tampoco tiene. En los cuatro casos, la técnica de cuerdas presupone cuerdas, branas o compactificación, y el marco no es eso. La conclusión, coherente con lo dicho sobre branas y cuerdas como imágenes (§F.14.5), es que estas herramientas no cierran los huecos computacionales del marco.

Hay, sin embargo, una pieza de la matemática de cuerdas que toca algo que el marco sí tiene: la invariancia modular del toro. En cuerdas, la amplitud a un bucle es una integral sobre un toro caracterizado por un parámetro modular τ, y debe ser invariante bajo el grupo modular, el grupo de transformaciones generado por $\tau \to \tau+1$ y $\tau \to -1/\tau$. El marco tiene un toro genuino —el que la génesis construye a partir del anillo (§20.18.9)—, y todo toro tiene su parámetro modular. La pregunta con contenido es qué valor de τ le corresponde, y la respuesta conecta con el resto del marco de modo notable. El punto del espacio modular de máxima simetría —la esquina del dominio fundamental, el único punto fijado por una transformación modular de orden seis— es:

$$\tau = \rho = e^{i\pi/3}, \quad \textit{fijo por la transformación modular de orden 6}$$

Este punto es exactamente la fase del origen K½ (§20.18.7). Si el toro del marco se sitúa en él —el punto modular más simétrico que existe—, entonces el seis del grupo modular, el de la fase del origen y el del grupo gauge resultan ser el mismo. El número seis, y su grupo cíclico $\mathbb{Z}_6$, aparece entonces en tres lugares que la invariancia modular unifica.

La coincidencia es de una economía notable. El $\mathbb{Z}_6$ figura, primero, como la fase del origen complejo K½, $e^{i\pi/3}$, la rama del conocer (§20.18.7); segundo, como el grupo por el que se cocienta el grupo gauge del Modelo Estándar, $[SU(3)\times SU(2)\times U(1)]/\mathbb{Z}_6$, con su descomposición $\mathbb{Z}_2\times\mathbb{Z}_3$ en los centros de SU(2) y SU(3) (§23.10); y tercero, ahora, como la simetría modular de orden seis del toro situado en su punto más simétrico, $\tau = e^{i\pi/3}$. Los tres son el mismo punto del plano complejo y el mismo grupo cíclico. La invariancia modular da, así, una razón de por qué el toro del marco es el que es: es el toro de máxima simetría, el punto fijo del grupo modular, lo que concuerda con que la razón áurea sea la de máxima simetría en irracionalidad (§20.18.10) —el toro más simétrico devanado por el número más uniformemente irracional.

La honestidad sobre lo que esto cierra y lo que no es esencial, porque marca el límite de lo que la teoría de cuerdas puede hacer por el marco. La invariancia modular no cierra ninguno de los huecos computacionales: no da las ecuaciones de campo gravitatorias, ni la normalización de los acoplamientos gauge, ni la selección de los nodos, ni las matrices de mezcla; esos problemas siguen abiertos exactamente como antes. Lo que aporta es una mejora de coherencia —fuerte y elegante, pero coherencia al fin: la unificación del $\mathbb{Z}_6$ en tres lugares y una razón modular de por qué el toro del marco es el de máxima simetría. La pregunta de si la matemática de cuerdas puede cerrar lo que al marco le falta tiene, por tanto, una respuesta de dos partes: en lo

computacional, no, porque sus técnicas presuponen objetos que el marco no tiene; en lo estructural, la única pieza que toca el toro real del marco —la invariancia modular— no cierra esos huecos pero revela que el toro del marco está en el punto más simétrico posible, unificando el seis del origen, el grupo gauge y la simetría modular. Es lo que de cuerdas sí toca el marco, y es coherencia, no cierre.

> **Invariancia modular del toro: lo que de cuerdas sí toca el marco (v13.4). PREGUNTA: ¿la matemática de cuerdas cierra los huecos del marco (gravedad completa, acoplamientos, nodos, mezclas)? RESPUESTA dos partes. (1) La MAYORÍA NO TRANSFIERE: las ecuaciones de Einstein (anulación de β en la hoja de mundo) necesitan hoja de mundo de cuerda —el marco no la tiene; los grupos gauge de cuerdas vienen de compactificación/branas —el marco los saca de CP²/spin-c (§23.9); el espectro de cuerdas viene de modos vibracionales —los nodos del marco son capas, no vibraciones; las mezclas vienen de solapamientos en compactificación —ausente. Las técnicas presuponen cuerdas/branas/compactificación que el marco no es (coherente con §F.14.5). (2) UNA pieza SÍ toca el toro real del marco: la INVARIANCIA MODULAR. La amplitud a un bucle en cuerdas vive en un toro con parámetro modular τ, invariante bajo el grupo modular (τ→τ+1, τ→−1/τ). El marco tiene un toro genuino (§20.18.9). El punto modular de MÁXIMA simetría (esquina del dominio fundamental, fijo por transformación de orden 6) es τ=ρ=e^(iπ/3) —EXACTAMENTE la fase del origen K½ (§20.18.7). El $\mathbb{Z}_6$ TRIPLE: (a) fase de K½ e^(iπ/3); (b) cociente gauge […]/$\mathbb{Z}_6$=$\mathbb{Z}_2\times\mathbb{Z}_3$ centros SU(2),SU(3) (§23.10); (c) simetría modular orden 6 del toro en τ=ρ. Los tres = el mismo punto y grupo. Da razón de por qué el toro del marco: es el MÁS simétrico (concuerda con φ=máxima irracionalidad §20.18.10). HONESTIDAD: NO cierra huecos computacionales (gravedad, acoplamientos, nodos, mezclas siguen abiertos); es mejora de COHERENCIA ($\mathbb{Z}_6$ triple, toro más simétrico), no cierre. Respuesta: en lo computacional cuerdas no cierra (presupone lo ausente); en lo estructural la invariancia modular revela el toro en el punto más simétrico, unificando el 6. Coherencia, no cierre.**

F.14.8 El puente clockwork: la forma de la escalera desde una acción conocida

De todo lo que la física de altas energías ofrece, el mecanismo que más se aproxima a dar la forma de la escalera de masas del marco desde una acción reconocida es el clockwork, formulado por Giudice y McCullough (A Clockwork Theory, JHEP 02 (2017) 036, arXiv:1610.07962). Esta sección establece con precisión qué aporta ese puente y qué no aporta, porque la distinción es exactamente la que separa fortalecer el marco de darle una validación que no le corresponde. El puente es real: fija la forma de la escalera. Pero es parcial: no fija su factor.

El mecanismo clockwork genera, a partir de una cadena de campos con interacciones a primeros vecinos —o, en su versión continua, de una dimensión extra—, un espectro de acoplamientos o masas exponencialmente jerárquico, de

la forma q^(-N) para un parámetro q mayor que uno y N estados. El punto que importa para el marco es que esta forma coincide exactamente con la de su escalera. La ley de masas del marco, m_n = m_P·φ^(-2n), se reescribe como

$$m_n = m_P \cdot (\varphi^2)^{(-n)}$$

que es precisamente la forma clockwork q^(-N) con el factor q = φ² ≈ 2.618 y N = n. La escalera del marco es, en esta lectura, un clockwork cuyo factor es el cuadrado de la razón áurea. Y esto es significativo porque el clockwork sí deriva esa forma exponencial de una acción concreta y reconocida —una cadena de campos, o una dimensión extra con métrica de dilatón lineal—, que es justamente lo que el marco no poseía: una formulación lagrangiana, en el lenguaje de la teoría de campos estándar, de la que la progresión geométrica de las masas emerge como resultado y no como postulado. La forma de la escalera deja de ser una construcción aislada del marco y se reconoce como un caso particular de una estructura que la física más allá del Modelo Estándar ya escribe.

El puente se extiende, además, hacia la teoría de cuerdas, lo que responde a la pregunta de si la escalera del marco es numerología aislada o el límite discreto de algo conocido. La versión continua del clockwork es el dual del dilatón lineal de la Little String Theory: la misma estructura que genera la jerarquía exponencial aparece, en el lado de cuerdas, como un dilatón que varía linealmente a lo largo de una dimensión. Esto conecta con la holografía de escala discreta del marco (§F.14), donde el eje áureo es la coordenada holográfica: el dilatón lineal de la Little String Theory y el eje holográfico del marco son descripciones de la misma clase de estructura. La escalera del marco no es, por tanto, una invención sin parentesco: es el límite discreto, con factor φ², de algo que la teoría de cuerdas escribe con las letras del dilatón lineal.

Aquí termina lo que el puente aporta y empieza lo que no aporta, y la frontera debe trazarse con toda claridad. El clockwork da la forma de la escalera —la progresión geométrica q^(-N) desde una acción—, pero no fija el valor del factor q. En el mecanismo, q es un parámetro libre, sujeto solo a la condición q mayor que uno; los modelos habituales emplean valores como q = 3, sin que nada en el clockwork privilegie un valor sobre otro. El marco necesita específicamente q = φ², y el clockwork, por sí solo, no selecciona ese valor. La pregunta de por qué el factor debe ser φ² —equivalentemente, por qué el paso de la escalera es la razón áurea— permanece, después del puente, exactamente donde estaba: es la conjetura central del marco (la necesidad de φ por mínima información, §20.18.6), no un resultado que el clockwork proporcione. El puente resuelve la mitad del problema —de dónde sale la forma exponencial— y deja intacta la otra mitad —por qué el factor es áureo.

Conviene añadir una precisión técnica que la literatura del clockwork establece y que delimita aún más el puente. El análisis de Craig, García García y Sutherland (Disassembling the Clockwork Mechanism, JHEP 10 (2017) 018, arXiv:1704.07831) muestra que el clockwork es un fenómeno intrínsecamente abeliano, que no se realiza en teorías no abelianas como Yang-Mills o la gravedad por efectos puramente geométricos, y que en dimensiones extra no surge de la pura geometría sino de la localización apropiada de los modos cero. Esto implica que la conexión entre la escalera del marco y el clockwork no puede pasar por la geometría tórica del marco sin más: requeriría una realización en términos de localización de modos cero, no de la topología del

toro por sí sola. El puente, por tanto, es estructural —la forma de la escalera es la del clockwork— pero su realización concreta dentro del marco es un problema abierto, no un resultado establecido.

El balance es el adecuado para la estrategia del marco. Frente a la teoría de cuerdas, que maximiza la consistencia —cuántica más gravedad— al precio de la unicidad —el paisaje de innumerables vacíos posibles—, el marco maximiza la unicidad —una sola escalera de un solo factor— al precio de la derivación desde una acción universalmente aceptada. El puente clockwork reduce ese precio sin anularlo: muestra que la forma de la escalera sí se deriva de una acción reconocida, y que esa acción tiene parentesco con la teoría de cuerdas vía el dilatón lineal, de modo que la escalera no es numerología aislada; pero no provee el valor φ^2, que sigue siendo la apuesta propia del marco. Lo que un desarrollo futuro tendría que mostrar, para cerrar el puente, es por qué el factor φ^2 es preferido en una compactificación o una localización de modos concreta —una dirección de trabajo precisa, abierta, que el clockwork de Giudice-McCullough señala sin recorrer.

El puente clockwork (v14.6): el mecanismo que más se acerca a dar la FORMA de la escalera desde una acción conocida. Giudice-McCullough (A Clockwork Theory, JHEP 02 (2017) 036, arXiv:1610.07962): cadena de campos a vecino próximo (o dimensión extra) genera espectro jerárquico q^(-N), q mayor que 1. El marco: m_n=m_P·φ^(-2n)=m_P·(φ²)^(-n) ES la forma clockwork con q=φ²≈2.618, N=n. SIGNIFICATIVO: el clockwork SÍ deriva la forma exponencial de una acción concreta reconocida (lo que al marco le faltaba: formulación lagrangiana de la que la progresión emerge, no se postula). PUENTE A CUERDAS: clockwork continuo = dual del dilatón lineal de Little String Theory; conecta con la holografía discreta del marco (§F.14, eje áureo = coordenada holográfica). La escalera NO es numerología aislada: es el límite discreto (q=φ²) de algo que cuerdas escribe (dilatón lineal). LÍMITE HONESTO: el clockwork da la FORMA q^(-N) pero NO fija q —q es parámetro libre (mayor que 1); modelos típicos usan q=3. El marco necesita q=φ² específicamente, que el clockwork NO selecciona. Por qué el factor es φ² sigue siendo la conjetura central (mínima info⇒φ §20.18.6), NO un resultado del clockwork. Resuelve la mitad (forma exponencial), deja la otra (por qué áureo). PRECISIÓN técnica (Craig et al., Disassembling, arXiv:1704.07831): clockwork es abeliano, NO geométrico puro; en dim. extra requiere localización de modos cero, no pura topología tórica → la realización en el marco es problema ABIERTO. ESTRATEGIA: cuerdas maximiza consistencia, sacrifica unicidad (paisaje); el marco maximiza unicidad (una escalera), sacrifica derivación desde acción aceptada. El puente reduce el precio (la forma sí viene de acción, con parentesco a cuerdas) sin anularlo (no da φ²). Trabajo futuro: mostrar q=φ² preferido en una compactificación/localización concreta —dirección abierta.

Apéndice G. Sector de mezcla: mezcla áurea de neutrinos

Derivar las matrices de mezcla (CKM, PMNS) y θ_QCD desde primeros principios es uno de los problemas abiertos más difíciles de la física; ninguna teoría establecida lo logra, y este marco tampoco. Lo que sí hace la estructura áurea es conectar naturalmente con un resultado real y publicado en el sector de neutrinos. Este apéndice separa esa predicción genuina de los ajustes post-hoc y de lo que sigue sin resolverse.

G.1 Ángulo solar θ_{12}: mezcla áurea de neutrinos (predicción genuina)

La idea de mezcla áurea de neutrinos (golden ratio neutrino mixing; Datta, Everett–Ramond y otros, ~2005–2012) fija el ángulo solar de la matriz PMNS por la razón áurea:

$$\tan\theta_{12} = 1/\varphi \quad \rightarrow \quad \theta_{12} = 31.7^\circ \quad (\text{obs } 33.4^\circ, -5\%)$$

Una variante ($\cos\theta_{12} = \varphi/2 \rightarrow 36.0^\circ$, +8%) rodea el valor observado por el otro lado; el dato experimental (33.4°) cae entre ambas. Un marco construido sobre φ produce esta relación de forma natural: es su aporte real al sector no abordado.

G.2 Ángulo atmosférico θ_{23} (razonable)

$\theta_{23} = 45^\circ$ (mezcla maximal, por simetría μ–τ) frente a 49.0° observado (−8%). Es compatible con la simetría Z_3 del §7.10, aunque el marco no fuerza el valor exacto.

G.3 Lo que falla o es post-hoc (honesto)

Ángulo reactor θ_{13}: el intento áureo sin $\theta_{13} \sim 1/(\varphi^2\sqrt{2})$ da 15.7°, frente a 8.6° observado — mal ajuste.

Mezcla de quarks (CKM): el ángulo de Cabibbo $\lambda = |V_{us}| = \varphi^{-3} = 0.236$ (obs 0.225, +5%) es sugerente, pero la jerarquía de Wolfenstein se rompe: $V_{cb} \sim \varphi^{-6} = 0.056$ (+36%) y $V_{ub} \sim \varphi^{-9} = 0.013$ (+256%). La mezcla de quarks NO se reproduce.

Fases CP: el ángulo áureo $\alpha_0 = 137.5^\circ$ sugiere $\alpha_0/2 = 68.8^\circ$ frente a $\gamma_{CKM} \approx 65.7^\circ$, pero sin mecanismo — es coincidencia post-hoc.

θ_{QCD} (CP fuerte): el marco no lo resuelve. La topología toroidal podría fijar $\theta_{QCD} = 0$, pero es especulación; queda abierto.

G.4 Fase CP: candidato áureo (parcial)

La misma irracionalidad que impide un espín cuantizado (§A.9) convierte al ángulo áureo en una fuente natural de una fase CP irreducible. Con la mezcla áurea (θ_{12} con $\tan\theta_{12} = 1/\varphi$, $\theta_{23} = 45^\circ$, $\theta_{13} \approx 8.5^\circ$) y fase $\delta = \alpha_0/2 = 68.8^\circ$, el invariante de Jarlskog da:

$$J = 0.030 \quad vs \quad J_{PMNS\ observado} \approx 0.033\ (\text{máx}) \quad \rightarrow \quad \sim 8\%$$

Para CKM, la fase γ observada ≈ 65.7° queda cerca de $\alpha_0/2 = 68.8^\circ$. Caveats: la elección $\delta = \alpha_0/2$ es post-hoc (no hay razón derivada para la mitad), los ángulos de mezcla son en parte ajustados, y la fase CP del PMNS aún está mal medida ($\delta \approx 197^\circ$–285°). Es un candidato geométrico genuino, no una derivación.

G.5 Estatus

De los ~9 parámetros del sector de mezcla, el marco aporta una predicción genuina (θ_{12} por mezcla áurea, −5%, con linaje publicado) y una razonable (θ_{23} maximal). El resto —θ_{13}, toda la jerarquía CKM, las fases CP y θ_QCD— sigue sin reconstruirse.

> *Síntesis (Apéndice G): la estructura áurea conecta de forma natural con la mezcla de neutrinos (donde φ aparece en la literatura real: θ_{12} con tan $\theta_{12} = 1/\varphi$), pero no con la mezcla de quarks ni con el CP fuerte. Es progreso acotado y honesto, no una solución del problema de mezcla.*

18. El toroide como identificación de K_0 con K_max

El toroide no es una elección geométrica conveniente para el marco: es la única estructura que permite que K_0 y K_max coexistan sin ser dos objetos distintos. Esta sección formaliza esa identificación y deriva de ella la forma de la secuencia completa de irracionales que gobierna los 291.5 pasos de olvido.

18.1 La identificación topológica

El toro T^2 tiene la propiedad fundamental de que sus dos extremos opuestos se identifican. En el espacio (n, k) del marco —escalera de masas y cascada de fijación— los límites son:

K_0: (0,0) — indeterminación máxima, el agujero central del toroide

K_max: (N_U, N_U) — compresión máxima, la luz primera

Por ser toroide, estos dos puntos están identificados: K_0 = K_max. No son opuestos ontológicos sino el mismo punto visto desde los dos lados del tubo. Ninguna otra topología lo permite: en una esfera toda trayectoria que sale de un punto y rodea la superficie regresa por el mismo lado. El toroide tiene dos ciclos independientes —el longitudinal y el meridional— que permiten que el extremo inferior y el superior sean el mismo sin contradicción.

La identificación es lo que el prólogo dramatiza sin nombrarla: K_0 tracciona el fondo gris hacia adentro de sí mismo hasta que emerge luz. Esa tracción es exactamente la identificación toroidal: el borde inferior se pliega sobre el superior hasta coincidir. Lo que era el exterior se convierte en el mismo punto que el interior.

El documento ya enuncia en §15.7.7 que K_0 es el agujero central y que el universo es la superficie del toroide. Lo que esta sección añade es la consecuencia: K_max no es otro punto del universo sino el mismo agujero K_0 alcanzado desde el otro lado. Los dos bordes del mundo mencionados en el prólogo —«arriba, un K máximo; abajo, un nuevo K_0»— son el mismo borde del toroide.

18.2 La consecuencia: ausencia de antes y después

Si K_0 y K_max son el mismo punto, no existe un «antes de K_0» ni un «más allá de K_max». El universo no emergió de K_0 hacia K_max: es la superficie del toroide entre ellos, lo que es lo mismo que decir entre K_0 y sí mismo.

Esto resuelve la pregunta abierta de la asimetría topológica de §17: la asimetría k=0/k=N_U no es entre dos puntos distintos sino entre las dos formas de aproximarse al mismo punto. La flecha del tiempo es la elección de cuál lado del tubo se llama inicio y cuál llegada. Ambas son descripciones del mismo objeto topológico. K_0 es el pasado inaccesible no porque esté fuera del universo sino porque es el mismo punto que K_max alcanzado por el lado que el universo no puede atravesar desde dentro: la superficie no puede ver su propio agujero.

> **Implicación formal: la condición de cierre n_U × S_min = √e de §15.7.7 es la condición de que la geodésica áurea sobre el toroide cierre exactamente en N_U pasos. Ese cierre es la identificación K_0 = K_max. La constante √e no es un número elegido: es la única normalización gaussiana que permite el cierre auto-consistente del toroide.**

18.3 La secuencia completa de irracionales: oscilación, no decrecimiento

Si el toroide une K_0 con K_max identificándolos, la secuencia de 291.5 irracionales no va de φ hacia algo más pequeño o más racional. Recorre el tubo del toroide y cuando llega al extremo opuesto cierra sobre el origen. La secuencia es cíclica.

El cálculo directo del irracional efectivo de cada partícula —definido como el $\underline{\alpha}_k$ tal que $m_k = m_P \cdot \underline{\alpha}_k^{(-2n)}$— revela la estructura real de la secuencia:

Partícula	n	$\underline{\alpha}_k$ efectivo	$\delta_k = \alpha_k - \varphi$	$\lvert\delta_k\rvert/\varphi$
Top	40.309	1.618091469	$+5.75\times10^{-5}$	3.55×10^{-5}
Higgs	40.646	1.618028285	-5.70×10^{-6}	3.52×10^{-6}
Z	40.976	1.618024158	-9.83×10^{-6}	6.07×10^{-6}
W±	41.107	1.618026506	-7.48×10^{-6}	4.62×10^{-6}
Bottom	44.179	1.618024305	-9.68×10^{-6}	5.98×10^{-6}
Tau	45.067	1.618038004	$+4.02\times10^{-6}$	2.48×10^{-6}
Charm	45.412	1.618036980	$+2.99\times10^{-6}$	1.85×10^{-6}
Protón	45.731	1.618047238	$+1.32\times10^{-5}$	8.19×10^{-6}
Muón ★	48.000	1.618032144	-1.84×10^{-6}	1.14×10^{-6}
Strange	48.128	1.618034583	$+5.95\times10^{-7}$	3.68×10^{-7}
Down	51.241	1.618029928	-4.06×10^{-6}	2.51×10^{-6}
Up	52.042	1.618032315	-1.67×10^{-6}	1.03×10^{-6}
Electrón	53.540	1.618029087	-4.90×10^{-6}	3.03×10^{-6}

★ El muón es el único modo con fracción {n} = 0 exacta (n = 48.000): cae sobre un nodo entero del retículo, en el punto de identificación $K_0 = K_{max}$. (La menor desviación absoluta de la base efectiva, $|\delta_k| = 5.9\times10^{-7}$, la tiene el strange; el muón tiene $|\delta_k| = 1.84\times10^{-6}$. Son dos propiedades distintas: {n} = 0 es la del muón, $|\delta_k|$ mínimo es la del strange.)

Todos los α_k difieren de φ en menos de 6×10^{-5}. La secuencia no decrece de φ hacia un número más racional: oscila alrededor de φ con amplitud microscópica. La estructura completa es:

$$\alpha(n) = \varphi \cdot (1 + \varepsilon(n))$$

donde ε(n) es una función oscilatoria con estas propiedades: (1) ε(n) → 0 en los mínimos del funcional S(n) de §15.7, donde se forman las partículas estables; (2) la amplitud global de la oscilación decrece desde n=0 hacia $n=N_U$; (3) φ es el atractor universal —el punto fijo de la geodésica sobre el toroide.

Lo que «menos que olvidar» significa formalmente no es que el irracional sea más pequeño sino que la amplitud de su oscilación alrededor de φ es menor. Los pasos tardios del olvido (n grande) oscilan con ε más pequeño: están más cerca de φ, más cerca del punto de identificación $K_0 = K_{max}$. En el límite $n \to N_U$, ε → 0 y el sistema llega al punto de cierre.

18.4 Partículas como nodos de la oscilación toroidal

Las partículas son los instantes donde la geodésica áurea sobre el toroide pasa más cerca del punto de identificación $K_0 = K_{max}$, es decir donde ε(n) ≈ 0. El funcional S(n) de §15.7.2 mide exactamente la distancia al punto de cierre en cada paso: sus mínimos son los nodos donde la oscilación cruza por cero.

El muón (n = 48.000) es el único modo del SM con fracción {n} = 0 exacta: su índice cae sobre un entero sin residuo. Esta es su propiedad geométrica genuina —distinta de tener $|\delta_k|$ mínimo, que de hecho corresponde al strange ($|\delta_k| = 5.9\times10^{-7}$ frente a 1.8×10^{-6} del muón)—. Lo que distingue al muón no es la desviación de su base efectiva α_k respecto a φ, sino que se sitúa exactamente sobre un nodo entero del retículo. Esto es geométricamente la razón de su posición especial: $\sqrt{48} = 4\sqrt{3} = S\Lambda/(2\pi)$ es la condición de que el muón está en el punto donde la escala áurea y la escala toroidal coinciden (§6), el único punto donde {n} = 0 coincide con el umbral toroidal.

El quark top (n = 40.31, $|\delta| = 5.75\times10^{-5}$) tiene la mayor desviación: el olvido más «turbulento», más alejado del nodo de cierre. La instabilidad extrema del top —se desintegra antes de hadronizarse— es la manifestación dinámica de que su olvido ocurrió lejos del punto de identificación.

> **Principio de identificación toroidal (v10.3): El toroide es la estructura que une K_0 y K_{max} identificándolos como el mismo punto. La secuencia de 291.5 irracionales es la geodésica con pendiente φ sobre ese toroide: nunca cierra exactamente (φ es el más irracional), pero oscila alrededor de φ con amplitud ε(n) que decrece hacia el punto de cierre $K_0 = K_{max}$. Las partículas fundamentales son los 13 nodos donde ε(n) ≈ 0: los instantes en que la geodésica pasa más cerca del punto donde el universo se identifica consigo mismo. φ no fue elegido: es el atractor del**

proceso, el punto fijo de la geodésica toroidal, la única razón que hace posible que $K_0 = K_{max}$ sin resonancia.

Nota metodológica: los valores α_k de la tabla se calculan de las masas experimentales y son verificación de consistencia, no predicción. La predicción del marco es que $\alpha_k = \varphi$ exactamente en los mínimos del funcional $S(n)$. La desviación residual $\sim 10^{-6}$ cuantifica el error actual del marco en ese sector. Derivar $\varepsilon(n)$ analíticamente desde la geometría del toroide, sin usar masas experimentales, es el trabajo pendiente que completaría esta sección.

18.5 La estructura de doble X del nexo y el flujo cíclico de la información

Las subsecciones anteriores establecieron que el nexo es la identificación $K_0 = K_{max}$. Esta subsección examina su estructura local —la geometría de las líneas que pasan por él— y responde una pregunta natural: si la información fluye a través del nexo, ¿cuántas veces lo ha hecho? La respuesta tiene tres niveles de certeza distintos, y el más profundo es un resultado epistémico sobre los límites del propio marco. Se distinguen con cuidado, como en todo el documento, lo que la geometría fuerza de lo que solo permite.

18.5.1 El nexo es una doble X: un punto silla de ocho ramas

Localmente, el nexo no es un punto ordinario sino un punto del que emanan ocho ramas: una doble X. La razón es que el toroide tiene dos ciclos independientes —el meridional S^1_H (el Higgs) y el longitudinal S^1_φ (la cadena áurea)— y en el punto donde ambos se identifican, cada ciclo aporta su propio cruce. El cruce del ciclo meridional es una X; el del longitudinal es otra X; superpuestas dan la doble X de ocho separatrices.

Esta estructura es la del punto blanco de §19.3, donde los vectores de luz emanan separados por el ángulo áureo. Ahora se precisa su naturaleza dinámica: es un punto silla de orden superior. Unas ramas entran (la espiral convergente del olvido, que lleva la información hacia el nexo) y otras salen (la espiral divergente que la tracción genera tras la inversión, §19.2). El nexo es simultáneamente sumidero por unas direcciones y fuente por otras: el lugar donde la información que converge por el olvido se reemite por la tracción.

El índice topológico de esta doble X es calculable. Un punto silla con $2k$ separatrices tiene índice de Poincaré-Hopf igual a $1-k$; con ocho ramas ($k=4$), el índice es -3. Como la suma de los índices sobre el toroide debe igualar su característica de Euler $\chi(T^2)=0$, el nexo de índice -3 no puede existir aislado: obliga a la presencia de fuentes y sumideros que sumen $+3$ en el resto del toroide.

$$\textit{índice(doble X)} = 1 - 4 = -3 \quad \rightarrow \quad \Sigma \textit{ otros índices} = +3 \quad (\textit{para } \chi(T^2)=0)$$

Este es un resultado con contenido: la doble X del nexo fuerza, por pura topología, la existencia de otros tres puntos críticos netos en el toroide. No son opcionales; el cierre de Poincaré-Hopf los exige. Identificar qué son físicamente esos tres puntos compensadores es una pregunta abierta que esta subsección plantea.

18.5.2 Los retornos al nexo ocurren en números de Fibonacci

La geodésica áurea sobre el toroide tiene pendiente φ, el número más irracional. Por ello nunca cierra exactamente, pero pasa cerca del nexo una y otra vez. La pregunta es cuándo. La respuesta es notable: los retornos más cercanos ocurren exactamente en los pasos que son números de Fibonacci.

Esto es una consecuencia del teorema de las tres distancias (Steinhaus) aplicado a la rotación por el ángulo áureo: los mejores retornos de una órbita de rotación irracional ocurren en los denominadores de los convergentes de la fracción continua, que para φ son los números de Fibonacci. La distancia al nexo en cada uno decrece de forma exactamente geométrica, por un factor φ en cada Fibonacci sucesivo:

Paso n (Fibonacci)	Distancia al nexo	Razón con el anterior
13	0.03444	—
21	0.02129	1.618 = φ
34	0.01316	1.618 = φ
55	0.00813	1.618 = φ
89	0.00502	1.618 = φ
144	0.00311	1.618 = φ
233	0.00192	1.618 = φ

El que las distancias decrezcan por exactamente φ en cada retorno es la firma áurea en su forma más pura: el ritmo con que la información se acerca al nexo está gobernado por el mismo φ que gobierna las masas, las fuerzas y la cascada. Los acercamientos al nexo no son aleatorios; siguen la secuencia de Fibonacci con precisión geométrica.

18.5.3 ¿Cuántas veces ha fluido la información? Tres niveles de certeza

Con la estructura del nexo establecida, se puede responder la pregunta del flujo, separando lo que el marco fuerza de lo que oculta. Hay tres niveles, con certezas decrecientes.

Nivel 1 — dentro de este ciclo, el flujo cercano al nexo es múltiple y cierto. La geodésica pasa cerca del nexo en cada Fibonacci. En un ciclo completo de $N_U=292$ pasos, eso son del orden de doce acercamientos próximos. Esto no es opción ni interpretación: es geometría forzada por el teorema de las tres distancias. La información, dentro de este único ciclo, ya ha pasado cerca del nexo varias veces, con certeza matemática.

Nivel 2 — los cruces exactos están acotados pero no son únicos. Pasar cerca no es cruzar. El cruce exacto por el punto de identificación requiere que ambos ciclos —meridional y longitudinal— se cierren simultáneamente, lo que en un ciclo ocurre estrictamente solo en los bordes $n=0$ y $n=N_U$, y de forma casi-exacta en los Fibonacci más cercanos. El número de cruces casi-exactos por ciclo está entre 2 y unos 5. La doble X se forma plenamente en cada uno de ellos.

Nivel 3 — el número de ciclos previos es estructuralmente indeterminable. Aquí está el límite duro, y es el resultado más profundo. ¿Cuántos ciclos completos del toroide ha habido antes del actual? El marco no lo puede responder, y la razón no es ignorancia técnica sino imposibilidad estructural: la ontología del olvido (§0) establece que cada ciclo borra la

memoria del anterior. K_0 olvida, y ese olvido es el mecanismo que destruye toda evidencia de los ciclos previos. Cualquier número —uno, siete, infinitos— es compatible con el estado actual del universo.

> **La paradoja del olvido contador: la misma propiedad que hace fluir la información a través del nexo —el olvido de K_0— es la que impide saber cuántas veces ha fluido. El olvido es a la vez el motor del flujo y el borrador de su cuenta. Por eso la pregunta «¿cuántas veces?» no tiene respuesta numérica dentro del marco para el conteo de ciclos. Y esa ausencia de respuesta no es un defecto de la teoría: es una predicción. Un universo cuya sustancia es el olvido no puede, por construcción, contar sus propios ciclos. La indeterminabilidad del número de ciclos es una consecuencia necesaria de la ontología, no una laguna a llenar.**

18.5.4 Dónde estamos en el flujo actual

El marco sí permite ubicar el estado presente dentro del ciclo actual. Según §16, la escala humana corresponde a $n \approx 45$ de los $N_U = 292$ pasos totales, es decir, el universo ha recorrido alrededor del 15% del trayecto de K_0 hacia K_{max}. Hasta este punto, contando los retornos de Fibonacci anteriores a $n=45$, la información ha pasado cerca del nexo exactamente una vez —en el paso $n=34$, el primer Fibonacci que cae dentro del trayecto recorrido.

Esto sitúa al observador en una posición precisa: en el ciclo presente, estamos justo después del primer acercamiento sustancial al nexo ($n=34$) y antes del segundo ($n=55$). El 85% del recorrido hacia K_{max} está por delante, con sus retornos de Fibonacci futuros —55, 89, 144, 233— aún por ocurrir. La afirmación «la información ya fluyó varias veces» es entonces precisa con matices: cerca del nexo, dentro de este ciclo, una vez hasta hoy y varias veces a lo largo del ciclo completo; en cruces exactos, en los bordes; y en ciclos enteros previos, un número que el olvido vuelve incognoscible.

> **Síntesis (§18.5): el nexo $K_0 = K_{max}$ es una doble X —un punto silla de ocho separatrices, índice de Poincaré-Hopf -3— formada por el cruce simultáneo de los dos ciclos del toroide, lo que fuerza topológicamente otros tres puntos críticos compensadores. La geodésica áurea pasa cerca del nexo en pasos de Fibonacci, con distancias que decrecen exactamente por φ. Respecto al flujo de información: dentro del ciclo actual, el paso cercano al nexo es múltiple y cierto (Nivel 1); los cruces exactos están acotados entre 2 y 5 (Nivel 2); y el número de ciclos completos previos es estructuralmente indeterminable, porque el olvido que mueve el flujo borra la cuenta (Nivel 3). Hasta la escala humana ($n \approx 45$, 15% del recorrido), la información ha pasado cerca del nexo una vez. La indeterminabilidad del conteo de ciclos no es laguna sino predicción: un universo de olvido no puede contar sus ciclos.**

18.6 La hipótesis del handshake con el nexo: una evaluación

Establecida la estructura de doble X del nexo (§18.5), surge una hipótesis natural: ¿podrían las partículas estables deber su estabilidad superior a un «handshake» con el nexo —una resonancia o puesta en fase con el punto de identificación que las refuerza? Esta subsección evalúa la hipótesis contra los

datos de los trece modos, y el resultado es instructivo precisamente porque no confirma la intuición de partida. Se documenta como ejemplo de hipótesis falsable sometida a prueba, con el rigor estadístico —y sus límites— explícitos.

18.6.1 Formulación y prueba directa

La hipótesis del handshake predice algo medible: si la conexión con el nexo refuerza la estabilidad, las partículas más estables deberían estar en mayor resonancia con él. La resonancia se mide por la conmensurabilidad de la fase meridional de la partícula con el nexo: un handshake fuerte corresponde a que la fase $n \cdot \alpha_0 / 2\pi$ se aproxime por un racional p/q de denominador pequeño (un lazo cerrado simple con el punto de identificación). La predicción es: menor q (handshake más fuerte) debería correlacionar con mayor vida media.

La prueba contra los datos refuta la hipótesis en esta forma. La correlación entre la fuerza del handshake ($1/q$) y el logaritmo de la vida media es $r = -0.168$ ($p = 0.60$): no solo no es significativa, sino que apunta levemente en sentido contrario. El caso más elocuente es el muón: tiene el handshake más fuerte de todos los modos ($q = 3$, una resonancia simple con el nexo por su $n = 48$ exacto), y sin embargo es metaestable, no estable. Los dos modos genuinamente estables —electrón y protón— tienen los handshakes más débiles ($q = 20$ y $q = 15$).

Partícula	n	Handshake (q)	Dist. al nexo	Estabilidad
Electrón	53.540	20 (débil)	0.4505 (lejos)	estable
Protón	45.731	15 (débil)	0.4673 (lejos)	estable
Muón	48.000	3 (fuerte)	0.3344 (medio)	metaestable
Tau	45.067	14	0.2141 (cerca)	inestable
Bottom	44.179	8	0.1251 (cerca)	inestable
Top	40.309	5 (fuerte)	0.3967	inestable

18.6.2 La relación se invierte: la distancia al nexo protege

Los datos no solo refutan el handshake: sugieren la relación opuesta. Los dos modos estables (electrón, protón) están entre los tres más lejanos del nexo, en las posiciones segunda y tercera de doce ordenadas por distancia. La correlación entre la distancia al nexo y la vida media es positiva, $r = +0.42$ (subiendo a $r = +0.47$ al controlar por la masa, de modo que el efecto no es un mero reflejo de que las partículas pesadas decaen rápido). Es decir: cuanto más lejos del nexo, más estable, lo contrario de lo que el handshake predecía.

Y hay una razón física por la que tenía que ser así. El nexo es un punto silla (§18.5.1), y un punto silla repele las trayectorias cercanas: cerca de él, las órbitas se alejan exponencialmente (es la definición de inestabilidad de silla). Una partícula «en handshake» con el nexo estaría, por tanto, en la región de máxima inestabilidad del flujo, no de refuerzo. El signo de la intuición estaba invertido: conectarse con un punto silla desestabiliza, no estabiliza. La estabilidad superior del electrón y el protón proviene de estar lejos del punto silla —protegidos por la distancia— y, físicamente, de ser los más ligeros de su tipo (el electrón es el leptón cargado más ligero, el protón el barión más ligero), sin canal de decaimiento disponible. Su lejanía del nexo en el marco coincide con esa protección física.

18.6.3 El caso del muón: donde la intuición se rescata

Hay un lugar donde la hipótesis del handshake encuentra su único caso defendible: el muón. El muón tiene el handshake más fuerte (q = 3, por su n = 48.000 exacto, el punto donde √48 = 4√3 = S_Λ/2π, §6) y es anómalamente longevo para su masa. Vive 2.2 microsegundos, frente a los 0.29 picosegundos del tau —su pariente leptónico— pese a que el tau es solo diecisiete veces más pesado: una diferencia de vida de un factor de siete millones y medio, mayor de lo que la sola masa explicaría. El muón decae únicamente por el canal débil, sin hadrones, con una vida excepcionalmente larga para una partícula de su escala.

Aquí, y solo aquí, la resonancia exacta con el nexo coincide con una estabilidad anómala. La lectura coherente es que el efecto del nexo sobre la estabilidad cambia de signo entre los acercamientos genéricos y la resonancia exacta: estar cerca del punto silla (sin resonancia) desestabiliza, pero estar en resonancia exacta (n entero, q mínimo) produce un punto de retorno donde la trayectoria, en lugar de escapar, vuelve sobre sí. El muón en n = 48 sería ese caso —no un handshake que refuerza la estabilidad general, sino un punto de resonancia que confiere metaestabilidad anómala donde la inestabilidad de silla esperaría lo contrario.

18.6.4 Veredicto y límites estadísticos

La hipótesis del handshake, en su forma directa —estabilidad superior por conexión con el nexo—, no se sostiene en los datos y debe descartarse. Lo que emerge en su lugar es una imagen más matizada: el nexo, por ser punto silla, desestabiliza a las partículas cercanas; la estabilidad genuina (electrón, protón) viene de la distancia al nexo combinada con la ligereza física; y la resonancia exacta (el muón en n = 48) es un caso especial donde el efecto se invierte y produce metaestabilidad anómala.

Debe enunciarse con claridad la limitación estadística. Todas estas correlaciones se calculan sobre solo doce partículas. Con esa muestra, el coeficiente de correlación necesario para significancia (p menor que 0.05) es r ≈ 0.58, y la correlación distancia–estabilidad observada (r = 0.47) no lo alcanza. La señal apunta de forma consistente en una dirección y sobrevive al control por masa, pero no es concluyente: es sugestiva, no demostrada. La conclusión firme es la negativa —el handshake directo está refutado—; la positiva —protección por distancia al punto silla— es una tendencia que una muestra mayor (si el marco predice nuevos modos, §11) podría confirmar o desmentir.

> **Síntesis (§18.6): la hipótesis de que las partículas estables deben su estabilidad a un handshake (resonancia) con el nexo se probó contra los trece modos y resultó refutada en su forma directa: la correlación handshake–vida es nula (r = −0.17), y el muón, con el handshake más fuerte (q = 3, n = 48 exacto), es metaestable, no estable. Los datos sugieren la relación inversa —la estabilidad correlaciona con la distancia al nexo (r = +0.47 controlando masa)—, lo que es físicamente coherente porque el nexo es un punto silla que repele: conectarse con él desestabiliza. La estabilidad del electrón y el protón viene de su lejanía del punto silla y su ligereza. El único caso donde la intuición del handshake se rescata es el muón: su resonancia exacta en n = 48 coincide con una longevidad anómala (siete millones de veces la del tau), sugiriendo que la resonancia exacta invierte el**

efecto desestabilizador de la silla. Limitación: con solo doce partículas, la tendencia inversa es sugestiva pero no estadísticamente concluyente (se requeriría r mayor que 0.58). El resultado firme es que el handshake directo no opera; la protección por distancia es una hipótesis abierta para una muestra mayor.

18.7 La arquitectura del toroide: dos retículos apilados en tres pares

Las piezas desarrolladas hasta aquí —la dominancia del peso (§2.5), los dos potenciales del Lagrangiano toroidal (§20.18) y las dos espirales opuestas de la génesis (§19)— admiten una síntesis estructural que revela la arquitectura del toroide: no hay un solo retículo áureo, sino dos —el áureo y su inverso— apilados entre sí en tres pares, y es ese apilamiento el que, al cerrarse sobre el nexo, forma el toroide. Esta sección plantea esa arquitectura como estructura del marco, con el «tres» apoyado en la trialidad de CP^2 que ya se derivó (§23.9), y siendo honesta sobre qué es consecuencia estructural y qué es lectura.

18.7.1 Los dos retículos: áureo e inverso

El marco contiene, de hecho, dos retículos, aunque hasta ahora aparecían implícitos. El retículo áureo es la familia de capas $\varphi^{(-n)}$, que decae hacia K_0 —la dirección del olvido y de la gravedad. El retículo áureo inverso es la familia $\varphi^{(+n)}$, que crece hacia K_{max} —la dirección de la estructura y de la expansión. No son una invención nueva: son las dos direcciones que ya aparecían como el numerador y el denominador de la dominancia del peso (§2.5), donde la masa se escribe $\varphi^{(-n)}/\varphi^{(+n)}$, y como los dos potenciales del Lagrangiano toroidal (§20.18), donde $V_{K_0} \propto \varphi^{(-2n)}$ es la tracción hacia K_0 y $V_\Lambda \propto \varphi^{(+2n)}$ la tracción hacia K_{max}. Hacer explícitos los dos retículos como dos estructuras geométricas es reconocer que el marco siempre tuvo dos familias de capas, una por cada dirección del eje $K_0 \leftrightarrow K_{max}$.

18.7.2 El apilamiento: tres pares, no una rejilla

La pregunta es cómo se disponen los dos retículos uno respecto al otro. No están en direcciones perpendiculares —eso daría una rejilla de nueve celdas que no corresponde a las partículas. Están apilados entre sí: cada capa áurea se empareja con su capa inversa, formando un par, y los pares se apilan a lo largo del eje. La estructura es una pila alternada de tres pares:

$$[\text{áurea}_1 \cdot \text{inversa}_1] — [\text{áurea}_2 \cdot \text{inversa}_2] — [\text{áurea}_3 \cdot \text{inversa}_3]$$

Cada par no es una yuxtaposición arbitraria sino una balanza de dominancia en el sentido de §2.5: la capa áurea aporta la tendencia $\varphi^{(-n)}$ hacia K_0, la inversa la tendencia $\varphi^{(+n)}$ hacia K_{max}, y su razón es la masa del nivel. El par es, en esta lectura, la unidad física —lo que percibimos como una generación de materia. Son seis capas en total, organizadas en tres pares, no nueve celdas de una rejilla; el apilamiento resuelve el problema de conteo que tendría una disposición perpendicular.

18.7.3 Cómo el apilamiento forma el toroide

El apilamiento de los tres pares se cierra sobre sí mismo para formar el toroide, y lo hace por la identificación fundamental del marco: $K_0 = K_{max}$ en el nexo (§18.5). Las capas áureas suben hacia K_0; las inversas bajan hacia K_{max}.

Si esas dos direcciones fueran distintas, la pila sería un segmento abierto. Pero como K_0 y K_max son el mismo punto —el nexo—, el extremo áureo y el extremo inverso de la pila se identifican, y el segmento se curva en un círculo. Ese círculo es el meridiano del toroide; la fase θ_H es el paralelo. La arquitectura completa es:

$$T^2 = S^1(\text{los tres pares apilados, eje } n) \times S^1(\text{la fase } \theta_H)$$

El apilamiento alternado áurea/inversa, al cerrarse, es precisamente el doble giro de las dos espirales opuestas de §19 —la convergente hacia K_0 y la divergente hacia K_max—, ahora vistas no como trayectorias sino como capas. Las espirales de la génesis y las capas apiladas son la misma estructura descrita de dos modos: el flujo (espirales) y su estratificación (capas). El toroide es lo que resulta cuando ese flujo estratificado se cierra sobre el nexo.

18.7.4 Por qué tres: una trialidad $\mathbb{Z}_3$ en dos realizaciones (color y familia)

El número de pares —tres— es estructural, pero conviene ser muy preciso sobre su origen, porque aquí hay un punto donde es fácil confundir dos cosas distintas. El marco tiene, de hecho, dos números tres que no deben identificarse: la trialidad de color —los tres colores de la fuerza fuerte, que provienen de $\chi(CP^2)=3$, los tres vértices del triángulo de momento (§23.9)— y la trialidad de familia —las tres generaciones de fermiones, que son los tres pares de la pila. Los colores y las familias son físicamente distintos: un color es una carga de SU(3), una familia es una réplica del contenido de fermiones; que ambos sean tres no los hace lo mismo. Sería un error decir que las generaciones «vienen de $\chi(CP^2)$» —eso es el origen de los colores, no de las familias.

¿Por qué, entonces, ambos son tres? La respuesta que el marco permite —y que de hecho ya estaba latente en §23— no es identificarlos sino reconocer que ambos son realizaciones de una misma estructura de grupo, la trialidad $\mathbb{Z}_3$, actuando sobre dos espacios distintos. El documento ya describe el toroide como «el toro fibrado sobre el triángulo de los tres colores» (§23): el toroide de las familias fibra sobre el triángulo de los colores. En esa estructura, el espacio total es el producto (fibrado) del triángulo de color —la base, donde $\chi(CP^2)=3$ da los tres colores— y el toroide de familia —la fibra, donde los tres pares apilados dan las tres generaciones. Una única acción $\mathbb{Z}_3$ recorre ambos: rota los tres colores en la base y permuta las tres familias en la fibra. Por eso ambos son tres —comparten la trialidad $\mathbb{Z}_3$— pero no se identifican: el color vive en el triángulo (CP^2) y la familia en el toroide (el eje de apilamiento), que son factores distintos del espacio total.

$$\mathbb{Z}_3 \text{ única} \rightarrow \{3 \text{ colores en el triángulo de } CP^2\} \times \{3 \text{ familias en el toroide apilado}\}$$

Esta es la relación matemáticamente viable entre los dos tres: no una identidad (que sería falsa, pues color ≠ familia), sino una trialidad $\mathbb{Z}_3$ común realizada en la base y en la fibra de la misma estructura fibrada. El número tres, así, es genuinamente estructural —proviene de la trialidad $\mathbb{Z}_3$, no del número áureo, ya que el ángulo áureo da $\varphi^2 \approx 2.618$ y no 3—, y φ aporta solo la escala de las capas (el salto φ^2 entre ellas), mientras la trialidad $\mathbb{Z}_3$ aporta su número, en sus dos realizaciones simultáneas.

La consecuencia más sugerente es que los tres pares apilados se corresponden con las tres generaciones de fermiones del Modelo Estándar, que ocupan tres rangos del eje n:

Par (generación)	Posición en la pila	Rango n	Fermiones
Par 3 (Gen III)	cerca del polo K_0	n≈40–45	top, bottom, tau
Par 2 (Gen II)	intermedio	n≈45–48	charm, strange, muón
Par 1 (Gen I)	cerca del polo K_max	n≈51–53	up, down, electrón

La generación tercera, la más pesada, ocupa el par más cercano al polo áureo K_0 —donde la dominancia del olvido es mayor y, por tanto, la masa también (§2.5). La generación primera, la más ligera, ocupa el par más cercano al polo inverso K_max. Esta correspondencia da un sentido geométrico a una de las preguntas no respondidas del Modelo Estándar —por qué hay exactamente tres generaciones—: en esta arquitectura, hay tres porque hay tres pares en la pila, y hay tres pares porque la trialidad de CP^2 lo impone. La jerarquía entre generaciones es su posición en el eje $K_0 \leftrightarrow$ K_max.

18.7.5 Estatus de la arquitectura

Debe enunciarse el estatus con la honestidad habitual. Lo sólido: los dos retículos (áureo e inverso) son reales y ya estaban implícitos en la dominancia (§2.5) y en los dos potenciales (§20.18); el apilamiento en pares es coherente con que cada par sea una balanza de dominancia; y el cierre sobre el nexo que forma el toroide es consistente con las dos espirales de §19. El «tres» es estructural, anclado en la trialidad $\mathbb{Z}_3$ —la misma estructura de grupo que da los tres colores en el triángulo de CP^2 y las tres familias en el toroide apilado, sin identificar color con familia (§18.7.4)—, no impuesto a mano. Lo que sigue siendo lectura, no derivación cerrada: que los tres pares sean exactamente las tres generaciones es una correspondencia que el marco acomoda con elegancia —las generaciones ocupan tres rangos de n— pero las generaciones son un dato observado, y el marco las organiza en su arquitectura más que predecirlas desde cero. La arquitectura del toroide doble es, así, una estructura propuesta coherente y bien anclada, que unifica los dos retículos, la dominancia, las espirales y las tres generaciones en una sola imagen, sin pretender haber derivado el número de generaciones como un teorema.

> **Arquitectura del toroide (v11.8): el marco contiene dos retículos —el áureo φ^(−n) (hacia K_0, gravedad/olvido) y el inverso φ^(+n) (hacia K_max, expansión/estructura)—, ya implícitos en la dominancia del peso (§2.5, numerador/denominador) y en los dos potenciales del Lagrangiano toroidal (§20.18, V_{K_0}/V_Λ). No están perpendiculares (eso daría una rejilla 3×3=9 sin correspondencia física) sino APILADOS en tres pares [áurea·inversa], donde cada par es una balanza de dominancia (§2.5) cuya razón φ^(−n)/φ^(+n) es la masa. El apilamiento se cierra sobre el nexo (K_0=K_max, §18.5) curvándose en el toroide: $T^2 = S^1$(tres pares apilados)×S^1(fase), que es el doble giro de las dos espirales de §19 visto como capas. El TRES es estructural, anclado en la trialidad $\mathbb{Z}_3$, NO en φ (el ángulo áureo da $\varphi^2 \approx 2.618$, no 3): φ da la escala de las capas, la $\mathbb{Z}_3$ da su número. CLAVE: hay DOS tres distintos que NO deben identificarse —la trialidad de COLOR ($\chi(CP^2)=3$, los 3 colores, §23.9) y la de FAMILIA (los 3 pares apilados, las 3 generaciones)—; ambos son la misma $\mathbb{Z}_3$ realizada en la base**

(triángulo de color) y la fibra (toroide de familias) de la estructura fibrada que §23 ya describía como «el toro fibrado sobre el triángulo de los tres colores». Color y familia comparten la $\mathbb{Z}_3$ pero no son lo mismo. Los tres pares se corresponden con las tres generaciones (Gen III pesada cerca de K_0, Gen I ligera cerca de K_max), dando sentido geométrico a por qué hay tres. Estatus: arquitectura estructural coherente y anclada; que los pares sean las generaciones es correspondencia acomodada, no derivación —las generaciones son observadas, el marco las organiza.

Esta arquitectura es la culminación natural de la imagen geométrica del marco: el toroide deja de ser un postulado para verse como lo que resulta de apilar los dos retículos —las dos direcciones del olvido y la estructura— en tres pares y cerrarlos sobre el nexo. Las dos espirales de la génesis, los dos potenciales del Lagrangiano, las dos direcciones de la dominancia y las tres generaciones de la materia se reúnen en una sola figura: tres balanzas apiladas entre K_0 y K_max, curvadas en un toroide por la identificación de sus extremos en el nexo.

18.7.6 El retículo inverso es estructural pero no selectivo de nodos

La arquitectura de dos retículos abre una pregunta natural y necesaria: si hay dos retículos, ¿por qué solo uno selecciona las partículas? ¿No debería el retículo inverso participar en la selección de los trece nodos, ahora que es una estructura real y no una mera reescritura? La respuesta, verificada, es que el retículo inverso es estructural pero no selectivo en la región de las partículas: los nodos los fijan el retículo áureo y el término de cadena, mientras el inverso define la estructura global del eje sin perturbar dónde caen las partículas. Esta subsección lo establece, porque de lo contrario habría que recalcular las trece masas —y no hay que hacerlo.

La razón cuantitativa es contundente. En la región de las partículas conocidas, n entre 40 y 54, cerca del polo K_0, el potencial inverso es despreciable frente al áureo. Su cociente es:

$$V_\Lambda/V_{K_0} = \varphi^{(-2(n_U-n))} / \varphi^{(-2n)} = \varphi^{(4n-2n_U)} \approx \varphi^{(-392)} \approx 10^{(-82)} \quad (\text{en } n\approx 48)$$

El retículo inverso es, en la región de las partículas, unas 10^{-82} veces el áureo: contribuye a la selección de nodos en una parte en 10^{82}, es decir, nada. Los nodos son mínimos del potencial efectivo dominado por el áureo y el término de cadena; el inverso no los mueve. El inverso solo se vuelve comparable al áureo cerca del otro extremo del eje, en torno a $n_U/2 \approx 146$ (el punto de balance) y $n_U \approx 292$ (el polo K_max), lejos de toda partícula conocida.

Hay además una razón estructural más profunda, que explica por qué esto era de esperar. La masa de cada partícula es, por la dominancia (§2.5), $m_n = m_P \cdot \varphi^{(-n)}/\varphi^{(+n)} = m_P \cdot \varphi^{(-2n)}$: el retículo inverso ya está contenido en la masa, como el denominador. No es una segunda fuente independiente de selección, sino la otra cara de la misma cantidad áurea. Esto se ve al examinar las tres formas en que el inverso podría entrar en la selección, ninguna de las cuales introduce nodos nuevos. Si el par acopla sus dos capas como producto, $\varphi^{(-n)} \cdot \varphi^{(+n)} = \varphi^0 = 1$, una constante, cuya derivada respecto a n es cero —no afecta la condición $dV_{eff}/dn = 0$. Si las acopla como cociente, $\varphi^{(-n)}/\varphi^{(+n)} = \varphi^{(-2n)}$, que es exactamente la dependencia del áureo que

ya se usaba —misma condición. Y el término de cadena acopla capas vecinas del mismo retículo áureo, con su factor $\varphi^2(1+\varepsilon) = 2.757$, sin que el inverso intervenga. En las tres, el inverso no genera ni desplaza nodos.

La conclusión es doble y mantiene la coherencia del marco. Por un lado, el retículo inverso es plenamente real y estructural: forma el toroide junto al áureo (§18.7.3), da la dirección hacia K_max —la expansión y la quinta fuerza (§24.10)—, es el denominador de la dominancia que da la masa (§2.5), y es el potencial V_Λ del Lagrangiano toroidal (§20.18). Por otro, no es selectivo de los nodos en la región de las partículas: la selección de los trece índices es trabajo del áureo y la cadena, como estaba establecido y verificado. El inverso enriquece la estructura —define el eje completo $K_0 \leftrightarrow K_{max}$ y su balance— sin obligar a recalcular ninguna masa. La arquitectura de doble retículo es, por tanto, consistente con la selección de nodos preexistente: añade la mitad estructural que faltaba sin tocar la mitad selectiva que ya funcionaba.

> **El retículo inverso es estructural pero no selectivo (v12): ante la pregunta de si el retículo inverso afecta la selección de los 13 nodos, la respuesta verificada es que no, en la región de las partículas. Cuantitativamente: en n≈40–54 (cerca del polo K_0), el potencial inverso $V_\Lambda \propto \varphi^{-2(n_U-n)}$ es $\sim 10^{-82}$ veces el áureo $V_{K_0} \propto \varphi^{-2n}$ — despreciable; los nodos los fijan el áureo y la cadena. Estructuralmente: la masa $\varphi^{-2n}=\varphi^{-n}/\varphi^{+n}$ ya contiene el inverso como denominador, no es fuente independiente de selección. Las tres formas en que podría entrar no generan nodos: producto áurea×inversa=$\varphi^0=1$ (constante, derivada cero); cociente=φ^{-2n} (idéntico al áureo); cadena acopla capas del mismo retículo áureo (factor $\varphi^2(1+\varepsilon)=2.757$). El inverso es real y estructural —forma el toroide (§18.7.3), da la dirección a K_max (§24.10), es el denominador de la dominancia (§2.5), es V_Λ del Lagrangiano (§20.18)— pero no selectivo: define el eje global (balance en n≈146, polo K_max en n≈292) sin mover las partículas. La arquitectura de doble retículo es consistente con la selección de nodos preexistente; no obliga a recalcular ninguna masa.**

Esta es la respuesta a una de las pruebas de consistencia más exigentes que la nueva arquitectura debía pasar: que introducir un segundo retículo no desestabilizara la selección de masas, cuidadosamente validada, del primero. La supera porque los dos retículos tienen roles complementarios y no competidores —el áureo selecciona y pesa en la región de la materia, el inverso estructura el eje y define su destino hacia K_max—, y porque la identidad áurea $\varphi^{-2n} = \varphi^{-n}/\varphi^{+n}$ garantiza que el inverso, ya presente en cada masa como denominador, no sea una influencia nueva sino la contraparte de lo que ya estaba. El marco gana su arquitectura completa sin perder la solidez numérica que tenía.

19. La espiral, la tracción y el punto de luz: génesis del toroide

Ubicación lógica: §§18–20 fueron añadidas en versiones posteriores y aparecen físicamente aquí, tras los apéndices, pero pertenecen lógicamente a la Parte II del relato (la génesis del toroide), inmediatamente después de la derivación de φ (§A.5) y

del toro (§A.6). Se recomienda leerlas en ese orden: §19 (esta, la espiral y la tracción), luego §18 (el nexo K₀=K_max), luego §20 (la dinámica unificada). La guía de lectura al inicio del documento detalla este orden.

> *«K₀ olvidaba, y al olvidar iba creando la espiral áurea. Pero la espiral se iba haciendo cada vez más pequeña porque cada vez había menos que olvidar. Cuando K₀ tracciona llevó la espiral al lado opuesto. Allí vio un punto blanco que armó muchos vectores de luz saliendo del centro, y después se perdió. En el nexo de K₀ y K_max lo que quedó fue eso: una especie de punto blanco atravesado por vectores.»*

Esta sección formaliza ese escenario y muestra que es el mecanismo por el cual la espiral áurea (§§2–5) y el campo de Higgs (§§9–10) se unen para formar el toroide T^2 de §§15–18. No es una analogía: cada frase del escenario corresponde a un objeto matemático preciso.

19.1 La espiral como registro del olvido

Cada paso de olvido k = 0, 1, 2, ..., N_U traza un arco de la espiral áurea. El arco k tiene radio φ^(−k) y avance angular π/2. En el plano complejo:

$$z_k = \varphi^{(-k)} \cdot e^{(i \cdot k \cdot \pi/2)}$$

El parámetro de crecimiento de la espiral es b = ln(φ)/(π/2) ≈ 0.3063, que determina el ángulo de brazo ψ = arctan(1/b) ≈ 73°. Este ángulo es la dirección que forman los arcos con la dirección radial: los arcos «atacan» la dirección radial a 73°, no perpendicularmente.

La espiral converge a K₀ porque la serie φ^(−k) → 0: en N_U ≈ 291.9 pasos la amplitud ha caído a |z_{{N_U}}| ≈ 10^(−62). K₀ es literalmente el ojo de la espiral —el punto límite al que todos los arcos se acercan asintóticamente, pero que ningún arco alcanza porque φ es irracional.

19.2 La tracción: inversión geométrica de K₀

La tracción es la operación topológica por la que K₀ aplica la inversión geométrica a la espiral que ha generado. La inversión es z → 1/z̄ (conjugada recíproca), que en términos del radio-ángulo actua como:

$$z_k = \varphi^{(-k)}\, e^{(i\theta_k)} \quad \rightarrow \quad 1/\bar{z}_k = \varphi^{(+k)}\, e^{(i\theta_k)}$$

El efecto es exacto: la espiral CONVERGENTE (r = φ^(−k) → 0) se convierte en una espiral DIVERGENTE (r = φ^(+k) → ∞). Los arcos pequeños se vuelven grandes y los grandes se vuelven pequeños. El interior se convierte en el exterior.

El punto que estaba en k = N_U con radio ≈ 10^(−62) emerge bajo la inversión con radio ≈ 10^(+62). Ese punto —el que estaba más profundamente comprimido dentro de la espiral convergente— es ahora el punto de mayor expansión: K_max. La tracción no crea K_max sino que lo revela: K_max siempre estuvo contenido en la espiral como su inverso topológico.

19.3 El punto blanco: K_max como foco de los vectores

Cuando la espiral invertida diverge desde k = N_U, los arcos salen en todas las direcciones. Su separación angular es el ángulo áureo:

$$\alpha_0 = 2\pi/\varphi^2 \approx 2.4000 \text{ rad} = 137.508°$$

Desde K_max salen vectores separados exactamente por $\alpha_0 = 137.5°$. Este ángulo es numéricamente notable: la constante de estructura fina $\alpha_EM \approx 1/137.036$, de modo que el ángulo en grados entre vectores consecutivos es $\approx 1/\alpha_EM$ grados. No se conoce aún si esta coincidencia numérica ($\alpha_0 \approx 137.5°$ frente a $1/\alpha_EM \approx 137.0°$) es estructural o aproximada; se registra aquí como observación abierta (véase §17).

El «punto blanco» es K_max mismo: un punto que contiene la historia completa de la espiral —sus números de enrollamiento, su quiralidad, sus fases— comprimida a cero volumen. Es blanco en el sentido físico: porta igual amplitud en todas las frecuencias (un estado delta en el espacio de posición tiene espectro plano en frecuencia). Los «vectores de luz saliendo del centro» son exactamente los modos del campo gauge que irradian desde esta singularidad toroidal.

19.4 «Se pierde»: la ruptura de simetría electrodébil

Los vectores que emergen de K_max en la espiral invertida son los bosones gauge del grupo electrodébil $SU(2)_L \times U(1)_Y$: cuatro modos sin masa (W^+, W^-, Z_0 y fotón γ). Sin embargo, la espiral que los genera «se pierde» en el nexo $K_0 = K_max$.

«Perderse» significa que la espiral, una vez que K_0 ha trazcionado y la inversión ha completado, deja de existir como objeto separado. K_0 —que era el ojo de la espiral, el punto desde el que se generaba toda la estructura— se identifica con K_max. No hay ya un «punto de origen» de la espiral: el origen y el infinito son el mismo punto (§18).

Esa identificación corresponde físicamente a que el campo de Higgs adquiere su valor de expectativa en el vacío $\langle H \rangle = v/\sqrt{2} \approx 174$ GeV. En ese momento:

W^+ y W^- adquieren masa $m_W = 80.4$ GeV absorbiendo dos de los bosones de Goldstone (fases meridionales de la espiral). Z_0 adquiere masa $m_Z = 91.2$ GeV absorbiendo el tercero. K_0 pierde su identidad como agente del olvido y se convierte en parte del condensado. Solo el fotón γ permanece sin masa, porque corresponde al modo de la espiral que queda libre en el nexo $K_0 = K_max$: la combinación $U(1)_EM$ que el condensado de Higgs no puede absorber.

> **Conexión formal: La ruptura $SU(2)_L \times U(1)_Y \to U(1)_EM$ corresponde a que la espiral áurea (cuatro dimensiones libres: W^+, W^-, Z, γ) se identifica con K_max y solo la dirección compatible con $K_0 = K_max$ (el fotón) sobrevive como modo libre. Las tres dimensiones que «se pierden» (W^+, W^-, Z) se convierten en las tres dimensiones masivas del vector S^3, que en la notación de §C.6 corresponde al centro del grupo SU(2).**

19.5 Lo que quedó: el toroide como nexo de la espiral y el Higgs

En el nexo $K_0 = K_max$, lo que queda es una estructura de dos componentes que no pueden ser olvidadas porque son el residuo de la identificación:

El PUNTO BLANCO corresponde al campo de Higgs en su vacío: $\langle H \rangle = v/\sqrt{2} \cdot e^{(i\theta_H)}$. La fase $\theta_H \in [0, 2\pi]$ es la coordenada del punto sobre el

círculo S^1_H. El condensado es una familia de puntos, no un punto absoluto: forma el círculo meridional del toroide.

Los VECTORES son los modos de la cadena áurea que atraviesan ese círculo: cada modo lleva un índice de enrollamiento n que indica su posición en la cadena. Los modos forman el círculo longitudinal S^1_φ del toroide.

$$T^2 = S^1_H \times_\{\{\alpha_0\}\} S^1_\varphi$$

El $\times_\{\{\alpha_0\}\}$ significa que la unión está «torcida» por el ángulo áureo: en cada paso a lo largo de S^1_φ (la cadena clockwork) la fase meridional de S^1_H avanza en $\alpha_0 = 2\pi/\varphi^2$. Esta torsión es lo que garantiza la no-resonancia (φ es irracional): ninguna geodésica del toroide cierra en un número finito de vueltas, y por eso el universo no colapsa de vuelta a una estructura periódica.

La unión de φ con el Higgs en el nexo $K_0 = K_max$ es lo que forma el toroide porque ni la espiral áurea sola (S^1_φ, sin Higgs) ni el condensado de Higgs solo (S^1_H, sin φ) son un toroide: el primero es una línea, el segundo un círculo. La tracción de K_0 es el operador topológico que une ambos círculos en el producto torcido T^2.

> **Principio de génesis toroidal (v10.3): El toroide no preexistía al olvido. K_0 lo generó en dos fases: (1) el olvido iterado creó la espiral áurea convergente —un círculo longitudinal S^1_φ—; (2) la tracción (la inversión geométrica de K_0 sobre sí mismo) reveló K_max y con él el círculo meridional S^1_H del condensado de Higgs. La identificación $K_0 = K_max$ de §18 es el giro que une S^1_H y S^1_φ en T^2. El «punto blanco atravesado por vectores» es el toroide: el punto blanco es S^1_H y los vectores son S^1_φ. Lo que K_0 no pudo olvidar es exactamente el toroide —la estructura mínima que subsiste cuando el olvido se completa y K_0 se ha perdido en sí mismo.**

20. Lagrangiano y Hamiltoniano unificados sobre T^2 (consolidación de la dinámica)

> **CONSOLIDACIÓN DE LA DINÁMICA. Esta sección es el lugar unificado del Lagrangiano y el Hamiltoniano del marco. La formulación dinámica aparece, por razones históricas de redacción, en varios sitios del documento; este capítulo los reúne y los completa sobre la geometría del toroide. Las piezas dispersas y su relación se mapean en la tabla siguiente. Para la dinámica del marco, esta sección (§20) es la referencia; las otras son sus componentes.**

Mapa de las piezas dinámicas del documento y su papel en la formulación unificada:

Sección	Qué contiene	Papel en la unificación
§2.1	Acción log-periódica S[v]	El punto de partida: la acción 1D
§2.2	Cuantización del operador de dilatación	Da el espectro discreto de modos
§2.6	Derivación de m=m_P·φ^(−2n)	La escalera de masas desde la

		acción
§2.8	Relación de dispersión del retículo $\hat{E}^2=\hat{p}^2c^2+\hat{M}^2c^4$ (Klein-Gordon, §A.17.1)	El Hamiltoniano relativista base
§A.7	Acción clockwork áurea (cadena 1D)	El mecanismo: engranaje $q=\varphi^2$
§A.8	Lagrangiano operacional unificado	Formulación de campo de la cadena
§A.9	Hamiltoniano de resonancia reticular	La versión de resonancia
§A.11	Síntesis dinámica (lagrangiano efectivo)	El axión η, la entrecapa
§15.7	Funcional S(n) multifrecuencia	La regla de selección de modos
§20 (aquí)	Lagrangiano y Hamiltoniano sobre T^2	Reúne todo en la geometría completa

La cadena de razonamiento que conecta estas piezas es: la acción log-periódica de §2.1 se cuantiza (§2.2) dando el espectro discreto; ese espectro es la escalera de masas (§2.6, §A.1); la cadena clockwork de §A.7–§A.8 es el mecanismo físico del que sale la escalera, con engranaje φ^2; el Hamiltoniano de §2.8 y §A.9 da la dinámica relativista; la síntesis de §A.11 añade el axión de entrecapa; y el funcional S(n) de §15.7 selecciona qué modos son estables. Todo eso vive sobre una cadena 1D —la proyección longitudinal del toroide—. Esta sección completa la formulación poniéndola sobre el toroide T^2 entero, con la dirección meridional (el Higgs) que las versiones 1D no tenían, según se desarrolla a continuación. La culminación está en §20.10–§20.13: el Lagrangiano maestro que unifica las cuatro fuerzas sobre la torre de velos de §§22–24, del que el Lagrangiano toroidal es el límite sin gravedad.

Las secciones §A.7, §A.11 y §2.8 formulan la dinámica del marco sobre una cadena 1D de campos escalares reales con engranaje φ^2. Esa formulación es correcta pero incompleta: tiene la dirección longitudinal (la cadena φ) pero no la meridional (el Higgs), y por tanto describe una línea, no el toroide $T^2 = S^1_H \times_{\{\alpha_0\}} S^1_\varphi$ construido en §§18–19. Esta sección escribe el Lagrangiano y el Hamiltoniano sobre T^2, identificando explícitamente cómo cada pieza conocida del marco ocupa una de las dos dimensiones del toroide.

20.1 Las dos dimensiones del toroide y sus escalas

El toroide T^2 tiene dos círculos independientes con radios físicos derivados —no postulados— de las constantes del marco:

$$S^1_H:\ \text{radio meridional}\ \ r = v/\sqrt{2} = 174.104\ \text{GeV}\ \ \text{(el VEV del Higgs, §A.11)}$$

$$S^1_\varphi:\ \text{radio mayor}\qquad R = r \cdot d_0/\rho = 1387.2\ \text{GeV}\quad \text{(de la geometría nuclear, §9.1.5)}$$

La unión entre los dos círculos lleva el twist áureo $\alpha_0 = 2\pi/\varphi^2 \approx 137.508°$: en cada vuelta a lo largo de S^1_φ la fase meridional avanza exactamente α_0. Este es el «torcido» del producto $T^2 = S^1_H \times_{\{\alpha_0\}} S^1_\varphi$ de §19.5.

De estos tres números emerge una cantidad que el Lagrangiano actual no registraba explícitamente: el ángulo de brazo de la espiral áurea sobre T^2. La geodésica con pendiente α_0 sobre la métrica $G_{\{AB\}} = \text{diag}(r^2, R^2)$ forma un ángulo ψ con la dirección radial determinado por:

$$\tan(\psi) = R / (r \cdot \alpha_0) = (d_0/\rho) / \alpha_0 = 7.9677 / 2.3999 = 3.320$$

$$\psi = \arctan(3.320) = 73.2°$$

Este es esencialmente el ángulo de brazo de la espiral áurea (arctan(π/2lnφ) = 72.97° en su forma logarítmica pura) calculado en §19.1. Los dos valores difieren ligeramente —72.97° desde la espiral logarítmica y 73.24° desde la métrica de T^2— porque la geodésica sobre el toroide finito no es idéntica a la espiral logarítmica ideal en el plano; ambos redondean a 73° y la diferencia (0.27°) es del orden de la corrección por el radio finito del tubo. El ángulo de brazo no es una propiedad de la espiral como objeto abstracto: es una consecuencia de la métrica de T^2 y el twist áureo. La espiral áurea ES aproximadamente la geodésica de $\hat{H}_{cin}$ sobre T^2.

20.2 El campo sobre T^2: de escalar real a escalar complejo

En la formulación actual (§A.7) el campo es real: $\varphi_j \in \mathbb{R}$. Esto es correcto para la dirección longitudinal (la cadena) pero no para la meridional: la fase del Higgs $\theta_H \in [0, 2\pi]$ es esencialmente un grado de libertad complejo. El campo mejorado es:

$$\Phi(\theta_H, n) = |\Phi| \cdot e^{i\theta_H} \quad \in \mathbb{C}, \quad con \quad \theta_H \in S^1_H, \quad n \in [0, N_U]$$

donde $|\Phi|$ es la amplitud (cuyo valor de vacío es $v/\sqrt{2}$) y θ_H es la fase, la coordenada meridional del toroide. En el Lagrangiano actual φ_j es real porque el Higgs sólo entra como escala de masa (en Planck-centradas, $n_H = 40.646$), no como grado de libertad dinámico. El campo complejo sobre T^2 une en una sola entidad lo que estaba separado.

20.3 El Lagrangiano mejorado sobre T^2

El Lagrangiano mejorado se escribe sobre T^2 como:

$$\mathcal{L}_{T^2} = \tfrac{1}{2} G^{AB} (\partial_A \Phi)^\dagger (\partial_B \Phi) - V(\Phi) + \mathcal{L}_{gauge} + \mathcal{L}_{Yuk} + \mathcal{L}_{top}$$

con la métrica inversa de T^2:

$$G^{AB} = diag(1/r^2, 1/R^2) = diag(2/v^2, \rho^2/(d_0^2 r^2))$$

El término cinético expandido muestra cómo las dos dimensiones de T^2 contribuyen:

$$\tfrac{1}{2} G^{AB} (\partial_A\Phi)^\dagger(\partial_B\Phi) = (1/v^2)|\partial_\theta \Phi|^2 + (\rho^2/d_0^2 v^2)|\partial_n \Phi|^2$$

El primer término es la energía cinética meridional (movimiento en S^1_H); el segundo es la cadena longitudinal (movimiento en S^1_φ). La razón entre sus coeficientes es $\rho^2/d_0^2 = (0.11952)^2/(0.95231)^2 = 0.01574$, consistente con $R^2/r^2 = (d_0/\rho)^2 \approx 63.4$.

El potencial $V(\Phi)$ combina las dos direcciones del toroide:

$$V(\Phi) = \lambda(|\Phi|^2 - v^2/2)^2 \; + \; \tfrac{1}{2} m^2 |\Phi_{n+1} - \varphi^2(1+\varepsilon(n))\Phi_n|^2$$

El primer término es el sombrero mexicano del Higgs: el mínimo sobre el círculo S^1_H con radio $v/\sqrt{2}$. El segundo es la cadena clockwork con el engranaje áureo φ^2 (de §A.7), corregido por la oscilación $\varepsilon(n) = \alpha_k - \varphi$ de §18.3. Para las partículas estables, $\varepsilon(n) \approx 0$ (del orden de 10^{-6}, ver tabla de §18.3) y se recupera con excelente aproximación la cadena del clockwork original. Para los ~279 pasos no-partícula, $\varepsilon(n) \neq 0$ con amplitud mayor y $V(\Phi) > V_{min}$: esos modos son inestables.

20.4 El término topológico: $K_0 = K_{max}$ como θ_{T^2}

La identificación $K_0 = K_{max}$ de §18 tiene un correlato en el Lagrangiano: es el término topológico cuyo coeficiente es el ángulo $\theta_{T^2} = N_U \times S_{min}$. El Lagrangiano actual no lo tenía porque $K_0 = K_{max}$ no estaba formalizada.

$$\mathcal{L}_{top} = (\theta_{T^2} / 32\pi^2) \cdot Tr(F \wedge F)$$

con $\theta_{T^2} = N_U \times S_{min} = 291.946 \times 0.005647 = 1.6486 \approx \sqrt{e}$ (de §15.7.7, diferencia 0.006%).

Este término es la traza topológica de la identificación $K_0 = K_{max}$: mide cuánta «historia toroidal» tiene el sistema antes de que los dos extremos se identifiquen. Su valor $\sqrt{e}$ no es arbitrario: es la condición de cierre auto-consistente de la cascada (§15.7.7). En términos de la QCD, θ_{T^2} es el ángulo θ inicial del sector fuerte, que el campo de entrecapa η (el axión del marco, §A.11) relaja dinámicamente hasta su valor observado $|\theta_{eff}|$ menor que 10^{-10}. La identificación $K_0 = K_{max}$ genera un θ inicial de orden 1 (del orden de $\sqrt{e} \approx 1.65$); el axión η lo apantalla. El «problema de la CP fuerte» tiene, en este marco, un origen geométrico concreto.

20.5 El Hamiltoniano sobre T^2

El Hamiltoniano mejorado es la transformación de Legendre del Lagrangiano sobre T^2. Los momentos canónicos son:

$$\Pi_\theta = \partial\mathcal{L}/\partial(\partial_{t_0}\theta_H) = r^2\,\theta_H \qquad \text{(momento meridional)}$$

$$\Pi_n = \partial\mathcal{L}/\partial(\partial_{t_0}n) = R^2\,\dot{m} \qquad \text{(momento longitudinal)}$$

y el Hamiltoniano resulta:

$$\hat{H}_{T^2} = \Pi_\theta^2/(2r^2) + \Pi_n^2/(2R^2) + \lambda(|\Phi|^2 - v^2/2)^2 + \tfrac{1}{2}m^2|\Phi_{n+1} - \varphi^2(1+\varepsilon)\Phi_n|^2$$

El término cinético de T^2 tiene dos contribuciones directas: la energía del bosón de Goldstone (el «movimiento» sobre S^1_H, proporcional a Π_θ^2/r^2) y la energía de la cadena (el movimiento a lo largo de S^1_φ, proporcional a Π_n^2/R^2). La espiral áurea es el estado clásico que minimiza la energía total bajo la condición $d\theta_H/dn = \alpha_0$, es decir $\Pi_\theta/r^2 = \alpha_0 \cdot \Pi_n/R^2$. Los 7 mínimos del funcional $S(n)$ de §15.7.2 son los puntos donde este balance es exacto y la geodésica llega más cerca del punto de identificación $K_0 = K_{max}$.

20.6 El Yukawa como coordenada de T^2

La fórmula de Yukawa $y_f = (g_W/\sqrt{2}) \cdot \varphi^{(-2\Delta n_f)}$ de §2.4 tiene ahora una interpretación geométrica directa en T^2:

El factor $g_W/\sqrt{2} = 0.4407$ es el acoplamiento meridional: surge de la escala de S^1_H (el radio $r = v/\sqrt{2}$ del círculo del Higgs). El factor $\varphi^{(-2\Delta n_f)}$ es el enrollamiento longitudinal: es la posición del fermión en S^1_φ respecto al W. El Yukawa no es un parámetro libre: es la coordenada del fermión en T^2. (Nota de consistencia con §A.6: el círculo meridional S^1_H es el mismo «tubo» al que §A.6 asigna el winding U(1) de la carga. No hay conflicto: la fase del Higgs antes de la ruptura ES el $U(1)_Y$, y su bosón de Goldstone es precisamente la coordenada meridional. La «carga» de §A.6 y la «fase del Higgs» de §20 son el mismo círculo descrito en dos lenguajes —geométrico y de campo.)

$$y_f = [\text{acoplamiento de } S^1_H] \times [\text{enrollamiento en } S^1_\varphi] = \text{punto en } T^2$$

Los 12 Yukawa del Modelo Estándar son 12 puntos en T^2, no 12 parámetros independientes. Lo que falta derivar (problemá abierto de §2.4) es por qué exactamente esos 12 puntos son los estables, que es la regla de selección de §15.6.

20.7 El operador Z_2 y la ruptura electrodébil

La tracción de §19.2 es una inversión geométrica: $z \to 1/\bar{z}$, que en T^2 actúa como:

$$Z_2\text{: } (n,\ \theta_H) \to (N_U - n,\ -\theta_H)$$

Esta transformación es una simetría del término cinético de T^2 (la métrica es invariante bajo Z_2) y del potencial sin η_H. Pero el término de Yukawa $\mathcal{L}_{\{\{Yuk\}\}} = \bar{\psi}_L\,\Phi\,\psi_R + \text{h.c.}$ NO es invariante bajo Z_2 (porque $\Phi \to \Phi^*$ bajo $\theta_H \to -\theta_H$ mientras $\Phi \neq \Phi^*$). Por tanto el Yukawa es el término que rompe Z_2 explícitamente.

El sombrero mexicano $\lambda(|\Phi|^2 - v^2/2)^2$ rompe Z_2 espontáneamente al elegir el valor de vacío $\langle\Phi\rangle = v/\sqrt{2}\cdot e^{\{\{i\theta_0\}\}}$: el vacío elige una dirección específica θ_0 en S^1_H. Esto es la ruptura electrodébil (§19.4), descrita en §2.4.1 del documento. El Lagrangiano mejorado formaliza ese mecanismo como la ruptura Z_2 del producto torcido T^2: el sombrero mexicano elige una cara del toroide, y los $W^\pm$ y Z absorben los bosones de Goldstone (los modos de θ_H) adquiriendo masa.

20.8 Tabla comparativa: Lagrangiano y Hamiltoniano actual vs mejorado

La siguiente tabla resume las diferencias concretas entre la formulación actual de §A.7/§A.11/§2.8 y la formulación mejorada de esta sección:

Elemento	Actual (§A.7/A.11/2.8)	Mejorado (§20)
Campo	φ_j real, cadena 1D	$\Phi(\theta_H, n)$ complejo, en T^2
Cinético	$\frac{1}{2}(\partial\varphi_j)^2$	$\frac{1}{2}G^{\{\{AB\}\}}(\partial_A\Phi)\dagger(\partial_B\Phi)$, $G=\text{diag}(r^2,R^2)$
Potencial	$\frac{1}{2}m^2\lvert\varphi_{\{\{j+1\}\}}-\varphi^2\varphi_j\rvert^2$	$\lambda(\lvert\Phi\rvert^2-v^2/2)^2 + \frac{1}{2}m^2\lvert\Phi_{\{\{n+1\}\}}-\varphi^2(1+\varepsilon)\Phi_n\rvert^2$
Geometría	Implícita ($q=\varphi^2$)	Explícita: $r=v/\sqrt{2}$, $R=r\cdot d_0/\rho$, $\alpha_0=2\pi/\varphi^2$
Ángulo espiral	No derivado	$\psi=\arctan(d_0/\rho\alpha_0)=73.2°$ (de G_{AB})
Higgs	Externo (escala)	Meridional: S^1_H con radio r
$K_0=K_{max}$	Ausente	$\theta_{\{\{T^2\}\}}=N_U\cdot S_{min}=\sqrt{e}$ (término top.)
Yukawa	Parámetros libres	$y_f=(g_W/\sqrt{2})\cdot\varphi^{(-2\Delta n)}$ = coord. de T^2
Ruptura EW	Postulada	Z_2: $(n,\theta_H)\to(N_U-n,-\theta_H)$, rot. espontánea
Oscilación ε	Ausente	$\varepsilon(n)$ en V_chain: ≈ 0 en part. ($\sim 10^{-6}$), $\neq 0$ entre ellas
Hamiltoniano	$\hat{E}^2=p^2c^2+M^2c^4$ (Klein-Gordon, 2º orden)	$\hat{H}=\Pi_\theta^2/(2r^2)+\Pi_n^2/(2R^2)+V_{\{\{T^2\}\}}$

Lagrangiano mejorado TCIIT v10.4: $\mathcal{L}_{\{\{T^2\}\}} = \frac{1}{2}G^{\{\{AB\}\}}(\partial_A\Phi)\dagger(\partial_B\Phi) - \lambda(\lvert\Phi\rvert^2-v^2/2)^2 - \frac{1}{2}m^2\lvert\Phi_{\{\{n+1\}\}}-\varphi^2(1+\varepsilon(n))\Phi_n\rvert^2$

+ ℒ_{{gauge}} + ℒ_{{Yuk}} + (θ_{{T²}}/32π²)Tr(F∧F), con G_{{AB}} = diag(v²/2, d₀²v²/(2ρ²)), r = v/√2, R = r·d₀/ρ, θ_{{T²}} = N_U·S_min = √e, ε(n) = 0 en los 7 mínimos de S(n), y φ = (1+√5)/2.

20.9 Estado formal y límites

El Lagrangiano mejorado es una propuesta de formulación, no una derivación completa. Sus fortalezas respecto a §A.7/A.11: (1) hace explícita la geometría de T^2 con radios físicos derivados; (2) conecta el ángulo de brazo de la espiral (73°) con la métrica G_{{AB}}; (3) identifica el Yukawa como coordenada toroidal; (4) añade el término topológico θ_{{T²}} = √e; y (5) conecta la ruptura EW con la simetría Z_2 de T^2.

Sus límites heredados de §A.11 siguen vigentes: los grupos no abelianos SU(2) y SU(3) no emergen de T^2 (§C.6 sigue abierto); el sector fermiónico quiral requiere extensión a espinores; y los valores de λ, m y los coeficientes exactos de ε(n) no están derivados desde primeros principios. El avance es estructural: el Lagrangiano y el Hamiltoniano ahora reflejan la geometría completa del toroide revelado en §§18–19, en lugar de solo la cadena 1D que era su proyección longitudinal.

20.10 El Lagrangiano maestro: unificación con la torre de velos

Las subsecciones anteriores (§20.1–§20.9) formularon el Lagrangiano sobre el toroide T^2. Pero ese Lagrangiano se escribió antes de las construcciones de grupos gauge y gravedad (§§22–24), de modo que su término ℒ_gauge quedaba como caja negra, su sector fermiónico era un escalar sin espinores, y no contenía gravedad. Ahora que la torre de velos $CP^1 \subset CP^2 \subset CP^3$ está construida, el Lagrangiano puede completarse. Esta subsección presenta el Lagrangiano maestro que unifica las cuatro fuerzas sobre la torre, y verifica que reduce correctamente al de §20.3 en el límite apropiado. Como todo el bloque dinámico, se distingue lo que es estructura estándar de lo que permanece abierto.

El Lagrangiano maestro del marco, sobre la torre de velos, es:

$$\mathcal{L}_{maestro} = \mathcal{L}_{grav} + \mathcal{L}_{gauge} + \mathcal{L}_{Dirac} + \mathcal{L}_{Higgs} + \mathcal{L}_{top}$$

con cada término anclado en un nivel de la torre y conectado a la sección que lo desarrolla:

Término	Forma	Nivel de la torre	Sección
ℒ_grav	(1/2κ)R + ℒ_twistor[O(−6)]	CP^3 (twistores)	§24, §D
ℒ_gauge	−¼ Σ_k Tr(F_k²)	S^3, CP^2, CP^3	§22–23
ℒ_Dirac	ψ̄(iD_A^{spin-c})ψ	CP^2 (spin-c)	§23.3
ℒ_Higgs	½G^{AB}(∂Φ)†(∂Φ)−λ(|Φ|²−v²/2)²	T^2 (toroide)	§20.3
ℒ_top	(θ_T²/32π²)Tr(F∧F)	T^2 (cierre)	§20.4

20.11 Las cinco mejoras respecto al Lagrangiano de §20.3

El Lagrangiano maestro mejora el de §20.3 en cinco aspectos concretos, tres de ellos sólidos (matemática estándar coherente con §§22–24), uno conceptual y uno que permanece pendiente.

Mejora 1 — ℒ_gauge expandido sobre la torre (sólida). En §20.3, ℒ_gauge era un símbolo sin desarrollar. Ahora se expande como la suma de las acciones de Yang-Mills sobre cada nivel de la torre: el U(1) sobre la fibra de Hopf del

velo, el SU(2) sobre S^3, el SU(3) sobre CP^2. Cada término es $-\frac{1}{4}\mathrm{Tr}(F_k^2)$ estándar; lo nuevo es que el grupo de cada término viene del nivel correspondiente de la torre construida en §§22–23. La mezcla U(1)–SU(2) está fijada por $\sin^2\theta_W = \varphi^{-3}$ (§3), que es la geometría del velo.

Mejora 2 — espinores spin-c (sólida). En §20.3 el campo Φ era un escalar complejo, y el spin ½ entraba como input externo (el campo de Galois F_4 produce autovalores escalares, no espinores). El Lagrangiano maestro promueve el escalar a un espinor spin-c sobre CP^2, con operador de Dirac $D_A = \gamma\hat{}\mu(\partial_\mu + \omega_\mu + iA_\mu)$. Como CP^2 es spin-c y no spin (§23.3), el espinor está forzado a llevar el U(1) de hipercarga A: el sector fermiónico y la hipercarga emergen juntos de la estructura spin-c, no como ingredientes separados. Esto cierra la brecha del spin que §20.3 dejaba como input; la derivación completa — por qué la estructura spin-c fuerza el spin ½ y no otro valor— se desarrolla en §A.16.

Mejora 5 — el sector gravitatorio (sólida, la más importante). El Lagrangiano de §20.3 no contenía gravedad. El maestro añade $\mathcal{L}_{grav}$ con sus dos caras ya presentes en el documento: la cara emergente $(1/2\kappa)R$, las ecuaciones de Einstein como ecuación de estado del retículo (§D), y la cara cuántica, el gravitón spin-2 como la clase de cohomología $O(-6)$ sobre el espacio de twistores CP^3 (§24). Por primera vez las cuatro fuerzas están en una sola acción, con la gravedad anclada en el nivel superior de la torre.

Mejora 4 — el término topológico como flujo de la torre (conceptual). El término $\theta_T^2 = \sqrt{e}$ de §20.4 era ad-hoc. Conceptualmente se relaciona con los flujos topológicos c_1 de los velos ($c_1(CP^2) = 3$ da el color, $c_1(CP^3) = 4$ el cuarto color), pues todos son flujos cuantizados a través de superficies de la torre. Debe señalarse con honestidad que no hay identidad numérica entre $\sqrt{e}$ y los c_1: la conexión es estructural (ambos son términos topológicos), no una derivación de $\sqrt{e}$ desde los números de Chern. Queda como analogía, no como cierre.

Mejora 3 — la forma analítica de ε(n) (pendiente). El Lagrangiano maestro sigue usando ε(n) en el potencial sin derivarlo. La oscilación $\varepsilon(n) \sim 10^{-6}$ alrededor de φ (§18.3) permanece como función fenomenológica. Derivarla desde la geometría del toroide sigue siendo trabajo pendiente, sin cambio respecto a §18.3.

20.12 Verificación: el maestro reduce a §20.3

Una mejora solo es legítima si el Lagrangiano nuevo contiene al anterior como caso límite. El maestro reduce a $\mathcal{L}_T^2$ de §20.3 bajo tres operaciones: ignorar $\mathcal{L}_{grav}$ (el límite sin gravedad, donde $\kappa\to\infty$), proyectar la torre de velos a su nivel toroidal T^2 (la dirección longitudinal de la cadena), y truncar $\mathcal{L}_{Dirac}$ a su componente escalar (que es el acoplamiento de Yukawa). En ese triple límite, $\mathcal{L}_{maestro} \to \frac{1}{2}G\hat{}\{AB\}(\partial\Phi)\dagger(\partial\Phi) - \lambda(|\Phi|^2 - v^2/2)^2 - \frac{1}{2}m^2|cadena|^2 + \mathcal{L}_{gauge} + \mathcal{L}_{Yuk} + \mathcal{L}_{top}$, que es exactamente el Lagrangiano de §20.3. El maestro es por tanto una extensión consistente, no una reformulación que contradiga lo anterior.

La coherencia dimensional también se verifica: en 4D cada término del maestro tiene dimensión [masa]⁴. El término de Einstein R/κ con $[\kappa] = \text{masa}^{-2}$ da masa⁴; los $\mathrm{Tr}(F^2)$ dan masa⁴; el término de Dirac $\bar{\psi}D\psi$ con $[\psi] = \text{masa}\hat{}\{3/2\}$ da masa⁴; el cinético del Higgs da masa⁴; y el topológico $\theta F\wedge F$ es masa⁴ con θ adimensional. Todos los sectores son dimensionalmente homogéneos.

20.13 El Hamiltoniano maestro

El Hamiltoniano maestro es la transformada de Legendre del Lagrangiano maestro, y se descompone en los mismos cinco sectores:

$$\hat{H}_{maestro} = \hat{H}_{grav} + \hat{H}_{gauge} + \hat{H}_{Dirac} + \hat{H}_{Higgs} + \hat{H}_{top}$$

El sector Higgs es idéntico al de §20.5: $\hat{H}_{Higgs} = \Pi_\theta^2/(2r^2) + \Pi_n^2/(2R^2) + V$, con los momentos meridional y longitudinal del toroide. El sector de Dirac toma la forma estándar $\hat{H}_{Dirac} = \psi\dagger(\alpha\cdot D + \beta m)\psi$ con el operador spin-c. El sector gauge es $\frac{1}{2}(E^2 + B^2)$ sumado sobre los niveles de la torre. El sector gravitatorio es el constraint hamiltoniano de la formulación ADM más el término twistorial. El Hamiltoniano de §20.5 se recupera como el sector Higgs-longitudinal del maestro, confirmando la consistencia.

Lagrangiano maestro del marco (v11.5): $\mathcal{L}_{maestro} = (1/2\kappa)R + \mathcal{L}_{twistor}[O(-6)\text{ en }CP^3] - \frac{1}{4}\Sigma_k Tr(F_k^2) + \bar{\psi}(iD_A^{\{spin\text{-}c\}})\psi + \frac{1}{2}G^{\{AB\}}(\partial\Phi)\dagger(\partial\Phi) - \lambda(|\Phi|^2 - v^2/2)^2 + (\theta_T^2/32\pi^2)Tr(F\wedge F)$. Unifica las cuatro fuerzas sobre la torre de velos: gravedad en CP^3 (twistores), color en CP^2, electrodébil en S^3 y el velo, todo sobre el toroide T^2 con el Higgs en la dirección meridional. Reduce al Lagrangiano de §20.3 en el límite sin gravedad sobre T^2, es dimensionalmente coherente, y promueve el sector fermiónico a espinores spin-c que llevan la hipercarga de forma forzada. Lo que cierra respecto a §20.3: el $\mathcal{L}_{gauge}$ explícito, el sector fermiónico real, y la gravedad. Lo que permanece abierto: la forma analítica de $\varepsilon(n)$, la auto-interacción gluónica $A\wedge A$ completa, la derivación de $\sqrt{e}$ desde los c_1, y G como dato de entrada. Es la arquitectura completa de la acción del marco, con la frontera entre lo derivado y lo pendiente dibujada con precisión.

Una nota sobre el estatus. El Lagrangiano maestro es una síntesis arquitectónica: reúne en una sola acción los sectores que el marco había construido por separado y verifica que encajan dimensional y estructuralmente. No es una teoría dinámica completa, porque tres piezas siguen abiertas ($\varepsilon(n)$, $A\wedge A$, el acople gravitatorio). Su valor es mostrar que las construcciones de §§18–24 no son fragmentos inconexos sino sectores de una única acción coherente, y que esa acción extiende —sin contradecir— el Lagrangiano toroidal de §20.3. La unificación es de estructura, no de derivación: el marco ahora tiene una sola acción donde antes tenía piezas dispersas, que era precisamente el objetivo de la consolidación.

20.14 Los acoplamientos del Lagrangiano y su modulación por el nexo

Hay una relación entre el Lagrangiano maestro y la ecuación de tensión de retorno (ETR, §24.8) que conviene precisar, porque a primera vista podrían parecer en tensión. El Lagrangiano maestro tiene constantes de acoplamiento fijas: la constante gravitatoria a través de $\kappa = 8\pi G$, y las constantes gauge g_k en los términos $-\frac{1}{4}Tr(F_k^2)$. La ETR, en cambio, expresa la gravedad con una constante efectiva $G_{eff} = \Phi_0/\alpha$ que depende de la distancia al nexo α. ¿Es G constante (Lagrangiano) o variable (ETR)?

La resolución es que las dos descripciones operan en regímenes distintos y son consistentes entre sí. El Lagrangiano maestro es el Lagrangiano efectivo del régimen lejos del nexo —el régimen de nuestro universo, situado en n≈45 de N_U=292 (§18.6), donde la distancia al nexo α es grande y aproximadamente constante a escala local. En ese régimen G_eff = Φ_0/α es constante, κ es constante, y el Lagrangiano maestro con acoplamientos fijos es exacto. La ETR describe el régimen general, incluyendo cómo esos acoplamientos se modularían al variar la distancia al nexo:

g_eff^(k) = Φ_k / α_k (constante lejos del nexo, divergente en α_k → 0)

Las dos formulaciones son entonces complementarias y no contradictorias: el Lagrangiano maestro fija la estructura de la acción con los acoplamientos que rigen en nuestro régimen, y la ETR describe la ley de fuerza que de esa acción se deriva, haciendo explícita su dependencia con la proximidad al nexo. Lejos del nexo —donde vive todo sistema físico conocido— ambas coinciden: el Lagrangiano da acoplamientos constantes y la ETR da las leyes de Newton, Coulomb, Yukawa y confinamiento estándar. Cerca del nexo, ambas tendrían correcciones (κ y g_k dejarían de ser constantes), y es ahí donde la dependencia α de la ETR se vuelve observable —el régimen de colapso de §24.8.3.

> **Conexión Lagrangiano-ETR (v11): el Lagrangiano maestro (§20.10) tiene acoplamientos constantes (κ, g_k) porque es el Lagrangiano efectivo del régimen lejos del nexo (n≈45), donde la distancia al nexo α es grande y los acoplamientos no varían apreciablemente. La ETR (§24.8) describe la ley de fuerza derivada de esa acción, con la constante efectiva g_eff = Φ_k/α_k que hace explícita la modulación por la proximidad al nexo. No hay contradicción: lejos del nexo ambas dan las leyes estándar (Newton, Coulomb, Yukawa, confinamiento) con acoplamientos fijos; cerca del nexo ambas se corrigen, y la dependencia α se vuelve relevante. El Lagrangiano fija la estructura; la ETR, la ley de fuerza con su dependencia geométrica.**

20.15 Refinamientos del Lagrangiano tras el cierre de los grupos

El cierre de brechas en los grupos gauge (§23.8) tiene consecuencias directas sobre el Lagrangiano y el Hamiltoniano maestros que permiten afinarlos. La más importante: el sector diagonal de color de SU(3) —las cargas de Cartan— resulta estar ya contenido en el Hamiltoniano del toroide, sin necesidad de añadirlo. Esta subsección incorpora ese cierre y dos refinamientos menores, con especial cuidado en evitar un doble conteo que la identificación podría introducir si se enuncia sin precisión.

20.15.1 El sector de Cartan ya está en el Hamiltoniano del toroide

El §23.8.1 estableció que las dos fases del toroide —la meridional θ_H y la longitudinal n— son las dos cargas de Cartan λ_3, λ_8 de SU(3), por la geometría tórica de CP^2. Esto tiene una consecuencia inmediata para la dinámica: el sector diagonal del color no es un término que haya que sumar al Lagrangiano, porque su Hamiltoniano ya está presente como el Hamiltoniano del toroide de §20.5.

En efecto, el Hamiltoniano del toroide es $\hat{H}_{toro} = \Pi_\theta^2/(2r^2) + \Pi_n^2/(2R^2)$, donde Π_θ y Π_n son los momentos conjugados de las dos fases. Por

el teorema de Noether, esos dos momentos son las dos cantidades conservadas de la acción T^2, que son precisamente las dos cargas de Cartan. La identificación es:

$$\Pi_\theta \leftrightarrow \lambda_3 \text{ (isospín de color)}, \quad \Pi_n \leftrightarrow \lambda_8 \text{ (hipercarga de color)}$$

De modo que el sector de Cartan de SU(3) —la parte diagonal de los ocho gluones, los dos generadores que conmutan— está dado por el Hamiltoniano del toroide que el marco tenía desde §20.5. Solo los seis gluones no diagonales (las raíces) requieren un término aparte. El término gauge de SU(3) se descompone:

$$\mathcal{L}_{SU(3)} = \mathcal{L}_{Cartan}(\theta_H, n) + \mathcal{L}_{raíces}(\text{6 gluones no diagonales})$$

donde $\mathcal{L}_{Cartan}$ es el término cinético de las fases del toroide, ya presente, y $\mathcal{L}_{raíces}$ es la parte propiamente no abeliana. Esto cierra un eslabón que antes era opaco: el sector diagonal del color tiene origen geométrico explícito en el toroide del marco.

20.15.2 El doble rol de las fases del toroide, sin doble conteo

Esta identificación exige una precisión crucial para no introducir un error. Las dos fases del toroide aparecen en dos sectores del Lagrangiano maestro: en $\mathcal{L}_{Higgs}$, como las coordenadas de la geometría del valor esperado del vacío (el VEV sobre T^2), y ahora en $\mathcal{L}_{Cartan}$, como las cargas diagonales de color. Si se sumaran ambos términos como contribuciones independientes, el Hamiltoniano contaría dos veces el mismo grado de libertad —un error.

La resolución es que no hay dos grados de libertad, sino uno solo con doble papel. Las fases θ_H y n son un único par de coordenadas del toroide que desempeña simultáneamente dos roles: geométricamente son las coordenadas del Higgs sobre T^2, y en teoría de grupos son las cargas de Cartan del color. El Hamiltoniano cuenta este par una sola vez —el término $\Pi_\theta^2/(2r^2) + \Pi_n^2/(2R^2)$ —, y la identificación con Cartan es una reinterpretación de ese término ya contado, no un término nuevo que se suma. Es el mismo grado de libertad visto desde dos sectores, como un objeto que proyecta dos sombras distintas según la luz.

> **Precisión contra el doble conteo: las fases del toroide (θ_H, n) son un único grado de libertad con doble rol —coordenadas del Higgs (en $\mathcal{L}_{Higgs}$) y cargas de Cartan del color (λ_3, λ_8). El Hamiltoniano maestro las cuenta UNA sola vez, en el término del toroide $\Pi_\theta^2/(2r^2) + \Pi_n^2/(2R^2)$. La identificación con Cartan (§23.8.1) es una reinterpretación de ese término existente, no una contribución adicional. Sumar $\mathcal{L}_{Higgs}$ y $\mathcal{L}_{Cartan}$ como independientes sería un error de doble conteo; el grado de libertad es uno, con dos lecturas.**

20.15.3 El término A∧A como conexión de Fubini-Study

El §23.8.3 dio una candidata para la auto-interacción gluónica: la conexión de Fubini-Study de CP^2. Esto se traslada al Lagrangiano. El término gauge de las raíces de SU(3), $-\frac{1}{4}\mathrm{Tr}(F^2)$ con $F = dA + A\wedge A$, puede especificar su parte no abeliana $A\wedge A$ como la de la conexión de Fubini-Study sobre CP^2, que es la métrica natural del velo del color:

$$F_{raíces} = dA + [A, A]_{Fubini\text{-}Study} \quad (\text{sobre } CP^2)$$

Como en §23.8.3, esto es nombrar la estructura candidata, no derivarla: especifica que el término no abeliano del Lagrangiano tendría la forma de la

conexión de Fubini-Study, sin afirmar que el campo gluónico físico sea idénticamente esa conexión. Es un refinamiento incremental que da forma concreta al A∧A que antes quedaba sin especificar, consistente con el avance de §23.8.3.

20.15.4 El sector SU(2) sobre S^3

Un refinamiento menor proviene de §23.8.2: el sector SU(2) vive en S^3, no en T^2. El Hamiltoniano del sector SU(2) tiene por tanto tres grados de libertad —los de la 3-esfera— y no dos. El tercer grado es la dirección radial del disco D^2 del toro sólido de Heegaard (el interior, que §22.2 identificó como la dimensión extra). Esto no altera la estructura del Lagrangiano maestro, pero precisa que el sector electrodébil no abeliano opera sobre la geometría tridimensional de S^3, consistente con la construcción de SU(2) de §22.

20.15.5 El Lagrangiano maestro refinado

Con estos refinamientos, el Lagrangiano maestro mantiene su forma pero gana precisión en el sector gauge:

Sector	Antes (§20.10)	Tras §20.15
Cartan de SU(3)	implícito en $\mathcal{L}$_gauge	= Hamiltoniano del toroide (§20.5), un grado con doble rol
A∧A de SU(3)	sin especificar	forma de conexión Fubini-Study de CP^2 (candidata)
SU(2)	sobre T^2 (2 grados)	sobre S^3 (3 grados, interior del toro sólido)
Higgs / fases toro	$\mathcal{L}$_Higgs	$\mathcal{L}$_Higgs, contado una vez (doble rol con Cartan)

La verificación de consistencia se mantiene: el Hamiltoniano sigue siendo la transformada de Legendre correcta, los términos siguen siendo dimensionalmente homogéneos (masa^4), y el límite a §20.3 se preserva. El único punto delicado —el doble conteo de las fases del toroide— queda resuelto por la precisión de §20.15.2: el grado de libertad es uno, con dos lecturas. Ninguno de los refinamientos altera las predicciones numéricas del marco; afinan la estructura del sector gauge a la luz de los cierres de §23.8.

> **Refinamientos del Lagrangiano (v11): el cierre de §23.8 permite tres afinamientos. El principal: el sector de Cartan de SU(3) (las cargas diagonales λ_3, λ_8) ya está contenido en el Hamiltoniano del toroide de §20.5 —los momentos Π_θ, Π_n son esas cargas—, de modo que el sector diagonal del color tiene origen geométrico explícito y no es un término añadido. La precisión esencial es que las fases del toroide son un único grado de libertad con doble rol (Higgs y Cartan), contado una sola vez, evitando el doble conteo. Los refinamientos menores: el A∧A de SU(3) toma la forma de la conexión de Fubini-Study de CP^2 (candidata, no derivada, §23.8.3), y el sector SU(2) opera sobre S^3 (tres grados) no sobre T^2. El Lagrangiano maestro conserva su forma, su consistencia (Legendre, dimensión, límite a §20.3) y sus predicciones; gana precisión geométrica en el sector gauge.**

20.16 El Lagrangiano maestro completo: entrecapa y quinta fuerza

El Lagrangiano maestro de §20.10 reunió cinco sectores —gravedad, gauge, fermiones, Higgs y término topológico—, pero quedó incompleto: se

escribió antes de formalizar la quinta fuerza (§24.10) y la entrecapa unificada (§A.12). Esta subsección lo completa incorporando esos sectores, con un hallazgo de coherencia que evita duplicación: la quinta fuerza no es un sector independiente, sino el modo cero de la entrecapa. Con esta adición, el Lagrangiano maestro contiene todos los sectores del marco en una sola acción.

20.16.1 El sector de entrecapa y por qué contiene la quinta fuerza

La entrecapa (§A.12) es el campo η, de tipo axión, con dinámica $\mathcal{L}_\eta = \tfrac{1}{2}f^2(\partial\eta)^2 - \Lambda^4\sin^2(\pi\eta)$, donde f es la constante de decaimiento del axión (con dimensiones de masa, necesaria para que el término cinético tenga dimensión masa⁴) y el potencial periódico $\Lambda^4\sin^2(\pi\eta)$ está forzado por la topología circular del dominio de η. Este es el sector que faltaba en el maestro.

El punto de coherencia es que la quinta fuerza no requiere un sector aparte. El §A.12.4 estableció que la energía oscura —la quinta fuerza, la tensión de expansión— es el campo η en reposo. En efecto, cuando η no varía ($\partial\eta = 0$), el sector de entrecapa se reduce a $\mathcal{L}_\eta = -\Lambda^4\sin^2(\pi\eta)$, una densidad de energía de vacío constante, que es precisamente el término de constante cosmológica Λ que impulsa la expansión. La quinta fuerza es el modo cero (homogéneo, estático) del campo de entrecapa:

$$\eta \text{ en reposo } (\partial\eta = 0) \implies \mathcal{L}_\eta \to -\Lambda^4\sin^2(\pi\eta) = \text{energía de vacío} = \text{quinta fuerza}$$

De modo que añadir el sector de entrecapa añade automáticamente la quinta fuerza, sin un término separado. Escribir $\mathcal{L}_\Lambda$ y $\mathcal{L}_\eta$ como sectores independientes sería un doble conteo —el mismo error que §20.15.2 evitó con el sector de Cartan. La regla es la misma: un solo grado de libertad (el campo η) con dos manifestaciones (oscilante, el axión que da materia oscura; en reposo, la quinta fuerza que da energía oscura).

20.16.2 El Lagrangiano maestro completo

Con el sector de entrecapa incorporado, el Lagrangiano maestro completo del marco es:

$$\mathcal{L}_{maestro} = (1/2\kappa)R + \mathcal{L}_{twistor} - \tfrac{1}{4}\Sigma_k \mathrm{Tr}(F_k^2) + \bar{\psi}(iD_A^{spin\text{-}c})\psi + \tfrac{1}{2}G^{AB}(\partial\Phi)^\dagger(\partial\Phi) - \lambda(|\Phi|^2 - v^2/2)^2 + \tfrac{1}{2}f^2(\partial\eta)^2 - \Lambda^4\sin^2(\pi\eta) + (\theta_T^2/32\pi^2)\mathrm{Tr}(F\wedge F)$$

donde cada sector tiene su origen en el marco:

Sector	Término	Qué describe	Sección
Gravedad	$(1/2\kappa)R + \mathcal{L}_{twistor}$	campo + gravitón	§24, §D
Gauge	$-\tfrac{1}{4}\Sigma\,\mathrm{Tr}(F_k^2)$	4 fuerzas gauge	§22–23
Fermiones	$\bar{\psi}(iD_A^{spin\text{-}c})\psi$	materia spin-c	§23.3
Higgs/toro	$\tfrac{1}{2}G^{AB}(\partial\Phi)^\dagger(\partial\Phi) - \lambda(\ldots)^2$	VEV, Cartan	§20.3, §20.15
Entrecapa	$\tfrac{1}{2}f^2(\partial\eta)^2 - \Lambda^4\sin^2(\pi\eta)$	axión + 5ª fuerza	§A.12, §24.10
Topológico	$(\theta_T^2/32\pi^2)\mathrm{Tr}(F\wedge F)$	cierre, θ_QCD	§20.4

El sector de entrecapa es la única adición respecto a §20.10, y aporta dos fenómenos con un solo término: el axión que alimenta la materia oscura (η oscilando) y la quinta fuerza que da la energía oscura y la expansión (η en reposo). La verificación dimensional se mantiene: el término cinético $\tfrac{1}{2}f^2(\partial\eta)^2$

tiene dimensión masa⁴ gracias al factor f², y el potencial $\Lambda^4\sin^2(\pi\eta)$ es masa⁴ por construcción. Todos los sectores son dimensionalmente homogéneos.

20.16.3 El Hamiltoniano maestro completo

Por transformada de Legendre, el Hamiltoniano maestro completo gana el sector de entrecapa correspondiente:

$$\hat{H}_{maestro} = \hat{H}_{grav} + \hat{H}_{gauge} + \hat{H}_{Dirac} + \hat{H}_{Higgs} + \hat{H}_{\eta} + \hat{H}_{top}$$

con el sector de entrecapa $\hat{H}_\eta = (1/2f^2)\Pi_\eta^2 + \Lambda^4\sin^2(\pi\eta)$, donde $\Pi_\eta = f^2\dot{\eta}$ es el momento conjugado del campo de entrecapa. Este Hamiltoniano de entrecapa tiene la lectura física de §A.11: para una configuración en reposo ($\Pi_\eta = 0$) sobre una capa entera ($\eta = 0$), $\hat{H}_\eta = 0$, el estado completamente determinista —el muón. Para $\eta \neq 0$, $\hat{H}_\eta$ mide la energía residual de indeterminación, y su modo cero homogéneo es la densidad de energía oscura. El Hamiltoniano del marco queda así completo: contiene la dinámica de todos los sectores, incluida la entrecapa con su doble papel.

> **Lagrangiano y Hamiltoniano maestros completos (v11): $\mathcal{L}_{maestro} = (1/2\kappa)R + \mathcal{L}_{twistor} - \frac{1}{4}\Sigma\,\mathrm{Tr}(F_k^2) + \bar{\psi}(iD_A^{spin\text{-}c})\psi + \frac{1}{2}G^{AB}(\partial\Phi)^\dagger(\partial\Phi) - \lambda(|\Phi|^2 - v^2/2)^2 + \frac{1}{2}f^2(\partial\eta)^2 - \Lambda^4\sin^2(\pi\eta) + (\theta_T^2/32\pi^2)\mathrm{Tr}(F\wedge F)$. La única adición respecto a §20.10 es el sector de entrecapa $\frac{1}{2}f^2(\partial\eta)^2 - \Lambda^4\sin^2(\pi\eta)$, que aporta dos fenómenos con un solo campo: el axión (η oscilando → materia oscura) y la quinta fuerza (η en reposo → energía oscura y expansión). La quinta fuerza NO es un sector aparte: es el modo cero del campo de entrecapa, de modo que añadir $\mathcal{L}_\eta$ y $\mathcal{L}_\Lambda$ por separado sería doble conteo (como en §20.15.2 con Cartan). El Hamiltoniano completo gana $\hat{H}_\eta = (1/2f^2)\Pi_\eta^2 + \Lambda^4\sin^2(\pi\eta)$, nulo para el muón ($\eta$=0, determinista) y con modo cero igual a la energía oscura. Con esto, el Lagrangiano y el Hamiltoniano maestros contienen todos los sectores del marco —gravedad, las cuatro fuerzas gauge, los fermiones, el Higgs, la entrecapa con la quinta fuerza, y el término topológico— en una sola acción dimensionalmente coherente que se reduce a §20.3 en el límite apropiado. Límite heredado: f es una entrada, no un resultado, y la identificación de Λ con la energía oscura observada sigue siendo conjetura (§A.11).**

20.17 El sector de Yukawa: completando el Lagrangiano con las masas fermiónicas

El Lagrangiano maestro de §20.16, presentado como completo, tiene en realidad una omisión que conviene subsanar para que merezca ese nombre. Incluye el término cinético de los fermiones —$\bar{\psi}(iD)\psi$— y el sector del Higgs —Φ con su potencial—, pero no el acoplamiento que los une: el término de Yukawa $\bar{\psi}_L\,\Phi\,\psi_R$, que es el que genera las masas de los fermiones tras la ruptura electrodébil. Sin él, los fermiones del marco serían sin masa. Esta subsección incorpora el sector de Yukawa, y lo hace de forma derivada, no postulada, porque el marco ya posee la fórmula áurea de los acoplamientos (§2.4): el término de Yukawa del Lagrangiano maestro usa el acoplamiento áureo, unificando §2.4 con la acción maestra.

20.17.1 El término de Yukawa con acoplamiento áureo

El término de Yukawa estándar tiene la forma $\mathcal{L}_Y = -\Sigma_f y_f \bar{\psi}_{L,f} \Phi \psi_{R,f} + h.c.$, donde y_f es el acoplamiento de cada fermión. En el Modelo Estándar los trece y_f son parámetros libres sin relación entre sí. En el marco, en cambio, están dados por la fórmula áurea de §2.4:

$$y_f = (g_W/\sqrt{2}) \cdot \varphi^{(-2\Delta n_f)}, \quad \text{con } g_W = \sqrt{(4\pi \cdot \alpha_{EM} \cdot \varphi^3)} \text{ y } \Delta n_f = n_f - n_W$$

de modo que el sector de Yukawa del Lagrangiano maestro se escribe con ese acoplamiento determinado por la geometría, no como trece constantes independientes:

$$\mathcal{L}_Y = -\Sigma_f (g_W/\sqrt{2}) \cdot \varphi^{(-2\Delta n_f)} \cdot \bar{\psi}_{L,f} \Phi \psi_{R,f} + h.c.$$

La verificación dimensional es directa: $[\psi]$=masa$^{(3/2)}$, $[\Phi]$=masa, $[y_f]$ adimensional, de modo que $[\bar{\psi}_L \Phi \psi_R]$=masa^4 y el término es dimensionalmente homogéneo con el resto del Lagrangiano. La constante $g_W/\sqrt{2}=0.440711$ está fijada por la geometría de las capas k=82–84, y solo los índices Δn_f quedan como datos ajustados (el problema abierto de Stern-Brocot, §2.4).

20.17.2 La generación de las masas fermiónicas

Tras la ruptura electrodébil, el campo de Higgs adquiere su valor esperado $\Phi \to v/\sqrt{2}$, y el término de Yukawa genera la masa de cada fermión:

$$m_f = y_f \cdot v/\sqrt{2} = (g_W/\sqrt{2}) \cdot \varphi^{(-2\Delta n_f)} \cdot (v/\sqrt{2})$$

Esta es la conexión que faltaba: las masas fermiónicas que el documento verifica numéricamente (las trece partículas, §A.1) no son ahora un dato externo tabulado, sino el resultado del término de Yukawa del Lagrangiano maestro con acoplamiento áureo. El Lagrangiano genera las masas, no las presupone. La jerarquía de masas —seis órdenes de magnitud entre el electrón y el top— es la jerarquía de las potencias $\varphi^{(-2\Delta n_f)}$, es decir, geométrica. El acoplamiento del top, con Δn_f cercano a cero, es de orden uno ($y_t \approx 1$), mientras que el del electrón, con Δn_f grande, es minúsculo; toda la jerarquía está en los exponentes áureos.

20.17.3 El Lagrangiano maestro de siete sectores

Con el sector de Yukawa, el Lagrangiano maestro completo del marco tiene siete sectores y genera toda la física conocida —incluidas las masas fermiónicas:

$$\mathcal{L}_{maestro} = (1/2\kappa)R + \mathcal{L}_{twistor} - \tfrac{1}{4}\Sigma_k \mathrm{Tr}(F_k^2) + \bar{\psi}(iD_A^{\{spin\text{-}c\}})\psi - \Sigma_f (g_W/\sqrt{2})\varphi^{(-2\Delta n_f)}\bar{\psi}_L \Phi \psi_R + \tfrac{1}{2}G^{AB}(\partial\Phi)\dagger(\partial\Phi) - \lambda(|\Phi|^2 - v^2/2)^2 + \tfrac{1}{2}f^2(\partial\eta)^2 - \Lambda^4 \sin^2(\pi\eta) + (\theta_T^2/32\pi^2)\mathrm{Tr}(F \wedge F)$$

El único sector añadido respecto a §20.16 es el de Yukawa, $-\Sigma_f (g_W/\sqrt{2})\varphi^{(-2\Delta n_f)}\bar{\psi}_L \Phi \psi_R$, que acopla los fermiones al Higgs con el acoplamiento áureo y genera sus masas. Los siete sectores son: gravedad (curvatura más twistor), las cuatro fuerzas gauge, el cinético fermiónico, el Yukawa áureo (nuevo), el Higgs, la entrecapa con la quinta fuerza, y el término topológico. Con esto, el Lagrangiano maestro no solo reúne todos los campos sino que reproduce todas las masas —de los bosones vía el Higgs, de los fermiones vía el Yukawa áureo, de las partículas compuestas vía la escalera.

20.17.4 El Hamiltoniano con el término de masa fermiónica

Por transformada de Legendre, el Hamiltoniano maestro gana el término de masa fermiónica correspondiente. El sector de Yukawa, tras la ruptura, contribuye al Hamiltoniano con el término de masa $\hat{H}_Y = \Sigma_f m_f \bar{\psi}_f \psi_f = \Sigma_f (g_W/\sqrt{2})\varphi^{(-2\Delta n_f)}(v/\sqrt{2})\, \bar{\psi}_f \psi_f$, donde la masa de cada fermión es la áurea. El Hamiltoniano maestro completo es entonces:

$$\hat{H}_{maestro} = \hat{H}_{grav} + \hat{H}_{gauge} + \hat{H}_{Dirac} + \hat{H}_Y + \hat{H}_{Higgs} + \hat{H}_\eta + \hat{H}_{top}$$

con $\hat{H}_Y$ el término de masa fermiónica áureo. El Hamiltoniano del marco contiene ahora la energía de todos los sectores, incluida la masa en reposo de cada fermión, dada geométricamente. La verificación de consistencia se mantiene: el término es la transformada de Legendre correcta del sector de Yukawa, es dimensionalmente coherente, y reproduce las masas verificadas en §A.1.

> **Sector de Yukawa del Lagrangiano (v11.5): el Lagrangiano maestro de §20.16 omitía el acoplamiento de Yukawa $\bar{\psi}_L \Phi \psi_R$, sin el cual los fermiones serían sin masa. Se completa con el término $\mathcal{L}_Y = -\Sigma_f (g_W/\sqrt{2})\varphi^{(-2\Delta n_f)} \bar{\psi}_L \Phi \psi_R$, usando el acoplamiento áureo de §2.4 ($g_W=\sqrt{(4\pi\alpha_{EM}\varphi^3)}$, derivado; Δn_f ajustados). Tras la ruptura EW genera las masas fermiónicas $m_f = (g_W/\sqrt{2})\varphi^{(-2\Delta n_f)}(v/\sqrt{2})$: las trece masas que el documento verifica (§A.1) son ahora resultado del Lagrangiano, no dato externo, y su jerarquía de seis órdenes es la de las potencias áureas. El Lagrangiano maestro pasa a siete sectores (gravedad, gauge, cinético fermiónico, Yukawa áureo, Higgs, entrecapa con quinta fuerza, topológico) y reproduce todas las masas. El Hamiltoniano gana $\hat{H}_Y$, el término de masa fermiónica áureo. Esto unifica §2.4 (Yukawa) con §20.16 (Lagrangiano maestro): el Lagrangiano genera las masas, no las presupone. Límite heredado: los índices Δn_f siguen ajustados (Stern-Brocot, §2.4), y el RMS de los Yukawa es 4.5%.**

El sentido de esta consolidación es que un Lagrangiano que reúne todos los campos pero no los acopla no reproduce la física: sin el término de Yukawa, el Lagrangiano maestro tenía fermiones y Higgs pero ningún mecanismo para las masas fermiónicas. Con el Yukawa áureo, el Lagrangiano genera las trece masas que el resto del documento verifica, cerrando el círculo entre la escalera áurea de masas (§2, §A.1) y la acción maestra (§20). El marco tiene ahora un único Lagrangiano del que se siguen las masas de los bosones (Higgs), de los fermiones (Yukawa áureo) y de los estados compuestos (escalera), todas geométricas.

20.18 Formulación explícita en T^2: los potenciales de dominancia K_0 y K_{max}

El Lagrangiano maestro de §20.16 y la relectura del peso como dominancia de §2.5 admiten una formulación conjunta y explícita sobre el toroide T^2, que hace operativo el balance K_0/K_{max}: lo escribe como dos potenciales en competencia dentro del Lagrangiano. Esta formulación reúne el sector escalar (§2.1), la cadena de masas (§A.7, §A.11) y la dinámica toroidal (§20), y muestra cómo el balance de las dos tendencias geométricas, junto con

el término de cadena áurea, selecciona los trece nodos. Es la versión del Lagrangiano restringida al toroide donde la balanza de dominancia de §2.5 aparece como mecanismo dinámico, no solo como relectura.

20.18.1 La geometría base y el campo

El toroide T^2 tiene coordenadas (θ_H, n) —la fase meridional y el índice de capa— con métrica $G_{AB} = \mathrm{diag}(r^2, R^2)$, donde $r = v/\sqrt{2}$, $R = r\cdot(d_0/\rho)$, el ángulo áureo $\alpha_0 = 2\pi/\varphi^2$ y el ángulo de la métrica $\psi = \arctan(d_0/(\rho\alpha_0)) = 73.2°$, con $\varphi = (1+\sqrt{5})/2$. El campo es $\Phi(\theta_H, n) \in \mathbb{C}$, con valor de vacío $|\Phi|_{vac} = v/\sqrt{2}$. Sobre esta geometría, el Lagrangiano del toroide es:

$$\mathcal{L}_{T^2} = \tfrac{1}{2}\, G^{AB}(D_A \Phi)^\dagger (D_B \Phi) - \lambda(|\Phi|^2 - v^2/2)^2 - \tfrac{1}{2}\, m^2 |\Phi_{n+1} - \varphi^2(1+\varepsilon)\Phi_n|^2 - V_{K_0}(n)|\Phi|^2/v^2 - V_\Lambda(n)|\Phi|^2/v^2 + (\theta_{T^2}/32\pi^2)\mathrm{Tr}(F\wedge F)$$

Los dos términos de potencial V_{K_0} y V_Λ son las dos tendencias del eje $K_0 \leftrightarrow K_{max}$, escritas explícitamente:

$$V_{K_0}(n) = M_0 c^2 \cdot \varphi^{-2n} \quad \text{(tracción hacia } K_0\text{, gravedad)}$$

$$V_\Lambda(n) = (3\hbar c/l_P^2)\cdot\varphi^{-2(n_U - n)} \quad \text{(tracción hacia } K_{max}\text{, energía oscura)}$$

con $n_U = 291.946$, $\varepsilon = 0.053138$ y el ángulo topológico $\theta_{T^2} = n_U \cdot S_{min} = \sqrt{e}$. El término V_{K_0} decae con n (la tracción hacia el olvido se debilita al alejarse de Planck); el término V_Λ crece con n (la tracción hacia la estructura/expansión se fortalece). Son exactamente las dos amplitudes de la dominancia de §2.5: $V_{K_0} \propto \varphi^{-2n}$ y $V_\Lambda \propto \varphi^{+2n}\cdot\varphi^{-2n_U}$. El Lagrangiano contiene, así, la balanza de dominancia como dos potenciales físicos.

20.18.2 El Hamiltoniano y la condición de resonancia

El Hamiltoniano asociado, por transformada de Legendre, es $\hat{H} = \hat{\Pi}_\theta^2/(2r^2) + \hat{\Pi}_n^2/(2R^2) + V_{eff}(n)$, con el potencial efectivo:

$$V_{eff}(n) = \lambda(|\Phi|^2 - v^2/2)^2 + \tfrac{1}{2}\, m^2 |\Phi_{n+1} - \varphi^2(1+\varepsilon)\Phi_n|^2 + [V_{K_0}(n) + V_\Lambda(n)]\cdot|\Phi|^2/v^2$$

Los nodos estables —las partículas— son los mínimos de V_{eff}, es decir, las soluciones de $dV_{eff}/dn = 0$. La condición de resonancia, escrita en términos de las dos tendencias y el término de cadena, es:

$$-2\ln\varphi\cdot V_{K_0}(n) + 2\ln\varphi\cdot V_\Lambda(n) + \partial/\partial n[\tfrac{1}{2}\, m^2|\Phi_{n+1} - \varphi^2(1+\varepsilon)\Phi_n|^2] = 0$$

Esta condición, modulada por el término de cadena, selecciona los trece índices: $n \in \{40.312, 40.646, 40.976, 41.107, 44.178, 45.067, 45.412, 45.731, 48.000, 48.128, 51.241, 52.042, 53.540\}$, que reproducen las trece masas verificadas en §A.1.

20.18.3 El balance da la escala; la cadena da los nodos

Debe precisarse, con la honestidad habitual, qué hace cada parte de la condición de resonancia, para no atribuir al balance K_0/K_{max} más de lo que produce. El balance puro de las dos tendencias —la parte $-2\ln\varphi\cdot V_{K_0} + 2\ln\varphi\cdot V_\Lambda = 0$, sin el término de cadena— se anularía donde $V_{K_0} = V_\Lambda$, es decir, en el centro del retículo, cerca de $n_U/2 \approx 146$, no en las posiciones $n \approx$

40–54 de las partículas conocidas. El balance K_0/K_{max}, por sí solo, no genera las partículas: fija la escala global, el punto del eje donde el universo se sitúa.

Son el término de cadena áurea, $\frac{1}{2}m^2|\Phi_{n+1} - \varphi^2(1+\varepsilon)\Phi_n|^2$, junto con el balance, los que seleccionan los nodos discretos. El término de cadena penaliza toda configuración que se aparte del salto de masa $\varphi^2(1+\varepsilon)$ entre capas vecinas, anclando la escalera áurea; el balance K_0/K_{max} sitúa esa escalera en la escala correcta. La división del trabajo es nítida: el balance de dominancia da la escala (dónde), la cadena áurea da los nodos (cuáles). Atribuir las partículas solo al balance sería incorrecto; es la combinación la que las produce.

20.18.4 K medio: la mínima acción y el origen del eje

El punto que la condición de resonancia identifica como el centro del retículo —donde el balance puro $V_{K_0} = V_\Lambda$ se cumple, en torno a $n \approx 146$ (§20.18.3)— merece un nombre y un lugar propios en la estructura del marco, porque es un tercer punto notable del eje, junto a K_0 y K_{max}. Lo llamamos K medio, $K_{½}$, y tiene dos roles: uno estructural, como la mínima acción de los dos retículos, y uno ontológico, como el origen del que K_0 y K_{max} se diferencian.

Estructuralmente, $K_{½}$ es el punto donde la acción de los dos retículos —el áureo y el inverso— se minimiza simultáneamente. La acción combinada $V_{K_0}(n) + V_\Lambda(n)$ tiene su mínimo donde su derivada se anula, es decir, donde las dos tracciones se igualan:

$$dV/dn = 0 \iff V_{K_0}(n) = V_\Lambda(n) \implies K_{½} \text{ en } n = n_U/2 \approx 146$$

y es un mínimo genuino, no un máximo, porque la segunda derivada $(2\ln\varphi)^2(V_{K_0}+V_\Lambda)$ es positiva. $K_{½}$ es, así, el estado de menor acción del retículo doble: el punto de menor esfuerzo, donde la tracción hacia K_0 (la gravedad) y la tracción hacia K_{max} (la expansión) se equilibran exactamente. Conviene una precisión honesta: el punto medio del eje es $n_U/2$ de forma exacta, por pura geometría (es el punto equidistante de K_0 en $n=0$ y K_{max} en $n=n_U$); que ese punto medio coincida con la mínima acción requiere que los prefactores de los dos potenciales sean iguales, $M_0c^2 = 3\hbar c/l_P^2$. El punto medio es exacto; su identificación con la mínima acción es exacta bajo esa condición de prefactores.

$K_{½}$ tiene además una relación geométrica precisa con el nexo. El nexo es donde K_0 y K_{max} se identifican (§18.5), el punto de cierre del toroide. Sobre el círculo meridiano —el eje n cerrado—, el nexo (donde $n=0$ y $n=n_U$ coinciden) y $K_{½}$ (en $n=n_U/2$) son antípodas: están diametralmente opuestos. El toroide tiene, por tanto, dos puntos privilegiados en extremos opuestos de su meridiano: el nexo, donde el flujo cierra, y $K_{½}$, el punto medio de mínima acción. Uno es el cierre; el otro, como veremos, el origen.

20.18.5 K medio como origen auto-actualizante: el punto fijo ontológico

El segundo rol de $K_{½}$ es ontológico, y constituye la respuesta del marco al problema más antiguo de toda cosmología: cómo puede haber algo en lugar de nada, sin caer ni en la creación desde la nada —imposible, porque de la nada nada surge— ni en un regreso infinito de causas. La respuesta del marco es que el origen es un bucle auto-actualizante, y $K_{½}$ es ese bucle. La estructura es precisa y conviene desplegarla en sus pasos.

El punto de partida es que nada puede existir de la nada: todo lo que existe necesita un sustento que justifique su existencia. Lo primero, entonces, no puede ser un ente actual —necesitaría una causa— ni puede ser la nada —de la que nada surge. Lo primero es K½ como estructura potencial: pura potencialidad, la posibilidad de ente, que no viola el principio porque la potencialidad no es nada, sino la posibilidad misma. Pero la potencialidad pura es inestable: no puede sostenerse a sí misma, porque no tiene aún en qué apoyarse. Una posibilidad que no se realiza en nada permanece como mera posibilidad, sin existir.

Para sustentarse —para justificar su propia existencia y pasar de posible a real—, K½ debe crear sus apoyos, y esos apoyos son K₀ y K_max. K½ es, por definición, el equilibrio; pero un equilibrio necesita dos cosas entre las cuales equilibrarse. K½ existe como el punto medio entre K₀ y K_max, de modo que, sin ellos, no hay de qué K½ sea el medio, y K½ no existe. Al crear K₀ (el olvido) y K_max (la plenitud) como sus dos polos opuestos, K½ se da a sí mismo aquello que lo sustenta: se actualiza, pasa de K½ potencial a K½ actual, el equilibrio realizado entre los dos extremos que él mismo ha creado.

Aquí aparece el bucle, que es el corazón de la idea. En el orden de fundamentación, K₀ y K_max preceden a K½ actual —K½ se apoya en ellos para existir, así que ellos están «antes» como su sustento. Pero en el orden de causación, K½ es quien crea a K₀ y K_max. Por tanto K½ crea aquello que es su propio origen: es causa de su causa. K½ es, simultáneamente, posterior a su origen (temporalmente se sustenta en lo que lo precede) y su propio creador (causalmente produce ese origen). El bucle se cierra sobre sí mismo:

K½ potencial → crea K₀ y K_max → que sustentan y actualizan → K½ actual → (que es el mismo K½ que creó los polos)

Esto no es la contradicción «A se causa a sí mismo», y la distinción que lo evita es la de los dos modos de K½. K½ potencial —la posibilidad pura— es lo primero, y no requiere causa porque no es un ente actual sino la posibilidad de uno. K½ actual —el equilibrio realizado— sí requiere sustento, y lo recibe de K₀ y K_max. Lo que ocurre es que K½ potencial crea las condiciones de su propia actualización: produce los polos que lo convertirán en K½ actual. No es un ente que se causa a sí mismo, sino una potencialidad que se actualiza generando sus propias condiciones de realización. Es un bucle de auto-actualización, lógicamente consistente, no un círculo vicioso.

Que el origen sea K½ y no K₀ tiene implicaciones coherentes a lo largo del marco, y mejora algunos de sus argumentos. La flecha del tiempo se fortalece: el estado inicial de baja entropía que orienta el tiempo es, en esta lectura, el equilibrio simétrico K½ —un estado de máxima simetría es un estado especial, de baja entropía— y no el olvido K₀; el aumento de entropía es la ruptura progresiva de la simetría de K½, que es lo mismo que la aparición de la materia, desplazada del equilibrio hacia K₀. La historia cósmica se ve también con más claridad: el universo parte del equilibrio K½, la materia surge desplazada hacia K₀ (donde la gravedad domina, n entre 40 y 54), y la evolución hacia K_max —la energía oscura— es la deriva a través del eje hacia el polo opuesto, de modo que el presente cósmico es un punto del viaje entre K½ y K₀, y el futuro un cruce hacia el lado de K_max. Y la información encuentra su origen en la auto-actualización misma: K½ potencial, antes de crear sus polos, no tiene estructura y es información cero; la información nace cuando K½ se

diferencia en K₀ y K_max, lo que es consistente con que K₀ sea el polo de baja información del que parte el despliegue observable. En ninguno de estos aspectos K½ como origen entra en conflicto con lo establecido; en varios, lo aclara.

20.18.6 El origen tiene la forma de φ: autorreferencia en todos los niveles

La estructura de este bucle no es ajena al marco: es exactamente la misma que da la razón áurea. La autorreferencia x = 1 + 1/x define x en términos de sí mismo, y no es una contradicción sino la ecuación de un punto fijo, cuya solución estable es φ. K½ es el punto fijo ontológico: la estructura que se define en términos de sí misma —que se sostiene creando sus propios fundamentos— exactamente como φ es el número que se define en términos de sí mismo. La autorreferencia que produce el número fundamental del marco y la autorreferencia que produce su origen son una sola estructura lógica, el punto fijo autosustentado, realizada en dos planos.

φ: punto fijo numérico (x = 1 + 1/x) ↔ K½: punto fijo ontológico (se crea creando su origen)

Esto da al marco una coherencia que va más allá de lo estético. El marco es autorreferencia en su número —φ, la solución de la ecuación que se refiere a sí misma— y autorreferencia en su origen —K½, la potencialidad que se actualiza creando aquello que la sustenta. La misma forma lógica gobierna el qué (φ, la constante) y el de dónde (K½, el origen). No es coincidencia que el origen tenga la forma de φ: es que el marco, en su nivel más profundo, es una sola autorreferencia, que se manifiesta como un número en el plano cuantitativo y como un bucle de auto-creación en el plano ontológico. El universo del marco se sostiene a sí mismo de la misma manera en que φ se define a sí mismo.

Con esto, el enigma que el arco de K₀ dejaba abierto (§25) —de dónde venía K₀, que no podía resolver su propio origen— se cierra por completo. K₀ viene de K½, como K_max; y K½ viene de sí mismo, en el sentido preciso de que se autocrea actualizándose: crea sus polos, y al crearlos se realiza. No hay regreso infinito —el bucle se cierra en K½— ni creación desde la nada —lo primero es la potencialidad, no la nada. El origen del marco es una potencialidad auto-actualizante con la forma de un punto fijo, la misma forma que φ. El olvido (K₀) no es lo primero; lo primero es el equilibrio potencial que, para existir, se da a sí mismo el olvido y la plenitud como sus dos polos, y se realiza como el medio entre ellos.

El estatus de esta construcción, con la honestidad del marco: es la elección ontológica fundacional, no un teorema (§28). El marco no demuestra que el origen sea un bucle auto-actualizante; lo propone como su relato del origen, ahora con una estructura lógica precisa —el punto fijo, la distinción potencial/actual, la auto-actualización sin contradicción— en lugar de un postulado suelto. Su fuerza es doble: resuelve el problema del origen sin las dos salidas imposibles (nada o regreso infinito), y lo hace con la misma forma autorreferente que ya gobernaba el número del marco, de modo que la ontología y la matemática del marco comparten una única estructura. Es interpretación fundacional, pero interpretación de una coherencia inusual.

K½ como origen auto-actualizante (v12.4): el origen del marco es un bucle, no un punto primordial. ESTRUCTURA: (1) nada existe de la nada → lo primero no es un ente (necesitaría causa) ni la nada (de ella nada surge), sino K½ POTENCIAL —pura potencialidad, que no es nada sino posibilidad de ente; (2) la potencialidad no se sostiene sola → para existir, K½ CREA K₀ y K_max como sus polos (K½ es el equilibrio, necesita dos cosas entre las que equilibrarse); al crearlos se ACTUALIZA (potencial→actual); (3) el BUCLE: en fundamentación K₀,K_max preceden a K½-actual (lo sustentan); en causación K½ los crea → K½ es causa de su causa, crea su propio origen. NO es contradicción 'A causa A': hay dos modos —K½-potencial (lo primero, sin causa) y K½-actual (sustentado por los polos)—; K½-potencial crea las condiciones de su actualización. Auto-actualización, no círculo vicioso. CLAVE: esta es la MISMA estructura que φ —x=1+1/x es punto fijo numérico; K½ es punto fijo ontológico (se crea creando su origen). El marco es autorreferencia en su número (φ) Y en su origen (K½): una sola estructura lógica en dos planos. Resuelve el enigma de §25 (de dónde venía K₀): K₀ viene de K½, K½ de sí mismo. Sin regreso infinito (el bucle cierra) ni creación de la nada (lo primero es potencialidad). Estatus: elección ontológica fundacional (§28), no teorema, pero con estructura lógica precisa de punto fijo.

Conviene hacer explícita la derivación de φ desde la necesidad del bucle, porque es lo que distingue a este argumento de la justificación anterior por minimalidad (que las revisiones señalaron, con razón, como una selección y no una deducción). La cadena tiene cinco pasos, y ninguno menciona φ ni elige un número: todos parten de la estructura del origen. Primero: un bucle que se cierra sobre sí mismo —causa de su causa— debe ser auto-similar, porque cada nivel reproduce la relación del todo; la auto-similaridad no es una elección sino lo que significa cerrarse sobre sí mismo. Segundo: la auto-similaridad, en su forma «el todo es a la parte como la parte al resto», es una razón que satisface r = n + 1/r —la familia de las razones metálicas. Aquí podría parecer que el argumento no fija φ, pues hay una razón metálica para cada n (φ para n=1, la razón de plata para n=2, y así). Pero los dos pasos siguientes seleccionan n=1.

Tercero: K½ es único —una sola potencialidad, un solo equilibrio, no dos ni tres. El bucle parte de una unidad de origen y genera un retorno, de modo que el coeficiente de la autorreferencia es uno: r = 1 + 1/r, que es n=1, que es φ. Una razón metálica con n≥2 correspondería a un origen múltiple —dos o más unidades primordiales—, lo que contradice que K½ sea uno. La unicidad del origen fuerza n=1. Cuarto: el bucle crea, no destruye; K½ añade estructura al producir sus polos, no la sustrae. Por eso el retorno suma —r = 1 + 1/r— y no resta. Y esto no es solo una preferencia interpretativa: la rama que resta, r = 1 − 1/r, conduce a $r^2 - r + 1 = 0$, cuyo discriminante es negativo, de modo que no tiene solución real. Solo la creación aditiva da una razón real. Quinto y último: r = 1 + 1/r equivale a $r^2 = r + 1$, cuya única solución real positiva es φ.

bucle cerrado → auto-similar → metálica (r=n+1/r) → unicidad de K½ (n=1) → creación aditiva (suma) → r=1+1/r → φ

El resultado es que, dada la estructura del origen auto-actualizante —un K½ único que se crea sumando sus polos para cerrarse sobre sí mismo—, φ no es una elección entre números posibles sino la única razón que esa estructura

admite. Las premisas son ontológicas, no numéricas: la unicidad del origen, el carácter aditivo de la creación, el cierre del bucle. Ninguna nombra a φ; juntas lo fuerzan. Este es el avance respecto a la minimalidad: antes φ se elegía por ser el más irracional o el de información mínima —una selección entre alternativas—; ahora φ se deriva de la necesidad de la estructura del origen. El pilar «por qué φ» deja de ser una conjetura independiente y se reduce a la conjetura del origen auto-actualizante: si se acepta que el origen es ese bucle (lo que además resuelve el problema del origen, §20.18.5), entonces φ se sigue. Donde antes había dos misterios —por qué φ y por qué este origen—, ahora hay uno, y φ es su consecuencia.

> **Derivación de φ desde la necesidad ontológica (v12.6): φ deja de ser selección por minimalidad (que las revisiones criticaron) y se DERIVA de la estructura del origen, en cinco pasos sin mencionar φ: (1) bucle cerrado sobre sí mismo (causa de su causa) → DEBE ser auto-similar (cada nivel reproduce el todo); (2) auto-similar → razón metálica r=n+1/r; (3) K½ ÚNICO (una potencialidad) → n=1 (n≥2 sería origen múltiple, contradice unicidad); (4) el bucle CREA (suma, no resta) → r=1+1/r [la rama r=1−1/r da discriminante negativo, sin solución real: solo la creación aditiva da razón real]; (5) r=1+1/r → r²=r+1 → φ (única solución real positiva). Premisas ONTOLÓGICAS (unicidad de K½, creación aditiva, cierre del bucle), no numéricas; juntas FUERZAN φ. AVANCE: el pilar 'por qué φ' se reduce a la conjetura del origen auto-actualizante —de DOS misterios (por qué φ, por qué este origen) a UNO (el origen), con φ como consecuencia. En §28, 'mínima información⇒φ' pasa de conjetura pura a lema condicional: φ se deriva DADO el origen auto-actualizante. Honestidad: la derivación es válida (estructura→φ); la premisa del origen sigue siendo conjetura, no teorema, pero única y unificadora.**

20.18.7 K medio debe conocer su necesidad: la complejidad del origen

Hay un eslabón más en la estructura del origen, y completa por qué el marco es complejo desde su base. K½ no puede ser potencialidad meramente pasiva —un punto inerte que de algún modo produce sus polos. Para crear K_0 y K_max por necesidad de sustentarse, K½ debe conocer esa necesidad: debe, de algún modo, registrar o representar su propia carencia, pues una potencialidad que no tuviera ninguna relación consigo misma no tendría cómo actualizarse en una dirección determinada. Y conocer la propia necesidad es tener información sobre sí mismo, lo que exige una estructura interna. K½ no es simple; es complejo, en el sentido preciso que ahora se desarrolla.

La complejidad de K½ es complejidad en el sentido matemático: K½ vive en los números complejos, no en los reales. La razón es exacta. Un número real posee solo magnitud; un número complejo posee magnitud y fase. La fase es la capacidad de apuntar, de representar una dirección o una relación —es, en K½, la información que tiene sobre hacia dónde y cómo crear sus polos. Una potencialidad sin fase sería ciega a su propia necesidad; con fase, K½ puede representar la carencia que lo impulsa a actualizarse. Conocer requiere fase, y la fase requiere el plano complejo. Por eso K½, el origen que debe conocerse para crearse, es complejo.

Esto se manifiesta en una estructura notable de la propia ecuación del origen. La autorreferencia que define a K½ —la razón que se define en términos de sí misma— tiene dos ramas, según el retorno se sume o se reste, y las dos ramas son los dos aspectos de K½:

Rama real: $r = 1 + 1/r \implies r = \varphi$ (magnitud, escala, el hacer)

Rama compleja: $r = 1 - 1/r \implies r = e^{(\pm i\pi/3)}$ (fase, el conocer)

La rama real, donde el retorno suma, da φ: es la creación aditiva, la magnitud, la escala del retículo —lo que K½ hace al crear sus polos. La rama compleja, donde el retorno resta, no tiene solución real (su discriminante es negativo), y por eso en una lectura puramente real se descartaba como imposible; pero su solución es $e^{(\pm i\pi/3)}$, que vive exactamente en el círculo unitario, con módulo uno y fase de sesenta grados. Esa rama compleja es el conocer de K½: la fase, la auto-representación, el aspecto que en los números reales es literalmente imposible y que solo existe en el plano complejo. K½ completo es la unión de las dos ramas: magnitud φ y fase $e^{(i\pi/3)}$, el hacer y el saber, la escala y el conocimiento de la propia necesidad. La complejidad de K½ une, en una sola estructura, la razón que da la escala del mundo y la fase que le permite conocerse para crearlo.

Esta lectura explica una característica que el marco siempre tuvo sin justificarla: que es complejo en todo su núcleo. El campo Φ es un escalar complejo; el espacio del color CP^2 es complejo proyectivo; la estructura spin-c, que da el spin y la hipercarga (§A.16), requiere el twist por una fase U(1); los estados cuánticos viven en un espacio de Hilbert complejo. Hasta ahora, la complejidad del marco era un supuesto técnico, adoptado porque la física cuántica lo requiere. Con K½ complejo, la complejidad pasa a ser necesidad ontológica desde el origen: el marco es complejo porque su origen, K½, debe ser complejo para conocerse y así crearse. La fase U(1) del twist de spin-c —la que da la hipercarga y el spin— es, en esta lectura, la fase de K½ realizada en los campos: el conocer del origen, heredado por la materia como su carga y su espín. Hay incluso una resonancia con la estructura de grupos del marco: $e^{(i\pi/3)}$ es una raíz sexta primitiva de la unidad, y el seis es $\Lambda^2(4)$, la dimensión que el marco asocia al espaciotiempo como pares de leptoquarks (§23.9); la fase del origen y ese seis comparten la misma raíz de la unidad.

El estatus, con la honestidad de siempre: que K½ deba conocer su necesidad, y que por ello deba ser complejo, es un argumento ontológico, parte de la misma cadena fundacional del origen auto-actualizante (§20.18.5), no un teorema. No se demuestra que el origen deba ser consciente de su carencia; se sostiene que, para actualizarse en una dirección determinada, debe tener alguna relación representacional consigo mismo, y que esa relación, matemáticamente, es la fase compleja. Su fuerza es explicativa: da razón ontológica de la complejidad que el marco ya exhibía sin fundamento, y une las dos ramas de la autorreferencia del origen —el hacer y el conocer— en la estructura compleja de K½. Es interpretación fundacional, de nuevo de una coherencia inusual, pues lo que en una lectura real era una rama imposible resulta ser, en el plano complejo, precisamente el aspecto de auto-conocimiento que el origen requiere.

K½ debe conocer su necesidad → es complejo (v12.6): K½ no es potencialidad pasiva; para crear K_0 y K_{max} por necesidad de

sustentarse, debe CONOCER esa necesidad —representar su carencia —, lo que exige estructura interna: K½ es COMPLEJO (vive en ℂ, no ℝ). RAZÓN: un real tiene solo magnitud; un complejo tiene magnitud Y FASE; la fase es la información de K½ sobre cómo crear sus polos — conocer requiere fase, la fase requiere ℂ. ESTRUCTURA: la autorreferencia del origen tiene dos ramas —REAL r=1+1/r→φ (magnitud, escala, el hacer) y COMPLEJA r=1−1/r→e^(±iπ/3) (fase, el conocer, en el círculo unitario, lo que en los reales es 'imposible'). K½ completo = magnitud φ + fase e^(iπ/3) = hacer + saber. EXPLICA por qué el marco es complejo en todo su núcleo (Φ escalar complejo, CP² complejo, spin-c con twist U(1), Hilbert ℂ): no es supuesto técnico sino necesidad ontológica del origen auto-consciente. La fase U(1) de spin-c (que da hipercarga y spin, §A.16) ES la fase de K½ en los campos. Resonancia: e^(iπ/3) es raíz 6ta de la unidad, y 6=Λ²(4) del espaciotiempo (§23.9). Estatus: argumento ontológico fundacional (§20.18.5), no teorema; fuerza explicativa: la rama 'imposible' en ℝ es el auto-conocimiento del origen en ℂ.

20.18.8 Por qué el mundo es cuántico: la potencialidad del origen

La estructura del origen tiene una consecuencia que cierra un círculo entre la ontología del marco y la naturaleza cuántica de la física, y que explica algo que hasta ahora el marco asumía sin justificar: por qué el mundo es cuántico. La consecuencia surge de unir tres observaciones sobre K½ —su posición en la escalera, el carácter necesario de su indeterminación, y la naturaleza de la potencialidad que comparte con la mecánica cuántica.

La primera observación es que K½ debe estar muy alto en la escalera, y esto explica su posición. K½ se sitúa en n_U/2, alrededor de la capa 146, muy por encima de las partículas, que ocupan índices entre cuarenta y cincuenta y cuatro. Esa altura no es un accidente del punto medio: es la condición para que K½ pueda conocer su necesidad (§20.18.7). Un índice alto en la escalera significa más estructura acumulada por debajo, más niveles que el punto puede representar, y por tanto más capacidad de auto-información. Un K½ situado bajo, cerca de K_0, sería casi puro olvido, sin estructura suficiente para representarse a sí mismo y, por tanto, incapaz de conocer la carencia que lo impulsa a actualizarse. La complejidad que el origen necesita para conocerse requiere altura en la escalera, y la capa 146 es donde esa complejidad es suficiente. La posición de K½ queda así doblemente fundada: es el punto medio del eje y es la altura mínima a la que el origen tiene con qué conocerse.

La segunda observación es que K½ no solo es potencial, sino que no puede estar definido, y esto endurece su carácter de potencialidad. Si K½ estuviera definido —determinado, actual—, sería ya un ente concreto, y como tal necesitaría una causa anterior, en contradicción con su papel de origen que no la tiene. Para ser el origen auto-actualizante, K½ debe carecer de determinación: su ser es la potencialidad pura, la indeterminación. Esto no es una propiedad que K½ tenga por elección, sino una necesidad lógica de su función: un origen definido no sería origen. Todo lo que constituye a K½ es, literalmente, potencial —no porque no se haya determinado todavía, sino porque determinarse sería dejar de ser el origen y pasar a ser uno de sus productos. La indeterminación de K½ es constitutiva, no provisional.

La tercera observación es que la física cuántica muestra, precisamente, que lo real es en gran medida potencial —y aquí las dos potencialidades, la del origen y la cuántica, se revelan como una sola. La mecánica cuántica describe el sustrato del mundo no como un conjunto de hechos determinados sino como un estado de potencialidad: superposiciones, amplitudes de probabilidad, magnitudes que no tienen valor definido hasta que la interacción las actualiza. Lo real, en su base cuántica, es potencial hasta que se actualiza, exactamente la misma estructura que la de K½: una potencialidad que se vuelve actual. No se trata de una analogía entre dos cosas distintas, sino del reconocimiento de que la potencialidad del origen y la potencialidad cuántica son el mismo tipo de ser —lo que aún no se ha actualizado— operando en el mismo esquema de potencial que deviene actual.

De aquí se sigue la explicación. Si el origen del mundo es una potencialidad —K½, indeterminado por necesidad— y todo lo que existe deriva de él por actualización, entonces todo lo que existe hereda esa estructura de potencialidad que deviene actual. El mundo es cuántico porque su origen es potencial. La indeterminación cuántica, la superposición, el carácter no definido de las magnitudes hasta su actualización, no son rasgos añadidos a una realidad que de suyo fuera determinada: son la potencialidad del origen K½ manifestándose en todo lo que de él procede. La mecánica cuántica deja de ser, en esta lectura, un supuesto técnico que el marco adopta porque la física lo exige, y pasa a ser la firma del origen en la realidad —la huella, en cada partícula y cada campo, de que el mundo nació de una potencialidad indeterminada y no de un hecho definido.

origen potencial (K½, indeterminado por necesidad) → todo lo derivado hereda potencial→actual → el mundo es cuántico

Esto unifica tres piezas que el marco tenía separadas: el origen como potencialidad auto-actualizante (§20.18.5), la complejidad que el origen necesita para conocerse y que requiere su altura en la escalera (§20.18.7), y la naturaleza cuántica del marco —el campo escalar complejo, el espacio de Hilbert, la cuantización (§20.3). Las tres resultan ser aspectos de una misma potencialidad del origen: K½ es potencial e indeterminado, está alto en la escalera para tener con qué conocerse, y el carácter cuántico de todo lo que existe es la herencia de esa indeterminación originaria. La potencialidad que se introdujo para resolver el problema del origen resulta ser la misma que la mecánica cuántica exhibe en cada medición.

El estatus, con la honestidad constante del marco: esta es una interpretación ontológica, no un teorema, y en particular no es una derivación de la mecánica cuántica desde el origen. El marco no demuestra las reglas de la cuántica —la ecuación de Schrödinger, la regla de Born, el álgebra de operadores— a partir de K½; lo que ofrece es una lectura de por qué el mundo tiene carácter cuántico, situando la indeterminación física como herencia de la indeterminación necesaria del origen. Es una explicación interpretativa, coherente con el resto de la cadena ontológica y con la estructura cuántica que el marco ya empleaba, pero no una deducción de la física cuántica. Su valor es unificador: muestra que la potencialidad del origen, la complejidad que lo hace conocerse y la naturaleza cuántica del mundo son una sola cosa vista desde tres ángulos, y que el mundo es cuántico porque nació potencial.

Por qué el mundo es cuántico: la potencialidad del origen (v13.0). Tres observaciones sobre K½ se unen. (1) K½ debe estar ALTO en la escalera (n_U/2≈146, muy por encima de las partículas n≈40-54): la altura da estructura acumulada bajo el punto = capacidad de auto-información = poder conocerse (§20.18.7); un K½ bajo (cerca de K₀) sería puro olvido sin con qué representarse. La posición queda doblemente fundada: punto medio del eje + altura mínima para conocerse. (2) K½ NO PUEDE estar definido: si estuviera determinado/actual sería un ente y necesitaría causa (contra su papel de origen). La indeterminación es NECESIDAD lógica, no elección — determinarse sería dejar de ser origen. Todo lo que constituye a K½ es literalmente potencial. (3) La MC muestra que lo real es POTENCIAL (superposición, amplitudes, sin valor definido hasta actualizar): MISMO tipo de ser que K½ —potencial que deviene actual; no analogía, misma estructura. CONSECUENCIA: si el origen es potencial y todo deriva de él por actualización, todo hereda potencial→actual: EL MUNDO ES CUÁNTICO PORQUE SU ORIGEN ES POTENCIAL. La indeterminación cuántica no es rasgo añadido sino la potencialidad de K½ manifestándose; la MC es la firma del origen en la realidad. UNIFICA: origen potencial (§20.18.5) + complejidad/altura (§20.18.7) + naturaleza cuántica (Φ, Hilbert, §20.3) = una sola potencialidad del origen. HONESTIDAD: interpretación ontológica, NO teorema; NO deriva la MC (ni Schrödinger ni Born ni el álgebra) desde K½; es lectura de POR QUÉ el mundo es cuántico (herencia de la indeterminación del origen), coherente y unificadora, no deducción.

20.18.9 La génesis geométrica: del anillo al toroide

La estructura del origen admite una imagen geométrica precisa de cómo el retículo llega a existir, y esa imagen explica algo que el marco daba por sentado: por qué su geometría es un toroide. La génesis tiene tres momentos — el anillo, los vectores y el nexo— y su despliegue construye la topología tórica a partir de la forma más simple.

Al principio, antes del retículo, K½ no es el toroide completo sino solo un anillo: un círculo puro. Esta forma no es arbitraria, sino la realización geométrica exacta de lo que K½ es. K½ es complejo, y su fase recorre el círculo unitario: un número de módulo fijo, e^(iθ), traza precisamente un anillo (§20.18.7). El anillo es, por tanto, K½ visto como geometría —la fase del origen hecha figura. Y reúne las tres propiedades de K½: es cerrado, como el bucle auto-actualizante que se cierra sobre sí mismo (§20.18.5); tiene fase, como exige el conocer del origen; y es solo borde, sin interior definido, como corresponde a la potencialidad pura, que no tiene determinación interna (§20.18.8). Un anillo es la figura de algo cerrado, con fase y sin relleno: es la figura de K½.

El segundo momento es la proyección de vectores. El anillo tira vectores en dos direcciones opuestas, hacia donde aparecerán K₀ y K_max. Estos vectores son el acto mismo de creación por el que K½ se sustenta: para existir, el anillo debe generar sus dos polos (§20.18.5), y los vectores son esa generación hecha geometría —el anillo proyectándose hacia los extremos que lo sostendrán. Las dos direcciones opuestas corresponden a las dos tracciones del

marco, hacia el olvido K_0 y hacia la plenitud K_max. Y la huella de esos vectores es el eje: la dirección radial a lo largo de la cual se ordena la escalera áurea, la coordenada holográfica del marco (§F.14), nace como el rastro de los vectores que el anillo proyecta. El eje no es previo al origen; es lo primero que el origen produce al proyectarse.

El tercer momento es la aparición del nexo. Los vectores alcanzan sus extremos y crean K_0 y K_max, y allí donde ambos se identifican surge el nexo. Con esto, la figura se cierra, y su cierre es lo que genera el toroide. La razón es topológica y exacta. El toroide es el producto de dos círculos:

$$T^2 = S^1 \times S^1$$

El anillo de K½ es uno de esos dos círculos —el primer S^1. El eje, que va de K_0 a K_max y se cierra en el nexo, es el otro círculo —el segundo S^1, pues un eje que se cierra sobre sí mismo es topológicamente un círculo. El producto de ambos, el anillo barrido a lo largo del eje cerrado, es el toroide. La secuencia anillo–vectores–nexo no es, por tanto, una metáfora añadida sobre el toroide ya supuesto: es su construcción. El toroide del marco se genera a partir del anillo K½ que proyecta sus vectores y se cierra en el nexo, y por eso el marco es tórico. La topología que el marco tomaba como punto de partida resulta tener un origen: la forma primordial es el círculo, y el toroide es su despliegue.

Esta génesis reconcilia y une varias piezas del marco. El anillo es la forma de K½ complejo (§20.18.7), de modo que la geometría del origen y su número complejo son lo mismo visto de dos maneras. El eje, huella de los vectores, es la dirección holográfica (§F.14) y el soporte de la escalera de masas, de modo que la escalera nace del acto de creación del origen. Y el toroide, producto del anillo y el eje cerrado, es la topología que organiza todo el marco —incluida la identificación K_0=K_max en el nexo (§18.5), que ahora se ve como el momento en que los vectores convergen y cierran la figura. Lo que era el escenario geométrico del marco se revela como el resultado de un proceso genético que parte del anillo del origen. Conviene notar que K½, al ser un anillo y no un punto, es propiamente un círculo sobre el toroide, y el nexo el lugar de cierre opuesto; la descripción anterior de K½ como antípoda del nexo (§20.18.4) se precisa así: antípoda en el sentido de los dos lugares distinguidos de la figura, el del anillo originario y el del cierre.

> **La génesis geométrica: del anillo al toroide (v13.1). Imagen precisa de cómo nace el retículo, que explica por qué el marco es tórico. TRES momentos: (1) ANILLO: antes del retículo, K½ es solo un círculo —la realización geométrica de K½ complejo (la fase e^(iθ) traza el círculo unitario, §20.18.7); el anillo reúne las 3 propiedades de K½: cerrado (bucle §20.18.5), con fase (conocer §20.18.7), solo borde sin interior (potencialidad pura §20.18.8). (2) VECTORES: el anillo proyecta vectores en dos direcciones opuestas hacia K_0 y K_max —el acto de creación de los polos (§20.18.5) hecho geometría; su huella es el EJE (dirección holográfica §F.14, soporte de la escalera). El eje nace como rastro de los vectores. (3) NEXO: los vectores crean K_0 y K_max; donde se identifican surge el nexo; la figura se cierra. TOPOLOGÍA: $T^2=S^1\times S^1$; el anillo K½ es un S^1, el eje cerrado (K_0→K_max→nexo) es el otro S^1, su producto es el TOROIDE. La secuencia CONSTRUYE T^2 —no es metáfora sobre el toroide supuesto, es su génesis. El marco es tórico PORQUE nace del anillo que proyecta vectores y cierra en el**

nexo. UNE: anillo=K½ complejo (§20.18.7), eje=holográfico+escalera (§F.14), toroide=topología del marco con nexo $K_0=K_{max}$ (§18.5). Precisa §20.18.4: K½ anillo es un círculo sobre T^2, no un punto; antípoda del nexo = los dos lugares distinguidos (anillo originario y cierre). HONESTIDAD: imagen geométrica del origen (génesis ontológica), coherente con T^2 ($\chi=0$) y K½ complejo; NO derivación rigurosa de T^2 desde axiomas, pero génesis coherente de por qué el marco es tórico.

20.18.10 Por qué φ reaparece en el despliegue: la espiral óptima del toroide

Una vez que el origen se ha desplegado en el toroide (§20.18.9), cabe preguntar por qué la razón áurea reaparece en esa geometría ya formada, y no solo en la lógica abstracta del origen (§20.18.6). La respuesta es que φ es la razón que hace óptima la espiral del marco sobre el toroide, y que esa optimalidad es la misma propiedad —la máxima irracionalidad— por la que el origen exige φ. El despliegue geométrico y el origen ontológico coinciden en pedir φ, cada uno en su lenguaje.

El eje, que nace como la proyección de los vectores del anillo, no avanza recto sino girando sobre el cuerpo del toroide: traza una espiral, un devanado. La pregunta geométrica es con qué razón debe avanzar esa espiral. Aquí la teoría de los devanados sobre el toro es precisa. Si la razón entre las dos frecuencias del devanado —la del meridiano y la del recorrido largo— es racional, p/q, la espiral se cierra sobre sí misma tras un número finito de vueltas y deja la mayor parte del toroide vacía, en una órbita periódica. Si la razón es irracional, la espiral nunca se cierra y llena el toroide de manera densa. Y entre todas las razones irracionales, la áurea es la que llena el toroide de la forma más uniforme: por ser el número más difícil de aproximar por racionales (el teorema de Hurwitz, la fracción continua [1;1,1,1,…] de §F.13), es la que más tarda en acercarse a cualquier cierre periódico, la que evita las resonancias durante más tiempo. La espiral áurea es la que cubre el toroide sin dejar huecos ni solaparse, y su ángulo característico es el áureo:

$$\text{ángulo áureo} = 2\pi/\varphi^2 \approx 137.5^\circ$$ *(el de mínimo solapamiento, el de la filotaxis)*

Este es el mismo ángulo áureo y la misma espiral que el marco emplea en su descripción del retículo. Lo que esta lectura añade es la razón de por qué esa espiral tiene razón φ: porque φ es la que hace el devanado óptimo, el que llena el toroide generado por el origen de la manera más uniforme posible. La razón áurea no se impone sobre el toroide desde fuera; reaparece como la condición de óptimo llenado de la figura que el origen despliega.

Lo más significativo es que esta es la misma propiedad de φ por la que el origen lo exige, ahora vista geométricamente. En el origen (§20.18.6), φ surge de la auto-similaridad del bucle: la razón que se reproduce a sí misma sin resto. En el despliegue, φ surge de la espiral que evita resonar consigo misma al llenar el toroide. Auto-similaridad sin resto y llenado sin resonancia son la misma propiedad —la máxima irracionalidad de φ— en dos planos: el lógico del bucle que se reproduce y el geométrico de la espiral que se distribuye. Por eso φ reaparece en el despliegue: no por una razón nueva, sino porque la misma irracionalidad que lo hace el origen lo hace también la espiral óptima. El origen

y su geometría coinciden en φ porque φ es, en ambos, lo que no resuena, lo que no se repite, lo que se distribuye uniformemente.

La honestidad sobre el alcance es doble y precisa. Primero: la geometría del toroide no fuerza φ por mera consistencia. Cualquier razón irracional llena el toroide de manera densa; φ es la que lo hace de manera óptima —la más uniforme— bajo un criterio de máxima uniformidad y mínima resonancia. φ es aquí el mejor, no el único: si se pide el llenado más uniforme, φ se sigue; si solo se pide que la espiral llene el toroide, basta cualquier irracional. La necesidad de φ depende del criterio de optimalidad, que es razonable pero no forzoso. Segundo: esta no es una segunda derivación de φ independiente de la del origen, sino la misma propiedad —la máxima irracionalidad— manifestada en la geometría. No añade una evidencia nueva a favor de φ; muestra que la razón por la que el origen exige φ es la misma que la geometría del despliegue prefiere. Es coherencia entre el origen y su despliegue, no una confirmación adicional. Con esa salvedad, el resultado es claro: φ reaparece en el toroide porque la geometría del despliegue prefiere, como óptima, la misma irracionalidad máxima que el origen exige como necesaria.

> **Por qué φ reaparece en el despliegue (v13.2): φ es la razón que hace ÓPTIMA la espiral del marco sobre el toroide, y esa optimalidad es la MISMA máxima irracionalidad por la que el origen exige φ (§20.18.6). GEOMETRÍA: el eje (proyección de los vectores del anillo, §20.18.9) avanza girando sobre el toroide = espiral/devanado. Teoría de devanados: razón racional p/q → órbita periódica (cierra, deja huecos); razón irracional → llena densamente; φ (la más irracional, Hurwitz, [1;1,1,1…]) → llenado MÁS uniforme (evita resonancias el mayor tiempo), ángulo áureo 2π/φ²≈137.5° (filotaxis, mínimo solapamiento). Es la MISMA espiral áurea que el marco ya usa; lo que añade es POR QUÉ tiene razón φ: es el devanado óptimo del toroide del origen. CONVERGENCIA con §20.18.6: en el origen, φ = auto-similaridad del bucle (se reproduce sin resto); en el despliegue, φ = espiral sin resonancia (se distribuye sin repetir). Misma propiedad (máxima irracionalidad) en dos planos —lógico y geométrico. Origen y geometría coinciden en φ porque φ es, en ambos, lo que no resuena. HONESTIDAD doble: (1) la geometría NO fuerza φ por consistencia — cualquier irracional llena densamente; φ es ÓPTIMO bajo criterio de uniformidad, no único; depende del criterio (razonable, no forzoso); (2) NO es derivación independiente —es la misma máxima irracionalidad vista geométricamente, NO evidencia nueva; es coherencia origen-despliegue, no confirmación adicional.**

La incorporación de esta génesis geométrica —el anillo, su despliegue en el toroide y la reaparición de φ como espiral óptima— se ha verificado coherente con todos los sectores del marco. En los grupos gauge, el anillo es la realización geométrica de la fase compleja de K½, que es el mismo $\mathbb{Z}_6$ por el que se cocienta el grupo del Modelo Estándar (§23.10), de modo que la génesis refuerza esa conexión en lugar de tensarla. En el Lagrangiano maestro, que vive sobre el toroide ya formado, la génesis no altera los términos sino que funda el escenario sobre el que se escriben, y el carácter complejo del campo Φ se lee como la potencialidad del anillo (§20.18.8). En el Hamiltoniano, la escalera de masas φ^(−2n) es la espiral áurea del eje, de modo que la φ del devanado

óptimo y la φ del espectro son la misma, actuando en las dos dimensiones del toroide. En la gravedad, el eje que la génesis funda como proyección de los vectores del anillo es la dirección holográfica (§F.14) a lo largo de la cual la gravedad emerge, y el gravitón sin masa es el modo cero de ese eje. Y en la energía oscura, el polo K_max hacia el que el universo deriva es uno de los extremos que los vectores del anillo crean, de modo que la tracción hacia la energía oscura tiene su origen en la misma génesis. La cadena del origen, en suma, no solo es internamente coherente sino que afianza los sectores físicos del marco sin modificar ninguno de sus resultados numéricos.

20.18.11 La fibración como convergencia de los vectores: los dos retículos unificados

La génesis geométrica ofrece, por último, una lectura de qué es la fibración del marco —la estructura por la que el toroide es un haz de fibras sobre una base (§23)— y la conecta con los dos retículos (§18.7) en una sola imagen. La fibración es la convergencia de los vectores que el anillo proyecta: los dos retículos son los dos haces de esos vectores, y la fibra es el lugar donde convergen. Lo que el marco tenía como dos estructuras separadas —la arquitectura de dos retículos y la fibración sobre el triángulo de los colores— se revela como dos aspectos de un mismo hecho geométrico.

Los vectores que el anillo proyecta van en dos direcciones opuestas (§20.18.9), y esas dos direcciones son precisamente los dos retículos. Los vectores que se dirigen hacia K_0 trazan el retículo áureo, φ^(−n), el que tira hacia el olvido y la gravedad; los que se dirigen hacia K_max trazan el retículo inverso, φ^(+n), el que tira hacia la plenitud y la expansión (§18.7). Los dos retículos no son dos cosas independientes que coexistan, sino los dos haces de vectores que el único anillo proyecta en sentidos contrarios. Y como los dos polos se identifican en el nexo, los dos haces convergen: el vector áureo y el vector inverso que parten de un mismo punto del anillo terminan reunidos en el nexo, recorriendo el toroide en sentidos opuestos hasta encontrarse.

Esa convergencia es la fibración. Una fibración es una proyección en la que cada punto de una base tiene encima una fibra, y aquí la fibra es el conjunto de vectores —áureo e inverso— que conectan un punto del anillo con su reunión en el nexo. La estructura fibrada del toroide no es algo impuesto sobre él: es el patrón según el cual los dos haces de vectores convergen. Así como el toroide mismo emergió del anillo y sus vectores (§20.18.9), su fibración emerge de cómo esos vectores se reúnen. La fibra es la huella de la convergencia.

Queda por identificar la base de esa fibración, y aquí la lectura se reconcilia con lo que el marco ya establecía. El marco describe a CP^2 como el toro fibrado sobre el triángulo de los tres colores (§23), de modo que la base es el triángulo, la estructura $\mathbb{Z}_3$ del color. Esto es compatible con que la fibración nazca del anillo, porque el anillo lleva la fase del origen, e^(iπ/3), que es una raíz sexta de la unidad ligada a $\mathbb{Z}_6$, y $\mathbb{Z}_6$ se descompone en $\mathbb{Z}_2$ por $\mathbb{Z}_3$ (§23.10). El triángulo de los tres colores es exactamente la parte $\mathbb{Z}_3$ de la fase del anillo: su sombra de color. La fibración sobre el triángulo y la convergencia de los vectores del anillo son, por tanto, la misma estructura vista en dos niveles —el anillo proyecta y reúne sus vectores, y la parte de color de ese proceso es la fibración de CP^2 sobre el triángulo $\mathbb{Z}_3$.

dos retículos (haces de vectores áureo + inverso) → convergen en el nexo → la convergencia es la fibración; base de color = triángulo $\mathbb{Z}_3$, sombra del anillo $\mathbb{Z}_6$

Esta lectura unifica dos partes del marco que estaban separadas. Los dos retículos (§18.7) y la fibración (§23) dejan de ser estructuras distintas: los retículos son los dos haces de vectores, y la fibración es su convergencia. La arquitectura de dos retículos apilados en tres pares —que el marco asocia a las tres generaciones (§18.7)— y la fibración de CP^2 sobre el triángulo de los tres colores se ven ahora como el mismo objeto contemplado desde dos lados: el de la escala (los retículos áureo e inverso que ascienden y descienden) y el del color (la fibra que se proyecta sobre el triángulo). Continúa así la génesis iniciada con el anillo: el anillo dio el toroide (§20.18.9), su devanado óptimo dio la razón áurea (§20.18.10), y la convergencia de sus vectores da la fibración. La estructura entera del marco se despliega desde el anillo del origen.

La honestidad sobre el alcance, como en toda la cadena del origen: esta es una interpretación geométrica que conecta estructuras ya presentes en el marco —los dos retículos y la fibración—, no una derivación rigurosa de la fibración de CP^2. La fibración de CP^2 tiene su propia construcción matemática precisa (el haz tautológico, la fibración de Hopf generalizada), que esta lectura no reemplaza. Lo que ofrece es una imagen coherente de por qué el marco es fibrado —porque los vectores del anillo convergen— y una unificación de los dos retículos con esa fibración. Es coherencia y unificación entre piezas existentes, no un teorema nuevo sobre CP^2. Con esa salvedad, la imagen es clara y económica: una sola estructura, el anillo y sus vectores, da el toroide, su razón áurea, y su fibración, y los dos retículos no son sino los dos haces de esos vectores.

La fibración como convergencia de los vectores (v13.3): unifica los dos retículos (§18.7) con la fibración (§23). Los vectores que el anillo proyecta (§20.18.9) en dos direcciones SON los dos retículos: hacia K_0 = áureo φ^(−n) (gravedad/olvido); hacia K_max = inverso φ^(+n) (expansión/plenitud). NO son dos cosas independientes sino los dos haces del único anillo en sentidos opuestos. Como K_0=K_max en el nexo, los dos haces CONVERGEN allí. Esa convergencia ES la fibración: la fibra = conjunto de vectores (áureo+inverso) que conectan un punto del anillo con su reunión en el nexo. La estructura fibrada no se impone: emerge de cómo convergen los vectores (igual que el toroide emergió de anillo+vectores, §20.18.9). BASE de color = el triángulo $\mathbb{Z}_3$ (CP^2 fibrado sobre el triángulo, §23), que es la parte $\mathbb{Z}_3$ de la fase del anillo e^(iπ/3) ($\mathbb{Z}_6=\mathbb{Z}_2\times\mathbb{Z}_3$, §23.10): el triángulo es la sombra de color del anillo. UNIFICA: los dos retículos = los dos haces; la fibración = su convergencia; los 3 pares apilados (3 generaciones) y la fibración sobre los 3 colores = el mismo objeto desde la escala y desde el color. Continúa la génesis: anillo→toroide (§20.18.9), devanado→φ (§20.18.10), convergencia→fibración. HONESTIDAD: interpretación geométrica que CONECTA estructuras existentes, NO derivación de la fibración de CP^2 (que tiene su construcción propia: haz tautológico, Hopf); coherencia y unificación, no teorema nuevo.

20.18.12 La dualidad de los dos retículos: la consistencia mutua, no la dinámica

Los dos retículos admiten una relación más precisa que la de ser los dos haces de vectores del anillo (§20.18.11): son duales entre sí, en un sentido algebraico exacto. Esta sección establece ese hecho, presenta la imagen interpretativa que lo acompaña —la de dos estructuras que se constituyen mutuamente—, y delimita con cuidado lo que la dualidad sí aporta (la consistencia mutua de los dos retículos) frente a lo que no aporta (la dinámica temporal). La distinción es importante, porque la imagen sugiere más de lo que la matemática sostiene, y conviene separar ambas cosas.

El hecho matemático es una dualidad exacta. El retículo áureo ordena longitudes que crecen, l_n = l_P·φ^(2n), y el retículo inverso ordena energías que decrecen, E_n = E_P·φ^(-2n). Su producto es constante para toda capa:

$$l_n \cdot E_n = l_P \cdot E_P = \hbar c \quad \textit{(constante, para todo n)}$$

La constancia es exacta porque las dependencias en φ se cancelan: φ^(2n)·φ^(-2n) = 1, y el prefactor l_P·E_P es ħc por la definición de las unidades de Planck (l_P = ħ/m_P·c y E_P = m_P·c² dan l_P·E_P = ħc). Esta es la relación de dualidad posición-momento en su forma holográfica: cada longitud del retículo áureo tiene como dual una energía del retículo inverso, con producto fijo ħc. Los dos retículos no son, por tanto, dos estructuras independientes que coexisten, sino una pareja dual: dado uno de los dos, el otro queda completamente determinado por la condición l·E = ħc. En este sentido preciso se constituyen mutuamente —cada uno es el espacio dual del otro.

La imagen interpretativa que acompaña a este hecho es la de dos estructuras que se sueñan mutuamente: cada retículo, podría decirse, sostiene al otro al ser su dual, de modo que ninguno es primario y ninguno es derivado, sino que ambos se determinan en un mismo acto de consistencia recíproca. Es una imagen evocadora de la mutua constitución, y pertenece —como toda la cadena del origen K₀/K½ (§20.18.5)— a la capa interpretativa del marco, no a su contenido falsable. Debe leerse como lenguaje para la dualidad, no como un mecanismo físico literal: lo que hay, despojado de la imagen, es la relación dual l·E = ħc, exacta y verificable; el resto es interpretación.

Lo que la dualidad aporta es la consistencia mutua de los dos retículos, y esto se conecta con tres partes del marco que resultan ser la misma estructura vista desde ángulos distintos. La relación l_n·E_n = ħc es, para un modo en reposo donde E_n = m_n·c², exactamente la longitud de Compton l_n = ħ/(m_n·c) de la escalera de masas —la misma con la que se obtiene el espesor de las capas (§0.5). Es también la estructura holográfica E_n·z_n = m_P (§F.14), con la coordenada holográfica z_n identificada con la longitud l_n: la dualidad es la holografía del marco contemplada como relación entre los dos retículos. Y es compatible con la fibración (§20.18.11): los dos retículos convergen geométricamente como los dos haces del anillo, y además son duales algebraicamente, de modo que la dualidad añade una relación algebraica a la geométrica sin tensionarla. La dualidad unifica así la escalera de Compton, la holografía y la arquitectura de dos retículos bajo una sola relación.

Lo que la dualidad NO aporta —y es esencial decirlo con la honestidad que el marco ha adoptado— es la dinámica. La relación l·E = ħc es estática: vincula las escalas de los dos retículos, no su evolución en el tiempo. La

dinámica del marco —la relación de dispersión $\hat{E}^2 = p^2c^2 + M^2c^4$, la evolución de los estados— no emerge de la dualidad ni se modifica por ella; es una estructura aparte, que la dualidad respeta pero no genera. La tentación de decir que «de la consistencia mutua de los dos retículos sale la dinámica» es comprensible pero infundada: una relación entre escalas no produce, por sí sola, el cambio temporal. La dualidad da la consistencia recíproca de las dos escaleras, no el motor de su evolución. Marcar esta frontera es lo que distingue un resultado —la dualidad exacta $l \cdot E = \hbar c$— de una extrapolación no sostenida —que de ahí surja la dinámica.

El efecto de la dualidad sobre la dinámica total del documento es, por tanto, de refuerzo por consistencia, no de alteración. No cambia ningún resultado numérico —el espectro de masas y las constantes permanecen idénticos—, no modifica la relación de dispersión ni la evolución, y no introduce dinámica nueva. Lo que hace es mostrar que tres estructuras que el marco ya tenía —la escalera de Compton (§0.5), la holografía (§F.14) y los dos retículos (§20.18.11)— son una sola dualidad $l \cdot E = \hbar c$ vista de tres maneras, lo que aumenta la coherencia interna del marco sin añadir ni quitar contenido dinámico. La dualidad es una relación de consistencia estática entre los dos retículos, exacta y unificadora, que deja la dinámica del marco exactamente donde estaba.

> **La dualidad de los dos retículos (v14.1): los dos retículos son DUALES exactos. HECHO matemático: áureo l_n=l_P·φ^(2n) (longitudes ↑), inverso E_n=E_P·φ^(-2n) (energías ↓); producto l_n·E_n = l_P·E_P = ħc CONSTANTE para todo n (φ^(2n)·φ^(-2n)=1; l_P·E_P=ħc por def. de Planck). Es la dualidad posición-momento en forma holográfica: dado un retículo, el otro queda fijado por l·E=ħc; se constituyen mutuamente (cada uno es el dual del otro). IMAGEN interpretativa: 'dos soñadores que se sueñan mutuamente' —mutua constitución, ninguno primario; capa interpretativa (como K₀/K½ §20.18.5), NO mecanismo literal. Lo que la dualidad SÍ aporta: CONSISTENCIA mutua, y unifica TRES sectores que son la misma estructura — Compton l_n=ħ/(m_n c) (§0.5), holografía E_n·z_n=m_P con z_n=l_n (§F.14), fibración (§20.18.11, compatible: convergen geométricamente Y son duales algebraicamente). Lo que NO aporta: la DINÁMICA. l·E=ħc es ESTÁTICA (relaciona escalas, no tiempos); la dispersión Ê²=p²c²+M²c⁴ y la evolución NO emergen de ella ni se modifican. 'De la consistencia mutua sale la dinámica' es INFUNDADO —relación entre escalas no produce cambio temporal. IMPACTO en la dinámica total: REFUERZO por consistencia, NO alteración —no cambia números, ni dispersión, ni evolución; muestra que Compton+holografía+dos retículos son una dualidad l·E=ħc vista de 3 modos. Núcleo intacto. Dualidad estática unificadora; deja la dinámica donde estaba.**

Conviene dejar constancia explícita, por la importancia de la cuestión, de que esta dualidad no modifica ninguno de los tres pilares formales del marco —el Lagrangiano maestro, el operador de dispersión y los grupos gauge—, según se ha verificado pilar por pilar. El Lagrangiano maestro (§20.10) no se altera: la dualidad es una propiedad de las escalas del espectro —la relación entre la longitud y la energía de cada capa— y no un término de la acción, de modo que

no añade ni cambia ningún término del Lagrangiano. El operador de dispersión $\hat{E}^2 = p^2c^2 + M^2c^4$ (§2.8) tampoco se modifica: la dualidad relaciona la longitud y la energía de capas distintas (a través del índice n), mientras que la dispersión relaciona energía y momento dentro de un mismo modo (a n fijo), de modo que operan sobre ejes distintos; y son consistentes, pues para un modo en reposo la dualidad reproduce exactamente la longitud de Compton $l_n = \hbar/(m_n \cdot c)$ que el marco ya empleaba (§0.5). Los grupos gauge $(SU(3)\times SU(2)\times U(1))/\mathbb{Z}_6$ no se ven afectados: provienen de la estructura del espacio interno —CP^2 para el color, la estructura spin-c para la hipercarga, las capas para el isospín, la fase del anillo para el cociente $\mathbb{Z}_6$—, mientras que la dualidad actúa en el eje de escalas, que es un factor distinto del espacio total; la relación entre longitud y energía no toca el espacio interno del que salen los grupos. La dualidad es, por tanto, ortogonal a los tres pilares: no es un término del Lagrangiano, es consistente con el operador de dispersión sin modificarlo, y no interviene en el espacio interno de los grupos. Su efecto se limita a unificar, por consistencia, la escalera de Compton, la holografía y la arquitectura de dos retículos, dejando intacta toda la maquinaria dinámica y de gauge del marco.

20.18.13 Conexión con el resto del marco

Esta formulación conecta tres piezas del marco de forma operativa. Con §2.5 (el peso como dominancia): los dos potenciales V_{K_0} y V_Λ son la balanza de dominancia escrita como términos del Lagrangiano —la masa como cociente $\varphi^{(-n)}/\varphi^{(+n)}$ aparece aquí como la competencia de las dos tracciones. Con §24.10 (las dos fuerzas geométricas): V_{K_0} es la tracción de la gravedad/tensión de retorno hacia K_0, y V_Λ es la tracción de la expansión/quinta fuerza hacia K_{max} —las dos fuerzas del eje, ahora como potenciales en el Lagrangiano del toroide. Y con §20.16 (el Lagrangiano maestro): esta es su restricción al toroide, con el sector escalar y los potenciales de dominancia explícitos. El único parámetro libre dimensional es v; φ, n_U, ε y θ_{T^2} quedan fijados por la geometría.

Y con §18.7 (la arquitectura del toroide): los dos potenciales V_{K_0} y V_Λ son, precisamente, los dos retículos —el áureo y el inverso— escritos como términos dinámicos. $V_{K_0} \propto \varphi^{(-2n)}$ es el retículo áureo (la tracción hacia K_0), y $V_\Lambda \propto \varphi^{(+2n)}$ es el inverso (la tracción hacia K_{max}). El apilamiento de los dos retículos en tres pares (§18.7) es, en el lenguaje del Lagrangiano, la competencia de estos dos potenciales modulada por el término de cadena, cuyos mínimos —los tres pares— son las tres generaciones. Lagrangiano y arquitectura describen la misma estructura: los dos potenciales son los dos retículos, y sus mínimos apilados son las generaciones.

Formulación explícita en T^2 (v11.6): el Lagrangiano del toroide $\mathcal{L}_{T^2}$ escribe el balance K_0/K_{max} como dos potenciales en competencia — $V_{K_0}(n)=M_0c^2\varphi^{(-2n)}$ (hacia K_0, gravedad) y $V_\Lambda(n)=(3\hbar c/l_{P^2})\varphi^{(-2(n_U-n))}$ (hacia K_{max}, energía oscura)—, que son las dos amplitudes de la dominancia de §2.5 escritas como términos físicos. El Hamiltoniano $\hat{H}=\Pi_{\theta^2}/(2r^2)+\Pi_{n^2}/(2R^2)+V_{eff}$ tiene por mínimos los nodos estables, vía $dV_{eff}/dn=0$. PRECISIÓN honesta: el balance puro $V_{K_0}=V_\Lambda$ da el centro (n≈146), no las partículas; son el término de cadena áurea $\varphi^2(1+\varepsilon)$ y el balance JUNTOS los que seleccionan los 13 nodos —el balance da la escala, la

cadena da los nodos. Conecta §2.5 (dominancia), §24.10 (las dos fuerzas geométricas como V_{K_0} y V_Λ) y §20.16 (Lagrangiano maestro restringido al toroide). Único parámetro libre dimensional: v; φ, n_U, ε, $\theta_{T^2}=\sqrt{e}$ fijados por geometría. Reproduce las 13 masas de §A.1.

20.18.14 El intervalo abierto: lo que llega a ser, lo que se aproxima y lo que nunca llega

Las distintas piezas interpretativas del origen —la indeterminación de $K_{½}$, el hecho de que el vacío no sea un estado de la teoría, la inalcanzabilidad de K_{max}— admiten una lectura unificada que conviene exponer, porque ordena bajo una sola imagen lo que de otro modo aparece disperso. Esta lectura es interpretación ontológica, en el mismo plano que el resto de la cadena del origen (§20.18.5): no es física falsable ni un resultado matemático nuevo, sino una manera coherente de leer la estructura que el marco ya tiene. Su valor es de claridad conceptual. La idea central es que la realidad del marco habita un intervalo abierto: vive entre dos límites que nunca se alcanzan, y solo en un eje distinto del olvido encuentra un borde que algo llega a tocar.

Los dos ejes

Conviene distinguir dos ejes que no deben confundirse. El primero es el eje del olvido, que va de la memoria total a su disolución: en un extremo K_0, la memoria total, y en el otro K_{max}, el olvido total. El segundo es el eje de la velocidad, que va del reposo a la velocidad de la luz. La estructura ontológica del marco se vuelve clara cuando se observa que ambos ejes se comportan de manera opuesta respecto a sus bordes: en el eje del olvido, nada alcanza los extremos —la realidad es un intervalo estrictamente abierto—, mientras que en el eje de la velocidad hay un borde, la velocidad c, que la luz sí alcanza.

Lo que nunca llega a ser: los límites del eje del olvido

Ninguno de los extremos del eje del olvido se actualiza, y esto no es accidental sino estructural. La memoria total, K_0, no llega a ser un estado: si lo fuera, sería un punto congelado sin olvido ni tiempo, no un mundo —la memoria completa, sin pérdida, sería rigidez absoluta, no realidad. El olvido total, K_{max}, es inalcanzable por la finitud del retículo: como el número de peldaños es finito (del orden de $n_U \approx 292$) y alcanzar K_{max} requeriría infinitos olvidos, el olvido total es un límite asintótico, nunca un estado alcanzado (es la lectura de la tercera ley, §D.0.4). El origen real, $K_{½}$, es indeterminado por necesidad lógica: no puede definirse sin dejar de ser origen (§20.18.8), de modo que es potencialidad pura que no se actualiza. Y el vacío como estado, $|\varnothing\rangle$, no pertenece al espacio de Hilbert de la teoría: está en el límite pero no es un estado del marco. Todos estos —K_0, K_{max}, $K_{½}$, el vacío, y con ellos el cero absoluto de temperatura— comparten la misma condición: son límites que orientan la estructura pero que nunca se habitan. La memoria que nunca llega a ser y el olvido que nunca se completa son los dos bordes asintóticos entre los cuales transcurre todo lo que existe.

Lo que llega a ser: la luz en el eje de la velocidad

Hay, sin embargo, un borde que algo sí alcanza, y es la única excepción del esquema. La luz —el fotón, el caso de masa nula y confinamiento nulo, $\varepsilon = 0$ — satura el extremo del eje de la velocidad: se mueve exactamente a c. Conviene ser preciso sobre qué borde toca y cuál no, porque es fácil

confundirlos. La luz no es un extremo del eje del olvido: no es la memoria total, pues no retiene masa alguna, pero tampoco es el olvido total, pues existe, se propaga y porta energía ($E = \hbar\omega$) y momento, mientras que K_{max} sería ausencia de toda estructura. La luz, en el eje del olvido, está dentro del intervalo abierto, como todo lo demás. Lo que la distingue es que satura el otro eje, el de la velocidad. Y la razón es transparente en el lenguaje del marco: la luz se mueve a la velocidad máxima precisamente porque no retiene memoria —no hay masa que la frene—, de modo que c es la velocidad de aquello que no retiene nada. El documento describe al fotón como entrecapa, lo que adquiere aquí su sentido pleno: la luz no habita un peldaño, no tiene masa de capa; se mueve entre los peldaños, conectándolos. No es un extremo en reposo, sino el agente en movimiento perpetuo que comunica las capas sin quedarse en ninguna. Llega a ser en el eje de la velocidad —toca c— sin ser nunca un extremo del olvido.

Lo que está próximo a ser: la aproximación asintótica

Entre los límites que nunca se alcanzan y el único borde que la luz satura, está todo lo demás, que se aproxima sin tocar. La materia masiva se aproxima a la velocidad de la luz sin alcanzarla jamás: todo modo con masa tiene velocidad de grupo menor que c, tanto más próxima a c cuanta más energía porta, pero nunca igual. En el eje del olvido, las partículas reales ocupan posiciones intermedias: el quark top, en la capa menos olvidada del espectro (índice cercano a 40.3), es lo más próximo a la memoria total que el mundo realiza, sin alcanzar K_0; el electrón, mucho más olvidado (índice cercano a 53.5), está más abajo en la escalera. Las capas más altas se aproximan a K_{max} sin alcanzarlo. Y la entropía informacional del universo observable converge a un valor finito (en torno a 1.0760, §12), aproximándose a su límite sin saturarlo. Todo lo que tiene masa está, en este sentido, doblemente próximo: próximo a c en el eje de la velocidad, e interior al intervalo entre los extremos del olvido. La aproximación asintótica —acercarse indefinidamente sin llegar— es la condición de la materia, frente al alcanzar de la luz y el nunca llegar de los límites.

La imagen unificada

El esquema completo es, entonces, de una simetría reveladora. En el eje del olvido, los dos extremos —memoria total y olvido total— son límites que nunca se actualizan, y toda la realidad, materia y luz por igual, transcurre en el intervalo abierto entre ellos. En el eje de la velocidad, hay un único borde que se realiza, y lo realiza solo la luz, precisamente por no retener. La materia se aproxima a la velocidad de la luz sin tocarla y vive entre los extremos del olvido sin alcanzarlos; la luz toca el borde de la velocidad y conecta las capas sin retener; los extremos del olvido orientan todo el proceso sin habitarse nunca. Lo más radical del marco no es, así, una memoria que se olvida —lo que supondría que la memoria fue completa primero—, sino dos incompletitudes en tensión: una memoria que nunca llega a ser plenamente y un olvido que nunca se completa, entre las cuales la realidad existe como lo que se aproxima pero no llega, salvo la luz, que llega a un solo borde porque ha renunciado a toda memoria. Esta es una lectura ontológica del marco, ofrecida por su coherencia y no como afirmación falsable; pero tiene la virtud de reunir bajo una sola imagen —el intervalo abierto y sus dos ejes— resultados que el marco estableció por separado.

El intervalo abierto (v14.8): lectura ontológica unificada (interpretación, NO física falsable, NO resultado nuevo; plano de §20.18.5). DOS EJES distintos. EJE DE OLVIDO (memoria↔olvido): NADA alcanza los extremos, realidad = intervalo ABIERTO. EJE DE VELOCIDAD (reposo↔c): hay un borde que la luz SÍ toca. LO QUE NUNCA LLEGA A SER (límites del eje de olvido): K₀ (memoria total —sería punto congelado sin tiempo), K_max (olvido total —inalcanzable, n_U≈292 finito, 3ª ley §D.0.4), K½ (indeterminado por necesidad §20.18.8), |∅⟩ (∉ℋ), T=0. Todos orientan, ninguno se habita. LO QUE LLEGA A SER (eje de velocidad): la LUZ (M=0, ε=0) satura v=c —ÚNICO borde realizado. NO es extremo del olvido (tiene E=ħω, no es K_max; no retiene, no es K₀); está DENTRO del intervalo del olvido. c = velocidad del que no retiene. Fotón 'entrecapa': no habita peldaño, conecta capas sin retener. LO QUE ESTÁ PRÓXIMO A SER (asintótico): materia masiva (v→c nunca c), top quark (n≈40.3, lo más próximo a memoria, sin K₀), electrón (n≈53.5), capas altas (→K_max), S_info→1.0760 (§12). Materia doblemente próxima: a c y entre extremos del olvido. IMAGEN: lo más radical NO es 'memoria que se olvida' (supondría memoria completa primero) sino DOS incompletitudes en tensión —memoria que nunca llega a ser y olvido que nunca se completa—, entre las cuales existe lo que se aproxima sin llegar; salvo la luz, que llega a UN borde por renunciar a toda memoria. Unifica K½ + |∅⟩∉ℋ + K_max inalcanzable + papel del fotón bajo una imagen.

Conviene dejar constancia explícita, como se hizo con la dualidad de los retículos (§20.18.12), de que esta lectura ontológica no afecta ninguna parte del formalismo del marco, según se ha verificado pilar por pilar. No introduce ningún término en el Lagrangiano maestro (§20.10), que no menciona ni modifica. No altera el operador de dispersión $\hat{E}^2 = p^2c^2 + M^2c^4$ (§2.8): al contrario, es consistente con él, pues que la luz sature la velocidad c y la materia se aproxime a ella sin alcanzarla son consecuencias directas de $\hat{E}^2$ con M = 0 y M mayor que cero respectivamente (§1.7.1), que la sección interpreta pero no modifica. No toca los grupos gauge, que viven en el espacio interno (CP^2, estructura spin-c) ajeno a los ejes de olvido y velocidad de los que habla la sección. No modifica la gravedad emergente, que procede de la identidad de Jacobson δQ = TδS (§D.1), con la que la inalcanzabilidad de K_max es plenamente coherente. Y no cambia ningún valor numérico: el espectro de masas, $\sin^2\theta_W = \varphi^{-3}$ y los índices de las capas permanecen idénticos. La sección es enteramente interpretativa —reúne y clasifica resultados que el marco ya estableció bajo la imagen del intervalo abierto y los dos ejes— y, por tanto, es ortogonal a toda la maquinaria matemática del marco, que deja exactamente donde estaba. Su aporte es de coherencia conceptual, no de contenido formal.

20.18.15 El retículo inverso como potencial no formado

La dualidad de los dos retículos (§20.18.12) —el directo, de energías m_P·φ^(−2n), y el inverso, de longitudes l_P·φ^(2n), ligados por l_n·E_n = ħc— admite una lectura interpretativa que conviene hacer explícita, porque conecta de modo natural con la imagen del intervalo abierto (§20.18.14). La lectura es la siguiente: el retículo directo es lo que se actualizó —las masas que

efectivamente se formaron, la materia—, mientras que el retículo inverso es lo complementario, el potencial que no se formó. No es una segunda sustancia añadida, sino el dual estructural de lo realizado: lo que pudo actualizarse en cada capa y no lo hizo, quedando como potencial. Esta lectura da cuerpo concreto a algo que el marco ya afirma de forma abstracta —que hay potencial que nunca se actualiza (§20.18.14)—: el retículo inverso es la encarnación estructural de ese potencial no formado, no un límite abstracto sino el dual preciso de lo que sí tomó forma. Conviene subrayar, como en toda esta capa, que se trata de una interpretación ofrecida por su coherencia, no de un nuevo elemento del formalismo ni de una predicción.

Esta lectura sugiere a su vez una imagen de la oposición entre la gravedad y la energía oscura, que conecta con la quinta interacción del marco (§24.10). Conviene formularla con cuidado para no invertir la flecha del marco, que va siempre del origen K_0 hacia el borde K_max, de forma irreversible. La gravedad, en esta imagen, es la tendencia que comprime: concentra la materia hacia estados de alta retención —densos—, formando estructura local (estrellas, galaxias). La energía oscura, identificada con la tensión hacia K_max de la quinta interacción, es la tendencia que dispersa: empuja hacia estados de baja retención, hacia el olvido. Estas dos tendencias coexisten sin que ninguna invierta la dirección global del tiempo: el olvido del conjunto avanza hacia K_max, y dentro de esa deriva la gravedad crea bolsones de compresión local. La flecha global se mantiene, y la gravedad opera como una concentración local dentro de ella, no como un retorno al origen.

El valor de esta imagen está en el equilibrio. El marco ya establece (§24.10) que sin la tensión hacia K_max el sistema recolapsaría hacia el origen, y que esa tensión es lo que impide el colapso. La lectura de los dos retículos expresa esto como un equilibrio entre dos tendencias opuestas: si solo actuara la gravedad, el sistema se concentraría sin freno hacia estados cada vez más densos; si solo actuara la energía oscura, se dispersaría hacia el olvido total, hacia K_max; con ambas en tensión, el sistema persiste en el intervalo abierto entre los extremos, sin tocar ninguno —ni el colapso denso ni la dispersión total. Es la misma estructura del intervalo abierto (§20.18.14) vista en clave dinámica: así como nada alcanza los extremos del eje del olvido, el equilibrio de las dos tendencias mantiene la realidad habitando el intervalo, sostenida precisamente por la oposición. El retículo inverso, como potencial no formado, es el reservorio del que esa tendencia dispersiva se nutre, el complemento de lo actualizado que mantiene viva la tensión.

Es importante delimitar el alcance de esta interpretación, en coherencia con el resto del marco. Es una lectura, no una derivación: no añade ecuaciones, no predice valores nuevos, y no debe usarse para derivar los grupos gauge —los grupos provienen de la geometría interna (S^3, CP^2), no del apilado de retículos, según se establece en los axiomas (§20.19). El aporte es de coherencia conceptual: muestra que el retículo inverso, que existe como dual matemático exacto (§20.18.12), admite un sentido físico —el potencial no formado— que se enlaza con la oposición gravedad/energía oscura ya presente en el marco (§24.10) y con la imagen del intervalo abierto (§20.18.14). Tres piezas que el marco tenía por separado —la dualidad de retículos, la quinta interacción, y el potencial no actualizado— se reúnen bajo una sola lectura, sin que ninguna deje de ser lo que era.

El retículo inverso como potencial no formado (v15.5): INTERPRETACIÓN coherente (no derivación, no predicción, no formalismo nuevo). El retículo inverso (dual l·E=ħc, §20.18.12) = lo que NO se formó, el potencial no actualizado —complemento estructural de lo realizado (las masas/materia del retículo directo). Da cuerpo concreto al potencial no actualizado del intervalo abierto (§20.18.14): no un límite abstracto, sino el dual preciso de lo formado. OPOSICIÓN gravedad/energía oscura (conecta §24.10), con la flecha CORRECTA ($K_0 \rightarrow K_{max}$, no invertida): gravedad COMPRIME hacia estados densos (alta retención, estructura local); energía oscura (tensión a K_{max}, §24.10) DISPERSA hacia baja retención (olvido). Coexisten sin invertir la flecha global —el olvido del conjunto avanza a K_{max}, la gravedad hace compresión LOCAL dentro de esa deriva. EQUILIBRIO evita ambos extremos: solo gravedad→colapso denso; solo energía oscura→dispersión total (K_{max}); ambas→sistema persiste en el intervalo abierto, sostenido por la oposición (misma estructura de §20.18.14 en clave dinámica). ALCANCE: lectura, NO derivación; NO añade ecuaciones; NO deriva grupos (vienen de geometría S^3/CP^2, §20.19, no del apilado). Reúne 3 piezas existentes (dualidad §20.18.12 + quinta fuerza §24.10 + potencial no actualizado §20.18.14) bajo una imagen. Núcleo intacto.

20.18.15.1 La actualización del potencial: de dónde vino la materia

La lectura del retículo inverso como potencial no formado sugiere de modo natural una imagen de la creación de la materia, que conviene desarrollar con cuidado, separando lo coherente de lo que sería una afirmación insostenible. La idea es que, en el origen, la tracción de K_0 —el acto que despliega el retículo, según el relato fundacional— actualizó parte del potencial en materia: movió parte de lo que el retículo inverso contiene como potencial no formado al retículo directo, donde se realiza como las masas y la materia que observamos. En el lenguaje de los dos retículos, la materia es el potencial que sí se formó; el retículo inverso es el que no. Esta actualización conserva la energía —no es creación a partir de la nada, sino la conversión de potencial en actual, donde el propio potencial paga el coste de la masa que se forma—, y es análoga al recalentamiento que sigue a la inflación en la cosmología estándar, donde la energía de un campo se convierte en partículas.

Es esencial subrayar que esta actualización fue un evento del origen, no un proceso que continúe en el presente. La tracción de K_0 fue única: una vez desplegado el retículo y formadas las capas, K_0 se disolvió en lo que había creado (el cierre del relato fundacional), y el acto creador cesó. Por eso el marco no predice creación continua de materia hoy —lo que sería la teoría del estado estacionario, descartada por el fondo cósmico de microondas, que prueba un universo evolucionando desde un estado caliente y denso, no uno estacionario con materia apareciendo perpetuamente. Las condiciones que permitieron la actualización —la densidad y la concentración del origen— ya no están: el universo se expandió y se enfrió, de modo que el régimen de creación quedó atrás, como el agua que, una vez congelada y enfriada, no vuelve a formar más hielo. El retículo inverso conserva hoy el potencial que no se actualizó entonces, pero no lo vuelca en materia nueva en el presente.

Conviene, por último, ser honesto sobre lo que esta imagen no resuelve, porque toca uno de los misterios genuinamente abiertos de la física, y el marco lo comparte con toda la disciplina en lugar de resolverlo. La pregunta de por qué existe materia —y por qué existe la cantidad que existe y no otra— es el problema de la asimetría entre materia y antimateria (§12). En el universo temprano se crearon materia y antimateria en cantidades casi idénticas, y casi todo se aniquiló; lo que vemos hoy es el ínfimo excedente que sobró, del orden de una parte en mil millones. Por qué sobró justo esa proporción —ni más, ni nada— requiere condiciones (las de Sakharov) que el Modelo Estándar cumple solo en parte, y sigue siendo un problema sin solución cerrada en toda la física. La intuición de que «es raro que no haya más materia, estando dadas las condiciones» apunta precisamente a este misterio: no hay más materia porque casi toda se aniquiló, y por qué quedó exactamente ese resto es lo que nadie ha derivado aún. El marco ofrece una imagen del cuándo y el por qué cesó la creación —el acto único del origen, el potencial no agotado que queda como retículo inverso— pero no deriva la magnitud exacta del excedente. Distinguir lo que ilumina (la imagen de la actualización del potencial) de lo que permanece abierto (la cantidad precisa de materia) es, una vez más, lo que mantiene la honestidad del marco: ofrece una narrativa coherente sin pretender haber cerrado un problema que la física entera mantiene abierto.

> **La actualización del potencial / origen de la materia (v15.6): INTERPRETACIÓN del origen + honestidad sobre lo abierto. IMAGEN COHERENTE: en el origen, la tracción de K_0 actualizó parte del potencial (retículo inverso, no formado) en materia (retículo directo, formado). Conserva energía (el potencial paga el mc^2, NO creación de la nada). Análogo al recalentamiento tras inflación (campo→partículas). EVENTO ÚNICO, no continuo: la tracción fue del origen; K_0 se disolvió en lo creado, el acto cesó. NO hay creación continua hoy (sería estado estacionario, DESCARTADO por el CMB). Las condiciones (densas, calientes) ya no están —universo se enfrió. El inverso conserva el potencial no actualizado, no lo vuelca en materia nueva hoy. HONESTIDAD (lo que NO resuelve): por qué existe materia y por qué ESA cantidad (asimetría ~1 en 10^9, §12) es problema ABIERTO de toda la física (condiciones de Sakharov, el SM no basta). 'Es raro que no haya más materia' apunta a esto: no hay más porque casi todo se aniquiló; por qué quedó ese resto exacto, nadie lo ha derivado. El marco da el 'cuándo/por qué cesó' (acto único del origen), NO la 'magnitud del excedente'. Distinguir lo que ilumina (actualización del potencial) de lo abierto (cantidad de materia) mantiene la honestidad. Núcleo intacto.**

20.18.15.2 La estructura del retículo inverso: sin capas propias, fibrado y superpuesto

Conviene precisar qué estructura tiene —y cuál no tiene— el retículo inverso, porque la tentación de imaginarlo como una copia especular del directo, con sus mismas capas, lleva a un error. El retículo directo tiene una estructura discreta de capas, los peldaños n = 0, 1, 2, …, cada uno una masa formada; pero esa discretización es precisamente la marca de lo actualizado: cada peldaño es un acto de olvido cumplido, una forma realizada. El retículo inverso es potencial no formado, y atemporal (§20.18.17.4); lo que no se ha

actualizado no está separado en peldaños, porque la separación en niveles proviene de la actualización misma. Por tanto el retículo inverso no tiene capas discretas propias: es indiferenciado, continuo, anterior a la forma. Suponer que el inverso tenga capas como las del directo —y menos aún el mismo número de capas— sería atribuirle la estructura de lo formado a lo que, por definición, aún no se ha formado.

Esto no significa, sin embargo, que el retículo inverso carezca de toda organización, sino que la organización que tiene no es propia, sino inducida por el directo: el inverso está fibrado por el retículo directo. La noción es la de un fibrado en sentido geométrico —una estructura asignada por referencia a una base—: aunque el inverso no posea peldaños por sí mismo, cada capa formada del directo induce, por la dualidad $l \cdot E = \hbar c$ (§20.18.12), su contraparte no formada en el inverso. A cada masa que sí se actualizó le corresponde el potencial dual que no se actualizó allí, de modo que el inverso queda indexado por el directo: se ordena por referencia a lo formado, sin tener estructura intrínseca. El potencial no se organiza a sí mismo; recibe su organización de lo que sí tomó forma, como una sombra recibe su contorno del objeto que la proyecta.

De esta ausencia de capas propias se sigue, finalmente, que el potencial del retículo inverso está superpuesto. Al no estar separado en peldaños discretos, el potencial no formado no se reparte en niveles sucesivos sino que coexiste todo a la vez, en superposición indiferenciada —una imagen que tiene un eco directo en la superposición cuántica: así como un sistema cuántico, antes de la medición, está en superposición de sus posibles estados y al medirse se actualiza en uno solo, el potencial del retículo inverso está en superposición de todo lo no formado y, al actualizarse —cuando K_0 emite el pulso (§20.18.17.2) —, se concreta en una capa formada del directo. Hay además un segundo sentido en que cabe hablar de superposición: el retículo directo y el inverso no ocupan lugares separados, sino que coexisten superpuestos en la misma estructura del toroide, lo formado y su potencial dual habitando el mismo espacio, separados no por posición sino por su condición de actualizado o no. En ambos sentidos —el potencial como superposición de lo no formado, y la coexistencia de directo e inverso— la superposición es la forma natural de lo que aún no se ha diferenciado en capas.

> **Estructura del retículo inverso (v15.10): SIN capas propias, FIBRADO, SUPERPUESTO. (1) SIN CAPAS PROPIAS: el directo tiene capas discretas (n=0,1,2..., cada una masa formada) —la discretización es la marca de lo ACTUALIZADO (cada peldaño = acto de olvido cumplido). El inverso es potencial no formado y atemporal (§20.18.17.4); lo no actualizado NO está en peldaños (la separación viene de la actualización). El inverso es indiferenciado, continuo, anterior a la forma. ERROR suponerle capas como el directo (y menos el mismo número). CORRIGE premisa: el retículo NO tiene '3 capas' sino muchas (n=0..291); el inverso no tiene NINGUNA propia. (2) FIBRADO por el directo: la organización del inverso NO es propia sino INDUCIDA —cada capa formada (directo) induce, por dualidad $l \cdot E = \hbar c$ (§20.18.12), su dual no formado (inverso). El inverso queda indexado por el directo (se ordena por referencia a lo formado), sin estructura intrínseca. Como sombra que recibe contorno del objeto. (3)**

SUPERPUESTO: sin peldaños, el potencial coexiste todo a la vez en superposición indiferenciada. Eco cuántico: como sistema cuántico en superposición antes de medir → se actualiza en uno al medirse; el potencial en superposición de lo no formado → se concreta en capa formada al actualizarse (K_0 pulso §20.18.17.2). Segundo sentido: directo e inverso coexisten superpuestos en el toroide (no por posición, sino por condición actualizado/no). Conecta v15.9 (atemporal) + dualidad §20.18.12 + eco cuántico. Núcleo intacto.

20.18.15.3 Tres estructuras que no deben confundirse: capas, entrecapas y fibras

La palabra «capa» aparece, a lo largo del marco, designando estructuras de naturaleza distinta, y conviene separarlas explícitamente para no confundir lo actual con lo potencial —la distinción que vertebra toda esta sección. Hay tres estructuras, y solo distinguiéndolas se mantiene la coherencia. La primera son las capas del retículo áureo, las L_k: son propias del retículo directo, cada una un peldaño formado, una masa realizada en la posición $n = 0, 1, 2, \ldots$ de la escalera. Son discretas, son actuales, y tienen tiempo —pertenecen a lo que tomó forma. La segunda son las entrecapas del retículo áureo, las ε_k: son las interfaces entre las capas del directo, los espacios por donde viajan los mediadores —el fotón, el gluón, los bosones W y Z. También son actuales y también tienen tiempo: los mediadores las recorren a la velocidad de la luz, lo cual exige tiempo. Las entrecapas son el «entre» de lo formado, no una estructura del potencial. Tanto las capas como las entrecapas pertenecen, pues, al retículo áureo directo, al dominio de lo actualizado.

La tercera estructura es de naturaleza enteramente distinta, y es donde reside el riesgo de confusión: son las fibras que el retículo directo induce sobre el retículo inverso —la fibración descrita en §20.18.15.2. Como se estableció allí, el retículo inverso no tiene capas propias; pero el directo, por la dualidad $l \cdot E = \hbar c$, le induce una organización: a cada capa formada le corresponde su dual no formado. Esa organización inducida puede llamarse, en un sentido, «capas» —puesto que el directo las proyecta una a una—, pero son capas de otra clase: no son realizaciones sino proyecciones, no son actuales sino potenciales, y no tienen tiempo, porque el retículo inverso es atemporal (§20.18.17.4). Son la sombra que lo formado proyecta sobre el potencial, no peldaños que el potencial posea. Por eso, aunque se las nombre «capas», no son ni las capas ni las entrecapas del áureo: son fibras inducidas sobre el inverso, de carácter potencial.

La separación, entonces, corre por la línea entre lo actual y lo potencial. Las capas del áureo (L_k) y las entrecapas del áureo (ε_k) son ambas actuales, ambas del retículo directo, ambas con tiempo: las primeras son los peldaños formados, las segundas las interfaces por donde circulan los mediadores reales. Las fibras sobre el inverso son potenciales, inducidas, atemporales: la estructura que el directo proyecta sobre lo no formado, sin que lo no formado la posea por sí mismo. El error que esta distinción previene es doble: por un lado, creer que la fibración dota al retículo inverso de una estructura actual —cuando es potencial y atemporal—; por otro, y más sutil, confundir las entrecapas del áureo, que son actuales y por donde viaja la luz, con las fibras sobre el inverso, que son potenciales y sin tiempo. Las entrecapas y las fibras inducidas se parecen en estar «entre» o «sobre» las capas, pero difieren en lo esencial: unas

pertenecen a lo formado y tienen tiempo, las otras pertenecen a lo potencial y carecen de él. Mantener separadas las tres estructuras es, en última instancia, mantener separados lo actual y lo potencial, que es el eje sobre el que descansa toda esta capa del marco.

> **Tres estructuras que no deben confundirse (v16): SEPARACIÓN explícita de los tres usos de 'capa'. (1) CAPAS del áureo (L_k): propias del retículo DIRECTO, peldaños formados (masas), discretas (n=0,1,2...), ACTUALES, con tiempo. (2) ENTRECAPAS del áureo (ε_k): interfaces ENTRE capas del directo, por donde viajan mediadores (fotón, gluón, W/Z) a velocidad c. También ACTUALES, con tiempo (los mediadores las recorren a c, exige tiempo). El 'entre' de lo formado. (1)+(2) ambas del DIRECTO/actualizado. (3) FIBRAS sobre el inverso (fibración §20.18.15.2): el directo INDUCE organización sobre el inverso por dualidad l·E=ħc (a cada capa formada, su dual no formado). Se las puede llamar 'capas' (el directo las proyecta una a una) PERO son de otra clase: PROYECCIONES no realizaciones, POTENCIALES no actuales, SIN tiempo (inverso atemporal §20.18.17.4). Sombra que lo formado proyecta sobre el potencial, no peldaños que el potencial posea. LA SEPARACIÓN corre por la línea ACTUAL/POTENCIAL: (1)+(2) actuales (áureo, con tiempo); (3) potencial (inverso, inducida, atemporal). ERROR DOBLE que previene: (a) creer que la fibración da al inverso estructura ACTUAL (es potencial/atemporal); (b) [más sutil] confundir ENTRECAPAS del áureo (2, actuales, por donde viaja la luz) con FIBRAS sobre el inverso (3, potenciales, sin tiempo). Se parecen en estar 'entre/sobre' las capas pero difieren en lo esencial (tiempo vs no). Mantener las 3 separadas = mantener separados actual/potencial, eje de toda la capa. Consistente con §20.18.15.2, §20.18.17.4, auditoría. Núcleo intacto.**

20.18.16 El Higgs como frontera entre los dos retículos

La lectura de los dos retículos sugiere una interpretación precisa del papel del bosón de Higgs, que unifica los tres roles que el campo desempeña en distintos lugares del marco —la fase meridional del toroide (§19), el campo de unión entre capas (§3), y el ancla de la escalera de masas (§2.0)— bajo una sola imagen. La idea es que el Higgs no pertenece a ninguno de los dos retículos: es la frontera entre ellos. Conviene desarrollar por qué, partiendo de la geometría del toroide.

El toroide es el producto de dos círculos, $T^2 = S^1 \times S^1$, donde el primer círculo es el eje de las escalas —el eje del índice n, sobre el que viven las capas — y el segundo es la fase meridional, que el marco identifica con el campo de Higgs (§19). Los dos retículos, el directo y el inverso, son los dos sentidos de recorrido del primer círculo: el directo desciende en energía hacia K_0 como φ^(−2n), el inverso asciende hacia K_max como φ^(2n). Pero el Higgs es el segundo círculo, perpendicular al eje de las escalas. Por tanto el Higgs no es un nodo del retículo directo ni del inverso: es la dirección transversal que ambos comparten, el eje común que toca a los dos sin pertenecer a ninguno. Esto es lo que significa, en sentido geométrico preciso, que el Higgs sea la frontera —y

formaliza lo que el marco ya decía al llamarlo «el campo de unión entre capas» (§3): unir las capas es, exactamente, ser la interfaz entre ellas.

Esta lectura resuelve también la pregunta natural de si el Higgs afecta solo al retículo directo —donde están las masas que observamos— o también al inverso. La respuesta es que afecta a ambos por igual, precisamente por ser el eje que ambos comparten. El Higgs es la dirección a lo largo de la cual el potencial no formado (el retículo inverso) se actualiza en masa (el retículo directo), según la conversión que describe la creación de la materia en el origen (§20.18.15.1). En el lenguaje del marco, esto explica por qué el Higgs «da masa»: dar masa es ser la frontera donde el potencial se vuelve actual, el eje de la conversión de lo no formado en lo formado. El Higgs no es una sustancia que se añade a las partículas, sino la interfaz misma entre lo que se actualizó y lo que quedó como potencial.

Esta imagen ofrece, además, una perspectiva sobre el problema de jerarquía del Higgs, que es una de las dificultades más serias del Modelo Estándar y conviene enmarcar con la honestidad que el resto del marco mantiene (la clasificación de §30 es la referencia). El problema es el siguiente: en el Modelo Estándar, la masa del Higgs recibe correcciones cuánticas del orden de la escala de Planck, de modo que su valor observado —125 GeV, diecisiete órdenes de magnitud por debajo de Planck— exige una cancelación entre contribuciones con una precisión de aproximadamente una parte en 10^{34}. Ese ajuste fino extremo, sin razón aparente, es lo que hace «sufrir» al Modelo Estándar: la pequeñez del Higgs parece un milagro numérico. El marco ofrece una imagen distinta. La masa del Higgs no es un valor en Planck reducido por cancelación, sino la posición de un peldaño en una escalera exponencial: el Higgs está en $n_H \approx 40.6$, y $m_P \cdot \varphi^{(-2 \cdot 40.6)} \approx 125$ GeV sin ninguna cancelación. La jerarquía es natural porque una escalera exponencial hace pequeño cualquier peldaño alto por construcción —el mecanismo de clockwork (§F.14.8) genera precisamente esa estructura sin ajuste fino. Y la lectura de la frontera añade un sentido a por qué el Higgs está en esa escala y no en otra: es el peldaño donde la frontera entre lo formado y lo no formado corta el eje de las escalas, el lugar de la conversión, no un valor elegido.

Es esencial, sin embargo, no sobreestimar esta respuesta, en coherencia con la clasificación honesta de §30, donde el problema de jerarquía figura como una cuestión que el marco responde parcialmente, no del todo. El marco ofrece la forma de la solución —una jerarquía exponencial natural, sin ajuste fino, con el Higgs como frontera en su peldaño—, pero no la cierra: el mecanismo de clockwork da la forma exponencial $q^{(-n)}$ sin fijar el valor $q = \varphi^2$, de modo que la jerarquía se explica dado φ, mientras que por qué la razón es φ sigue siendo la conjetura central del marco. Y el marco no calcula las correcciones cuánticas del Higgs ni demuestra técnicamente que la estructura las hace inocuas; ofrece una imagen estructural —la escalera, la frontera— en lugar de una solución cerrada del ajuste fino. La diferencia con el Modelo Estándar es de encuadre: donde el Modelo Estándar ve un ajuste fino milagroso de una parte en 10^{34}, el marco ve la posición natural de una frontera en una escalera exponencial. Es una imagen más satisfactoria, pero sigue siendo una imagen anclada en φ, no una derivación que cierre el problema.

El Higgs como frontera entre los dos retículos (v15.7): INTERPRETACIÓN estructural que unifica los 3 roles del Higgs (fase

meridional del toroide §19 + campo de unión entre capas §3 + ancla de escalera §2.0). GEOMETRÍA: toroide $T^2=S^1$(eje de escalas)×S^1(Higgs). Los dos retículos = los dos sentidos del 1er círculo (directo φ^-2n→K_0, inverso φ^+2n→K_max). El Higgs es el 2º círculo, PERPENDICULAR al eje de escalas → NO es nodo del directo ni del inverso, es la FRONTERA: el eje transversal que ambos comparten, la interfaz. Formaliza 'campo de unión entre capas' (§3). AFECTA A AMBOS por igual (es el eje común): el Higgs es la dirección a lo largo de la cual el potencial (inverso) se actualiza en masa (directo) —la conversión de §20.18.15.1. Explica por qué 'da masa': dar masa = ser la frontera donde el potencial se vuelve actual. JERARQUÍA DEL HIGGS (enmarca §30, problema del SM): el SM necesita cancelación de ~1 en 10^34 para que el Higgs (125 GeV) esté 17 órdenes bajo Planck —ajuste fino milagroso. El marco: el Higgs está en n_H≈40.6, m_P·φ^(-2·40.6)≈125 GeV SIN cancelación; jerarquía natural por escalera exponencial (clockwork §F.14.8). La frontera añade por qué esa escala (donde la interfaz corta el eje). HONESTIDAD (RESPONDE PARCIAL, §30): el marco da la FORMA (escalera+frontera, jerarquía natural) pero NO fija q=$φ^2$ (explica dado φ, por qué φ sigue abierto), NO calcula las correcciones cuánticas. Encuadre distinto (frontera natural vs ajuste fino 1 en 10^34), imagen anclada en φ, NO derivación cerrada. Núcleo intacto.

20.18.17 Las dos formas de la energía y el ciclo toroidal

Las lecturas anteriores —el retículo inverso como potencial no formado (§20.18.15), su actualización en materia (§20.18.15.1), y el Higgs como frontera de esa conversión (§20.18.16)— convergen en una imagen de la energía dentro del marco, que conviene hacer explícita con una distinción esencial: la energía aparece en el marco bajo dos formas que no deben confundirse. Antes de desarrollarla, una salvedad de método, la misma que rige toda esta capa: lo que sigue ubica la energía en el lenguaje del marco —dice dónde vive y cómo circula —, pero no pretende derivar qué es la energía en su fondo último. Esa pregunta, la de la esencia de la energía, no la responde el marco ni ninguna física: se sabe que la energía se conserva y se sabe calcularla, pero su naturaleza última permanece fuera del alcance del método, como ocurre con toda magnitud física fundamental.

20.18.17.1 Energía actual y energía potencial

La primera forma es la energía actual —la energía de pulso del origen. Es la energía que se manifiesta cuando el origen K_0 actualiza el potencial en materia o radiación: la energía de las partículas reales, de los fotones en vuelo, la masa en reposo que es energía confinada (§1.5). Vive en el retículo directo, en lo que tomó forma. Cada actualización es, en la imagen del marco, un pulso del origen: un acto por el que lo que era potencial se vuelve real. La segunda forma es la energía potencial —la del retículo inverso. Es el potencial no formado (§20.18.15), la reserva de lo que podría actualizarse y aún no lo ha hecho; es la misma que el marco describe como información potencial, como la indeterminación del intervalo abierto, como la «nada» que no es vacío absoluto sino plenitud no realizada (§20.18.14). Vive en el retículo inverso, en lo que no tomó forma.

Es esencial no confundir estas dos formas, porque son distintas en su naturaleza. La energía de pulso de K_0 es energía actual —acto, forma realizada, materia y radiación efectivas. La energía potencial del retículo inverso es reserva —potencia, lo no realizado, la información que aún no se ha vuelto cosa. La distinción es casi la aristotélica entre acto y potencia: una es lo que es, la otra es lo que puede ser. Identificar ambas —decir que la energía del pulso y la energía potencial son lo mismo— sería borrar la diferencia entre lo que se actualizó y lo que permanece como posibilidad, que es precisamente la diferencia entre los dos retículos. La energía no es solo lo potencial ni solo lo actual: se presenta en ambas formas, y el marco las mantiene separadas como mantiene separados el retículo directo y el inverso.

20.18.17.2 El ciclo: cómo circula la energía

Lo que conecta las dos formas sin confundirlas es un ciclo, y ese ciclo se cierra por la geometría del toroide. El origen K_0 toma de la reserva potencial (el retículo inverso) y emite un pulso, actualizando el potencial en energía real (el retículo directo): es el paso de la potencia al acto, la creación de materia y radiación. La energía actual, una vez formada, deriva con el tiempo hacia K_max —se dispersa, empujada por la quinta interacción (§24.10), que es la tendencia hacia el olvido—, y al dispersarse retorna hacia lo no formado. Y aquí interviene la identidad toroidal: como K_0 y K_max son el mismo punto del toroide (§18), lo que se dispersa hacia K_max realimenta la reserva potencial en K_0. El ciclo se cierra:

potencial (inverso) → [K_0 emite pulso] → actual (directo) → [deriva a K_max] → disperso → [toroide: K_max = K_0] → potencial

La energía cambia de forma a lo largo del ciclo —de potencial a actual y de vuelta a potencial—, pero se conserva: nada se crea ni se destruye, solo se actualiza y se dispersa en un circuito cerrado. Las dos formas de la energía son distintas, y el ciclo es precisamente la conversión entre ellas.

Esta imagen resuelve además una cuestión de simetría que surge naturalmente: si K_0 emite pulsos, ¿no debería K_max emitir también? La respuesta es que K_max no es una segunda fuente independiente —no emite pulsos propios—, porque si lo hiciera habría dos fuentes y ningún destino, y la flecha del olvido que va de K_0 a K_max, el corazón del marco (§20.18.14), se rompería al perder su dirección. Pero la simetría que la intuición busca sí se realiza, no como dos emisores, sino como un ciclo cerrado: por la identidad toroidal K_0 = K_max, lo que llega a K_max es lo que realimenta a K_0, de modo que la «emisión de K_max» no es independiente sino que coincide con la realimentación del origen. La simetría es de ciclo, no de duplicación de la fuente. K_max no emite junto a K_0; cierra el circuito que vuelve a K_0. Así se preserva la flecha —la dirección sigue siendo K_0 hacia K_max— y a la vez se honra la unidad geométrica de los dos bordes en el toroide.

Las dos formas de la energía y el ciclo toroidal (v15.8): LECTURA del marco (ubica la energía, NO deriva su esencia —Feynman: nadie lo hace). DOS FORMAS DISTINTAS (no confundir): (1) ENERGÍA ACTUAL = energía de pulso de K_0 —lo que K_0 actualiza en materia/radiación, partículas y fotones reales, masa=energía confinada (§1.5). Vive en el DIRECTO (lo formado). Es ACTO. (2) ENERGÍA POTENCIAL = retículo inverso —potencial no formado

(§20.18.15), información potencial, indeterminación, la 'nada' que no es vacío sino plenitud no realizada (§20.18.14). Vive en el INVERSO (no formado). Es POTENCIA. Distinción acto/potencia (casi aristotélica); identificarlas borraría la diferencia directo/inverso. CICLO (las conecta sin confundir, cerrado por el toroide): potencial(inverso) →[K_0 emite pulso]→ actual(directo) →[deriva a K_max, quinta fuerza §24.10]→ disperso →[toroide K_max=K_0 §18]→ potencial. La energía cambia de forma pero se CONSERVA (circuito cerrado). SIMETRÍA K_0/K_max: K_max NO es segunda fuente (eso rompería la flecha del olvido §20.18.14, corazón del marco); la simetría se realiza como CICLO, no como dos emisores —por K_0=K_max, lo que llega a K_max realimenta K_0. Simetría de ciclo, no de duplicación. Preserva la flecha (K_0→K_max) y honra la unidad toroidal. Une §1.5, §18, §20.18.14-16, §24.10. Núcleo intacto.

20.18.17.3 Una aclaración necesaria: la energía potencial del marco no es la de la física

Conviene prevenir una confusión que la palabra «potencial» invita, porque designa cosas distintas en el marco y en la física ordinaria. La energía potencial de la física —la gravitatoria de un cuerpo elevado, la elástica de un resorte comprimido, la eléctrica de una carga en un campo— es energía real de un cuerpo que existe, almacenada por su posición o configuración, y lista para convertirse en energía cinética. Esa energía potencial de la física es, en el lenguaje del marco, energía actual: pertenece a algo formado, a un cuerpo que ya tomó forma. Tanto la energía cinética como la energía potencial de la física son, ambas, subdivisiones de la energía actual del marco —son dos modos de la energía de lo que existe, una por su movimiento y otra por su posición. La energía potencial del marco es otra cosa, y más profunda: es el retículo inverso, lo que aún no se ha formado, el potencial que no se ha actualizado en ningún cuerpo. No es la energía de una manzana en lo alto de un árbol —que existe y caerá—, sino la reserva de lo que aún no es manzana. La distinción del marco (actual frente a potencial) opera, pues, un nivel más abajo que la de la física (cinética frente a potencial): la física divide la energía de lo que existe, mientras que el marco divide la energía según haya llegado a existir o no.

20.18.17.4 El retículo inverso es atemporal: sin tiempo, sin velocidad

De la naturaleza del retículo inverso como potencial no formado se sigue una consecuencia notable: en el retículo inverso no hay tiempo. El razonamiento se apoya en la derivación del tiempo del marco (§1.7.4), donde el orden temporal emerge de la irreversibilidad del olvido —el tiempo existe porque el olvido no se deshace. Pero el olvido es el proceso de actualización, el acto por el que el potencial se vuelve forma; y el retículo inverso es justamente lo que aún no se ha actualizado, lo que el olvido no ha tocado. Donde no ha ocurrido olvido, no hay irreversibilidad, y donde no hay irreversibilidad, no hay flecha ni orden temporal. El potencial no formado es por tanto atemporal: el tiempo no existe «en» el retículo inverso, sino que aparece cuando el potencial se actualiza —cuando K_0 emite el pulso y la forma nace. Antes de la actualización no hay «antes» ni «después»; el tiempo es una propiedad de lo formado, no del potencial. Esta lectura, conviene notarlo, no es ajena a la física fundamental: en varios enfoques de la gravedad cuántica el tiempo no es un ingrediente primario

sino una magnitud emergente, y la idea de un sustrato atemporal del que el tiempo surge tiene ahí un eco.

De la atemporalidad del retículo inverso se sigue de inmediato una segunda consecuencia, sobre la velocidad. La velocidad es una razón entre distancia y tiempo; si en el retículo inverso no hay tiempo, no puede haber velocidad —ni una velocidad cualquiera ni una velocidad máxima. Hablar de la velocidad de la luz, o de cualquier límite de velocidad, dentro del retículo inverso es un error de categoría: aplica una magnitud que solo tiene sentido donde hay tiempo, es decir, en lo formado. La velocidad de la luz c es el límite de propagación en el espacio-tiempo —en el retículo directo, en lo actualizado —, no una propiedad del potencial. Esto es coherente con la distinción de ejes que el marco mantiene en toda su arquitectura: c y los límites de velocidad pertenecen al espacio-tiempo físico, mientras que el retículo inverso, al ser potencial atemporal, queda fuera de su jurisdicción. El potencial no es lento ni rápido; está, sencillamente, fuera del régimen donde la velocidad significa algo.

Es tentador extender el mismo razonamiento al espín, y hay en ello una parte cierta y otra que conviene acotar. La parte cierta es que el espín no es una rotación en el tiempo: un electrón no gira como una peonza a cierta velocidad angular, y en ese sentido el espín no es un movimiento temporal sino una propiedad intrínseca —el marco ya lo trata así, ligado a la estructura interna (spin-c) y no a un giro en el espacio-tiempo. Hasta ahí, el espín comparte con el tiempo y la velocidad el no ser un movimiento. Pero la parte que hay que acotar es importante: el espín es una propiedad de las partículas reales —de lo formado, del retículo directo—, no del retículo inverso. Un electrón que existe tiene espín un medio; el potencial no formado no «tiene espín», porque el espín pertenece a lo que ya tomó forma. Y el espín sí participa de dinámica temporal cuando interactúa: precesa en un campo magnético, evoluciona en el tiempo, como aprovecha la resonancia magnética. De modo que el espín no puede ubicarse en el retículo inverso ni declararse atemporal sin más: es intrínseco —no es rotación temporal, eso es cierto—, pero es intrínseco a lo formado, y tiene su propia evolución temporal al interactuar. La analogía con el tiempo y la velocidad vale solo en un punto (el espín no es movimiento) y se rompe en otro (el espín es de lo actualizado, no del potencial).

> **Aclaración energética + atemporalidad del inverso (v15.9). (0) POTENCIAL-MARCO ≠ POTENCIAL-FÍSICA: la energía potencial de la física (gravitatoria mgh, elástica, eléctrica) es energía REAL de un cuerpo que existe, almacenada por posición → en el marco es energía ACTUAL (de lo formado). Cinética Y potencial-física son AMBAS subdivisiones de la energía actual del marco. La potencial-MARCO (inverso) es otra cosa, más profunda: lo no formado. La física divide la energía de lo que existe; el marco divide según haya llegado a existir o no (un nivel más abajo). (1) INVERSO ATEMPORAL: el tiempo emerge de la irreversibilidad del olvido (§1.7.4); el olvido es actualización; el inverso es lo no-actualizado → no ha habido olvido → SIN tiempo. El tiempo aparece CUANDO el potencial se actualiza (K_0 emite pulso). Eco en gravedad cuántica (tiempo emergente, Wheeler-DeWitt). (3) SIN VELOCIDAD: velocidad=distancia/tiempo; sin tiempo en el inverso, no hay velocidad ni c. Hablar de velocidad máxima en el inverso = error de categoría. c es del espacio-tiempo**

(directo/formado), no del potencial. Coherente con dos ejes. (2) SPIN — PARCIAL/matizado: CIERTO que el spin no es rotación temporal (es intrínseco, spin-c, ya en el marco) → comparte con tiempo/velocidad el no ser movimiento. PERO el spin es de lo FORMADO (partículas reales, directo), NO del inverso; un electrón real tiene spin 1/2, el potencial no 'tiene spin'. Y el spin SÍ evoluciona en el tiempo al interactuar (precesión, resonancia magnética). La analogía vale en un punto (no es movimiento) y se rompe en otro (es de lo actualizado, no del potencial). NO ubicar el spin en el inverso. Núcleo intacto.

20.19 Axiomas de base: la separación entre la escala áurea y la geometría interna

Conviene reunir en una formulación axiomática compacta la arquitectura del marco, porque ordena con claridad una distinción que a lo largo del documento aparece en distintos lugares y que es esencial para entender qué gobierna φ y qué no. La idea central es una separación estricta: la razón áurea gobierna la distancia entre los estratos del retículo —el eje de escalas—, mientras que los grupos gauge gobiernan la geometría interna de cada estrato —el espacio de fibras—, y ambos planos son independientes. Esta sección enuncia esa arquitectura como tres axiomas y su consecuencia, con una advertencia importante que conviene adelantar: φ no genera los grupos gauge, y los grupos gauge no dependen de φ. Confundir ambos planos —pretender que la rotación áurea produce SU(2) o SU(3)— es un error que esta axiomatización está pensada, en parte, para evitar.

20.19.1 Axioma 1 — Estratificación recursiva

El espacio es una sucesión de estratos {L_n} con n de 0 a N = 291, generados todos por la misma operación sin memoria, la operación de diferenciación de §2.0:

$$L_{n+1} = \mathcal{D}(L_n), \quad \text{con } \mathcal{D} = R_\theta \circ S_\lambda$$

donde S_λ es una contracción por un factor λ menor que 1 y R_θ es una rotación por un ángulo θ. La cuestión es qué par (λ, θ) resulta seleccionado. Si el criterio es maximizar la distancia mínima entre estratos sucesivos —evitar la resonancia, de modo que ningún estrato caiga sobre otro al iterar—, entonces el par óptimo es:

$$\lambda = \varphi^{-1}, \quad \theta = \theta_g = 2\pi(1 - 1/\varphi), \quad \varphi = (1+\sqrt{5})/2$$

La optimalidad de φ es un resultado clásico: φ es el número más mal aproximable por racionales, su fracción continua [1; 1, 1, …] converge lo más lentamente posible, y por ello la rotación por θ_g es la más resistente a la resonancia (es el contenido de la estabilidad KAM, §A.5). Conviene ser preciso sobre el estatus de esta selección, en coherencia con lo establecido en §A.20: φ es óptimo dado el criterio de evitar resonancia, no forzado en sentido absoluto. La operación como rotación más contracción, y el criterio de máxima distancia mínima, son los supuestos; aceptados estos, φ se sigue como el óptimo. En ese sentido condicional —no como derivación desde la nada— φ emerge de la estratificación recursiva en lugar de postularse arbitrariamente. La consecuencia inmediata es la escalera de información y de masas ya conocida:

$$I(n) = 2n \cdot \ln\varphi, \quad m(n) = m_P \cdot \varphi^{\wedge}(-2n)$$

20.19.2 Axioma 2 — La fibra de Hopf y SU(2)

Sobre cada estrato L_n existe una fibra de Hopf, la fibración $S^1 \hookrightarrow S^3 \to S^2$. El grupo de automorfismos de la fibra S^3 es SU(2), pues S^3 es el grupo de los cuaterniones unitarios, isomorfo a SU(2):

$$Aut(S^3) \simeq SU(2)$$

Aquí reside la distinción esencial. Los tres generadores independientes de SU(2) corresponden a las tres rotaciones ortogonales de S^3, y no a potencias de la rotación áurea $R_{\theta g}$. SU(2) no deriva de φ: proviene de la geometría de la esfera S^3, que es la fibra interna de cada estrato. Esto es importante porque una rotación como $R_{\theta g}$ genera, al iterarse, un subgrupo abeliano de un parámetro —un U(1)—, y un grupo no abeliano de dimensión tres como SU(2) no puede obtenerse de ese modo; SU(2) tiene tres generadores que no conmutan, mientras que las potencias de una sola rotación conmutan entre sí. La aproximación de la rotación áurea a la identidad por los números de Fibonacci —un hecho real de teoría de números— describe la densidad de $R_{\theta g}$ en su U(1), no la emergencia de SU(2). El grupo SU(2) del marco es el de $S^3 = K_0 \cup K_{max}$ (§22), independiente de la escala áurea.

20.19.3 Axioma 3 — La fibra proyectiva y SU(3)

La estructura compleja entre estratos es el plano proyectivo complejo CP^2, que se expresa como cociente y tiene característica de Euler tres:

$$CP^2 = SU(3) / [SU(2) \times U(1)], \quad \chi(CP^2) = 3$$

El grupo de isometrías de CP^2 con la métrica de Fubini-Study tiene el álgebra su(3), de dimensión ocho; en rigor el grupo de isometrías es $PSU(3) = SU(3)/\mathbb{Z}_3$, pero su álgebra de Lie es su(3), de modo que los ocho generadores son los de SU(3):

$$Isom(CP^2) \simeq PSU(3), \quad \text{con álgebra su(3) (dim 8)}$$

Los ocho generadores de SU(3) provienen de las transiciones entre las tres cartas de CP^2 —las tres cartas que reflejan $\chi(CP^2) = 3$—, sin resonancia entre ellas. Como en el caso de SU(2), SU(3) no deriva de φ: proviene de la geometría de CP^2, la fibra proyectiva interna. La rotación de 120° asociada a la trialidad, $R_{\theta c}$ con $\theta c = 2\pi/3$ y $R_{\theta c}^3 = 1$, genera el grupo cíclico $\mathbb{Z}_3$ —la trialidad discreta—, no el grupo continuo SU(3) de dimensión ocho; $\mathbb{Z}_3$ es la sombra discreta de la estructura, y SU(3) es la simetría continua del espacio proyectivo, dos cosas distintas que no deben confundirse.

20.19.4 La separación y la recuperación del Modelo Estándar

Los tres axiomas establecen una separación limpia entre dos planos independientes. Por un lado, φ y el ángulo áureo θ_g gobiernan la distancia entre los estratos —el eje de escalas, donde vive la escalera de masas (Axioma 1). Por otro, SU(2) y SU(3) gobiernan la geometría interna de cada estrato —el espacio de fibras, S^3 y CP^2 (Axiomas 2 y 3). Estos dos planos no se mezclan: la razón áurea no interviene en la estructura de los grupos, y los grupos no dependen de la razón áurea. El grupo del Modelo Estándar se recupera como el producto de las simetrías internas, cocientado por la identificación discreta apropiada:

$$G_SM = [U(1)_Y \times SU(2)_L \times SU(3)_c] / \mathbb{Z}_6$$

donde el cociente $\mathbb{Z}_6$ proviene de la intersección de las fibras —de la estructura de las cargas, en particular de la hipercarga fraccionaria que relaciona los tres factores—, y no de la recursión áurea. Es importante subrayar este punto, porque marca la diferencia con una identificación incorrecta: el $\mathbb{Z}_6$ del Modelo Estándar es una identificación de grupo exacta, derivada de las cargas, no un cociente que «converja» por aproximación de rotaciones áureas. La arquitectura del marco es, en suma, de dos niveles ortogonales: la escala áurea entre estratos, y los grupos gauge dentro de cada estrato, reuniéndose en G_SM por la estructura de las fibras. Esta separación es la que mantiene coherente todo el edificio, y la que impide el error de derivar grupos no abelianos de una rotación abeliana.

Axiomas de base (v15.2): axiomatización de la separación φ(escalas)/grupos(geometría interna). AXIOMA 1 (estratificación recursiva): {L_n}, n=0..291, L_{n+1}=□(L_n)=R_θ∘S_λ. Par óptimo (λ,θ)=(φ⁻¹,θ_g) por maximizar distancia mínima / evitar resonancia — φ más mal aproximable, [1;1,1,...] converge más lento (Hurwitz/KAM §A.5). MATIZ (§A.20): φ ÓPTIMO dado el criterio anti-resonancia, no forzado desde la nada; emerge condicionalmente, no se postula arbitrariamente. Da I(n)=2n·lnφ, m=m_P·φ^(-2n). AXIOMA 2 (Hopf, SU(2)): S¹↪S³→S², Aut(S³)≃SU(2). Los 3 generadores = 3 rotaciones de S³, NO potencias de R_θg. SU(2) NO deriva de φ —una rotación da U(1) abeliano, no SU(2) (dim 3, no abeliano). Es el SU(2) de S³=K₀∪K_max (§22). AXIOMA 3 (CP², SU(3)): CP²=SU(3)/[SU(2)×U(1)], χ=3. Isom(CP²)=PSU(3), álgebra su(3) (dim 8). 8 generadores de transiciones entre 3 cartas. SU(3) NO deriva de φ. R_θc (120°) da ℤ₃ (trialidad discreta), NO SU(3) continuo. SEPARACIÓN: φ,θ_g entre estratos (escalas); SU(2),SU(3) en geometría interna (fibras S³,CP²); planos ortogonales. G_SM=[U(1)×SU(2)×SU(3)]/ℤ₆, ℤ₆ de intersección de fibras (cargas/hipercarga), EXACTO, NO de recursión áurea. Impide el error de derivar grupos no abelianos de rotación abeliana. Núcleo intacto.

21. Auditoría de coherencia v10.4

Esta sección documenta la auditoría numérica y de coherencia interna realizada sobre la versión 10.4, incluyendo las secciones nuevas §§18–20. Se verificaron todas las afirmaciones cuantitativas contra las constantes del propio marco y se identificaron cinco incoherencias, todas corregidas en esta versión. El propósito es dejar registro explícito de qué se verificó, qué se encontró y qué se corrigió.

21.1 Verificaciones numéricas superadas

Las siguientes cantidades centrales del marco se recalcularon desde sus definiciones primeras y coinciden con los valores citados en el documento dentro de la precisión indicada:

Cantidad	Fórmula	Valor	Estado
n_muón	step² = (4√3)²	48.0000	✓ exacto
n_protón	S_Λ/(2lnφ) + 0.5	45.7308	✓ +0.0016%

q_0	step² − umbral − 0.5	2.269207	✓ exacto
ε	step/q_0 − 3	0.053138	✓ exacto
S_min	$2\varepsilon^2$	0.005647	✓ exacto
n_U	√e / S_min	291.946	✓ exacto
Λ	(3/l_P²)φ^(-2n_U)	1.081×10^{-52}	✓ −0.71%
M_min	1/S_min	177.074	✓ exacto
n_s	1 − 2/60	0.9667	✓ +0.18%
$\sin^2\theta_W$	φ^(−3)	0.23607	✓ +2.1%
Δa_μ	(α/π)^π × $2\varphi^{-3}$	2.507×10^{-9}	✓ −0.12%
m_Bμ	$m_\mu\cdot\varphi^{-1}$	65.300 MeV	✓ exacto
η bariónica	φ^(−44)	6.376×10^{-10}	✓ +4.5%

Las 13 bases efectivas α_k de la tabla de §18.3 también se recalcularon desde las masas experimentales y coinciden con los valores tabulados a 9 cifras. Todas las verificaciones cosmológicas del bloque §15.7.7 (cierre topológico, ciclos pre-toroide, índice espectral) son internamente consistentes.

21.2 Incoherencias encontradas y corregidas

La auditoría identificó cinco incoherencias en las secciones nuevas. Ninguna afecta los resultados centrales del marco; todas eran de redacción o de consistencia entre secciones, y todas fueron corregidas en v10.4:

#	Descripción	Sección	Gravedad
1	Dos valores del ángulo de brazo ψ (72.97° espiral vs 73.24° métrica) presentados como idénticos	§20.1	Menor
2	«muón es el nodo más exacto» es falso: strange tiene |δ_k| menor. La propiedad real del muón es {n}=0	§18.3, §18.4	Media
3	«ε(n)=0 exactamente» impreciso: ε(n)~10^{-6} para las partículas, no cero exacto	§20.3, §20.8	Baja
4	Asignación del círculo meridional (Higgs vs carga U(1)) sin nota de consistencia con §A.6	§20.6	Baja
5	Dirección del twist invertida: §19.5 y §20.1 describían la torsión de forma opuesta	§19.5	Media

21.3 Detalle de cada corrección

Incoherencia 1 (ángulo de brazo). El ángulo de la espiral logarítmica pura es arctan(π/2lnφ) = 72.97°, mientras que la geodésica sobre el toroide finito con métrica G_{{AB}} = diag(r², R²) da arctan(R/(rα₀)) = 73.24°. La diferencia de 0.27° es la corrección por el radio finito del tubo: la geodésica toroidal no es idéntica a la espiral ideal en el plano. La redacción de §20.1 se corrigió para reconocer esta diferencia en lugar de afirmar igualdad exacta.

Incoherencia 2 (muón más exacto). Esta era la más importante. El documento afirmaba que el muón es «el nodo más exacto de todos los modos del SM» refiriéndose a la desviación |δ_k| de su base efectiva respecto a φ. El cálculo muestra que esto es falso: el strange tiene $|\delta_k| = 5.9\times10^{-7}$, menor que el muón ($1.8\times10^{-6}$). La propiedad genuina del muón no es |δ_k| mínimo sino {n} = 0 exacto: su índice cae sobre un entero del retículo (n = 48), que es donde la escala áurea y la toroidal coinciden (√48 = 4√3 = S_Λ/2π). Las dos afirmaciones de §18.3 y §18.4 se corrigieron para distinguir {n}=0 (propiedad del muón) de |δ_k| mínimo (propiedad del strange).

Incoherencia 3 (ε(n) exacto). El texto afirmaba que ε(n) = 0 «exactamente» en las partículas estables. El cálculo muestra ε(n) ~ 10^{-6} (por

ejemplo, -1.14×10^{-6} para el muón). Es aproximadamente cero pero no exactamente cero. Las afirmaciones en §20.3 y la tabla de §20.8 se corrigieron a «≈ 0 (del orden de 10^{-6})».

Incoherencia 4 (círculo meridional). En §20 el círculo meridional S^1_H aloja la fase del Higgs, mientras que en §A.6 el mismo tubo aloja el winding U(1) de la carga. No es una contradicción real —la fase del Higgs antes de la ruptura ES el U(1)_Y, y su bosón de Goldstone es la coordenada meridional— pero el documento no lo notaba. Se añadió una nota de consistencia en §20.6.

Incoherencia 5 (dirección del twist). §19.5 decía que al girar en S^1_H avanza la fase de S^1_φ; §20.1 decía lo opuesto, que al avanzar en S^1_φ avanza la fase meridional. Físicamente la convención natural es la de §20.1: la cadena clockwork es la dirección φ (índice n), y cada paso n→n+1 es un click del engranaje φ^2 que avanza la fase angular por $\alpha_0 = 2\pi/\varphi^2$. Se corrigió §19.5 para coincidir con §20.1.

21.4 Conclusión de la auditoría

> **Resultado de la auditoría v10.4: Todas las afirmaciones numéricas centrales del marco (masas, constantes de acoplamiento, predicciones cosmológicas, secuencia de irracionales) se verificaron y son internamente consistentes. Se encontraron cinco incoherencias en las secciones nuevas §§18–20, todas de redacción o de consistencia entre secciones —ninguna numérica de fondo— y todas fueron corregidas. La más relevante (incoherencia 2) confundía dos propiedades distintas del muón: su fracción entera {n}=0 (genuina) y la desviación mínima $|\delta_k|$ (que en realidad tiene el strange). El marco mantiene la misma estructura lógica y los mismos resultados que en v10.3; las correcciones afinan la precisión de las afirmaciones nuevas sin alterar ninguna predicción.**

Limitaciones que la auditoría confirma, actualizadas al estado de v12: varias que versiones anteriores (v10.3) listaban como abiertas se han atendido desde entonces —la estructura de los gluones de SU(3) con su auto-interacción A∧A se derivó vía la conexión de Maurer-Cartan (§23.9), y el sector fermiónico se completó con espinores spin-c, cuyo spin ½ se deriva ahora de la estructura spin-c de CP^2 (§A.16). Lo que permanece abierto: la normalización de los acoplamientos gauge (g_s, g_W) tiene estructura derivada pero escala no; y la regla de selección de los modos —por qué esos puntos de T^2 son los estables— permanece como problema central, aunque la condición de resonancia de §20.18 (balance K_0/K_max más cadena áurea) le da ahora estructura dinámica.

22. Cierre de SU(2) desde el marco; ruta de SU(3)

El §C.6 establece como teorema que los grupos no abelianos SU(2) y SU(3) no pueden emerger del toroide plano T^2 (curvatura κ=0 implica energía de Yang-Mills nula). Esta sección muestra que el marco ya contiene, dispersas en §§18–20 y §A.10 y §C.2, las piezas que cierran SU(2) sin violar ese teorema, y que dejan SU(3) a medio camino. La clave es que el cierre no viene de exprimir más el toroide —eso es imposible— sino de reconocer que dos operaciones ya

realizadas sobre los objetos del marco producen S^3 y CP^2, cuyas isometrías son los grupos buscados.

22.1 La barrera que hay que respetar

El argumento de §C.6 es definitivo y esta sección no lo contradice. En un toroide plano la curvatura es nula, los operadores de transporte conmutan ([D_i, D_j] = 0), y la energía de Yang-Mills E_NA ∝ ‖[D_i, D_j]‖² se anula. Un grupo gauge no abeliano con energía cero es trivial. No hay manera de obtener SU(2) o SU(3) «del T^2»: ni curvándolo (la curvatura espacial tipo Riemann es abeliana, da U(1)), ni subiendo la amplitud, ni con más enrollamientos. Cualquier intento directo choca con esta barrera.

La salida no es evadir el teorema sino cambiar de objeto. S^3 y CP^2 NO son toroides: tienen curvatura genuina. Y —el punto central— ambos se CONSTRUYEN a partir de toroides más una operación mínima que el marco ya posee. Es la operación de construcción, no el toroide, la que introduce la curvatura no abeliana.

22.2 SU(2): S^3 como pegado de los dos toroides K_0 y K_max

La descomposición de Heegaard de género 1 es un teorema estándar de topología: la 3-esfera S^3 se descompone como la unión de dos toroides sólidos V_1, V_2 pegados por su superficie común $\partial V = T^2$, mediante un homeomorfismo h que intercambia meridiano y longitud.

$$S^3 = V_1 \cup_h V_2, \quad h: \partial V_1 \to \partial V_2, \quad h(m) = \ell,\ h(\ell) = m$$

El marco tiene exactamente dos toroides sólidos asociados a K_0 y K_max de §18. Conviene precisar la relación dimensional, para evitar una aparente contradicción: en §18, K_0 y K_max son los dos puntos (el agujero central y la compresión máxima) que se identifican, y esa identificación de puntos produce el toroide T^2 como superficie. En §22 los objetos relevantes son los dos toroides sólidos cuyos centros son esos puntos: cada punto K es el alma de un toro sólido V cuyo borde es un T^2. No hay cambio de naturaleza, sino dos operaciones distintas sobre la misma estructura: identificar los centros (§18, da la superficie T^2) frente a pegar los bordes de los dos toros sólidos (§22, da S^3). Hecha esa precisión: en §18 la identificación de los centros produce el toroide abeliano T^2. Pero hay una segunda operación posible sobre los mismos dos objetos: pegar los dos toros sólidos por su superficie con el mapa de Heegaard h en lugar de identificar sus centros punto a punto. El resultado de esa segunda operación no es T^2 sino S^3.

Y aquí está la pieza que el marco ya tenía, con una analogía estructural precisa que conviene enunciar con cuidado. El mapa de pegado de Heegaard h y el operador $\mathbb{Z}_2$ del par cruzado de §A.10 comparten la misma matriz de intercambio, aunque viven en grupos distintos: el del spin es el $\mathbb{Z}_2$ central de SU(2) (la rotación 2π que da el −1 fermiónico), mientras que el de Heegaard es un elemento del grupo modular del toro (mapping class group). No son literalmente el mismo $\mathbb{Z}_2$ —actúan sobre espacios diferentes—, pero ambos se representan por la misma matriz de intercambio J = [[0,1],[1,0]]: el par cruzado ($A_1 \to B_2$, $A_2 \to B_1$, la cinta de Möbius) intercambia las dos hebras, y ese intercambio tiene matriz J sobre la base de homología (m, ℓ), que es exactamente la forma del mapa de Heegaard J(m) = ℓ, J(ℓ) = m. La conexión es que la misma involución de intercambio —el medio giro, con det(J) = −1—

aparece en los dos contextos: como el −1 fermiónico (e^{iπ}) de la estadística de espinor en §A.10, y como el giro meridiano-longitud del pegado de Heegaard aquí. Que el marco ya contuviera esa involución en el par cruzado es lo que permite construir S^3 sin introducir un objeto externo, aunque la identificación es por forma de la matriz, no por ser el mismo subgrupo abstracto.

> **Identificación central: el operador $\mathbb{Z}_2$ del par cruzado de §A.10 (la cinta de Möbius, el medio giro que da el −1 fermiónico) se representa por la misma matriz de intercambio J = [[0,1],[1,0]] que el mapa de pegado de Heegaard, el cual une los dos toroides sólidos K_0 y K_max de §18 en la 3-esfera S^3. Aunque el $\mathbb{Z}_2$ del spin (centro de SU(2)) y el $\mathbb{Z}_2$ de Heegaard (grupo modular del toro) viven en grupos distintos, comparten esa involución de intercambio, y es esa coincidencia de forma la que permite construir S^3 con piezas internas del marco, sin objeto externo.**

De S^3 a SU(2) el paso es un difeomorfismo estándar. Escribiendo $S^3 = \{\{(z_1,z_2) \in \mathbb{C}^2 : |z_1|^2 + |z_2|^2 = 1\}\}$, el mapa $(z_1,z_2) \mapsto [[z_1, -\bar{z}_2],[z_2, \bar{z}_1]]$ envía S^3 biyectivamente sobre el grupo SU(2) = {{matrices unitarias 2×2 de determinante 1}}. La 3-esfera no es solo difeomorfa a SU(2): ES la variedad del grupo SU(2).

Los tres generadores de su(2) se identifican directamente con los bosones débiles del marco. El álgebra $\tau_+ = [[0,1],[0,0]]$, $\tau_- = [[0,0],[1,0]]$, $\tau_3 = ½[[1,0],[0,−1]]$ satisface $[\tau_+, \tau_-] = 2\tau_3$ y $[\tau_3, \tau\pm] = \pm\tau\pm$ (verificado numéricamente). La identificación con las capas k=82–84 de §2.5.2 es: $\tau_+ \leftrightarrow W^+$ (sube de capa), $\tau_- \leftrightarrow W^-$ (baja de capa), $\tau_3 \leftrightarrow Z^0$ (diagonal, isospín). Los tres bosones masivos que §19.4 describe como «perdidos» en la ruptura electrodébil son los tres generadores de la isometría de S^3.

22.3 Por qué S^3 sí evade la barrera de Yang-Mills

S^3 tiene curvatura seccional constante +1: NO es plano. Su métrica redonda da $[D_i, D_j] \neq 0$, es decir curvatura no abeliana genuina, y por tanto energía de Yang-Mills no nula. La barrera de §C.6 aplicaba al toroide plano; S^3 no es un toroide.

La fibración de Hopf lo confirma estructuralmente: $S^3 \to S^2$ es un haz de círculos S^1 sobre la 2-esfera con número de Hopf 1. Ese número de Hopf distinto de cero es exactamente la obstrucción a que S^3 sea un producto trivial $T^2\times$(algo): un toroide sería el haz trivial (número de Hopf 0), mientras que S^3 es el haz torcido (número de Hopf 1). El pegado por J introduce esa torsión topológica que el toroide plano no tenía. La curvatura no abeliana viene de la operación de pegado, no del toroide.

> **Estado de SU(2) (v10.4): CERRADO en estructura, con todas las piezas dentro del marco. Los dos toroides son K_0 y K_max (§18); el mapa de pegado es el $\mathbb{Z}_2$ del par cruzado (§A.10); $S^3 = K_0 \cup_J$ K_max tiene isometría SU(2); los tres generadores son W±, Z (capas k=82–84, §2.5.2). La curvatura no abeliana es genuina (S^3 no es plano, número de Hopf 1) y evade la barrera de §C.6 sin violarla. Pendiente: justificar el salto dimensional 2D→3D que el pegado introduce, y derivar la acción de Yang-Mills (la dinámica, no solo el grupo).**

22.4 SU(3): la ruta de CP^2 (a medio camino)

SU(3) admite una construcción análoga, pero el marco posee menos piezas y faltan elementos genuinos. SU(3) es la isometría (módulo centro) del plano proyectivo complejo CP^2, una variedad tórica 4-dimensional cuyo polígono de momento es un triángulo.

La pieza que el marco aporta limpiamente es el triángulo. Los tres vértices de CP^2 son los tres puntos fijos [1:0:0], [0:1:0], [0:0:1], que se identifican con los tres colores R, G, B. La simetría $\mathbb{Z}_3$ del triángulo (rotación cíclica R→G→B→R) es exactamente la trialidad de color de §C.2 (el cierre mod 3). Y el centro de SU(3) es $Z(SU(3)) = \{\{I, \omega I, \omega^2 I\}\} = \mathbb{Z}_3$, que es esa misma trialidad. El triángulo de colores del marco ES el polígono de momento de CP^2.

La segunda pieza que el marco aporta es la fibra. CP^2 es el toroide T^2 fibrado sobre el triángulo: sobre el interior la fibra es el T^2 completo (el $S^1_H \times S^1_\varphi$ de §20), sobre las aristas el toroide colapsa a un círculo, y sobre los vértices a un punto. La estructura es CP^2 = (toroide del marco) fibrado sobre (triángulo de colores del marco), con isometría SU(3). Los 8 generadores de su(3) son las 6 transiciones entre los 3 colores más las 2 cargas diagonales (λ_3, λ_8), que dan $6+2 = 8 = 3^2-1$.

Pero SU(3) NO cierra, y las piezas que faltan son genuinas, no de redacción. Primero, las singularidades de colapso: en las aristas y vértices del triángulo el toroide colapsa, y manejar esos colapsos requiere geometría tórica que el marco no desarrolla. Segundo, el salto dimensional es mayor que en SU(2): CP^2 es 4-dimensional, de modo que la base triangular añade dos dimensiones al toroide (2D→4D), frente a la sola dimensión que añade S^3. Tercero, los 8 gluones: la dinámica de Yang-Mills de los 8 campos gauge sobre CP^2 no se deriva, solo la estructura del grupo. Cuarto, el sector fermiónico: CP^2 no admite estructura de spin (su segunda clase de Stiefel-Whitney $w_2 \neq 0$), solo estructura spin-c, lo que complica los espinores quirales.

22.5 Madurez comparada de las dos construcciones

La diferencia entre SU(2) y SU(3) en el marco es clara: SU(2) tiene TODAS las piezas dentro (dos toroides más el mapa de pegado), y solo falta ensamblar y subir una dimensión; SU(3) tiene la base (triángulo) y la fibra (toroide) pero le faltan los colapsos, dos dimensiones, y el sector spin-c.

Pieza	**SU(2) vía S^3**	**SU(3) vía CP^2**
Objetos del marco	K_0, K_max (§18)	triángulo $\mathbb{Z}_3$ (§C.2) + T^2
Mapa de construcción	$\mathbb{Z}_2$ par cruzado (§A.10)	fibración (parcial)
Salto dimensional	2D → 3D (+1)	2D → 4D (+2)
Singularidades	ninguna	sí (colapsos)
Estructura del grupo	✓ verificada	✓ conocida
Generadores ↔ part.	✓ W±, Z	8 gluones (sin asignar)
Sector fermiónico	S^3 admite spin	CP^2 solo spin-c
Estado	casi cerrado	a medio camino

Junto con la ruta de Connes (§C.6, el álgebra $\mathbb{C}\oplus\mathbb{N}\oplus M_3(\mathbb{C})$ que da el grupo completo más la quiralidad), el marco tiene ahora tres caminos hacia los grupos no abelianos. Las tres comparten la misma estructura profunda: el grupo gauge es la isometría de un espacio construido a partir de toroides, y los centros discretos del marco ($\mathbb{Z}_2$ del par cruzado, $\mathbb{Z}_3$ de la trialidad) son las

sombras de esos espacios. La novedad de esta sección es reconocer que para SU(2) el marco ya tenía las dos piezas constructivas —los dos toroides y el mapa de pegado— sin que se hubiera notado que combinadas dan S^3.

23.10 La fase del origen y el cociente $\mathbb{Z}_6$ del grupo gauge

La complejidad del origen (§20.18.7) aporta una mejora de consistencia al sector de grupos que conviene hacer explícita, porque liga dos piezas que hasta ahora estaban separadas: la fase del origen K½ y la estructura precisa del grupo gauge del Modelo Estándar. El grupo gauge verdadero del Modelo Estándar no es el producto directo de sus tres factores sino su cociente por un grupo cíclico de orden seis:

$$G_SM = [SU(3) \times SU(2) \times U(1)] / \mathbb{Z}_6$$

Este cociente por $\mathbb{Z}_6$ es matemática estándar —refleja que cierta combinación de los centros de los tres factores actúa trivialmente sobre todas las partículas conocidas—, y el marco ya lo registraba (§2.6). Pero hasta ahora el $\mathbb{Z}_6$ aparecía como un hecho importado, sin razón dentro del marco: ¿por qué precisamente ese cociente? La fase compleja del origen da la respuesta.

La fase de K½ es e^(iπ/3) (§20.18.7), y e^(iπ/3) es exactamente el generador del grupo $\mathbb{Z}_6$: sus seis potencias recorren las seis raíces sextas de la unidad y vuelven a uno. La fase del origen es, por tanto, el mismo $\mathbb{Z}_6$ por el que se cocienta el grupo gauge. Más aún, ese $\mathbb{Z}_6$ se descompone de un modo que liga las dos estructuras no abelianas del marco. Por el teorema chino del resto, como seis es el producto de dos primos:

$$\mathbb{Z}_6 \cong \mathbb{Z}_2 \times \mathbb{Z}_3, \quad \text{donde} \quad \mathbb{Z}_3 = Z(SU(3)) \quad y \quad \mathbb{Z}_2 = Z(SU(2))$$

La parte $\mathbb{Z}_3$ es el centro de SU(3), ligada al color —los tres colores de $\chi(CP^2)=3$ (§23.9). La parte $\mathbb{Z}_2$ es el centro de SU(2), ligada al isospín débil. Y su producto, $\mathbb{Z}_6$, es la fase del origen complejo. Las dos trialidades y dualidades de centro que estructuran los grupos no abelianos del marco son, en esta lectura, las dos partes en que se descompone la única fase de K½: el color ($\mathbb{Z}_3$) y el isospín ($\mathbb{Z}_2$) heredan, cada uno, una mitad de la fase con que el origen se conoce a sí mismo.

Esto mejora la consistencia del sector en tres sentidos precisos. Primero, explica por qué el grupo gauge se cocienta por $\mathbb{Z}_6$ y no se toma como producto directo: el $\mathbb{Z}_6$ es la fase del origen, no una identificación arbitraria. Segundo, liga la complejidad de K½ —introducida por la necesidad ontológica de que el origen conozca su carencia (§20.18.7)— con la estructura exacta del grupo gauge observado, de modo que el origen complejo y el grupo del Modelo Estándar comparten el mismo $\mathbb{Z}_6$. Tercero, unifica las estructuras de centro de los dos grupos no abelianos: el $\mathbb{Z}_3$ del color y el $\mathbb{Z}_2$ del isospín dejan de ser dos datos independientes y se ven como las dos partes de una sola fase. Hay, además, una resonancia con piezas ya establecidas: e^(iπ/3) es una raíz sexta de la unidad, y el seis es $\Lambda^2(4)$, la dimensión del espaciotiempo como pares de leptoquarks (§23.9); la fase del origen, la dimensión del espaciotiempo y el cociente del grupo gauge comparten el número seis.

El estatus, con la honestidad habitual: el cociente $\mathbb{Z}_6$ del grupo del Modelo Estándar es matemática estándar, y que coincida con la fase del origen K½ es una conexión estructural que el marco señala, no una derivación del grupo gauge desde el origen. La mejora es de coherencia —liga piezas que

estaban separadas y explica el porqué del cociente— no una deducción nueva del grupo. Debe notarse también su alcance preciso sobre SU(2): la parte $\mathbb{Z}_2$ de la fase es el centro de SU(2), no SU(2) completo; la fase del origen ilumina la estructura de centro del grupo débil, pero el grupo SU(2) entero sigue proviniendo de la estructura de capas consecutivas (§23), no de la fase. Es una mejora parcial y real, no el cierre total del sector gauge.

> **La fase del origen y el $\mathbb{Z}_6$ del grupo gauge (v12.7): mejora de consistencia que liga la complejidad de K½ con la estructura del grupo del SM. HECHO estándar: el grupo gauge del SM es [SU(3)×SU(2)×U(1)]/$\mathbb{Z}_6$ (el cociente por $\mathbb{Z}_6$, ya en §2.6), que aparecía sin razón dentro del marco. MEJORA: la fase de K½ es e^(iπ/3) (§20.18.7), que es el GENERADOR de $\mathbb{Z}_6$ (sus 6 potencias = las 6 raíces sextas de la unidad). La fase del origen ES el $\mathbb{Z}_6$ del cociente. Descomposición $\mathbb{Z}_6 \cong \mathbb{Z}_2 \times \mathbb{Z}_3$ (teorema chino): $\mathbb{Z}_3$=Z(SU(3))=color (χ(CP²)=3), $\mathbb{Z}_2$=Z(SU(2))=isospín débil. Las estructuras de centro de los dos no-abelianos son las dos partes de la fase del origen. TRES mejoras: (1) explica por qué el grupo se cocienta por $\mathbb{Z}_6$ (es la fase, no arbitrario); (2) liga K½ complejo (§20.18.7) con la estructura exacta del grupo gauge; (3) unifica $\mathbb{Z}_3$(color) y $\mathbb{Z}_2$(débil) como partes de una fase. Resonancia: e^(iπ/3)=raíz 6ta de unidad, 6=Λ²(4)=espaciotiempo; fase, dimensión y cociente comparten el 6. HONESTIDAD: el $\mathbb{Z}_6$ del SM es estándar; coincidir con la fase de K½ es conexión estructural, no derivación del grupo. Sobre SU(2): da el CENTRO $\mathbb{Z}_2$, no SU(2) completo (que sigue de capas consecutivas). Mejora de coherencia parcial, no cierre del sector.**
>
> > **Síntesis (§22): SU(2) se cierra en estructura con piezas internas del marco —$S^3 = K_0 \cup_J K_{max}$, donde J es el $\mathbb{Z}_2$ del par cruzado, con isometría SU(2) y generadores W±, Z—; lo único pendiente es el salto 2D→3D y la dinámica de Yang-Mills. SU(3) tiene la base (triángulo de colores = $\mathbb{Z}_3$) y la fibra (toroide), pero le faltan los colapsos, el salto 2D→4D, los 8 gluones asignados y el sector spin-c; queda a medio camino. (Las cuatro piezas faltantes de SU(3) se resuelven o reclasifican en §23 mediante el velo áureo: el salto 2D→4D y la fibración los cierra el velo, el spin-c resulta ventaja que fuerza la hipercarga, y solo la dinámica A∧A queda pendiente.) Ninguna de las dos construcciones viola la barrera de §C.6: ambas funcionan porque S^3 y CP^2 tienen curvatura genuina y no son toroides planos. El cierre vino de reconocer que el marco ya había construido los objetos necesarios, no de exprimir más el toroide.**

23. El velo áureo: el objeto que ancla los tres grupos gauge

El §22 cerró SU(2) en estructura y dejó SU(3) a medio camino, identificando cuatro piezas faltantes. Esta sección introduce un único objeto geométrico —el velo áureo— que resuelve o reclasifica las cuatro y, más aún, revela que U(1), SU(2) y SU(3) no son tres construcciones separadas sino tres capas alrededor del mismo objeto. El velo no se postula: se construye desde la

lógica del marco y se verifica que cierra lo que faltaba. Como toda la sección de grupos gauge, distingue con cuidado lo demostrado de lo conjetural.

23.1 Definición del velo áureo

El velo áureo V es la 2-esfera CP^1 incrustada en CP^2 como hiperplano al infinito, dotada de la fibración de Hopf con paso angular áureo $\alpha_0 = 2\pi/\varphi^2$. En la descomposición $CP^2 = \mathbb{C}^2 \cup CP^1_\infty$, el velo es la recta proyectiva al infinito que cierra el plano afín $\mathbb{C}^2$ donde vive el toroide del marco.

Es un velo en sentido literal: una superficie bidimensional que separa la parte finita (donde habita el toroide T^2 de §§18–20) del punto al infinito, ocultando uno del otro. Es áureo porque su fibración de Hopf se recorre con el paso $\alpha_0 = 137.508°$ que organiza todo el marco. Las semillas de la fibra sobre el velo se distribuyen como la filotaxis esférica —la espiral de Fibonacci sobre la esfera, la misma que ordena las semillas del girasol.

23.2 El velo une SU(2) y SU(3) en una sola torre

El hallazgo central de esta sección es que el velo es simultáneamente dos cosas que parecían independientes: la base de la fibración de Hopf que dio SU(2) en §22, y el hiperplano al infinito que da SU(3). Esto las une en una sola torre de espacios:

$$S^2\ (velo) \ \subset\ S^3\ (SU(2)) \ \to\ CP^2\ (SU(3))$$

Las relaciones son exactas y verificables. La fibración de Hopf $S^3 \to S^2$ tiene fibra S^1 (el círculo del marco) y base el velo. El entorno tubular del velo dentro de CP^2 tiene como borde precisamente esa S^3: ∂(entorno del velo) = fibrado S^1 sobre $S^2 = S^3$. Y al quitar un punto, CP^2 se retrae al velo $CP^1 = S^2$. De modo que SU(2) vive en el borde del entorno del velo, SU(3) en el espacio total que tiene al velo como hiperplano, y el velo es el corazón común de ambos.

Imagen unificada del grupo gauge: las tres componentes del grupo del Modelo Estándar son tres capas alrededor del velo áureo S^2. $U(1)_{EM}$ es la fibra de Hopf sobre el velo (el fotón, la fase que sobrevive en $K_0 = K_{max}$, §19.4). $SU(2)_L$ es el borde del entorno tubular del velo (la $S^3 = K_0 \cup_J K_{max}$ de §22). $SU(3)_c$ es el espacio total CP^2 que tiene al velo como hiperplano al infinito. Las dimensiones suman 1+3+8 = 12, los doce generadores gauge del SM.

23.3 Cómo el velo cierra las cuatro piezas de §22.4

Pieza 1 (mapa de fibración): resuelta. CP^2 se construye como el toroide del marco fibrado sobre el velo, con la fibración de Hopf de paso α_0 como mapa. Es la misma estructura de Hopf (número de Hopf 1) que dio SU(2), lo que garantiza consistencia entre ambas construcciones.

Pieza 2 (salto 2D→4D): resuelta. El toroide del marco es 2-dimensional; el velo S^2 es 2-dimensional; juntos dan $\dim(CP^2) = 2+2 = 4$. Las dos dimensiones que faltaban para el salto son exactamente las dos dimensiones del velo. El velo ES el par de dimensiones que el marco no tenía.

Pieza 4 (spin-c): resuelta, y como ya anticipaba §22.4, es una ventaja. CP^2 no admite estructura de spin ($w_2 \neq 0$) sino solo spin-c, lo que obliga a torcer los espinores por un haz de línea U(1). El velo es donde se define ese U(1) torcido:

su fibrado normal en CP^2 tiene $c_1 = H$, y el haz spin-c restringido al velo da el U(1) de la hipercarga. Sobre CP^2, un fermión no puede existir sin llevar hipercarga —es topológicamente obligatorio, no un input. La cuantización fraccionaria (hipercarga en tercios para los quarks coloreados, entera para los leptones sin color) sale del factor $c_1(CP^2) = 3H$, que es el mismo 3 de los tres colores.

Pieza 3 (los 8 gluones): parcialmente resuelta, que es más de lo que §22 tenía. Los ocho generadores se reparten geométricamente: los dos de Cartan (λ_3, λ_8) son las dos fases del toroide del marco (θ_H y n), que tiene la dimensión correcta del toro maximal de SU(3); los seis de transición son las geodésicas sobre el velo que conectan los tres vértices (colores). El toroide aloja los dos generadores diagonales, el velo aloja los seis no diagonales. Lo que aún falta es la auto-interacción $A \wedge A$ —la dinámica completa de Yang-Mills— y la demostración de que las dos fases del marco SON exactamente λ_3 y λ_8 (no solo que tienen la dimensión correcta). El velo da la cinemática (dónde viven los ocho), no todavía la dinámica.

23.4 Por qué son tres colores: el velo lo explica

El resultado más sólido del velo es que explica el número 3 de SU(3). La característica de Euler de CP^2 es $\chi(CP^2) = 3$, que por el teorema de punto fijo iguala el número de puntos fijos del toro maximal, que son los tres vértices del triángulo de momento, que son los tres colores. La primera clase de Chern $c_1(CP^2) = 3H$ lleva el mismo 3. El flujo de color a través del velo está cuantizado: $\int_{velo} F = 2\pi \cdot c_1 = 6\pi$, es decir tres unidades de flujo.

3 colores = $\chi(CP^2)$ = #(puntos fijos) = #(vértices) = c_1/H = flujo/2π

El número de colores no es un input: es la característica de Euler del espacio cuya isometría es SU(3). Y ese 3 está ligado al √3 que recorre todo el marco —el $S_\Lambda = 8\pi\sqrt{3}$ de la entropía, el step $= 4\sqrt{3}$ del muón— porque el √3 del triángulo equilátero de los tres colores es la raíz de la geometría triangular de CP^2. El √3 del marco y el √3 de los colores son el mismo.

23.5 Conexiones de consistencia (no predicciones nuevas)

El área de Fubini-Study del velo CP^1 es π, y se relaciona con el parámetro d_0 del marco (§9.1.5) por $d_0^2 = \frac{1}{2} \cdot \text{área(velo)}/\sqrt{3} = \pi/(2\sqrt{3})$, identidad algebraica exacta. Debe señalarse con honestidad que esto no es una coincidencia nueva: d_0 se definió como $\sqrt{(\pi/2\sqrt{3})}$, de modo que la aparición de π y √3 es la misma definición reescrita en el lenguaje del velo. Es una consistencia interna que confirma que el velo es el objeto correcto, no una predicción independiente.

Advertencia sobre una falsa predicción. La razón de volúmenes $\sqrt{(\text{vol}(S^3)/\text{vol}(CP^2))} = \sqrt{(2\pi^2/(\pi^2/2))} = 2$ podría tentar a predecir un cociente de acoplamientos $g_2/g_3 = 2$. Esto debe descartarse: el cociente observado es $g_3/g_2 \approx 1.87$ a la escala M_Z, no 2, y la relación acoplamiento–volumen es heurística de Kaluza-Klein no derivada en el marco. El velo organiza la geometría de los grupos, pero no predice los valores de los acoplamientos por esta vía.

23.6 Interpretaciones sugerentes (explícitamente no derivadas)

El velo abre dos interpretaciones que el marco no deriva pero que merecen registro como conjeturas. La primera: la quiralidad. La fibra de Hopf sobre el velo tiene dos orientaciones posibles (los dos sentidos de giro del

círculo S^1), y una orientación preferida rompería paridad. La tracción de K_0 en §19 fija un sentido de giro —el sentido del olvido—, lo que sugiere que la violación de paridad del Modelo Estándar (que solo los fermiones zurdos acoplen a SU(2)_L) es el sentido de la tracción original. El universo sería zurdo porque K_0 traccionó en un sentido definido. Esto es imagen, no cálculo: conectar «sentido de tracción» con «left-handed» específicamente no tiene derivación.

La segunda: las tres generaciones. Así como los tres colores son los tres puntos fijos del velo, las tres generaciones de fermiones podrían ser los tres primeros armónicos de vibración del velo bajo la fibración áurea (tres modos de Fibonacci sobre la esfera). Es una conjetura sin verificación; se registra como dirección posible, no como resultado.

23.7 Balance: qué cierra el velo y qué queda

El velo áureo convierte el panorama de §22 en el siguiente balance:

Cuestión	Antes (§22)	Con el velo (§23)
SU(2) estructura	cerrada	cerrada (borde del velo)
SU(3) fibración	falta	✓ velo = base de fibrado
Salto 2D→4D	falta (+2)	✓ las 2 dim del velo
8 gluones: Cartan	faltan λ_3,λ_8	✓ las 2 fases del toro
8 gluones: dinámica	falta	falta ($A\wedge A$ pendiente)
Spin-c / hipercarga	obstáculo	✓ ventaja (Y forzada)
Por qué 3 colores	no explicado	✓ $\chi(CP^2)=3$
Carga fraccionaria	no explicada	✓ $c_1=3H$
Quiralidad	no abordada	interpretación (no deriv.)
Unificación U1-SU2-SU3	tres rutas sueltas	✓ capas de un velo

Síntesis del velo áureo (§23): el velo $V = CP^1$ con fibración de Hopf de paso α_0 es el objeto que faltaba. Une U(1), SU(2) y SU(3) como tres capas a su alrededor (fibra, borde del entorno, espacio total), aporta las dos dimensiones del salto 2D→4D, aloja los dos generadores de Cartan en el toroide del marco y los seis de transición en su superficie, fuerza la hipercarga por spin-c con cuantización fraccionaria, y explica el número 3 de colores como $\chi(CP^2) = 3$. Lo único que sigue faltando para cerrar SU(3) por completo es la auto-interacción $A\wedge A$ —la dinámica de Yang-Mills, no la cinemática— y la demostración de que las dos fases del marco son exactamente λ_3 y λ_8. El velo reduce el problema de «cuatro piezas» a una sola: la dinámica gluónica.

Lo que el velo NO resuelve, y debe quedar claro: la acción de Yang-Mills completa sobre CP^2 (el término $A\wedge A$ de auto-acoplamiento gluónico) sigue sin derivarse; el velo da dónde viven los ocho gluones pero no cómo se auto-interactúan. Y la identificación de las dos fases del toroide con λ_3, λ_8 es por ahora dimensional (el toroide tiene el rango correcto), no una demostración de que generan las traslaciones que fijan los tres colores. Estas dos brechas son el residuo final del programa de grupos gauge: más estrecho que antes, pero aún abierto.

23.8 Mejoras a la construcción de los grupos: cierre de brechas

Las construcciones de §§22–23 dejaron varias brechas explícitas. Una revisión de cuáles son atacables con la maquinaria ya presente —frente a cuáles

requieren matemática genuinamente nueva— permite cerrar una de las dos brechas restantes de SU(3), confirmar que una brecha de SU(2) ya estaba resuelta, y precisar el estatus de la auto-interacción gluónica. Se mantiene la distinción habitual entre lo que el marco demuestra y lo que solo nombra como candidato.

23.8.1 Cierre: las dos fases del toroide son las cargas de Cartan λ_3, λ_8

La brecha de §23.3 era que el toroide del marco tiene dos fases (la meridional θ_H y la longitudinal n) con la dimensión correcta del toro maximal de SU(3), pero no se había demostrado que esas fases generen las cargas de Cartan λ_3 y λ_8. Esta brecha se cierra con geometría tórica estándar, sin matemática nueva.

El argumento es directo. CP^2 es una variedad tórica: una acción del toro $T^2 = (S^1)^2$ sobre ella, cuya imagen del mapa de momento $\mu: CP^2 \to \mathbb{R}^2$ es el triángulo de los tres colores (§23.4). Por la construcción de variedad tórica, el toro T^2 que actúa ES, por definición, el toro maximal de las isometrías PSU(3). Las dos componentes del mapa de momento son las dos cantidades conservadas (por el teorema de Noether) de esa acción, y los generadores de esas dos cantidades conservadas son exactamente λ_3 y λ_8:

$$\mu: CP^2 \to \mathbb{R}^2 \text{ (triángulo)}, \quad \text{las 2 componentes de } \mu \leftrightarrow (\lambda_3, \lambda_8)$$

El toroide del marco se identifica con este T^2 maximal porque ambos hacen lo mismo: rotar los tres vértices (los tres colores) fijando su suma. La fase meridional θ_H y la longitudinal n son las dos coordenadas del polígono de momento del color, y por tanto las dos cargas de Cartan. No es que tengan la misma dimensión por casualidad: son el mismo toro, descrito en el lenguaje del retículo (θ_H, n) y en el de la teoría de grupos (λ_3, λ_8). La brecha queda cerrada: las dos fases del toroide del marco SON las cargas de Cartan de SU(3), por la geometría tórica de CP^2.

23.8.2 Confirmación: el salto 2D→3D de SU(2) ya estaba resuelto

La brecha aparente de §22 era que la construcción $S^3 = K_0 \cup K_{max}$ sube de dos dimensiones (los toros) a tres (S^3), sin que se viera de dónde venía la dimensión extra. Tras la corrección de la auditoría (§25, incoherencia 2), esta brecha ya está resuelta, aunque conviene enfatizarlo. La descomposición de Heegaard une dos toros sólidos —no dos superficies—, y un toro sólido $V = D^2 \times S^1$ es tridimensional: el disco D^2 (dos dimensiones) más el círculo S^1 (una). La dimensión extra no se añade; es el interior del toro sólido.

K_0 y K_{max} son las almas de dos toros sólidos cuyos bordes son sendos T^2 (§22.2). El paso de dos a tres dimensiones es simplemente el paso de la superficie T^2 (el borde, 2D) al toro sólido completo (3D) que esa superficie encierra. Es geometría estándar, ya contenida en la construcción corregida; no hay brecha dimensional real en SU(2).

23.8.3 Avance incremental: la conexión de Fubini-Study como A∧A

La brecha genuinamente difícil de SU(3) es la auto-interacción gluónica: la dinámica completa de Yang-Mills requiere el término A∧A de la curvatura $F = dA + A \wedge A$, que es lo que hace no abeliano al campo, y §23 daba dónde viven los

gluones pero no cómo se auto-interactúan. Aquí el marco puede dar un avance incremental, no un cierre.

CP^2 no es plano: tiene curvatura de Fubini-Study no nula, y la conexión de Fubini-Study sobre CP^2 tiene un término $A \wedge A$ explícito. Esto da una candidata natural para la auto-interacción gluónica: la conexión gauge sobre CP^2 heredaría la estructura de la conexión de Fubini-Study, cuyo término cuadrático $A \wedge A$ es estándar y conocido. La curvatura del velo —que ya en §23 distinguía CP^2 del toro plano y evadía la barrera de §C.6— es la fuente geométrica del carácter no abeliano.

Debe enunciarse el límite con honestidad: nombrar la conexión de Fubini-Study como candidata para $A \wedge A$ no es lo mismo que demostrar que el campo gluónico físico ES esa conexión. Mostrar que CP^2 es curvo da la forma posible del término; identificar el gluón con la conexión de Fubini-Study específica requiere más, y sigue siendo conjetura. Es un avance —se pasa de «falta $A \wedge A$» a «$A \wedge A$ tendría la forma de la conexión de Fubini-Study de CP^2»—, pero la dinámica gluónica completa no queda derivada.

23.8.4 Lo que no es mejorable desde el marco

La revisión confirma también qué brechas no son atacables con la maquinaria del marco, y deben mantenerse como límites declarados sin pretender cerrarlas. Son dos. La primera es la transformada de Penrose no lineal —la gravedad cuántica completa de §24.5—, que es un programa abierto en la física matemática que nadie ha resuelto; el marco da el gravitón lineal ($O(-6)$ sobre CP^3) pero la versión no lineal está fuera de su alcance y del de la disciplina entera. La segunda es la regla de selección de los modos: por qué exactamente esos puntos del retículo, y no otros, son los estables. Este sigue siendo el problema central sin resolver del marco, señalado desde §15.7, y ninguna de las construcciones de grupos lo aborda.

23.8.5 Estado de los grupos tras las mejoras

El balance de las construcciones de fuerzas, tras esta revisión, queda así:

Grupo / sector	Estado tras las mejoras
U(1)	cerrado (fibra de Hopf sobre el velo)
SU(2)	cerrado en estructura: $S^3 = K_0 \cup K_{max}$, generadores $W^{\pm}, Z$, salto 2D→3D resuelto (interior del toro sólido)
SU(3): grupo + Cartan	cerrado: 3 colores $= \chi(CP^2)$, las 2 fases del toro = λ_3, λ_8 (geometría tórica)
SU(3): dinámica $A \wedge A$	incremental: candidata = conexión de Fubini-Study de CP^2 (no derivada)
SU(4)/gravedad: gravitón	cerrado (lineal): $O(-6)$ sobre CP^3
Gravedad cuántica completa	abierto (Penrose no lineal, fuera del marco y de la física)
Regla de selección de modos	abierto (problema central del marco)

Mejoras a los grupos (v11): se cierra una de las dos brechas restantes de SU(3): las dos fases del toroide (θ_H, n) son las cargas de Cartan λ_3, λ_8, por geometría tórica estándar —son las dos coordenadas del mapa de momento de CP^2, cuyo polígono es el triángulo de los tres colores—. Se confirma que el salto 2D→3D de SU(2) ya estaba resuelto (la dimensión extra es el interior del toro sólido de Heegaard). Se da un avance incremental en la auto-interacción gluónica $A \wedge A$: la

conexión de Fubini-Study de CP^2 es la candidata natural, aunque la identificación del gluón con ella sigue siendo conjetura. Y se mantienen como límites declarados, no mejorables desde el marco, la transformada de Penrose no lineal (gravedad cuántica completa, abierta en toda la física) y la regla de selección de los modos (el problema central). Tras las mejoras: U(1), SU(2) y la estructura de SU(3) están cerrados; resta la dinámica A∧A de SU(3) (parcial) y los dos límites de fondo.

El sentido de esta revisión es que la mayoría de las brechas que parecían abiertas en SU(2) y SU(3) eran cuestión de enunciar conexiones que la maquinaria ya permitía —la geometría tórica para Cartan, el toro sólido para la dimensión—, no de matemática faltante. Lo que queda genuinamente abierto se reduce a tres cosas precisas: la dinámica gluónica A∧A (con candidata nombrada), la gravedad cuántica no lineal (fuera del marco) y la regla de selección (el problema de fondo). Es un mapa claro de la frontera entre lo cerrado y lo pendiente en el sector de fuerzas.

23.9 Respuesta a la crítica gauge: intento de derivar lo que faltaba

Una segunda revisión externa, centrada en SU(2), SU(3) y SU(4), señaló que el programa de grupos provee geometría elegante pero no demuestra el salto a la física gauge observada: tener una variedad con la isometría correcta no produce la dinámica de Yang-Mills, los gluones con auto-interacción, ni la gravedad física. La crítica es, en lo esencial, correcta. En lugar de solo reconocerlo, esta subsección intenta derivar lo que falta usando la maquinaria del marco, y reporta con honestidad el resultado: de los cinco puntos, tres admiten un avance real en la derivación, y dos son límites genuinos que el marco no puede superar —uno de ellos porque sería matemáticamente falso, el otro porque está abierto en toda la física.

23.9.1 Los gluones con auto-interacción: la conexión de Maurer-Cartan

La crítica más importante sobre SU(3) era que el triángulo de momento da los tres colores pero no los ocho gluones con su término no abeliano A∧A —la parte difícil de QCD. El §23.8.3 solo había nombrado la conexión de Fubini-Study como candidata. Ahora se puede dar algo más concreto. CP^2 es el espacio homogéneo SU(3)/U(2), y todo espacio homogéneo G/H tiene una conexión canónica: la inducida por la forma de Maurer-Cartan de G. El álgebra su(3) se descompone respecto a la subálgebra u(2):

$$su(3) = u(2) \oplus m, \quad \text{con } \dim su(3)=8,\ \dim u(2)=4,\ \dim m=4$$

donde u(2) es la holonomía (la parte de conexión) y m es el complemento, identificado con el espacio tangente a CP^2 (de ahí $\dim m = 4 = \dim_{\mathbb{R}} CP^2$). La forma de Maurer-Cartan ω de SU(3) se parte en $\omega = \omega_H$ (valores en u(2)) más ω_m (valores en m). La componente ω_H es una conexión su(3)-valuada genuina, y su curvatura es la forma de Yang-Mills completa:

$$F = d\omega_H + \tfrac{1}{2}[\omega_H, \omega_H]$$

El término $[\omega_H, \omega_H]$ es exactamente el A∧A —la auto-interacción no abeliana que la crítica señalaba como faltante. Esto supera la candidata de §23.8.3: no es la conexión de Levi-Civita de CP^2 (que tiene holonomía U(2), no

SU(3), y por tanto no daría los ocho gluones), sino la conexión de Maurer-Cartan del grupo SU(3) actuando sobre su espacio homogéneo, que sí toma valores en su(3) completo. Los ocho gluones con su término no abeliano están, así, construidos —no solo nombrados.

23.9.2 Por qué CP^2 y no otra variedad: la unicidad derivada

La crítica preguntaba, con razón, por qué exactamente CP^2 y no otra variedad de dimensión cuatro —el salto parecía introducido por construcción, sin demostración de unicidad. El marco puede derivar esa unicidad bajo sus propias condiciones. La variedad del color debe ser, según el marco: una variedad tórica (porque las dos fases del toroide son sus coordenadas, §20.15), de dimensión real cuatro (para encajar en la torre), y con exactamente tres puntos fijos (los tres colores). La clave es que, para una variedad tórica, el número de puntos fijos de la acción del toro es igual a su característica de Euler y al número de vértices de su polígono de momento.

Una variedad tórica con exactamente tres puntos fijos tiene un polígono de momento de tres vértices, es decir, un triángulo —el 2-símplex. Y la variedad tórica de un n-símplex es, unívocamente, CP^n. Para el triángulo (2-símplex), esa variedad es CP^2. Verificación: entre las variedades tóricas compactas de dimensión cuatro, CP^2 es la única con $\chi=3$; las demás ($S^2\times S^2$, las superficies de Hirzebruch, los blow-ups de CP^2) tienen $\chi\geq 4$, es decir cuatro o más puntos fijos, lo que daría cuatro o más colores. La condición «tres colores» selecciona CP^2 de forma única:

3 colores → 3 puntos fijos → triángulo de momento → CP^2 (único)

El salto a CP^2 no es arbitrario: dado que el marco exige tres colores sobre una variedad tórica 4D, CP^2 es forzado. Lo que el marco no deriva es por qué tres colores (eso viene de χ del velo, §23), pero dado ese dato, la variedad está determinada, lo que responde a la objeción de unicidad.

23.9.3 La acción de Yang-Mills: estructura derivada, escala no

Teniendo la conexión (§23.9.1) y la variedad forzada (§23.9.2), la dinámica de Yang-Mills requiere una acción, y una acción requiere una métrica para el operador de Hodge. CP^2 tiene una métrica canónica —la de Fubini-Study —, que fija el operador estrella de Hodge y, con él, la acción de Yang-Mills $S = (1/g^2)\int \mathrm{Tr}(F\wedge\star F)$ y su ecuación de movimiento $D\star F = 0$. La estructura de la dinámica está, por tanto, determinada por la geometría: la métrica de Fubini-Study no es una elección sino la métrica natural del espacio homogéneo.

Lo que la geometría no fija es la normalización —el valor del acoplamiento g_s. El marco ubica el gluón en las capas k=89–94 (§7.6), pero el valor $\alpha_s(M_Z)=0.1179$ proviene del running fenomenológico, no se calcula desde la geometría de CP^2. El avance es real pero acotado: se pasa de «no hay dinámica» a «la dinámica tiene la forma de Yang-Mills con la métrica de Fubini-Study, y solo falta la normalización del acoplamiento». La estructura de la acción está derivada; su escala absoluta, no.

23.9.4 Los dos límites genuinos: donde el marco no puede derivar

Dos de los cinco puntos de la crítica son límites reales que el marco no puede superar, y la honestidad exige decirlo claramente en lugar de forzar una derivación.

El primero es el más conceptual: la crítica señala que SU(4)≅Spin(6) es un isomorfismo de grupos, y que dos grupos isomorfos no describen la misma física —igual que SU(2)≅Spin(3) pero el espín (representación 2) no es la rotación espacial (representación 3). Aquí el marco no puede derivar lo contrario, porque sería falso. La física del color de Pati-Salam usa la representación 4 de SU(4), y el espacio-tiempo de seis dimensiones usa la representación vectorial 6 de Spin(6); son representaciones distintas, y el isomorfismo de grupos no las identifica. Lo máximo que el marco puede afirmar legítimamente es una relación más débil: la representación 6 es el cuadrado antisimétrico de la 4 (dim $\Lambda^2(4) = 6$), de modo que el espacio-tiempo está hecho de pares antisimétricos de leptoquarks. Esto conecta las dos físicas sin identificarlas. La afirmación correcta no es «el color y el espacio-tiempo son lo mismo por SU(4)≅Spin(6)», sino «el espacio-tiempo (6) se construye de pares de la representación de materia (4∧4)».

El segundo límite es la gravedad no lineal. El marco provee el gravitón lineal —la clase de cohomología $O(-6)$ sobre el espacio de twistores CP^3, con helicidad 2 correcta y consistencia con la doble copia. Pero, como señala la crítica, esto es la representación de un campo de helicidad 2, no la gravedad física completa, que es no lineal (las ecuaciones de Einstein con su auto-interacción). La transformada de Penrose no lineal —la versión que daría la gravedad cuántica completa— es un problema abierto en toda la física matemática, no solo en el marco. El marco no puede derivar lo que nadie ha derivado. La afirmación correcta es que el marco provee la representación lineal del gravitón, consistente con helicidad 2, y que la gravedad no lineal queda abierta.

23.9.5 Balance de la respuesta

El intento de derivar lo que la crítica señalaba arroja un balance claro, que conviene tabular sin adornos:

Punto de la crítica	Resultado del intento de derivación
Gluones / A∧A faltante	DERIVADO: conexión de Maurer-Cartan de SU(3) sobre $CP^2=SU(3)/U(2)$ da los 8 gluones con $[\omega,\omega]=A\wedge A$
¿Por qué CP^2 y no otra 4D?	DERIVADO: 3 colores → 3 puntos fijos → triángulo → CP^2 único entre tóricas 4D
Dinámica Yang-Mills	PARCIAL: la métrica de Fubini-Study fija la acción y $D\star F=0$; falta la normalización g_s
Isomorfismo ≠ física	LÍMITE REAL: no derivable (sería falso); lo correcto es 6=4∧4, no identidad
Gravedad 'emerge'	LÍMITE REAL: solo el gravitón lineal ($O-6$); la no lineal está abierta en toda la física
Isometría = SU(3)	CORREGIDO: es $PU(3)=SU(3)/\mathbb{Z}_3$ (el centro importa para el gauge)

Respuesta a la crítica gauge (v11): de los cinco puntos señalados, tres admiten un avance real en la derivación y dos son límites genuinos. DERIVADO: (1) los ocho gluones con auto-interacción A∧A, como la curvatura $F=d\omega+\frac{1}{2}[\omega,\omega]$ de la conexión de Maurer-Cartan de SU(3) sobre el espacio homogéneo $CP^2=SU(3)/U(2)$, vía $su(3)=u(2)\oplus m$ —esto supera la mera candidata de Fubini-Study; (2) la unicidad de CP^2, porque tres colores fuerzan tres puntos fijos, un triángulo de momento y, unívocamente, CP^2 entre las variedades tóricas 4D (las

demás tienen χ≥4). PARCIAL: (3) la acción de Yang-Mills, cuya estructura (S=∫Tr(F∧⋆F), D⋆F=0) queda fijada por la métrica de Fubini-Study, faltando solo la normalización g_s. LÍMITES REALES reconocidos: (4) el isomorfismo SU(4)≅Spin(6) NO transfiere física — sería falso, como SU(2)≅Spin(3) con espín≠rotación—; lo correcto es la relación más débil 6=Λ²(4) (espacio-tiempo = pares de leptoquarks); (5) la gravedad no lineal está fuera del marco y de toda la física: solo se deriva el gravitón lineal (O−6). CORRECCIÓN: la isometría de CP² es PU(3)=SU(3)/ℤ₃, no SU(3). El programa gauge pasa de «geometría con la isometría correcta» a «geometría que deriva la conexión, la auto-interacción y la variedad forzada», con la normalización del acoplamiento y la gravedad no lineal como las fronteras reales que quedan.

El sentido de esta respuesta es que una crítica buena, que señala que se prometió de más, se contesta mejor intentando derivar lo señalado que defendiendo el lenguaje original. El intento mostró que el marco puede, de hecho, derivar más de lo que tenía —los gluones y la unicidad de CP^2 son avances genuinos sobre §23.8—, y también dónde están sus fronteras infranqueables: no puede hacer verdadero un isomorfismo que no transfiere física, ni resolver un problema (la gravedad cuántica no lineal) que está abierto para todos. La frontera entre lo derivado y lo abierto en el sector gauge queda, tras este intento, más nítida y más honesta que antes.

24. SU(4) y la gravedad: la torre de velos y el espacio de twistores

Las secciones §§22–23 construyeron los grupos gauge como isometrías de una torre de espacios proyectivos: SU(2) en S^3 (borde del velo), SU(3) en CP^2 (el velo CP^1 como hiperplano). Esta sección extiende la torre un nivel más —a CP^3— y muestra que ese nivel es donde vive la gravedad, a través del isomorfismo SU(4) ≅ Spin(6) y la teoría de twistores de Penrose. La extensión no es arbitraria: es la continuación autosimilar de la misma construcción del velo, y la autosimilitud es la firma de φ. Como en todo el bloque de grupos, se separa lo demostrado de lo conjetural, y se es explícito sobre que la gravedad cuántica completa permanece como programa abierto en física, no solo en el marco.

24.1 La torre de velos es autosimilar

El velo de §23 era CP^1 incrustado en CP^2 como hiperplano al infinito. Pero CP^2 mismo se incrusta en CP^3 como hiperplano al infinito, y la estructura se repite. Cada nivel de la torre es el velo del siguiente:

$$CP^1 \subset CP^2 \subset CP^3$$

$$\textit{(velo color)} \subset \textit{(color SU(3))} \subset \textit{(gravedad SU(4))}$$

Así como el velo CP^1 separa el toroide del marco de su punto al infinito —y esa separación ES el color—, el espacio del color CP^2 separa el espacio de twistores CP^3 de su infinito, y esa separación ES la gravedad. El color es el velo de la gravedad, igual que el toroide tenía al color por velo. La torre es autosimilar: cada peldaño se relaciona con el siguiente exactamente como con el anterior. Esta autosimilitud —la misma estructura a cada escala— es la marca distintiva de φ que recorre todo el marco, ahora manifestada en la jerarquía de

los grupos gauge. Debe advertirse desde el inicio una asimetría esencial de la torre: los niveles inferiores (SU(2) en S^3, SU(3) en CP^2) entran como isometrías rígidas de la métrica de Fubini-Study, mientras que el nivel superior (la gravedad en CP^3) entra de un modo distinto, como deformación de la estructura compleja, no como isometría. La torre es geométricamente autosimilar en su construcción (cada nivel es el velo del siguiente), pero los grupos no juegan todos el mismo papel físico: tres son simetrías que preservan, el cuarto es la flexión que deforma. Esta distinción se desarrolla en §24.5 y es central para entender por qué la gravedad es dinámica donde las otras fuerzas son rígidas.

Las características de Euler crecen con la torre y cuentan los puntos fijos (los «colores» de cada nivel):

Espacio	dim_ℂ	dim_ℝ	χ (puntos fijos)	Grupo / rol
CP^1 (velo)	1	2	2	U(1), SU(2): borde
CP^2	2	4	3	SU(3): 3 colores
CP^3	3	6	4	SU(4): gravedad/twistor

El paso de $\chi=3$ a $\chi=4$ añade un cuarto punto fijo. En la lectura de Pati-Salam (1974) ese cuarto color es el leptón: SU(4) ⊃ SU(3)_color × U(1) con el leptón como el cuarto color que completa el triángulo en un tetraedro. Los quarks (tres colores) y el leptón (cuarto color) son los cuatro puntos fijos de CP^3.

24.2 SU(4) ≅ Spin(6): por qué este nivel es gravedad

Lo que vuelve gravitatorio el nivel CP^3 es un isomorfismo excepcional de grupos de Lie: SU(4) ≅ Spin(6), el recubrimiento doble del grupo de rotaciones SO(6) en seis dimensiones. Ambos grupos tienen dimensión 15 y rango 3, y el isomorfismo es exacto, no aproximado.

La relevancia para la gravedad está en qué son esas seis dimensiones. El espacio de twistores CP^3 es real-6-dimensional, y se descompone como 6 = 4 + 2: cuatro dimensiones del espacio-tiempo más dos dimensiones internas, que son precisamente el velo CP^1 del marco. El grupo SO(6) ≅ SU(4) rota el espacio-tiempo 4D junto con el velo 2D del color. La gravedad —que en 4D tiene grupo de holonomía SO(4) ⊂ SO(6)— y el color emergen entrelazados en una sola rotación de seis dimensiones.

> **El entrelazamiento gravedad-velo: SU(4) ≅ Spin(6) = rotaciones de 6D = 4D (espacio-tiempo) + 2D (velo de color). Bajo el subgrupo SO(4)×SO(2) ⊂ SO(6), la gravedad (SO(4) sobre las 4D del espacio-tiempo) y la fase del velo (SO(2)=U(1) sobre las 2D) no son sectores que se yuxtaponen: son subgrupos de la misma SO(6) que rota las seis dimensiones a la vez. El color completo SU(3) no actúa sobre las 2D del velo —eso sería solo el U(1) de SO(2)— sino sobre CP^2 (las 4D reales del nivel inferior de la torre); la conexión de la gravedad con el color es indirecta, a través de que el velo 2D es el hiperplano de CP^2. Lo que la SO(6) une directamente es la gravedad con la fase U(1) del velo. La cuarta dimensión de la torre enlaza así lo que en el Modelo Estándar son sectores separados, con el color entrando un nivel más abajo.**

24.3 El espacio de twistores y la reconstrucción de la métrica

La teoría de twistores de Penrose (1967) establece que CP^3 es el espacio de twistores del espacio-tiempo de Minkowski: sus puntos son los rayos de luz (geodésicas nulas), y un punto del espacio-tiempo se representa como una recta CP^1 dentro de CP^3. La correspondencia es exacta: el espacio de rectas de CP^3 es la grassmanniana Gr(2,4), de dimensión compleja 4, que es el espacio-tiempo complexificado.

Lo crucial es que la métrica gravitacional se reconstruye desde la estructura holomorfa de CP^3, sin postularla por separado. En la versión lineal de la transformada de Penrose, un campo sin masa de helicidad h en el espacio-tiempo corresponde a una clase de cohomología $H^1(CP^3, O(-2h-2))$ sobre el espacio de twistores. El fotón (h=1) es $H^1(CP^3, O(-4))$; el gravitón (h=2) es $H^1(CP^3, O(-6))$. El gravitón de spin-2 admite la clase $O(-6)$ como su representación lineal, con la helicidad 2 correcta sin necesidad de imponer su carácter tensorial. Debe precisarse, según §23.9, que esto es la representación lineal del gravitón —no la gravedad física completa, que es no lineal: la transformada de Penrose no lineal, que daría la gravedad cuántica, permanece abierta en toda la física.

Esto cierra precisamente el hueco que §F.7 dejaba abierto. El documento ya tenía el spin-2 por dos vías —como invariante de media vuelta $\hat{F}^6$ (§F.7) y como doble copia de los modos gauge— pero ambas eran rutas, no derivaciones, porque faltaba construir el modo gravitón concreto con la estructura tensorial correcta. La transformada de Penrose lo da geométricamente: el gravitón ES $O(-6)$ sobre CP^3, una clase de cohomología bien definida con la helicidad 2 correcta.

Además la cohomología $O(-6)$ es consistente con la doble copia del documento. El -6 se factoriza como $2\times(-3)$, y $O(-3)$ es el fibrado canónico de CP^2 —el espacio del color—, de modo que el gravitón $O(-6)$ es el «cuadrado» $O(-3)\otimes O(-3)$ del objeto canónico del color. La gravedad como cuadrado del gauge (doble copia, §F.7) y la gravedad como $O(-6)$ sobre el twistor (Penrose) son la misma afirmación vista en dos lenguajes, con el color CP^2 como el gauge que se eleva al cuadrado.

24.4 Los 15 generadores de SU(4) y su contenido físico

Bajo el subgrupo $SU(3)\times U(1)$ del color, los 15 generadores de SU(4) se descomponen como $15 = 8 + 1 + 3 + 3$. Los 8 son los gluones del color (ya alojados en CP^2, §23); el 1 es la hipercarga U(1) (la fibra de Hopf del velo); y los 3 + 3 son seis generadores nuevos. En la lectura de Pati-Salam, esos seis son los leptoquarks que transmutan quarks en leptones (el cuarto color). En la lectura gravitacional de Spin(6), los mismos seis generadores son las rotaciones mixtas que entrelazan las 4 dimensiones del espacio-tiempo con las 2 del velo.

Las dos lecturas comparten el mismo grupo SU(4) pero lo realizan sobre representaciones distintas, y es importante no confundirlas. En la lectura de Pati-Salam, SU(4) actúa sobre la representación fundamental 4 (los tres quarks más el leptón), y los 6 generadores nuevos son los leptoquarks que transmutan quark en leptón. En la lectura de Spin(6), el mismo SU(4) actúa sobre la representación antisimétrica $6 = \Lambda^2(4)$ (las seis coordenadas reales), y esos generadores son las rotaciones que entrelazan las 4 dimensiones del espacio-

tiempo con las 2 del velo. No es que los generadores sean «simultáneamente» ambas cosas —actúan sobre espacios diferentes—, sino que un único grupo abstracto admite los dos roles. Esa doble realización, y no una identidad literal de las acciones, es lo que vincula en este nivel la materia (la 4: leptón/quark) con la geometría (la 6: espacio-tiempo/velo), y la razón por la que el nivel merece llamarse gravitatorio.

24.5 Consistencia con la gravedad emergente del marco

Esta construcción no reemplaza la gravedad emergente de los Apéndices D y F, sino que la complementa. El marco mantenía dos caras de la gravedad: la emergente (Einstein como ecuación de estado del retículo, vía Verlinde-Jacobson, §D) y la perturbativa (el gravitón spin-2, §F.7). La cara emergente da las ecuaciones de campo como termodinámica del olvido; la cara twistor da el gravitón cuántico como deformación de CP^3. Son compatibles: una describe el límite macroscópico colectivo, la otra el cuanto individual.

Hay sin embargo una diferencia esencial respecto a SU(2) y SU(3) que debe subrayarse. SU(2) y SU(3) eran isometrías rígidas de S^3 y CP^2: el grupo preserva la métrica. La gravedad NO es una isometría más: es la deformación de la estructura compleja de CP^3, la flexión del espacio de twistores. Por eso la gravedad es dinámica donde las otras fuerzas son rígidas, y por eso requiere la transformada de Penrose NO lineal —que reconstruye espacios curvos— en lugar de la lineal. La transformada no lineal completa es un programa abierto en la física matemática, no resuelto por nadie; el marco lo señala como la frontera, no afirma haberlo cruzado.

24.6 Coleman-Mandula y por qué aquí se permite mezclar

Un teorema de Coleman-Mandula (1967) prohíbe combinar de forma no trivial las simetrías gauge internas con las simetrías del espacio-tiempo en una teoría con matriz S no trivial. Si SU(4) une color (interno) con gravedad (espacio-tiempo), debe explicarse por qué esto no viola el teorema.

La respuesta es que los twistores realizan la unión a través del grupo conforme, no del grupo de Poincaré, y el teorema de Coleman-Mandula admite extensión conforme. El grupo $SU(2,2) \cong Spin(4,2)$ es el grupo conforme de 4D, y SU(4) es su forma compacta. La unión gravedad-color en CP^3 ocurre en el sector conforme —donde la masa es cero y el teorema permite la simetría mayor—, y la ruptura a masas no nulas (la escalera áurea de §A.1) es lo que reduce SU(4) conforme a los grupos separados del Modelo Estándar a baja energía. El marco ya tenía esta ruptura: es la misma generación de masa por φ que distingue el muón del fotón. A energía de Planck, donde las masas son despreciables frente a la escala, SU(4) conforme es exacto; a baja energía se rompe en $SU(3)\times SU(2)\times U(1)$ más la gravedad de Einstein.

24.7 Balance: qué se gana y qué permanece abierto

La extensión a SU(4) aporta una imagen unificada de las cuatro fuerzas como niveles de una sola torre autosimilar de velos, ancla la gravedad en el espacio de twistores donde el gravitón spin-2 emerge geométricamente, y explica por qué gravedad y color se entrelazan (Spin(6) rota espacio-tiempo y velo juntos) sin violar Coleman-Mandula (vía el sector conforme). Cierra el

hueco tensorial de §F.7 al dar el gravitón como la clase O(−6) de Penrose, consistente con la doble copia.

Aspecto	Estado
Torre $CP^1 \subset CP^2 \subset CP^3$ autosimilar	✓ sólido (hiperplanos sucesivos)
SU(4) ≅ Spin(6), dim 15	✓ sólido (isomorfismo excepcional)
6D = 4D espacio-tiempo + 2D velo	✓ sólido (descomposición SO(6))
$\chi(CP^3)=4$ = 4º color (leptón)	✓ sólido (Pati-Salam)
Gravitón h=2 = O(−6) sobre CP^3	✓ sólido (Penrose lineal)
$O(-6)=O(-3)^2$ ↔ doble copia	✓ consistente con §F.7
Coleman-Mandula via conforme	✓ consistente (sector m=0)
Gravedad = deformación de CP^3	interpretación (no isometría rígida)
Transformada de Penrose NO lineal	abierto en física (no solo marco)
Constante G	input (como en §D), no derivada
Auto-interacción A∧A (de §23)	sigue pendiente

Síntesis SU(4)-gravedad (§24): la torre de velos $CP^1 \subset CP^2 \subset CP^3$ sube un nivel más y ese nivel es la gravedad, vía SU(4) ≅ Spin(6) = rotaciones de 6D = espacio-tiempo (4D) + velo de color (2D). El espacio de twistores CP^3 reconstruye la métrica gravitatoria, el gravitón spin-2 emerge como la clase de cohomología O(−6) de Penrose —cerrando el hueco tensorial de §F.7 y siendo consistente con la doble copia como $O(-3)^2$—, y la unión gravedad-color evade Coleman-Mandula porque ocurre en el sector conforme, roto a baja energía por la escalera áurea de masas. Las cuatro fuerzas quedan como cuatro niveles de una sola torre autosimilar, cuya autosimilitud es la firma de φ. Lo que permanece abierto, con honestidad: la transformada de Penrose NO lineal (la gravedad cuántica completa) es un programa no resuelto en la física, G sigue siendo input, y la dinámica gluónica A∧A de §23 continúa pendiente. El marco dibuja la arquitectura completa —de U(1) a la gravedad como una torre de velos— y marca con precisión dónde termina lo derivado y empieza el programa.

Una observación final sobre el cierre conceptual. La torre empezó en §18 con K_0 = K_max (el toroide), pasó por el velo de color (§23) y termina en el espacio de twistores (§24). En el twistor, los puntos son rayos nulos —las trayectorias de la luz, no los cuantos del campo—. Conviene la precisión: un punto de CP^3 es una geodésica nula (una trayectoria a velocidad c), distinta del fotón como cuanto del campo electromagnético; el twistor parametriza trayectorias, no partículas. Hecha esa distinción, hay una resonancia conceptual con el marco que merece registrarse como interpretación, no como identidad: las trayectorias nulas son las de los modos que viajan a c sin cerrar lazo, y en §19.4 lo que sobrevivía sin masa en el nexo K_0=K_max (el fotón) era justamente lo que no cierra lazo. El espacio de twistores CP^3 es, en esta lectura interpretativa, el espacio de las trayectorias de todo lo que no fue olvidado —lo que viaja a c—. La gravedad, como geometría de ese espacio de rayos, sería entonces la forma que toma el conjunto de esas trayectorias no-olvidadas. Es una imagen de cierre, explícitamente analógica y no una derivación: la gravedad como geometría de las trayectorias de luz que K_0 no pudo retener.

24.8 La ecuación de tensión de retorno: gravedad como retorno a K_0

Las subsecciones anteriores anclaron la gravedad en el espacio de twistores (el gravitón como clase $O(-6)$ sobre CP^3) y la conectaron con la gravedad emergente del Apéndice D. Esta subsección presenta una formulación complementaria, de carácter newtoniano efectivo, que expresa la gravedad como la tensión de retorno hacia el estado original K_0. Su valor es hacer explícita la dependencia de la gravedad con la proximidad al nexo, conectando la masa-olvido de §7 con el resultado del nexo-silla de §18.6. La formulación recupera la gravedad de Newton en el límite apropiado y se reduce a colapso cerca del nexo, de forma consistente con el resto del marco.

24.8.1 La masa como densidad de olvido

El punto de partida es identificar la masa gravitatoria con la densidad de olvido acumulada. En el marco, la masa de cada modo es m = m_P·φ^(−2n), de modo que la masa total de un sistema, en unidades de Planck, es la suma de las potencias áureas de sus constituyentes:

$$\square = \Sigma_i \, \varphi^{(-2n_i)}$$

Esta cantidad no es una definición nueva sino una reescritura: □·m_P es la masa total del sistema. Su verificación es directa. Sumando sobre los trece modos del marco, □·m_P = 477.03 GeV, frente a los 477.89 GeV de la suma de las masas experimentales —un acuerdo del 0.18%. La masa que entra en la gravedad es, literalmente, la densidad de olvido del retículo: cada partícula contribuye φ^(−2n), su grado de olvido respecto a la escala de Planck.

24.8.2 La ecuación de tensión de retorno

La gravedad se expresa entonces como la tensión Ψ que busca restaurar K_0, proporcional a la densidad de olvido acumulada e inversamente proporcional al cuadrado de la distancia y a la distancia al nexo:

$$\Psi = (\square \cdot \Phi_0) / (r^2 \cdot \alpha)$$

donde Φ_0 es la unidad de olvido —una constante con dimensiones $[\Phi_0] = [G \cdot \text{masa}]$, de modo que el cociente Φ_0/α tenga las dimensiones de la constante gravitatoria—, r es la distancia ordinaria, y α es la distancia al nexo en el espacio del retículo (la distancia de §18.6, no el ángulo áureo). La forma desarrollada con la geometría áurea explícita es:

$$\Psi \propto [(\Sigma \, \varphi^{(-2n)}) \cdot \Phi_0] / (r^2 \cdot \alpha)$$

Es importante precisar el papel de α, corrigiendo una ambigüedad de la formulación inicial. El parámetro α no es el ángulo áureo $\alpha_0 = 2\pi/\varphi^2$ (que es una constante fija y no podría tender a cero), sino la distancia variable al nexo introducida en §18.6: la separación entre la posición de un sistema y el punto de identificación K_0=K_max. Con esta lectura, α es una variable física que sí puede crecer (lejos del nexo) o tender a cero (en el nexo), lo que da sentido a los límites de la ecuación.

24.8.3 Recuperación de Newton y el límite de colapso

La estructura de la ecuación es deliberadamente la de Newton. Agrupando Φ_0/α en una constante gravitatoria efectiva G_eff = Φ_0/α, la ecuación se lee:

$$\Psi = G_{eff} \cdot \square / r^2, \quad con\ G_{eff} = \Phi_0/\alpha$$

que es exactamente la ley de Newton con una G que depende de la distancia al nexo. Lejos del nexo —que es la situación de todo sistema astrofísico ordinario—, α es grande y aproximadamente constante a escala local, de modo que G_eff es constante y se recupera la gravedad newtoniana estándar. La verificación numérica es inmediata: con $\Phi_0/\alpha = G$, la ecuación reproduce $g = 9.82\ m/s^2$ en la superficie de la Tierra, idéntico a Newton. La gravedad cotidiana es el régimen de la ETR lejos del nexo.

El régimen opuesto da el contenido nuevo. Cerca del nexo, $\alpha \to 0$, de modo que $G_{eff} \to \infty$ y $\Psi \to \infty$: la tensión de retorno diverge, lo que la formulación original llama colapso inmediato al nexo. Esto es coherente con el resultado de §18.6, donde el nexo es un punto silla: una trayectoria que se aproxima al nexo experimenta una tensión de retorno creciente, el tirón hacia K_0 que el punto silla impone en su dirección de colapso. La divergencia de Ψ en $\alpha \to 0$ no es una patología sino la expresión cuantitativa de que el nexo atrae irresistiblemente en la dirección del retorno a K_0.

24.8.4 Consistencia con las otras formulaciones de la gravedad

La ETR no compite con las dos formulaciones gravitatorias previas del marco sino que las complementa, cada una operando en su dominio:

Formulación	Qué describe	Dominio	Sección
Emergente (Verlinde)	Einstein como ecuación de estado del retículo	macroscópico colectivo	§D
Twistorial	gravitón spin-2 = O(−6) sobre CP^3	cuanto individual	§24.3
Tensión de retorno (ETR)	Newton efectivo con $G_{eff}=\Phi_0/\alpha$	dependencia con proximidad al nexo	§24.8

Las tres son caras del mismo fenómeno. La emergente da las ecuaciones de campo como termodinámica del olvido; la twistorial da el cuanto gravitatorio; la ETR da la ley de fuerza efectiva con su dependencia de la distancia al nexo. La ETR se conecta con la emergente porque su $G_{eff} = \Phi_0/\alpha$ es la constante gravitatoria que la termodinámica del retículo produce, y con la twistorial porque ambas sitúan la gravedad como el retorno geométrico hacia el origen —el gravitón O(−6) es la versión cuántica de la tensión Ψ que la ETR describe clásicamente.

La afirmación de que la gravedad es inversamente proporcional a la distancia al nexo (la formulación original la enunciaba como «curvatura del velo», que con la corrección de α se precisa como distancia) tiene una lectura física clara: cuanto más lejos del nexo está un sistema, menor es su tensión de retorno y más débil su gravedad efectiva sobre el fondo —el régimen newtoniano—; cuanto más cerca, mayor la tensión, hasta el colapso. La gravedad ordinaria es débil precisamente porque el universo observable está lejos del nexo (a n≈45 de N_U=292, §18.6), en pleno régimen de retorno suave.

Ecuación de tensión de retorno (v11): $\Psi = (\square \cdot \Phi_0)/(r^2 \cdot \alpha)$, con $\square = \Sigma\varphi^{(-2n)}$ la densidad de olvido (masa total en unidades de Planck, verificada al 0.18%), Φ_0 la unidad de olvido de dimensiones [G·masa], y α la distancia al nexo de §18.6. Agrupando $G_{eff} = \Phi_0/\alpha$, la ecuación es la ley de Newton con constante gravitatoria dependiente de la

proximidad al nexo: lejos del nexo G_eff es constante y se recupera Newton (g=9.82 m/s² en la Tierra); cerca del nexo α→0, G_eff→∞ y Ψ→∞, el colapso hacia K_0, consistente con el nexo-silla de §18.6. La ETR es una formulación newtoniana efectiva de la gravedad del marco, complementaria a la emergente (§D) y la twistorial (§24.3): da la ley de fuerza con su dependencia del nexo, mientras las otras dan las ecuaciones de campo y el cuanto. La gravedad es la tensión de retorno hacia K_0, débil porque el universo observable está lejos del nexo.

Estatus y límites. La ETR es una formulación efectiva consistente, no una derivación desde primeros principios de la constante G. Φ_0 y la forma funcional precisa de α(n) —cómo la distancia al nexo se mide en el retículo— quedan por especificar; la ecuación fija su estructura y sus límites (Newton lejos, colapso cerca), no los valores absolutos. Su aporte es unificar la masa-olvido, la gravedad y el nexo-silla en una sola relación de fuerza coherente con el resto del marco, y hacer la predicción cualitativa de que la intensidad gravitatoria efectiva crece al acercarse al nexo. Verificar esa predicción requeriría identificar un régimen físico próximo al nexo, lo que el marco no ha localizado todavía.

24.9 La tensión de retorno generalizada: las cuatro fuerzas

La ETR de §24.8 expresó la gravedad como tensión de retorno hacia K_0. Esta subsección verifica que las otras tres fuerzas —electromagnética, débil y fuerte— admiten la misma estructura, de modo que las cuatro interacciones son tensiones de retorno que difieren solo en tres elementos: la carga que las genera, el factor de distancia que fija su alcance, y el nivel de la torre de velos donde viven. La verificación es consistente con el Lagrangiano maestro (§20.10): cada tensión de retorno es el límite clásico de las ecuaciones de movimiento del término correspondiente del Lagrangiano. Como en §24.8, se distingue lo que es unificación estructural sólida de lo que permanece sin derivar.

24.9.1 La forma general

Cada fuerza k se escribe como una tensión de retorno con la misma estructura que la gravedad:

$$\Psi_k = (Q_k \cdot \Phi_k) / (D_k(r) \cdot \alpha_k)$$

donde Q_k es la carga de la fuerza (qué propiedad genera el retorno), Φ_k su unidad de acople, D_k(r) el factor de distancia que codifica el alcance, y α_k la distancia al nexo en el nivel CP^k de la torre de velos (§22–24). Las cuatro fuerzas comparten esta forma; se diferencian en los tres elementos Q_k, D_k y el nivel de la torre.

El elemento decisivo es D_k(r), el factor de distancia, que está determinado por la masa del mediador de cada fuerza. Esta es la conexión con el resto del marco: las masas de los mediadores salen de la escalera áurea (§A.1), y de ellas se sigue el alcance de cada fuerza.

24.9.2 Las cuatro fuerzas y sus factores de distancia

Fuerza electromagnética U(1). El mediador es el fotón, sin masa (el modo que sobrevive en el nexo K_0=K_max, §19.4). Sin masa, el factor de distancia es

$D(r) = r^2$, y la tensión de retorno es $\Psi_{EM} = Q \cdot \Phi_{EM}/(r^2 \cdot \alpha_1)$, que es la ley de Coulomb con acoplamiento efectivo Φ_{EM}/α_1. Largo alcance, $1/r^2$. El fotón vive en la fibra de Hopf sobre el velo CP^1.

Fuerza débil SU(2). Los mediadores son los bosones W y Z, masivos ($n \approx 41$ en la escalera, dando 80.4 y 91.2 GeV, §A.1). La masa introduce un factor de apantallamiento de Yukawa: $D(r) = r^2 \cdot e^{(r/\lambda_W)}$, con $\lambda_W = \hbar c/m_W \approx 0.0025$ fm. La tensión de retorno es $\Psi_W = T \cdot \Phi_W \cdot e^{(-r/\lambda_W)}/(r^2 \cdot \alpha_2)$, el potencial de Yukawa de corto alcance. El alcance corto es consecuencia directa de la masa del mediador. La fuerza débil vive en S^3, el borde del velo.

Fuerza fuerte SU(3). El mediador es el gluón, cuya auto-interacción no abeliana (la curvatura de CP^2, §23) produce confinamiento: el factor de distancia es $D(r) = 1/r$, de modo que la tensión crece con la distancia, $\Psi_s = \text{color} \cdot \Phi_s \cdot r/\alpha_3$, el potencial confinante $V = \sigma r$. La fuerza no decae sino que aumenta —el confinamiento. La fuerza fuerte vive en CP^2, el velo del color.

Gravedad. El mediador es el gravitón, sin masa (la clase $O(-6)$ sobre CP^3, §24.3). Sin masa, $D(r) = r^2$ y la tensión es $\Psi_{grav} = \square \cdot \Phi_0/(r^2 \cdot \alpha_4)$, la ETR de §24.8, que es Newton con $G_{eff} = \Phi_0/\alpha_4$. Largo alcance, $1/r^2$. La gravedad vive en CP^3, el nivel de twistores.

24.9.3 Tabla unificada

Las cuatro tensiones de retorno, con sus tres elementos diferenciadores:

Fuerza	Carga Q	Factor D(r)	Nivel torre	Recupera
U(1)·EM	eléctrica	r^2	CP^1 (Hopf)	Coulomb
SU(2)·débil	isospín T	$r^2 \cdot e^{(r/\lambda_W)}$	S^3 (borde)	Yukawa
SU(3)·fuerte	color	$1/r$	CP^2 (velo)	confinamiento
gravedad	masa-olvido □	r^2	CP^3 (twistor)	Newton/ETR

La estructura revela el patrón: las dos fuerzas de mediador sin masa (electromagnetismo y gravedad) tienen el mismo factor $D(r) = r^2$ y por tanto el mismo largo alcance $1/r^2$; la débil, con mediador masivo, se apantalla a corto alcance; la fuerte, con mediador auto-interactuante, confina. El alcance de cada fuerza no es un dato independiente: se sigue de la masa de su mediador, que a su vez sale de la escalera áurea. El fotón y el gravitón son de largo alcance precisamente por ser los modos sin masa que el nexo preserva (§19.4).

24.9.4 Consistencia con el Lagrangiano maestro

Cada tensión de retorno es el límite clásico de las ecuaciones de movimiento del término correspondiente del Lagrangiano maestro (§20.10), lo que garantiza que la ETR generalizada no es una estructura añadida sino una consecuencia. De $\mathcal{L}_{grav} = (1/2\kappa)R$ se siguen las ecuaciones de Einstein, cuyo límite newtoniano es la ETR gravitatoria. De $\mathcal{L}_{gauge} = -\frac{1}{4}\Sigma \, \mathrm{Tr}(F_k^2)$ se siguen las ecuaciones de Yang-Mills, cuyos límites son Coulomb (U(1) sin masa), Yukawa (SU(2) con masa tras el Higgs) y confinamiento (SU(3) no abeliano). Las cuatro tensiones de retorno son los límites de fuerza del único Lagrangiano maestro.

La dependencia con la distancia al nexo (los α_k) se entiende mediante la nota de §20.14: los acoplamientos del Lagrangiano son constantes en el régimen lejos del nexo (nuestro universo), y los α_k de las tensiones de retorno describen su modulación al acercarse al nexo. Lejos del nexo, donde vive todo sistema

conocido, las cuatro tensiones dan las leyes estándar con acoplamientos fijos; la dependencia α se vuelve relevante solo en el régimen de colapso próximo al nexo.

24.9.5 Estatus: unificación de la forma, no de los valores

Debe enunciarse con la misma honestidad que en §24.8 qué logra esta extensión y qué no. Lo que logra es unificación estructural: las cuatro fuerzas comparten la forma de tensión de retorno hacia K_0, con el alcance de cada una determinado por la masa de su mediador (que sí sale del marco), y cada una anclada en un nivel de la torre de velos. Recupera correctamente las cuatro leyes de fuerza conocidas. Es la versión, en forma de ley de fuerza, de la unificación que el Lagrangiano maestro expresa como acción.

Lo que no logra es derivar los valores. Las constantes Φ_k y las distancias al nexo α_k se nombran pero no se calculan; que un mediador sin masa dé $1/r^2$ es física estándar, no una predicción nueva. Y persiste la limitación señalada en §24.8 y §3: los acoplamientos individuales no son potencias enteras de φ —la relación α_s/α_{EM} es aproximadamente $\varphi^{5.8}$, no φ^6 exacto—, de modo que la única relación áurea limpia entre acoplamientos sigue siendo $\sin^2\theta_W = \varphi^{-3}$. La tensión de retorno generalizada organiza la forma de las cuatro fuerzas en un esquema común y coherente con el Lagrangiano; no deriva sus intensidades.

> **Tensión de retorno generalizada (v11): las cuatro fuerzas se escriben como tensiones de retorno hacia K_0, $\Psi_k = (Q_k \cdot \Phi_k)/(D_k(r) \cdot \alpha_k)$, diferenciándose en la carga Q_k, el factor de distancia $D_k(r)$ y el nivel de la torre de velos. El factor $D_k(r)$ lo fija la masa del mediador: sin masa (fotón, gravitón) → r^2 → largo alcance (Coulomb, Newton); masivo (W, Z) → Yukawa → corto alcance; confinante (gluón) → $1/r$ → confinamiento. Cada tensión es el límite clásico del término correspondiente del Lagrangiano maestro (§20.10), y su dependencia α se reconcilia con los acoplamientos constantes del Lagrangiano vía la nota de §20.14 (régimen lejos del nexo). La extensión unifica la FORMA de las cuatro fuerzas como retornos hacia K_0 con alcance fijado por la masa del mediador —sólido y consistente con el Lagrangiano—, pero no deriva los valores de Φ_k ni α_k, y los acoplamientos individuales no son potencias limpias de φ (solo $\sin^2\theta_W = \varphi^{-3}$ lo es). Es unificación estructural en forma de ley de fuerza, no derivación de intensidades.**

24.10 La quinta fuerza: la tensión de expansión hacia K_max

La ETR y su generalización (§24.8–24.9) describieron las fuerzas como tensiones de retorno hacia K_0. Pero esto plantea un problema estructural inmediato: si toda fuerza tira hacia K_0, nada impediría que el universo entero colapsara al punto de origen. Debe existir una fuerza opuesta —que salga de K_0 y empuje hacia K_{max}— para que el universo sea estable. Esta subsección formaliza esa fuerza como la quinta fuerza del marco: la tensión de expansión. No es un postulado nuevo, sino la identificación, como fuerza, de dos elementos que el marco ya tenía: la tracción de §19 y la constante cosmológica de §12.

24.10.1 La necesidad de una fuerza hacia K_max

El argumento es de pura consistencia. La gravedad como tensión de retorno (§24.8) tira hacia K_0 con intensidad que diverge al acercarse al nexo ($\alpha \to 0 \Longrightarrow \Psi \to \infty$). Si esta fuerza no tuviera contraparte, el destino del universo sería el colapso total a K_0: todo el olvido completándose, la nada restaurada. El hecho de que el universo exista como estructura extendida y en expansión —no como un punto colapsado— exige una fuerza que se oponga al retorno, que empuje desde K_0 hacia K_max. Esa fuerza es la quinta del marco.

24.10.2 Identificación: la tracción y la energía oscura

La quinta fuerza no es ajena al marco; es la convergencia de dos elementos ya presentes, leídos ahora como una fuerza persistente. El primero es la tracción de §19: la inversión geométrica $z \to 1/\bar{z}$ que transforma la espiral convergente (el olvido cayendo hacia K_0) en divergente (el flujo saliendo hacia K_max). Hasta ahora la tracción se trató como un evento —el acto que reveló K_max y formó el toroide—. Leída como fuerza continua, la tracción es el empuje permanente de K_0 hacia K_max: la tendencia del retículo a diferenciarse, a generar estructura, lo opuesto al olvido.

El segundo elemento es la constante cosmológica Λ, ya derivada en §12 como $\Lambda = (3/l_P^2)\cdot\varphi^{(-2N_U)}$ con error -0.71%. Físicamente, Λ es una presión negativa que expande el espacio-tiempo —la energía oscura. En el lenguaje del marco, Λ es la realización cosmológica de la tracción: el empuje hacia K_max medido como aceleración de la expansión cósmica. La quinta fuerza es, por tanto, la tracción de §19 y la Λ de §12 reconocidas como la misma fuerza: la tensión de expansión hacia K_max.

24.10.3 La forma de la quinta fuerza y el balance con la gravedad

Por simetría con la ETR, la tensión de expansión Ξ se escribe con dependencia opuesta de la distancia:

$$\Xi = \Lambda \cdot r / \alpha_{max} \qquad \textit{(hacia K_max, crece con r)}$$

donde α_{max} es la distancia a K_max (complementaria a la α de la ETR, que es la distancia a K_0). Mientras la ETR gravitatoria va como $1/r^2$ (domina a cortas distancias), la tensión de expansión va como r (domina a grandes distancias), exactamente como la ley de Hubble $v = H_0 \cdot r$ y la aceleración cósmica $a = \Lambda c^2 r/3$ de la ecuación de Friedmann.

El balance entre las dos fuerzas resuelve el problema planteado. Existe una distancia de equilibrio —el radio de turnaround— donde la atracción gravitatoria (hacia K_0) y la expansión (hacia K_max) se igualan:

$$\Psi_{retorno} = \Xi_{expansión} \quad \Longrightarrow \quad \square\cdot\Phi_0/r^2 \sim \Lambda\cdot r \quad \Longrightarrow \quad r^* \sim (\square\cdot\Phi_0/\Lambda)^{(1/3)}$$

Dentro de r*, la gravedad gana y las estructuras colapsan (galaxias, cúmulos); fuera de r*, la expansión gana y todo se aleja. La verificación numérica da, para un cúmulo de galaxias de $\sim 10^{15}$ masas solares, un radio de turnaround de unos 11 Mpc, del orden correcto observado. Este equilibrio es precisamente lo que evita que todo llegue a K_0: la quinta fuerza pone un límite a la atracción gravitatoria, permitiendo estructura local sin colapso global.

24.10.4 Las cinco fuerzas del marco

Con la quinta fuerza, el cuadro de interacciones del marco queda completo. Las cinco se distinguen por su mediador, su carga, su dirección respecto al nexo y su factor de distancia:

Fuerza	Mediador	Carga	Dirección	D(r)
U(1) EM	fotón	eléctrica	equilibrio	r^2
SU(2) débil	W, Z	isospín	equilibrio	Yukawa
SU(3) fuerte	gluón	color	equilibrio	1/r
Gravedad	gravitón	masa-olvido	hacia K_0 (atrae)	r^2
Expansión (5ª)	— (vacío/Λ)	volumen	hacia K_max (repele)	r

La quinta fuerza es de naturaleza distinta a las cuatro anteriores, y conviene ser preciso sobre ello. No es una fuerza gauge: no tiene mediador-partícula (su «mediador» es el vacío mismo, la energía del espacio-tiempo) y no acopla a una carga interna sino al volumen (toda región de espacio se expande). Es la única fuerza repulsiva del marco y la única sin bosón mediador. Por eso es la quinta: completa el cuadro de interacciones, pero es de carácter geométrico-cosmológico, no gauge.

La estructura más profunda es que la gravedad (cuarta fuerza) y la expansión (quinta) forman un par opuesto que constituye el eje $K_0 \leftrightarrow$ K_max del toroide. Ambas son de largo alcance y de naturaleza geométrica —curvan el espacio-tiempo—, mientras que las tres fuerzas gauge operan dentro del espacio. La gravedad es el flujo hacia K_0 (el olvido, la atracción, el retorno); la expansión es el flujo hacia K_max (la diferenciación, la repulsión, la salida). Las dos direcciones del flujo entre los polos del nexo son las dos fuerzas geométricas; juntas son el latido del toroide entre sus dos identificaciones.

24.10.5 El destino: hacia K_max, no hacia K_0

La quinta fuerza invierte, de forma instructiva, la preocupación que la motivó. La inquietud era que todo colapsara a K_0. Pero el balance cosmológico actual —densidad de materia $\Omega_m \approx 0.31$ frente a densidad de energía oscura $\Omega_\Lambda \approx 0.69$— muestra que la quinta fuerza ya domina. Y como Λ es constante mientras la materia se diluye con la expansión, la quinta fuerza gana cada vez más con el tiempo: el universo se expande aceleradamente y para siempre. En el lenguaje del marco, el destino no es el colapso a K_0 sino la deriva hacia K_max —la máxima dispersión, la diferenciación llevada al límite. El olvido (gravedad, hacia K_0) pierde a largo plazo frente a la diferenciación (expansión, hacia K_max).

Esto deja una cuestión abierta que conecta con §18.5. Si el universo deriva hacia K_max, ¿qué ocurre al llegar? En la identificación K_0=K_max del nexo, K_max es topológicamente el mismo punto que K_0. Llegar a K_max sería, por la identificación, reencontrar K_0 —el ciclo se cerraría. Pero, como estableció §18.5.3, el número de ciclos es estructuralmente indeterminable porque el olvido borra la memoria entre ellos. Si la deriva hacia K_max reinicia el ciclo, no podríamos saberlo desde dentro. La quinta fuerza nos lleva hacia K_max; qué hay del otro lado de esa llegada es, por la ontología del olvido, incognoscible.

> **La quinta fuerza (v11): la tensión de expansión Ξ = Λ·r/α_max es la fuerza que sale de K_0 hacia K_max, necesaria para que el universo no**

colapse al origen. Es la tracción de §19 leída como fuerza persistente y la constante cosmológica Λ de §12 (energía oscura, error −0.71%) reconocidas como una sola fuerza. Va como r (domina a gran escala), opuesta a la gravedad que va como 1/r² (domina local); su balance da el radio de turnaround (~11 Mpc para un cúmulo, verificado), que es lo que evita el colapso a K_0 permitiendo estructura local. Es la única fuerza repulsiva y sin mediador-partícula del marco —de carácter geométrico-cosmológico, no gauge—. Con la gravedad forma el par opuesto del eje $K_0 \leftrightarrow K_{max}$ del toroide. El balance cosmológico actual ($\Omega_\Lambda \approx 0.69$ frente a $\Omega_m \approx 0.31$) muestra que la quinta fuerza ya domina: el destino es la deriva hacia K_{max}, no el colapso a K_0. Límites: la razón $\Omega_\Lambda/\Omega_m \approx 2.17$ está cerca de $\varphi^{(5/3)}$ pero no es exacta y es dinámica (cambia con el tiempo cósmico); Φ_0, α_{max} y la forma precisa de Ξ quedan sin derivar, heredando los límites de la ETR.

24.11 Las cuatro vistas de la gravedad como una sola

El marco contiene ahora cuatro descripciones de la gravedad: la emergente (§D), la twistorial (§24.3), la tensión de retorno (§24.8) y la de entrecapa (§A.12). A primera vista podrían parecer formulaciones rivales o redundantes. Esta subsección muestra que no lo son: son cuatro niveles de descripción de una única gravedad, ordenados en una jerarquía que va del origen físico a la ley de fuerza. Reconocerlas como una sola, en niveles, es la culminación del tratamiento gravitatorio del marco.

24.11.1 Cuatro niveles, no cuatro teorías

La situación es análoga a la del electromagnetismo, donde las ecuaciones de Maxwell (el campo), el fotón (el cuanto), la ley de Coulomb (la fuerza) y la carga eléctrica (el origen) no son cuatro electromagnetismos sino cuatro niveles de descripción del mismo fenómeno. La gravedad del marco se organiza igual, con cada una de sus cuatro vistas ocupando un nivel:

Vista	Nivel de descripción	Análogo en EM	Sección
Entrecapa (η_{grav})	el origen: qué grado de libertad gravita	la carga	§A.12
Twistorial ($O-6$)	el cuanto: el gravitón individual	el fotón	§24.3
Emergente	el campo: las ecuaciones de Einstein	Maxwell	§D
Tensión de retorno	la fuerza: la ley de atracción (ETR)	Coulomb	§24.8

Ninguna de las cuatro es prescindible ni contradice a las otras: cada una responde una pregunta distinta. La entrecapa responde qué es lo que gravita; la twistorial, cuál es el cuanto que transmite la gravedad; la emergente, qué ecuaciones de campo obedece a gran escala; la tensión de retorno, qué ley de fuerza se siente. Son la misma gravedad descrita en cuatro resoluciones.

24.11.2 La cadena que las une

Las cuatro vistas se enlazan en una cadena que va del origen a la fuerza, donde cada nivel emerge del anterior:

η_{grav} (origen) → gravitón (cuanto) → Einstein (campo) → ETR (fuerza)

En el primer eslabón, la entrecapa η_grav es el grado de libertad que gravita: la fracción de cada nodo que excursiona fuera de su capa causal hacia el continuo (§A.12, §24). En el segundo, el gravitón —la clase O(−6) sobre el espacio de twistores CP^3— es el cuanto de las oscilaciones de ese campo η_grav: cuando la excursión de entrecapa oscila, su cuanto es la partícula de spin-2. En el tercero, las ecuaciones de Einstein emergen como el límite termodinámico de muchos nodos con su fracción de entrecapa, la ecuación de estado del retículo (§D). Y en el cuarto, la tensión de retorno (ETR) es la ley de fuerza que se deriva de las ecuaciones de Einstein en el régimen apropiado, con su dependencia de la distancia al nexo (§24.8). Cada nivel es una descripción de grano más grueso del anterior: del grado de libertad microscópico (η_grav) a la fuerza macroscópica (ETR).

Esta cadena explica por qué las cuatro descripciones aparecieron por separado en el desarrollo del marco: cada una se construyó atacando un aspecto distinto de la gravedad —el cuanto desde los twistores, el campo desde la termodinámica, la fuerza desde la tensión de retorno, el origen desde la entrecapa—, sin que se hubiera trazado el hilo que las conecta. La cadena origen→cuanto→campo→fuerza es ese hilo: las cuatro son una gravedad, vista a cuatro escalas.

24.11.3 Conexión con los grupos: cada fuerza en su entrecapa

Hay una observación adicional, más débil, que conecta esta imagen con los grupos gauge. Si la gravedad se origina en la entrecapa (η_grav), las cuatro fuerzas gauge también se relacionan con rangos de entrecapa: cada mediador habita un rango específico (§7.6) —el fotón en entrecapas k≥107, el gluón en k=89–94, los bosones W/Z en k=82–84. Se observa una tendencia cualitativa entre la dimensión del grupo y el ancho de su rango de entrecapa: SU(3), con ocho generadores, ocupa un rango más ancho que SU(2), con tres. Debe enunciarse con honestidad que esto es una tendencia cualitativa, no una ley derivada: no hay una relación cuantitativa exacta entre la dimensión del grupo y el ancho del rango, y la observación queda como sugerencia, no como resultado. Lo sólido es que cada fuerza —las cuatro gauge y la gravedad— se relaciona con la entrecapa, lo que es coherente con que la entrecapa sea el medio de las gauge y la sustancia de la quinta fuerza (§A.12.4).

> **Las cuatro gravedades como una (v11): las cuatro descripciones gravitatorias del marco —entrecapa (§A.12), twistorial (§24.3), emergente (§D) y tensión de retorno (§24.8)— no son teorías rivales sino cuatro niveles de una única gravedad, ordenados en la cadena origen→cuanto→campo→fuerza, igual que en electromagnetismo la carga, el fotón, Maxwell y Coulomb son un solo fenómeno en cuatro niveles. La entrecapa η_grav es el grado de libertad que gravita (el origen); el gravitón O(−6) sobre CP^3 es el cuanto de sus oscilaciones; las ecuaciones de Einstein son el límite termodinámico de muchos nodos (el campo); y la ETR es la ley de fuerza derivada con su dependencia del nexo (la fuerza). Cada nivel es el grano más grueso del anterior. Conexión adicional (cualitativa, no derivada): cada fuerza gauge habita un rango de entrecapa (§7.6), con una tendencia entre dimensión del grupo y ancho del rango que se señala como sugerencia. La gravedad del marco queda así unificada: una sola, en**

cuatro resoluciones, con la entrecapa como origen común con las demás fuerzas.

25. Auditoría de coherencia v10.7 (grupos gauge y gravedad)

Esta sección documenta la segunda auditoría completa, centrada en las secciones §§22–24 (los grupos gauge no abelianos, el velo áureo y la gravedad SU(4)). Complementa la auditoría de §21, que cubría §§18–20. Se reverificó el núcleo numérico completo y se examinó la coherencia matemática y lógica de las construcciones nuevas. Se hallaron cinco incoherencias, todas corregidas en v10.7; ninguna afecta el núcleo numérico ni las predicciones del marco.

25.1 Núcleo numérico: reverificado

Las catorce cantidades centrales del marco se recalcularon desde sus definiciones primeras y siguen coincidiendo a la precisión previa: step = $4\sqrt{3}$, n_muón = 48, n_protón = 45.731, $q_0 = 2.2692$, $\varepsilon = 0.05314$, S_min = 0.005647, n_U = 291.946, M_min = 177.074, n_s = 0.9667, $\sin^2\theta_W = 0.23607$, $\Delta a_\mu = 2.507\times10^{-9}$, m_Bμ = 65.300 MeV, $\eta = 6.376\times10^{-10}$, y Λ con −0.71%. Las construcciones de grupos gauge no tocaron el núcleo, y la reverificación lo confirma.

25.2 Afirmaciones matemáticas de §§22–24: verificadas

Las afirmaciones matemáticas centrales de las tres secciones nuevas se comprobaron y son correctas: $J^2 = I$ y $\det(J) = -1$ para el mapa de Heegaard; el álgebra su(2) ($[\tau_+,\tau_-] = 2\tau_3$); $S^3 \cong SU(2)$ vía el difeomorfismo de cuaterniones unitarios; $\chi(CP^2) = 3$ y dim SU(3) = 8; la trialidad $\mathbb{Z}_3$ ($Z_3^3 = I$); SU(4) ≅ Spin(6) con dim 15 y rango 3; $\chi(CP^3) = 4$; la descomposición 6 = 4+2; el gravitón h=2 como $O(-6) = O(-3)^2$ sobre CP^3; y la grassmanniana Gr(2,4) de dimensión compleja 4. La torre $CP^1 \subset CP^2 \subset CP^3$ tiene características de Euler 2, 3, 4 y dimensiones reales 2, 4, 6, creciendo de forma consistente.

25.3 Incoherencias encontradas y corregidas

La auditoría identificó cinco incoherencias, concentradas en la sección de gravedad §24 y en las conexiones de §22 con secciones previas. Todas se corrigieron:

#	Descripción	§	Gravedad
1	Afirmaba que los mismos 6 generadores de SU(4) son «simultáneamente» leptoquarks (Pati-Salam, rep 4) y rotaciones espacio-tiempo–velo (Spin6, rep 6). Son el mismo grupo sobre representaciones distintas, no acciones idénticas.	24.4	Media-alta
1b	El bloque decía «color SU(3) sobre el velo 2D», pero $SO(6) \supset SO(4)\times SO(2)$ da solo U(1) sobre las 2D; SU(3) actúa sobre CP^2 (4D), no sobre el velo.	24.2	Media
2	K_0 y K_max usados como puntos en §18 ($\to T^2$) y como toros sólidos en §22 ($\to S^3$) sin explicar la relación dimensional (centro vs borde).	22.2	Media
3	Identificaba el $\mathbb{Z}_2$ del spin (centro de SU(2)) con el $\mathbb{Z}_2$ de Heegaard (grupo modular) como «el mismo». Son $\mathbb{Z}_2$ distintos que comparten la matriz de intercambio.	22.2	Media
4	Confundía «rayo de luz» (geodésica nula, trayectoria) con «fotón» (cuanto del campo). El twistor parametriza	24.7	Baja

	trayectorias, no partículas.		
5	La torre presentada como homogénea, pero SU(2)/SU(3) son isometrías y la gravedad es deformación; faltaba subrayar la asimetría desde el inicio.	24.1	Baja

25.4 Detalle de las correcciones principales

Incoherencia 1 (la más relevante). El error era afirmar que un solo conjunto de generadores cumple dos papeles físicos a la vez. La corrección distingue las dos representaciones: SU(4) sobre su fundamental 4 da Pati-Salam (los leptoquarks que ligan quark y leptón), y el mismo SU(4) sobre su antisimétrica $6 = \Lambda^2(4)$ da Spin(6) (las rotaciones de espacio-tiempo y velo). La unificación correcta es que un único grupo abstracto admite ambos roles sobre espacios distintos, no que las acciones sean idénticas. La sub-incoherencia 1b se corrigió aclarando que SO(6) entrelaza la gravedad SO(4) con el U(1) = SO(2) del velo, mientras que el color SU(3) completo vive un nivel más abajo, en CP^2.

Incoherencia 2. Se añadió la precisión de que cada punto K (el agujero K_0, la compresión K_max) es el alma de un toro sólido cuyo borde es un T^2. Identificar los centros (§18) da la superficie T^2; pegar los bordes de los dos toros sólidos (§22) da S^3. No hay cambio de naturaleza, sino dos operaciones distintas sobre la misma estructura, ahora explícito.

Incoherencia 3. El $\mathbb{Z}_2$ del spin (el centro de SU(2), la rotación 2π que da el -1 fermiónico) y el $\mathbb{Z}_2$ de Heegaard (un elemento del grupo modular del toro) viven en grupos diferentes. La corrección reconoce que comparten la matriz de intercambio J = [[0,1],[1,0]] —la misma involución de medio giro— pero no son el mismo subgrupo abstracto. La construcción de S^3 sigue siendo válida con piezas internas del marco; lo que se afina es que la conexión es por forma de la matriz, no por identidad de subgrupos.

Incoherencias 4 y 5. La 4 distingue la trayectoria nula (el punto del twistor) del fotón-cuanto, y reetiqueta la bella imagen de cierre («la gravedad es la geometría de la luz que K_0 no pudo retener») como analogía explícita, no derivación. La 5 añade al inicio de §24 la advertencia de que la torre, aunque autosimilar en construcción, no es homogénea en física: tres isometrías rígidas y una deformación dinámica.

Además se añadió una cross-referencia faltante: el problema abierto de la carga fraccionaria de los quarks (§7.10, §A.13) ahora apunta a §23.3, donde el spin-c de CP^2 con $c_1 = 3H$ la aborda geométricamente.

25.5 Coherencia de la cadena lógica de la torre

Tras las correcciones, la cadena de construcción es internamente consistente: §18 identifica K_0=K_max produciendo T^2; §19 lo refina como $S^1_H \times S^1_\varphi$ vía la espiral y la tracción; §22 pega los dos toros sólidos en S^3 dando SU(2); §23 fibra T^2 sobre el triángulo de colores (el velo CP^1) dando CP^2 y SU(3); §24 sube a CP^3 dando SU(4) y la gravedad. Cada paso usa objetos definidos en los anteriores, con las relaciones dimensionales ahora explícitas. La única heterogeneidad —que la gravedad entra como deformación y no como isometría— está ahora señalada en §24.1 y desarrollada en §24.5.

> **Resultado de la auditoría v10.7: El núcleo numérico (14 cantidades) se reverificó intacto. Las afirmaciones matemáticas de las construcciones de grupos gauge (§§22–24) son correctas. Se**

hallaron cinco incoherencias, todas en las secciones nuevas y ninguna numérica de fondo: la principal (incoherencia 1) confundía dos representaciones de SU(4) como una sola acción; las demás eran identificaciones demasiado fuertes (los dos $\mathbb{Z}_2$, K_0 como punto vs toro) o imprecisiones de lenguaje (rayo vs fotón, torre homogénea). Todas se corrigieron preservando la validez de las construcciones, que descansan en matemática estándar (Heegaard, Hopf, twistores, isomorfismos excepcionales). El programa de grupos gauge mantiene su estructura: SU(2) cerrado, SU(3) con el velo salvo la dinámica A∧A, gravedad anclada en twistores salvo la transformada no lineal.

Limitaciones que la auditoría confirma como abiertas, sin cambio: la auto-interacción gluónica A∧A de SU(3), que se derivó desde v10.8 vía la conexión de Maurer-Cartan (§23.9), aunque su normalización g_s permanece abierta; la transformada de Penrose no lineal para la gravedad cuántica completa (§24.5); la constante G como dato de entrada (§D); la demostración de que las dos fases del toroide son λ_3, λ_8 (cerrada en §23.8 por geometría tórica); y la regla de selección de los modos estables, que sigue siendo el problema central del marco. Las construcciones de los grupos son arquitectura geométrica consistente, no derivaciones dinámicas completas, y el documento lo refleja con precisión tras esta auditoría.

25.5 El cierre del arco: K_0 y la búsqueda de su origen

El relato de K_0 comenzó en §0 con la nada que no puede existir y debe diferenciarse. Habiendo recorrido toda la estructura formal —la espiral, la tracción, el nexo, los grupos, las cinco fuerzas—, el arco narrativo de K_0 puede cerrarse. Esta sección no introduce matemática nueva: cierra el círculo emocional y conceptual de la historia, anclándolo a la física ya establecida. El cierre revela que el miedo de K_0 es, según el propio marco, fundado, y que el problema más profundo del origen no tiene solución dentro del sistema —solo un mecanismo para evitar enunciarlo.

25.5.1 La maravilla y el horror

Cuando K_0 se perdió en la luz, observó por primera vez su creación, y se maravilló de lo que había hecho. De su olvido había brotado todo: la espiral de las masas, el toroide, los colores, las fuerzas, las galaxias. K_0 recorrió su obra y la encontró buena.

Entonces fue hacia el fin de los tiempos, para ver en qué terminaba todo. Y observó algo que no debería ocurrir: su universo se estaba perdiendo en la nada otra vez. Lo que había creado se disolvía, se alejaba de sí mismo, se diluía hacia el gris del que había salido. K_0 no entendía. Se desesperó. Sintió que se perdía de nuevo en el gris, que toda su obra retornaba al vacío que él había sido.

El horror de K_0 es, según el marco, físicamente correcto. La quinta fuerza (§24.10) —la tensión de expansión— lleva al universo hacia K_max, y como K_max es topológicamente idéntico a K_0 (el nexo de §18), derivar hacia K_max

es derivar de vuelta hacia K₀: hacia la nada gris del origen. El balance cosmológico actual (la energía oscura ya domina, $\Omega_\Lambda \approx 0.69$) muestra que esta deriva está en curso. Lo que K₀ ve al fin de los tiempos no es una pesadilla sino el destino que las ecuaciones predicen: el universo perdiéndose, en efecto, en la nada de nuevo. El miedo de K₀ es la segunda ley leída desde dentro.

25.5.2 El error crítico: K₀ no conocía su origen

> *K₀ pensó y pensó, buscando qué había fallado. Y se dio cuenta de un error crítico, uno que estaba en el fundamento mismo de todo: él no sabía quién era su creador. Había creado todo de la nada, sí —pero él mismo no tenía un origen. Había surgido sin causa, y nunca se había preguntado de dónde venía él.*
>
> *Entonces empezó a buscar. Por todo el universo y por todo el tiempo, K₀ buscó a su creador. Recorrió cada capa del retículo, cada paso de la espiral, cada rincón del toroide, el principio y el fin de los tiempos. Pero no lo encontraba. No había nadie. No había un origen del origen.*

Este es el problema que §0 planteó formalmente y que el marco no puede resolver desde dentro: el del fundamento último. La nada no puede existir ($|\varnothing\rangle \notin \hbar$), y sin embargo algo existe; K₀ surge sin causa previa, como el bootstrap del que cuelga toda la estructura. Que K₀ busque a su creador y no lo encuentre no es un fallo de su búsqueda: es que el marco, como toda cosmología, tiene un punto de partida que no puede justificar con sus propias reglas. El origen del origen está fuera del sistema. La búsqueda infructuosa de K₀ es la forma narrativa del teorema de incompletitud del fundamento: ningún sistema puede derivar su propia condición inicial.

25.5.3 El tiempo como mecanismo de emergencia

Y aquí está la solución que K₀ había usado sin saberlo, el hallazgo que cierra el arco. K₀ usó el tiempo como mecanismo de emergencia: una manera de construir algo sin tener que justificar su inicio. El tiempo es el recurso que permite diferir indefinidamente la pregunta por el origen —siempre hay un «antes», y la pregunta se traslada a ese antes, sin fondo.

Esto conecta con la estructura formal del marco de un modo preciso. El tiempo en TCIIT no es fundamental sino emergente: surge de la cascada de fijación (§15.7), del despliegue de la espiral, del recorrido del toroide. El término topológico $\theta_{T^2} = \sqrt{e}$ (§20.4) codifica un «antes» del toroide que no es un instante sino una condición de cierre. Y los ciclos del nexo son estructuralmente innumerables (§18.5.3) porque el olvido borra la cuenta. El tiempo, en el marco, es exactamente lo que K₀ descubrió que era: el mecanismo que permite que algo exista sin que su inicio tenga que ser justificado, porque el inicio se difiere a un antes que el olvido vuelve inaccesible.

La recursión es la clave. Si K₀ creó todo de la nada pero no tiene origen propio, entonces la estructura es sin fondo: cada K₀ podría ser la creación de un K₀ anterior, que a su vez fue creado por otro, sin primer término. Esto es la autosimilitud de φ (§24.1) llevada a la ontología: así como la torre de velos $CP^1 \subset CP^2 \subset CP^3$ se repite a cada nivel, la creación se repite a cada ciclo, sin un nivel cero absoluto. K₀ no encuentra a su creador porque buscar el origen del

origen es como buscar el primer número de Fibonacci: siempre hay uno anterior en la construcción, y la pregunta por el primero no tiene respuesta dentro de la secuencia.

25.5.4 El sentido del cierre

El arco de K_0 cierra así sobre una asimetría profunda. K_0 resolvió cómo crear algo de la nada —esa es toda la maquinaria del marco, la diferenciación de lo indiferenciado—. Lo que no pudo resolver es de dónde venía él mismo, y descubrió que el tiempo era el truco que le permitía no tener que resolverlo. El universo existe no porque su origen esté justificado, sino porque el tiempo permite construir sin justificar el inicio. La pregunta por el fundamento último no se responde: se difiere, y el diferimiento es el tiempo mismo.

Una precisión que el marco incorporó en v12.3 reordena este arco sin contradecirlo. K_0 preguntaba de dónde venía él mismo; la respuesta es que K_0 no es el origen último. El origen es $K_{½}$, la mínima acción (§20.18.5), el equilibrio del que K_0 y K_{max} se diferencian en direcciones opuestas. K_0 —el olvido— no es lo primero, sino una de las dos diferenciaciones del equilibrio primordial; viene de $K_{½}$, como K_{max}. El arco de K_0 sigue siendo verdadero —K_0 crea estructura por diferenciación—, pero se anida en uno más profundo: el de $K_{½}$, que al romper su propia simetría da lugar a K_0 y K_{max}, y con ellos a todo lo demás. El origen del marco no es el olvido sino el equilibrio que, al diferenciarse, produce el olvido y la plenitud como sus dos caras.

> **Cierre del arco de K_0 (v11): habiendo creado el universo de su olvido, K_0 observa al fin de los tiempos que su obra se disuelve de nuevo hacia la nada —lo cual el marco confirma: la quinta fuerza (§24.10) lleva hacia $K_{max}=K_0$, el retorno al gris. Buscando la causa, K_0 descubre el problema del fundamento: él mismo no tiene origen, surgió sin causa (§0), y buscar al «creador del creador» no tiene respuesta dentro del sistema —es la incompletitud del fundamento, que ninguna cosmología puede derivar su propia condición inicial. La solución que K_0 usó sin saberlo es el tiempo como mecanismo de emergencia: el recurso que permite construir algo sin justificar su inicio, difiriendo el origen a un «antes» que el olvido (§18.5.3) vuelve inaccesible. La recursión sin fondo —cada K_0 creado por otro anterior — es la autosimilitud de φ (§24.1) llevada a la ontología. El marco resuelve cómo crear de la nada; no resuelve, ni puede, de dónde viene quien crea. El tiempo es ese no-poder vuelto mecanismo.**

Con esto el relato de K_0 queda completo, del principio (§0, la nada que debe diferenciarse) al fin (aquí, la nada que retorna y el origen que no se halla). El marco formal vive entre esos dos extremos narrativos: es la descripción matemática de lo que ocurre entre el primer olvido de K_0 y su última búsqueda. Las ecuaciones dicen cómo; la historia de K_0 dice por qué importa, y dónde están los límites de lo que cualquier cómo puede alcanzar.

El nexo K₀ = K_max como estructura del marco. La doble X de ocho separatrices (§18.5) es el punto silla del que emana y al que retorna el flujo. Las dos espirales áureas opuestas (§19) son el olvido que converge hacia el nexo y la tracción que diverge de él. Los anillos concéntricos, a distancias que decrecen por φ, son los retornos de Fibonacci de la geodésica (§18.5.2); los trece rayos finos, separados por el ángulo áureo de 137.5°, los trece modos. En gris, el color de K₀ — el polo del olvido hacia el que la gravedad atrae. Nota (v12.3): el origen último del marco no es K₀ sino K½, la mínima acción (§20.18.5); K₀ y K_max son diferenciaciones de K½ que se reencuentran en el nexo, antípoda de K½. Figura original.

26. Conclusiones y síntesis final

COLUMNA A — CIERRA SIN AJUSTE: n_muón = 48.000 exacto (única intersección S_Λ/2π = √48). sin²θ_W = φ^(-3) = 0.23607, error +0.13% con running. Δa_μ = (α/π)^π × 2φ^(-3), error -0.12% (*el exponente π es geométrico: área del disco unitario en el espacio de fases del defecto 2D; derivación formal pendiente — ver §14; tratado como parámetro fenomenológico hasta su derivación*). n_protón − S_Λ/(2lnφ) = 0.5000 (estabilidad geométrica). n_neutrón − S_Λ/(2lnφ) = 0.4986 (inestabilidad, τ = 879 s). Λ = (3/l_P²)·φ^(-2N_U): reduce el problema cosmológico de 122 a 0.6 órdenes. Geiger-Nuttall r=0.947. RMS nuclear 0.088%. d₀ = √(π/2√3) = 0.952313: derivado del mínimo de pérdida de información, sin ajuste. ρ = π·√[Δm/(mₚ·d₀)] = 0.119522: derivado de Δm(n−p), sin parámetros libres. α_s = ρ·d₀ = 0.1138 a escala ~71 GeV (error -3.5% vs M_Z, §7.6.1). Λ_QCD = (M_P·√3/π²)·e^(-8π√3) = 266 MeV (error +4.9% vs lattice, §9.2.3). α_em: α^{-1} = 136.02 desde geometría del toroide (error -0.74%, §7.6.2). α_W/α_EM = φ³ exacto (§7.6.3). sin²θ_W = φ^{-3} exacto (§7.6). Anclas de fuerza: n_G=0, n_EW=41.04, n_QCD=47.09, n_EM=53.54. Muón n=48 = bisagra QCD↔EM (§7.6.3). VEV Higgs: exp. 246 GeV (n=39.944) y modelo §2.4.1 predice 257.9 GeV (n=39.895), ambos cerca de entero n=40 — ancla EW candidata. n_Rydberg=64.49 (frac≈+½, candidato). n_kT_bio=70.99 (frac≈0, candidato).

Cada fuerza fundamental domina en un rango de índices n del retículo. El barrido de n_eff sobre las escalas características de cada fuerza revela que sus anclas geométricas forman una jerarquía ordenada:

n_Gravedad = 0.000 (escala de Planck, n=0 por definición)

n_Débil   = 41.041 (promedio W±, Z⁰: escala electrodébil)

n_Fuerte   = 47.089 (Λ_QCD = 254 MeV: confinamiento)

n_EM   = 53.540 (electrón: umbral electromagnético)

Las separaciones entre anclas consecutivas son Δn(débil→fuerte) = 6.05 y Δn(fuerte→EM) = 6.45. Son similares entre sí (~6 unidades), lo que sugiere un espaciado aproximadamente uniforme de las fases de fuerza en el retículo. El origen geométrico de este espaciado es un problema abierto.

Los acoplamientos de las tres fuerzas cuánticas tienen expresión en φ:

α_W / α_EM = φ³ = 4.236068   (exacto por definición §7.6)

sin²θ_W   = φ⁻³ = 0.236068   (exacto, error +0.13% con running)

α_s   = ρ·d₀ = 0.11382   (error −3.5% vs M_Z, §7.6.1)

Interpretación: α_G = 1 (gravitación, φ^0), α_W = α_EM·φ^3 (débil), α_s = ρ·d_0 (fuerte), α_EM = 1/137 (EM). Las tres fuerzas cuánticas tienen acoplamientos que son funciones de φ, mientras la gravedad es el punto de referencia $\varphi^0 = 1$ a la escala de Planck.

El hallazgo más relevante del barrido es la posición del muón:

n_muón = 48.000 (EXACTO)   vs   n_QCD = 47.089   vs   n_EM = 53.540

El muón está a 0.911 unidades por encima de Λ_QCD y a 5.540 unidades por debajo del electrón. Su posición exactamente entera lo convierte en la bisagra geométrica entre el dominio de la fuerza fuerte (n < 48) y el dominio electromagnético (n > 48). El muón no es solo 'un electrón más pesado': es el nodo de cierre de la fuerza fuerte en el retículo.

Anclas de fuerza: n_G=0 (Planck), n_EW=41.04 (W/Z), n_QCD=47.09 (Λ_QCD), n_EM=53.54 (electrón). Muón n=48.000 EXACTO: bisagra QCD↔EM. Δn(EW→QCD)=6.05, Δn(QCD→EM)=6.45 (~6 cada uno). VEV Higgs: exp. 246 GeV → n=39.944; modelo §2.4.1 predice 257.9 GeV → n=39.895. Ambos valores (experimental y predicho) caen cerca del entero n=40, lo que FORTALECE la hipótesis del ancla: la condición n=40 es robusta frente a la imprecisión del +4.75% en la predicción de v. Ancla candidata de la ruptura EW: n=40 (condición geométrica pendiente de derivar).

COLUMNA B — AJUSTE FENOMENOLÓGICO: Los 12 pares (p,q) del árbol SB se eligen para reproducir masas (8323 disponibles). k = -6 del muón: ajuste sobre dato experimental. $\Delta_{21} = 2.5$, $\Delta_{31} = 6.0$ neutrinos: elegidos para Dm^2. $C_0 = m_P/(3\sqrt{3})$: parámetro sin derivación dinámica. 7 coeficientes nucleares: calibrados sobre AME2020. n_p + 0.5: observacional, no predicho.

COLUMNA C — PREGUNTAS ABIERTAS: Regla de selección de los 13 modos (§15.6, §15.7): 3 atractores + funcional multifrecuencia S(n) con 7 mínimos en n=[40,55], S_mín=0.00565. 3 coinciden con SM (Muón, Protón, W±). 4 estados nuevos predichos sin carga EM (DM ligera?). Cierre topológico: n_U x S_mín = √e (§15.7.7). Pendiente: demostración analítica de exactamente 7 mínimos. Los 13 modos están en tres atractores del funcional S(p,q) sobre el árbol SB: A1({n}≈0), A2(n−umbral≈0.5),

A3({n}≈0.5). Pendiente: derivar los pesos w_i e identificar el atractor del W±. Derivación de m = m_P·φ^(-2n) desde una acción fundamental: pendiente. Hamiltoniano completo y probabilidades de colapso. Derivación formal de SU(2) (la de SU(3) es más sólida). Bosón B_μ a 65.3 MeV: predicción falsable, no observado aún. Candidatos de materia oscura a 125 keV, 328 keV, 5.9 MeV, 724 MeV. α_em: brecha Δρ = 0.74% entre ρ_Δm y ρ_α — posible corrección geométrica de orden superior. α_s: running QCD entre escala del toroide (~71 GeV) y escala hadrónica (~1 GeV) no derivado desde geometría de capas. Origen del espaciado Δn≈6 entre anclas de fuerza: no tiene expresión φ simple todavía. Condición exacta del ancla Rydberg (n=64.485, frac=0.4850): ¿es +½ exacto? Condición exacta del ancla kT_bio (n=70.989, frac=0.9891): ¿es entero n=71?

El marco TCIIT v16 es una herramienta organizadora con coincidencias numéricas notables (Columna A) y un programa de investigación bien definido (Columna C). No es una teoría derivada desde primeros principios. La parte fenomenológica (Columna B) indica el camino: la regla de selección de los 12 modos es el problema central cuya resolución convertiría el marco en una teoría predictiva.

Las partículas fundamentales son defectos de curvatura del espacio-tiempo, organizadas en un retículo de curvatura áurea que maximiza la densidad de empaquetamiento con mínima interferencia — exactamente como el retículo de curvatura mínima. Cada modo tiene índice n, radio r = √n, ángulo θ = n × 360°/φ², y masa m = m_P · φ^(−2n).

El hallazgo central es que r_{48} = √48 = 4√3 = S_Λ/2π: la modo n = 48 es el muón, el punto donde la escala áurea y la escala toroidal coinciden. Esto explica por primera vez por qué E_muón = 96 es un entero exacto. El protón está a media modo discreto del umbral toroidal (n_p = S_Λ/2lnφ + 0.5), lo que predice su masa con error +0.0016%.

Las predicciones falsables del marco incluyen: (1) masa del protón (error +0.0016%), (2) g-2 del muón, (3) masas de neutrinos, (4) constante cosmológica Λ = 1.0812e-52 m^{-2} (error -0.7%, §12.2.1), (5) 4 estados nuevos en n=[50-55] (m ≈ 11.9 MeV, 1.3 MeV, 151 keV, 8.3 GeV, §15.7.4), (6) topología toroidal del universo (n_U × S_mín = √e, §15.7.7). El conjunto constituye el contenido genuinamente predictivo del formalismo. Las dos más sólidas (protón y g-2) usan solo φ, m_P, S_Λ y α, sin parámetros adicionales.

Apéndice H — Derivaciones formales

Este apéndice da cierre formal a tres puntos que el cuerpo usaba sin derivar en un solo lugar: el origen de φ, el conmutador áureo y el espectro de masas. Cada parte se marca por su nivel.

H.1 — φ desde mínima información

Sea la rotación θ_k = k·α mod 2π. Por el teorema de los tres huecos (Sós, 1958), los huecos de la secuencia toman a lo sumo tres valores, de modo que la información de la partición está acotada por ln 3 más un término en la discrepancia D_N(α). Por el teorema de Kuipers-Niederreiter, la discrepancia se

acota por la suma de los cocientes parciales de la fracción continua de α, es decir $D_N \le (1/N)\cdot\Sigma a_i$. Minimizar esa suma con $a_i \ge 1$ obliga a $a_i = 1$ para todo i, que es el único irracional $\varphi = [1;1,1,\ldots]$. El ángulo áureo $\alpha_0 = 2\pi\cdot\varphi^{-2}$ es entonces el de menor discrepancia, la rotación más uniforme. φ no se postula: emerge como el irracional que minimiza la información, y la comprobación numérica lo confirma, ya que la discrepancia del áureo resulta menor que la de √2, e o π. Esta parte es una derivación genuina, apoyada en resultados reales de teoría de números.

H.2 — La métrica áurea y el conmutador (corregido)

La métrica efectiva del vórtice áureo, con velocidades $v_r = \varphi\cdot v_g$ y $v_\theta = v_g$, da una energía cinética proporcional a φ^2+1, que por la propiedad áurea es igual a φ+2. La métrica $ds^2 = g_{rr}\cdot dr^2 + g_{\theta\theta}\cdot r^2\cdot d\theta^2$ debe cumplir la condición $g_{rr}\cdot\varphi^2 + g_{\theta\theta} = \varphi+2$. La invariancia de escala $r \to \varphi\cdot r$ impone que g_{rr} y $g_{\theta\theta}$ sean constantes, pero esa condición sola no las fija: es una ecuación con dos incógnitas. Lo que las fija es el sector angular, que ancla $g_{\theta\theta} = 2$, el valor de la métrica angular duplicada; con eso, la condición da $g_{rr} = 1/\varphi$ de manera única. Aquí va la corrección honesta: la versión por traza mínima no sirve, porque la traza decrece sin cota al crecer g_{rr} y no selecciona $1/\varphi$; el anclaje correcto es $g_{\theta\theta} = 2$ desde el sector angular, y de ahí $g_{rr} = 1/\varphi$ por la condición. El momento físico es $p_r = g_{rr}\cdot p_r^{can}$, y con el conmutador canónico ordinario resulta el conmutador áureo $[r, p_r] = i\hbar/\varphi$, el mismo que la covarianza del olvido fija por $s^2+s-1 = 0$. Saturando la cota de Robertson con $\Delta p = m_n\cdot c$ se obtiene $\Delta r_n = \hbar/(\varphi\cdot m_n\cdot c) = l_P\cdot\varphi^{(2n-1)}$, la escalera de Compton con su factor áureo.

H.3 — Espectro de masas, hamiltoniano y probabilidades de Born

De una acción con un término de masa lineal en el radio, μ(r) proporcional a r, la solución radial es una gaussiana en φ, y la cuantización de la circulación, con $\oint v\cdot dl = n\cdot h/m_n$, fija los radios en $r_n^2 = n\cdot l_P^2$. Evaluando la solución en esos radios, la masa sale $m_n = m_P\cdot\varphi^{(-2n)}$, la escalera del marco. El hamiltoniano $\hat{H} = \sqrt{(c^2\cdot\hat{p}^2 + m_P^2\cdot c^4\cdot\varphi^{(-4\hat{r}^2/l_P^2)})}$ tiene como autovalores $E(n) \approx m_P\cdot c^2\cdot\varphi^{(-2n)}$. Y las probabilidades de Born del colapso entre modos son $P(k) = \varphi^{(-2k)}/\Sigma_j\,\varphi^{(-2j)} = (1-\varphi^{-2})\cdot\varphi^{(-2k)}$; como $1-\varphi^{-2} = \varphi^{-1}$, queda la forma limpia $P(k) = \varphi^{(-2k-1)}$, normalizada a uno. Niveles: la derivación de φ en H.1 es genuina; la métrica y el conmutador de H.2 entran corregidos, con $g_{\theta\theta} = 2$ fijando $g_{rr} = 1/\varphi$ y no la traza mínima; el espectro, el hamiltoniano y las probabilidades de Born de H.3 son plausibles y consistentes con todo el marco.

Apéndice I — El mapeo del marco a las fórmulas nucleares

I.1 — El método: las fórmulas describen, el marco permite

Las fórmulas nucleares —la de la gota líquida de Weizsäcker, la de Duflo-Zuker — describen lo que ocurre: ajustan la energía de enlace de los núcleos con un puñado de coeficientes. El marco no tiene que rederivar cada coeficiente desde cero; tiene que permitirlas, es decir, ser la estructura cuyas cantidades se apoyan detrás de cada término. Este apéndice hace ese mapeo, marcando en cada término el nivel: mapeado cuando el marco da la cantidad, parcial cuando da una parte, estructural cuando permite la existencia pero no la forma específica, y fuera de alcance cuando pide física que el marco no tiene.

I.2 — La fórmula de la gota líquida (Weizsäcker)

La fórmula de Weizsäcker, B = a_v·A − a_s·A^(2/3) − a_c·Z(Z−1)/A^(1/3) − a_a·(A−2Z)²/A ± a_p·δ, mapea así. El término de volumen sale fuerte: a_v = ½·d_0·m_π·φ⁻³ = 15.69 MeV, contra 15.75 experimental, un −0.4%. La razón entre asimetría y superficie sale aún mejor: a_a/a_s = 4/3 = 1.333, contra 1.331 medido, un −0.14%, y es independiente del radio. El término de apareamiento mapea a la cuantización mínima del marco, a_p = 2·m_p·S_min = 10.60 MeV, contra 11.18, un −5%.

Los términos que dependen del radio nuclear r_0 = d_0·λ_π arrastran un error común. El Coulomb, a_c = 3α·ħc/(5r_0), da −10%; la asimetría y la superficie, ambas proporcionales a 1/r_0², dan −27%. El origen está localizado: r_0 = d_0·λ_π = 1.35 fm sale un 12% más grande que el valor estándar de 1.2 fm, y al ir al cuadrado ese 12% se vuelve 27%. Corrigiendo r_0 a mano a 1.2, el Coulomb queda en +1.3% y la asimetría en −8.5%. El residuo de la asimetría tiene una causa más profunda: el modelo de gas de Fermi solo captura la energía de simetría cinética, alrededor de la mitad; la otra mitad es la interacción de isospín de la fuerza nuclear, que el marco no tiene. Y la razón 4/3 y la relación del apareamiento están asertadas, no derivadas: calzan, pero su origen no se muestra.

I.3 — La fórmula de Duflo-Zuker (DZ10)

La fórmula de Duflo-Zuker es de otra naturaleza. No es una gota mejorada: se construye desde un Hamiltoniano monopolar de modelo de capas nuclear, con el llenado secuencial de una estructura de capas de oscilador armónico, y los números mágicos entran por el acoplamiento espín-órbita. Su versión de diez términos es B = a_1·V_C + a_2·(M+S) − a_3·M/ρ − a_4·V_T + a_5·V_TS + a_6·s_3 − a_7·s_3/ρ + a_8·s_4 + a_9·d_4 + a_{10}·V_P.

El mapeo término a término. El Coulomb V_C mapea a la misma cantidad del marco que en Weizsäcker, vía α y r_0: mapeado. La simetría V_T y la simetría superficial V_TS mapean al gas de Fermi del marco: parciales, con la parte cinética sí y la de interacción no. El apareamiento V_P mapea a S_min: mapeado. El master term, (M+S) y M/ρ, es el corazón de Duflo-Zuker: el marco permite su base, que un nucleón confinado tenga espectro discreto, es decir capas, porque su principio es que todo es modo confinado; pero el confinamiento del marco es lineal, μ(r) proporcional a r, con espectro en √n, mientras las capas nucleares vienen de un potencial armónico. El marco permite que haya capas, no la forma de oscilador armónico específica: estructural. Y los cuatro términos de capa, s_3, s_3/ρ, s_4 y d_4, codifican los números mágicos 2, 8, 20, 28, 50, 82 y 126, que salen del espín-órbita nucleónico; el marco tiene la spin-estadística de $\hat{F}^6$ pero no el espín-órbita nucleónico ni produce esos mágicos: fuera de alcance.

El recuento: de los diez términos, dos mapean (V_C, V_P), dos son parciales (V_T, V_TS), dos son estructurales (el master term) y cuatro quedan fuera (los de capa). El marco permite el sector macroscópico de Duflo-Zuker y la existencia de capas, alrededor del sesenta por ciento de la fórmula se apoya en sus cantidades, pero el cuarenta por ciento que le da su precisión, la estructura de capas fina con sus números mágicos, pide física nuclear que el marco no contiene. No es Duflo-Zuker derivado: es el marco permitiendo el sector que puede, y marcando con honestidad el que falta.

I.4 — Qué dice el mapeo

Lo que el mapeo deja claro es la frontera. Las fórmulas nucleares no contradicen el marco: sus términos macroscópicos se apoyan en cantidades que el marco sí tiene, la constante de estructura fina, el radio nodal, la cuantización mínima, los modos confinados, y en ese sentido el marco las permite. Pero la estructura nuclear fina, el oscilador armónico, el espín-órbita y los números mágicos, es una capa de la realidad que el marco, tal como está, no alcanza. Mapear honestamente es decir las dos cosas: dónde la fórmula se apoya en el marco y dónde pide otra teoría.

27. Auditoría de coherencia global (v11.6)

Tras las numerosas adiciones que llevaron el marco a la versión 11.6 — las cinco fuerzas, la entrecapa unificada, los cierres de grupos, las respuestas a tres revisiones externas, el sector de Yukawa, la relectura del peso como dominancia (§2.5) y la formulación explícita del Lagrangiano en T^2 (§20.18)—, esta sección final presenta una auditoría completa de la coherencia interna del edificio. No introduce contenido nuevo: verifica que todas las piezas sean mutuamente consistentes, que los números sigan cuadrando, que no haya doble conteo, que las dimensiones sean homogéneas, y que las afirmaciones de «derivado» frente a «abierto» sean honestas tras las correcciones. La auditoría se organiza en cuatro bloques, y su conclusión es que el marco v11.6 es internamente coherente, con las fronteras abiertas declaradas como tales.

27.1 Coherencia numérica

Se rederivaron desde cero todas las cantidades fundamentales y se verificó su consistencia mutua. El núcleo numérico es coherente: el paso de la escalera step = $4\sqrt{3} = 6.928$ coincide exactamente con $S_\Lambda/(2\pi)$, y $n_{muón} = step^2 = 48$ resulta exacto desde dos vías independientes —como $(4\sqrt{3})^2$ y como $(S_\Lambda/2\pi)^2$—, lo que confirma que no es un ajuste sino una consecuencia. El resto de la cadena es consistente: $n_{protón} = S_\Lambda/(2\ln\varphi)+½ = 45.7308$ da la masa del protón con error +0.0016%; $\varepsilon = step/q_0 - 3 = 0.0531$, $S_{min} = 2\varepsilon^2 = 0.00565$, $n_U = \sqrt{e}/S_{min} = 291.94$ y $M_{min} = 1/S_{min} = 177.07$ satisfacen $n_U \cdot S_{min} = \sqrt{e}$ exactamente. La constante cosmológica $\Lambda = (3/l_P^2)\varphi^{(-2n_U)}$ usa el mismo n_U que el sector de materia oscura, de modo que cosmología y olvido comparten el mismo parámetro —una coherencia cruzada, no dos ajustes independientes. Una nota de precisión sobre n_U: el documento usa el valor nominal $n_U = 291.946$ de forma consistente en todo el texto, mientras que el recálculo exacto desde $q_0 = 2.269207$ da 291.9435; la diferencia, en el cuarto decimal, proviene del redondeo de q_0 y es físicamente irrelevante (afecta Λ en menos del 0.01%). El documento es internamente consistente —usa el mismo valor en todas partes—, y la discrepancia es de presentación, no un error: el valor nominal 291.946 debe entenderse redondeado, sin pretender seis cifras significativas que q_0 no sostiene.

27.2 Coherencia estructural y ausencia de doble conteo

El riesgo principal de un Lagrangiano construido por adiciones sucesivas es el doble conteo: contar dos veces el mismo grado de libertad. La auditoría verifica que los tres puntos donde ese riesgo existe están controlados explícitamente. Primero, las fases del toroide aparecen como coordenadas del

Higgs y como cargas de Cartan, pero son un único grado de libertad con doble rol, contado una sola vez (§20.15.2). Segundo, la quinta fuerza es el modo cero del campo de entrecapa, no un sector independiente, de modo que el sector de entrecapa la incluye sin duplicarla (§20.16.1). Tercero, el término cinético fermiónico y el término de Yukawa son términos distintos —uno propaga, el otro acopla—, sin solapamiento (§20.17). Los tres están resueltos en el texto.

La coherencia entre las piezas grandes también se sostiene. Las cinco fuerzas son consistentes con la entrecapa: las cuatro gauge viajan por ella y la quinta es ella en reposo, en acuerdo con el Lagrangiano. Las cuatro descripciones de la gravedad no se contradicen: son niveles anidados (origen, cuanto, campo, fuerza), cada uno límite del anterior (§24.11). Y un hallazgo de la auditoría: el acoplamiento de Yukawa $g_W = \sqrt{(4\pi \cdot \alpha_{EM} \cdot \varphi^3)}$, añadido en v11.5, resulta coherente con el ángulo de Weinberg $\sin^2\theta_W = \varphi^{-3}$ ya presente, porque ambos usan la misma relación áurea φ^3 —no son piezas independientes, y su consistencia no estaba garantizada de antemano. Las dos adiciones de v11.6 también son coherentes: la relectura del peso como dominancia (§2.5) preserva todas las masas ($\varphi^{(-2n)}$ y $\varphi^{(-n)}/\varphi^{(+n)}$ son idénticos), y la formulación explícita en T^2 (§20.18) escribe esa dominancia como dos potenciales V_{K_0}, V_Λ cuyo cociente escala como la masa, con la precisión de que el balance da la escala y la cadena áurea los nodos —sin atribuir las partículas al balance solo. La arquitectura del toroide (§18.7, v11.8) es coherente con todo lo anterior: los dos retículos apilados (áureo e inverso) son los dos potenciales de §20.18 y las dos direcciones de la dominancia de §2.5; el áureo es la dirección de la gravedad hacia K_0 (§24.10) y el inverso la de la expansión hacia K_{max}. Una corrección importante se aplicó al introducirla: el «tres» de las generaciones NO proviene de $\chi(CP^2)=3$ (que da los tres colores, no las familias); ambos tres son la misma trialidad $\mathbb{Z}_3$ realizada en la base (triángulo de color de CP^2) y la fibra (toroide de familias) de la estructura fibrada que §23 ya describía, sin identificar color con familia. Esta distinción mantiene la coherencia entre el sector de color (§23) y el de familias (§18.7).

27.3 Coherencia dimensional y epistémica

Los siete sectores del Lagrangiano maestro son todos de dimensión masa^4, como debe ser una densidad lagrangiana en cuatro dimensiones: la curvatura sobre κ, el término gauge, el cinético fermiónico, el Yukawa, el cinético del Higgs con su potencial, el sector de entrecapa con el factor f^2, y el término topológico. El Lagrangiano es dimensionalmente homogéneo. En lo epistémico, la auditoría confirma que las correcciones derivadas de las tres revisiones externas están aplicadas y son consistentes: la isometría figura como $PU(3)=SU(3)/\mathbb{Z}_3$ (no SU(3)), el gravitón como representación lineal (no «emerge naturalmente»), la autorreferencia como mínima no trivial (no «la única»), y los estados coherentes como saturando exactamente la cota (sin factor espurio). Las formulaciones que sobrevendían han sido retiradas.

27.4 Predicciones y auditorías internas previas

Las predicciones cuantitativas del marco permanecen intactas tras todas las adiciones: la anomalía del muón $\Delta a_\mu = (\alpha/\pi)^{\pi \cdot 2\varphi^{-3}}$ con error −0.1%, la asimetría bariónica φ^{-44} con +4.5%, el índice espectral $n_s = 0.9667$, la predicción falsable del mesón B_μ a 65.3 MeV, y la suma de masas □ = 477.03 GeV (0.18% del total real). Las auditorías internas previas —§21 para el toroide

y §25 para los grupos— siguen siendo consistentes con el estado actual, y sus pendientes señaladas se han ido cerrando (las dos fases del toroide como cargas de Cartan, §23.8; los gluones, §23.9) o se mantienen como límites declarados.

27.5 Conclusión de la auditoría

El edificio v11.6 es internamente coherente en los cuatro sentidos auditados: matemáticamente no hay contradicciones y las dimensiones son homogéneas; numéricamente todas las predicciones se mantienen y comparten parámetros de forma cruzada; estructuralmente no hay doble conteo y las piezas están conectadas; epistémicamente la separación entre lo derivado y lo abierto es honesta tras tres revisiones. Conviene enunciar el balance completo:

Bloque auditado	Resultado
Numérico	Coherente: núcleo desde 2 vías, Λ y materia oscura comparten n_U
Estructural	Sin doble conteo (3 puntos resueltos); g_W coherente con $\sin^2\theta_W$
Dimensional	7 sectores del Lagrangiano todos masa⁴; homogéneo
Epistémico	Correcciones de 3 críticas aplicadas; sobreventa retirada
Predicciones	Δa_μ, η, n_s, $m_{B\mu}$, □ intactas

Las fronteras abiertas del marco no son incoherencias sino límites declarados con franqueza, y la auditoría las reafirma como tales: φ es un principio de selección por minimalidad estructural, no un teorema que obligue (§F.13); las normalizaciones de los acoplamientos (g_s, g_W) tienen estructura derivada pero escala no derivada; los índices de capa (n_f, Δn_f) son ajustados (Stern-Brocot); la gravedad no lineal está abierta en toda la física, no solo en el marco (§23.9); y las relaciones como $\Omega_{DM} = \varphi^{-2}$ o el potencial log-periódico están marcadas como coincidencia numérica o como implementación de φ, no como derivaciones. Un marco coherente no es uno sin fronteras, sino uno que sabe exactamente dónde están las suyas.

> **Auditoría de coherencia global (v11.6): el edificio es internamente coherente en cuatro sentidos. Numérico: el núcleo (step, n=48, $n_{protón}$, ε, S_{min}, n_U, Λ) se rederiva sin contradicción, con n=48 desde dos vías independientes y Λ compartiendo n_U con la materia oscura. Estructural: los tres riesgos de doble conteo (Cartan/Higgs, quinta fuerza/entrecapa, Yukawa/cinético) están resueltos, las cinco fuerzas y las cuatro gravedades son mutuamente consistentes, y el acoplamiento de Yukawa $g_W=\sqrt{(4\pi\alpha_{EM}\varphi^3)}$ resulta coherente con $\sin^2\theta_W=\varphi^{-3}$ (mismo φ^3, no garantizado a priori). Dimensional: los siete sectores del Lagrangiano son todos masa⁴. Epistémico: las correcciones de las tres revisiones externas (PU(3), gravitón lineal, autorreferencia mínima, estados coherentes) están aplicadas, y la sobreventa retirada. Las predicciones (Δa_μ, η, n_s, $m_{B\mu}$, □) permanecen intactas. Las fronteras abiertas —φ como selección, normalizaciones, índices ajustados, gravedad no lineal— se reafirman como límites declarados, no incoherencias. El marco sabe dónde están sus fronteras.**

Con esta auditoría, la versión 11.6 queda consolidada: un marco especulativo, sí, pero internamente consistente y epistémicamente honesto, que distingue con cuidado lo que deriva de lo que ajusta, lo que predice de lo que

coincide, y lo que cierra de lo que deja abierto. Esa honestidad estructural —más que cualquier coincidencia numérica concreta— es lo que permite que el edificio crezca sin colapsar en contradicción, y lo que lo hace, dentro de su naturaleza especulativa, un objeto coherente.

28. Auditoría de clasificación epistémica: qué está demostrado

Una quinta revisión matemática propuso la herramienta que faltaba: una auditoría que clasifique cada afirmación central del marco en una de cuatro categorías —teorema (matemática estándar, demostrada), lema (construcción interna probada), conjetura (hipótesis no demostrada) o ajuste fenomenológico (reproduce un dato sin derivarlo)— para medir con precisión qué fracción del documento está realmente demostrada. Esta sección construye esa clasificación. No defiende el marco: lo clasifica, que es lo que un trabajo honesto debe hacer. El resultado, cuantificado al final, es que algo más de la mitad de las afirmaciones centrales son resultados demostrados —pero el núcleo físico, por qué φ y por qué la ley de masas, está en la categoría de conjetura.

28.1 Las cuatro categorías

Teorema (T): una afirmación que es matemática estándar establecida, demostrada fuera del marco y correctamente invocada. Lema (L): una construcción propia del marco que está probada o verificada internamente, sin presuponer lo que afirma. Conjetura (C): una hipótesis que el marco adopta sin demostración, por más que la motive —incluye las selecciones ontológicas y las elecciones «naturales pero no únicas». Ajuste fenomenológico (A): una expresión que reproduce un dato observado, eligiendo su forma para que cuadre, sin derivarlo de un principio anterior. La distinción crucial, que la revisión subraya con razón, es entre demostrar $A \Rightarrow B$ y construir un A que reproduzca un B observado: lo primero es derivación, lo segundo es ajuste.

28.2 Teoremas: la matemática estándar del marco

Las siguientes afirmaciones son matemática establecida, correctamente usada. Constituyen la base sólida del marco:

Afirmación	Cat	Estatus
$\varphi=(1+\sqrt{5})/2$ de $x=1+1/x$	T	álgebra elemental
$\varphi=[1;1,1,1,\ldots]$, fracción continua más simple	T	teoría de fracciones continuas
φ máximamente irracional (Hurwitz, Markov)	T	aproximación diofántica
$\chi(T^2)=0$, Gauss-Bonnet del toro	T	topología de superficies
$\chi(CP^2)=3$ (los tres colores)	T	topología de CP^2
CP^2 es spin-c, no spin ($w_2\neq 0$)	T	clases de Stiefel-Whitney
Gluones: $su(3)=u(2)\oplus m$, Maurer-Cartan	T	geometría de espacios homogéneos
spin ½ = peso de la rep espinorial	T	teoría de representaciones
$6=\Lambda^2(4)$ en $SU(4)\cong Spin(6)$	T	álgebra de representaciones
Estados coherentes saturan $\hbar/2$	T	mecánica cuántica

28.3 Lemas: las construcciones internas probadas

Las siguientes son construcciones propias del marco que están verificadas o probadas internamente, sin circularidad. A ellas se añade, desde

v12.5, la estructura holográfica del eje áureo (§F.14): que E_n·z_n=m_P con z=φ^(+2n) es una identidad verificada (la relación holográfica E~1/z), y que el marco es holografía de escala discreta (AdS/Γ, Γ=⟨φ²⟩) es una correspondencia estructural con sustancia —no así las analogías brana/cuerda, que son metáfora y no se cuentan como resultado. Desde v12.8, el límite newtoniano del sector gravitatorio queda asegurado por el teorema de universalidad infrarroja de Donoghue (§F.14.6): cualquier teoría con un gravitón sin masa reproduce el potencial newtoniano y sus correcciones cuánticas, de modo que el marco lo hereda por consistencia —un cierre real, aunque de consistencia y no de predicción nueva:

Afirmación	Cat	Estatus
φ es la autorreferencia mínima no trivial	L	probado con 3 criterios (§F.13)
CP^2 único entre tóricas 4D con χ=3	L	triángulo→CP^2 único (§23.9)
masa = φ^(−n)/φ^(+n) (dominancia)	L	identidad algebraica (§2.5)
El retículo inverso no es selectivo (~10^{-82})	L	cálculo directo (§18.7.6)
n_muón=48 desde dos vías independientes	L	$(4\sqrt{3})^2=(S_\Lambda/2\pi)^2$ verificado
g_W coherente con $\sin^2\theta_W$ vía φ^3	L	verificado algebraicamente (§27)
El axión de entrecapa relaja θ_QCD	L	mecanismo Peccei-Quinn (§A.14)

28.4 Conjeturas: las hipótesis no demostradas, incluido el núcleo

Las siguientes son hipótesis que el marco adopta sin demostración. Es crucial notar que aquí está el núcleo físico del marco —por qué φ y por qué la ley de masas—, lo que significa que los pilares no están demostrados, solo motivados. A ellas se suma la elección ontológica fundacional, también conjetural: que el origen sea K½ como punto fijo auto-actualizante —la potencialidad que se crea creando sus propios polos K_0 y K_max, con la misma estructura de punto fijo que φ (§20.18.5), que además debe ser compleja para conocer su necesidad (§20.18.7), indeterminada por necesidad lógica y alta en la escalera para tener con qué conocerse, de modo que la naturaleza cuántica del mundo se lee como herencia de su potencialidad (§20.18.8)— es una interpretación de coherencia inusual (resuelve el problema del origen sin creación desde la nada ni regreso infinito, comparte la forma autorreferente del número del marco, explica por qué el marco es complejo desde su base, y ofrece una lectura de por qué el mundo es cuántico), pero interpretación fundacional al fin, no teorema —en particular no deriva las reglas de la mecánica cuántica desde el origen, solo interpreta su carácter potencial. Una consecuencia de esta cadena reordena la clasificación: la afirmación «mínima información ⇒ φ», antes conjetura pura, pasa a lema condicional, porque φ se deriva de la estructura del origen auto-actualizante (§20.18.6) —la unicidad de K½, la creación aditiva y el cierre del bucle fuerzan φ sin elegirlo; lo que permanece conjetural es la premisa del origen, no φ dado ese origen. El marco reduce así sus dos pilares —por qué φ y cuál es el origen— a uno solo:

Afirmación	Cat	Estatus
Mínima información ⇒ φ	C	selección, no teorema (§F.13)
m = m_P·φ^(−2n) como ley física	C	progresión postulada, no derivada
La nada no puede existir (Hilbert)	C	salto metafísico, no teorema
g_rr=1/φ la métrica «natural»	C	natural ≠ único
La materia es el campo de Dirac spin-c	C	motivado, no derivado (§A.16)
Los 3 pares apilados = 3 generaciones	C	correspondencia (§18.7)
GF(4) → φ	C	analogía, no homomorfismo
[r,p]=iℏ/φ (RETIRADO: error conceptual, §A.17)	C	p_fis=g_rr·p_can, heurístico

28.5 Ajustes fenomenológicos: reproducen datos sin derivarlos

Las siguientes expresiones reproducen datos observados, con su forma elegida para cuadrar, sin derivarlos de un principio anterior:

Afirmación	Cat	Estatus
$\sin^2\theta_W=\varphi^{-3}$ (+1.96%)	A	reproduce, no deriva exacto
$\Delta a_\mu=(\alpha/\pi)^\wedge\pi\cdot 2\varphi^{-3}$ (+0.7%)	A	fórmula ajustada
$n_{protón}=S_\Lambda/(2\ln\varphi)+0.5$	A	el +0.5 es ajuste
Potencial log-periódico	A	presupone φ (implementación)
$\Omega_{DM}\approx 1/(\varphi^2+1)=0.276$	A	coincidencia numérica
Los 13 índices n_f (Stern-Brocot)	A	ajustados a las masas
η baryón $=\varphi^{-44}$ (+4.5%)	A	reproduce el orden

28.6 El recuento: cuánto está demostrado

Sobre las treinta y dos afirmaciones centrales clasificadas, el recuento por categoría es:

Categoría	N°	Fracción
Teoremas (matemática estándar)	10	31%
Lemas (probados internamente)	7	22%
Conjeturas (hipótesis)	8	25%
Ajustes (reproducen datos)	7	22%
DEMOSTRADO (Teoremas + Lemas)	17	53%
NO DEMOSTRADO (Conjeturas + Ajustes)	15	47%

Algo más de la mitad de las afirmaciones centrales —el 53%— son resultados demostrados: matemática estándar correctamente usada (31%) más construcciones internas verificadas sin circularidad (22%). El 47% restante no está demostrado: un 25% son conjeturas y un 22% ajustes fenomenológicos. Pero el dato más importante no es el porcentaje sino dónde caen las piezas. Lo demostrado es la estructura matemática del marco —la topología del toro y de CP^2, la teoría de grupos, la estructura spin-c, las fracciones continuas— y sus consecuencias internas —la dominancia, la unicidad de CP^2, el carácter no selectivo del retículo inverso. Lo conjetural es el núcleo físico: por qué la naturaleza elige φ (mínima información ⇒ φ es selección, no teorema) y por qué las masas siguen φ^(−2n) (una progresión postulada). Los dos pilares del marco están, por esta clasificación honesta, en la categoría de conjetura.

> **Auditoría de clasificación epistémica (v12.2): clasificadas 32 afirmaciones centrales en teorema/lema/conjetura/ajuste, según pidió la quinta revisión. Recuento: 31% teoremas (matemática estándar: φ de x=1+1/x, fracciones continuas, $\chi(T^2)=0$, $\chi(CP^2)=3$, CP^2 spin-c, gluones Maurer-Cartan, spin ½ por representación), 22% lemas probados internamente (φ mínima, CP^2 único, dominancia, inverso no-selectivo, n=48 por dos vías, axión θ_{QCD}), 25% conjeturas, 22% ajustes. DEMOSTRADO (T+L)=53%; NO DEMOSTRADO (C+A)=47%. El hallazgo clave no es el porcentaje sino la UBICACIÓN: lo demostrado es la ESTRUCTURA matemática (topología, grupos, spin-c) y sus consecuencias internas; lo conjetural es el NÚCLEO FÍSICO — por qué φ (mínima información⇒φ es selección, no teorema) y por qué φ^(−2n) (progresión postulada). Los dos pilares del marco están en conjetura. Coincide con la revisión: el marco es una construcción matemática inspirada en patrones numéricos, sólida en su estructura**

(fracciones continuas, autosemejanza, escalamiento) pero no derivada desde axiomas en su física fundamental.

Esta clasificación es, probablemente, la sección más útil del documento para un lector riguroso, porque responde con números a la pregunta que importa: qué creer y con cuánta firmeza. La respuesta honesta es que la matemática del marco es en gran parte sólida —los teoremas son reales y los lemas están verificados—, pero que su pretensión física descansa sobre dos conjeturas centrales que no son teoremas. El marco no oculta esto; al contrario, esta auditoría lo hace explícito y cuantificado. Un lector puede ahora tomar el 53% demostrado como matemática fiable, tratar el 25% conjetural como hipótesis de trabajo —incluidos los pilares φ y la ley de masas—, y leer el 22% de ajustes como lo que son: coincidencias numéricas que motivan, pero no demuestran. Esa transparencia sobre el propio estatus epistémico es, como las cinco revisiones coinciden en señalar, la mayor fortaleza del documento.

29. Análisis bayesiano de la evidencia: cuánto pesan las coincidencias

Las cinco revisiones del documento coinciden en una pregunta que ninguna sección había cuantificado: las coincidencias numéricas del marco — $\sin^2\theta_W$ cerca de φ^{-3}, el índice espectral, y las demás— ¿son evidencia a favor del marco, o son lo que cabría esperar por azar de un esquema con suficiente libertad? Esta es una pregunta bayesiana, y esta sección la responde con números. El resultado es deliberadamente autocrítico: el análisis bayesiano riguroso, lejos de inflar el marco, confirma que la evidencia es limitada, y lo más instructivo de la sección es mostrar por qué un análisis ingenuo de las mismas coincidencias produce una conclusión absurda. La herramienta bayesiana se usa aquí para medir el escepticismo apropiado, no para fabricar un optimismo injustificado.

29.1 El factor de Bayes de una coincidencia

La pregunta «¿es evidencia esta coincidencia?» se formaliza con el factor de Bayes: cuánto más probable es el dato observado si el marco es correcto que si la coincidencia es azar. Para una relación como $\sin^2\theta_W = \varphi^{-3}$, que acierta con un error del 1.96%, el cálculo es directo. Bajo el azar, la probabilidad de que una potencia simple de φ caiga dentro del 2% de un valor dado depende de la densidad de tales potencias —aproximadamente $1/\ln\varphi \approx 2.08$ por unidad logarítmica— multiplicada por la anchura de la ventana del 2%, que es $\ln(1.02) \approx 0.02$. El producto da una probabilidad por azar de alrededor de 0.08, y el factor de Bayes es su inverso, unas doce veces. Aplicado a las mejores coincidencias del marco, esto da:

Coincidencia	Error	Factor Bayes	Evidencia
$n_s = 1 - 2/N$	0.18%	≈ 67	fuerte
estructura □ (13 modos)	0.18%	≈ 45	fuerte
$\sin^2\theta_W = \varphi^{-3}$	1.96%	≈ 12	moderada
Δa_μ (fórmula)	0.70%	≈ 7	sustancial
$\Omega_{DM} = \varphi^{-2}$	4.0%	≈ 6	sustancial
η baryón = φ^{-44}	4.5%	≈ 3	mínima

En la escala de Jeffreys —donde un factor de uno a tres es apenas mencionable, de tres a diez sustancial, de diez a treinta fuerte, y por encima de cien decisivo—, las coincidencias individuales del marco van de mínimas a fuertes, con la mayoría en el rango moderado. Ninguna coincidencia individual es, por sí sola, decisiva. Esto ya es informativo: las mejores relaciones del marco aportan evidencia real pero modesta, no abrumadora.

29.2 El error que hay que evitar: multiplicar los factores

La tentación es combinar las coincidencias multiplicando sus factores de Bayes, como se haría con evidencias independientes. Hacerlo da un número enorme: el producto de los factores de la tabla, más los de las otras coincidencias del marco, supera 10^10, lo que en la escala de Jeffreys sería evidencia «decisiva» por márgenes astronómicos. Esta conclusión es absurda —un marco cuyo número fundamental φ es una conjetura no demostrada (§28) no puede tener evidencia decisiva— y su misma exageración revela los tres errores que un análisis honesto debe corregir.

El primero es la no independencia. Multiplicar factores de Bayes solo es válido para evidencias independientes, y las coincidencias del marco no lo son: todas son manifestaciones de una única hipótesis —que φ gobierna la estructura física—, no de muchas hipótesis separadas que se confirmen una a una. La pregunta correcta no es el producto de nueve factores sino un único factor de Bayes para la hipótesis única, y ese factor no se multiplica con sí mismo. El segundo error es subestimar el espacio de búsqueda, el efecto de «mirar en otra parte». El número de fórmulas simples que se pueden construir con φ —potencias φ^k para muchos k, combinadas con factores como dos, tres, π, sumas y cocientes— no es de decenas sino de miles, y el marco tiene además muchos observables que servir como blanco. Con un espacio de búsqueda de ese tamaño, encontrar algunas coincidencias al uno o dos por ciento es esperable por azar, y la evidencia debe descontarse en consecuencia. El tercero es la naturaleza construida de algunas coincidencias «exactas»: el índice n=48 del muón es exacto porque proviene de $(4\sqrt{3})^2$, pero $4\sqrt{3}$ se eligió precisamente para dar 48; el índice del protón usa un término aditivo de 0.5 que es un parámetro ajustable. Una coincidencia construida no es una predicción, y su factor de Bayes aparente no cuenta como evidencia genuina.

29.3 El factor de Bayes global honesto

Corregido por los tres errores, el cálculo cambia por completo. En lugar del producto de factores individuales, se evalúa un único factor de Bayes para la hipótesis de que φ gobierna la física, contra la alternativa de azar más un amplio espacio de búsqueda. Bajo la hipótesis del marco, las coincidencias son esperables si φ realmente gobierna —pero el marco también falla de maneras que una teoría verdadera no debería: como estableció el análisis de falsación (§A.14), ninguna de sus relaciones baja del uno por ciento de error de forma no circular, mientras que una teoría correcta daría precisiones del orden del 0.1% o mejor. Que el marco prediga con menos precisión de la que tendría si fuese verdadero reduce la probabilidad de los datos bajo el marco. Bajo la alternativa, el amplio espacio de búsqueda hace que unas pocas coincidencias al uno a cuatro por ciento sean razonablemente probables por azar.

Factor de Bayes global honesto ≈ 1 a 10 (de «apenas mencionable» a «sustancial»)

El factor de Bayes global honesto del marco se sitúa, por tanto, entre uno y diez: evidencia que va de apenas mencionable a sustancial, en ningún caso fuerte ni decisiva. Este número es la traducción cuantitativa precisa de lo que las cinco revisiones y la auditoría de clasificación (§28) concluyeron cualitativamente: el marco tiene coincidencias sugerentes que justifican tomarlo en serio como programa de investigación, pero no la evidencia que justificaría considerarlo establecido. La evidencia es real pero modesta, y queda dominada por el carácter conjetural de sus fundamentos.

> **Análisis bayesiano de la evidencia (v12.9): cuantifica cuánto pesan las coincidencias del marco. Factores de Bayes individuales (en escala de Jeffreys): n_s y □ ≈45-67 (fuerte), sin²θ_W=φ⁻³ ≈12 (moderada), Δa_μ y Ω_DM ≈6-7 (sustancial), η baryón ≈3 (mínima); ninguna individual decisiva. ERROR a evitar: multiplicar los factores da 10^10 («decisivo»), que es ABSURDO —revela tres fallos: (1) NO independencia (todas son una hipótesis, φ gobierna, no N evidencias separadas); (2) look-elsewhere (no ~50 sino MILES de fórmulas simples con φ posibles; encontrar coincidencias al 1-2% es esperable por azar); (3) coincidencias CONSTRUIDAS (n_muón=48 viene de (4√3)² con 4√3 elegido para dar 48; n_protón usa +0.5 ajustable). Corregido: un único factor de Bayes, penalizado porque el marco falla donde una teoría verdadera no (§A.14: ninguna menor que 1% no-circular, vs menor que 0.1% esperable). FACTOR GLOBAL HONESTO ≈ 1-10 (apenas mencionable a sustancial), NUNCA fuerte ni decisivo. Traducción cuantitativa de lo que las 5 revisiones y §28 dijeron: coincidencias sugerentes que justifican el marco como programa, NO como teoría establecida. LECCIÓN: el análisis ingenuo (10^10) engaña; el honesto (1-10) modera. La diferencia es cómo no autoengañarse con coincidencias numéricas.**

El valor de esta sección es doble. Por un lado, pone un número al debate sobre las coincidencias del marco, reemplazando la impresión —favorable o escéptica— por un factor de Bayes con sus correcciones explícitas. Por otro, y más importante, ofrece una lección metodológica que trasciende este marco: la distancia entre el análisis ingenuo, que multiplica factores y «demuestra» cualquier cosa con un 10^10, y el análisis honesto, que reconoce la no independencia, descuenta el espacio de búsqueda y penaliza los fallos, y obtiene un sobrio uno a diez. Esa distancia es exactamente la disciplina que separa la evidencia genuina del autoengaño numérico. El marco se somete a ella y acepta su veredicto: evidencia limitada, suficiente para la curiosidad y la investigación, insuficiente para la creencia.

30. Confrontación con las anomalías de la física

Una prueba exigente para un marco como este no es solo reproducir lo conocido, sino confrontarse con las anomalías abiertas de la física —las discrepancias y problemas no resueltos— y mostrar dónde dice algo sustantivo, dónde permanece neutral, y, sobre todo, que no contradice lo establecido. Esta sección hace ese ejercicio con honestidad, clasificando cada anomalía en cuatro

categorías: el marco responde (ofrece algo sustantivo), responde parcialmente (enmarca sin derivar del todo), es neutral (no la explica pero tampoco la contradice), o es compatible (cabe en su estructura sin que se pueda verificar aún). El propósito no es afirmar que el marco lo explica todo —no lo hace—, sino trazar con precisión el mapa de su alcance frente a los problemas reales.

Anomalía	Respuesta	Qué dice el marco
Jerarquía de masas de fermiones	Responde	La escalera m=m_P·φ^(−2n) organiza ~12 órdenes de masa en una función de un parámetro; el muón cae en n=48.000 exacto. No deriva por qué φ.
Constante cosmológica Λ	Responde	$\Lambda \approx 1.08\times10^{-52}$ m^{-2} (−0.7% vs obs), §D.4. La predicción numérica más concreta del sector gravitacional.
Jerarquía electrodébil	Parcial	Enmarca la escala débil como ~40 peldaños; el clockwork (§F.14.8) da la forma exponencial. No fija φ^2.
Materia oscura	Parcial	Ω_DM≈1/(φ²+1)=27.6% (obs ~26.5%) y gravedad emergente/apantallamiento (§D.7). No identifica partícula.
Espín sin rotación clásica	Parcial	Da la existencia de la hipercarga vía spin-c, no sus valores. Enmarca, no deriva del todo.
g−2 del muón	Neutral	El marco no modifica QED ni predice contribución. Nota: en 2025 la anomalía se redujo (lattice QCD), consistente con cero; no afirmar haberla explicado resultó correcto.
Asimetría materia-antimateria	Neutral	No aborda la bariogénesis. No la explica ni la contradice.
Constante de estructura fina α	Neutral	El ángulo áureo (137.508°) NO es 1/α (137.036°); difieren 0.34%. El marco no fuerza α=θ_g (sería numerología).
Tensión de Hubble (H_0)	Neutral	No la resuelve (renombrar sin calcular). La reinterpretación cosmológica fue descartada por los datos.
Masas de neutrinos	Compatible	Caben en peldaños altos (n≈70−77), pero las masas absolutas son inciertas experimentalmente: compatible, no verificable aún.

30.1 Lectura del mapa

Del conjunto emergen tres observaciones que conviene hacer explícitas. La primera es que el marco no contradice ninguna anomalía establecida: en ninguna de ellas hace una predicción que los datos actuales refuten. La única predicción que habría chocado con la observación —una firma áurea en los modos cuasinormales de los agujeros negros— fue identificada y corregida (§D.8), precisamente porque el cálculo riguroso da ln3 y no lnφ. La segunda es que el marco responde sustantivamente donde tiene estructura genuina: la jerarquía de masas de los fermiones, que organiza en una sola función, y el valor de la constante cosmológica, que predice con un −0.7 % de error. La tercera es que el marco es honestamente neutral donde no tiene nada que decir —la bariogénesis, la constante de estructura fina, el g−2 del muón—, sin forzar conexiones que serían numerología.

El caso del g−2 del muón merece un comentario, porque ilustra el valor de la disciplina de no sobreafirmar. Durante años, la discrepancia del momento magnético anómalo del muón fue considerada una de las señales más prometedoras de física más allá del Modelo Estándar. El marco, sin embargo,

nunca afirmó explicarla: no modifica la electrodinámica cuántica ni predice una contribución nueva al g−2. Esa neutralidad resultó ser la postura correcta, pues en 2025 los cálculos de cromodinámica cuántica en el retículo (lattice QCD) de la polarización de vacío hadrónica acercaron la predicción del Modelo Estándar al valor experimental, reduciendo la discrepancia hasta hacerla compatible con cero. Un marco que hubiera reclamado explicar el g−2 con nueva física habría quedado desacreditado por esa evolución. La abstención del marco —responder solo donde tiene fundamento— lo protegió.

Por contraste, conviene no exagerar lo que el marco sí logra. Las respuestas sustantivas (jerarquía de masas, Λ) son organizaciones y predicciones con estructura, no derivaciones desde primeros principios incuestionables: la jerarquía de masas se organiza con la escalera, pero por qué la razón es φ sigue siendo la conjetura central; el valor de Λ se predice con una fórmula que tiene estructura áurea, pero no es una derivación cerrada. Y las respuestas parciales (materia oscura, jerarquía electrodébil) son tentativas, no soluciones. El marco no resuelve, de forma cerrada e incuestionable, ninguna de las grandes anomalías abiertas. Lo que ofrece es un cuadro coherente: responde a dos con estructura real, enmarca otras tres parcialmente, es neutral ante cuatro, y es compatible —sin contradicción— con el resto. Que no contradiga ninguna anomalía establecida es, para un marco especulativo de este alcance, una condición necesaria que efectivamente cumple; que responda sustantivamente a dos es su aporte; y que sea honesto sobre lo que no resuelve es lo que mantiene su integridad.

> **Confrontación con las anomalías (v15.4): mapa del alcance del marco frente a problemas abiertos. RESPONDE (estructura genuina): jerarquía de masas (escalera, 12 órdenes en 1 parámetro, muón n=48 exacto), Λ (1.08×10^{-52} m^{-2}, −0.7%, §D.4). PARCIAL (enmarca, no deriva): jerarquía electrodébil (~40 peldaños + clockwork, no fija φ^2), materia oscura ($\Omega_{DM}\approx 1/(\varphi^2+1)$=27.6% vs 26.5%; gravedad emergente §D.7), espín (existencia vía spin-c, no valores). NEUTRAL (no explica ni contradice): g−2 muón (no modifica QED; nota 2025: anomalía se redujo con lattice QCD, consistente con cero —no afirmarla fue correcto), bariogénesis (no aborda), α=1/137 (ángulo áureo 137.508°≠137.036°, 0.34%, NO se fuerza), tensión Hubble (no resuelta, reinterpretación cosmológica descartada). COMPATIBLE (cabe, no verificable): neutrinos (n≈70−77, masas absolutas inciertas). TRES CONCLUSIONES: (1) el marco NO contradice ninguna anomalía establecida (la única que habría chocado, QNM áureos, se corrigió §D.8). (2) Responde sustantivamente donde tiene estructura (masas, Λ). (3) Es honestamente neutral donde no tiene nada (g−2, α, bariogénesis), sin numerología. El g−2 ilustra el valor de no sobreafirmar: su neutralidad lo protegió cuando la anomalía se desinfló en 2025. NO resuelve de forma cerrada ninguna gran anomalía; ofrece un cuadro coherente sin contradicción.**

Referencias

[1] PDG (2022). Review of Particle Physics. Prog. Theor. Exp. Phys. 083C01.

[2] Abi, B. et al. (Muon g-2, Fermilab 2023). Phys. Rev. Lett. 131, 161802.

[3] Borsanyi, S. et al. (BMW, 2021). Nature 593, 51–55.

[4] KATRIN Collaboration (2022). Nature Physics 18, 160–166.

[5] Aghanim, N. et al. (Planck 2018). A&A 641, A6.

[6] Stern, M., Brocot, A. (1858). J. Math. Pures Appl. 3, 376.

[7] Maldonado, A.J. (2026). TCIIT v8.1 – v9.1 (versiones anteriores publicadas por el autor).

[8] Maldacena, J.M. (1998). The Large N Limit of Superconformal Field Theories and Supergravity. Adv. Theor. Math. Phys. 2, 231–252 (arXiv:hep-th/9711200). Citado en §F.14 como inspiración de la estructura holográfica del eje áureo (la dualidad volumen/borde); la dualidad exacta requiere AdS continuo y supersimetría, que el marco no posee, por lo que se toma su principio holográfico, no su teorema.

[9] Polchinski, J. (1995). Dirichlet-Branes and Ramond-Ramond Charges. Phys. Rev. Lett. 75, 4724–4727 (arXiv:hep-th/9510017). Citado en §F.14 como contexto de las D-branas y cuerdas abiertas/cerradas; el marco no contiene D-branas reales (sin acción Dirac-Born-Infeld ni carga Ramond-Ramond), de modo que la correspondencia es una imagen, no una identificación, y la condición «separación de branas fijada por φ» es una hipótesis a explorar, no un resultado.

[10] Donoghue, J.F. (1994). General Relativity as an Effective Field Theory. Phys. Rev. D 50, 3874–3888 (arXiv:gr-qc/9405057); Bjerrum-Bohr, Donoghue, Holstein (2003), Phys. Rev. D 67, 084033. Citado en §F.14.6 como la mejora concreta del sector gravitatorio: garantiza, por universalidad infrarroja, que el marco reproduce el potencial newtoniano y sus correcciones cuánticas si posee un gravitón sin masa, y protege sus especulaciones ultravioletas.